

(19)



Евразийское  
патентное  
ведомство

(21)

202092732

(13)

A1

## (12) ОПИСАНИЕ ИЗОБРЕТЕНИЯ К ЕВРАЗИЙСКОЙ ЗАЯВКЕ

(43) Дата публикации заявки  
2021.06.16

(51) Int. Cl. A61P 31/18 (2006.01)  
C07K 16/10 (2006.01)

(22) Дата подачи заявки  
2019.07.02

---

### (54) АНТИТЕЛА, КОТОРЫЕ НАЦЕЛЕНЫ НА ГЛИКОПРОТЕИН gp120 ВИРУСА ИММУНОДЕФИЦИТА ЧЕЛОВЕКА (ВИЧ), И СПОСОБЫ ИХ ПРИМЕНЕНИЯ

---

(31) 62/693,642; 62/810,191

(72) Изобретатель:

(32) 2018.07.03; 2019.02.25

Балакришнан Мини, Кэрр Брайан А.,  
Хун Магдалена С., Канвар Ману,  
Пэйс Крэйг С., Редер Дуг, Шеннаэр  
Мэтью Роберт, Серафини Лордана,  
Стивенсон Хизер Тереза, Томсен  
Натан Д., Юй Хелен, Чжан Сюэ (US)

(33) US

(86) PCT/US2019/040342

(87) WO 2020/010107 2020.01.09

(71) Заявитель:

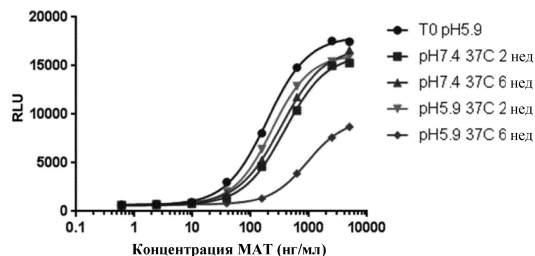
ДЖИЛИД САЙЭНС, ИНК. (US)

(74) Представитель:

Нилова М.И. (RU)

---

(57) Предложены антитела, которые связываются с gp120 ВИЧ и нейтрализуют ВИЧ. Также предложены способы применения таких антител отдельно или в комбинации с другими терапевтическими агентами для лечения или предотвращения ВИЧ-инфекции.



202092732

A1

A1

202092732

# **АНТИТЕЛА, КОТОРЫЕ НАЦЕЛЕНЫ НА ГЛИКОПРОТЕИН GP120 ВИРУСА ИММУНОДЕФИЦИТА ЧЕЛОВЕКА (ВИЧ), И СПОСОБЫ ИХ ПРИМЕНЕНИЯ**

## **ССЫЛКА НА РОДСТВЕННЫЕ ЗАЯВКИ**

**[0001]** Настоящая заявка испрашивает приоритет в соответствии со статьей 35 § 119(е) Свода законов США на основании предварительной заявки на патент США № 62/693642, поданной 3 июля 2018 г., и предварительной заявки на патент США № 62/810191, поданной 25 февраля 2019 г., содержания которых настоящим полностью включены в данную заявку посредством ссылки во всех отношениях.

## **ПЕРЕЧЕНЬ ПОСЛЕДОВАТЕЛЬНОСТЕЙ**

**[0002]** В настоящую заявку входит Перечень последовательностей, который был подан в электронном виде в формате ASCII и настоящим полностью включен в данную заявку посредством ссылки. Указанная копия ASCII, созданная 10 июня 2019 г., названа 1232\_P2F\_SL.txt, и ее размер составляет 899216 байт.

## **ОБЛАСТЬ ТЕХНИКИ**

**[0003]** Настоящее изобретение относится к антителам и их антигенсвязывающим фрагментам для лечения и/или предотвращения инфекции вирусом иммунодефицита человека (ВИЧ).

## **УРОВЕНЬ ТЕХНИКИ**

**[0004]** Инфекция вирусом иммунодефицита человека (ВИЧ) и схожие заболевания являются главной всемирной проблемой общественного здравоохранения. Большая часть из одобренных на сегодняшний день методов лечения ВИЧ-инфекции нацелена на обратную транскриптазу, ферменты протеазы и интегразу вируса. До сих пор с данными методами лечения были связаны устойчивость ВИЧ к таким существующим лекарственным средствам, токсичность при длительном применении и отсутствие соблюдения пациентом схем ежедневного приема доз. Следовательно, важно находить и разрабатывать новые антитела против ВИЧ с предпочтительными свойствами, подходящими для терапевтического применения.

**[0005]** В WO 2012/158948 описаны человеческие антитела против ВИЧ, происходящие из В-клеток памяти ВИЧ-инфицированных доноров, которые способны ингибировать инфицирование видами ВИЧ-1 из множества клад. Антитела против ВИЧ также описаны, например, в WO 2005/058963, WO 2013/090644, WO 2014/063059 и EP 0690132B1. Терапевтическое применение указанных антител может быть ограничено вследствие охвата вирусов одного

пациента, фармакокинетики, полиспецифичности и других свойств. Соответственно, существует потребность в новых антителах против ВИЧ для терапевтического применения.

## КРАТКОЕ ОПИСАНИЕ ИЗОБРЕТЕНИЯ

**[0006]** В настоящем изобретении предложены композиции для лечения или предотвращения ВИЧ. В частности, в данной заявке предложены антитела, которые связывают гликопротеин gp120 (gp120) оболочки (Env) вируса иммунодефицита человека (ВИЧ). В настоящем изобретении предложены антитела против ВИЧ и их антигенсвязывающие фрагменты, включая нейтрализующие антитела против ВИЧ широкого спектра действия и их антигенсвязывающие фрагменты, фармацевтические композиции, содержащие такие антитела и их фрагменты, и способы применения данных антител и их фрагментов для лечения и предотвращения ВИЧ-инфекции.

**[0007]** В одном аспекте, в настоящем изобретении предложено антитело или его антигенсвязывающий фрагмент, который связывается с гликопротеином gp120 оболочки вируса иммунодефицита человека-1 (ВИЧ-1). Антитело или его антигенсвязывающий фрагмент содержат вариабельную область тяжелой цепи (VH), содержащую определяющие комплементарность области (CDR, гипервариабельные участки) VH, и вариабельную область легкой цепи (VL), содержащую области CDR VL. В некоторых вариантах реализации области CDR VH и области CDR VL имеют последовательности, представленные в: SEQ ID NO: 137, 138, 139, 140, 141 и 142, соответственно; SEQ ID NO: 159, 138, 139, 140, 141 и 142, соответственно; SEQ ID NO: 137, 160, 139, 140, 141 и 142, соответственно; SEQ ID NO: 137, 161, 139, 140, 141 и 142, соответственно; SEQ ID NO: 137, 162, 139, 140, 141 и 142, соответственно; SEQ ID NO: 137, 163, 139, 140, 141 и 142, соответственно; SEQ ID NO: 137, 138, 164, 140, 141 и 142, соответственно; SEQ ID NO: 137, 138, 164, 140, 141 и 142, соответственно; SEQ ID NO: 137, 138, 139, 140, 140, 165 и 142, соответственно; SEQ ID NO: 137, 138, 139, 140, 166 и 142, соответственно; SEQ ID NO: 137, 138, 139, 140, 167 и 142, соответственно; SEQ ID NO: 137, 138, 154, 140, 141 и 142, соответственно, или последовательности SEQ ID NO: 137, 138, 139, 570, 141 и 142, соответственно. В некоторых случаях антитело или его антигенсвязывающий фрагмент содержат в каркасной области 3 (FR3) VH в положении, соответствующем 74a, 74b, 74c и 74d (нумерация по Кабату),

последовательность аминокислот, представленную в SEQ ID NO: 453 или SEQ ID NO: 627. В некоторых случаях области CDR VH и области CDR VL имеют последовательности, представленные в: SEQ ID NO: 137, 138, 139, 140, 141 и 142, соответственно, причем антитело или его антигенсвязывающий фрагмент содержат в каркасной области 3 (FR3) VH в положении, соответствующем 74a, 74b, 74c, и 74d (нумерация по Кабату), последовательность аминокислот, представленную в SEQ ID NO: 627. В некоторых случаях антитело или его антигенсвязывающий фрагмент содержат FR3 VH, содержащую следующую последовательность аминокислот:

RVSLTRHASWDFDFTFSFYMDLKALRSDDTAVYFCAR (SEQ ID NO: 628) или RVSLTRHASFDFDFTFSFYMDLKALRSDDTAVYFCAR (SEQ ID NO: 629). В некоторых вариантах реализации антитело или его антигенсвязывающий фрагмент содержит FR3 VH, содержащую следующую последовательность аминокислот:

RVSLTRHASFDFDFTFSFYMDLKALRSDDTAVYFCAR (SEQ ID NO: 629). В некоторых случаях области CDR VH и области CDR VL имеют последовательности, представленные в: SEQ ID NO: 137, 138, 139, 140, 141 и 142, соответственно, причем антитело или его антигенсвязывающий фрагмент содержит FR3 VH, содержащую следующую последовательность аминокислот:

RVSLTRHASFDFDFTFSFYMDLKALRSDDTAVYFCAR (SEQ ID NO: 629).

**[0008]** В другом аспекте области CDR VH и области CDR VL имеют последовательности, представленные в: SEQ ID NO: 137, 138, 139, 140, 141 и 142, соответственно; или последовательности SEQ ID NO: 153, 138, 139, 140, 141 и 142, соответственно. В некоторых случаях VH данного антитела содержит один или более из следующих: гистидин в положении 3, серин в положении 5, глутамин в положении 72, тирозин в положении 76, валин в положении 82c, изолейцин в положении 89 (нумерация положений согласно Кабату). В некоторых случаях VL данного антитела содержит один или более из следующих: аргинин в положении 14, аланин в положении 60, валин в положении 83 и изолейцин в положении 98 (нумерация положений согласно Кабату). В некоторых случаях антитело или его антигенсвязывающий фрагмент содержат в каркасной области 3 (FR3) VH в положении, соответствующем 74a, 74b, 74c и 74d (нумерация по Кабату), последовательность аминокислот, представленную в SEQ ID NO: 453 или SEQ ID NO: 627. В некоторых случаях антитело или его антигенсвязывающий фрагмент содержит FR3 VH, содержащую следующую последовательность аминокислот:

RVSLTRHASWDFDTSFYMDLKALRSDDTAVYFCAR (SEQ ID NO: 628) или RVSLTRHASFDFDTSFYMDLKALRSDDTAVYFCAR (SEQ ID NO: 629). В некоторых вариантах реализации антитело или его антигенсвязывающий фрагмент содержат FR3 VH, содержащую следующую последовательность аминокислот: RVSLTRHASFDFDTSFYMDLKALRSDDTAVYFCAR (SEQ ID NO: 629). В некоторых вариантах реализации антитело или его антигенсвязывающий фрагмент содержат области CDR VH и области CDR VL, имеющие последовательности, представленные в SEQ ID NO: 137, 138, 139, 140, 141 и 142, соответственно, и содержат в каркасной области 3 (FR3) VH в положении, соответствующем 74а, 74б, 74с и 74д (нумерация по Кабату), последовательность аминокислот, представленную в SEQ ID NO: 627. В некоторых вариантах реализации антитело или его антигенсвязывающий фрагмент содержат области CDR VH и области CDR VL, имеющие последовательности, представленные в SEQ ID NO: 137, 138, 139, 140, 141 и 142, соответственно, и содержат FR3 VH, содержащую следующую последовательность аминокислот:

RVSLTRHASFDFDTSFYMDLKALRSDDTAVYFCAR (SEQ ID NO: 629). В некоторых вариантах реализации антитело или его антигенсвязывающий фрагмент содержат области CDR VH и области CDR VL, имеющие последовательности, представленные в SEQ ID NO: 137, 138, 139, 140, 141 и 142, соответственно, и содержат FR3 VH, содержащую следующую последовательность аминокислот: RVSLTRHASFDFDTSFYMDLKALRSDDTAVYFCAR (SEQ ID NO: 629), и содержат VL, содержащую последовательность аминокислот, представленную в SEQ ID NO: 278. В некоторых вариантах реализации антитело или его антигенсвязывающий фрагмент содержат области CDR VH и области CDR VL, имеющие последовательности, представленные в SEQ ID NO: 137, 138, 139, 140, 141 и 142, соответственно, и содержат VH, которая по меньшей мере на 80%, по меньшей мере на 85%, по меньшей мере на 90%, по меньшей мере на 91%, по меньшей мере на 92%, по меньшей мере на 93%, по меньшей мере на 94%, по меньшей мере на 95%, по меньшей мере на 96%, по меньшей мере на 97%, по меньшей мере на 98%, по меньшей мере на 99%, например, на 100%, идентична последовательности аминокислот, представленной в SEQ ID NO: 477, и VL, которая по меньшей мере на 80%, по меньшей мере на 85%, по меньшей мере на 90%, по меньшей мере на 91%, по меньшей мере на 92%, по меньшей мере на 93%, по меньшей мере на 94%, по меньшей мере на 95%, по меньшей мере на 96%, по меньшей мере на 97%, по меньшей мере на 98%, по меньшей мере на 99%, по меньшей мере на 99%,

например, на 100%, идентична последовательности аминокислот, представленной в SEQ ID NO: 278, и содержат FR3 VH, содержащую следующую последовательность аминокислот: RVSLTRHASFDFDTSFYMDLKALRSDDTAVYFCAR (SEQ ID NO: 629). В некоторых вариантах реализации антитело или его антигенсвязывающий фрагмент содержат области CDR VH и области CDR VL, имеющие последовательности, представленные в SEQ ID NO: 137, 138, 139, 140, 141 и 142, соответственно, и содержат VH, которая по меньшей мере на 80%, по меньшей мере на 85%, по меньшей мере на 90%, по меньшей мере на 91%, по меньшей мере на 92%, по меньшей мере на 93%, по меньшей мере на 94%, по меньшей мере на 95%, по меньшей мере на 96%, по меньшей мере на 97%, по меньшей мере на 98%, по меньшей мере на 99%, например, на 100%, идентична последовательности аминокислот, представленной в SEQ ID NO: 477, и содержит FR3 VH, содержащую следующую последовательность аминокислот: RVSLTRHASFDFDTSFYMDLKALRSDDTAVYFCAR (SEQ ID NO: 629), и содержат VL, содержащую последовательность аминокислот, представленную в SEQ ID NO: 278.

**[0009]** Указанные выше антитела могут дополнительно содержать VH с одной или более (например, 1, 2, 3, 4, 5, 6, 7, 8, 9, 10, 11, 12, 13, 14, 15, 16, 17 или 18) из следующих аминокислот в указанных положениях (нумерация положений согласно Кабату): валин в положении 5, глутаминовая кислота в положении 10, лизин в положении 12, лизин в положении 23, аспарагин в положении 28, аргинин в положении 30, тирозин в положении 32, треонин в положении 68, метионин в положении 69, гистидин в положении 72, фенилаланин в положении 76, аланин в положении 78, серин в положении 82a, аргинин в положении 82b, треонин в положении 89, тирозин в положении 99, глутамин в положении 105 или метионин в положении 108. В некоторых вариантах реализации антитело может дополнительно содержать VH со следующими аминокислотами в указанных положениях (нумерация положений согласно Кабату): аспарагин в положении 28, аргинин в положении 30, тирозин в положении 32, гистидин в положении 72 и тирозин в положении 99 (например, аспарагин в положении 28, аргинин в положении 30, тирозин в положении 32, гистидин в положении 73 и тирозин в положении 98, причем положения аминокислот соответствуют таковым в SEQ ID NO: 477). В некоторых вариантах реализации антитело или его

антигенсвязывающий фрагмент содержат области CDR VH и области CDR VL, имеющие последовательности, представленные в SEQ ID NO: 137, 138, 139, 140, 141 и 142, соответственно, и содержат VH со следующими аминокислотами в указанных положениях (нумерация положений согласно Кабату): аспарагин в положении 28, аргинин в положении 30, тирозин в положении 32, гистидин в положении 72 и тирозин в положении 99 (например, аспарагин в положении 28, аргинин в положении 30, тирозин в положении 32, гистидин в положении 73 и тирозин в положении 98, причем положения аминокислот соответствуют таковым в SEQ ID NO: 477). В некоторых вариантах реализации антитело или его антигенсвязывающий фрагмент содержат области CDR VH и области CDR VL, имеющие последовательности, представленные в SEQ ID NO: 137, 138, 139, 140, 141 и 142, соответственно, и содержат VH со следующими аминокислотами в указанных положениях (нумерация положений согласно Кабату): аспарагин в положении 28, аргинин в положении 30, тирозин в положении 32, гистидин в положении 72, фенилаланин в положении 74а и тирозин в положении 99 (например, аспарагин в положении 28, аргинин в положении 30, тирозин в положении 32, гистидин в положении 73, фенилаланин в положении 76 и тирозин в положении 98, причем положения аминокислот соответствуют таковым в SEQ ID NO: 477). В некоторых вариантах реализации антитело или его антигенсвязывающий фрагмент содержат области CDR VH и области CDR VL, имеющие последовательности, представленные в SEQ ID NO: 137, 138, 139, 140, 141 и 142, соответственно, и содержат VH, которая по меньшей мере на 80%, по меньшей мере на 85%, по меньшей мере на 90%, по меньшей мере на 91%, по меньшей мере на 92%, по меньшей мере на 93%, по меньшей мере на 94%, по меньшей мере на 95%, по меньшей мере на 96%, по меньшей мере на 97%, по меньшей мере на 98%, по меньшей мере на 99%, например, на 100%, идентична последовательности аминокислот, представленной в SEQ ID NO: 477, и VL, которая по меньшей мере на 80%, по меньшей мере на 85%, по меньшей мере на 90%, по меньшей мере на 91%, по меньшей мере на 92%, по меньшей мере на 93%, по меньшей мере на 94%, по меньшей мере на 95%, по меньшей мере на 96%, по меньшей мере на 97%, по меньшей мере на 98%, по меньшей мере на 99%, например, на 100%, идентична последовательности аминокислот, представленной в SEQ ID NO: 278, и содержат VH со следующими аминокислотами в указанных положениях (нумерация положений согласно Кабату): аспарагин в положении 28, аргинин в положении 30, тирозин в положении 32, гистидин в положении 72 и

тиrozin в положении 99 (например, аспарагин в положении 28, аргинин в положении 30, тирозин в положении 32, гистидин в положении 73 и тирозин в положении 98, причем положения аминокислот соответствуют таковым в SEQ ID NO: 477). В некоторых вариантах реализации антитело или его антигенсвязывающий фрагмент содержат области CDR VH и области CDR VL, имеющие последовательности, представленные в SEQ ID NO: 137, 138, 139, 140, 141 и 142, соответственно, и содержат VH, которая по меньшей мере на 80%, по меньшей мере на 85%, по меньшей мере на 90%, по меньшей мере на 91%, по меньшей мере на 92%, по меньшей мере на 93%, по меньшей мере на 94%, по меньшей мере на 95%, по меньшей мере на 96%, по меньшей мере на 97%, по меньшей мере на 98%, по меньшей мере на 99%, например, на 100%, идентична последовательности аминокислот, представленной в SEQ ID NO: 477, и VL, которая по меньшей мере на 80%, по меньшей мере на 85%, по меньшей мере на 90%, по меньшей мере на 91%, по меньшей мере на 92%, по меньшей мере на 93%, по меньшей мере на 94%, по меньшей мере на 95%, по меньшей мере на 96%, по меньшей мере на 97%, по меньшей мере на 98%, по меньшей мере на 99%, например, на 100%, идентична последовательности аминокислот, представленной в SEQ ID NO: 278, и содержат VH со следующими аминокислотами в указанных положениях (нумерация положений согласно Кабату): аспарагин в положении 28, аргинин в положении 30, тирозин в положении 32, гистидин в положении 72, фенилаланин в положении 74а и тирозин в положении 99 (например, аспарагин в положении 28, аргинин в положении 30, тирозин в положении 32, гистидин в положении 73, фенилаланин в положении 76 и тирозин в положении 98, причем положения аминокислот соответствуют таковым в SEQ ID NO: 477).

**[0010]** В некоторых вариантах реализации VL содержит одну или более (например, 1, 2, 3, 4, 5, 6, 7, 8, 9, 10) из следующих аминокислот в указанных положениях (нумерация положений согласно Кабату): аргинин в положении 18, лизин в положении 39, пролин в положении 40, треонин в положении 56, серин в положении 65, треонин в положении 72, серин в положении 76, серин в положении 77, треонин в положении 99, глицин в положении 99, аспарагин в положении 103, или изолейцин в положении 106. В других вариантах реализации VL содержит одну или более (например, 1, 2, 3, 4, 5, 6, 7, 8, 9, 10) из следующих аминокислот в указанных положениях (нумерация положений согласно Кабату): аргинин в положении 18, аланин в положении 19, серин в положении 65, треонин или

гистидин в положении 72, лизин в положении 74, серин в положении 76, серин в положении 77, фенилаланин в положении 98 или глицин в положении 99. В некоторых вариантах реализации VL содержит аланин в положении 19 (нумерация по Кабату). В других дополнительных вариантах реализации VH содержит одну или более из следующих аминокислот в указанных положениях (нумерация положений согласно Кабату): гистидин в положении 72, фенилаланин в положении 76 или фенилаланин в положении 74а. В других вариантах реализации VL содержит одну или более (например, 1, 2, 3, 4, 5, 6, 7, 8) из следующих аминокислот в указанных положениях (нумерация положений согласно Кабату): аргинин в положении 18, аланин в положении 19, серин в положении 65, треонин в положении 72, серин в положении 76, серин в положении 77, фенилаланин в положении 98 или глицин в положении 99. В некоторых вариантах реализации антитело или его антигенсвязывающий фрагмент содержат области CDR VH и области CDR VL, имеющие последовательности, представленные в SEQ ID NO: 137, 138, 139, 140, 141 и 142, соответственно, и содержат VH, которая по меньшей мере на 80%, по меньшей мере на 85%, по меньшей мере на 90%, по меньшей мере на 91%, по меньшей мере на 92%, по меньшей мере на 93%, по меньшей мере на 94%, по меньшей мере на 95%, по меньшей мере на 96%, по меньшей мере на 97%, по меньшей мере на 98%, по меньшей мере на 99%, например, на 100%, идентична последовательности аминокислот, представленной в SEQ ID NO: 477, и VL, которая по меньшей мере на 80%, по меньшей мере на 85%, по меньшей мере на 90%, по меньшей мере на 91%, по меньшей мере на 92%, по меньшей мере на 93%, по меньшей мере на 94%, по меньшей мере на 95%, по меньшей мере на 96%, по меньшей мере на 97%, по меньшей мере на 98%, по меньшей мере на 99%, например, на 100%, идентична последовательности аминокислот, представленной в SEQ ID NO: 278, и содержат VH со следующими аминокислотами в указанных положениях (нумерация положений согласно Кабату): аспарагин в положении 28, аргинин в положении 30, тирозин в положении 32, гистидин в положении 72, фенилаланин в положении 76, и фенилаланин в положении 74а, и тирозин в положении 99 (например, аспарагин в положении 28, аргинин в положении 30, тирозин в положении 32, гистидин в положении 73, фенилаланин в положении 76 и тирозин в положении 98, причем положения аминокислот соответствуют таковым в SEQ ID NO: 477). В некоторых вариантах реализации антитело или его антигенсвязывающий фрагмент содержат области CDR VH и области CDR VL, имеющие последовательности, представленные в SEQ ID NO: 137, 138, 139, 140,

141 и 142, соответственно, и содержат VH, которая по меньшей мере на 80%, по меньшей мере на 85%, по меньшей мере на 90%, по меньшей мере на 91%, по меньшей мере на 92%, по меньшей мере на 93%, по меньшей мере на 94%, по меньшей мере на 95%, по меньшей мере на 96%, по меньшей мере на 97%, по меньшей мере на 98%, по меньшей мере на 99%, например, на 100%, идентична последовательности аминокислот, представленной в SEQ ID NO: 477, и VL, которая по меньшей мере на 80%, по меньшей мере на 85%, по меньшей мере на 90%, по меньшей мере на 91%, по меньшей мере на 92%, по меньшей мере на 93%, по меньшей мере на 94%, по меньшей мере на 95%, по меньшей мере на 96%, по меньшей мере на 97%, по меньшей мере на 98%, по меньшей мере на 99%, например, на 100%, идентична последовательности аминокислот, представленной в SEQ ID NO: 278, и содержат VL с аланином в положении 19 (нумерация по Кабату). В некоторых вариантах реализации антитело или его антигенсвязывающий фрагмент содержат области CDR VH и области CDR VL, имеющие последовательности, представленные в SEQ ID NO: 137, 138, 139, 140, 141 и 142, соответственно, и содержат VH, которая по меньшей мере на 80%, по меньшей мере на 85%, по меньшей мере на 90%, по меньшей мере на 91%, по меньшей мере на 92%, по меньшей мере на 93%, по меньшей мере на 94%, по меньшей мере на 95%, по меньшей мере на 96%, по меньшей мере на 97%, по меньшей мере на 98%, по меньшей мере на 99%, например, на 100%, идентична последовательности аминокислот, представленной в SEQ ID NO: 477, и VL, которая по меньшей мере на 80%, по меньшей мере на 85%, по меньшей мере на 90%, по меньшей мере на 91%, по меньшей мере на 92%, по меньшей мере на 93%, по меньшей мере на 94%, по меньшей мере на 95%, по меньшей мере на 96%, по меньшей мере на 97%, по меньшей мере на 98%, по меньшей мере на 99%, например, на 100%, идентична последовательности аминокислот, представленной в SEQ ID NO: 278, и содержат VH со следующими аминокислотами в указанных положениях (нумерация положений согласно Кабату): аспарагин в положении 28, аргинин в положении 30, тирозин в положении 32, гистидин в положении 72, фенилаланин в положении 76, и фенилаланин в положении 74а, и тирозин в положении 99, и содержат VL со следующими аминокислотами в указанных положениях (нумерация положений согласно Кабату): аланин в положении 19.

**[0011]** В некоторых вариантах реализации VL содержит последовательность аминокислот, представленную в любой из последовательностей SEQ ID NO: 332 -

342. В некоторых случаях антитело содержит Fc-область IgG1 человека. В некоторых вариантах реализации Fc-область IgG1 человека представляет собой IgG1m17 (SEQ ID NO: 348).

**[0012]** Описанное выше антитело или его антигенсвязывающий фрагмент дополнительно содержат Fc-область IgG1 человека, содержащую (последние пронумерованы согласно нумерации EU): (i) аспарагиновую кислоту в положении 239, глутаминовую кислоту в положении 332, аланин в положении 236, лейцин в положении 330; (ii) аспарагиновую кислоту в положении 239, глутаминовую кислоту в положении 332, лейцин в положении 428 и серин в положении 434; (iii) аспарагиновую кислоту в положении 239, глутаминовую кислоту в положении 332, аланин в положении 236, лейцин в положении 428 и серин в положении 434; (iv) аспарагиновую кислоту в положении 239, глутаминовую кислоту в положении 332, лейцин в положении 330, лейцин в положении 428 и серин в положении 434; (v) аспарагиновую кислоту в положении 239, глутаминовую кислоту в положении 332, аланин в положении 236, лейцин в положении 330, лейцин в положении 428 и серин в положении 434; или (vi) лейцин в положении 243, пролин в положении 292, лейцин в положении 300, изолейцин в положении 305, лейцин в положении 396, лейцин в положении 428 и серин в положении 434. В некоторых вариантах реализации антитело или его антигенсвязывающий фрагмент дополнительно содержат Fc-область IgG1 человека, содержащую (последние пронумерованы согласно нумерации EU): аспарагиновую кислоту в положении 239, глутаминовую кислоту в положении 332, аланин в положении 236, лейцин в положении 330, лейцин в положении 428 и серин в положении 434. В некоторых вариантах реализации антитело или его антигенсвязывающий фрагмент содержат области CDR VH и области CDR VL, имеющие последовательности, представленные в SEQ ID NO: 137, 138, 139, 140, 141 и 142, соответственно и дополнительно содержат Fc-область IgG1 человека. В некоторых вариантах реализации антитело или его антигенсвязывающий фрагмент содержат области CDR VH и области CDR VL, имеющие последовательности, представленные в SEQ ID NO: 137, 138, 139, 140, 141 и 142, соответственно, и дополнительно содержат Fc-область IgG1 человека, содержащую (последние пронумерованы согласно нумерации EU): аспарагиновую кислоту в положении 239, глутаминовую кислоту в положении 332, аланин в положении 236, лейцин в положении 330, лейцин в положении 428 и серин в положении 434. В некоторых вариантах реализации антитело или его

антигенсвязывающий фрагмент содержат области CDR VH и области CDR VL, имеющие последовательности, представленные в SEQ ID NO: 137, 138, 139, 140, 141 и 142, соответственно, и содержат VH, которая по меньшей мере на 80%, по меньшей мере на 85%, по меньшей мере на 90%, по меньшей мере на 91%, по меньшей мере на 92%, по меньшей мере на 93%, по меньшей мере на 94%, по меньшей мере на 95%, по меньшей мере на 96%, по меньшей мере на 97%, по меньшей мере на 98%, по меньшей мере на 99%, например, на 100%, идентична последовательности аминокислот, представленной в SEQ ID NO: 477, и VL, которая по меньшей мере на 80%, по меньшей мере на 85%, по меньшей мере на 90%, по меньшей мере на 91%, по меньшей мере на 92%, по меньшей мере на 93%, по меньшей мере на 94%, по меньшей мере на 95%, по меньшей мере на 96%, по меньшей мере на 97%, по меньшей мере на 98%, по меньшей мере на 99%, например, на 100%, идентична последовательности аминокислот, представленной в SEQ ID NO: 278, и дополнительно содержат Fc-область IgG1 человека. В некоторых вариантах реализации антитело или его антигенсвязывающий фрагмент содержат области CDR VH и области CDR VL, имеющие последовательности, представленные в SEQ ID NO: 137, 138, 139, 140, 141 и 142, соответственно, и содержат VH, которая по меньшей мере на 80%, по меньшей мере на 85%, по меньшей мере на 90%, по меньшей мере на 91%, по меньшей мере на 92%, по меньшей мере на 93%, по меньшей мере на 94%, по меньшей мере на 95%, по меньшей мере на 96%, по меньшей мере на 97%, по меньшей мере на 98%, по меньшей мере на 99%, например, на 100%, идентична последовательности аминокислот, представленной в SEQ ID NO: 477, и VL, которая по меньшей мере на 80%, по меньшей мере на 85%, по меньшей мере на 90%, по меньшей мере на 91%, по меньшей мере на 92%, по меньшей мере на 93%, по меньшей мере на 94%, по меньшей мере на 95%, по меньшей мере на 96%, по меньшей мере на 97%, по меньшей мере на 98%, по меньшей мере на 99%, например, на 100%, идентична последовательности аминокислот, представленной в SEQ ID NO: 278, и дополнительно содержат Fc-область IgG1 человека, содержащую (положения пронумерованы согласно нумерации EU): аспарагиновую кислоту в положении 239, глутаминовую кислоту в положении 332, аланин в положении 236, лейцин в положении 330, лейцин в положении 428 и серин в положении 434.

**[0013]** В некоторых вариантах реализации антитело содержит константную область легкой цепи каппа человека. В некоторых случаях константная область

легкой цепи каппа человека представляет собой Km3 (SEQ ID NO: 351). В некотором варианте реализации константная область легкой цепи каппа человека представляет собой Km3 (SEQ ID NO: 351). В некоторых вариантах реализации антитело или его антигенсвязывающий фрагмент содержат области CDR VH и области CDR VL, имеющие последовательности, представленные в SEQ ID NO: 137, 138, 139, 140, 141 и 142, соответственно, и дополнительно содержат константную область легкой цепи каппа человека Km3 (SEQ ID NO: 351). В некоторых вариантах реализации антитело или его антигенсвязывающий фрагмент содержат области CDR VH и области CDR VL, имеющие последовательности, представленные в SEQ ID NO: 137, 138, 139, 140, 141 и 142, соответственно, и содержат VH, которая по меньшей мере на 80%, по меньшей мере на 85%, по меньшей мере на 90%, по меньшей мере на 91%, по меньшей мере на 92%, по меньшей мере на 93%, по меньшей мере на 94%, по меньшей мере на 95%, по меньшей мере на 96%, по меньшей мере на 97%, по меньшей мере на 98%, по меньшей мере на 99%, например, на 100%, идентична последовательности аминокислот, представленной в SEQ ID NO: 477, и VL, которая по меньшей мере на 80%, по меньшей мере на 85%, по меньшей мере на 90%, по меньшей мере на 91%, по меньшей мере на 92%, по меньшей мере на 93%, по меньшей мере на 94%, по меньшей мере на 95%, по меньшей мере на 96%, по меньшей мере на 97%, по меньшей мере на 98%, по меньшей мере на 99%, например, на 100%, идентична последовательности аминокислот, представленной в SEQ ID NO: 278, и дополнительно содержат константную область легкой цепи каппа человека Km3 (SEQ ID NO: 351). В некоторых вариантах реализации антитело или его антигенсвязывающий фрагмент содержат области CDR VH и области CDR VL, имеющие последовательности, представленные в SEQ ID NO: 137, 138, 139, 140, 141 и 142, соответственно, и содержат VH, которая по меньшей мере на 80%, по меньшей мере на 85%, по меньшей мере на 90%, по меньшей мере на 91%, по меньшей мере на 92%, по меньшей мере на 93%, по меньшей мере на 94%, по меньшей мере на 95%, по меньшей мере на 96%, по меньшей мере на 97%, по меньшей мере на 98%, по меньшей мере на 99%, например, на 100%, идентична последовательности аминокислот, представленной в SEQ ID NO: 477, и VL, которая по меньшей мере на 80%, по меньшей мере на 85%, по меньшей мере на 90%, по меньшей мере на 91%, по меньшей мере на 92%, по меньшей мере на 93%, по меньшей мере на 94%, по меньшей мере на 95%, по меньшей мере на 96%, по меньшей мере на 97%, по меньшей мере на 98%, по меньшей мере на 99%, например, на 100%, идентична последовательности аминокислот, представленной в SEQ ID NO: 477, и VL, которая по меньшей мере на 80%, по меньшей мере на 85%, по меньшей мере на 90%, по меньшей мере на 91%, по меньшей мере на 92%, по меньшей мере на 93%, по меньшей мере на 94%, по меньшей мере на 95%, по меньшей мере на 96%, по меньшей мере на 97%, по меньшей мере на 98%, по меньшей мере на 99%, по меньшей мере на 99%,

например, на 100%, идентична последовательности аминокислот, представленной в SEQ ID NO: 278, и дополнительно содержат Fc-область IgG1 человека, содержащую (положения пронумерованы согласно нумерации EU): аспарагиновую кислоту в положении 239, глутаминовую кислоту в положении 332, аланин в положении 236, лейцин в положении 330, лейцин в положении 428 и серин в положении 434, и константную область легкой цепи каппа человека Km3 (SEQ ID NO: 351).

**[0014]** В некоторых вариантах реализации указанное антитела или антигенсвязывающий фрагмент имеют улучшенное, продленное, увеличенное или повышенное время полужизни в сыворотке млекопитающего (например, отличного от человека примата, человека) по сравнению с другими антителами против ВИЧ, такими как антитело А. В некоторых вариантах реализации антитело или антигенсвязывающий фрагмент имеют время полужизни в сыворотке человека, которое составляет по меньшей мере приблизительно 3 суток, например, по меньшей мере приблизительно 4 суток, по меньшей мере приблизительно 5 суток, по меньшей мере приблизительно 6 суток, по меньшей мере приблизительно 7 суток, по меньшей мере приблизительно 8 суток, по меньшей мере приблизительно 9 суток, по меньшей мере приблизительно 10 суток, по меньшей мере приблизительно 12 суток, по меньшей мере приблизительно 14 суток, по меньшей мере приблизительно 16 суток, по меньшей мере приблизительно 18 суток, по меньшей мере приблизительно 20 суток, по меньшей мере приблизительно 21 сутки, по меньшей мере приблизительно 24 суток, по меньшей мере приблизительно 28 суток, по меньшей мере приблизительно 30 суток или больше. В некоторых вариантах реализации антитело или антигенсвязывающий фрагмент обладают улучшенной, усиленной или повышенной активностью уничтожения инфицированных ВИЧ клеток по сравнению с другими антителами против ВИЧ, такими как антитело А. В некоторых вариантах реализации антитело или его антигенсвязывающий фрагмент содержат области CDR VH и области CDR VL, имеющие последовательности, представленные в SEQ ID NO: 137, 138, 139, 140, 141 и 142, соответственно, и обладают улучшенным, продленным, увеличенным или повышенным временем полужизни в сыворотке млекопитающего (например, отличного от человека примата, человека) по сравнению с другими антителами против ВИЧ, такими как антитело А. В некоторых вариантах реализации антитело или его антигенсвязывающий фрагмент содержат области

CDR VH и области CDR VL, имеющие последовательности, представленные в SEQ ID NO: 137, 138, 139, 140, 141 и 142, соответственно, и обладают улучшенной, усиленной или повышенной активностью уничтожения инфицированных ВИЧ клеток по сравнению с другими антителами против ВИЧ, такими как антитело А.

**[0015]** В другом аспекте настоящего изобретения предложено антитело, которое связывается с гликопротеином gp120 оболочки ВИЧ-1. Указанное антитело содержит VH, содержащую области CDR 1 - 3 VH, и VL, содержащую области CDR 1 - 3 VL, причем области CDR 1 - 3 VH и области CDR 1 - 3 VL имеют последовательности, представленные в: SEQ ID NO: 137, 138, 139, 140, 141 и 142, соответственно; или последовательности SEQ ID NO: 153, 138, 154, 140, 141 и 142, соответственно. Антитело содержит Fc-область IgG1 человека, содержащую (положения пронумерованы согласно нумерации EU): (i) аспарагиновую кислоту в положении 239, глутаминовую кислоту в положении 332, аланин в положении 236, лейцин в положении 330; (ii) аспарагиновую кислоту в положении 239, глутаминовую кислоту в положении 332, лейцин в положении 428 и серин в положении 434; (iii) аспарагиновую кислоту в положении 239, глутаминовую кислоту в положении 332, аланин в положении 236, лейцин в положении 428 и серин в положении 434; (iv) аспарагиновую кислоту в положении 239, глутаминовую кислоту в положении 332, лейцин в положении 330, лейцин в положении 428 и серин в положении 434; (v) аспарагиновую кислоту в положении 239, глутаминовую кислоту в положении 332, аланин в положении 236, лейцин в положении 330, лейцин в положении 428 и серин в положении 434; или (vi) лейцин в положении 243, пролин в положении 292, лейцин в положении 300, изолейцин в положении 305, лейцин в положении 396, лейцин в положении 428 и серин в положении 434. В некоторых вариантах реализации антитело содержит VH, содержащую области CDR 1 - 3 VH, и VL, содержащую области CDR 1 - 3 VL, причем области CDR 1 - 3 VH и области CDR 1 - 3 VL имеют последовательности, представленные в: SEQ ID NO: 137, 138, 139, 140, 141 и 142, соответственно, причем антитело содержит Fc-область IgG1 человека, содержащую (положения пронумерованы согласно нумерации EU): аспарагиновую кислоту в положении 239, глутаминовую кислоту в положении 332, аланин в положении 236, лейцин в положении 330, лейцин в положении 428 и серин в положении 434.

**[0016]** В некоторых вариантах реализации антитело содержит легкую цепь, содержащую аланин в положении 19 (нумерация по Кабату). В некоторых

вариантах реализации антитело содержит в каркасной области 3 (FR3) VH в положениях, соответствующих 74a, 74b, 74c и 74d (нумерация по Кабату), последовательность аминокислот, представленную в SEQ ID NO: 453 или SEQ ID NO: 627. В некоторых вариантах реализации антитело содержит в каркасной области 3 (FR3) VH в положениях, соответствующих 74a, 74b, 74c и 74d (нумерация по Кабату), последовательность аминокислот, представленную в SEQ ID NO: 627. В некоторых вариантах реализации антитело содержит FR3 VH, содержащую следующую последовательность аминокислот: RVSLTRHASWDFDTSFYMDLKALRSDDTAVYFCAR (SEQ ID NO: 628) или RVSLTRHASFDFDTSFYMDLKALRSDDTAVYFCAR (SEQ ID NO: 629). В некоторых вариантах реализации антитело содержит FR3 VH, содержащую следующую последовательность аминокислот: RVSLTRHASFDFDTSFYMDLKALRSDDTAVYFCAR (SEQ ID NO: 629). В некоторых вариантах реализации антитело содержит последовательность аминокислот, представленную в любой из последовательностей SEQ ID NO: 332 - 342. В некоторых случаях антитело содержит VH и VL с последовательностью аминокислот, представленной в SEQ ID NO: 182 и 223, соответственно. В некоторых случаях антитело содержит VH и VL с последовательностью аминокислот, представленной в SEQ ID NO: 220 и 276, соответственно. В некоторых вариантах реализации антитело содержит VH и VL с последовательностью аминокислот, представленной в SEQ ID NO: 477 и 278, соответственно. В других вариантах реализации Fc-область IgG1 человека представляет собой IgG1m17 (SEQ ID NO: 348). В некоторых вариантах реализации антитело содержит константную область легкой цепи каппа человека. В некоторых случаях константная область легкой цепи каппа человека представляет собой Km3 (SEQ ID NO: 351).

[0017] В некоторых вариантах реализации указанное антитело или антигенсвязывающий фрагмент имеют улучшенное, продленное, увеличенное или повышенное время полужизни в сыворотке млекопитающего (например, отличного от человека примата, человека) по сравнению с другими антителами против ВИЧ, такими как антитело А и/или антитело В. В некоторых вариантах реализации антитело или антигенсвязывающей фрагмент имеют время полужизни в сыворотке человека, которое составляет по меньшей мере приблизительно 3 суток, например, по меньшей мере приблизительно 4 суток, по

меньшей мере приблизительно 5 суток, по меньшей мере приблизительно 6 суток, по меньшей мере приблизительно 7 суток, по меньшей мере приблизительно 8 суток, по меньшей мере приблизительно 9 суток, по меньшей мере приблизительно 10 суток, по меньшей мере приблизительно 12 суток, по меньшей мере приблизительно 14 суток, по меньшей мере приблизительно 16 суток, по меньшей мере приблизительно 18 суток, по меньшей мере приблизительно 20 суток, по меньшей мере приблизительно 21 сутки, по меньшей мере приблизительно 24 суток, по меньшей мере приблизительно 28 суток, по меньшей мере приблизительно 30 суток или больше. В некоторых вариантах реализации антитело обладает улучшенной, усиленной или повышенной активностью уничтожения инфицированных ВИЧ клеток по сравнению с другими антителами против ВИЧ, такими как антитело А и/или антитело В. В некоторых вариантах реализации антитело или его антигенсвязывающий фрагмент содержат области CDR VH и области CDR VL, имеющие последовательности, представленные в SEQ ID NO: 137, 138, 139, 140, 141 и 142, соответственно, причем антитело содержит Fc-область IgG1 человека, содержащую (последовательности пронумерованы согласно нумерации EU): лейцин в положении 428 и серин в положении 434, и обладает улучшенным, продленным, увеличенным или повышенным временем полужизни в сыворотке млекопитающего (например, отличного от человека примата, человека) по сравнению с другими антителами против ВИЧ, такими как антитело А и/или антитело В. В некоторых вариантах реализации антитело или его антигенсвязывающий фрагмент содержат области CDR VH и области CDR VL, имеющие последовательности, представленные в SEQ ID NO: 137, 138, 139, 140, 141 и 142, соответственно, причем антитело содержит Fc-область IgG1 человека, содержащую (последовательности пронумерованы согласно нумерации EU): аспарагиновую кислоту в положении 239, глутаминовую кислоту в положении 332, аланин в положении 236, лейцин в положении 330, и обладают улучшенной, усиленной или повышенной активностью уничтожения инфицированных ВИЧ клеток по сравнению с другими антителами против ВИЧ, такими как антитело А и/или антитело В.

**[0018]** В другом дополнительном аспекте настоящего изобретения предложено антитело или его антигенсвязывающий фрагмент, содержащие вариабельную область тяжелой цепи (VH) и вариабельную область легкой цепи (VL), причем VH и VL содержат последовательности аминокислот, представленные далее









466 и 497; (213) последовательности SEQ ID NO: 182 и 498; (214) последовательности SEQ ID NO: 182 и 499; (215) последовательности SEQ ID NO: 465 и 499; (216) последовательности SEQ ID NO: 466 и 499; (217) последовательности SEQ ID NO: 182 и 500; (218) последовательности SEQ ID NO: 182 и 501; (219) последовательности SEQ ID NO: 465 и 501; (220) последовательности SEQ ID NO: 466 и 501; (221) последовательности SEQ ID NO: 182 и 502; (222) последовательности SEQ ID NO: 182 и 503; (223) последовательности SEQ ID NO: 182 и 504; (224) последовательности SEQ ID NO: 182 и 505; (225) последовательности SEQ ID NO: 182 и 506; (226) последовательности SEQ ID NO: 182 и 507; (227) последовательности SEQ ID NO: 182 и 508; (228) последовательности SEQ ID NO: 182 и 509; (229) последовательности SEQ ID NO: 182 и 510; (230) последовательности SEQ ID NO: 182 и 511; (231) последовательности SEQ ID NO: 182 и 512; (232) последовательности SEQ ID NO: 182 и 513; (233) последовательности SEQ ID NO: 182 и 514; (234) последовательности SEQ ID NO: 182 и 515; (235) последовательности SEQ ID NO: 467 и 223; (236) последовательности SEQ ID NO: 468 и 223; (237) последовательности SEQ ID NO: 469 и 223; (238) последовательности SEQ ID NO: 470 и 223; (239) последовательности SEQ ID NO: 471 и 223; (240) последовательности SEQ ID NO: 472 и 223; (241) последовательности SEQ ID NO: 473 и 223; (242) последовательности SEQ ID NO: 474 и 223; (243) последовательности SEQ ID NO: 475 и 223; (244) последовательности SEQ ID NO: 476 и 223; (245) последовательности SEQ ID NO: 182 и 516; (246) последовательности SEQ ID NO: 182 и 276; (247) последовательности SEQ ID NO: 182 и 569; (248) последовательности SEQ ID NO: 477 и 223; (249) последовательности SEQ ID NO: 477 и 278; (250) последовательности SEQ ID NO: 477 и 292 или (251) последовательности SEQ ID NO: 478 и 276.

**[0019]** В некоторых вариантах реализации VH и VL содержат последовательности аминокислот, представленные в последовательностях SEQ ID NO: 182 и 275, соответственно. В других вариантах реализации VH и VL содержат последовательность аминокислот, представленные в последовательностях SEQ ID NO: 182 и 278, соответственно. В некоторых вариантах реализации VH и VL содержат последовательность аминокислот, представленные в последовательностях SEQ ID NO: 182 и 223, соответственно. В других вариантах

**[0020]** В некоторых вариантах реализации антитело или его антигенсвязывающий фрагмент содержат VH, которая по меньшей мере на 80%, по меньшей мере на

85%, по меньшей мере на 90%, по меньшей мере на 91%, по меньшей мере на 92%, по меньшей мере на 93%, по меньшей мере на 94%, по меньшей мере на 95%, по меньшей мере на 96%, по меньшей мере на 97%, по меньшей мере на 98%, по меньшей мере на 99% или на 100% идентична последовательности аминокислот, выбранной из группы, состоящей из последовательностей SEQ ID NO: 181 - 221 и 465 - 478, и VL, которая по меньшей мере на 80%, по меньшей мере на 85%, по меньшей мере на 90%, по меньшей мере на 91%, по меньшей мере на 92%, по меньшей мере на 93%, по меньшей мере на 94%, по меньшей мере на 95%, по меньшей мере на 96%, по меньшей мере на 97%, по меньшей мере на 98%, по меньшей мере на 99% или на 100% идентична последовательности аминокислот, выбранной из группы, состоящей из последовательностей SEQ ID NO: 222 - 311, 479 - 516 и 569. В некоторых вариантах реализации антитело или его антигенсвязывающий фрагмент содержит VH, которая по меньшей мере на 80%, по меньшей мере на 85%, по меньшей мере на 90%, по меньшей мере на 91%, по меньшей мере на 92%, по меньшей мере на 93%, по меньшей мере на 94%, по меньшей мере на 95%, по меньшей мере на 96%, по меньшей мере на 97%, по меньшей мере на 98%, по меньшей мере на 99%, например, на 100%, идентична последовательности аминокислот, представленной в SEQ ID NO: 477, и VL, которая по меньшей мере на 80%, по меньшей мере на 85%, по меньшей мере на 90%, по меньшей мере на 91%, по меньшей мере на 92%, по меньшей мере на 93%, по меньшей мере на 94%, по меньшей мере на 95%, по меньшей мере на 96%, по меньшей мере на 97%, по меньшей мере на 98%, по меньшей мере на 99%, например, на 100%, идентична последовательности аминокислот, представленной в SEQ ID NO: 278.

**[0021]** В некоторых вариантах реализации антитело дополнительно содержит Fc-область IgG1 человека. В некоторых случаях Fc-область IgG1 человека представляет собой IgG1m17 (SEQ ID NO: 348). В некоторых вариантах реализации антитело содержит Fc-область IgG1 человека, содержащую (положения пронумерованы согласно нумерации EU): (i) аспарагиновую кислоту в положении 239, глутаминовую кислоту в положении 332, аланин в положении 236, лейцин в положении 330; (ii) аспарагиновую кислоту в положении 239, глутаминовую кислоту в положении 332, лейцин в положении 428 и серин в положении 434; (iii) аспарагиновую кислоту в положении 239, глутаминовую кислоту в положении 332, аланин в положении 236, лейцин в положении 428 и серин в положении 434; (iv)

аспарагиновую кислоту в положении 239, глутаминовую кислоту в положении 332, лейцин в положении 330, лейцин в положении 428 и серин в положении 434; (v) аспарагиновую кислоту в положении 239, глутаминовую кислоту в положении 332, аланин в положении 236, лейцин в положении 330, лейцин в положении 428 и серин в положении 434 или (vi) лейцин в положении 243, пролин в положении 292, лейцин в положении 300, изолейцин в положении 305, лейцин в положении 396, лейцин в положении 428 и серин в положении 434. В некоторых вариантах реализации антитело содержит константную область легкой цепи каппа человека. В некоторых случаях константная область легкой цепи каппа человека представляет собой Km3 (SEQ ID NO: 351).

**[0022]** В некоторых вариантах реализации у указанного антитела или антигенсвязывающего фрагмента улучшенное, продленное, увеличенное или повышенное время полужизни в сыворотке млекопитающего (например, отличного от человека примата, человека) по сравнению с другими антителами против ВИЧ, такими как антитело А и/или антитело В. В некоторых вариантах реализации у антитела или антигенсвязывающего фрагмента время полужизни в сыворотке человека составляет по меньшей мере приблизительно 3 суток, например, по меньшей мере приблизительно 4 суток, по меньшей мере приблизительно 5 суток, по меньшей мере приблизительно 6 суток, по меньшей мере приблизительно 7 суток, по меньшей мере приблизительно 8 суток, по меньшей мере приблизительно 9 суток, по меньшей мере приблизительно 10 суток, по меньшей мере приблизительно 12 суток, по меньшей мере приблизительно 14 суток, по меньшей мере приблизительно 16 суток, по меньшей мере приблизительно 18 суток, по меньшей мере приблизительно 20 суток, по меньшей мере приблизительно 21 сутки, по меньшей мере приблизительно 24 суток, по меньшей мере приблизительно 28 суток, по меньшей мере приблизительно 30 суток или больше. В некоторых вариантах реализации антитело или антигенсвязывающий фрагмент обладает улучшенной, усиленной или повышенной активностью уничтожения инфицированных ВИЧ клеток по сравнению с другими антителами против ВИЧ, такими как антитело А и/или антитело В.

**[0023]** В другом аспекте настоящего изобретения предложено антитело, содержащее тяжелую цепь и легкую цепь, причем указанная тяжелая цепь и указанная легкая цепь содержат любую из последовательностей аминокислот, представленных в таблице X и XI, соответственно.



соответственно. В некоторых вариантах реализации тяжелая цепь и легкая цепь имеют последовательность аминокислот, представленную в последовательностях SEQ ID NO: 529 и 117, соответственно. В некоторых вариантах реализации тяжелая цепь и легкая цепь имеют последовательность аминокислот, представленную в последовательностях SEQ ID NO: 530 и 101, соответственно. В некоторых вариантах реализации антитела содержит тяжелую цепь (HC), которая по меньшей мере на 80%, по меньшей мере на 85%, по меньшей мере на 90%, по меньшей мере на 91%, по меньшей мере на 92%, по меньшей мере на 93%, по меньшей мере на 94%, по меньшей мере на 95%, по меньшей мере на 96%, по меньшей мере на 97%, по меньшей мере на 98%, по меньшей мере на 99% или на 100% идентична последовательности аминокислот, выбранной из группы, состоящей из последовательностей SEQ ID NO: 1 - 47 и 517 - 530, и легкую цепь (LC), которая по меньшей мере на 80%, по меньшей мере на 85%, по меньшей мере на 90%, по меньшей мере на 91%, по меньшей мере на 92%, по меньшей мере на 93%, по меньшей мере на 94%, по меньшей мере на 95%, по меньшей мере на 96%, по меньшей мере на 97%, по меньшей мере на 98%, по меньшей мере на 99% или на 100% идентична последовательности аминокислот, выбранной из группы, состоящей из последовательностей SEQ ID NO: 48 - 136 и 531 - 567. В некоторых вариантах реализации антитела содержит тяжелую цепь (HC), которая по меньшей мере на 80%, по меньшей мере на 85%, по меньшей мере на 90%, по меньшей мере на 91%, по меньшей мере на 92%, по меньшей мере на 93%, по меньшей мере на 94%, по меньшей мере на 95%, по меньшей мере на 96%, по меньшей мере на 97%, по меньшей мере на 98%, по меньшей мере на 99%, например, на 100%, идентична последовательности аминокислот, представленной в SEQ ID NO: 529, и легкую цепь (LC), которая по меньшей мере на 80%, по меньшей мере на 85%, по меньшей мере на 90%, по меньшей мере на 91%, по меньшей мере на 92%, по меньшей мере на 93%, по меньшей мере на 94%, по меньшей мере на 95%, по меньшей мере на 96%, по меньшей мере на 97%, по меньшей мере на 98%, по меньшей мере на 99%, например, на 100%, идентична последовательности аминокислот, представленной в SEQ ID NO: 103. В некоторых вариантах реализации по меньшей мере 50%, по меньшей мере 60%, по меньшей мере 70%, по меньшей мере 80%, по меньшей мере на 85%, по меньшей мере на 90% или более сайтов N-связанного гликозилирования в VL сиалирированы. В некоторых вариантах реализации в сайтах N-связанного гликозилирования в VL занятость сиаловой кислотой (например, гликана, содержащего один или два остатка сиаловой кислоты на

конце) составляет по меньшей мере 40%, по меньшей мере 50%, по меньшей мере 60%, по меньшей мере 70%, по меньшей мере 80%, по меньшей мере 85%, по меньшей мере 90% или более.

[0025] В сходном аспекте предложено антитело или его антигенсвязывающий фрагмент, который связывается с гликопротеином gp120 оболочки вируса иммунодефицита человека-1 (ВИЧ-1), указанное антитело или его антигенсвязывающий фрагмент содержит (i) вариабельную область тяжелой цепи (VH), содержащую определяющие комплементарность области 1 - 3 VH (CDR 1 - 3), и (ii) вариабельную область легкой цепи (VL), содержащую области CDR 1 - 3 VL, причем области CDR 1 - 3 VH и области CDR 1 - 3 VL имеют последовательности, представленные в: (i) последовательностях SEQ ID NO: 159, 138, 139, 140, 141 и 142, соответственно; (ii) последовательностях SEQ ID NO: 137, 160, 139, 140, 141 и 142, соответственно; (iii) последовательностях SEQ ID NO: 137, 161, 139, 140, 141 и 142, соответственно; (iv) последовательностях SEQ ID NO: 137, 162, 139, 140, 141 и 142, соответственно; (v) последовательностях SEQ ID NO: 137, 163, 139, 140, 141 и 142, соответственно; (vi) последовательностях SEQ ID NO: 137, 138, 164, 140, 141 и 142, соответственно; (vii) последовательностях SEQ ID NO: 159, 138, 164, 140, 141 и 142, соответственно; (viii) последовательностях SEQ ID NO: 137, 138, 139, 140, 165 и 142, соответственно; (ix) последовательностях SEQ ID NO: 137, 138, 139, 140, 166 и 142, соответственно; (x) последовательностях SEQ ID NO: 137, 138, 139, 140, 167 и 142, соответственно; (xi) последовательностях SEQ ID NO: 137, 138, 139, 140, 168 и 142, соответственно; (xii) последовательностях SEQ ID NO: 137, 138, 154, 140, 141 и 142, соответственно, или (xiii) последовательностях SEQ ID NO: 137, 138, 139, 140, 141 и 142, соответственно, и причем по меньшей мере 50%, по меньшей мере 60%, по меньшей мере 70%, по меньшей мере 80%, по меньшей мере 85%, по меньшей мере 90% или более сайтов N-связанного гликозилирования в VL сиалирированы. В некоторых вариантах реализации предложено антитело или его антигенсвязывающий фрагмент, который связывается с гликопротеином gp120 оболочки вируса иммунодефицита человека-1 (ВИЧ-1), указанное антитело или его антигенсвязывающий фрагмент содержит (i) вариабельную область тяжелой цепи (VH), содержащую определяющие комплементарность области 1 - 3 VH (CDR 1 - 3), и (ii) вариабельную область легкой цепи (VL), содержащую области CDR 1 - 3 VL, причем области CDR 1 - 3 VH и области CDR 1 - 3 VL имеют

последовательности, представленные в: SEQ ID NO: 137, 138, 139, 140, 141 и 142, соответственно, и причем по меньшей мере 50%, по меньшей мере 60%, по меньшей мере 70%, по меньшей мере 80%, по меньшей мере 85%, по меньшей мере 90% или более сайтов N-связанного гликозилирования в VL сиалирированы. В некоторых вариантах реализации предложено антитело или его антигенсвязывающий фрагмент, который связывается с гликопротеином gp120 оболочки вируса иммунодефицита человека-1 (ВИЧ-1), указанное антитело или его антигенсвязывающий фрагмент содержит (i) вариабельную область тяжелой цепи (VH), содержащую определяющие комплементарность области 1 - 3 VH (CDR 1 - 3), и (ii) вариабельную область легкой цепи (VL), содержащую области CDR 1 - 3 VL, причем области CDR 1 - 3 VH и области CDR 1 - 3 VL имеют последовательности, представленные в: SEQ ID NO: 137, 138, 139, 140, 141 и 142, соответственно, причем содержат VH со следующими аминокислотами в указанных положениях (нумерация положений согласно Кабату): аспарагин в положении 28, аргинин в положении 30, тирозин в положении 32, гистидин в положении 72, фенилаланин в положении 76, и фенилаланин в положении 74а и тирозин в положении 99 (например, аспарагин в положении 28, аргинин в положении 30, тирозин в положении 32, гистидин в положении 73, фенилаланин в положении 76 и тирозин в положении 98, причем положения аминокислот соответствуют таковым в SEQ ID NO: 477), и причем по меньшей мере 50%, по меньшей мере 60%, по меньшей мере 70%, по меньшей мере 80%, по меньшей мере 85%, по меньшей мере 90% или более сайтов N-связанного гликозилирования в VL сиалирированы. В некоторых вариантах реализации в сайтах N-связанного гликозилирования в VL занятость сиаловой кислотой (например, одним или двумя концевыми остатками сиаловой кислоты) составляет по меньшей мере 40%, по меньшей мере 50%, по меньшей мере 60%, по меньшей мере 70%, по меньшей мере 80%, по меньшей мере 85%, по меньшей мере 90% или более. В некоторых вариантах реализации аспарагин в VL в положении аминокислоты 72 согласно нумерации по Кабату (N72) сиалирирован. В некоторых вариантах реализации сиалирированные сайты N-связанного гликозилирования в VL содержат от 1 до 5 остатков сиаловой кислоты, например, от 1 до 4 остатков сиаловой кислоты, например, от 1 до 3 остатков сиаловой кислоты, например, от 1 до 2 остатков сиаловой кислоты. В некоторых вариантах реализации VL сиалирированы N-ацетилнейраминовой кислотой (НАНК). В некоторых вариантах реализации остатки сиаловой кислоты присутствуют в двухантенных структурах. В некоторых

вариантах реализации остатки сиаловой кислоты присутствуют в сложных структурах N-связанных гликанов. В некоторых вариантах реализации остатки сиаловой кислоты присутствуют в гибридных структурах N-связанных гликанов.

**[0026]** В дополнительном аспекте предложено биспецифическое антитело, содержащее: первое антигенсвязывающее плечо, которое связывается с gp120, указанное первое антигенсвязывающее плечо содержит: (i) области CDR 1 - 3 VH и области CDR 1 - 3 VL или (ii) VH и VL по любому из пунктов 1 - 63; и второе антигенсвязывающее плечо, связывающееся со вторым антигеном. В некоторых вариантах реализации предложено биспецифическое антитело, содержащее: первое антигенсвязывающее плечо, которое связывается с gp120, указанное первое антигенсвязывающее плечо содержит области CDR 1 - 3 VH и области CDR 1 - 3 VL, представленные в последовательностях SEQ ID NO: 137, 138, 139, 140, 141 и 142, соответственно, и второе антигенсвязывающее плечо, связывающееся со вторым антигеном. В некоторых вариантах реализации предложено биспецифическое антитело, содержащее: первое антигенсвязывающее плечо, которое связывается с gp120, указанное первое антигенсвязывающее плечо содержит VH и VL, содержащие последовательности аминокислот, представленные в SEQ ID NO: 477 и 278, соответственно, и второе антигенсвязывающее плечо, связывающееся со вторым антигеном. В некоторых вариантах реализации второй антиген выбран из группы, состоящей из: CD3, Fc $\gamma$ RI (CD64), Fc $\gamma$ RII (CD32), Fc $\gamma$ RIII (CD16); CD89, CCR5, CD4, gp41, иммуноглобулин-подобного рецептора клеток-киллеров с тремя доменами Ig и длинным цитоплазматическим хвостом 1 (KIR3DL1), иммуноглобулин-подобного рецептора клеток-киллеров с тремя доменами Ig и длинным цитоплазматическим хвостом 1 (KIR3DL1), иммуноглобулин-подобного рецептора клеток-киллеров с двумя доменами Ig и длинным цитоплазматическим хвостом 1 (KIR2DL1), иммуноглобулин-подобного рецептора клеток-киллеров с двумя доменами Ig и длинным цитоплазматическим хвостом 2 (KIR2DL2), иммуноглобулин-подобного рецептора клеток-киллеров с двумя доменами Ig и длинным цитоплазматическим хвостом 3 (KIR2DL3), лектин-подобного рецептора C1 клеток-киллеров (KLRC1), лектин-подобного рецептора C2 клеток-киллеров (KLRC2), лектин-подобного рецептора C3 клеток-киллеров (KLRC3), лектин-подобного рецептора C4 клеток-киллеров (KLRC4), лектин-подобного рецептора D1 клеток-киллеров (KLRD1), лектин-подобного рецептора K1 клеток-киллеров (KLRK1), запускающего

естественную цитотоксичность рецептора 3 (NCR3 или NKp30), запускающего естественную цитотоксичность рецептора 2 (NCR2 или NK-p44), запускающего естественную цитотоксичность рецептора 1 (NCR1 или NK-p46), CD226 (DNAM-1), молекулы цитотоксических и регуляторных Т-клеток (CRTAM или CD355), представителя 1 семейства сигнальных молекул активации лимфоцитов (SLAMF1), CD48 (SLAMF2), антигена лимфоцитов 9 (LY9 или SLAMF3), CD244 (2B4 или SLAMF4), CD84 (SLAMF5), представителя 6 семейства SLAM (SLAMF6 или NTB-A), представителя 7 семейства SLAM (SLAMF7 или CRACC), CD27 (TNFRSF7), семафорина 4D (SEMA4D или CD100) и CD160 (NK1), и второго эпитопа gp120.

[0027] В настоящем изобретении также предложена фармацевтическая композиция, содержащая антитело или антигенсвязывающий фрагмент, описанный в данной заявке, и фармацевтически приемлемый носитель.

[0028] В некоторых вариантах реализации фармацевтическая композиция дополнительно содержит второй агент (например, один или более дополнительных агентов) для лечения ВИЧ-инфекции. В некоторых случаях фармацевтическая композиция дополнительно содержит обращающие латентность агенты (LRA) или иммуностимулирующий агент, например, агонист Toll-подобного рецептора (TLR), например, агонист TLR1, TLR2, TLR3, TLR4, TLR5, TLR6, TLR7, TLR8, TLR9 и/или TLR10. В некоторых вариантах реализации LRA представляет собой агонист TLR7 или агонист TLR8. В некоторых случаях агонист TLR7 выбран из группы, состоящей из весатолимода, имихимода и резиквимода. В некоторых вариантах реализации фармацевтическая композиция дополнительно содержит антитело или антигенсвязывающий фрагмент антитела, которое связывает, ингибирует и/или нейтрализует ВИЧ. В некоторых вариантах реализации фармацевтическая композиция дополнительно содержит второе антитело или антигенсвязывающий фрагмент антитела, которое связывает, ингибирует и/или нейтрализует ВИЧ, причем второе антитело или его антигенсвязывающий фрагмент не конкурируют с антителом или антигенсвязывающим фрагментом, описанным в данной заявке, за связывание с gp120. В некоторых вариантах реализации второе антитело или антигенсвязывающий фрагмент антитела, которое связывает, ингибирует и/или нейтрализует ВИЧ, содержат вариабельные домены VH и VL нейтрализующего антитела широкого спектра действия (bNAb) против ВИЧ или конкурирует с ними. В некоторых вариантах реализации второе антитело или антигенсвязывающий фрагмент антитела, которое связывает, ингибирует

и/или нейтрализует ВИЧ, связываются с эпитопом или участком gp120, выбранным из группы, состоящей из: (i) третьей вариабельной петли (V3) и/или области с высоким содержанием маннозы, содержащей гликан олигоманнозного типа в положении N332; (ii) второй вариабельной петли (V2) и/или верхушки тримера Env; (iii) стыка gp120 и gp41 или (iv) безмолвной поверхности gp120. В некоторых вариантах реализации второе антитело или антигенсвязывающий фрагмент антитела, которое связывает, ингибитирует и/или нейтрализует ВИЧ, связываются с эпитопом или участком gp120 в третьей вариабельной петле (V3) и/или области с высоким содержанием маннозы, содержащей гликан олигоманнозного типа в положении N332, и содержат области VH и VL из антитела, выбранного из группы, состоящей из GS-9722, PGT-121.60, PGT-121.66, PGT-121, PGT-122, PGT-123, PGT-124, PGT-125, PGT-126, PGT-128, PGT-130, PGT-133, PGT-134, PGT-135, PGT-136, PGT-137, PGT-138, PGT-139, 10-1074, VRC24, 2G12, BG18, 354BG8, 354BG18, 354BG42, 354BG33, 354BG129, 354BG188, 354BG411, 354BG426, DH270.1, DH270.6, PGDM12, VRC41.01, PGDM21, PCDN-33A, BF520.1 и VRC29.03, или конкурируют с ними. В некоторых вариантах реализации второе антитело или антигенсвязывающий фрагмент антитела, которое связывает, ингибитирует и/или нейтрализует ВИЧ, связываются с эпитопом или участком gp120 во второй вариабельной петле (V2) и/или верхушке тримера Env, и содержит области VH и VL из антитела, выбранного из группы, состоящей из PG9, PG16, PGC14, PGG14, PGT-142, PGT-143, PGT-144, PGT-145, CH01, CH59, PGDM1400, CAP256, CAP256-VRC26.08, CAP256-VRC26.09, CAP256-VRC26.25, PCT64-24E и VRC38.01, или конкурируют с ними. В некоторых вариантах реализации второе антитело или антигенсвязывающий фрагмент связываются с эпитопом или участком gp120 на стыке gp120 и gp41, и содержат области VH и VL из антитела, выбранного из группы, состоящей из PGT-151, CAP248-2B, 35O22, 8ANC195, ACS202, VRC34 и VRC34.01, или конкурируют с ними. В некоторых вариантах реализации второе антитело или антигенсвязывающий фрагмент антитела, которое связывает, ингибитирует и/или нейтрализует ВИЧ, связываются с эпитопом или участком безмолвной поверхности gp120, и содержат области VH и VL из антитела, выбранного из группы, состоящей из VRC-PG05 и SF12, или конкурируют с ними. В некоторых вариантах реализации второе антитело или антигенсвязывающий фрагмент антитела, которое связывает, ингибитирует и/или нейтрализует ВИЧ, связывается с эпитопом или участком gp41 в окломембранном регионе (MPER). В некоторых вариантах реализации второе антитело или

антигенсвязывающий фрагмент антитела, которое связывает, ингибитирует и/или нейтрализует ВИЧ, связываются с эпитопом или участком gp41 в окломембранном регионе (MPER), и содержат области VH и VL из антитела, выбранного из группы, состоящей из 10E8, 10E8v4, 10E8-5R-100cF, 4E10, DH511.11P, 2F5, 7b2 и LN01, или конкурируют с ними. В некоторых вариантах реализации второе антитело или антigenсвязывающий фрагмент антитела, которое связывает, ингибитирует и/или нейтрализует ВИЧ, связываются с эпитопом или участком пептида слияния gp41 и содержат области VH и VL из антитела, выбранного из группы, состоящей из VRC34 и ACS202, или конкурируют с ними. В некоторых вариантах реализации второе антитело или антigenсвязывающий фрагмент антитела, которое связывает, ингибитирует и/или нейтрализует ВИЧ, содержат VH и VL из PGT121.60 или PGT121.66. В некоторых случаях антитело или антigenсвязывающий фрагмент антитела, которое связывает, ингибитирует и/или нейтрализует ВИЧ, содержит VH и VL с последовательностью SEQ ID NO: 443 и/или SEQ ID NO: 447. В других случаях антитело или антigenсвязывающий фрагмент антитела, которое связывает, ингибитирует и/или нейтрализует ВИЧ, содержит VH в составе SEQ ID NO: 454 и VL в составе SEQ ID NO: 455. В других дополнительных случаях антитело или антigenсвязывающий фрагмент антитела, которое связывает, ингибитирует и/или нейтрализует ВИЧ, содержит VH в составе SEQ ID NO: 454 и VL в составе SEQ ID NO: 456.

**[0029]** В другом аспекте настоящего изобретения предложены нуклеиновые кислоты, нуклеотиды или полинуклеотиды, кодирующие антитело или антigenсвязывающий фрагмент, описанные в данной заявке. В некоторых вариантах реализации нуклеиновая кислота или нуклеиновые кислоты включают ДНК, кДНК или мРНК. В некоторых вариантах реализации нуклеиновая кислота или нуклеиновые кислоты кодируют VH, выбранную из группы, состоящей из последовательностей SEQ ID NO: 181 - 221 и 465 - 478, и идентичную по меньшей мере на 80%, по меньшей мере на 85%, по меньшей мере на 90%, по меньшей мере на 91%, по меньшей мере на 92%, по меньшей мере на 93%, по меньшей мере на 94%, по меньшей мере на 95%, по меньшей мере на 96%, по меньшей мере на 97%, по меньшей мере на 98%, по меньшей мере на 99% или на 100%, последовательности нуклеиновой кислоты, выбранной из группы, состоящей из последовательности SEQ ID NO: 572 - 581; и кодируют VL, выбранную из группы, состоящей из последовательностей SEQ ID NO: 222 - 311, 479 - 516 и 569, и

идентичную по меньшей мере на 80%, по меньшей мере на 85%, по меньшей мере на 90%, по меньшей мере на 91%, по меньшей мере на 92%, по меньшей мере на 93%, по меньшей мере на 94%, по меньшей мере на 95%, по меньшей мере на 96%, по меньшей мере на 97%, по меньшей мере на 98%, по меньшей мере на 99% или на 100% последовательности нуклеиновой кислоты, выбранной из группы, состоящей из последовательности SEQ ID NO: 582 - 595. В некоторых вариантах реализации нуклеиновая кислота или нуклеиновые кислоты кодируют HC, выбранную из группы, состоящей из последовательности SEQ ID NO: 1 - 47 и 517 - 530, и идентичную по меньшей мере на 80%, по меньшей мере на 85%, по меньшей мере на 90%, по меньшей мере на 91%, по меньшей мере на 92%, по меньшей мере на 93%, по меньшей мере на 94%, по меньшей мере на 95%, по меньшей мере на 96%, по меньшей мере на 97%, по меньшей мере на 98%, по меньшей мере на 99% или на 100% последовательности нуклеиновой кислоты, выбранной из группы, состоящей из последовательностей SEQ ID NO: 596 - 605; и кодируют LC, выбранную из группы, состоящей из последовательностей SEQ ID NO: 48 - 136 и 531-567, и идентичную по меньшей мере на 80%, по меньшей мере на 85%, по меньшей мере на 90%, по меньшей мере на 91%, по меньшей мере на 92%, по меньшей мере на 93%, по меньшей мере на 94%, по меньшей мере на 95%, по меньшей мере на 96%, по меньшей мере на 97%, по меньшей мере на 98%, по меньшей мере на 99% или на 100% последовательности нуклеиновой кислоты, выбранной из группы, состоящей из последовательностей SEQ ID NO: 606 - 619. В другом аспекте настоящего изобретения предложен вектор экспрессии или векторы экспрессии, содержащие нуклеиновую кислоту или нуклеиновые кислоты, функционально связанные с регуляторной последовательностью. В некоторых вариантах реализации вектор экспрессии или векторы экспрессии включают плазмидный вектор или вирусный вектор. Дополнительно предложены фармацевтические композиции, содержащие нуклеиновую кислоту или нуклеиновые кислоты, или вектор экспрессии или векторы экспрессии, описанные в данной заявке, и фармацевтически приемлемый носитель. Дополнительно предложены липидные наночастицы, содержащие нуклеиновую кислоту или нуклеиновые кислоты, или вектор экспрессии или векторы экспрессии, описанные в данной заявке.

**[0030]** В другом дополнительном аспекте настоящего изобретения предложена клетка-хозяин, или популяция клеток-хозяев, содержащих нуклеиновую кислоту

или нуклеиновые кислоты, или вектор экспрессии или векторы экспрессии, описанные в данной заявке. В некоторых вариантах реализации клетка или популяция клеток включает эукариотическую клетку. В некоторых вариантах реализации клетка или популяция клеток включает клетку млекопитающего, клетку человека, клетку хомяка, клетку насекомого, клетку растения или клетку дрожжей. В некоторых вариантах реализации клетка млекопитающего представляет собой клетку яичника китайского хомячка (CHO) или клетку человека, например, эмбриональную клетку почки человека или В-клетку человека. В некоторых вариантах реализации клетка преимущественно сиалинирует сайты N-связанного гликозилирования в вариабельных доменах (Fv) экспрессированных антигенсвязывающих молекул, например, экспрессированных антител или антигенсвязывающих фрагментов. В некоторых вариантах реализации клетка сиалинирует по меньшей мере 50%, по меньшей мере 55%, по меньшей мере 60%, по меньшей мере 65%, по меньшей мере 70%, по меньшей мере 75%, по меньшей мере 80%, по меньшей мере 85%, по меньшей мере 90%, по меньшей мере 91%, по меньшей мере 92%, по меньшей мере 93%, по меньшей мере 94%, по меньшей мере 95% или более сайтов N-связанного гликозилирования в вариабельных доменах (Fv) экспрессированных антител или антигенсвязывающих фрагментов. В некоторых вариантах реализации клетка сиалинирует по меньшей мере 50%, по меньшей мере 60%, по меньшей мере 70%, по меньшей мере 80%, по меньшей мере 85%, по меньшей мере 90%, по меньшей мере 91%, по меньшей мере 92%, по меньшей мере 93%, по меньшей мере 94%, по меньшей мере 95% или более сайтов N-связанного гликозилирования в VL экспрессированных антител или антигенсвязывающих фрагментов. В некоторых вариантах реализации аспарагин в VL в положении аминокислоты 72 согласно нумерации по Кабату (N72) сиалинирован. В некоторых вариантах реализации сиалинированные сайты N-связанного гликозилирования в VL содержат от 1 до 5 остатков сиаловой кислоты, например, от 1 до 4 остатков сиаловой кислоты, например, от 1 до 3 остатков сиаловой кислоты, например, от 1 до 2 остатков сиаловой кислоты. В некоторых вариантах реализации VL сиалинированы N-ацетилнейраминовой кислотой (НАНК). В некоторых вариантах реализации остатки сиаловой кислоты присутствуют в двухантенных структурах. В некоторых вариантах реализации остатки сиаловой кислоты присутствуют в сложных структурах N-связанных гликанов. В некоторых вариантах реализации остатки сиаловой кислоты присутствуют в гибридных структурах N-связанных гликанов.

[0031] В другом дополнительном аспекте в данной заявке предложены антигенсвязывающие фрагменты антител, описанных в данной заявке. В некоторых вариантах реализации антигенсвязывающие фрагменты выбраны из группы, состоящей из фрагмента scFv, sc(Fv)<sub>2</sub>, Fab, F(ab)<sub>2</sub>, Fab', F(ab')<sub>2</sub>, Facb или Fv. Дополнительно предложен химерный антигенный рецептор (CAR), содержащий антигенсвязывающий фрагмент антитела, описанный в данной заявке. В некоторых вариантах реализации CAR экспрессирован на Т-клетке, В-клетке, макрофаге или NK-клетке. Дополнительно предложена CAR-Т-клетка, содержащая CAR, описанный в данной заявке. В некоторых вариантах реализации Т-клетка представляет собой CD4+ Т-клетку, CD8+ Т-клетку или их комбинацию. В некоторых вариантах реализации клетку вводят субъекту. В некоторых вариантах реализации клетка аутологичная. В некоторых вариантах реализации клетка аллогенная.

[0032] В другом дополнительном аспекте, в настоящей заявке предложен способ получения антитела или его антигенсвязывающего фрагмента, описанного в данной заявке. Способ включает культивирование клетки-хозяина в культуре клеток и выделение антитела или антигенсвязывающего фрагмента из культуры клеток. В некоторых случаях способ дополнительно включает включение антитела или антигенсвязывающего фрагмента в состав стерильной фармацевтической композиции, подходящей для введения человеку.

[0033] В другом аспекте настоящего изобретения предложен способ лечения или предотвращения ВИЧ у нуждающегося в этом человека. Способ включает введение указанному субъекту эффективного количества антитела или его антигенсвязывающего фрагмента, или фармацевтической композиции, описанной в данной заявке.

[0034] В некоторых вариантах реализации способ дополнительно включает введение указанному субъекту второго агента (например, одного или более дополнительных агентов) для лечения ВИЧ-инфекции. В некоторых случаях способ включает введение указанному субъекту агониста TLR7. В некоторых случаях агонист TLR7 выбран из группы, состоящей из весатолимода, имихимода и резиквимода. В некоторых вариантах реализации способ дополнительно включает введение указанному субъекту антитела или антигенсвязывающего фрагмента антитела, которое связывает, ингибитирует и/или нейтрализует ВИЧ. В некоторых вариантах реализации способ дополнительно включает введение

второго антитела или антигенсвязывающего фрагмента антитела, которое связывает, ингибитирует и/или нейтрализует ВИЧ, причем второе антитело или его антигенсвязывающий фрагмент не конкурируют с антителом или антигенсвязывающим фрагментом, описанным в данной заявке, за связывание с gp120. В некоторых вариантах реализации второе антитело или антигенсвязывающий фрагмент антитела, которое связывает, ингибитирует и/или нейтрализует ВИЧ, содержат вариабельные домены VH и VL нейтрализующего антитела широкого спектра действия (bNAb) против ВИЧ или конкурируют с ними. В некоторых вариантах реализации второе антитело или антигенсвязывающий фрагмент антитела, которое связывает, ингибитирует и/или нейтрализует ВИЧ, связываются с эпитопом или участком gp120, выбранным из группы, состоящей из: (i) третьей вариабельной петли (V3) и/или области с высоким содержанием маннозы, содержащей гликан олигоманнозного типа в положении N332; (ii) второй вариабельной петли (V2) и/или верхушке тримера Env; (iii) стыка gp120 и gp41 или (iv) безмолвной поверхности gp120. В некоторых вариантах реализации второе антитело или антигенсвязывающий фрагмент антитела, которое связывает, ингибитирует и/или нейтрализует ВИЧ, связываются с эпитопом или участком gp120 в третьей вариабельной петле (V3) и/или области с высоким содержанием маннозы, содержащей гликан олигоманнозного типа в положении N332, и содержат области VH и VL из антитела, выбранного из группы, состоящей из GS-9722, GS-9722, PGT-121.60, PGT-121.66, PGT-121, PGT-122, PGT-123, PGT-124, PGT-125, PGT-126, PGT-128, PGT-130, PGT-133, PGT-134, PGT-135, PGT-136, PGT-137, PGT-138, PGT-139, 10-1074, VRC24, 2G12, BG18, 354BG8, 354BG18, 354BG42, 354BG33, 354BG129, 354BG188, 354BG411, 354BG426, DH270.1, DH270.6, PGDM12, VRC41.01, PGDM21, PCDN-33A, BF520.1 и VRC29.03, или конкурируют с ними. В некоторых вариантах реализации второе антитело или антигенсвязывающий фрагмент антитела, которое связывает, ингибитирует и/или нейтрализует ВИЧ, связываются с эпитопом или участком gp120 во второй вариабельной петле (V2) и/или верхушке тримера Env, и содержат области VH и VL из антитела, выбранного из группы, состоящей из PG9, PG16, PGC14, PGG14, PGT-142, PGT-143, PGT-144, PGT-145, CH01, CH59, PGDM1400, CAP256, CAP256-VRC26.08, CAP256-VRC26.09, CAP256-VRC26.25, PCT64-24E и VRC38.01, или конкурируют с ними. В некоторых вариантах реализации второе антитело или антигенсвязывающий фрагмент связываются с эпитопом или участком gp120 на стыке gp120 и gp41, и содержат области VH и VL из антитела,

выбранного из группы, состоящей из PGT-151, CAP248-2B, 35O22, 8ANC195, ACS202, VRC34 и VRC34.01, или конкурируют с ними. В некоторых вариантах реализации второе антитело или антигенсвязывающий фрагмент антитела, которое связывает, ингибитирует и/или нейтрализует ВИЧ, связываются с эпитопом или участком безмолвной поверхности gp120, и содержат области VH и VL из антитела, выбранного из группы, состоящей из VRC-PG05 и SF12, или конкурируют с ними. В некоторых вариантах реализации второе антитело или антигенсвязывающий фрагмент антитела, которое связывает, ингибитирует и/или нейтрализует ВИЧ, связываются с эпитопом или участком gp41 в окломембранным регионе (MPER). В некоторых вариантах реализации второе антитело или антигенсвязывающий фрагмент антитела, которое связывает, ингибитирует и/или нейтрализует ВИЧ, связываются с эпитопом или участком gp41 в окломембранным регионе (MPER), и содержат области VH и VL из антитела, выбранного из группы, состоящей из 10E8, 10E8v4, 10E8-5R-100cF, 4E10, DH511.11P, 2F5, 7b2 и LN01, или конкурируют с ними. В некоторых вариантах реализации второе антитело или антигенсвязывающий фрагмент антитела, которое связывает, ингибитирует и/или нейтрализует ВИЧ, связываются с эпитопом или участком пептида слияния gp41 и содержат области VH и VL из антитела, выбранного из группы, состоящей из VRC34 и ACS202, или конкурируют с ними. В некоторых вариантах реализации второе антитело или антигенсвязывающий фрагмент антитела, которое связывает, ингибитирует и/или нейтрализует ВИЧ, содержат VH и VL из PGT121.60 или PGT121.66. В некоторых случаях антитело или антигенсвязывающий фрагмент антитела, которое связывает, ингибитирует и/или нейтрализует ВИЧ, содержат VH и VL с последовательностью SEQ ID NO: 443 и/или SEQ ID NO: 447. В других случаях антитело или антигенсвязывающий фрагмент антитела, которое связывает, ингибитирует и/или нейтрализует ВИЧ, содержат VH внутри SEQ ID NO: 454 и VL внутри SEQ ID NO: 455. В других дополнительных случаях антитело или антигенсвязывающий фрагмент антитела, которое связывает, ингибитирует и/или нейтрализует ВИЧ, содержит VH из SEQ ID NO: 454 и VL из SEQ ID NO: 456. В некоторых вариантах реализации антитело или антигенсвязывающие фрагменты, описанные в данной заявке, вводят человеку совместно с вакциной против ВИЧ. В различных вариантах реализации вакцина против ВИЧ включает вирусную вакцину. В некоторых вариантах реализации вирусная вакцина получена на основе вируса, выбранного из группы, состоящей из аренавируса, аденоовируса, поксвируса и рабдовируса.

[0035] В другом аспекте настоящего изобретения предложен способ ингибирования ВИЧ у нуждающегося в этом человека. Способ включает введение указанному субъекту эффективного количества антитела или его антигенсвязывающего фрагмента, или фармацевтической композиции, описанной в данной заявке.

[0036] Если нет других определений, то все технические и научные термины, используемые в данной заявке, имеют те же значения, которые обычно понимает средний специалист в области, к которой относится настоящее изобретение. Хотя для осуществления или тестирования настоящего изобретения можно применять способы и материалы, сходные или эквивалентные описанным в данной заявке, типичные способы и материалы описаны ниже. Все публикации, заявки на патент, патенты и другие ссылочные материалы, упомянутые в данной заявке, полностью включены посредством ссылки. В случае противоречия, настоящая заявка, включая определения, будет иметь преемственную силу. Материалы, способы и примеры являются лишь иллюстрирующими и не предназначены для ограничения.

#### КРАТКОЕ ОПИСАНИЕ ФИГУР

[0037] На **фигуре 1** показаны результаты репортерного анализа антителозависимой клеточной цитотоксичности (АЗКЦ), проведенного с антителом А-1 после стрессовых испытаний (исследования стабильности) в различных условиях. У образца, который подвергали стрессовым испытаниям при 37 °C в буфере для состава при pH 5,9 в течение шести недель, выявили большее снижение активности по сравнению с другими образцами.

[0038] На **фигуре 2** показана кинетика окисления W74a в динамике, измеренная в стрессовых испытаниях в различных условиях. Ромб: антитело А-1, 25°C, pH 5,9. Незаштрихованный круг: антитело А-1, 37°C, pH 5,9. Незаштрихованный треугольник: антитело А-1, 37°C, pH 7,4. Степень окисления была наибольшей в образце при pH 5,9, подвергнутом стрессовым испытаниям при 37°C в течение 6 недель, позволяя предположить, что окисление W74a может быть причиной утраты эффективности, наблюдаемой при данном условии. Дополнительно к значительному окислению в W74a тяжелой цепи, наблюдаемому при условиях pH 5,9, наблюдали стабильный процент дезамидирования в положении N26 легкой

цепи в конструкциях, происходящих из культуры клеток, и он дополнительно повышался в условиях инкубации при pH 7,4.

[0039] На **фигуре 3** показана кинетика дезамидирования N26 в динамике, измеренная в стрессовых испытаниях в различных условиях (включают окисление до аспарагиновой кислоты, изоаспарагиновой кислоты и аспартил-сукцинимидного интермедиата). Ромб: антитело A-1, 25°C, pH 5,9. Незаштрихованный круг: антитело A-1, 37°C, pH 5,9. Незаштрихованный треугольник: антитело A-1, 37°C, pH 7,4. Степень дезамидирования была наибольшей в образце при pH 7,4, подвергнутом стрессовым испытаниям при 37°C в течение 6 недель.

[0040] На **фигуре 4** показано представление в виде точечной диаграммы профиля нейтрализации семи вариантов МАТ. Антитела подвергали скринингу относительно панели происходящих из 152 пациентов ВИЧ-1, псевдотипированных Env из клонов ( $n=133$ ) и изолятов ( $n=19$ ) из плазмы вируса подтипа В. Каждая точка представляет IC95 нейтрализации одного вируса. В скобках (ширина/срединная IC95). Ширина представляет % вирусов, нейтрализованных с  $IC95 \leq 50$  мг/мл. Срединные значения IC95 рассчитывали, используя вирусы с  $IC95 \leq 50$  мг/мл. (1) Антитело A-1 (89%/2,66 мкг/мл); (2) 1.1.90-1 (86%/2,59 мкг/мл); (3) 1.1.64-1 (92%/2,25 мкг/мл); (4) 1.1.10-1 (86%/1,93 мкг/мл); (5) 1.52.1-1 (83%/3,66 мкг/мл); (6) 1.52.90 (78%/4,42 мкг/мл); (7) 1.1.138-1 (82%/2,59 мкг/мл).

[0041] На **фигуре 5** показано представление в виде точечной диаграммы профиля нейтрализации трех МАТ. Антитела подвергали скринингу относительно панели 142 изолятов из плазмы ВИЧ-1, псевдотипированных Env из подтипа В. В скобках (ширина/срединная IC95), определение аналогично таковому для фигуры 4. Каждая точка представляет IC95 нейтрализации одного вируса. (1) Антитело A (87%/1,72 мкг/мл); (2) антитело A-1 (87%/1,09 мкг/мл); (3) 1.52.64-1 (86%/2,0 мкг/мл).

[0042] На **фигуре 6** показано, что мутации в Fc IgG1, которые усиливают активность уничтожения эффекторными клетками (например, аспарагиновая кислота в положении 239, глутаминовая кислота в положении 332, аланин в положении 236, лейцин в положении 330 согласно нумерации EU (DEAL)) могут укорачивать время полужизни в сыворотке *in vivo*. Такое укорочение времени полужизни в сыворотке можно частично или полностью обратить путем введения

также мутаций в Fc IgG1, которые повышают связывание с FcRn (например, лейцина в положение 428 и серина в положение 434 согласно нумерации EU (LS)). Изображены наглядные нормированные на дозу фармакокинетические профили для PGT121-WT (круг), PGT121-DEAL (треугольник), PGT121.60 (квадрат), PGT121-LS (ромб) и A-1 (заштрихованный круг), которые вводили в/в непримированным яванским макакам (n=3). Каждый символ представляет собой измеренную среднюю ( $\pm$  CO) концентрацию в сыворотке.

[0043] На **фигуре 7** показаны фармакокинетические профили для антитела A (треугольник), антитела A-1, партия 14 (круг), антитела A-1, партия 22 (незаштрихованный треугольник), антитела A-1, партия 3 (незаштрихованный круг), антитела A-1, партия 10 (квадрат), и антитела A-1, партия 7 (незаштрихованный квадрат) после внутривенного (в/в) введения дозы непримированным самцам яванских макак (n=3). Каждый символ представляет собой измеренную среднюю ( $\pm$  CO) концентрацию в сыворотке.

[0044] На **фигуре 8** показаны профили зависимости средней концентрации в сыворотке ( $\pm$  CO) от времени для трех партий 1.52.64-1 после в/в введений непримированным самцам и самкам яванских макак (n=3). Партию 4 (незаштрихованный квадрат) вводили при 0,5 мг/кг путем медленного в/в болюсного введения, тогда как партию 18-PP21 (незаштрихованный круг) и партию 14525-32 (круг) вводили при 30 мг/кг путем в/в инфузии в течение 30 минут. Каждый символ представляет собой измеренную среднюю ( $\pm$  CO) концентрацию в сыворотке.

#### ПОДРОБНОЕ ОПИСАНИЕ ИЗОБРЕТЕНИЯ

[0045] В настоящем изобретении предложены антитела, которые нацелены на вирус иммунодефицита человека (ВИЧ). Антитела, описанные в данной заявке, связываются с белком gp120 оболочки (Env) ВИЧ (gp120). В некоторых вариантах реализации данные антитела представляют собой нейтрализующие ВИЧ антитела. В некоторых вариантах реализации данные антитела нейтрализуют широкий спектр ВИЧ.

[0046] ВИЧ-1 является главным семейством ВИЧ и является причиной 95% всех инфекций ВИЧ по всему миру. ВИЧ-2 преимущественно обнаруживают в нескольких Западноафриканских странах. Вирусы ВИЧ подразделяют на определенные группы: M, N, O и P, из которых M является “основной” группой и

отвечает за большую часть ВИЧ/СПИД во всем мире. На основании генетической последовательности группу М дополнительно подразделяют на подтипы (также называемые кладами) с преобладанием в различных географических местоположениях.

**[0047]** “Подтип” или “клада” группы М представляет собой подтип группы М ВИЧ-1, определенный по данным о генетической последовательности. Примеры подтипов группы М включают подтипы А - К. Известно, что некоторые из подтипов более вирулентны или устойчивы к различным лекарственным средствам. Также существуют “циркулирующие рекомбинантные формы”, или CRF, происходящие в результате рекомбинации между вирусами различных подтипов, каждой из которых присвоен номер. CRF12\_BF, например, представляет собой рекомбинацию между подтипами В и F. Подтип А широко распространен в Западной Африке. Подтип В является доминирующей формой в Европе, Америках, Японии, Таиланде и Австралии. Подтип С является доминирующей формой в Южной Африке, Восточной Африке, Индии, Непале и районах Китая. Подтип D, как правило, встречают только в Восточной и Центральной Африке. Подтип Е никогда не обнаруживали в нерекомбинантной форме, только рекомбинированным с подтипом А в виде CRF01\_AE. Подтип F обнаруживали в Центральной Африке, Южной Америке и Восточной Европе. Подтип G (и CRF02\_AG) обнаруживали в Африке и Центральной Европе. Подтип H ограничен Центральной Африкой. Подтип I изначально использовали в качестве названия штамма, который теперь называют CRF04\_spx, где spx означает “сложную” (“complex”) рекомбинацию нескольких подтипов. Подтип J, главным образом, обнаруживают в Северной, Центральной и Западной Африке, и на Карибских островах. Подтип K ограниченный Демократической Республикой Конго и Камеруном. Данные подтипы иногда дополнительно подразделяют на подподтипы, такие как A1 и A2 или F1 и F2. В 2015 г. обнаружили, что штамм CRF19, рекомбинантный штамм подтипа A, подтипа D и подтипа G, с протеазой подтипа D, сильно ассоциирован с быстрым прогрессированием до СПИД на Кубе.

**[0048]** В настоящем изобретении предложены нейтрализующие антитела (например, нейтрализующие АТ широкого спектра действия), которые нацелены на полипептид gp120 на поверхности инфицированных ВИЧ клеток. Без привязки к какой-либо гипотезе, нейтрализующие антитела против белков вирусной оболочки могут обеспечить приобретенную иммунную защиту против воздействия

ВИЧ-1 путем блокирования инфицирования восприимчивых клеток. Широкий спектр нейтрализации свидетельствует о том, что антитела могут нейтрализовать изоляты ВИЧ-1 из различных клад. Таким образом, антитела, входящие в объем настоящего изобретения, обладают активностью связывания с различными кладами.

Гликопротеин gp120 оболочки ВИЧ

[0049] Гликопротеин оболочки gp120 (или gp120) представляет собой гликопротеин с молекулярной массой 120 кДа, который является частью наружного слоя ВИЧ. Он находится в виде шипов на мембране вируса, состоящих из трех молекул gp120, связанных друг с другом и зажоренных в мембрану посредством белка gp41. Gp120 необходим для вирусной инфекции, так как он облегчает проникновение ВИЧ в клетку-хозяина посредством взаимодействия с рецепторами поверхности клетки. Данные рецепторы включают DC-SIGN, гепарансульфат протеогликан, receptor CD4, receptor хемокинов 5 с мотивом C-C (CCR5) и receptor хемокинов 4 с мотивом C-X-C (CXCR4). Связывание с CD4 на хелперных Т-клетках вызывает начало каскада конформационных изменений в gp120 и gp41, которые приводят к слиянию вируса с мембранный клетки-хозяина.

[0050] Gp120 кодируется геном *env* ВИЧ. Ген *env* кодирует продукт гена из приблизительно 850 аминокислот. Первичным продуктом *env* является белок gp160, который расщепляется с образованием gp120 (приблизительно 480 аминокислот) и gp41 (приблизительно 345 аминокислот) в эндоплазматическом ретикулуме клеточной протеазой фурином.

[0051] Последовательность аминокислот типичного полипептида gp160 клона ВИЧ WITO представлена ниже (гипервариабельная петля V3 выделена жирным шрифтом, и потенциальный сайт N-связанного гликозилирования N332 выделен жирным шрифтом и подчеркнут):

MKVMGTTKNYQHLWRWGIMLLGMLMMSSAAEQLWVTVYYGVPVWREANTTLFCASDAKA  
YDTEVHNWATHACVPTDPNPQEVMGNVTEDFNMWKNNMVEQMHEDIISLWDQSLKPC  
VKLTPLCVTLHCTNVTISSTNGSTANVTMREEMKNCSFTTTVIRDKIQKEYALFYKLD  
IVPIEGKNTNTSYRLINCNTSVITQACPKVSFEPIPIHYCAPAGFAILKCNNKTFNGKG  
PCRVNSTVQCTHGIKPVVSTQLLNGLSAAEEDIIRSENFTNNGKNIIIVQLKEPVKINC  
**TRPGNNTRRSINIGPGRAFYATGAIIGDIRKAHCN**ISTEQWNNTLTQIVDKLREQFGNK  
TIIFNQSSGGDPEVVMHTFNCGGEFFYCNSTQLFNSTWFNNGTSTWNSTADNITLPCRI  
KQVINMWQEVGKAMYAPPIRGQIDCSSNITGLILTRDGGSNSSQNETFRPGGGNMKDNW  
RSELYKYKVVKIEPLGIAPTRAKRRVVQREKRAVTLGAVFLGFLGAAGSTMGAASLT  
VQARLLSGIVQQQSNLRLATEAQOQHMLQLTVWGIKQLQARVLAIERYLKQQLLGIWG

CSGKLICTTVPWNTSWSNKS YDYIWN NM TWM QWER EIDNYTGF IYTLIEE SQNQQEKN ELELLELDK WASLWNWF NI TNWLW YIKLFIMI IGGLVGLRIVCAVLSIVNRVRQGYSPL SFQTRLPNPRGPDRPEETEGEGERDRDRSARL VNGFLAI IWDDLRS LCLFSYHRLRD LLLIVARVVEILGRRGWEILKYWWNLLKYWSQELKNSAVSLLNVTAIAVAEGDRVIEIV QRAVRAILHI PTRI RQGF ER ALL (SEQ ID NO: 343)

[0052] Последовательность аминокислот типичного полипептида gp120 представлена ниже (гипервариабельная петля V3 выделена жирным шрифтом, и потенциальный сайт N-связанного гликозилирования N332 выделен жирным шрифтом и подчеркнут):

AEQLWVTVYYGVPVWREANTTLFCASDAKAYDTEVHNWATHACVPTDPNPQEVMGNV TEDFNMWKNNMVEQMHEDIISLWDQSLKPCVKLTPLCVTLHCTNVTISSTNGSTANVTM REEMKNCSFNTTVIRDKIQKEYALFYKLDIVPIEGKNTNTSYRLINCNTSVITQACPK VSFEPIPIHYCAPAGFAILKCNNKT FNGKGPCRNVSTVQCTHGIKPVVSTQLLLNGSLA EEDIIIRSENFTNNGKNIIVQLKEPVKINCTRPGNNTRRSINIGPGRAFYATGAIIGDI RKAHCNISTEQWNNTLTQIVDKLREQFGNKTII FNQSSGGDPEVVMHTFNCGGEFFYCN STQLFNSTWFNNGTSTWNSTADNITLPCRIKQVINMWQEVGKAMYAPPIRGQIDCSSNI TGLILTRDGGSNSQNETFRPGGGNMKDNRSELYKYKVVKIEPLGIAPTRAKRRVVQR EKR (SEQ ID NO: 344)

[0053] Последовательность аминокислот другого типичного полипептида gp120 (см. [bioafrica.net/proteomics/ENV-GP120prot.html](http://bioafrica.net/proteomics/ENV-GP120prot.html)) представлена ниже (гипервариабельная петля V3 выделена жирным шрифтом, и потенциальный сайт N-связанного гликозилирования N332 выделен жирным шрифтом и подчеркнут):

TEKLWVTVYY	GVPVWKEATT	TLFCASDAKA	YDTEVHNW A	THACVPTDPN
PQEVV LVN VT	ENFNMWKND M	VEQMHE DIIS	LWDQSLKPCV	KLTPLCVSLK
CTDLKND T NT	NSSSGRMIME	KGEIKNC SFN	ISTSIRGKVQ	KEYAFFYKLD
IIPIDNDT TS	YKL TSCNT SV	ITQACP KVS F	EPIPIHYCAP	AGFAILKCNN
KTFNGTG PCT	NVSTVQCT HG	IRPVVSTQ LL	LNGSLAEEEV	VIRSVNFTDN
AKTIIVQLNT	SVEIN <u>CTRPN</u>	<u>NNTRKRI RIQ</u>	<u>RGPGR AFTI</u>	<u>GKIGNMRQAH</u>
<u>CN</u> ISRAKWNN	TLKQIASKLR	EQFGNNKT II	FKQSSGGDPE	IVTHSFNC GG
EFFYCNSTQL	FNSTWFNSTW	STE GSNNT EG	SDTITLPCRI	KQIINMWQKV
GKAMYAPPIS	GQIRCSSNIT	GLL LTRDGGN	SNNESEIFRP	GGGDMDRNWR
SEL YKYKVV K	IEPLGVAPTK	AKR RVVQREK R		

(SEQ ID NO: 345)

[0054] Геномное разнообразие среди независимых изолятов вируса иммунодефицита человека 1 типа (ВИЧ-1), в меньшей степени среди последовательных изолятов из одних и тех же пациентов и даже в изоляте из одного пациента является хорошо известной особенностью ВИЧ-1. Хотя такая гетерогенность последовательности распределена по всему геному, большинство гетерогенности расположено в гене *env*. Сравнение предсказанных последовательностей аминокислот из нескольких различных изолятов показало, что гетерогенность последовательности кластеризована в пяти гипервариабельных

участках (обозначенных V1 - V5) гликопротеина поверхности gp120. У участка V3, хотя его длина составляет лишь 35 аминокислот, выявили значительную вариабельность последовательности. Несмотря на такую вариабельность, участок V3 содержит детерминанты, которые опосредуют взаимодействия с клетками CD4<sup>+</sup>. Повышение вариабельности gp120 приводит к более высоким уровням репликации вируса, позволяя предположить повышение приспособленности вируса у индивидов, инфицированных разнообразными вариантами ВИЧ-1. Без привязки к теории полагают, что более высокие уровни репликации вируса могут быть вследствие давления иммунного ответа хозяина (например, ускользания от иммунного ответа) и/или адаптации к каждомуциальному хозяину, чтобы максимизировать уровень репликации вируса. Вариабельность в потенциальных сайтах N-связанного гликозилирования (PNGS) также приводит к повышенной приспособленности вируса. PNGS позволяет связывание длинноцепочечных углеводов с высоковариабельными участками gp120. Таким образом, количество и точное расположение PNGS в *env* может влиять на приспособленность вируса, или на способность к репликации каждого варианта вируса, обеспечивая большую или меньшую чувствительность к иммунным ответам хозяина, в частности, к нейтрализующим антителам.

[0055] Консенсусная последовательность участка V3 gp120 (Milich и др., *J. Virol.*, 67(9):5623-5634 (1993)) представлена ниже:

CTRPNNNTRKSIHIGPGRAFYTTGEIIGDIRQAHС (SEQ ID NO: 346).

[0056] Варианты антитела, описанные в данной заявке, связываются с сайтом связывания CD4 (CD4bs) gp120 ВИЧ. Сайт связывания CD4 (CD4bs) содержит структурно консервативные сайты, расположенные внутри β1-α1, петли D, β20-β21 (мостикового листа) и β24-α5 gp120, которые определяют связывание CD4 и входят в эпитопы направленных против CD4bs антител (Qiao, и др., *Antiviral Res.*, август 2016 г.; 132:252-61). CD4bs gp120 образует конформационные эпитопы, которые узнаются антителами против CD4bs, содержащими один или более аминокислотных остатков, выбранных из Thr278, Asp279, Ala281, Thr283, Asp368, Trp427, Glu460, Ser461, Glu462, Leu452, Leu453 и Arg476. Аминокислотные остатки и нумерация положений приведены относительно изолята ВИЧ-1 подтипа В HXB2, который соответствует остаткам 1 - 511 в эталонной последовательности NCBI № NP\_057856.1, представленной ниже. Остатки Thr278, Asp279, Asn280, Ala281, Thr283, Asp368, Trp427, Leu452, Leu453, Gly459, Glu464, Ser465, Glu466,

Ile467, Gly472, Gly473 и Arg476, которые могут участвовать в CD4bs gp120, выделены жирным шрифтом и подчеркнуты:

MRVKEKYQHLWRWGWRWTMLLGMLMICSATEKLWVTVYYGVPVWKEATTLCASDAK  
AYDTEVHNWATHACVPTDPNPQEVVVLNVTFENFNMWKNDMVEQMHEDIISLWDQSLKP  
CVKLTPLCVSLKCTDLKNDNTNTNSSGRMIMEKGEIKNCSFNISTSIRGKVQKEYAFFY  
KLDIIPIDNDTTSYKLTSCNTSVITQACPKVSFEPIPIHYCAPAGFAILCNNKTNGT  
GPCTNVSTVQCTH GIRPVVSTQLLNGLAEEEVIRSVNFTDNAKT IIIVQLNTSVEIN  
CTRPNNNTRKRIRIQRGPGRAPHVFIGKIGNMRQAHCNISRACKWNNTLKQIAASKLREQFG  
NNKTIIFKQSSGGDPEIVTHSFNCGGEFFYCNSTQLFNSTWFNSTWSTEGSNNTEGSDT  
ITLPCRIKQIINMWQKVGKAMYAPPISGQIRCSSNITGLLLTRDGGNSNNESEIFRPGG  
GDMRDNWRSELYKYKVVKIEPLGVAPTKAKRRVVQREKR (SEQ ID NO: 571).

[0057] Трехмерные модели, изображающие аминокислотные остатки, участвующие в CD4bs gp120, представлены, например, в Canducci и др., *Retrovirology*. 15 января 2009 г.; 6:4; Falkowska и др., *J Virol.*, апрель 2012 г.; 86(8):4394-403; и Li и др., *J. Virol.*, октябрь 2012 г.; 86(20):11231-41; Gristick и др., *Nat Struct Mol Biol.*, октябрь 2016 г.; 23(10):906-915; Kwon и др., *Nat Struct Mol Biol.*, июнь 2015 г.; 22(7):522-31; Liu и др., *Nat Struct Mol Biol.*, апрель 2017 г.; 24(4):370-378; Chen и др., *Science*., 20 ноября 2009 г.; 326(5956):1123-7 и Lyumkis и др., *Science*., 20 декабря 2013 г.; 342(6165):1484-90. В некоторых вариантах реализации варианты антитела, описанные в данной заявке, конкурируют с антителами против CD4bs b12, CH103, 1NC9, 12A12, VRC01, VRC07-523, N6, 3BNC117, NIH45-46 и/или PGV04 (VRC-PG04) за связывание с CD4bs gp120. В некоторых вариантах реализации варианты антитела, описанные в данной заявке, связываются с эпитопом, перекрывающимся или идентичным эпитопу, с которым связываются антитела против CD4bs b12, CH103, 1NC9, 12A12, VRC01, VRC07-523, N6, 3BNC117, NIH45-46 и/или PGV04 (VRC-PG04).

#### Антитела против gp120.

[0058] В настоящем изобретении предложены антитела против gp120. В некоторых вариантах реализации данные антитела связываются с антигенами ВИЧ-1, экспрессированными на поверхности клетки, и уничтожают или убивают инфицированную клетку.

[0059] В некоторых вариантах реализации данные антитела представляют собой нейтрализующие антитела (например, моноклональные), которые нацелены на ВИЧ-1. “Нейтрализующее антитело” представляет собой антитело, которое

нейтрализует способность ВИЧ начинать и/или сохранять инфекцию в хозяине и/или в клетках-мишениях *in vitro*. В настоящем изобретении предложены нейтрализующие моноклональные антитела человека, причем указанные антитела распознают антиген из ВИЧ, например, полипептид gp120. В некоторых вариантах реализации “нейтрализующее антитело” может ингибировать проникновение вируса ВИЧ-1, например, SF162 и/или JR-CSF, с индексом нейтрализации  $>1,5$  или  $>2,0$  (Kostrikis LG и др., *J. Virol.*, 70(1): 445-458 (1996)).

**[0060]** В некоторых вариантах реализации данные антитела представляют собой нейтрализующие антитела широкого спектра действия (например, моноклональные), которые нацелены на ВИЧ-1. Под “нейтрализующими антителами широкого спектра действия” подразумеваются антитела, которые нейтрализуют более одного вида вируса ВИЧ-1 (из разнообразных клад и различных штаммов внутри клады) в анализе нейтрализации. Нейтрализующее антитело широкого спектра действия может нейтрализовать по меньшей мере 2, 3, 4, 5, 6, 7, 8, 9 или более различных штаммов ВИЧ-1, указанные штаммы относятся к одной или различным кладам. В некоторых вариантах реализации нейтрализующее антитело широкого спектра действия может нейтрализовать множество видов ВИЧ-1, относящихся к по меньшей мере 2, 3, 4, 5 или 6 различным кладам. В некоторых вариантах реализации ингибиторная концентрация антитела может составлять менее чем приблизительно 0,0001 мкг/мл, менее чем приблизительно 0,001 мкг/мл, менее чем приблизительно 0,01 мкг/мл, менее чем приблизительно 0,1 мкг/мл, менее чем приблизительно 0,5 мкг/мл, менее чем приблизительно 1,0 мкг/мл, менее чем приблизительно 5 мкг/мл, менее чем приблизительно 10 мкг/мл, менее чем приблизительно 25 мкг/мл, менее чем приблизительно 50 мкг/мл или менее чем приблизительно 100 мкг/мл для нейтрализации приблизительно 50% введенного вируса в анализе нейтрализации.

**[0061]** В некоторых вариантах реализации данные антитела проявили сильную активность широкого спектра и входят в группу высокоактивных агонистических антител против сайта связывания CD4 (HAAD). Такие антитела имитируют связывание белка рецептора CD4 хозяина с gp120. В некоторых вариантах реализации антитела или их антигенсвязывающие фрагменты содержат в своей вариабельной области тяжелой цепи триптофан в положении 50; аспаргин в положении 58; аргинин в положении 71 и триптофан в положении 100 (нумерация положений согласно Кабату). В некоторых вариантах реализации антитела или их

антигенсвязывающие фрагменты содержат в своей вариабельной области легкой цепи триптофан или фенилаланин в положении 67 и глутаминовую кислоту в положении 96 (нумерация положений согласно Кабату). В некоторых вариантах реализации антитела или их антигенсвязывающие фрагменты содержат в своей вариабельной области легкой цепи триптофан в положении 67 и глутаминовую кислоту в положении 96 (нумерация положений согласно Кабату). В некоторых случаях вариабельная область легкой цепи содержит сайт N-связанного гликозилирования в каркасной области 3. В некоторых вариантах реализации антитела или их антигенсвязывающие фрагменты содержат в своей вариабельной области тяжелой цепи триптофан в положении 50; аспарагин в положении 58; аргинин в положении 71 и триптофан в положении 100; и содержат в своей вариабельной области легкой цепи триптофан или фенилаланин в положении 67 и глутаминовую кислоту в положении 96 (нумерация положений согласно Кабату). В некоторых вариантах реализации антитела или их антигенсвязывающие фрагменты содержат в своей вариабельной области тяжелой цепи триптофан в положении 50; аспарагин в положении 58; аргинин в положении 71 и триптофан в положении 100; и содержат в своей вариабельной области легкой цепи триптофан в положении 67 и глутаминовую кислоту в положении 96 (нумерация положений согласно Кабату). В некоторых вариантах реализации антитела или их антигенсвязывающие фрагменты содержат области CDR VH и области CDR VL, имеющие последовательности, представленные в SEQ ID NO: 137, 138, 139, 140, 141 и 142, соответственно, и дополнительно содержат в своей вариабельной области тяжелой цепи триптофан в положении 50; аспарагин в положении 58; аргинин в положении 71 и триптофан в положении 100; и содержат в своей вариабельной области легкой цепи триптофан в положении 67 и глутаминовую кислоту в положении 96 (нумерация положений согласно Кабату). В некоторых вариантах реализации антитела или их антигенсвязывающие фрагменты содержат области CDR VH и области CDR VL, имеющие последовательности, представленные в SEQ ID NO: 137, 138, 139, 140, 141 и 142, соответственно, и дополнительно содержат в своей вариабельной области легкой цепи триптофан в положении 67 и глутаминовую кислоту в положении 96 (нумерация положений согласно Кабату). В некоторых вариантах реализации антитела или их антигенсвязывающие фрагменты содержат области CDR VH и области CDR VL, имеющие последовательности, представленные в SEQ ID NO: 137, 138, 139, 140, 141 и 142, соответственно, и дополнительно содержат в своей вариабельной

области тяжелой цепи триптофан в положении 50; аспарагин в положении 58; аргинин в положении 71 и триптофан в положении 100; и содержат в своей вариабельной области легкой цепи триптофан в положении 67 и глутаминовую кислоту в положении 96 (нумерация положений согласно Кабату) и содержат в своей вариабельной области легкой цепи триптофан в положении 67 и глутаминовую кислоту в положении 96 (нумерация положений согласно Кабату).

**[0062]** Примеры HAAD включают антитела, описанные в данной заявке, а также антитела, описанные в Scheid и др., *Science*, 333:1633-1637 (2011); и West и др., *Proc. Natl. Acad. Sci. USA*, E2083-E2090 (2012). Исследования показали, что антитело А и антитело В происходят из одной линии В-клеток из одного пациента и отличаются в четырех положениях аминокислот в своих вариабельных областях легкой цепи и в десяти положениях аминокислот в своих вариабельных областях тяжелой цепи (Scheid и др., 2011). Примеры антител включают, но не ограничены антителом А, антителом В и антителом, содержащим тяжелую цепь антитела А и легкую цепь антитела В.

**[0063]** В таблице I представлены определяющие комплементарность области (гипервариабельные участки, CDR) вариабельной области тяжелой цепи и вариабельной области легкой цепи антитела А и антитела В согласно определениям Кабата, Чотиа и международной базы данных по иммуногенетике (IMGT).

**[0064]** Таблица I. Области CDR антитела А и антитела В.

CDR антитела А	Кабат	Чотиа	IMGT
VH-CDR1	DYFIH (SEQ ID NO: 137)	GYNIRDY (SEQ ID NO: 143)	GYNIRDYF (SEQ ID NO: 149)
VH-CDR2	WINPKTGQPNNPRQFQG (SEQ ID NO: 138)	PKTG (SEQ ID NO: 144)	INPKTGQP (SEQ ID NO: 150)
VH-CDR3	QRSDYWDFDV (SEQ ID NO: 139)	RSDYWDFD (SEQ ID NO: 145)	ARQRSDYWDFDV (SEQ ID NO: 151)
VL-CDR1	QANGYLN (SEQ ID NO: 140)	NGY (SEQ ID NO: 146)	GY (SEQ ID NO: 152)
VL-CDR2	DGSKLER (SEQ ID NO: 141)	DGS (SEQ ID NO: 147)	DGS (SEQ ID NO: 147)
VL-CDR3	QVYEF (SEQ ID NO: 142)	YE (SEQ ID NO: 148)	QVYEF (SEQ ID NO: 142)

CDR антитела В	Кабат	Чотиа	IMGT
VH-CDR1	DHFIIH (SEQ ID NO: 153)	GYKISDH (SEQ ID NO: 155)	GYKISDHF (SEQ ID NO: 157)

VH-CDR2	WINPKTGQPNNPRQFQG (SEQ ID NO: 138)	PKTG (SEQ ID NO: 144)	INPKTGQP (SEQ ID NO: 150)
VH-CDR3	QRSDFWDFDV (SEQ ID NO: 154)	RSDFWDFD (SEQ ID NO: 156)	ARQRSDFWDFDV (SEQ ID NO: 158)
VL-CDR1	QANGYLN (SEQ ID NO: 140)	NGY (SEQ ID NO: 146)	GY (SEQ ID NO: 152)
VL-CDR2	DGSKLER (SEQ ID NO: 141)	DGS (SEQ ID NO: 147)	DGS (SEQ ID NO: 147)
VL-CDR3	QVYEF (SEQ ID NO: 142)	YE (SEQ ID NO: 148)	QVYEF (SEQ ID NO: 142)

[0065] Определяющие комплементарность области (CDR) типичных антител согласно настоящей заявке представлены ниже: области CDR согласно определению Кабата (таблицы II и V), определению Чотиа (таблицы III и VI) и определению IMGT(таблицы IV и VII). Антитела, содержащие области CDR, перечисленные ниже, входят в объем настоящей заявки.

[0066] В некоторых вариантах реализации антитела против gp120 или связывающие gp120 их фрагменты согласно настоящему изобретению дополнительно к тому, что они содержат шесть CDR из антитела А или антитела В согласно определениям Кабата, Чотиа или IMGT, представленным ниже, также содержат триптофан (W) или фенилаланин (F) в положении 74a по Кабату, аспарагиновую кислоту (D) в положении 74b по Кабату, фенилаланин (F) в положении 74c по Кабату и аспарагиновую кислоту (D) в положении 74d по Кабату; т.е., последовательность WDFD (SEQ ID NO: 453) или FDFD (SEQ ID NO: 627) в каркасной области 3 своей VH или домена тяжелой цепи. В некоторых вариантах реализации антитела против gp120 или связывающие gp120 их фрагменты согласно настоящему изобретению дополнительно к тому, что они содержат шесть CDR из антитела А, также содержат фенилаланин (F) в положении 74a по Кабату, аспарагиновую кислоту (D) в положении 74b по Кабату, фенилаланин (F) в положении 74c по Кабату и аспарагиновую кислоту (D) в положении 74d по Кабату; т.е., последовательность FDFD (SEQ ID NO: 627) в каркасной области 3 своей VH или домена тяжелой цепи. Кристаллографические исследования показали, что каркасная область 3 в положениях с номерами по Кабату 74a, 74b, 74c и 74d в VH образует часть паратопа описанных в данной заявке вариантов антител, непосредственно контактирующую с целевым антигеном gp120. См., например, Lee и др., *Immunity* (2017) 46(4): 690–702 (фигура 1G, идентифицирующая остаток W71d); Klein и др., *Cell* (2013), 153(1):126-38

(фигуры 4 и 5); и Zhou и др., (2013) *Immunity* (2013) 39 245-258 (таблица 1); ленточные диаграммы кристаллизованных структур 5V8L, 5V8M, 4JPV и 4LSV можно посмотреть на сайте rcsb.org.

**Таблица II. Определения (Кабат) CDR антител**

VH-CDR1	VH-CDR2	VH-CDR3	VL-CDR1	VL-CDR2	VL-CDR3
DYFIH (SEQ ID NO: 137)	WINPKTGQPNNPRQFQG (SEQ ID NO: 138)	QRSDYWDFDV (SEQ ID NO: 139)	QANGYLN (SEQ ID NO: 140)	DGSKLER (SEQ ID NO: 141)	QVYEF (SEQ ID NO: 142)
DYFMH (SEQ ID NO: 159)	WINPKTGQPNNPRQFQG (SEQ ID NO: 138)	QRSDYWDFDV (SEQ ID NO: 139)	QANGYLN (SEQ ID NO: 140)	DGSKLER (SEQ ID NO: 141)	QVYEF (SEQ ID NO: 142)
DYFIH (SEQ ID NO: 137)	WINPKWGQPNNPRQFQG (SEQ ID NO: 160)	QRSDYWDFDV (SEQ ID NO: 139)	QANGYLN (SEQ ID NO: 140)	DGSKLER (SEQ ID NO: 141)	QVYEF (SEQ ID NO: 142)
DYFIH (SEQ ID NO: 137)	WINPKGGQPNNPRQFQG (SEQ ID NO: 161)	QRSDYWDFDV (SEQ ID NO: 139)	QANGYLN (SEQ ID NO: 140)	DGSKLER (SEQ ID NO: 141)	QVYEF (SEQ ID NO: 142)
DYFIH (SEQ ID NO: 137)	WINPKAGQPNNPRQFQG (SEQ ID NO: 162)	QRSDYWDFDV (SEQ ID NO: 139)	QANGYLN (SEQ ID NO: 140)	DGSKLER (SEQ ID NO: 141)	QVYEF (SEQ ID NO: 142)
DYFIH (SEQ ID NO: 137)	WINPKHGQPNNPRQFQG (SEQ ID NO: 163)	QRSDYWDFDV (SEQ ID NO: 139)	QANGYLN (SEQ ID NO: 140)	DGSKLER (SEQ ID NO: 141)	QVYEF (SEQ ID NO: 142)
DYFIH (SEQ ID NO: 137)	WINPKTGQPNNPRQFQG (SEQ ID NO: 138)	QRTDYWDFDV (SEQ ID NO: 164)	QANGYLN (SEQ ID NO: 140)	DGSKLER (SEQ ID NO: 141)	QVYEF (SEQ ID NO: 142)
DYFMH (SEQ ID NO: 159)	WINPKTGQPNNPRQFQG (SEQ ID NO: 138)	QRTDYWDFDV (SEQ ID NO: 164)	QANGYLN (SEQ ID NO: 140)	DGSKLER (SEQ ID NO: 141)	QVYEF (SEQ ID NO: 142)
DYFIH	WINPKTGQPNNPRQFQG	QRSDYWDFDV	QANGYLN	DASKLER	QVYEF

**Таблица II. Определения (Кабат) CDR антител**

VH-CDR1	VH-CDR2	VH-CDR3	VL-CDR1	VL-CDR2	VL-CDR3
(SEQ ID NO: 137)	(SEQ ID NO: 138)	(SEQ ID NO: 139)	(SEQ ID NO: 140)	(SEQ ID NO: 165)	(SEQ ID NO: 142)
DYFIH (SEQ ID NO: 137)	WINPKTGQPNNPRQFQG (SEQ ID NO: 138)	QRSDYWDFDV (SEQ ID NO: 139)	QANGYLN (SEQ ID NO: 140)	DGSNLER (SEQ ID NO: 166)	QVYEF (SEQ ID NO: 142)
DYFIH (SEQ ID NO: 137)	WINPKTGQPNNPRQFQG (SEQ ID NO: 138)	QRSDYWDFDV (SEQ ID NO: 139)	QANGYLN (SEQ ID NO: 140)	DGSKLET (SEQ ID NO: 167)	QVYEF (SEQ ID NO: 142)
DYFIH (SEQ ID NO: 137)	WINPKTGQPNNPRQFQG (SEQ ID NO: 138)	QRSDYWDFDV (SEQ ID NO: 139)	QANGYLN (SEQ ID NO: 140)	DASNLER (SEQ ID NO: 168)	QVYEF (SEQ ID NO: 142)
DHFIH (SEQ ID NO: 153)	WINPKTGQPNNPRQFQG (SEQ ID NO: 138)	QRSDYWDFDV (SEQ ID NO: 139)	QANGYLN (SEQ ID NO: 140)	DGSKLER (SEQ ID NO: 141)	QVYEF (SEQ ID NO: 142)
DYFIH (SEQ ID NO: 137)	WINPKTGQPNNPRQFQG (SEQ ID NO: 138)	QRSDFWDFDV (SEQ ID NO: 154)	QANGYLN (SEQ ID NO: 140)	DGSKLER (SEQ ID NO: 141)	QVYEF (SEQ ID NO: 142)
DYFIH (SEQ ID NO: 137)	WINPKTGQPNNPRQFQG (SEQ ID NO: 138)	QRSDFWDFDV (SEQ ID NO: 154)	QATGYLN (SEQ ID NO: 570)	DGSKLER (SEQ ID NO: 141)	QVYEF (SEQ ID NO: 142)

**Таблица III. Определения (Чотири) CDR антител**

VH-CDR1	VH-CDR2	VH-CDR3	VL-CDR1	VL-CDR2	VL-CDR3
GYNIRDY (SEQ ID NO:143)	PKTG (SEQ ID NO: 144)	RSDYWDFD (SEQ ID NO: 145)	NGY (SEQ ID NO: 146)	DGS (SEQ ID NO: 147)	YE (SEQ ID NO: 148)
GYNIRDY (SEQ ID NO:143)	PKWG (SEQ ID NO: 169)	RSDYWDFD (SEQ ID NO: 145)	NGY (SEQ ID NO: 146)	DGS (SEQ ID NO: 147)	YE (SEQ ID NO: 148)
GYNIRDY (SEQ ID NO: 143)	PKGG (SEQ ID NO: 170)	RSDYWDFD (SEQ ID NO: 145)	NGY (SEQ ID NO: 146)	DGS (SEQ ID NO: 147)	YE (SEQ ID NO: 148)
GYNIRDY (SEQ ID NO: 143)	PKAG (SEQ ID NO: 171)	RSDYWDFD (SEQ ID NO: 145)	NGY (SEQ ID NO: 146)	DGS (SEQ ID NO: 147)	YE (SEQ ID NO: 148)
GYNIRDY (SEQ ID NO: 143)	PKHG (SEQ ID NO: 172)	RSDYWDFD (SEQ ID NO: 145)	NGY (SEQ ID NO: 146)	DGS (SEQ ID NO: 147)	YE (SEQ ID NO: 148)
GYNIRDY (SEQ ID NO: 143)	PKTG (SEQ ID NO: 144)	RTDYWDFD (SEQ ID NO: 173)	NGY (SEQ ID NO: 146)	DGS (SEQ ID NO: 147)	YE (SEQ ID NO: 148)
GYNIRDY (SEQ ID NO: 143)	PKTG (SEQ ID NO: 144)	RSDYWDFD (SEQ ID NO: 145)	NGY (SEQ ID NO: 146)	DAS (SEQ ID NO: 174)	YE (SEQ ID NO: 148)
GYKIRDY (SEQ ID NO: 459)	PKTG (SEQ ID NO: 144)	RSDYWDFD (SEQ ID NO: 145)	NGY (SEQ ID NO: 146)	DGS (SEQ ID NO: 147)	YE (SEQ ID NO: 148)
GYNISDY (SEQ ID NO: 460)	PKTG (SEQ ID NO: 144)	RSDYWDFD (SEQ ID NO: 145)	NGY (SEQ ID NO: 146)	DGS (SEQ ID NO: 147)	YE (SEQ ID NO: 148)

**Таблица III. Определения (Чотири) CDR антител**

<b>VH-CDR1</b>	<b>VH-CDR2</b>	<b>VH-CDR3</b>	<b>VL-CDR1</b>	<b>VL-CDR2</b>	<b>VL-CDR3</b>
GYNIRDH (SEQ ID NO: 461)	PKTG (SEQ ID NO: 144)	RSDYWDFD (SEQ ID NO: 145)	NGY (SEQ ID NO: 146)	DGS (SEQ ID NO: 147)	YE (SEQ ID NO: 148)
GYNIRDY (SEQ ID NO: 143)	PKTG (SEQ ID NO: 144)	RSDFWDFD (SEQ ID NO: 156)	NGY (SEQ ID NO: 146)	DGS (SEQ ID NO: 147)	YE (SEQ ID NO: 148)

**Таблица IV. Определения (IMGT) CDR антител**

<b>VH-CDR1</b>	<b>VH-CDR2</b>	<b>VH-CDR3</b>	<b>VL-CDR1</b>	<b>VL-CDR2</b>	<b>VL-CDR3</b>
GYNIRDYF (SEQ ID NO: 149)	INPKTGQP (SEQ ID NO: 150)	ARQRSDYWDFDV (SEQ ID NO: 151)	GY (SEQ ID NO: 152)	DGS (SEQ ID NO: 147)	QVYEF (SEQ ID NO: 142)
GYNIRDYF (SEQ ID NO: 149)	INPKWGQP (SEQ ID NO: 175)	ARQRSDYWDFDV (SEQ ID NO: 151)	GY (SEQ ID NO: 152)	DGS (SEQ ID NO: 147)	QVYEF (SEQ ID NO: 142)
GYNIRDYF (SEQ ID NO: 149)	INPKGGQP (SEQ ID NO: 176)	ARQRSDYWDFDV (SEQ ID NO: 151)	GY (SEQ ID NO: 152)	DGS (SEQ ID NO: 147)	QVYEF (SEQ ID NO: 142)
GYNIRDYF (SEQ ID NO: 149)	INPKAGQP (SEQ ID NO: 177)	ARQRSDYWDFDV (SEQ ID NO: 151)	GY (SEQ ID NO: 152)	DGS (SEQ ID NO: 147)	QVYEF (SEQ ID NO: 142)
GYNIRDYF (SEQ ID NO: 149)	INPKHGQP (SEQ ID NO: 178)	ARQRSDYWDFDV (SEQ ID NO: 151)	GY (SEQ ID NO: 152)	DGS (SEQ ID NO: 147)	QVYEF (SEQ ID NO: 142)

**Таблица IV. Определения (IMGT) CDR антител**

<b>VH-CDR1</b>	<b>VH-CDR2</b>	<b>VH-CDR3</b>	<b>VL-CDR1</b>	<b>VL-CDR2</b>	<b>VL-CDR3</b>
GYNIRDYF (SEQ ID NO: 149)	INPKTGQP (SEQ ID NO: 150)	ARQRTDYWDFDV (SEQ ID NO: 179)	GY (SEQ ID NO: 152)	DGS (SEQ ID NO: 147)	QVYEF (SEQ ID NO: 142)
GYNIRDYF (SEQ ID NO: 149)	INPKTGQP (SEQ ID NO: 150)	ARQRSDYWDFDV (SEQ ID NO: 151)	GY (SEQ ID NO: 152)	DAS (SEQ ID NO: 180)	QVYEF (SEQ ID NO: 142)
GYKIRDYF (SEQ ID NO: 462)	INPKTGQP (SEQ ID NO: 150)	ARQRSDYWDFDV (SEQ ID NO: 151)	GY (SEQ ID NO: 152)	DGS (SEQ ID NO: 147)	QVYEF (SEQ ID NO: 142)
GYNISDYF (SEQ ID NO: 463)	INPKTGQP (SEQ ID NO: 150)	ARQRSDYWDFDV (SEQ ID NO: 151)	GY (SEQ ID NO: 152)	DGS (SEQ ID NO: 147)	QVYEF (SEQ ID NO: 142)
GYNIRDHF (SEQ ID NO: 464)	INPKTGQP (SEQ ID NO: 150)	ARQRSDYWDFDV (SEQ ID NO: 151)	GY (SEQ ID NO: 152)	DGS (SEQ ID NO: 147)	QVYEF (SEQ ID NO: 142)
GYNIRDYF (SEQ ID NO: 149)	INPKTGQP (SEQ ID NO: 150)	ARQRSDFWDFDV (SEQ ID NO: 158)	GY (SEQ ID NO: 152)	DGS (SEQ ID NO: 147)	QVYEF (SEQ ID NO: 142)

**Таблица V. Определения (Кабат) CDR антител**

<b>VH-CDR1</b>	<b>VH-CDR2</b>	<b>VH-CDR3</b>	<b>VL-CDR1</b>	<b>VL-CDR2</b>	<b>VL-CDR3</b>
DYFIH (SEQ ID NO: 137)	WINPKTGQPNNPRQFQG (SEQ ID NO: 138)	QRSDYWDFDV (SEQ ID NO: 139)	QANGYLN (SEQ ID NO: 140)	DGSKLER (SEQ ID NO: 141)	QVYEF (SEQ ID NO: 142)

**Таблица V. Определения (Кабат) CDR антител**

VH-CDR1	VH-CDR2	VH-CDR3	VL-CDR1	VL-CDR2	VL-CDR3
DHFIH (SEQ ID NO: 153)	WINPKTGQPNNPRQFQG (SEQ ID NO: 138)	QRSDYWDFDV (SEQ ID NO: 139)	QANGYLN (SEQ ID NO: 140)	DGSKLER (SEQ ID NO: 141)	QVYEF (SEQ ID NO: 142)

**Таблица VI. Определения (Чотиа) CDR антител**

VH-CDR1	VH-CDR2	VH-CDR3	VL-CDR1	VL-CDR2	VL-CDR3
GYNIRDY (SEQ ID NO: 143)	PKTG (SEQ ID NO: 144)	RSDYWDFD (SEQ ID NO: 145)	NGY (SEQ ID NO: 146)	DGS (SEQ ID NO: 147)	YE (SEQ ID NO: 148)
GYKIRDH (SEQ ID NO: 457)	PKTG (SEQ ID NO: 144)	RSDYWDFD (SEQ ID NO: 145)	NGY (SEQ ID NO: 146)	DGS (SEQ ID NO: 147)	YE (SEQ ID NO: 148)

**Таблица VII. Определения (IMGT) CDR антител**

VH-CDR1	VH-CDR2	VH-CDR3	VL-CDR1	VL-CDR2	VL-CDR3
GYNIRDYF (SEQ ID NO: 149)	INPKTGQP (SEQ ID NO: 150)	ARQRSDYWDFDV (SEQ ID NO: 151)	GY (SEQ ID NO: 152)	DGS (SEQ ID NO: 147)	QVYEF (SEQ ID NO: 142)
GYKIRDHF (SEQ ID NO: 458)	INPKTGQP (SEQ ID NO: 150)	ARQRSDYWDFDV (SEQ ID NO: 151)	GY (SEQ ID NO: 152)	DGS (SEQ ID NO: 147)	QVYEF (SEQ ID NO: 142)

**[0067]** В объем настоящего изобретения входят антитела против gp120 или связывающие gp120 их фрагменты, которые содержат шесть CDR каждого из антител, описанных в данной заявке (см., например, таблицы I - VII). В некоторых вариантах реализации одно или более из данных антител против gp120 или связывающих gp120 их фрагментов также содержат триптофан (W) или фенилаланин (F) в положении 74а по Кабату, аспарагиновую кислоту (D) в положении 74b по Кабату, фенилаланин (F) в положении 74c по Кабату и аспарагиновую кислоту (D) в положении 74d по Кабату. Должно быть очевидно, что в объем настоящего изобретения также входят антитела против gp120 или связывающие gp120 их фрагменты, содержащие области CDR согласно любому другому определению CDR (например, определению Онеггер (Honegger), улучшенному определению Чотиа, определению AbM, контактному определению, см., например, [www.bioinf.org.uk/ATs/#cdrdef](http://www.bioinf.org.uk/ATs/#cdrdef)) антител против ВИЧ, описанных в данной заявке. В некоторых случаях антитела против gp120 или связывающие gp120 фрагменты, описанные в данной заявке, обладают улучшенной способностью к уничтожению инфицированных ВИЧ-1 целевых CD4 Т-клеток по сравнению с антителом А и/или антителом В. В некоторых вариантах реализации антитела, содержащие VH и VL, содержащие последовательности аминокислот, представленные в SEQ ID NO: 477 и 278, соответственно, или HC и LC, содержащие последовательности аминокислот, представленные в SEQ ID NO: 529 и 103, соответственно, обладают улучшенной способностью к уничтожению инфицированных ВИЧ-1 целевых CD4 Т-клеток по сравнению с антителом А и/или антителом В. В некоторых случаях у антител против gp120 или связывающих gp120 фрагментов, описанных в данной заявке, EC<sub>50</sub> составляет от 0,05 до 2 мкг/мл в анализах АЗКЦ опосредованного NK-клетками уничтожения инфицированных ВИЧ клеток (например, инфицированных ВИЧ-1-клеток). В некоторых случаях у антител против gp120 или связывающих gp120 фрагментов, описанных в данной заявке, EC<sub>50</sub> составляет от 0,05 до 1,5 мкг/мл. В некоторых случаях у антител против gp120 или связывающих gp120 фрагментов, описанных в данной заявке, EC<sub>50</sub> составляет от 0,05 до 1,0 мкг/мл. В некоторых случаях у антител против gp120 или связывающих gp120 фрагментов, описанных в данной заявке, EC<sub>50</sub> составляет от 0,05 до 0,85 мкг/мл. В некоторых случаях у антител против gp120 или связывающих gp120 фрагментов, описанных в данной заявке, EC<sub>50</sub> составляет от 0,05 до 0,75 мкг/мл. В некоторых случаях у антител против gp120 или связывающих gp120 фрагментов, описанных в данной заявке, EC<sub>50</sub> составляет от

0,05 до 0,5 мкг/мл. В некоторых случаях у антител против gp120 или связывающих gp120 фрагментов, описанных в данной заявке, EC<sub>50</sub> составляет от 0,05 до 0,3 мкг/мл. В некоторых случаях у антител против gp120 или связывающих gp120 фрагментов, описанных в данной заявке, EC<sub>50</sub> составляет от 0,07 до 0,2 мкг/мл.

**[0068]** Последовательности аминокислот вариабельной области тяжелой цепи (VH) и вариабельной области легкой цепи (VL) типичных антител согласно настоящему изобретению представлены в таблицах VIII и IX, соответственно. Также включены последовательности аминокислот VH и VL контролей, используемых в некоторых способах анализа согласно настоящему изобретению (например, антитела С и антитела D).

**Таблица VIII. Последовательности VH**

<b>SEQ ID NO</b>	<b>Название</b>	<b>Последовательность аминокислот вариабельной области тяжелой цепи (VH)</b>
181	C	QVRLSQSGGQMKKPGDSMRISCRASGYEFINCPINWIRLAPGKRPEW MGWMKPRWGAWSYARQLQGRVTMTRDMYSETAFLELRSLTSDDTAVY FCTRGKYCTARDYYNWDFEHWGQGTPVTVSS
182	A-1	QVQLLQSGAAVTKPGASVRVSCEASGYNIRDYFIHWWRQAPGQGLQW VGWINPKTGQPNNPRQFQGRVSLTRHASWDFDTFSFYMDLKALRSDD TAVYFCARQRSDYWDFDVWGSGTQVTVSS
183	D-1	QVRLSQSGGQMKKPGDSMRISCRASGYEFINCPINWIRLAPGKRPEW MGWMKPRHGAWSYARQLQGRVTMTRDMYSETAFLELRSLTSDDTAVY FCTRGKYCTARDYYNWDFEHWGQGTPVTVSS
184	1v2-1	QVQLLQSGAAVTKPGASVRVSCEASGYNIRDYFIHWWRQAPGQGLQW VGWINPKTGQPNNPRQFQGRVSLTRHASWDFDTFSFYMDLKALRSDD TAVYFCARQRSDYWDFDVWGSGTQVTVSS
185	1.2.1-1	QVQLLQSGAEVKKPGASVRVSCEASGYNIRDYFIHWWRQAPGQGLQW VGWINPKTGQPNNPRQFQGRVSLTRHASWDFDTFSFYMDLKALRSDD TAVYFCARQRSDYWDFDVWGSGTMVTVSS
186	1.3.1-1	QVSLLQSGAAVTKPGASVRVSCEASGYNIRDYFIHWWRQAPGQGLQW VGWINPKTGQPNNPRQFQGRVSLTRHASWDFDTFSFYMDLKALRSDD TAVYFCARQRSDYWDFDVWGSGTQVTVSS
187	1.4.1-1	QVQLVQSGAAVTKPGASVRVSCEASGYNIRDYFIHWWRQAPGQGLQW VGWINPKTGQPNNPRQFQGRVSLTRHASWDFDTFSFYMDLKALRSDD TAVYFCARQRSDYWDFDVWGSGTQVTVSS
188	1.5.1-1	QVQLVQSGAEVKKPGASVRVSCKASGYNIRDYFIHWWRQAPGQGLQW VGWINPKTGQPNNPRQFQGRVSLTRHASWDFDTFSFYMDLKALRSDD TAVYFCARQRSDYWDFDVWGSGTQVTVSS
189	1.6.1-1	QVQLLQSGAEVTKPGASVRVSCEASGYNIRDYFIHWWRQAPGQGLQW VGWINPKTGQPNNPRQFQGRVSLTRHASWDFDTFSFYMDLKALRSDD TAVYFCARQRSDYWDFDVWGSGTQVTVSS

**Таблица VIII. Последовательности VH**

<b>SEQ ID NO</b>	<b>Название</b>	<b>Последовательность аминокислот вариабельной области тяжелой цепи (VH)</b>
190	1.7.1-1	QVQLLQSGAEVKPGASVRVSCEASGYNIRDYFIHWWRQAPGQGLQW VGWINPKTGQPNNPRQFQGRVSLTRHASWDFDTFSFYMDLKALRSDD TAVYFCARQRSDYWDFDVWGSGTQVTVSS
191	1.8.1-1	QVQLVQSGAEVTKPGASVRVSCEASGYNIRDYFIHWWRQAPGQGLQW VGWINPKTGQPNNPRQFQGRVSLTRHASWDFDTFSFYMDLKALRSDD TAVYFCARQRSDYWDFDVWGSGTQVTVSS
192	1.9.1-1	QVQLVQSGAEVKPGASVRVSCKASGYNIRDYFIHWWRQAPGQGLQW VGWINPKTGQPNNPRQFQGRVSLTRHASWDFDTFSFYMDLKALRSDD TAVYFCARQRSDYWDFDVWGSGTQVTVSS
193	1.10.1-1	QVQLLQSGAAVTKPGASVRVSCEASGYNIRDYFMHWWRQAPGQGLQW VGWINPKTGQPNNPRQFQGRVSLTRHASWDFDTFSFYMDLKALRSDD TAVYFCARQRSDYWDFDVWGSGTQVTVSS
194	1.11.1-1	QVQLLQSGAAVTKPGASVRVSCEASGYNIRDYFMHWWRQAPGQGLQW VGWINPKTGQPNNPRQFQGRVSLTRHASWDFDTFSFYMDLKALRSDD TAVYFCARQRSDYWDFDVWGSGTQVTVSS
195	1.15.1-1	QVQLLQSGAAVTKPGASVRVSCEASGYNIRDYFIHWWRQAPGQGLQW VGWINPKWGQPNNPRQFQGRVSLTRHASWDFDTFSFYMDLKALRSDD TAVYFCARQRSDYWDFDVWGSGTQVTVSS
196	1.16.1-1	QVQLLQSGAAVTKPGASVRVSCEASGYNIRDYFIHWWRQAPGQGLQW VGWINPKGGQPNNPRQFQGRVSLTRHASWDFDTFSFYMDLKALRSDD TAVYFCARQRSDYWDFDVWGSGTQVTVSS
197	1.17.1-1	QVQLLQSGAAVTKPGASVRVSCEASGYNIRDYFIHWWRQAPGQGLQW VGWINPKAGQPNNPRQFQGRVSLTRHASWDFDTFSFYMDLKALRSDD TAVYFCARQRSDYWDFDVWGSGTQVTVSS
198	1.18.1-1	QVQLLQSGAAVTKPGASVRVSCEASGYNIRDYFIHWWRQAPGQGLQW VGWINPKHGPNNPRQFQGRVSLTRHASWDFDTFSFYMDLKALRSDD TAVYFCARQRSDYWDFDVWGSGTQVTVSS
199	1.19.1-1	QVQLLQSGAAVTKPGASVRVSCEASGYNIRDYFIHWWRQAPGQGLQW VGWINPKTGQPNNPRQFQGRVTLTRHASWDFDTFSFYMDLKALRSDD TAVYFCARQRSDYWDFDVWGSGTQVTVSS
200	1.20.1-1	QVQLLQSGAAVTKPGASVRVSCEASGYNIRDYFIHWWRQAPGQGLQW VGWINPKTGQPNNPRQFQGRVTMTRHASWDFDTFSFYMDLKALRSDD TAVYFCARQRSDYWDFDVWGSGTQVTVSS
201	1.21.1-1	QVQLLQSGAAVTKPGASVRVSCEASGYNIRDYFIHWWRQAPGQGLQW VGWINPKTGQPNNPRQFQGRVSLTRDASWDFDTFSFYMDLKALRSDD TAVYFCARQRSDYWDFDVWGSGTQVTVSS
202	1.22.1-1	QVQLLQSGAAVTKPGASVRVSCEASGYNIRDYFIHWWRQAPGQGLQW VGWINPKTGQPNNPRQFQGRVSLTRHASTFSFYMDLKALRSDDTAVY FCARQRSDYWDFDVWGSGTQVTVSS
203	1.24.1-1	QVQLLQSGAAVTKPGASVRVSCEASGYNIRDYFIHWWRQAPGQGLQW VGWINPKTGQPNNPRQFQGRVSLTRHASWDFDTFSFSMDLKALRSDD TAVYFCARQRSDYWDFDVWGSGTQVTVSS
204	1.25.1-1	QVQLLQSGAAVTKPGASVRVSCEASGYNIRDYFIHWWRQAPGQGLQW

**Таблица VIII. Последовательности VH**

<b>SEQ ID NO</b>	<b>Название</b>	<b>Последовательность аминокислот вариабельной области тяжелой цепи (VH)</b>
	1	VGWINPKTGQPNNPRQFQGRVSLTRHASWDFDTFSFYMDLSRLSDD TAVYFCARQRSDYWDFDVWGSGTQVTVSS
205	1.26.1-1	QVQLLQSGAAVTKPGASVRVSCEASGYNIRDYFIHWWRQAPGQGLQW VGWINPKTGQPNNPRQFQGRVSLTRHASWDFDTFSFYMDLKALRSDD TATYFCARQRSDYWDFDVWGSGTQVTVSS
206	1.27.1-1	QVQLLQSGAAVTKPGASVRVSCEASGYNIRDYFIHWWRQAPGQGLQW VGWINPKTGQPNNPRQFQGRVSLTRHASWDFDTFSFYMDLKALRSDD TAVYFCARQRTDYWDFDVWGSGTQVTVSS
207	1.28.1-1	QVQLLQSGAAVTKPGASVRVSCEASGYNIRDYFIHWWRQAPGQGLQW VGWINPKTGQPNNPRQFQGRVSLTRHASWDFDTFSFYMDLKALRSDD TATYFCARQRTDYWDFDVWGSGTQVTVSS
208	1.29.1-1	QVQLLQSGAAVTKPGASVRVSCEASGYNIRDYFIHWWRQAPGQGLQW VGWINPKTGQPNNPRQFQGRVSLTRHASWDFDTFSFYMDLKALRSDD TAVYFCARQRSDYWDFDVWGQGTQVTVSS
209	1.30.1-1	QVQLLQSGAAVTKPGASVRVSCEASGYNIRDYFIHWWRQAPGQGLQW VGWINPKTGQPNNPRQFQGRVSLTRHASWDFDTFSFYMDLKALRSDD TAVYFCARQRSDYWDFDVWGSGTMVTVSS
210	1.12.15-1	QVQLLQSGAAVTKPGASVRVSCEASGYNIRDYFIHWVRQAPGQGLQW VGWINPKTGQPNNPRQFQGRVSLTRHASWDFDTFSFYMDLKALRSDD TAVYFCARQRSDYWDFDVWGSGTQVTVSS
211	1.13.15-1	QVQLLQSGAAVTKPGASVRVSCEASGYNIRDYFMHWVRQAPGQGLQW VGWINPKTGQPNNPRQFQGRVSLTRHASWDFDTFSFYMDLKALRSDD TAVYFCARQRSDYWDFDVWGSGTQVTVSS
212	1.14.15-1	QVQLLQSGAAVTKPGASVRVSCEASGYNIRDYFMHWVRQAPGQGLQW VGWINPKTGQPNNPRQFQGRVSLTRHASWDFDTFSFYMDLKALRSDD TAVYFCARQRSDYWDFDVWGSGTQVTVSS
213	1.31.1-1	QVQLVQSGAEVTKPGASVRVSCEASGYNIRDYFIHWWRQAPGQGLQW VGWINPKTGQPNNPRQFQGRVSLTRHASWDFDTFSFYMDLKALRSDD TATYFCARQRSDYWDFDVWGSGTQVTVSS
214	1.32.1-1	QVQLVQSGAEVTKPGASVRVSCEASGYNIRDYFIHWWRQAPGQGLQW VGWINPKTGQPNNPRQFQGRVSLTRHASWDFDTFSFYMDLKALRSDD TAVYFCARQRTDYWDFDVWGSGTQVTVSS
215	1.33.1-1	QVQLVQSGAEVKPGASVRVSCKASGYNIRDYFIHWWRQAPGQGLQW VGWINPKTGQPNNPRQFQGRVTLTRHASWDFDTFSFYMDLKALRSDD TATYFCARQRSDYWDFDVWGSGTQVTVSS
216	1.34.1-1	QVQLVQSGAEVKPGASVRVSCKASGYNIRDYFIHWWRQAPGQGLQW VGWINPKTGQPNNPRQFQGRVTLTRHASWDFDTFSFYMDLKALRSDD TAVYFCARQRTDYWDFDVWGSGTQVTVSS
217	1.35.1-1	QVQLVQSGAEVKPGASVRVSCKASGYNIRDYFMHWWRQAPGQGLQW VGWINPKTGQPNNPRQFQGRVTMTRHASWDFDTFSFYMDLSRLSDD TATYFCARQRTDYWDFDVWGQGTQVTVSS
218	1.36.1-1	QVQLVQSGAEVKPGASVRVSCKASGYNIRDYFMHWWRQAPGQGLQW VGWINPKTGQPNNPRQFQGRVTMTRHASWDFDTFSAYMDLSRLSDD TATYFCARQRTDYWDFDVWGQGTQVTVSS
219	1.37.51-1	QVQLVQSGAEVKPGASVRVSCKASGYNIRDYFIHWWRQAPGQGLQW VGWINPKTGQPNNPRQFQGRVSLTRHASWDFDTYSFYMDLSRLSDD TAVYFCARQRSDYWDFDVWGQGTQVTVSS
220	B-1	QVHLSQSGAAVTKPGASVRVSCEASGYKISDHFIHWWRQAPGQGLQW

**Таблица VIII. Последовательности VH**

<b>SEQ ID NO</b>	<b>Название</b>	<b>Последовательность аминокислот вариабельной области тяжелой цепи (VH)</b>
		VGWINPKTGQPNNPRQFQGRVSLTRQASWDFDTYSFYMDLKAVRSDD TAIYFCARQRSDFWDFDVWGSGTQVTVSS
221	1.41.5-1	QVQLQSGAAVTKPGASVRVSCEASGYNIRDYFIHWWRQAPGQGLQW VGWINPKTGQPNNPRQFQGRVSLTRHASWDFDTFSFYMDLKALRSDD TAVYFCARQRSDYWDFDVWGSGTQVTVSS
465	2.2.1-1	QVHLSQSGAAVTKPGASVRVSCEASGYKIRDHFIFHWWRQAPGQGLQW VGWINPKTGQPNNPRQFQGRVSLTRHASWDFDTFSFYMDLKAVRSDD TAIYFCARQRSDYWDFDVWGSGTQVTVSS
466	2.3.1-1	QVHLSQSGAAVTKPGASVRVSCEASGYNIRDYFIHWWRQAPGQGLQW VGWINPKTGQPNNPRQFQGRVSLTRHASWDFDTFSFYMDLKAVRSDD TAIYFCARQRSDYWDFDVWGSGTQVTVSS
467	1.42.1-1	QVHLLQSGAAVTKPGASVRVSCEASGYNIRDYFIHWWRQAPGQGLQW VGWINPKTGQPNNPRQFQGRVSLTRHASWDFDTFSFYMDLKALRSDD TAVYFCARQRSDYWDFDVWGSGTQVTVSS
468	1.43.1-1	QVQLSQSGAAVTKPGASVRVSCEASGYNIRDYFIHWWRQAPGQGLQW VGWINPKTGQPNNPRQFQGRVSLTRHASWDFDTFSFYMDLKALRSDD TAVYFCARQRSDYWDFDVWGSGTQVTVSS
469	1.44.1-1	QVQLLQSGAAVTKPGASVRVSCEASGYKIRDYFIHWWRQAPGQGLQW VGWINPKTGQPNNPRQFQGRVSLTRHASWDFDTFSFYMDLKALRSDD TAVYFCARQRSDYWDFDVWGSGTQVTVSS
470	1.45.1-1	QVQLLQSGAAVTKPGASVRVSCEASGYNISDYFIHWWRQAPGQGLQW VGWINPKTGQPNNPRQFQGRVSLTRHASWDFDTFSFYMDLKALRSDD TAVYFCARQRSDYWDFDVWGSGTQVTVSS
471	1.46.1-1	QVQLLQSGAAVTKPGASVRVSCEASGYNIRDHFIFHWWRQAPGQGLQW VGWINPKTGQPNNPRQFQGRVSLTRHASWDFDTFSFYMDLKALRSDD TAVYFCARQRSDYWDFDVWGSGTQVTVSS
472	1.47.1-1	QVQLLQSGAAVTKPGASVRVSCEASGYNIRDYFIHWWRQAPGQGLQW VGWINPKTGQPNNPRQFQGRVSLTRQASWDFDTFSFYMDLKALRSDD TAVYFCARQRSDYWDFDVWGSGTQVTVSS
474	1.49.1-1	QVQLLQSGAAVTKPGASVRVSCEASGYNIRDYFIHWWRQAPGQGLQW VGWINPKTGQPNNPRQFQGRVSLTRHASWDFDTFSFYMDLKAVRSDD TAVYFCARQRSDYWDFDVWGSGTQVTVSS
475	1.50.1-1	QVQLLQSGAAVTKPGASVRVSCEASGYNIRDYFIHWWRQAPGQGLQW VGWINPKTGQPNNPRQFQGRVSLTRHASWDFDTFSFYMDLKALRSDD TAIYFCARQRSDYWDFDVWGSGTQVTVSS
476	1.51.1-1	QVQLLQSGAAVTKPGASVRVSCEASGYNIRDYFIHWWRQAPGQGLQW VGWINPKTGQPNNPRQFQGRVSLTRHASWDFDTFSFYMDLKALRSDD TAVYFCARQRSDFWDFDVWGSGTQVTVSS
477	1.52.64-1	QVQLLQSGAAVTKPGASVRVSCEASGYNIRDYFIHWWRQAPGQGLQW VGWINPKTGQPNNPRQFQGRVSLTRHASFDFDTFSFYMDLKALRSDD TAVYFCARQRSDYWDFDVWGSGTQVTVSS
478	2.4.1-1	QVHLSQSGAAVTKPGASVRVSCEASGYKIRDHFIFHWWRQAPGQGLQW VGWINPKTGQPNNPRQFQGRVSLTRHASFDFDTFSFYMDLKAVRSDD TAIYFCARQRSDYWDFDVWGSGTQVTVSS

**Таблица IX. Последовательности VL**

<b>SEQ ID NO</b>	<b>Название</b>	<b>Последовательность аминокислот вариабельной области легкой цепи (VL)</b>
222	C	EIVLTQSPGTLSSLSPGETAIISCRTSQYGS LAWYQQRPGQAP RLVIYSGSTRAAGIPDRFSGSRWGP DYNLTISNLES GDFGVY YCQQYEFFGQGTKVQVDIK
223	A-1	DIQMTQSPSSLSASVGDTVTITCQANGYLNWYQQRRGKAPKL LIYDGSKLERGVPSRFSGRRWGQEYNLTINNLQ PEDIATYFC QVYE FVVPGTRLDLK
224	D-1	SLTQSPGTLSSLSPGETAIISCRTSQYGS LAWYQQRPGQAPRL VIYSGSTRAAGIPDRFSGSRWGP DYNLTISNLES GDFGVYYC QQYEFFGQGTKVQVDIK
225	1.1.2-1	DIQMTQSPSSLSASVGDTVTITCQANGYLNWYQQKPGKAPKL LIYDGSKLERGVPSRFSGRRWGQEYNLTINNLQ PEDIATYFC QVYE FVVPGTKVDIK
226	1.1.3-1	EIQMTQSPSSLSASVGDTVTITCQANGYLNWYQQRRGKAPKL LIYDGSKLERGVPSRFSGRRWGQEYNLTINNLQ PEDIATYFC QVYE FVVPGTRLDLK
227	1.1.4-1	DIQMTQSPSSLSASVGDRV TITCQANGYLNWYQQRRGKAPKL LIYDGSKLERGVPSRFSGRRWGQEYNLTINNLQ PEDIATYFC QVYE FVVPGTRLDLK
228	1.1.5-1	DIQMTQSPSSLSASVGDTVTITCQANGYLNWYQQKPGKAPKL LIYDGSKLERGVPSRFSGRRWGQEYNLTINNLQ PEDIATYFC QVYE FVVPGTRLDLK
229	1.1.6-1	DIQMTQSPSSLSASVGDTVTITCQANGYLNWYQQRRGKAPKL LIYDASKLERGVPSRFSGRRWGQEYNLTINNLQ PEDIATYFC QVYE FVVPGTRLDLK
230	1.1.7-1	DIQMTQSPSSLSASVGDTVTITCQANGYLNWYQQRRGKAPKL LIYDGSNLERGVPSRFSGRRWGQEYNLTINNLQ PEDIATYFC QVYE FVVPGTRLDLK
231	1.1.8-1	DIQMTQSPSSLSASVGDTVTITCQANGYLNWYQQRRGKAPKL LIYDASNLERGVPSRFSGRRWGQEYNLTINNLQ PEDIATYFC QVYE FVVPGTRLDLK
232	1.1.9-1	DIQMTQSPSSLSASVGDTVTITCQANGYLNWYQQRRGKAPKL LIYDGSKLETGVPSRFSGRRWGQEYNLTINNLQ PEDIATYFC QVYE FVVPGTRLDLK
233	1.1.10-1	DIQMTQSPSSLSASVGDTVTITCQANGYLNWYQQRRGKAPKL LIYDGSKLERGVPSRFSGRRWGQEYTLTINNLQ PEDIATYFC QVYE FVVPGTRLDLK
234	1.1.11-1	DIQMTQSPSSLSASVGDTVTITCQANGYLNWYQQRRGKAPKL LIYDGSKLERGVPSRFSGSRWGPQEYTLTINNLQ PEDIATYFC QVYE FVVPGTRLDLK
235	1.1.12-1	DIQMTQSPSSLSASVGDTVTITCQANGYLNWYQQRRGKAPKL LIYDGSKLERGVPSRFSGRRWGQEYNLTISSLQ PEDIATYFC QVYE FVVPGTRLDLK
236	1.1.13-1	DIQMTQSPSSLSASVGDTVTITCQANGYLNWYQQRRGKAPKL LIYDGSKLERGVPSRFSGSRWGPQEYTLTISSLQ PEDIATYFC QVYE FVVPGTRLDLK
237	1.1.14-1	DIQMTQSPSSLSASVGDTVTITCQANGYLNWYQQRRGKAPKL LIYDGSKLERGVPSRFSGSGSGTDFTFTINNLQ PEDIATYFC QVYE FVVPGTRLDLK
238	1.1.15-1	DIQMTQSPSSLSASVGDTVTITCQANGYLNWYQQRRGKAPKL

**Таблица IX. Последовательности VL**

<b>SEQ ID NO</b>	<b>Название</b>	<b>Последовательность аминокислот вариабельной области легкой цепи (VL)</b>
		LIYDGSKLERGVPSRFSGRRWGQEYNLTINNLQPEDIATYFC QVYEFFVPGTRLDLK
239	1.1.16-1	DIQMTQSPSSLSASVGDTVTITCQANGYLNWYQQRRGKAPKL LIYDGSKLERGVPSRFSGRRWGQEYNLTINNLQPEDIATYFC QVYEFFVPGTRLDLK
240	1.1.17-1	DIQMTQSPSSLSASVGDTVTITCQANGYLNWYQQRRGKAPKL LIYDGSKLERGVPSRFSGRRWGQEYNLTINNLQPEDIATYFC QVYEFFVPGTRLDLK
241	1.1.18-1	DIQMTQSPSSLSASVGDTVTITCQANGYLNWYQQRRGKAPKL LIYDGSKLERGVPSRFSGRRWGQEYNLTINNLQPEDIATYFC QVYEFFVPGTRLDLK
242	1.1.19-1	DIQMTQSPSSLSASVGDTVTITCQANGYLNWYQQRRGKAPKL LIYDGSKLERGVPSRFSGRRWGQEYNLTINNLQPEDIATYFC QVYEFTVTPGTRLDLK
243	1.1.20-1	DIQMTQSPSSLSASVGDTVTITCQANGYLNWYQQRRGKAPKL LIYDGSKLERGVPSRFSGRRWGQEYNLTINNLQPEDIATYFC QVYEFVVPGTNLDLK
244	1.1.21-1	DIQMTQSPSSLSASVGDTVTITCQANGYLNWYQQRRGKAPKL LIYDGSKLERGVPSRFSGRRWGQEYNLTINNLQPEDIATYFC QVYEFTVPGTNLDLK
245	1.1.22-1	DIQMTQSPSSLSASVGDTVTITCQANGYLNWYQQRRGKAPKL LIYDGSKLERGVPSRFSGRRWGQEYNLTINNLQPEDIATYFC QVYEFTVPGTNLDLK
246	1.1.23-1	DIQMTQSPSSLSASVGDTVTITCQANGYLNWYQQRRGKAPKL LIYDGSKLERGVPSRFSGRRWGQEYNLTINNLQPEDIATYFC QVYEFTVPGTNLDLK
247	1.1.24-1	DIQMTQSPSSLSASVGDTVTITCQANGYLNWYQQRRGKAPKL LIYDGSKLERGVPSRFSGRRWGQEYNLTINNLQPEDIATYFC QVYEFTVPGTRVDLK
248	1.1.25-1	DIQMTQSPSSLSASVGDTVTITCQANGYLNWYQQRRGKAPKL LIYDGSKLERGVPSRFSGRRWGQEYNLTINNLQPEDIATYFC QVYEFTVPGTNVDLK
249	1.1.26-1	DIQMTQSPSSLSASVGDTVTITCQANGYLNWYQQRRGKAPKL LIYDGSKLERGVPSRFSGRRWGQEYNLTINNLQPEDIATYFC QVYEFTVPGTRLDIK
250	1.1.27-1	DIQMTQSPSSLSASVGDTVTITCQANGYLNWYQQRRGKAPKL LIYDGSKLERGVPSRFSGRRWGQEYNLTINNLQPEDIATYFC QVYEFTVPGTRVDIK
251	1.1.28-1	DIQMTQSPSSLSASVGDTVTITCQANGYLNWYQQRRGKAPKL LIYDGSKLERGVPSRFSGRRWGQEYNLTINNLQPEDIATYFC QVYEFTVPGTNVDIK
252	1.1.29-1	DIQMTQSPSSLSASVGDTVTITCQANGYLNWYQQRRGKAPKL LIYDGSKLERGVPSRFSGRRWGQEYNLTINNLQPEDIATYFC QVYEFTVPGTNVDIK
253	1.1.30-1	DIQMTQSPSSLSASVGDTVTITCQANGYLNWYQQRRGKAPKL LIYDGSKLERGVPSRFSGRRWGQEYNLTINNLQPEDIATYFC QVYEFTVPGTNVDIK

**Таблица IX. Последовательности VL**

<b>SEQ ID NO</b>	<b>Название</b>	<b>Последовательность аминокислот вариабельной области легкой цепи (VL)</b>
254	1.1.31-1	DIQMTQSPSSLSASVGDTVTITCQANGYLNWYQQRRGKAPKL LIYDGSKLERGVPSRFSGRWGQEYTLTISSLQPEDIATYFC QVYEVVPGTNLDLK
255	1.1.32-1	DIQMTQSPSSLSASVGDTVTITCQANGYLNWYQQRRGKAPKL LIYDGSKLERGVPSRFSGRWGQEYTLTISSLQPEDIATYFC QVYEFTVPGTRLDLK
256	1.1.33-1	DIQMTQSPSSLSASVGDTVTITCQANGYLNWYQQRRGKAPKL LIYDGSNLERGVPSRFSGRWGQEYTLTISSLQPEDIATYFC QVYEVVPGTNLDIK
257	1.1.34-1	DIQMTQSPSSLSASVGDTVTITCQANGYLNWYQQRRGKAPKL LIYDGSNLERGVPSRFSGRWGQEYTLTISSLQPEDIATYFC QVYEFTVPGTRLDIK
258	1.1.35-1	DIQMTQSPSSLSASVGDRVTITCQANGYLNWYQQKPGKAPKL LIYDGSNLETGVPSRFSGRWGQEYTLTISSLQPEDIATYFC QVYEFGVPGTNLDIK
259	1.1.36-1	DIQMTQSPSSLSASVGDRVTITCQANGYLNWYQQKPGKAPKL LIYDGSNLETGVPSRFSGRWGQEYTLTISSLQPEDIATYFC QVYEFTVPGTNLDIK
260	1.1.37-1	DIQMTQSPSSLSASVGDTVTITCQANGYLNWYQQRRGKAPKL LIYDGSKLERGVPSRFSGRWGQEYTLTISSLQPEDIATYFC QVYEVVPGTRLDLK
261	1.1.38-1	DIQMTQSPSSLSASVGDTVTITCQANGYLNWYQQRRGKAPKL LIYDGSKLERGVPSRFSGRWGQEYSLTINNLQPEDIATYFC QVYEVVPGTRLDLK
262	1.1.39-1	DIQMTQSPSSLSASVGDTVTITCQANGYLNWYQQRRGKAPKL LIYDGSKLERGVPSRFSGRWGQEYESFTINNLQPEDIATYFC QVYEVVPGTRLDLK
263	1.1.40-1	DIQMTQSPSSLSASVGDTVTITCQANGYLNWYQQRRGKAPKL LIYDGSKLERGVPSRFSGRWGQEYALTINNLQPEDIATYFC QVYEVVPGTRLDLK
264	1.1.41-1	DIQMTQSPSSLSASVGDTVTITCQANGYLNWYQQRRGKAPKL LIYDGSKLERGVPSRFSGRWGQEYAFTINNLQPEDIATYFC QVYEVVPGTRLDLK
265	1.1.42-1	DIQMTQSPSSLSASVGDTVTITCQANGYLNWYQQRRGKAPKL LIYDGSKLERGVPSRFSGRWGQEYHLTINNLQPEDIATYFC QVYEVVPGTRLDLK
266	1.1.43-1	DIQMTQSPSSLSASVGDTVTITCQANGYLNWYQQRRGKAPKL LIYDGSKLERGVPSRFSGRWGQEYHFTINNLQPEDIATYFC QVYEVVPGTRLDLK
267	1.1.44-1	DIQMTQSPSSLSASVGDTVTITCQANGYLNWYQQRRGKAPKL LIYDGSKLERGVPSRFSGRWGQEYQLTINNLQPEDIATYFC QVYEVVPGTRLDLK
268	1.1.45-1	DIQMTQSPSSLSASVGDTVTITCQANGYLNWYQQRRGKAPKL LIYDGSKLERGVPSRFSGRWGQEYQFTINNLQPEDIATYFC QVYEVVPGTRLDLK
269	1.1.46-1	DIQMTQSPSSLSASVGDTVTITCQANGYLNWYQQRRGKAPKL LIYDGSKLERGVPSRFSGRWGQEYNLKINNLQPEDIATYFC

**Таблица IX. Последовательности VL**

<b>SEQ ID NO</b>	<b>Название</b>	<b>Последовательность аминокислот вариабельной области легкой цепи (VL)</b>
		QVYE FVVPGTRLDLK
270	1.1.47-1	DIQMTQSPSSLSASVGDTVTITCQANGYLNWYQQRRGKAPKL LIYDGSKLERGVPSRFSGRRGQEYNFKINNLQPEDIATYFC QVYE FVVPGTRLDLK
271	1.1.48-1	DIQMTQSPSSLSASVGDTVTITCQANGYLNWYQQRRGKAPKL LIYDGSKLERGVPSRFSGRRGQEYNLAINNLQPEDIATYFC QVYE FVVPGTRLDLK
272	1.1.49-1	DIQMTQSPSSLSASVGDTVTITCQANGYLNWYQQRRGKAPKL LIYDGSKLERGVPSRFSGRRGQEYNFAINNLQPEDIATYFC QVYE FVVPGTRLDLK
273	1.37.51-1	DIQMTQSPSSLSASVGDRVTITCQANGYLNWYQQKPGKAPKL LIYDGSKLETGVPSRFSGRRGQEYTLTINNLQPEDIATYFC QVYE FFFGPTRLDLK
274	1.8.52-1	DIQMTQSPSSLSASVGDRVTITCQANGYLNWYQQKPGKAPKL LIYDGSKLERGVPSRFSGRRGQEYTLTINNLQPEDIATYFC QVYE FVVPGTRLDLK
275	1.1.54-1	DIQMTQSPSSLSASVGDTATITCQANGYLNWYQQRRGKAPKL LIYDGSKLERGVPSRFSGRRGQEYTLTINNLQPEDIATYFC QVYE FVVPGTRLDLK
276	B-1	DIQMTQSPSSLSARVGDTVTITCQANGYLNWYQQRRGKAPKL LIYDGSKLERGVPARFSGRRWGQEYNLTINNLQPEDVATYFC QVYE FIVPGTRLDLK
277	2.1.2-1	DIQMTQSPSSLSARVGDTVTITCQANGYLNWYQQRRGKAPKL LIYDGSKLERGVPARFSGRRWGQEYHTINNLQPEDVATYFC QVYE FIVPGTRLDLK
278	1.1.64-1	DIQMTQSPSSLSASVGDTATITCQANGYLNWYQQRRGKAPKL LIYDGSKLERGVPSRFSGRRGQEYNLTINNLQPEDIATYFC QVYE FVVPGTRLDLK
279	1.1.67-1	DIQMTQSPSSLSASVGDTATITCQANGYLNWYQQRRGKAPKL LIYDGSKLERGVPSRFSGRRGQEYNLTINNLQPEDIATYFC QVYE FFFGPTRLDLK
280	1.1.72-1	DIQMTQSPSSLSASVGDTVTITCQANGYLNWYQQRRGKAPKL LIYDGSKLERGVPSRFSGRRGQEYHTINNLQPEDIATYFC QVYE FFFGPTRLDLK
281	1.1.75-1	DIQMTQSPSSLSASVGDTATITCQANGYLNWYQQRRGKAPKL LIYDGSKLERGVPSRFSGRRGQEYHTINNLQPEDIATYFC QVYE FVVPGTRLDLK
282	1.1.78-1	DIQMTQSPSSLSASVGDTATITCQANGYLNWYQQRRGKAPKL LIYDGSKLERGVPSRFSGRRGQEYHTINNLQPEDIATYFC QVYE FFFGPTRLDLK
283	1.41.81-1	DIQMTQSPSSLSASVGDTVTITCQANGYLNWYQQKPGKAPKL LIYDGSKLERGVPSRFSGRRGQEYNLTINNLQPEDIATYFC QVYE FFFGPTRLDLK
284	1.1.82-1	DIQMTQSPSSLSASVGDRVTITCQANGYLNWYQQRRGKAPKL LIYDGSKLERGVPSRFSGRRGQEYNLTISSLQPEDIATYFC QVYE FVVPGTRLDLK
285	1.41.83-1	DIQMTQSPSSLSASVGDRVTITCQANGYLNWYQQKPGKAPKL

**Таблица IX. Последовательности VL**

<b>SEQ ID NO</b>	<b>Название</b>	<b>Последовательность аминокислот вариабельной области легкой цепи (VL)</b>
		LIYDGSKLERGVPSRSGSRWGQEYNLTISSLQPEDIATYFC QVYEFFGPGRDLK
286	1.1.84-1	DIQMTQSPSSLSASVGDRVTITCQANGYLNWYQQRRGKAPKL LIYDGSKLERGVPSRSGSRWGQEYNLTISSLQPEDIATYFC QVYEFFGPGRDLK
287	1.41.85-1	DIQMTQSPSSLSASVGDRVTITCQANGYLNWYQQKPGKAPKL LIYDGSKLERGVPSRSGSRWGQEYNLTISSLQPEDIATYFC QVYEFFGPGRDLK
288	1.41.86-1	DIQMTQSPSSLSASVGDTATITCQANGYLNWYQQKPGKAPKL LIYDGSKLERGVPSRSGSRWGQEYNLTINNLQPEDIATYFC QVYEFFGPGRDLK
289	1.41.87-1	DIQMTQSPSSLSASVGDTATITCQANGYLNWYQQKPGKAPKL LIYDGSKLERGVPSRSGSRWGQEYNLTINNLQPEDIATYFC QVYEFFGPGRDLK
290	1.1.88-1	DIQMTQSPSSLSASVGDRATITCQANGYLNWYQQRRGKAPKL LIYDGSKLERGVPSRSGSRWGQEYNLTISSLQPEDIATYFC QVYEFFGPGRDLK
291	1.41.89-1	DIQMTQSPSSLSASVGDRATITCQANGYLNWYQQKPGKAPKL LIYDGSKLERGVPSRSGSRWGQEYNLTISSLQPEDIATYFC QVYEFFGPGRDLK
292	1.1.90-1	DIQMTQSPSSLSASVGDRATITCQANGYLNWYQQRRGKAPKL LIYDGSKLERGVPSRSGSRWGQEYNLTISSLQPEDIATYFC QVYEFFGPGRDLK
293	1.41.91-1	DIQMTQSPSSLSASVGDRATITCQANGYLNWYQQKPGKAPKL LIYDGSKLERGVPSRSGSRWGQEYNLTISSLQPEDIATYFC QVYEFFGPGRDLK
294	1.41.92-1	DIQMTQSPSSLSASVGDTVTITCQANGYLNWYQQKPGKAPKL LIYDGSKLERGVPSRSGSRWGQEYHLTINNLQPEDIATYFC QVYEFFGPGRDLK
295	1.41.93-1	DIQMTQSPSSLSASVGDTVTITCQANGYLNWYQQKPGKAPKL LIYDGSKLERGVPSRSGSRWGQEYHLTINNLQPEDIATYFC QVYEFFGPGRDLK
296	1.1.94-1	DIQMTQSPSSLSASVGDRVTITCQANGYLNWYQQRRGKAPKL LIYDGSKLERGVPSRSGSRWGQEYHLTISSLQPEDIATYFC QVYEFFGPGRDLK
297	1.41.95-1	DIQMTQSPSSLSASVGDRVTITCQANGYLNWYQQKPGKAPKL LIYDGSKLERGVPSRSGSRWGQEYHLTISSLQPEDIATYFC QVYEFFGPGRDLK
298	1.1.96-1	DIQMTQSPSSLSASVGDRVTITCQANGYLNWYQQRRGKAPKL LIYDGSKLERGVPSRSGSRWGQEYHLTISSLQPEDIATYFC QVYEFFGPGRDLK
299	1.41.97-1	DIQMTQSPSSLSASVGDRVTITCQANGYLNWYQQKPGKAPKL LIYDGSKLERGVPSRSGSRWGQEYHLTISSLQPEDIATYFC QVYEFFGPGRDLK
300	1.41.98-1	DIQMTQSPSSLSASVGDTATITCQANGYLNWYQQKPGKAPKL LIYDGSKLERGVPSRSGSRWGQEYHLTINNLQPEDIATYFC QVYEFFGPGRDLK

**Таблица IX. Последовательности VL**

<b>SEQ ID NO</b>	<b>Название</b>	<b>Последовательность аминокислот вариабельной области легкой цепи (VL)</b>
301	1.41.99-1	DIQMTQSPSSLSASVGDTATITCQANGYLNWYQQKPGKAPKL LIYDGSKLERGVPSRFSGRWGQEYHLTINNLQPEDIATYFC QVYEFFGPGTRLDLK
302	1.1.100-1	DIQMTQSPSSLSASVGDRATITCQANGYLNWYQQRRGKAPKL LIYDGSKLERGVPSRFSGRWGQEYHLTISSLQPEDIATYFC QVYEFVVPGTRLDLK
303	1.41.101-1	DIQMTQSPSSLSASVGDRATITCQANGYLNWYQQKPGKAPKL LIYDGSKLERGVPSRFSGRWGQEYHLTISSLQPEDIATYFC QVYEFVVPGTRLDLK
304	1.1.102-1	DIQMTQSPSSLSASVGDRATITCQANGYLNWYQQRRGKAPKL LIYDGSKLERGVPSRFSGRWGQEYHLTISSLQPEDIATYFC QVYEFFGPGTRLDLK
305	1.41.103-1	DIQMTQSPSSLSASVGDRATITCQANGYLNWYQQKPGKAPKL LIYDGSKLERGVPSRFSGRWGQEYHLTISSLQPEDIATYFC QVYEFFGPGTRLDLK
306	1.1.110-1	DIQMTQSPSSLSASVGDTVTITCQANGYLNWYQQRRGKAPKL LIYDGSKLERGVPSRFSGRFGQDYIFSIINNLQPEDIATYFC QVYEFVVPGTRLDLK
307	1.1.111-1	DIQMTQSPSSLSASVGDTVTITCQANGYLNWYQQRRGKAPKL LIYDGSKLERGVPSRFSGRFGQDYILTINNLQPEDIATYFC QVYEFVVPGTRLDLK
308	1.1.112-1	DIQMTQSPSSLSASVGDTVTITCQANGYLNWYQQRRGKAPKL LIYDGSKLERGVPSRFSGRFGQKYQLSINNLQPEDIATYFC QVYEFVVPGTRLDLK
309	1.1.113-1	DIQMTQSPSSLSASVGDTATITCQANGYLNWYQQRRGKAPKL LIYDGSKLERGVPSRFSGRFGQDYILTINNLQPEDIATYFC QVYEFVVPGTRLDLK
310	2.1.3-1	DIQMTQSPSSLSARVGDTVTITCQANGYLNWYQQRRGKAPKL LIYDGSKLERGVPARFSGRRFGQDYILTINNLQPEDVATYFC QVYEFIVPGTRLDLK
311	2.1.4-1	DIQMTQSPSSLSARVGDTATITCQANGYLNWYQQRRGKAPKL LIYDGSKLERGVPARFSGRRFGQDYILTINNLQPEDVATYFC QVYEFIVPGTRLDLK
479	3.1.8-1	DIQMTQSPSSLSARVGDTATITCQANGYLNWYQQRRGKAPKL LIYDGSKLERGVPARFSGRRWGQEYNLTINNLQPEDVATYFC QVYEFIVPGTRLDLK
480	3.1.9-1	DIQMTQSPSSLSARVGDTATITCQANGYLNWYQQRRGKAPKL LIYDGSKLERGVPARFSGRRWGQEYNLTINNLQPEDVATYFC QVYEFFGPGTRLDLK
481	1.1.115-1	DIQMTQSPSSLSASVGDTVTITCQANGYLNWYQQRRGKAPKL LIYDGSKLERGVPSRFSGRWGQEYILTINNLQPEDIATYFC QVYEFVVPGTRLDLK
482	3.1.10-1	DIQMTQSPSSLSARVGDTVTITCQANGYLNWYQQRRGKAPKL LIYDGSKLERGVPARFSGRRWGQEYILTINNLQPEDVATYFC QVYEFIVPGTRLDLK
483	1.1.116-1	DIQMTQSPSSLSASVGDTATITCQANGYLNWYQQRRGKAPKL LIYDGSKLERGVPSRFSGRWGQEYILTINNLQPEDIATYFC

**Таблица IX. Последовательности VL**

<b>SEQ ID NO</b>	<b>Название</b>	<b>Последовательность аминокислот вариабельной области легкой цепи (VL)</b>
		QVYE FVVPGTRLDLK
484	3.1.11-1	DIQMTQSPSSLSARVGDTATITCQANGYLNWYQQRRGKAPKL LIYDGSKLERGVPARFSGRRWGQEYILTINNLQPEDVATYFC QVYE FIVPGTRLDLK
485	1.1.117-1	DIQMTQSPSSLSASVGDTATITCQANGYLNWYQQRRGKAPKL LIYDGSKLERGVPSRFSRGWRWGQEYILTINNLQPEDIATYFC QVYE FFGPGTRLDLK
486	3.1.12-1	DIQMTQSPSSLSARVGDTATITCQANGYLNWYQQRRGKAPKL LIYDGSKLERGVPARFSGRRWGQEYILTINNLQPEDVATYFC QVYE FFGPGTRLDLK
487	1.1.118-1	DIQMTQSPSSLSASVGDRATITCQANGYLNWYQQRRGKAPKL LIYDGSKLERGVPSRFSRGWRWGQEYILTISLQPEDIATYFC QVYE FFGPGTRLDLK
488	3.1.13-1	DIQMTQSPSSLSARVGDRATITCQANGYLNWYQQRRGKAPKL LIYDGSKLERGVPARFSGSRWGQEYILTISLQPEDVATYFC QVYE FFGPGTRLDLK
489	3.1.14-1	DIQMTQSPSSLSARVGDTVTITCQANGYLNWYQQRRGKAPKL LIYDGSKLERGVPARFSGRRWGQEYTLTINNLQPEDVATYFC QVYE FIVPGTRLDLK
491	3.1.5-1	DIQMTQSPSSLSARVGDTATITCQANGYLNWYQQRRGKAPKL LIYDGSKLERGVPARFSGRRWGQEYTLTINNLQPEDVATYFC QVYE FIVPGTRLDLK
492	3.1.15-1	DIQMTQSPSSLSARVGDTATITCQANGYLNWYQQRRGKAPKL LIYDGSKLERGVPARFSGSRWGQEYTLTINNLQPEDVATYFC QVYE FFGPGTRLDLK
493	1.1.119-1	DIQMTQSPSSLSASVGDRATITCQANGYLNWYQQRRGKAPKL LIYDGSKLERGVPSRFSRGWRWGQEYTLTISLQPEDIATYFC QVYE FFGPGTRLDLK
494	3.1.7-1	DIQMTQSPSSLSARVGDRATITCQANGYLNWYQQRRGKAPKL LIYDGSKLERGVPARFSGSRWGQEYTLTISLQPEDVATYFC QVYE FFGPGTRLDLK
495	3.1.16-1	DIQMTQSPSSLSARVGDTATITCQANGYLNWYQQRRGKAPKL LIYDGSKLERGVPARFSGRRWGQEYHLTINNLQPEDVATYFC QVYE FIVPGTRLDLK
496	3.1.17-1	DIQMTQSPSSLSARVGDTATITCQANGYLNWYQQRRGKAPKL LIYDGSKLERGVPARFSGSRWGQEYHLTINNLQPEDVATYFC QVYE FFGPGTRLDLK
497	3.1.18-1	DIQMTQSPSSLSARVGDRATITCQANGYLNWYQQRRGKAPKL LIYDGSKLERGVPARFSGSRWGQEYHLTISLQPEDVATYFC QVYE FFGPGTRLDLK
498	1.1.120-1	DIQMTQSPSSLSASVGDTATITCQANGYLNWYQQRRGKAPKL LIYDGSKLERGVPSRFSRGWRWGQDYILTINNLQPEDIATYFC QVYE FVVPGTRLDLK
499	3.1.19-1	DIQMTQSPSSLSARVGDTATITCQANGYLNWYQQRRGKAPKL LIYDGSKLERGVPARFSGRRWGQDYILTINNLQPEDVATYFC QVYE FIVPGTRLDLK
500	1.1.121-1	DIQMTQSPSSLSASVGDTATITCQANGYLNWYQQRRGKAPKL

**Таблица IX. Последовательности VL**

<b>SEQ ID NO</b>	<b>Название</b>	<b>Последовательность аминокислот вариабельной области легкой цепи (VL)</b>
		LIYDGSKLERGVPSRFSGRRFGQEYILTINNLQPEDIATYFC QVYEVVPGTRLDLK
501	3.1.20-1	DIQMTQSPSSLSARVGDTATITCQANGYLNWYQQRRGKAPKL LIYDGSKLERGVPARFSGRRFGQEYILTINNLQPEDVATYFC QVYEIVPGTRLDLK
502	1.1.122-1	DIQMTQSPSSLSASVGDTATITCQANGYLNWYQQRRGKAPKL LIYDGSKLERGVPSRFSGRRWGQEYVLTINNLQPEDIATYFC QVYEVVPGTRLDLK
503	1.1.123-1	DIQMTQSPSSLSASVGDTATITCQANGYLNWYQQRRGKAPKL LIYDGSKLERGVPSRFSGRRWGQEYLLTINNLQPEDIATYFC QVYEVVPGTRLDLK
504	1.1.124-1	DIQMTQSPSSLSASVGDTATITCQANGYLNWYQQRRGKAPKL LIYDGSKLERGVPSRFSGRRWGQEYMLTINNLQPEDIATYFC QVYEVVPGTRLDLK
505	1.1.125-1	DIQMTQSPSSLSASVGDTATITCQANGYLNWYQQRRGKAPKL LIYDGSKLERGVPSRFSGRRWGQEYALTINNLQPEDIATYFC QVYEVVPGTRLDLK
506	1.1.126-1	DIQMTQSPSSLSASVGDTATITCQANGYLNWYQQRRGKAPKL LIYDGSKLERGVPSRFSGRRWGQEYESLTINNLQPEDIATYFC QVYEVVPGTRLDLK
507	1.1.127-1	DIQMTQSPSSLSASVGDTATITCQANGYLNWYQQRRGKAPKL LIYDGSKLERGVPSRFSGRRWGQEYFLTINNLQPEDIATYFC QVYEVVPGTRLDLK
508	1.1.128-1	DIQMTQSPSSLSASVGDTATITCQANGYLNWYQQRRGKAPKL LIYDGSKLERGVPSRFSGTRWGQEYILTINNLQPEDIATYFC QVYEVVPGTRLDLK
509	1.1.129-1	DIQMTQSPSSLSASVGDTATITCQANGYLNWYQQRRGKAPKL LIYDGSKLERGVPSRFSGRRRGQEYILTINNLQPEDIATYFC QVYEVVPGTRLDLK
510	1.1.130-1	DIQMTQSPSSLSASVGDTATITCQANGYLNWYQQRRGKAPKL LIYDGSKLERGVPSRFSGRRYQYEYILTINNLQPEDIATYFC QVYEVVPGTRLDLK
511	1.1.131-1	DIQMTQSPSSLSASVGDTATITCQANGYLNWYQQRRGKAPKL LIYDGSKLERGVPSRFSGTRWGQDYILTINNLQPEDIATYFC QVYEVVPGTRLDLK
512	1.1.132-1	DIQMTQSPSSLSARVGDTVTITCQANGYLNWYQQRRGKAPKL LIYDGSKLERGVPSRFSGRRWGQEYNLTINNLQPEDIATYFC QVYEVVPGTRLDLK
513	1.1.133-1	DIQMTQSPSSLSASVGDTVTITCQANGYLNWYQQRRGKAPKL LIYDGSKLERGVPARFSGRRWGQEYNLTINNLQPEDIATYFC QVYEVVPGTRLDLK
514	1.1.134-1	DIQMTQSPSSLSASVGDTVTITCQANGYLNWYQQRRGKAPKL LIYDGSKLERGVPSRFSGRRWGQEYNLTINNLQPEDVATYFC QVYEVVPGTRLDLK
515	1.1.135-1	DIQMTQSPSSLSASVGDTVTITCQANGYLNWYQQRRGKAPKL LIYDGSKLERGVPSRFSGRRWGQEYNLTINNLQPEDIATYFC QVYEIVPGTRLDLK

**Таблица IX. Последовательности VL**

SEQ ID NO	Название	Последовательность аминокислот вариабельной области легкой цепи (VL)
569	1.1.138-1	DIQMTQSPSSLSASVGDTVTITCQATGYLNWYQQRRGKAPKL LIYDGSKLERGVPSRFSGRRWGQEYNLTINNLQPEDIATYFC QVYEFVVPGTRLDLK
516	1.1.104-1	DIQMTQSPSSLSASVGDTATITCQANGYLNWYQQRRGKAPKL LIYDGSKLERGVPSRFSGRRWGQEYTLTINNLQPEDIATYFC QVYEFFGPGTRLDLK

**[0069]** В некоторых вариантах реализации антитела против gp120 или связывающие gp120 фрагменты, описанные в данной заявке, содержат VH, которая по меньшей мере на 80%, по меньшей мере на 85%, по меньшей мере на 90%, по меньшей мере на 91%, по меньшей мере на 92%, по меньшей мере на 93%, по меньшей мере на 94%, по меньшей мере на 95%, по меньшей мере на 96%, по меньшей мере на 97%, по меньшей мере на 98%, по меньшей мере на 99% или на 100% идентична последовательности аминокислот, выбранной из группы, состоящей из последовательностей SEQ ID NO: 181 - 221 и 465 - 478, и VL, которая по меньшей мере на 80%, по меньшей мере на 85%, по меньшей мере на 90%, по меньшей мере на 91%, по меньшей мере на 92%, по меньшей мере на 93%, по меньшей мере на 94%, по меньшей мере на 95%, по меньшей мере на 96%, по меньшей мере на 97%, по меньшей мере на 98%, по меньшей мере на 99% или на 100% идентична последовательности аминокислот, выбранной из группы, состоящей из последовательностей SEQ ID NO: 222 - 311, 479 - 516 и 569. В некоторых вариантах реализации антитела против gp120 или связывающие gp120 фрагменты, описанные в данной заявке, содержат VH, выбранную из группы, состоящей из последовательностей SEQ ID NO: 181 - 221 и 465 - 478, и VL, выбранную из группы, состоящей из последовательностей SEQ ID NO: 222 - 311, 479 - 516 и 569.

**[0070]** При сравнении полинуклеотидной и полипептидной последовательностей две последовательности называют “идентичными”, если последовательность нуклеотидов или аминокислот в двух последовательностях одинакова при выравнивании для максимального соответствия, как описано ниже. Сравнения между двумя последовательностями обычно проводят путем сравнения последовательностей в окне сравнения, чтобы определить и сравнить локальные участки подобия последовательностей. “Окно сравнения” в данной заявке

относится к фрагменту из по меньшей мере приблизительно 20 смежных положений, обычно от 30 до приблизительно 75, от 40 до приблизительно 50, в котором последовательность можно сравнить с эталонной последовательностью из такого же количества смежных положений после оптимального выравнивания двух указанных последовательностей.

[0071] Выравнивание последовательностей для сравнения можно осуществить, применяя программу Megalign из пакета программного обеспечения для биоинформатики Lasergene (DNASTAR, Inc., Мэдисон, Висконсин), используя параметры по умолчанию. Данная программа реализует несколько схем выравнивания, описанных в следующих ссылочных материалах: Dayhoff, M.O. (1978) A model of evolutionary change in proteins - Matrices for detecting distant relationships. В Dayhoff, M.O. (ред.), A Atlas of Protein Sequence and Structure, National Biomedical Research Foundation, Вашингтон, округ Колумбия, том 5, прил. 3, стр. 345 - 358; Hein J. (1990), Unified Approach to Alignment and Phylogenies, стр. 626-645, Methods in Enzymology, том 183, Academic Press, Inc., Сан-Диего, Калифорния; Higgins, D.G. и Sharp, P.M. (1989) CABIOS 5: 151-153; Myers, E.W. и Muller W. (1988) CABIOS 4:11-17; Robinson, E.D. (1971) Comb. Theor 77: 105; Santou, N. Nes, M. (1987) Mol. Biol. Evol. 4:406-425; Sneath, P.H.A. и Sokal, R.R. (1973) Numerical Taxonomy - the Principles and Practice of Numerical Taxonomy, Freeman Press, Сан-Франциско, Калифорния; Wilbur, W.J. и Lipman, D.J. (1983) Proc. Natl. Acad., Sci. USA 80:726-730.

[0072] В качестве альтернативы, выравнивание последовательностей для сравнения можно осуществить с помощью алгоритма локальной идентичности Смита и Уотермана (1981) Add. APL. Math 2:482, с помощью алгоритма выравнивания областей гомологии Нидлмана и Вунша (1970), J. Mol. Biol. 48:443, с помощью способа поиска сходства по Пирсону-Липману (1988), Proc. Natl. Acad. Sci. USA 85: 2444, с помощью компьютеризированных реализаций данных алгоритмов (GAP, BESTFIT, BLAST, FASTA и TFASTA в пакете программного обеспечения Wisconsin Genetics, Genetics Computer Group (GCG), 575 Science Dr., Мэдисон, Висконсин), или путем визуального анализа.

[0073] Одним примером алгоритмов, которые подходят для определения процента идентичности последовательностей и подобия последовательностей, являются алгоритмы BLAST и BLAST 2.0, которые описаны в Altschul и др. (1977) Nucl. Acids Res. 25:3389-3402 и Altschul и др. (1990) J. Mol. Biol. 215:403-410,

соответственно. BLAST и BLAST 2.0 можно применять, например, с параметрами, описанными в данной заявке, чтобы определить процент идентичности последовательностей для полинуклеотидов и полипептидов, описанных в данной заявке. Программное обеспечение для проведения анализа BLAST общедоступно через Национальный центр биотехнологической информации.

[0074] В одном наглядном примере совокупные баллы можно рассчитать, применяя, для последовательностей нуклеотидов, параметры M (поощрительный балл для пары совпадающих остатков; всегда  $>0$ ) и N (штрафной балл для несовпадающих остатков; всегда  $<0$ ). Удлинение совпадений слов в каждом направлении останавливают, когда: кумулятивный балл выравнивания уменьшается на величину X от максимально достигнутого значения; кумулятивный балл снижается до нуля или ниже, вследствие накопления одного или более выравниваний остатков с отрицательными баллами; или достигается конец последовательности. Параметры алгоритма BLAST W, T и X определяют чувствительность и скорость выравнивания. В программе BLASTN (для последовательностей нуклеотидов) используют в качестве параметров по умолчанию длину слова (W), равную 11, и ожидание (E), равное 10, и выравнивания с использованием матрицы весов BLOSUM62 (см. Henikoff и Henikoff (1989) Proc. Natl. Acad. Sci. USA 89: 10915), (B), равное 50, ожидание (E), равное 10, M = 5, N = -4 и сравнение обеих цепей.

[0075] Для последовательностей аминокислот матрицу весов можно применять для расчета кумулятивного балла. Удлинение совпадений слов в каждом направлении останавливают, когда: кумулятивный балл выравнивания уменьшается на величину X от максимально достигнутого значения; кумулятивный балл снижается до нуля или ниже, вследствие накопления одного или более выравниваний остатков с отрицательными баллами; или достигается конец последовательности. Параметры алгоритма BLAST W, T и X определяют чувствительность и скорость выравнивания.

[0076] В одном подходе “процент идентичности последовательностей” определяют путем сравнения двух оптимально выровненных последовательностей в окне сравнения из по меньшей мере 20 положений, причем часть последовательности полинуклеотида или полипептида в окне сравнения может содержать вставки или делеции (т.е., гэпы) 20 процентов или менее, обычно от 5 до 15 процентов или от 10 до 12 процентов по сравнению с эталонными

последовательностями (которые не содержат вставки или делеции) для выравнивания двух последовательностей. Процент рассчитывают путем определения количества положений, в которых встречаются идентичные основания нуклеиновых кислот или аминокислотные остатки в обеих последовательностях, с получением количества совпадающих положений, деления количества совпадающих положений на общее количество положений в эталонной последовательности (т.е., размер окна) и умножения результатов на 100 с получением процента идентичности последовательностей.

[0077] В объем настоящего изобретения входят антитела против gp120 или связывающие gp120 их фрагменты, которые содержат VH любого из антител, описанных в данной заявке. В некоторых вариантах реализации антитело против gp120 или связывающий gp120 его фрагмент содержит VH любого одного из антитела A-1, антитела 1.1.64-1, антитела 1.90-1, антитела 2.2.1-1, антитела 2.3.1-1, антитела 3.1.5-1, антитела 2.2.5-1, антитела 2.3.5-1, антитела 1.1.119-1, антитела 1.1.104-1, антитела 1.52.64-1, антитела 2.4.1-1, антитела 1.1.54-1 или антитела 2-1. В некоторых вариантах реализации антитело против gp120 или связывающий gp120 его фрагмент содержит VH антитела 1.52.64-1.

[0078] В объем настоящего изобретения входят антитела против gp120 или связывающие gp120 их фрагменты, которые содержат VL любого из антител, описанных выше. В некоторых вариантах реализации антитело против gp120 или связывающий gp120 его фрагмент содержит VL любого одного из антитела A-1, антитела 1.1.64-1, антитела 1.1.90-1, антитела 2.2.1-1, 2.3.1-1, антитела 3.1.5-1, антитела 2.2.5-1, антитела 2.3.5-1, антитела 1.1.119-1, антитела 1.1.104-1, антитела 1.52.64-1, антитела 2.4.1-1, антитела 1.1.54-1 или антитела B-1-1. Также в объем настоящего изобретения входят антитела против gp120 или связывающие gp120 их фрагменты, которые содержат VH и VL любого из антител, описанных в данной заявке. В некоторых вариантах реализации антитело против gp120 или связывающий gp120 его фрагмент содержит VH и VL любого одного из антитела A-1, антитела 1.1.64-1, антитела 1.1.90-1, антитела 2.2.1-1, антитела 2.3.1-1, антитела 3.1.5-1, антитела 2.2.5-1, антитела 2.3.5-1, антитела 1.1.119-1, антитела 1.1.104-1, антитела 1.52.64-1, антитела 2.4.1-1, антитела 1.1.54-1 или антитела B-1. Также в объем настоящего изобретения входят антитела, содержащие области CDR любой из указанных выше последовательностей VL и/или VH.

**[0079]** В некоторых случаях антитела против gp120 или связывающие gp120 их фрагменты содержат, дополнительно к последовательности аминокислот VH любого из антител, описанных в данной заявке, константную область тяжелой цепи, содержащую представленную ниже последовательность аминокислот с от 0 до 10 (например, 1, 2, 3, 4, 5, 6, 7, 8, 9, 10) заменами аминокислот:

ASTKGPSVFPLAPSSKSTSGGTAALGCLVKDYFPEPVTVWNSGALTSGVHTFPABLQSSGLYSLSSVVT  
VPSSSLGTQTYICNVNHKPSNTKVDKKVEPKSCDKTHTCPCPAPELLAGPDVFLFPPKPKDLMISRT  
EVTCVVVDVSHEDPEVKFNWYVDGVEVHNAKTKPREEQYNSTYRVSVLTVLHQDWLNGKEYKCKVSNKA  
LPLPEEKTISKAKGQPREPQVYTLPPSREEMTKNQVSLTCLVKGFYPSDIAVEWESNGQPENNYKTP  
LDSDGSFFLYSKLTVDKSRWQQGNVFSCSVMHEALHNHYTQKSLSLSPGK (SEQ ID NO: 437);

ASTKGPSVFPLAPSSKSTSGGTAALGCLVKDYFPEPVTVWNSGALTSGVHTFPABLQSSGLYSLSSVVT  
VPSSSLGTQTYICNVNHKPSNTKVDKKVEPKSCDKTHTCPCPAPELLAGPDVFLFPPKPKDLMISRT  
EVTCVVVDVSHEDPEVKFNWYVDGVEVHNAKTKPREEQYNSTYRVSVLTVLHQDWLNGKEYKCKVSNKA  
LPLPEEKTISKAKGQPREPQVYTLPPSREEMTKNQVSLTCLVKGFYPSDIAVEWESNGQPENNYKTP  
LDSDGSFFLYSKLTVDKSRWQQGNVFSCSVMHEALHSHYTQKSLSLSPGK (SEQ ID NO: 438);

ASTKGPSVFPLAPSSKSTSGGTAALGCLVKDYFPEPVTVWNSGALTSGVHTFPABLQSSGLYSLSSVVT  
VPSSSLGTQTYICNVNHKPSNTKVDKKVEPKSCDKTHTCPCPAPELLGGPDVFLFPPKPKDLMISRT  
EVTCVVVDVSHEDPEVKFNWYVDGVEVHNAKTKPREEQYNSTYRVSVLTVLHQDWLNGKEYKCKVSNKA  
LPAPEEKTISKAKGQPREPQVYTLPPSREEMTKNQVSLTCLVKGFYPSDIAVEWESNGQPENNYKTP  
LDSDGSFFLYSKLTVDKSRWQQGNVFSCSVMHEALHSHYTQKSLSLSPGK (SEQ ID NO: 439);

ASTKGPSVFPLAPSSKSTSGGTAALGCLVKDYFPEPVTVWNSGALTSGVHTFPABLQSSGLYSLSSVVT  
VPSSSLGTQTYICNVNHKPSNTKVDKKVEPKSCDKTHTCPCPAPELLAGPDVFLFPPKPKDLMISRT  
EVTCVVVDVSHEDPEVKFNWYVDGVEVHNAKTKPREEQYNSTYRVSVLTVLHQDWLNGKEYKCKVSNKA  
LPAPEEKTISKAKGQPREPQVYTLPPSREEMTKNQVSLTCLVKGFYPSDIAVEWESNGQPENNYKTP  
LDSDGSFFLYSKLTVDKSRWQQGNVFSCSVMHEALHSHYTQKSLSLSPGK (SEQ ID NO: 440);

ASTKGPSVFPLAPSSKSTSGGTAALGCLVKDYFPEPVTVWNSGALTSGVHTFPABLQSSGLYSLSSVVT  
VPSSSLGTQTYICNVNHKPSNTKVDKKVEPKSCDKTHTCPCPAPELLGGPDVFLFPPKPKDLMISRT  
EVTCVVVDVSHEDPEVKFNWYVDGVEVHNAKTKPREEQYNSTYRVSVLTVLHQDWLNGKEYKCKVSNKA  
LPLPEEKTISKAKGQPREPQVYTLPPSREEMTKNQVSLTCLVKGFYPSDIAVEWESNGQPENNYKTP  
LDSDGSFFLYSKLTVDKSRWQQGNVFSCSVMHEALHSHYTQKSLSLSPGK (SEQ ID NO: 441);

or

ASTKGPSVFPLAPSSKSTSGGTAALGCLVKDYFPEPVTVWNSGALTSGVHTFPABLQSSGLYSLSSVVT  
VPSSSLGTQTYICNVNHKPSNTKVDKKVEPKSCDKTHTCPCPAPELLGGPSVLLPPKPKDLMISRT  
EVTCVVVDVSHEDPEVKFNWYVDGVEVHNAKTKPPEEQYNSTLRVSVILTVLHQDWLNGKEYKCKVSNKA

LPAPIEKTIKAKGQPREPVYTLPPSREEMTKNQVSLTCLVKGFYPSDIAVEWESNGQPENNYKTTPLVL  
LDSDGSFFLYSKLTVDKSRWQQGNVFSCSVLHEALHSHYTQKSLSLSPGK (SEQ ID NO: 442).

**[0080]** В некоторых вариантах реализации антитела против gp120 или связывающие gp120 их фрагменты содержат последовательность аминокислот VH, представленную в SEQ ID NO: 477, и константную область тяжелой цепи, содержащую последовательность аминокислот, представленную в SEQ ID NO: 438 с от 0 до 10 (например, 1, 2, 3, 4, 5, 6, 7, 8, 9, 10) заменами аминокислот.

**[0081]** Последовательности аминокислот тяжелой цепи и легкой цепи типичных антител согласно настоящей заявке представлены в таблицах X и XI, соответственно. Последовательности аминокислот тяжелой и легкой цепей контрольных антител, которые применяют во множестве способов анализа в настоящем описании (например, антитела С и антитела D-1), также представлены.

**Таблица X. Последовательности тяжелой цепи**

SEQ ID NO	Название	Последовательность аминокислот тяжелой цепи
1	C	QVRLSQSGGQMKKPGDSMRISCRASGYEFINCPINWIRLAPGKRPEWMGMKPRWGAVSYA RQLQGRVTMTRDMYSETAFLELRSLTSDDTAVYFCTRGKYCTARDYYNWDFEHWGQGTPVTVSSASTKGPSVFP LAPSSKSTSGGTAALGCLVKDYFPEPVTWSWNSGALTSGVHTFPAVLQSSGLYSLSSVVTVPSSSLGTQTYICNVNHKPSNTKVDKKVEPKSCDKTHTCPPCPAPELLGPSVFLFPPKPKDTLMISRTPETCVVVDVSHEDPEVKFNWYVDGVEVHNAKTKPREEQYNSTYRVVSVLTVLHQDWLNGKEYKCKVSNKALPAPIEKTIKAKGQPREPVYTLPPSREEMTKNQVSLTCLVKGFYPSDIAVEWESNGQPENNYKTTPPVLDSDGSFFLYSKLTVDKSRWQQGNVFSCSVLHEALHSHYTQKSLSLSPGK
2	A-1	QVQLLQSGAAVTKPGASVRVSCEASGYNIRDYFIHWWRQAPGQGLQWVGWINPKTGQPNNPRQFQGRVSLTRHASWDFDTFSFYMDLKALRSDDTAVYFCARQRSDYWDFDVWGSTQVTVSSASTKGPSVFP LAPSSKSTSGGTAALGCLVKDYFPEPVTWSWNSGALTSGVHTFPAVLQSSGLYSLSSVVTVPSSSLGTQTYICNVNHKPSNTKVDKKVEPKSCDKTHTCPPCPAPELLAGPDVFLFPPKPKDTLMISRTPETCVVVDVSHEDPEVKFNWYVDGVEVHNAKTKPREEQYNSTYRVVSVLTVLHQDWLNGKEYKCKVSNKALPPEEKTIKAKGQPREPVYTLPPSREEMTKNQVSLTCLVKGFYPSDIAVEWESNGQPENNYKTTPPVLDSDGSFFLYSKLTVDKSRWQQGNVFSCSVLHEALHSHYTQKSLSLSPGK
3	A	QVQLLQSGAAVTKPGASVRVSCEASGYNIRDYFIHWWRQAPGQGLQWVGWINPKTGQPNNPRQFQGRVSLTRHASWDFDTFSFYMDLKALRSDDTAVYFCARQRSDYWDFDVWGSTQVTVSSASTKGPSVFP LAPSSKSTSGGTAALGCLVKDYFPEPVTWSWNSGALTSGVHTFPAVLQSSGLYSLSSVVTVPSSSLGTQTYICNVNHKPSNTKVDKKVEPKSCDKTHTCPPCPAPELLGGPSVFLFPPKPKDTLMISRTPETCVVVDVSHEDPEVKFNWYVDGVEVHNAKTKPREEQYNSTYRVVSVLTVLHQDWLNGKEYKCKVSNKALPAPIEKTIKAKGQPREPVYTLPPSREEMTKNQVSLTCLVKGFYPSDIAVEWESNGQPENNYKTTPPVLDSDGSFFLYSKLTVDKSRWQQGNVFSCSVLHEALHSHYTQKSLSLSPGK
4	D-1	QVRLSQSGGQMKKPGDSMRISCRASGYEFINCPINWIRLAPGKRPEWMGMKPRHGAVSYARQLQGRVTMTRDMYSETAFLELRSLTSDDTAVYFCTRGKYCTARDYYNWDFEHWGQGTPVTVSSASTKGPSVFP LAPSSKSTSGGTAALGCLVKDYFPEPVTWSWNSGALTSGVHTFPAVLQSSGLYSLSSVVTVPSSSLGTQTYICNVNHKPSNTKVDKKVEPKSCDKTHTCPPCPAPELLA

**Таблица X. Последовательности тяжелой цепи**

SEQ ID NO	Название	Последовательность аминокислот тяжелой цепи
		GPDVFLFPPKPKDTLMISRTPEVTCVVVDVSHEDPEVKFNWYVDGVEVHNAKTKPREEQYN STYRVSVLTVLHQDWLNGKEYKCKVSNKALP <sub>L</sub> PEEKTISKAKGQP <sub>R</sub> E <sub>P</sub> QVYTLPPSREEM TKNQVS <sub>L</sub> TCLVKGFYPSDI <sub>A</sub> VEWE <sub>S</sub> NGQPENNYKTT <sub>P</sub> VLDSDGSFFLYSKLTVDKSRWQQ GNVFCSV <sub>L</sub> HEALHSHYTQKSLSLSPGK
5	1v2-1	QVQLLQSGAAVTKPGASVRVSCEASGYNIRDYFIHWWRQAPGQGLQWVGWINPKTGQPNNP RQFQGRVSLTRHASWDFDFTSFYMDLKALRSDDTAVYFCARQRSDYWDFDVWGS <sub>G</sub> TQVTVS SASTKGPSVFPLAPSSK <sub>T</sub> SGGTAA <sub>L</sub> GCLVKDYFPEPVTVWSNSGALTSGVHTFP <sub>A</sub> VLQSS GLYSLSSVVTVPSSSLGTQTYICNVNHKPSNTKVDKK <sub>V</sub> EPKSCDKTHTC <sub>P</sub> CPAPELLAGP DVFLFPPKPKDTLMISRTPEVTCVVVDVSHEDPEVKFNWYVDGVEVHNAKTKPREEQYNST YRVSVLTVLHQDWLNGKEYKCKVSNKALP <sub>L</sub> PEEKTISKAKGQP <sub>R</sub> E <sub>P</sub> QVYTLPPSREEMTK NQVSLTCLVKGFYPSDI <sub>A</sub> VEWE <sub>S</sub> NGQPENNYKTT <sub>P</sub> VLDSDGSFFLYSKLTVDKSRWQQGN VFCSV <sub>L</sub> HEALHSHYTQKSLSLSPGK
6	1.2.1 -1	QVQLLQSGAEVKPGASVRVSCEASGYNIRDYFIHWWRQAPGQGLQWVGWINPKTGQPNNP RQFQGRVSLTRHASWDFDFTSFYMDLKALRSDDTAVYFCARQRSDYWDFDVWGS <sub>G</sub> TQVTVS SASTKGPSVFPLAPSSK <sub>T</sub> SGGTAA <sub>L</sub> GCLVKDYFPEPVTVWSNSGALTSGVHTFP <sub>A</sub> VLQSS GLYSLSSVVTVPSSSLGTQTYICNVNHKPSNTKVDKK <sub>V</sub> EPKSCDKTHTC <sub>P</sub> CPAPELLAGP DVFLFPPKPKDTLMISRTPEVTCVVVDVSHEDPEVKFNWYVDGVEVHNAKTKPREEQYNST YRVSVLTVLHQDWLNGKEYKCKVSNKALP <sub>L</sub> PEEKTISKAKGQP <sub>R</sub> E <sub>P</sub> QVYTLPPSREEMTK NQVSLTCLVKGFYPSDI <sub>A</sub> VEWE <sub>S</sub> NGQPENNYKTT <sub>P</sub> VLDSDGSFFLYSKLTVDKSRWQQGN VFCSV <sub>L</sub> HEALHSHYTQKSLSLSPGK
7	1.3.1 -1	QVSLLQSGAAVTKPGASVRVSCEASGYNIRDYFIHWWRQAPGQGLQWVGWINPKTGQPNNP RQFQGRVSLTRHASWDFDFTSFYMDLKALRSDDTAVYFCARQRSDYWDFDVWGS <sub>G</sub> TQVTVS SASTKGPSVFPLAPSSK <sub>T</sub> SGGTAA <sub>L</sub> GCLVKDYFPEPVTVWSNSGALTSGVHTFP <sub>A</sub> VLQSS GLYSLSSVVTVPSSSLGTQTYICNVNHKPSNTKVDKK <sub>V</sub> EPKSCDKTHTC <sub>P</sub> CPAPELLAGP DVFLFPPKPKDTLMISRTPEVTCVVVDVSHEDPEVKFNWYVDGVEVHNAKTKPREEQYNST YRVSVLTVLHQDWLNGKEYKCKVSNKALP <sub>L</sub> PEEKTISKAKGQP <sub>R</sub> E <sub>P</sub> QVYTLPPSREEMTK NQVSLTCLVKGFYPSDI <sub>A</sub> VEWE <sub>S</sub> NGQPENNYKTT <sub>P</sub> VLDSDGSFFLYSKLTVDKSRWQQGN VFCSV <sub>L</sub> HEALHSHYTQKSLSLSPGK
8	1.4.1 -1	QVQLVQSGAAVTKPGASVRVSCEASGYNIRDYFIHWWRQAPGQGLQWVGWINPKTGQPNNP RQFQGRVSLTRHASWDFDFTSFYMDLKALRSDDTAVYFCARQRSDYWDFDVWGS <sub>G</sub> TQVTVS SASTKGPSVFPLAPSSK <sub>T</sub> SGGTAA <sub>L</sub> GCLVKDYFPEPVTVWSNSGALTSGVHTFP <sub>A</sub> VLQSS GLYSLSSVVTVPSSSLGTQTYICNVNHKPSNTKVDKK <sub>V</sub> EPKSCDKTHTC <sub>P</sub> CPAPELLAGP DVFLFPPKPKDTLMISRTPEVTCVVVDVSHEDPEVKFNWYVDGVEVHNAKTKPREEQYNST YRVSVLTVLHQDWLNGKEYKCKVSNKALP <sub>L</sub> PEEKTISKAKGQP <sub>R</sub> E <sub>P</sub> QVYTLPPSREEMTK NQVSLTCLVKGFYPSDI <sub>A</sub> VEWE <sub>S</sub> NGQPENNYKTT <sub>P</sub> VLDSDGSFFLYSKLTVDKSRWQQGN VFCSV <sub>L</sub> HEALHSHYTQKSLSLSPGK
9	1.5.1 -1	QVQLVQSGAAVTKPGASVRVSCKASGYNIRDYFIHWWRQAPGQGLQWVGWINPKTGQPNNP RQFQGRVSLTRHASWDFDFTSFYMDLKALRSDDTAVYFCARQRSDYWDFDVWGS <sub>G</sub> TQVTVS SASTKGPSVFPLAPSSK <sub>T</sub> SGGTAA <sub>L</sub> GCLVKDYFPEPVTVWSNSGALTSGVHTFP <sub>A</sub> VLQSS GLYSLSSVVTVPSSSLGTQTYICNVNHKPSNTKVDKK <sub>V</sub> EPKSCDKTHTC <sub>P</sub> CPAPELLAGP DVFLFPPKPKDTLMISRTPEVTCVVVDVSHEDPEVKFNWYVDGVEVHNAKTKPREEQYNST YRVSVLTVLHQDWLNGKEYKCKVSNKALP <sub>L</sub> PEEKTISKAKGQP <sub>R</sub> E <sub>P</sub> QVYTLPPSREEMTK NQVSLTCLVKGFYPSDI <sub>A</sub> VEWE <sub>S</sub> NGQPENNYKTT <sub>P</sub> VLDSDGSFFLYSKLTVDKSRWQQGN VFCSV <sub>L</sub> HEALHSHYTQKSLSLSPGK
10	1.6.1 -1	QVQLLQSGAEVTKPGASVRVSCEASGYNIRDYFIHWWRQAPGQGLQWVGWINPKTGQPNNP RQFQGRVSLTRHASWDFDFTSFYMDLKALRSDDTAVYFCARQRSDYWDFDVWGS <sub>G</sub> TQVTVS SASTKGPSVFPLAPSSK <sub>T</sub> SGGTAA <sub>L</sub> GCLVKDYFPEPVTVWSNSGALTSGVHTFP <sub>A</sub> VLQSS GLYSLSSVVTVPSSSLGTQTYICNVNHKPSNTKVDKK <sub>V</sub> EPKSCDKTHTC <sub>P</sub> CPAPELLAGP DVFLFPPKPKDTLMISRTPEVTCVVVDVSHEDPEVKFNWYVDGVEVHNAKTKPREEQYNST

**Таблица X. Последовательности тяжелой цепи**

<b>SEQ ID NO</b>	<b>Название</b>	<b>Последовательность аминокислот тяжелой цепи</b>
		YRVSVLTVLHQDWLNGKEYKCKVSNKALPLPEEKTI SKAKGQPREPQVYTLPPSREEMTK NQVSLTCLVKGFYPSDI AVEWESNGQPENNYKTTPVLDSDGSFFLYSKLTVDKSRWQQGN VFSCSVLHEALHSHYTQKSLSLSPKG
11	1.7.1 -1	QVQLQSGAEVKPGASVRVSCEASGYNIRDYFIHWWRQAPGQGLQWVGWINPKTGQPNNP RQFQGRVSLTRHASWDFDTFSFYMDLKALRSDDTAVYFCARQRSDYWDFDVWGSQTQVTVS SASTKGPSVFLAPSSKSTSGGTAALGCLVKDYFPEPVTVSWNSGALTSGVHTFPAVLQSS GLYSLSSVVTVPSSSLGTQTYICNVNHKPSNTKVDKKVEPKSCDKTHTCPCPAELLAGP DVFLFPPPKD TLMISRTPEVCVV DVSHEDPEVKFNWYVDGVEVHNAKT K PREEQYNST YRVSVLTVLHQDWLNGKEYKCKVSNKALPLPEEKTI SKAKGQPREPQVYTLPPSREEMTK NQVSLTCLVKGFYPSDI AVEWESNGQPENNYKTTPVLDSDGSFFLYSKLTVDKSRWQQGN VFSCSVLHEALHSHYTQKSLSLSPKG
12	1.8.1 -1	QVQLQSGAEVTKPGASVRVSCEASGYNIRDYFIHWWRQAPGQGLQWVGWINPKTGQPNNP RQFQGRVSLTRHASWDFDTFSFYMDLKALRSDDTAVYFCARQRSDYWDFDVWGSQTQVTVS SASTKGPSVFLAPSSKSTSGGTAALGCLVKDYFPEPVTVSWNSGALTSGVHTFPAVLQSS GLYSLSSVVTVPSSSLGTQTYICNVNHKPSNTKVDKKVEPKSCDKTHTCPCPAELLAGP DVFLFPPPKD TLMISRTPEVCVV DVSHEDPEVKFNWYVDGVEVHNAKT K PREEQYNST YRVSVLTVLHQDWLNGKEYKCKVSNKALPLPEEKTI SKAKGQPREPQVYTLPPSREEMTK NQVSLTCLVKGFYPSDI AVEWESNGQPENNYKTTPVLDSDGSFFLYSKLTVDKSRWQQGN VFSCSVLHEALHSHYTQKSLSLSPKG
13	1.9.1 -1	QVQLQSGAEVKPGASVRVSCKASGYNIRDYFIHWWRQAPGQGLQWVGWINPKTGQPNNP RQFQGRVSLTRHASWDFDTFSFYMDLKALRSDDTAVYFCARQRSDYWDFDVWGSQTQVTVS SASTKGPSVFLAPSSKSTSGGTAALGCLVKDYFPEPVTVSWNSGALTSGVHTFPAVLQSS GLYSLSSVVTVPSSSLGTQTYICNVNHKPSNTKVDKKVEPKSCDKTHTCPCPAELLAGP DVFLFPPPKD TLMISRTPEVCVV DVSHEDPEVKFNWYVDGVEVHNAKT K PREEQYNST YRVSVLTVLHQDWLNGKEYKCKVSNKALPLPEEKTI SKAKGQPREPQVYTLPPSREEMTK NQVSLTCLVKGFYPSDI AVEWESNGQPENNYKTTPVLDSDGSFFLYSKLTVDKSRWQQGN VFSCSVLHEALHSHYTQKSLSLSPKG
14	1.10.1-1	QVQLQSGAAVTKPGASVRVSCEASGYNIRDYFMHWWRQAPGQGLQWVGWINPKTGQPNNP RQFQGRVSLTRHASWDFDTFSFYMDLKALRSDDTAVYFCARQRSDYWDFDVWGSQTQVTVS SASTKGPSVFLAPSSKSTSGGTAALGCLVKDYFPEPVTVSWNSGALTSGVHTFPAVLQSS GLYSLSSVVTVPSSSLGTQTYICNVNHKPSNTKVDKKVEPKSCDKTHTCPCPAELLAGP DVFLFPPPKD TLMISRTPEVCVV DVSHEDPEVKFNWYVDGVEVHNAKT K PREEQYNST YRVSVLTVLHQDWLNGKEYKCKVSNKALPLPEEKTI SKAKGQPREPQVYTLPPSREEMTK NQVSLTCLVKGFYPSDI AVEWESNGQPENNYKTTPVLDSDGSFFLYSKLTVDKSRWQQGN VFSCSVLHEALHSHYTQKSLSLSPKG
15	1.11.1-1	QVQLQSGAAVTKPGASVRVSCEASGYNIRDYFMHWWRQAPGQGLQWVGWINPKTGQPNNP RQFQGRVSLTRHASWDFDTFSAYMDLKALRSDDTAVYFCARQRSDYWDFDVWGSQTQVTVS SASTKGPSVFLAPSSKSTSGGTAALGCLVKDYFPEPVTVSWNSGALTSGVHTFPAVLQSS GLYSLSSVVTVPSSSLGTQTYICNVNHKPSNTKVDKKVEPKSCDKTHTCPCPAELLAGP DVFLFPPPKD TLMISRTPEVCVV DVSHEDPEVKFNWYVDGVEVHNAKT K PREEQYNST YRVSVLTVLHQDWLNGKEYKCKVSNKALPLPEEKTI SKAKGQPREPQVYTLPPSREEMTK NQVSLTCLVKGFYPSDI AVEWESNGQPENNYKTTPVLDSDGSFFLYSKLTVDKSRWQQGN VFSCSVLHEALHSHYTQKSLSLSPKG
16	1.15.1-1	QVQLQSGAAVTKPGASVRVSCEASGYNIRDYFIHWWRQAPGQGLQWVGWINPKWGQPNNP RQFQGRVSLTRHASWDFDTFSFYMDLKALRSDDTAVYFCARQRSDYWDFDVWGSQTQVTVS SASTKGPSVFLAPSSKSTSGGTAALGCLVKDYFPEPVTVSWNSGALTSGVHTFPAVLQSS GLYSLSSVVTVPSSSLGTQTYICNVNHKPSNTKVDKKVEPKSCDKTHTCPCPAELLAGP DVFLFPPPKD TLMISRTPEVCVV DVSHEDPEVKFNWYVDGVEVHNAKT K PREEQYNST YRVSVLTVLHQDWLNGKEYKCKVSNKALPLPEEKTI SKAKGQPREPQVYTLPPSREEMTK

**Таблица X. Последовательности тяжелой цепи**

<b>SEQ ID NO</b>	<b>Назв ание</b>	<b>Последовательность аминокислот тяжелой цепи</b>
		NQVSLTCLVKGFYPSDIAVEWESNGQPENNYKTPPVLDSDGSFFLYSKLTVDKSRWQQGN VFSCSVLHEALSHYTQKSLSLSPGK
17	1.16. 1-1	QVQLLQSGAAVTKPGASVRVSCEASGYNIRDYFIHWWRQAPGQGLQWVGWINPKGGQPNNP RQFQGRVSLTRHASWDFDTFSFYMDLKALRSDDTAVYFCARQRSDYWDFDVWGSTQVTVS SASTKGPSVFLAPSSKSTSGGTAALGCLVKDYFPEPVTWSWNSGALTSGVHTFPAVLQSS GLYSLSSVVTVPSSSLGTQTYICNVNHKPSNTKVDKKVEPKSCDKTHTCPCPAPELLAGP DVFLFPPKPKDTLMI SRTPEVTCVVVDVSHEDPEVKFNWYVDGVEVHNAKTKPREEQYNST YRVVSVLTBLHQDWLNGKEYKCKVSNKALPLPEEKTISAKGQPREPVYTLPPSREEMTK NQVSLTCLVKGFYPSDIAVEWESNGQPENNYKTPPVLDSDGSFFLYSKLTVDKSRWQQGN VFSCSVLHEALSHYTQKSLSLSPGK
18	1.17. 1-1	QVQLLQSGAAVTKPGASVRVSCEASGYNIRDYFIHWWRQAPGQGLQWVGWINPKAGQPNNP RQFQGRVSLTRHASWDFDTFSFYMDLKALRSDDTAVYFCARQRSDYWDFDVWGSTQVTVS SASTKGPSVFLAPSSKSTSGGTAALGCLVKDYFPEPVTWSWNSGALTSGVHTFPAVLQSS GLYSLSSVVTVPSSSLGTQTYICNVNHKPSNTKVDKKVEPKSCDKTHTCPCPAPELLAGP DVFLFPPKPKDTLMI SRTPEVTCVVVDVSHEDPEVKFNWYVDGVEVHNAKTKPREEQYNST YRVVSVLTBLHQDWLNGKEYKCKVSNKALPLPEEKTISAKGQPREPVYTLPPSREEMTK NQVSLTCLVKGFYPSDIAVEWESNGQPENNYKTPPVLDSDGSFFLYSKLTVDKSRWQQGN VFSCSVLHEALSHYTQKSLSLSPGK
19	1.18. 1-1	QVQLLQSGAAVTKPGASVRVSCEASGYNIRDYFIHWWRQAPGQGLQWVGWINPKHGQPNNP RQFQGRVSLTRHASWDFDTFSFYMDLKALRSDDTAVYFCARQRSDYWDFDVWGSTQVTVS SASTKGPSVFLAPSSKSTSGGTAALGCLVKDYFPEPVTWSWNSGALTSGVHTFPAVLQSS GLYSLSSVVTVPSSSLGTQTYICNVNHKPSNTKVDKKVEPKSCDKTHTCPCPAPELLAGP DVFLFPPKPKDTLMI SRTPEVTCVVVDVSHEDPEVKFNWYVDGVEVHNAKTKPREEQYNST YRVVSVLTBLHQDWLNGKEYKCKVSNKALPLPEEKTISAKGQPREPVYTLPPSREEMTK NQVSLTCLVKGFYPSDIAVEWESNGQPENNYKTPPVLDSDGSFFLYSKLTVDKSRWQQGN VFSCSVLHEALSHYTQKSLSLSPGK
20	1.19. 1-1	QVQLLQSGAAVTKPGASVRVSCEASGYNIRDYFIHWWRQAPGQGLQWVGWINPKTGQPNNP RQFQGRVTLTRHASWDFDTFSFYMDLKALRSDDTAVYFCARQRSDYWDFDVWGSTQVTVS SASTKGPSVFLAPSSKSTSGGTAALGCLVKDYFPEPVTWSWNSGALTSGVHTFPAVLQSS GLYSLSSVVTVPSSSLGTQTYICNVNHKPSNTKVDKKVEPKSCDKTHTCPCPAPELLAGP DVFLFPPKPKDTLMI SRTPEVTCVVVDVSHEDPEVKFNWYVDGVEVHNAKTKPREEQYNST YRVVSVLTBLHQDWLNGKEYKCKVSNKALPLPEEKTISAKGQPREPVYTLPPSREEMTK NQVSLTCLVKGFYPSDIAVEWESNGQPENNYKTPPVLDSDGSFFLYSKLTVDKSRWQQGN VFSCSVLHEALSHYTQKSLSLSPGK
21	1.20. 1-1	QVQLLQSGAAVTKPGASVRVSCEASGYNIRDYFIHWWRQAPGQGLQWVGWINPKTGQPNNP RQFQGRVTMTRHASWDFDTFSFYMDLKALRSDDTAVYFCARQRSDYWDFDVWGSTQVTVS SASTKGPSVFLAPSSKSTSGGTAALGCLVKDYFPEPVTWSWNSGALTSGVHTFPAVLQSS GLYSLSSVVTVPSSSLGTQTYICNVNHKPSNTKVDKKVEPKSCDKTHTCPCPAPELLAGP DVFLFPPKPKDTLMI SRTPEVTCVVVDVSHEDPEVKFNWYVDGVEVHNAKTKPREEQYNST YRVVSVLTBLHQDWLNGKEYKCKVSNKALPLPEEKTISAKGQPREPVYTLPPSREEMTK NQVSLTCLVKGFYPSDIAVEWESNGQPENNYKTPPVLDSDGSFFLYSKLTVDKSRWQQGN VFSCSVLHEALSHYTQKSLSLSPGK
22	1.21. 1-1	QVQLLQSGAAVTKPGASVRVSCEASGYNIRDYFIHWWRQAPGQGLQWVGWINPKTGQPNNP RQFQGRVSLRDASWDFDTFSFYMDLKALRSDDTAVYFCARQRSDYWDFDVWGSTQVTVS SASTKGPSVFLAPSSKSTSGGTAALGCLVKDYFPEPVTWSWNSGALTSGVHTFPAVLQSS GLYSLSSVVTVPSSSLGTQTYICNVNHKPSNTKVDKKVEPKSCDKTHTCPCPAPELLAGP DVFLFPPKPKDTLMI SRTPEVTCVVVDVSHEDPEVKFNWYVDGVEVHNAKTKPREEQYNST YRVVSVLTBLHQDWLNGKEYKCKVSNKALPLPEEKTISAKGQPREPVYTLPPSREEMTK NQVSLTCLVKGFYPSDIAVEWESNGQPENNYKTPPVLDSDGSFFLYSKLTVDKSRWQQGN

**Таблица X. Последовательности тяжелой цепи**

SEQ ID NO	Название	Последовательность аминокислот тяжелой цепи
		VFSCSVLHEALHSHYTQKSLSLSPGK
23	1.22. 1-1	QVQLLQSGAAVTKPGASVRVSCEASGYNIRDYFIHWWRQAPGQGLQWVGWINPKTGQPNNP RQFQGRVSLTRASTFSFYMDLKALRSDDTAVYFCARQRSDYWDFDVWGSQTQVTVSSAST KGPSVFPLAPSSKSTSGGTAALGCLVKDYFPEPVTVSWNSGALTSGVHTFPALQSSGLYS LSSVVTVPSSSLGTQTYICNVNHKPSNTKVDKKVEPKSCDKTHTCPCPAPELLAGPDVFL FPPPKPKDTLMSRTPEVTCVVVDVSHEDPEVFKFNWYVDGVEVHNAKTKPREEQYNSTYRVV SVLTVLHQDWLNGKEYKCKVSNKALPLPEEKTISAKGQPREPVYTLPPSREEMTKNQVS LTCLVKGFYPSDIAVEWESNGQOPENNYKTTPPVLDSDGSFFLYSKLTVDKSRWQQGNFSC SVLHEALHSHYTQKSLSLSPGK
24	1.24. 1-1	QVQLLQSGAAVTKPGASVRVSCEASGYNIRDYFIHWWRQAPGQGLQWVGWINPKTGQPNNP RQFQGRVSLTRHASWDFDTFSFYMDLKALRSDDTAVYFCARQRSDYWDFDVWGSQTQVTVS SASTKGPSVFPLAPSSKSTSGGTAALGCLVKDYFPEPVTVSWNSGALTSGVHTFPALQSS GLYSLSSVVTVPSSSLGTQTYICNVNHKPSNTKVDKKVEPKSCDKTHTCPCPAELLAGP DVFLFPPPKPKDTLMSRTPEVTCVVVDVSHEDPEVFKFNWYVDGVEVHNAKTKPREEQYNST YRVVSVLTVLHQDWLNGKEYKCKVSNKALPLPEEKTISAKGQPREPVYTLPPSREEMTK NQVSLTCLVKGFYPSDIAVEWESNGQOPENNYKTTPPVLDSDGSFFLYSKLTVDKSRWQQGN VFSCSVLHEALHSHYTQKSLSLSPGK
25	1.25. 1-1	QVQLLQSGAAVTKPGASVRVSCEASGYNIRDYFIHWWRQAPGQGLQWVGWINPKTGQPNNP RQFQGRVSLTRHASWDFDTFSFYMDLSRLRSDDTAVYFCARQRSDYWDFDVWGSQTQVTVS SASTKGPSVFPLAPSSKSTSGGTAALGCLVKDYFPEPVTVSWNSGALTSGVHTFPALQSS GLYSLSSVVTVPSSSLGTQTYICNVNHKPSNTKVDKKVEPKSCDKTHTCPCPAELLAGP DVFLFPPPKPKDTLMSRTPEVTCVVVDVSHEDPEVFKFNWYVDGVEVHNAKTKPREEQYNST YRVVSVLTVLHQDWLNGKEYKCKVSNKALPLPEEKTISAKGQPREPVYTLPPSREEMTK NQVSLTCLVKGFYPSDIAVEWESNGQOPENNYKTTPPVLDSDGSFFLYSKLTVDKSRWQQGN VFSCSVLHEALHSHYTQKSLSLSPGK
26	1.26. 1-1	QVQLLQSGAAVTKPGASVRVSCEASGYNIRDYFIHWWRQAPGQGLQWVGWINPKTGQPNNP RQFQGRVSLTRHASWDFDTFSFYMDLKALRSDDTATYFCARQRSDYWDFDVWGSQTQVTVS SASTKGPSVFPLAPSSKSTSGGTAALGCLVKDYFPEPVTVSWNSGALTSGVHTFPALQSS GLYSLSSVVTVPSSSLGTQTYICNVNHKPSNTKVDKKVEPKSCDKTHTCPCPAELLAGP DVFLFPPPKPKDTLMSRTPEVTCVVVDVSHEDPEVFKFNWYVDGVEVHNAKTKPREEQYNST YRVVSVLTVLHQDWLNGKEYKCKVSNKALPLPEEKTISAKGQPREPVYTLPPSREEMTK NQVSLTCLVKGFYPSDIAVEWESNGQOPENNYKTTPPVLDSDGSFFLYSKLTVDKSRWQQGN VFSCSVLHEALHSHYTQKSLSLSPGK
27	1.27. 1-1	QVQLLQSGAAVTKPGASVRVSCEASGYNIRDYFIHWWRQAPGQGLQWVGWINPKTGQPNNP RQFQGRVSLTRHASWDFDTFSFYMDLKALRSDDTAVYFCARQRSDYWDFDVWGSQTQVTVS SASTKGPSVFPLAPSSKSTSGGTAALGCLVKDYFPEPVTVSWNSGALTSGVHTFPALQSS GLYSLSSVVTVPSSSLGTQTYICNVNHKPSNTKVDKKVEPKSCDKTHTCPCPAELLAGP DVFLFPPPKPKDTLMSRTPEVTCVVVDVSHEDPEVFKFNWYVDGVEVHNAKTKPREEQYNST YRVVSVLTVLHQDWLNGKEYKCKVSNKALPLPEEKTISAKGQPREPVYTLPPSREEMTK NQVSLTCLVKGFYPSDIAVEWESNGQOPENNYKTTPPVLDSDGSFFLYSKLTVDKSRWQQGN VFSCSVLHEALHSHYTQKSLSLSPGK
28	1.28. 1-1	QVQLLQSGAAVTKPGASVRVSCEASGYNIRDYFIHWWRQAPGQGLQWVGWINPKTGQPNNP RQFQGRVSLTRHASWDFDTFSFYMDLKALRSDDTATYFCARQRSDYWDFDVWGSQTQVTVS SASTKGPSVFPLAPSSKSTSGGTAALGCLVKDYFPEPVTVSWNSGALTSGVHTFPALQSS GLYSLSSVVTVPSSSLGTQTYICNVNHKPSNTKVDKKVEPKSCDKTHTCPCPAELLAGP DVFLFPPPKPKDTLMSRTPEVTCVVVDVSHEDPEVFKFNWYVDGVEVHNAKTKPREEQYNST YRVVSVLTVLHQDWLNGKEYKCKVSNKALPLPEEKTISAKGQPREPVYTLPPSREEMTK NQVSLTCLVKGFYPSDIAVEWESNGQOPENNYKTTPPVLDSDGSFFLYSKLTVDKSRWQQGN VFSCSVLHEALHSHYTQKSLSLSPGK

**Таблица X. Последовательности тяжелой цепи**

SEQ ID NO	Название	Последовательность аминокислот тяжелой цепи
29	1.29. 1-1	QVQLLQSGAAVTKPGASVRVSCEASGYNIRDYFIHWWRQAPGQGLQWVGWINPKTGQPNNP RQFQGRVSLTRHASWDFDTFSFYMDLKALRSDDTAVYFCARQRSDYWDFDVWGQGTQVTVS SASTKGPSVFPLAPSSKSTSGGTAALGCLVKDYFPEPVTVSWNSGALTSGVHTFPABLQSS GLYSLSSVVTVPSSSLGTQTYICNVNHKPSNTKVDKKVEPKSCDKTHTCPCPAPELLAGP DVFLFPPKPKDTLMSRTPEVTCVVDSHEDPEVKFNWYVDGVEVHNAKTKPREEQYNST YRVVSVLTVLHQDWLNGKEYKCKVSNKALPLPEEKTISAKGQPREPVYTLPPSREEMTK NQVSLTCLVKGFYPSDIAVEWESNGQPENNYKTPPVLDSDGSFFLYSKLTVDKSRWQGN VFSCSVLHEALHSHYTQKSLSLSPKG
30	1.30. 1-1	QVQLLQSGAAVTKPGASVRVSCEASGYNIRDYFIHWWRQAPGQGLQWVGWINPKTGQPNNP RQFQGRVSLTRHASWDFDTFSFYMDLKALRSDDTAVYFCARQRSDYWDFDVWGSGTMVTVS SASTKGPSVFPLAPSSKSTSGGTAALGCLVKDYFPEPVTVSWNSGALTSGVHTFPABLQSS GLYSLSSVVTVPSSSLGTQTYICNVNHKPSNTKVDKKVEPKSCDKTHTCPCPAPELLAGP DVFLFPPKPKDTLMSRTPEVTCVVDSHEDPEVKFNWYVDGVEVHNAKTKPREEQYNST YRVVSVLTVLHQDWLNGKEYKCKVSNKALPLPEEKTISAKGQPREPVYTLPPSREEMTK NQVSLTCLVKGFYPSDIAVEWESNGQPENNYKTPPVLDSDGSFFLYSKLTVDKSRWQGN VFSCSVLHEALHSHYTQKSLSLSPKG
31	1.12. 15-1	QVQLLQSGAAVTKPGASVRVSCEASGYNIRDYFIHWVRQAPGQGLQWVGWINPKTGQPNNP RQFQGRVSLTRHASWDFDTFSFYMDLKALRSDDTAVYFCARQRSDYWDFDVWGSGTQVTVS SASTKGPSVFPLAPSSKSTSGGTAALGCLVKDYFPEPVTVSWNSGALTSGVHTFPABLQSS GLYSLSSVVTVPSSSLGTQTYICNVNHKPSNTKVDKKVEPKSCDKTHTCPCPAPELLAGP DVFLFPPKPKDTLMSRTPEVTCVVDSHEDPEVKFNWYVDGVEVHNAKTKPREEQYNST YRVVSVLTVLHQDWLNGKEYKCKVSNKALPLPEEKTISAKGQPREPVYTLPPSREEMTK NQVSLTCLVKGFYPSDIAVEWESNGQPENNYKTPPVLDSDGSFFLYSKLTVDKSRWQGN VFSCSVLHEALHSHYTQKSLSLSPKG
32	1.13. 15-1	QVQLLQSGAAVTKPGASVRVSCEASGYNIRDYFMHWVRQAPGQGLQWVGWINPKTGQPNNP RQFQGRVSLTRHASWDFDTFSFYMDLKALRSDDTAVYFCARQRSDYWDFDVWGSGTQVTVS SASTKGPSVFPLAPSSKSTSGGTAALGCLVKDYFPEPVTVSWNSGALTSGVHTFPABLQSS GLYSLSSVVTVPSSSLGTQTYICNVNHKPSNTKVDKKVEPKSCDKTHTCPCPAPELLAGP DVFLFPPKPKDTLMSRTPEVTCVVDSHEDPEVKFNWYVDGVEVHNAKTKPREEQYNST YRVVSVLTVLHQDWLNGKEYKCKVSNKALPLPEEKTISAKGQPREPVYTLPPSREEMTK NQVSLTCLVKGFYPSDIAVEWESNGQPENNYKTPPVLDSDGSFFLYSKLTVDKSRWQGN VFSCSVLHEALHSHYTQKSLSLSPKG
33	1.14. 15-1	QVQLLQSGAAVTKPGASVRVSCEASGYNIRDYFMHWVRQAPGQGLQWVGWINPKTGQPNNP RQFQGRVSLTRHASWDFDTFSFYMDLKALRSDDTAVYFCARQRSDYWDFDVWGSGTQVTVS SASTKGPSVFPLAPSSKSTSGGTAALGCLVKDYFPEPVTVSWNSGALTSGVHTFPABLQSS GLYSLSSVVTVPSSSLGTQTYICNVNHKPSNTKVDKKVEPKSCDKTHTCPCPAPELLAGP DVFLFPPKPKDTLMSRTPEVTCVVDSHEDPEVKFNWYVDGVEVHNAKTKPREEQYNST YRVVSVLTVLHQDWLNGKEYKCKVSNKALPLPEEKTISAKGQPREPVYTLPPSREEMTK NQVSLTCLVKGFYPSDIAVEWESNGQPENNYKTPPVLDSDGSFFLYSKLTVDKSRWQGN VFSCSVLHEALHSHYTQKSLSLSPKG
34	1.31. 1-1	QVQLVQSGAEVTKPGASVRVSCEASGYNIRDYFIHWWRQAPGQGLQWVGWINPKTGQPNNP RQFQGRVSLTRHASWDFDTFSFYMDLKALRSDDTATYFCARQRSDYWDFDVWGSGTQVTVS SASTKGPSVFPLAPSSKSTSGGTAALGCLVKDYFPEPVTVSWNSGALTSGVHTFPABLQSS GLYSLSSVVTVPSSSLGTQTYICNVNHKPSNTKVDKKVEPKSCDKTHTCPCPAPELLAGP DVFLFPPKPKDTLMSRTPEVTCVVDSHEDPEVKFNWYVDGVEVHNAKTKPREEQYNST YRVVSVLTVLHQDWLNGKEYKCKVSNKALPLPEEKTISAKGQPREPVYTLPPSREEMTK NQVSLTCLVKGFYPSDIAVEWESNGQPENNYKTPPVLDSDGSFFLYSKLTVDKSRWQGN VFSCSVLHEALHSHYTQKSLSLSPKG
35	1.32.	QVQLVQSGAEVTKPGASVRVSCEASGYNIRDYFIHWWRQAPGQGLQWVGWINPKTGQPNNP

**Таблица X. Последовательности тяжелой цепи**

SEQ ID NO	Назв ание	Последовательность аминокислот тяжелой цепи
	1-1	RQFQGRVSLTRHASWDFDTFSFYMDLKALRSDDTAVYFCARQRTDYWDFDVWGSQTQVTVS SASTKGPSVFPLAPSSKSTSGGTAALGCLVKDLYFPEPVTWSWNSGALTSGVHTFPABLQSS GLYSLSSVVTVPSSSLGTQTYICNVNHPKSNTKVDKKVEPKSCDKTHTCPPCPAPELLAGP DVFLFPPKPKDTLMSRTPEVTCVVVDVSHEDPEVKFNWYVDGVEVHNAKTKPREEQYNST YRVSVLTVLHQDWLNGKEYKCKVSNKALPLPEEKTIASKAGQPREPVYTLPPSREEMTK NQVSLTCLVKGFYPSDIAVEWESNGQPENNYKTPPVLDSDGSFFLYSKLTVDKSRWQQGN VFSCSVLHEALHSHYTQKSLSLSPKG
36	1.33. 1-1	QVQLVQSGAEVKKPGASVRVSCKASGYNIRDYFIHWWRQAPGQGLQWVGWINPKTGQPNP RQFQGRVTLTRHASWDFDTFSFYMDLKALRSDDTATYFCARQRSDYWDFDVWGSQTQVTVS SASTKGPSVFPLAPSSKSTSGGTAALGCLVKDLYFPEPVTWSWNSGALTSGVHTFPABLQSS GLYSLSSVVTVPSSSLGTQTYICNVNHPKSNTKVDKKVEPKSCDKTHTCPPCPAPELLAGP DVFLFPPKPKDTLMSRTPEVTCVVVDVSHEDPEVKFNWYVDGVEVHNAKTKPREEQYNST YRVSVLTVLHQDWLNGKEYKCKVSNKALPLPEEKTIASKAGQPREPVYTLPPSREEMTK NQVSLTCLVKGFYPSDIAVEWESNGQPENNYKTPPVLDSDGSFFLYSKLTVDKSRWQQGN VFSCSVLHEALHSHYTQKSLSLSPKG
37	1.34. 1-1	QVQLVQSGAEVKKPGASVRVSCKASGYNIRDYFIHWWRQAPGQGLQWVGWINPKTGQPNP RQFQGRVTLTRHASWDFDTFSFYMDLKALRSDDTAVYFCARQRTDYWDFDVWGSQTQVTVS SASTKGPSVFPLAPSSKSTSGGTAALGCLVKDLYFPEPVTWSWNSGALTSGVHTFPABLQSS GLYSLSSVVTVPSSSLGTQTYICNVNHPKSNTKVDKKVEPKSCDKTHTCPPCPAPELLAGP DVFLFPPKPKDTLMSRTPEVTCVVVDVSHEDPEVKFNWYVDGVEVHNAKTKPREEQYNST YRVSVLTVLHQDWLNGKEYKCKVSNKALPLPEEKTIASKAGQPREPVYTLPPSREEMTK NQVSLTCLVKGFYPSDIAVEWESNGQPENNYKTPPVLDSDGSFFLYSKLTVDKSRWQQGN VFSCSVLHEALHSHYTQKSLSLSPKG
38	1.35. 1-1	QVQLVQSGAEVKKPGASVRVSCKASGYNIRDYFMHWWRQAPGQGLQWVGWINPKTGQPNP RQFQGRVTMTRHASWDFDTFSFYMDLSRLSDDTATYFCARQRTDYWDFDVWQGQGTMVTVS SASTKGPSVFPLAPSSKSTSGGTAALGCLVKDLYFPEPVTWSWNSGALTSGVHTFPABLQSS GLYSLSSVVTVPSSSLGTQTYICNVNHPKSNTKVDKKVEPKSCDKTHTCPPCPAPELLAGP DVFLFPPKPKDTLMSRTPEVTCVVVDVSHEDPEVKFNWYVDGVEVHNAKTKPREEQYNST YRVSVLTVLHQDWLNGKEYKCKVSNKALPLPEEKTIASKAGQPREPVYTLPPSREEMTK NQVSLTCLVKGFYPSDIAVEWESNGQPENNYKTPPVLDSDGSFFLYSKLTVDKSRWQQGN VFSCSVLHEALHSHYTQKSLSLSPKG
39	1.36. 1-1	QVQLVQSGAEVKKPGASVRVSCKASGYNIRDYFMHWWRQAPGQGLQWVGWINPKTGQPNP RQFQGRVTMTRHASWDFDTFSAYMDLSRLSDDTATYFCARQRTDYWDFDVWQGQGTMVTVS SASTKGPSVFPLAPSSKSTSGGTAALGCLVKDLYFPEPVTWSWNSGALTSGVHTFPABLQSS GLYSLSSVVTVPSSSLGTQTYICNVNHPKSNTKVDKKVEPKSCDKTHTCPPCPAPELLAGP DVFLFPPKPKDTLMSRTPEVTCVVVDVSHEDPEVKFNWYVDGVEVHNAKTKPREEQYNST YRVSVLTVLHQDWLNGKEYKCKVSNKALPLPEEKTIASKAGQPREPVYTLPPSREEMTK NQVSLTCLVKGFYPSDIAVEWESNGQPENNYKTPPVLDSDGSFFLYSKLTVDKSRWQQGN VFSCSVLHEALHSHYTQKSLSLSPKG
40	1.37. 51-1	QVQLVQSGAEVKKPGASVRVSCKASGYNIRDYFIHWWRQAPGQGLQWVGWINPKTGQPNP RQFQGRVSLTRHASWDFDTFSFYMDLSRLSDDTAVYFCARQRSDYWDFDVWQGQGTMVTVS SASTKGPSVFPLAPSSKSTSGGTAALGCLVKDLYFPEPVTWSWNSGALTSGVHTFPABLQSS GLYSLSSVVTVPSSSLGTQTYICNVNHPKSNTKVDKKVEPKSCDKTHTCPPCPAPELLAGP DVFLFPPKPKDTLMSRTPEVTCVVVDVSHEDPEVKFNWYVDGVEVHNAKTKPREEQYNST YRVSVLTVLHQDWLNGKEYKCKVSNKALPLPEEKTIASKAGQPREPVYTLPPSREEMTK NQVSLTCLVKGFYPSDIAVEWESNGQPENNYKTPPVLDSDGSFFLYSKLTVDKSRWQQGN VFSCSVLHEALHSHYTQKSLSLSPKG
41	A-2	QVQLQSGAAVTKPGASVRVSCEASGYNIRDYFIHWWRQAPGQGLQWVGWINPKTGQPNP RQFQGRVSLTRHASWDFDTFSFYMDLKALRSDDTAVYFCARQRSDYWDFDVWGSQTQVTVS

**Таблица X. Последовательности тяжелой цепи**

SEQ ID NO	Название	Последовательность аминокислот тяжелой цепи
		SASTKGPSVFPLAPSSKSTSGGTAALGCLVKDYFPEPVTWNSGALTSGVHTFPALQSS GLYSLSSVVTVPSSSLGTQTYICNVNHKPSNTKVDKKVEPKSCDKTHTCPPCPAPELLAGP DVFLFPPKPKDTLMSRTPEVTCVVVDVSHEDPEVKFNWYVDGVEVHNAKTKPREEQYNST YRVSVLTVLHQDWLNGKEYKCKVSNKALPPEEKTISAKGQPREGQVYTLPPSREEMTK NQVSLTCLVKGFYPSDIAVEWESNGQPENNYKTPVLDSDGSFFLYSKLTVDKSRWQQGN VFSCSVMLHEALHNHYTQKSLSPGK
42	B-1	QVHLQSAGAAVTKGASVRVSCEASGYKISDHFIHWWRQAPGQGLQWVGWINPKTGQPNNP RQFQGRVSLTRQASWDFDTYSFYMDLKAVRSDDTAIFCARQRSDWFDFDVWGSTQVTVS SASTKGPSVFPLAPSSKSTSGGTAALGCLVKDYFPEPVTWNSGALTSGVHTFPALQSS GLYSLSSVVTVPSSSLGTQTYICNVNHKPSNTKVDKKVEPKSCDKTHTCPPCPAPELLAGP DVFLFPPKPKDTLMSRTPEVTCVVVDVSHEDPEVKFNWYVDGVEVHNAKTKPREEQYNST YRVSVLTVLHQDWLNGKEYKCKVSNKALPPEEKTISAKGQPREGQVYTLPPSREEMTK NQVSLTCLVKGFYPSDIAVEWESNGQPENNYKTPVLDSDGSFFLYSKLTVDKSRWQQGN VFSCSVLHEALHSHYTQKSLSPGK
43	A-3	QVQLQSAGAAVTKGASVRVSCEASGYNIRDYFIHWWRQAPGQGLQWVGWINPKTGQPNNP RQFQGRVSLTRHASWDFDTFSFYMDLKALRSDDTAVYFCARQRSDYWFDFDVWGSTQVTVS SASTKGPSVFPLAPSSKSTSGGTAALGCLVKDYFPEPVTWNSGALTSGVHTFPALQSS GLYSLSSVVTVPSSSLGTQTYICNVNHKPSNTKVDKKVEPKSCDKTHTCPPCPAELLGGP DVFLFPPKPKDTLMSRTPEVTCVVVDVSHEDPEVKFNWYVDGVEVHNAKTKPREEQYNST YRVSVLTVLHQDWLNGKEYKCKVSNKALPPEEKTISAKGQPREGQVYTLPPSREEMTK NQVSLTCLVKGFYPSDIAVEWESNGQPENNYKTPVLDSDGSFFLYSKLTVDKSRWQQGN VFSCSVLHEALHSHYTQKSLSPGK
44	A-4	QVQLQSAGAAVTKGASVRVSCEASGYNIRDYFIHWWRQAPGQGLQWVGWINPKTGQPNNP RQFQGRVSLTRHASWDFDTFSFYMDLKALRSDDTAVYFCARQRSDYWFDFDVWGSTQVTVS SASTKGPSVFPLAPSSKSTSGGTAALGCLVKDYFPEPVTWNSGALTSGVHTFPALQSS GLYSLSSVVTVPSSSLGTQTYICNVNHKPSNTKVDKKVEPKSCDKTHTCPPCPAPELLAGP DVFLFPPKPKDTLMSRTPEVTCVVVDVSHEDPEVKFNWYVDGVEVHNAKTKPREEQYNST YRVSVLTVLHQDWLNGKEYKCKVSNKALPPEEKTISAKGQPREGQVYTLPPSREEMTK NQVSLTCLVKGFYPSDIAVEWESNGQPENNYKTPVLDSDGSFFLYSKLTVDKSRWQQGN VFSCSVLHEALHSHYTQKSLSPGK
45	A-5	QVQLQSAGAAVTKGASVRVSCEASGYNIRDYFIHWWRQAPGQGLQWVGWINPKTGQPNNP RQFQGRVSLTRHASWDFDTFSFYMDLKALRSDDTAVYFCARQRSDYWFDFDVWGSTQVTVS SASTKGPSVFPLAPSSKSTSGGTAALGCLVKDYFPEPVTWNSGALTSGVHTFPALQSS GLYSLSSVVTVPSSSLGTQTYICNVNHKPSNTKVDKKVEPKSCDKTHTCPPCPAELLGGP DVFLFPPKPKDTLMSRTPEVTCVVVDVSHEDPEVKFNWYVDGVEVHNAKTKPREEQYNST YRVSVLTVLHQDWLNGKEYKCKVSNKALPPEEKTISAKGQPREGQVYTLPPSREEMTK NQVSLTCLVKGFYPSDIAVEWESNGQPENNYKTPVLDSDGSFFLYSKLTVDKSRWQQGN VFSCSVLHEALHSHYTQKSLSPGK
46	A-6	QVQLQSAGAAVTKGASVRVSCEASGYNIRDYFIHWWRQAPGQGLQWVGWINPKTGQPNNP RQFQGRVSLTRHASWDFDTFSFYMDLKALRSDDTAVYFCARQRSDYWFDFDVWGSTQVTVS SASTKGPSVFPLAPSSKSTSGGTAALGCLVKDYFPEPVTWNSGALTSGVHTFPALQSS GLYSLSSVVTVPSSSLGTQTYICNVNHKPSNTKVDKKVEPKSCDKTHTCPPCPAELLGGP SVFLLPPKPKDTLMSRTPEVTCVVVDVSHEDPEVKFNWYVDGVEVHNAKTKPPEEQYNST LRVSVILTVLHQDWLNGKEYKCKVSNKALPAPIEKTISAKGQPREGQVYTLPPSREEMTK NQVSLTCLVKGFYPSDIAVEWESNGQPENNYKTPVLDSDGSFFLYSKLTVDKSRWQQGN VFSCSVLHEALHSHYTQKSLSPGK
47	1.41. 5-1	QVQLVQSGAEVKPGASVRVSCKASGYNIRDYFIHWWRQAPGQGLQWVGWINPKTGQPNNP RQFQGRVSLTRHASWDFDTFSFYMDLKALRSDDTAVYFCARQRSDYWFDFDVWGSTQVTVS SASTKGPSVFPLAPSSKSTSGGTAALGCLVKDYFPEPVTWNSGALTSGVHTFPALQSS

**Таблица X. Последовательности тяжелой цепи**

SEQ ID NO	Назв ание	Последовательность аминокислот тяжелой цепи
		GLYSLSSVVTVPSSSLGTQTYICNVNHPNSNTKVDKKVEPKSCDKTHTCPCPAELLAGP DVFLFPPKPKDTLMSRTPEVCVVVDVSHEDPEVKFNWYVDGVEVHNAKTKPREEQYNST YRVVSVLTVLHQDWLNGKEYKCKVSNKALPLPEEKTISAKGQPREPQVYTLPPSREEMTK NQVSLTCLVKGFYPSDIAVEWESNGQPENNYKTPPVLDSDGSFFLYSKLTVDKSRWQQGN VFSCSVLHEALTHSHYTQKSLSLSPGK
517	2.2.1 -1	QVHLSQSGAAVTKPGASVRVSCEASGYKIRDHFIIHWWRQAPGQGLQWVGWINPKTGQPNNP RQFQGRVSLTRHASWDFDTFSFYMDLKAVRSDDTAIYFCARQRSDYWDFDVWGSTQVTVS SASTKGPSVFPLAPSSKSTSGGTAALGCLVKDYFPEPVTVSWNSGALTSGVHTFPABLQSS GLYSLSSVVTVPSSSLGTQTYICNVNHPNSNTKVDKKVEPKSCDKTHTCPCPAELLAGP DVFLFPPKPKDTLMSRTPEVCVVVDVSHEDPEVKFNWYVDGVEVHNAKTKPREEQYNST YRVVSVLTVLHQDWLNGKEYKCKVSNKALPLPEEKTISAKGQPREPQVYTLPPSREEMTK NQVSLTCLVKGFYPSDIAVEWESNGQPENNYKTPPVLDSDGSFFLYSKLTVDKSRWQQGN VFSCSVLHEALTHSHYTQKSLSLSPGK
518	2.3.1 -1	QVHLSQSGAAVTKPGASVRVSCEASGYNIRDYFIHWWRQAPGQGLQWVGWINPKTGQPNNP RQFQGRVSLTRHASWDFDTFSFYMDLKAVRSDDTAIYFCARQRSDYWDFDVWGSTQVTVS SASTKGPSVFPLAPSSKSTSGGTAALGCLVKDYFPEPVTVSWNSGALTSGVHTFPABLQSS GLYSLSSVVTVPSSSLGTQTYICNVNHPNSNTKVDKKVEPKSCDKTHTCPCPAELLAGP DVFLFPPKPKDTLMSRTPEVCVVVDVSHEDPEVKFNWYVDGVEVHNAKTKPREEQYNST YRVVSVLTVLHQDWLNGKEYKCKVSNKALPLPEEKTISAKGQPREPQVYTLPPSREEMTK NQVSLTCLVKGFYPSDIAVEWESNGQPENNYKTPPVLDSDGSFFLYSKLTVDKSRWQQGN VFSCSVLHEALTHSHYTQKSLSLSPGK
519	1.42. 1-1	QVHLLQSGAAVTKPGASVRVSCEASGYNIRDYFIHWWRQAPGQGLQWVGWINPKTGQPNNP RQFQGRVSLTRHASWDFDTFSFYMDLKALRSDDTAVYFCARQRSDYWDFDVWGSTQVTVS SASTKGPSVFPLAPSSKSTSGGTAALGCLVKDYFPEPVTVSWNSGALTSGVHTFPABLQSS GLYSLSSVVTVPSSSLGTQTYICNVNHPNSNTKVDKKVEPKSCDKTHTCPCPAELLAGP DVFLFPPKPKDTLMSRTPEVCVVVDVSHEDPEVKFNWYVDGVEVHNAKTKPREEQYNST YRVVSVLTVLHQDWLNGKEYKCKVSNKALPLPEEKTISAKGQPREPQVYTLPPSREEMTK NQVSLTCLVKGFYPSDIAVEWESNGQPENNYKTPPVLDSDGSFFLYSKLTVDKSRWQQGN VFSCSVLHEALTHSHYTQKSLSLSPGK
520	1.43. 1-1	QVQLSQSGAAVTKPGASVRVSCEASGYNIRDYFIHWWRQAPGQGLQWVGWINPKTGQPNNP RQFQGRVSLTRHASWDFDTFSFYMDLKALRSDDTAVYFCARQRSDYWDFDVWGSTQVTVS SASTKGPSVFPLAPSSKSTSGGTAALGCLVKDYFPEPVTVSWNSGALTSGVHTFPABLQSS GLYSLSSVVTVPSSSLGTQTYICNVNHPNSNTKVDKKVEPKSCDKTHTCPCPAELLAGP DVFLFPPKPKDTLMSRTPEVCVVVDVSHEDPEVKFNWYVDGVEVHNAKTKPREEQYNST YRVVSVLTVLHQDWLNGKEYKCKVSNKALPLPEEKTISAKGQPREPQVYTLPPSREEMTK NQVSLTCLVKGFYPSDIAVEWESNGQPENNYKTPPVLDSDGSFFLYSKLTVDKSRWQQGN VFSCSVLHEALTHSHYTQKSLSLSPGK
521	1.44. 1-1	QVQLLQSGAAVTKPGASVRVSCEASGYKIRDYFIHWWRQAPGQGLQWVGWINPKTGQPNNP RQFQGRVSLTRHASWDFDTFSFYMDLKALRSDDTAVYFCARQRSDYWDFDVWGSTQVTVS SASTKGPSVFPLAPSSKSTSGGTAALGCLVKDYFPEPVTVSWNSGALTSGVHTFPABLQSS GLYSLSSVVTVPSSSLGTQTYICNVNHPNSNTKVDKKVEPKSCDKTHTCPCPAELLAGP DVFLFPPKPKDTLMSRTPEVCVVVDVSHEDPEVKFNWYVDGVEVHNAKTKPREEQYNST YRVVSVLTVLHQDWLNGKEYKCKVSNKALPLPEEKTISAKGQPREPQVYTLPPSREEMTK NQVSLTCLVKGFYPSDIAVEWESNGQPENNYKTPPVLDSDGSFFLYSKLTVDKSRWQQGN VFSCSVLHEALTHSHYTQKSLSLSPGK
522	1.45. 1-1	QVQLLQSGAAVTKPGASVRVSCEASGYNISDYFIHWWRQAPGQGLQWVGWINPKTGQPNNP RQFQGRVSLTRHASWDFDTFSFYMDLKALRSDDTAVYFCARQRSDYWDFDVWGSTQVTVS SASTKGPSVFPLAPSSKSTSGGTAALGCLVKDYFPEPVTVSWNSGALTSGVHTFPABLQSS GLYSLSSVVTVPSSSLGTQTYICNVNHPNSNTKVDKKVEPKSCDKTHTCPCPAELLAGP

**Таблица X. Последовательности тяжелой цепи**

SEQ ID NO	Название	Последовательность аминокислот тяжелой цепи
		DVFLFPPKPKDTLMISRPEVTCVVVDVSHEDPEVKFNWYVDGVEVHNAKTKPREEQYNSTYRVVSVLTVLHQDWLNGKEYKCKVSNKALPLPEEKTISAKGQPREGQVYTLPPSREEMTKNQVSLTCLVKGFYPSDIAVEWESNGQPENNYKTPPVLDSDGSFFLYSKLTVDKSRWQQGNVFSCSVLHEALHSHYTQKSLSLSPKG
523	1.46. 1-1	QVQLLQSGAAVTKPGASVRVSCEASGYNIRDHF <small>I</small> HWWRQAPGQGLQWVGWINPKTGQPNNPRQFQGRVSLTRHASWDFDFTSFYMDLKALRSDDTAVYFCARQRSDYWDFDVWGSQTQVTVSSASTKGPSVFPLAPSSKSTSGGTAAALGCLVKDYFPEPVTWSWNSGALTSGVHTFPABLQSSGLYSLSSVVTVPSSSLGTQTYICNVNHKPSNTKVDKKVEPKSCDKTHTCPCPAELLAGPDVFLFPPKPKDTLMISRPEVTCVVVDVSHEDPEVKFNWYVDGVEVHNAKTKPREEQYNSTYRVVSVLTVLHQDWLNGKEYKCKVSNKALPLPEEKTISAKGQPREGQVYTLPPSREEMTKNQVSLTCLVKGFYPSDIAVEWESNGQPENNYKTPPVLDSDGSFFLYSKLTVDKSRWQQGNVFSCSVLHEALHSHYTQKSLSLSPKG
524	1.47. 1-1	QVQLLQSGAAVTKPGASVRVSCEASGYNIRDY <small>I</small> HWWRQAPGQGLQWVGWINPKTGQPNNPRQFQGRVSLTRQASWDFDFTSFYMDLKALRSDDTAVYFCARQRSDYWDFDVWGSQTQVTVSSASTKGPSVFPLAPSSKSTSGGTAAALGCLVKDYFPEPVTWSWNSGALTSGVHTFPABLQSSGLYSLSSVVTVPSSSLGTQTYICNVNHKPSNTKVDKKVEPKSCDKTHTCPCPAELLAGPDVFLFPPKPKDTLMISRPEVTCVVVDVSHEDPEVKFNWYVDGVEVHNAKTKPREEQYNSTYRVVSVLTVLHQDWLNGKEYKCKVSNKALPLPEEKTISAKGQPREGQVYTLPPSREEMTKNQVSLTCLVKGFYPSDIAVEWESNGQPENNYKTPPVLDSDGSFFLYSKLTVDKSRWQQGNVFSCSVLHEALHSHYTQKSLSLSPKG
526	1.49. 1-1	QVQLLQSGAAVTKPGASVRVSCEASGYNIRDY <small>I</small> HWWRQAPGQGLQWVGWINPKTGQPNNPRQFQGRVSLTRHASWDFDFTSFYMDLKAVRSDDTAVYFCARQRSDYWDFDVWGSQTQVTVSSASTKGPSVFPLAPSSKSTSGGTAAALGCLVKDYFPEPVTWSWNSGALTSGVHTFPABLQSSGLYSLSSVVTVPSSSLGTQTYICNVNHKPSNTKVDKKVEPKSCDKTHTCPCPAELLAGPDVFLFPPKPKDTLMISRPEVTCVVVDVSHEDPEVKFNWYVDGVEVHNAKTKPREEQYNSTYRVVSVLTVLHQDWLNGKEYKCKVSNKALPLPEEKTISAKGQPREGQVYTLPPSREEMTKNQVSLTCLVKGFYPSDIAVEWESNGQPENNYKTPPVLDSDGSFFLYSKLTVDKSRWQQGNVFSCSVLHEALHSHYTQKSLSLSPKG
527	1.50. 1-1	QVQLLQSGAAVTKPGASVRVSCEASGYNIRDY <small>I</small> HWWRQAPGQGLQWVGWINPKTGQPNNPRQFQGRVSLTRHASWDFDFTSFYMDLKALRSDDTAIYFCARQRSDYWDFDVWGSQTQVTVSSASTKGPSVFPLAPSSKSTSGGTAAALGCLVKDYFPEPVTWSWNSGALTSGVHTFPABLQSSGLYSLSSVVTVPSSSLGTQTYICNVNHKPSNTKVDKKVEPKSCDKTHTCPCPAELLAGPDVFLFPPKPKDTLMISRPEVTCVVVDVSHEDPEVKFNWYVDGVEVHNAKTKPREEQYNSTYRVVSVLTVLHQDWLNGKEYKCKVSNKALPLPEEKTISAKGQPREGQVYTLPPSREEMTKNQVSLTCLVKGFYPSDIAVEWESNGQPENNYKTPPVLDSDGSFFLYSKLTVDKSRWQQGNVFSCSVLHEALHSHYTQKSLSLSPKG
528	1.51. 1-1	QVQLLQSGAAVTKPGASVRVSCEASGYNIRDY <small>I</small> HWWRQAPGQGLQWVGWINPKTGQPNNPRQFQGRVSLTRHASWDFDFTSFYMDLKALRSDDTAVYFCARQRSDYWDFDVWGSQTQVTVSSASTKGPSVFPLAPSSKSTSGGTAAALGCLVKDYFPEPVTWSWNSGALTSGVHTFPABLQSSGLYSLSSVVTVPSSSLGTQTYICNVNHKPSNTKVDKKVEPKSCDKTHTCPCPAELLAGPDVFLFPPKPKDTLMISRPEVTCVVVDVSHEDPEVKFNWYVDGVEVHNAKTKPREEQYNSTYRVVSVLTVLHQDWLNGKEYKCKVSNKALPLPEEKTISAKGQPREGQVYTLPPSREEMTKNQVSLTCLVKGFYPSDIAVEWESNGQPENNYKTPPVLDSDGSFFLYSKLTVDKSRWQQGNVFSCSVLHEALHSHYTQKSLSLSPKG
529	1.52. 64-1	QVQLLQSGAAVTKPGASVRVSCEASGYNIRDY <small>I</small> HWWRQAPGQGLQWVGWINPKTGQPNNPRQFQGRVSLTRHASFDFDFTSFYMDLKALRSDDTAVYFCARQRSDYWDFDVWGSQTQVTVSSASTKGPSVFPLAPSSKSTSGGTAAALGCLVKDYFPEPVTWSWNSGALTSGVHTFPABLQSSGLYSLSSVVTVPSSSLGTQTYICNVNHKPSNTKVDKKVEPKSCDKTHTCPCPAELLAGPDVFLFPPKPKDTLMISRPEVTCVVVDVSHEDPEVKFNWYVDGVEVHNAKTKPREEQYNST

**Таблица X. Последовательности тяжелой цепи**

SEQ ID NO	Название	Последовательность аминокислот тяжелой цепи
		YRVVSVLTVLHQDWLNGKEYKCKVSNKALPLPEEKTIASKAGQPREPVYTLPPSREEMTK NQVSLTCLVKGFYPSDIAVEWESNGQPENNYKTTPPVLDSDGSFFLYSKLTVDKSRWQQGN VFSCSVLHEALHSHYTQKSLSLSPGK
530	2.4.1 -1	QVHLSQSGAAVTKPGASVRVSCEASGYKIRDHFIHWWRQAPGQGLQWVGWINPKTGQPNP RQFQGRVSLTRHASFDFDTFSFYMDLKAVRSDDTAIFCARQRSDYWDFDVWGSQTQVTVS SASTKGPSVFPLAPSSKSTSGGTAALGCLVKDYLFPPEPVTVSWNSGALTSGVHTFPAVLQSS GLYSLSVVTVPSLGTQTYICNVNHKPSNTKVDKKVEPKSCDKTHTCPPCPAPELLAGP DVFLFPPKPKDLMISRTPETCVVVDVSHEDPEVKFNWYVDGVEVHNAKTKPREEQYNST YRVVSVLTVLHQDWLNGKEYKCKVSNKALPLPEEKTIASKAGQPREPVYTLPPSREEMTK NQVSLTCLVKGFYPSDIAVEWESNGQPENNYKTTPPVLDSDGSFFLYSKLTVDKSRWQQGN VFSCSVLHEALHSHYTQKSLSLSPGK

**Таблица XI. Последовательности легкой цепи**

SEQ ID NO	Название	Последовательность аминокислот легкой цепи
48	C	EIVLTQSPGTLSLSPGETAIISCRTSQYGS LAWYQQRPGQAPRLVIYSGSTRAAGIPDRFS GSRWGPDPYNLTISNLESQDFGVYYCQQYEFFQGQTKVQVDIKRTVAAPSVFIFPPSDEQLK SGTASVVCLNNFYPREAKVQWKVDNALQSGNSQESVTEQDSKDSTYSLSTTLSKADYE KHKVYACEVTHQGLSSPVTKSFNRGEC
49	A-1	DIQMTQSPSSLSASVGDTVTITCQANGYL NWYQQRGGKAPKLLIYDGSKLERGVPSRFSGR RWGQEYNLTINNLQPED IATYFCQVYEFVVPGTRLDLKRTVAAPSVFIFPPSDEQLKSGTA SVVCLNNFYPREAKVQWKVDNALQSGNSQESVTEQDSKDSTYSLSTTLSKADYE KHKVYACEVTHQGLSSPVTKSFNRGEC
50	D-1	SLTQSPGTLSLSPGETAIISCRTSQYGS LAWYQQRPGQAPRLVIYSGSTRAAGIPDRFSGS RWGPDPYNLTISNLESQDFGVYYCQQYEFFQGQTKVQVDIKRTVAAPSVFIFPPSDEQLKSG TASVVCLNNFYPREAKVQWKVDNALQSGNSQESVTEQDSKDSTYSLSTTLSKADYE KHKVYACEVTHQGLSSPVTKSFNRGEC
51	1.1.3-1	EI QMTQSPSSLSASVGDTVTITCQANGYL NWYQQRGGKAPKLLIYDGSKLERGVPSRFSGR RWGQEYNLTINNLQPED IATYFCQVYEFVVPGTRLDLKRTVAAPSVFIFPPSDEQLKSGTA SVVCLNNFYPREAKVQWKVDNALQSGNSQESVTEQDSKDSTYSLSTTLSKADYE KHKVYACEVTHQGLSSPVTKSFNRGEC
52	1.1.4-1	DIQMTQSPSSLSASVGDRVTITCQANGYL NWYQQRGGKAPKLLIYDGSKLERGVPSRFSGR RWGQEYNLTINNLQPED IATYFCQVYEFVVPGTRLDLKRTVAAPSVFIFPPSDEQLKSGTA SVVCLNNFYPREAKVQWKVDNALQSGNSQESVTEQDSKDSTYSLSTTLSKADYE KHKVYACEVTHQGLSSPVTKSFNRGEC
53	1.1.5-1	DIQMTQSPSSLSASVGDTVTITCQANGYL NWYQQRGGKAPKLLIYDGSKLERGVPSRFSGR RWGQEYNLTINNLQPED IATYFCQVYEFVVPGTRLDLKRTVAAPSVFIFPPSDEQLKSGTA SVVCLNNFYPREAKVQWKVDNALQSGNSQESVTEQDSKDSTYSLSTTLSKADYE KHKVYACEVTHQGLSSPVTKSFNRGEC
54	1.1.6-1	DIQMTQSPSSLSASVGDTVTITCQANGYL NWYQQRGGKAPKLLIYDASKLERGVPSRFSGR RWGQEYNLTINNLQPED IATYFCQVYEFVVPGTRLDLKRTVAAPSVFIFPPSDEQLKSGTA SVVCLNNFYPREAKVQWKVDNALQSGNSQESVTEQDSKDSTYSLSTTLSKADYE KHKVYACEVTHQGLSSPVTKSFNRGEC
55	1.1.7-1	DIQMTQSPSSLSASVGDTVTITCQANGYL NWYQQRGGKAPKLLIYDGSNLERGVPSRFSGR RWGQEYNLTINNLQPED IATYFCQVYEFVVPGTRLDLKRTVAAPSVFIFPPSDEQLKSGTA SVVCLNNFYPREAKVQWKVDNALQSGNSQESVTEQDSKDSTYSLSTTLSKADYE KHKVYACEVTHQGLSSPVTKSFNRGEC
56	1.1.8-1	DIQMTQSPSSLSASVGDTVTITCQANGYL NWYQQRGGKAPKLLIYDASNLERGVPSRFSGR RWGQEYNLTINNLQPED IATYFCQVYEFVVPGTRLDLKRTVAAPSVFIFPPSDEQLKSGTA SVVCLNNFYPREAKVQWKVDNALQSGNSQESVTEQDSKDSTYSLSTTLSKADYE KHKVYACEVTHQGLSSPVTKSFNRGEC

**Таблица XI. Последовательности легкой цепи**

<b>SEQ ID NO</b>	<b>Назва ние</b>	<b>Последовательность аминокислот легкой цепи</b>
		YACEVTHQGLSSPVTKSFRNGEC
57	1.1.9-1	DIQMTQSPSSLSASVGDTVTITCQANGYLWYQQRRGKAPKLLIYDGSKLETGVPSRFSGR RWGQEYNLTINNLQPEDIAFYFCQVYEFVVPGTRLDLKRTVAAPSVFIFPPSDEQLKSGTA SVVCLNNFYPREAKVQWKVDNALQSGNSQESVTEQDSKDSTYSLSSTLTLKADYEKHKV YACEVTHQGLSSPVTKSFRNGEC
58	1.1.10-1	DIQMTQSPSSLSASVGDTVTITCQANGYLWYQQRRGKAPKLLIYDGSKLERGVPSRFSGR RWGQEYTLTINNLQPEDIAFYFCQVYEFVVPGTRLDLKRTVAAPSVFIFPPSDEQLKSGTA SVVCLNNFYPREAKVQWKVDNALQSGNSQESVTEQDSKDSTYSLSSTLTLKADYEKHKV YACEVTHQGLSSPVTKSFRNGEC
59	1.1.11-1	DIQMTQSPSSLSASVGDTVTITCQANGYLWYQQRRGKAPKLLIYDGSKLERGVPSRFSGS RWGQEYTLTINNLQPEDIAFYFCQVYEFVVPGTRLDLKRTVAAPSVFIFPPSDEQLKSGTA SVVCLNNFYPREAKVQWKVDNALQSGNSQESVTEQDSKDSTYSLSSTLTLKADYEKHKV YACEVTHQGLSSPVTKSFRNGEC
60	1.1.12-1	DIQMTQSPSSLSASVGDTVTITCQANGYLWYQQRRGKAPKLLIYDGSKLERGVPSRFSGR RWGQEYNLTISLQPEDIAFYFCQVYEFVVPGTRLDLKRTVAAPSVFIFPPSDEQLKSGTA SVVCLNNFYPREAKVQWKVDNALQSGNSQESVTEQDSKDSTYSLSSTLTLKADYEKHKV YACEVTHQGLSSPVTKSFRNGEC
61	1.1.13-1	DIQMTQSPSSLSASVGDTVTITCQANGYLWYQQRRGKAPKLLIYDGSKLERGVPSRFSGS RWGQEYTLTISLQPEDIAFYFCQVYEFVVPGTRLDLKRTVAAPSVFIFPPSDEQLKSGTA SVVCLNNFYPREAKVQWKVDNALQSGNSQESVTEQDSKDSTYSLSSTLTLKADYEKHKV YACEVTHQGLSSPVTKSFRNGEC
62	1.1.14-1	DIQMTQSPSSLSASVGDTVTITCQANGYLWYQQRRGKAPKLLIYDGSKLERGVPSRFSGS GSGTDFTFTINNLQPEDIAFYFCQVYEFVVPGTRLDLKRTVAAPSVFIFPPSDEQLKSGTA SVVCLNNFYPREAKVQWKVDNALQSGNSQESVTEQDSKDSTYSLSSTLTLKADYEKHKV YACEVTHQGLSSPVTKSFRNGEC
63	1.1.15-1	DIQMTQSPSSLSASVGDTVTITCQANGYLWYQQRRGKAPKLLIYDGSKLERGVPSRFSGR RWGQEYNLTINNLQPEDIAFYFCQVYEFFVPGTRLDLKRTVAAPSVFIFPPSDEQLKSGTA SVVCLNNFYPREAKVQWKVDNALQSGNSQESVTEQDSKDSTYSLSSTLTLKADYEKHKV YACEVTHQGLSSPVTKSFRNGEC
64	1.1.16-1	DIQMTQSPSSLSASVGDTVTITCQANGYLWYQQRRGKAPKLLIYDGSKLERGVPSRFSGR RWGQEYNLTINNLQPEDIAFYFCQVYEFVPGTRLDLKRTVAAPSVFIFPPSDEQLKSGTA SVVCLNNFYPREAKVQWKVDNALQSGNSQESVTEQDSKDSTYSLSSTLTLKADYEKHKV YACEVTHQGLSSPVTKSFRNGEC
65	1.1.17-1	DIQMTQSPSSLSASVGDTVTITCQANGYLWYQQRRGKAPKLLIYDGSKLERGVPSRFSGR RWGQEYNLTINNLQPEDIAFYFCQVYEFFVPGTRLDLKRTVAAPSVFIFPPSDEQLKSGTA SVVCLNNFYPREAKVQWKVDNALQSGNSQESVTEQDSKDSTYSLSSTLTLKADYEKHKV YACEVTHQGLSSPVTKSFRNGEC
66	1.1.18-1	DIQMTQSPSSLSASVGDTVTITCQANGYLWYQQRRGKAPKLLIYDGSKLERGVPSRFSGR RWGQEYNLTINNLQPEDIAFYFCQVYEFVSPGTNLDLKRTVAAPSVFIFPPSDEQLKSGTA SVVCLNNFYPREAKVQWKVDNALQSGNSQESVTEQDSKDSTYSLSSTLTLKADYEKHKV YACEVTHQGLSSPVTKSFRNGEC
67	1.1.19-1	DIQMTQSPSSLSASVGDTVTITCQANGYLWYQQRRGKAPKLLIYDGSKLERGVPSRFSGR RWGQEYNLTINNLQPEDIAFYFCQVYEFVTPGTRLDLKRTVAAPSVFIFPPSDEQLKSGTA SVVCLNNFYPREAKVQWKVDNALQSGNSQESVTEQDSKDSTYSLSSTLTLKADYEKHKV YACEVTHQGLSSPVTKSFRNGEC
68	1.1.20-1	DIQMTQSPSSLSASVGDTVTITCQANGYLWYQQRRGKAPKLLIYDGSKLERGVPSRFSGR RWGQEYNLTINNLQPEDIAFYFCQVYEFVVPGTNLDLKRTVAAPSVFIFPPSDEQLKSGTA SVVCLNNFYPREAKVQWKVDNALQSGNSQESVTEQDSKDSTYSLSSTLTLKADYEKHKV YACEVTHQGLSSPVTKSFRNGEC
69	1.1.21-1	DIQMTQSPSSLSASVGDTVTITCQANGYLWYQQRRGKAPKLLIYDGSKLERGVPSRFSGR RWGQEYNLTINNLQPEDIAFYFCQVYEFVPGTNLDLKRTVAAPSVFIFPPSDEQLKSGTA SVVCLNNFYPREAKVQWKVDNALQSGNSQESVTEQDSKDSTYSLSSTLTLKADYEKHKV YACEVTHQGLSSPVTKSFRNGEC
70	1.1.22-1	DIQMTQSPSSLSASVGDTVTITCQANGYLWYQQRRGKAPKLLIYDGSKLERGVPSRFSGR RWGQEYNLTINNLQPEDIAFYFCQVYEFVSPGTNLDLKRTVAAPSVFIFPPSDEQLKSGTA SVVCLNNFYPREAKVQWKVDNALQSGNSQESVTEQDSKDSTYSLSSTLTLKADYEKHKV

**Таблица XI. Последовательности легкой цепи**

<b>SEQ ID NO</b>	<b>Назва ние</b>	<b>Последовательность аминокислот легкой цепи</b>
		YACEVTHQGLSSPVTKSFRNGEC
71	1.1.23-1	DIQMTQSPSSLSASVGDTVTITCQANGYLWYQQRRGKAPKLLIYDGSKLERGVPSRFSGR RWGQEYNLTINNLQPEDDIATYFCQVYEFVTPGTNLDLKRTVAAPSVDIFPPSDEQLKSGTA SVVCLNNFYPREAKVQWKVDNALQSGNSQESVTEQDSKDSTYSLSSTLTLKADYEKHKV YACEVTHQGLSSPVTKSFRNGEC
72	1.1.24-1	DIQMTQSPSSLSASVGDTVTITCQANGYLWYQQRRGKAPKLLIYDGSKLERGVPSRFSGR RWGQEYNLTINNLQPEDDIATYFCQVYEFVVPGTRVLKRTVAAPSVDIFPPSDEQLKSGTA SVVCLNNFYPREAKVQWKVDNALQSGNSQESVTEQDSKDSTYSLSSTLTLKADYEKHKV YACEVTHQGLSSPVTKSFRNGEC
73	1.1.25-1	DIQMTQSPSSLSASVGDTVTITCQANGYLWYQQRRGKAPKLLIYDGSKLERGVPSRFSGR RWGQEYNLTINNLQPEDDIATYFCQVYEFVVPGTRVLKRTVAAPSVDIFPPSDEQLKSGTA SVVCLNNFYPREAKVQWKVDNALQSGNSQESVTEQDSKDSTYSLSSTLTLKADYEKHKV YACEVTHQGLSSPVTKSFRNGEC
74	1.1.26-1	DIQMTQSPSSLSASVGDTVTITCQANGYLWYQQRRGKAPKLLIYDGSKLERGVPSRFSGR RWGQEYNLTINNLQPEDDIATYFCQVYEFVVPGTRLDIKRTVAAPSVDIFPPSDEQLKSGTA SVVCLNNFYPREAKVQWKVDNALQSGNSQESVTEQDSKDSTYSLSSTLTLKADYEKHKV YACEVTHQGLSSPVTKSFRNGEC
75	1.1.27-1	DIQMTQSPSSLSASVGDTVTITCQANGYLWYQQRRGKAPKLLIYDGSKLERGVPSRFSGR RWGQEYNLTINNLQPEDDIATYFCQVYEFVVPGTRDIKRTVAAPSVDIFPPSDEQLKSGTA SVVCLNNFYPREAKVQWKVDNALQSGNSQESVTEQDSKDSTYSLSSTLTLKADYEKHKV YACEVTHQGLSSPVTKSFRNGEC
76	1.1.28-1	DIQMTQSPSSLSASVGDTVTITCQANGYLWYQQRRGKAPKLLIYDGSKLERGVPSRFSGR RWGQEYNLTINNLQPEDDIATYFCQVYEFVVPGTRDIKRTVAAPSVDIFPPSDEQLKSGTA SVVCLNNFYPREAKVQWKVDNALQSGNSQESVTEQDSKDSTYSLSSTLTLKADYEKHKV YACEVTHQGLSSPVTKSFRNGEC
77	1.1.29-1	DIQMTQSPSSLSASVGDTVTITCQANGYLWYQQRRGKAPKLLIYDGSKLERGVPSRFSGR RWGQEYNLTINNLQPEDDIATYFCQVYEFVPGTNVDIKRTVAAPSVDIFPPSDEQLKSGTA SVVCLNNFYPREAKVQWKVDNALQSGNSQESVTEQDSKDSTYSLSSTLTLKADYEKHKV YACEVTHQGLSSPVTKSFRNGEC
78	1.1.30-1	DIQMTQSPSSLSASVGDTVTITCQANGYLWYQQRRGKAPKLLIYDGSKLERGVPSRFSGR RWGQEYNLTINNLQPEDDIATYFCQVYEFVTPGTNVDIKRTVAAPSVDIFPPSDEQLKSGTA SVVCLNNFYPREAKVQWKVDNALQSGNSQESVTEQDSKDSTYSLSSTLTLKADYEKHKV YACEVTHQGLSSPVTKSFRNGEC
79	1.1.31-1	DIQMTQSPSSLSASVGDTVTITCQANGYLWYQQRRGKAPKLLIYDGSKLERGVPSRFSGR RWGQEYTLTISSLQPEDDIATYFCQVYEFVVPGTNLDLKRTVAAPSVDIFPPSDEQLKSGTA SVVCLNNFYPREAKVQWKVDNALQSGNSQESVTEQDSKDSTYSLSSTLTLKADYEKHKV YACEVTHQGLSSPVTKSFRNGEC
80	1.1.32-1	DIQMTQSPSSLSASVGDTVTITCQANGYLWYQQRRGKAPKLLIYDGSKLERGVPSRFSGR RWGQEYTLTISSLQPEDDIATYFCQVYEFVTPGTRLDIKRTVAAPSVDIFPPSDEQLKSGTA SVVCLNNFYPREAKVQWKVDNALQSGNSQESVTEQDSKDSTYSLSSTLTLKADYEKHKV YACEVTHQGLSSPVTKSFRNGEC
81	1.1.33-1	DIQMTQSPSSLSASVGDTVTITCQANGYLWYQQRRGKAPKLLIYDGSNLERGVPSRFSGR RWGQEYTLTISSLQPEDDIATYFCQVYEFVPGTNLDIKRTVAAPSVDIFPPSDEQLKSGTA SVVCLNNFYPREAKVQWKVDNALQSGNSQESVTEQDSKDSTYSLSSTLTLKADYEKHKV YACEVTHQGLSSPVTKSFRNGEC
82	1.1.34-1	DIQMTQSPSSLSASVGDTVTITCQANGYLWYQQRRGKAPKLLIYDGSKLERGVPSRFSGR RWGQEYTLTISSLQPEDDIATYFCQVYEFVTPGTRLDIKRTVAAPSVDIFPPSDEQLKSGTA SVVCLNNFYPREAKVQWKVDNALQSGNSQESVTEQDSKDSTYSLSSTLTLKADYEKHKV YACEVTHQGLSSPVTKSFRNGEC
83	1.1.35-1	DIQMTQSPSSLSASVGDRVTITCQANGYLWYQQKPGKAPKLLIYDGSNLETGVPSRFSGS RWGQEYTLTISSLQPEDDIATYFCQVYEFVPGTNLDIKRTVAAPSVDIFPPSDEQLKSGTA SVVCLNNFYPREAKVQWKVDNALQSGNSQESVTEQDSKDSTYSLSSTLTLKADYEKHKV YACEVTHQGLSSPVTKSFRNGEC
84	1.1.36-1	DIQMTQSPSSLSASVGDRVTITCQANGYLWYQQKPGKAPKLLIYDGSNLETGVPSRFSGS RWGQEYTLTISSLQPEDDIATYFCQVYEFVTPGTNLDIKRTVAAPSVDIFPPSDEQLKSGTA SVVCLNNFYPREAKVQWKVDNALQSGNSQESVTEQDSKDSTYSLSSTLTLKADYEKHKV

**Таблица XI. Последовательности легкой цепи**

<b>SEQ ID NO</b>	<b>Назва ние</b>	<b>Последовательность аминокислот легкой цепи</b>
		YACEVTHQGLSSPVTKSFRNGEC
85	1.1.37-1	DIQMTQSPSSLSASVGDTVTITCQANGYLWYQQRRGKAPKLLIYDGSKLERGVPSRFSGR RWGQEYTFITINNLQPEDDIATYFCQVYEFVVPGTRLDLKRTVAAPSVFIFPPSDEQLKSGTA SVVCLNNFYPREAKVQWKVDNALQSGNSQESVTEQDSKDSTYSLSSTLTLKADYEKHKV YACEVTHQGLSSPVTKSFRNGEC
86	1.1.38-1	DIQMTQSPSSLSASVGDTVTITCQANGYLWYQQRRGKAPKLLIYDGSKLERGVPSRFSGR RWGQEYSLTINNLQPEDDIATYFCQVYEFVVPGTRLDLKRTVAAPSVFIFPPSDEQLKSGTA SVVCLNNFYPREAKVQWKVDNALQSGNSQESVTEQDSKDSTYSLSSTLTLKADYEKHKV YACEVTHQGLSSPVTKSFRNGEC
87	1.1.39-1	DIQMTQSPSSLSASVGDTVTITCQANGYLWYQQRRGKAPKLLIYDGSKLERGVPSRFSGR RWGQEYSFTINNLQPEDDIATYFCQVYEFVVPGTRLDLKRTVAAPSVFIFPPSDEQLKSGTA SVVCLNNFYPREAKVQWKVDNALQSGNSQESVTEQDSKDSTYSLSSTLTLKADYEKHKV YACEVTHQGLSSPVTKSFRNGEC
88	1.1.40-1	DIQMTQSPSSLSASVGDTVTITCQANGYLWYQQRRGKAPKLLIYDGSKLERGVPSRFSGR RWGQEYALTINNLQPEDDIATYFCQVYEFVVPGTRLDLKRTVAAPSVFIFPPSDEQLKSGTA SVVCLNNFYPREAKVQWKVDNALQSGNSQESVTEQDSKDSTYSLSSTLTLKADYEKHKV YACEVTHQGLSSPVTKSFRNGEC
89	1.1.41-1	DIQMTQSPSSLSASVGDTVTITCQANGYLWYQQRRGKAPKLLIYDGSKLERGVPSRFSGR RWGQEYAFITINNLQPEDDIATYFCQVYEFVVPGTRLDLKRTVAAPSVFIFPPSDEQLKSGTA SVVCLNNFYPREAKVQWKVDNALQSGNSQESVTEQDSKDSTYSLSSTLTLKADYEKHKV YACEVTHQGLSSPVTKSFRNGEC
90	1.1.42-1	DIQMTQSPSSLSASVGDTVTITCQANGYLWYQQRRGKAPKLLIYDGSKLERGVPSRFSGR RWGQEYHLTINNLQPEDDIATYFCQVYEFVVPGTRLDLKRTVAAPSVFIFPPSDEQLKSGTA SVVCLNNFYPREAKVQWKVDNALQSGNSQESVTEQDSKDSTYSLSSTLTLKADYEKHKV YACEVTHQGLSSPVTKSFRNGEC
91	1.1.43-1	DIQMTQSPSSLSASVGDTVTITCQANGYLWYQQRRGKAPKLLIYDGSKLERGVPSRFSGR RWGQEYHFTINNLQPEDDIATYFCQVYEFVVPGTRLDLKRTVAAPSVFIFPPSDEQLKSGTA SVVCLNNFYPREAKVQWKVDNALQSGNSQESVTEQDSKDSTYSLSSTLTLKADYEKHKV YACEVTHQGLSSPVTKSFRNGEC
92	1.1.44-1	DIQMTQSPSSLSASVGDTVTITCQANGYLWYQQRRGKAPKLLIYDGSKLERGVPSRFSGR RWGQEYQLTINNLQPEDDIATYFCQVYEFVVPGTRLDLKRTVAAPSVFIFPPSDEQLKSGTA SVVCLNNFYPREAKVQWKVDNALQSGNSQESVTEQDSKDSTYSLSSTLTLKADYEKHKV YACEVTHQGLSSPVTKSFRNGEC
93	1.1.45-1	DIQMTQSPSSLSASVGDTVTITCQANGYLWYQQRRGKAPKLLIYDGSKLERGVPSRFSGR RWGQEYQFTINNLQPEDDIATYFCQVYEFVVPGTRLDLKRTVAAPSVFIFPPSDEQLKSGTA SVVCLNNFYPREAKVQWKVDNALQSGNSQESVTEQDSKDSTYSLSSTLTLKADYEKHKV YACEVTHQGLSSPVTKSFRNGEC
94	1.1.46-1	DIQMTQSPSSLSASVGDTVTITCQANGYLWYQQRRGKAPKLLIYDGSKLERGVPSRFSGR RWGQEYNLKIINNLQPEDDIATYFCQVYEFVVPGTRLDLKRTVAAPSVFIFPPSDEQLKSGTA SVVCLNNFYPREAKVQWKVDNALQSGNSQESVTEQDSKDSTYSLSSTLTLKADYEKHKV YACEVTHQGLSSPVTKSFRNGEC
95	1.1.47-1	DIQMTQSPSSLSASVGDTVTITCQANGYLWYQQRRGKAPKLLIYDGSKLERGVPSRFSGR RWGQEYNFKINNLQPEDDIATYFCQVYEFVVPGTRLDLKRTVAAPSVFIFPPSDEQLKSGTA SVVCLNNFYPREAKVQWKVDNALQSGNSQESVTEQDSKDSTYSLSSTLTLKADYEKHKV YACEVTHQGLSSPVTKSFRNGEC
96	1.1.48-1	DIQMTQSPSSLSASVGDTVTITCQANGYLWYQQRRGKAPKLLIYDGSKLERGVPSRFSGR RWGQEYNLAINNLQPEDDIATYFCQVYEFVVPGTRLDLKRTVAAPSVFIFPPSDEQLKSGTA SVVCLNNFYPREAKVQWKVDNALQSGNSQESVTEQDSKDSTYSLSSTLTLKADYEKHKV YACEVTHQGLSSPVTKSFRNGEC
97	1.1.49-1	DIQMTQSPSSLSASVGDTVTITCQANGYLWYQQRRGKAPKLLIYDGSKLERGVPSRFSGR RWGQEYNFAINNLQPEDDIATYFCQVYEFVVPGTRLDLKRTVAAPSVFIFPPSDEQLKSGTA SVVCLNNFYPREAKVQWKVDNALQSGNSQESVTEQDSKDSTYSLSSTLTLKADYEKHKV YACEVTHQGLSSPVTKSFRNGEC
98	1.37.51-1	DIQMTQSPSSLSASVGDRVTITCQANGYLWYQQPGKAPKLLIYDGSKLETGVPSRFSGS RWGQEYTLTINNLQPEDDIATYFCQVYEFFGPGRDLKRTVAAPSVFIFPPSDEQLKSGTA SVVCLNNFYPREAKVQWKVDNALQSGNSQESVTEQDSKDSTYSLSSTLTLKADYEKHKV

**Таблица XI. Последовательности легкой цепи**

<b>SEQ ID NO</b>	<b>Назва ние</b>	<b>Последовательность аминокислот легкой цепи</b>
		YACEVTHQGLSSPVTKSFRNGEC
99	1.8.52-1	DIQMTQSPSSLSASVGDRVTITCQANGYLWYQQKPGKAPKLLIYDGSKLERGVPSRFSGR RWGQEYTLTINNLQPEDIATYFCQVYEFVVPGTRLDLKRTVAAPSVFIFPPSDEQLKSGTA SVVCLNNFYPREAKVQWKVDNALQSGNSQESVTEQDSKDSTYSLSSTLTSKADYEKHKV YACEVTHQGLSSPVTKSFRNGEC
100	1.1.54-1	DIQMTQSPSSLSASVGDTATITCQANGYLWYQQRRGKAPKLLIYDGSKLERGVPSRFSGR RWGQEYTLTINNLQPEDIATYFCQVYEFVVPGTRLDLKRTVAAPSVFIFPPSDEQLKSGTA SVVCLNNFYPREAKVQWKVDNALQSGNSQESVTEQDSKDSTYSLSSTLTSKADYEKHKV YACEVTHQGLSSPVTKSFRNGEC
101	B-1	DIQMTQSPSSLSARVGDTVTITCQANGYLWYQQRRGKAPKLLIYDGSKLERGVPARFSGR RWGQEYNLTINNLQPEDVATYFCQVYEFIVPGTRLDLKRTVAAPSVFIFPPSDEQLKSGTA SVVCLNNFYPREAKVQWKVDNALQSGNSQESVTEQDSKDSTYSLSSTLTSKADYEKHKV YACEVTHQGLSSPVTKSFRNGEC
102	2.1.2-1	DIQMTQSPSSLSARVGDTVTITCQANGYLWYQQRRGKAPKLLIYDGSKLERGVPARFSGR RWGQEYHLTINNLQPEDVATYFCQVYEFIVPGTRLDLKRTVAAPSVFIFPPSDEQLKSGTA SVVCLNNFYPREAKVQWKVDNALQSGNSQESVTEQDSKDSTYSLSSTLTSKADYEKHKV YACEVTHQGLSSPVTKSFRNGEC
103	1.1.64-1	DIQMTQSPSSLSASVGDTATITCQANGYLWYQQRRGKAPKLLIYDGSKLERGVPSRFSGR RWGQEYNLTINNLQPEDIATYFCQVYEFVVPGTRLDLKRTVAAPSVFIFPPSDEQLKSGTA SVVCLNNFYPREAKVQWKVDNALQSGNSQESVTEQDSKDSTYSLSSTLTSKADYEKHKV YACEVTHQGLSSPVTKSFRNGEC
104	1.1.67-1	DIQMTQSPSSLSASVGDTATITCQANGYLWYQQRRGKAPKLLIYDGSKLERGVPSRFSGR RWGQEYNLTINNLQPEDIATYFCQVYEFFGPTRLDLKRTVAAPSVFIFPPSDEQLKSGTA SVVCLNNFYPREAKVQWKVDNALQSGNSQESVTEQDSKDSTYSLSSTLTSKADYEKHKV YACEVTHQGLSSPVTKSFRNGEC
105	1.1.72-1	DIQMTQSPSSLSASVGDTVTITCQANGYLWYQQRRGKAPKLLIYDGSKLERGVPSRFSGR RWGQEYHLTINNLQPEDIATYFCQVYEFFGPTRLDLKRTVAAPSVFIFPPSDEQLKSGTA SVVCLNNFYPREAKVQWKVDNALQSGNSQESVTEQDSKDSTYSLSSTLTSKADYEKHKV YACEVTHQGLSSPVTKSFRNGEC
106	1.1.75-1	DIQMTQSPSSLSASVGDTATITCQANGYLWYQQRRGKAPKLLIYDGSKLERGVPSRFSGR RWGQEYHLTINNLQPEDIATYFCQVYEFVVPGTRLDLKRTVAAPSVFIFPPSDEQLKSGTA SVVCLNNFYPREAKVQWKVDNALQSGNSQESVTEQDSKDSTYSLSSTLTSKADYEKHKV YACEVTHQGLSSPVTKSFRNGEC
107	1.1.78-1	DIQMTQSPSSLSASVGDTATITCQANGYLWYQQRRGKAPKLLIYDGSKLERGVPSRFSGR RWGQEYHLTINNLQPEDIATYFCQVYEFFGPTRLDLKRTVAAPSVFIFPPSDEQLKSGTA SVVCLNNFYPREAKVQWKVDNALQSGNSQESVTEQDSKDSTYSLSSTLTSKADYEKHKV YACEVTHQGLSSPVTKSFRNGEC
108	1.41.81-1	DIQMTQSPSSLSASVGDTVTITCQANGYLWYQQKPGKAPKLLIYDGSKLERGVPSRFSGR RWGQEYNLTINNLQPEDIATYFCQVYEFFGPTRLDLKRTVAAPSVFIFPPSDEQLKSGTA SVVCLNNFYPREAKVQWKVDNALQSGNSQESVTEQDSKDSTYSLSSTLTSKADYEKHKV YACEVTHQGLSSPVTKSFRNGEC
109	1.1.82-1	DIQMTQSPSSLSASVGDRVTITCQANGYLWYQQRRGKAPKLLIYDGSKLERGVPSRFSGS RWGQEYNLTISSLQPEDIATYFCQVYEFVVPGTRLDLKRTVAAPSVFIFPPSDEQLKSGTA SVVCLNNFYPREAKVQWKVDNALQSGNSQESVTEQDSKDSTYSLSSTLTSKADYEKHKV YACEVTHQGLSSPVTKSFRNGEC
110	1.41.83-1	DIQMTQSPSSLSASVGDRVTITCQANGYLWYQQKPGKAPKLLIYDGSKLERGVPSRFSGS RWGQEYNLTISSLQPEDIATYFCQVYEFVVPGTRLDLKRTVAAPSVFIFPPSDEQLKSGTA SVVCLNNFYPREAKVQWKVDNALQSGNSQESVTEQDSKDSTYSLSSTLTSKADYEKHKV YACEVTHQGLSSPVTKSFRNGEC
111	1.1.84-1	DIQMTQSPSSLSASVGDRVTITCQANGYLWYQQRRGKAPKLLIYDGSKLERGVPSRFSGS RWGQEYNLTISSLQPEDIATYFCQVYEFFGPTRLDLKRTVAAPSVFIFPPSDEQLKSGTA SVVCLNNFYPREAKVQWKVDNALQSGNSQESVTEQDSKDSTYSLSSTLTSKADYEKHKV YACEVTHQGLSSPVTKSFRNGEC
112	1.41.85-1	DIQMTQSPSSLSASVGDRVTITCQANGYLWYQQKPGKAPKLLIYDGSKLERGVPSRFSGS RWGQEYNLTISSLQPEDIATYFCQVYEFFGPTRLDLKRTVAAPSVFIFPPSDEQLKSGTA SVVCLNNFYPREAKVQWKVDNALQSGNSQESVTEQDSKDSTYSLSSTLTSKADYEKHKV

**Таблица XI. Последовательности легкой цепи**

<b>SEQ ID NO</b>	<b>Назва ние</b>	<b>Последовательность аминокислот легкой цепи</b>
		YACEVTHQGLSSPVTKSFNRGEC
113	1.41.86 -1	DIQMTQSPSSLSASVGDTATITCQANGYLWYQQKPGKAPKLLIYDGSKLERGVPSRFSGR RWGQEYNLTINNLQPEDIATYFCQVYEFVVPGTRLDLKRTVAAPSVFIFPPSDEQLKSGTA SVVCLNNFYPREAKVQWKVDNALQSGNSQESVTEQDSKDSTYSLSSTLTLKADYEKHKV YACEVTHQGLSSPVTKSFNRGEC
114	1.41.87 -1	DIQMTQSPSSLSASVGDTATITCQANGYLWYQQKPGKAPKLLIYDGSKLERGVPSRFSGR RWGQEYNLTINNLQPEDIATYFCQVYEFVVPGTRLDLKRTVAAPSVFIFPPSDEQLKSGTA SVVCLNNFYPREAKVQWKVDNALQSGNSQESVTEQDSKDSTYSLSSTLTLKADYEKHKV YACEVTHQGLSSPVTKSFNRGEC
115	1.1.88-1	DIQMTQSPSSLSASVGDRATITCQANGYLWYQQRRGKAPKLLIYDGSKLERGVPSRFSGS RWGQEYNLTISLQPEDIATYFCQVYEFVVPGTRLDLKRTVAAPSVFIFPPSDEQLKSGTA SVVCLNNFYPREAKVQWKVDNALQSGNSQESVTEQDSKDSTYSLSSTLTLKADYEKHKV YACEVTHQGLSSPVTKSFNRGEC
116	1.41.89 -1	DIQMTQSPSSLSASVGDRATITCQANGYLWYQQKPGKAPKLLIYDGSKLERGVPSRFSGS RWGQEYNLTISLQPEDIATYFCQVYEFVVPGTRLDLKRTVAAPSVFIFPPSDEQLKSGTA SVVCLNNFYPREAKVQWKVDNALQSGNSQESVTEQDSKDSTYSLSSTLTLKADYEKHKV YACEVTHQGLSSPVTKSFNRGEC
117	1.1.90-1	DIQMTQSPSSLSASVGDRATITCQANGYLWYQQRRGKAPKLLIYDGSKLERGVPSRFSGS RWGQEYNLTISLQPEDIATYFCQVYEFVVPGTRLDLKRTVAAPSVFIFPPSDEQLKSGTA SVVCLNNFYPREAKVQWKVDNALQSGNSQESVTEQDSKDSTYSLSSTLTLKADYEKHKV YACEVTHQGLSSPVTKSFNRGEC
118	1.41.91 -1	DIQMTQSPSSLSASVGDRATITCQANGYLWYQQKPGKAPKLLIYDGSKLERGVPSRFSGS RWGQEYNLTISLQPEDIATYFCQVYEFVVPGTRLDLKRTVAAPSVFIFPPSDEQLKSGTA SVVCLNNFYPREAKVQWKVDNALQSGNSQESVTEQDSKDSTYSLSSTLTLKADYEKHKV YACEVTHQGLSSPVTKSFNRGEC
119	1.41.92 -1	DIQMTQSPSSLSASVGDTVTITCQANGYLWYQQKPGKAPKLLIYDGSKLERGVPSRFSGR RWGQEYHLTINNLQPEDIATYFCQVYEFVVPGTRLDLKRTVAAPSVFIFPPSDEQLKSGTA SVVCLNNFYPREAKVQWKVDNALQSGNSQESVTEQDSKDSTYSLSSTLTLKADYEKHKV YACEVTHQGLSSPVTKSFNRGEC
120	1.41.93 -1	DIQMTQSPSSLSASVGDTVTITCQANGYLWYQQKPGKAPKLLIYDGSKLERGVPSRFSGR RWGQEYHLTINNLQPEDIATYFCQVYEFVVPGTRLDLKRTVAAPSVFIFPPSDEQLKSGTA SVVCLNNFYPREAKVQWKVDNALQSGNSQESVTEQDSKDSTYSLSSTLTLKADYEKHKV YACEVTHQGLSSPVTKSFNRGEC
121	1.1.94-1	DIQMTQSPSSLSASVGDRVTITCQANGYLWYQQRRGKAPKLLIYDGSKLERGVPSRFSGS RWGQEYHLTISLQPEDIATYFCQVYEFVVPGTRLDLKRTVAAPSVFIFPPSDEQLKSGTA SVVCLNNFYPREAKVQWKVDNALQSGNSQESVTEQDSKDSTYSLSSTLTLKADYEKHKV YACEVTHQGLSSPVTKSFNRGEC
122	1.41.95 -1	DIQMTQSPSSLSASVGDRVTITCQANGYLWYQQKPGKAPKLLIYDGSKLERGVPSRFSGS RWGQEYHLTISLQPEDIATYFCQVYEFVVPGTRLDLKRTVAAPSVFIFPPSDEQLKSGTA SVVCLNNFYPREAKVQWKVDNALQSGNSQESVTEQDSKDSTYSLSSTLTLKADYEKHKV YACEVTHQGLSSPVTKSFNRGEC
123	1.1.96-1	DIQMTQSPSSLSASVGDRVTITCQANGYLWYQQRRGKAPKLLIYDGSKLERGVPSRFSGS RWGQEYHLTISLQPEDIATYFCQVYEFVVPGTRLDLKRTVAAPSVFIFPPSDEQLKSGTA SVVCLNNFYPREAKVQWKVDNALQSGNSQESVTEQDSKDSTYSLSSTLTLKADYEKHKV YACEVTHQGLSSPVTKSFNRGEC
124	1.41.97 -1	DIQMTQSPSSLSASVGDRVTITCQANGYLWYQQKPGKAPKLLIYDGSKLERGVPSRFSGS RWGQEYHLTISLQPEDIATYFCQVYEFVVPGTRLDLKRTVAAPSVFIFPPSDEQLKSGTA SVVCLNNFYPREAKVQWKVDNALQSGNSQESVTEQDSKDSTYSLSSTLTLKADYEKHKV YACEVTHQGLSSPVTKSFNRGEC
125	1.41.98 -1	DIQMTQSPSSLSASVGDTATITCQANGYLWYQQKPGKAPKLLIYDGSKLERGVPSRFSGR RWGQEYHLTINNLQPEDIATYFCQVYEFVVPGTRLDLKRTVAAPSVFIFPPSDEQLKSGTA SVVCLNNFYPREAKVQWKVDNALQSGNSQESVTEQDSKDSTYSLSSTLTLKADYEKHKV YACEVTHQGLSSPVTKSFNRGEC
126	1.41.99 -1	DIQMTQSPSSLSASVGDTATITCQANGYLWYQQKPGKAPKLLIYDGSKLERGVPSRFSGR RWGQEYHLTINNLQPEDIATYFCQVYEFVVPGTRLDLKRTVAAPSVFIFPPSDEQLKSGTA SVVCLNNFYPREAKVQWKVDNALQSGNSQESVTEQDSKDSTYSLSSTLTLKADYEKHKV

**Таблица XI. Последовательности легкой цепи**

<b>SEQ ID NO</b>	<b>Назва ние</b>	<b>Последовательность аминокислот легкой цепи</b>
		YACEVTHQGLSSPVTKSFRNGEC
127	1.1.100 -1	DIQMTQSPSSLSASVGDRATITCQANGYLWYQQRRGKAPKLLIYDGSKLERGVPSRSGS RWGQEYHLTISSLQPEDIATYFCQVYEFVVPGTRLDLKRTVAAPSVFIFPPSDEQLKSGTA SVVCLNNFYPREAKVQWKVDNALQSGNSQESVTEQDSKDSTYSLSSTLTLKADYEKHKV YACEVTHQGLSSPVTKSFRNGEC
128	1.41.10 1-1	DIQMTQSPSSLSASVGDRATITCQANGYLWYQQKPGKAPKLLIYDGSKLERGVPSRSGS RWGQEYHLTISSLQPEDIATYFCQVYEFVVPGTRLDLKRTVAAPSVFIFPPSDEQLKSGTA SVVCLNNFYPREAKVQWKVDNALQSGNSQESVTEQDSKDSTYSLSSTLTLKADYEKHKV YACEVTHQGLSSPVTKSFRNGEC
129	1.1.102 -1	DIQMTQSPSSLSASVGDRATITCQANGYLWYQQRRGKAPKLLIYDGSKLERGVPSRSGS RWGQEYHLTISSLQPEDIATYFCQVYEFFGPGRDLKRTVAAPSVFIFPPSDEQLKSGTA SVVCLNNFYPREAKVQWKVDNALQSGNSQESVTEQDSKDSTYSLSSTLTLKADYEKHKV YACEVTHQGLSSPVTKSFRNGEC
130	1.41.10 3-1	DIQMTQSPSSLSASVGDRATITCQANGYLWYQQKPGKAPKLLIYDGSKLERGVPSRSGS RWGQEYHLTISSLQPEDIATYFCQVYEFFGPGRDLKRTVAAPSVFIFPPSDEQLKSGTA SVVCLNNFYPREAKVQWKVDNALQSGNSQESVTEQDSKDSTYSLSSTLTLKADYEKHKV YACEVTHQGLSSPVTKSFRNGEC
131	1.1.110 -1	DIQMTQSPSSLSASVGDTVTITCQANGYLWYQQRRGKAPKLLIYDGSKLERGVPSRSGT RGQDYILTINNLQPEDIATYFCQVYEFVVPGTRLDLKRTVAAPSVFIFPPSDEQLKSGTA SVVCLNNFYPREAKVQWKVDNALQSGNSQESVTEQDSKDSTYSLSSTLTLKADYEKHKV YACEVTHQGLSSPVTKSFRNGEC
132	1.1.111 -1	DIQMTQSPSSLSASVGDTVTITCQANGYLWYQQRRGKAPKLLIYDGSKLERGVPSRSGR RGQDYILTINNLQPEDIATYFCQVYEFVVPGTRLDLKRTVAAPSVFIFPPSDEQLKSGTA SVVCLNNFYPREAKVQWKVDNALQSGNSQESVTEQDSKDSTYSLSSTLTLKADYEKHKV YACEVTHQGLSSPVTKSFRNGEC
133	1.1.112 -1	DIQMTQSPSSLSASVGDTVTITCQANGYLWYQQRRGKAPKLLIYDGSKLERGVPSRSGS RGQKYQLSINNLQPEDIATYFCQVYEFVVPGTRLDLKRTVAAPSVFIFPPSDEQLKSGTA SVVCLNNFYPREAKVQWKVDNALQSGNSQESVTEQDSKDSTYSLSSTLTLKADYEKHKV YACEVTHQGLSSPVTKSFRNGEC
134	1.1.113 -1	DIQMTQSPSSLSASVGDTATITCQANGYLWYQQRRGKAPKLLIYDGSKLERGVPSRSGR RGQDYILTINNLQPEDIATYFCQVYEFVVPGTRLDLKRTVAAPSVFIFPPSDEQLKSGTA SVVCLNNFYPREAKVQWKVDNALQSGNSQESVTEQDSKDSTYSLSSTLTLKADYEKHKV YACEVTHQGLSSPVTKSFRNGEC
135	2.1.3-1	DIQMTQSPSSLSARVGDTVTITCQANGYLWYQQRRGKAPKLLIYDGSKLERGVPARFSGR RGQDYILTINNLQPEDVATYFCQVYEFIVPGTRLDLKRTVAAPSVFIFPPSDEQLKSGTA SVVCLNNFYPREAKVQWKVDNALQSGNSQESVTEQDSKDSTYSLSSTLTLKADYEKHKV YACEVTHQGLSSPVTKSFRNGEC
136	2.1.4-1	DIQMTQSPSSLSARVGDTATITCQANGYLWYQQRRGKAPKLLIYDGSKLERGVPARFSGR RGQDYILTINNLQPEDVATYFCQVYEFIVPGTRLDLKRTVAAPSVFIFPPSDEQLKSGTA SVVCLNNFYPREAKVQWKVDNALQSGNSQESVTEQDSKDSTYSLSSTLTLKADYEKHKV YACEVTHQGLSSPVTKSFRNGEC
531	3.1.8-1	DIQMTQSPSSLSARVGDTATITCQANGYLWYQQRRGKAPKLLIYDGSKLERGVPARFSGR RWGQEYNLTINNLQPEDVATYFCQVYEFIVPGTRLDLKRTVAAPSVFIFPPSDEQLKSGTA SVVCLNNFYPREAKVQWKVDNALQSGNSQESVTEQDSKDSTYSLSSTLTLKADYEKHKV YACEVTHQGLSSPVTKSFRNGEC
532	3.1.9-1	DIQMTQSPSSLSARVGDTATITCQANGYLWYQQRRGKAPKLLIYDGSKLERGVPARFSGR RWGQEYNLTINNLQPEDVATYFCQVYEFFGPGRDLKRTVAAPSVFIFPPSDEQLKSGTA SVVCLNNFYPREAKVQWKVDNALQSGNSQESVTEQDSKDSTYSLSSTLTLKADYEKHKV YACEVTHQGLSSPVTKSFRNGEC
533	1.1.115 -1	DIQMTQSPSSLSASVGDTVTITCQANGYLWYQQRRGKAPKLLIYDGSKLERGVPSRSGR RWGQEYILTINNLQPEDIATYFCQVYEFVVPGTRLDLKRTVAAPSVFIFPPSDEQLKSGTA SVVCLNNFYPREAKVQWKVDNALQSGNSQESVTEQDSKDSTYSLSSTLTLKADYEKHKV YACEVTHQGLSSPVTKSFRNGEC
534	3.1.10-1	DIQMTQSPSSLSARVGDTVTITCQANGYLWYQQRRGKAPKLLIYDGSKLERGVPARFSGR RWGQEYILTINNLQPEDVATYFCQVYEFIVPGTRLDLKRTVAAPSVFIFPPSDEQLKSGTA SVVCLNNFYPREAKVQWKVDNALQSGNSQESVTEQDSKDSTYSLSSTLTLKADYEKHKV

**Таблица XI. Последовательности легкой цепи**

<b>SEQ ID NO</b>	<b>Назва ние</b>	<b>Последовательность аминокислот легкой цепи</b>
		YACEVTHQGLSSPVTKSFRNGEC
535	1.1.116 -1	DIQMTQSPSSLSASVGDTATITCQANGYLWYQQRRGKAPKLLIYDGSKLERGVPSRFSGR RWGQEYILTINNLQPEDIATYFCQVYEFVPGTRLDLKRTVAAPSVFIFPPSDEQLKSGTA SVVCLNNFYPREAKVQWKVDNALQSGNSQESVTEQDSKDSTYSLSSTLTLKADYEKHKV YACEVTHQGLSSPVTKSFRNGEC
536	3.1.11-1	DIQMTQSPSSLSARVGDTATITCQANGYLWYQQRRGKAPKLLIYDGSKLERGVPARFSGR RWGQEYILTINNLQPEDVATYFCQVYEFIVPGTRLDLKRTVAAPSVFIFPPSDEQLKSGTA SVVCLNNFYPREAKVQWKVDNALQSGNSQESVTEQDSKDSTYSLSSTLTLKADYEKHKV YACEVTHQGLSSPVTKSFRNGEC
537	1.1.117 -1	DIQMTQSPSSLSASVGDTATITCQANGYLWYQQRRGKAPKLLIYDGSKLERGVPSRFSGR RWGQEYILTINNLQPEDIATYFCQVYEFFGPGRDLKRTVAAPSVFIFPPSDEQLKSGTA SVVCLNNFYPREAKVQWKVDNALQSGNSQESVTEQDSKDSTYSLSSTLTLKADYEKHKV YACEVTHQGLSSPVTKSFRNGEC
538	3.1.12-1	DIQMTQSPSSLSARVGDTATITCQANGYLWYQQRRGKAPKLLIYDGSKLERGVPARFSGR RWGQEYILTINNLQPEDVATYFCQVYEFFGPGRDLKRTVAAPSVFIFPPSDEQLKSGTA SVVCLNNFYPREAKVQWKVDNALQSGNSQESVTEQDSKDSTYSLSSTLTLKADYEKHKV YACEVTHQGLSSPVTKSFRNGEC
539	1.1.118 -1	DIQMTQSPSSLSASVGDRATITCQANGYLWYQQRRGKAPKLLIYDGSKLERGVPSRFSGS RWGQEYILTISLQPEDIATYFCQVYEFFGPGRDLKRTVAAPSVFIFPPSDEQLKSGTA SVVCLNNFYPREAKVQWKVDNALQSGNSQESVTEQDSKDSTYSLSSTLTLKADYEKHKV YACEVTHQGLSSPVTKSFRNGEC
540	3.1.13-1	DIQMTQSPSSLSARVGDRATITCQANGYLWYQQRRGKAPKLLIYDGSKLERGVPARFSGS RWGQEYILTISLQPEDVATYFCQVYEFFGPGRDLKRTVAAPSVFIFPPSDEQLKSGTA SVVCLNNFYPREAKVQWKVDNALQSGNSQESVTEQDSKDSTYSLSSTLTLKADYEKHKV YACEVTHQGLSSPVTKSFRNGEC
541	3.1.14-1	DIQMTQSPSSLSARVGDTVTITCQANGYLWYQQRRGKAPKLLIYDGSKLERGVPARFSGR RWGQEYTLTINNLQPEDVATYFCQVYEFIVPGTRLDLKRTVAAPSVFIFPPSDEQLKSGTA SVVCLNNFYPREAKVQWKVDNALQSGNSQESVTEQDSKDSTYSLSSTLTLKADYEKHKV YACEVTHQGLSSPVTKSFRNGEC
542	3.1.5-1	DIQMTQSPSSLSARVGDTATITCQANGYLWYQQRRGKAPKLLIYDGSKLERGVPARFSGR RWGQEYTLTINNLQPEDVATYFCQVYEFIVPGTRLDLKRTVAAPSVFIFPPSDEQLKSGTA SVVCLNNFYPREAKVQWKVDNALQSGNSQESVTEQDSKDSTYSLSSTLTLKADYEKHKV YACEVTHQGLSSPVTKSFRNGEC
543	3.1.15-1	DIQMTQSPSSLSARVGDTATITCQANGYLWYQQRRGKAPKLLIYDGSKLERGVPARFSGR RWGQEYTLTINNLQPEDVATYFCQVYEFFGPGRDLKRTVAAPSVFIFPPSDEQLKSGTA SVVCLNNFYPREAKVQWKVDNALQSGNSQESVTEQDSKDSTYSLSSTLTLKADYEKHKV YACEVTHQGLSSPVTKSFRNGEC
544	1.1.119 -1	DIQMTQSPSSLSASVGDRATITCQANGYLWYQQRRGKAPKLLIYDGSKLERGVPSRFSGS RWGQEYTLTISLQPEDIATYFCQVYEFFGPGRDLKRTVAAPSVFIFPPSDEQLKSGTA SVVCLNNFYPREAKVQWKVDNALQSGNSQESVTEQDSKDSTYSLSSTLTLKADYEKHKV YACEVTHQGLSSPVTKSFRNGEC
545	3.1.7-1	DIQMTQSPSSLSARVGDRATITCQANGYLWYQQRRGKAPKLLIYDGSKLERGVPARFSGS RWGQEYTLTISLQPEDVATYFCQVYEFFGPGRDLKRTVAAPSVFIFPPSDEQLKSGTA SVVCLNNFYPREAKVQWKVDNALQSGNSQESVTEQDSKDSTYSLSSTLTLKADYEKHKV YACEVTHQGLSSPVTKSFRNGEC
546	3.1.16-1	DIQMTQSPSSLSARVGDTATITCQANGYLWYQQRRGKAPKLLIYDGSKLERGVPARFSGR RWGQEYHLTINNLQPEDVATYFCQVYEFIVPGTRLDLKRTVAAPSVFIFPPSDEQLKSGTA SVVCLNNFYPREAKVQWKVDNALQSGNSQESVTEQDSKDSTYSLSSTLTLKADYEKHKV YACEVTHQGLSSPVTKSFRNGEC
547	3.1.17-1	DIQMTQSPSSLSARVGDTATITCQANGYLWYQQRRGKAPKLLIYDGSKLERGVPARFSGR RWGQEYHLTINNLQPEDVATYFCQVYEFFGPGRDLKRTVAAPSVFIFPPSDEQLKSGTA SVVCLNNFYPREAKVQWKVDNALQSGNSQESVTEQDSKDSTYSLSSTLTLKADYEKHKV YACEVTHQGLSSPVTKSFRNGEC
548	3.1.18-1	DIQMTQSPSSLSARVGDRATITCQANGYLWYQQRRGKAPKLLIYDGSKLERGVPARFSGS RWGQEYHLTISLQPEDVATYFCQVYEFFGPGRDLKRTVAAPSVFIFPPSDEQLKSGTA SVVCLNNFYPREAKVQWKVDNALQSGNSQESVTEQDSKDSTYSLSSTLTLKADYEKHKV

**Таблица XI. Последовательности легкой цепи**

<b>SEQ ID NO</b>	<b>Назва ние</b>	<b>Последовательность аминокислот легкой цепи</b>
		YACEVTHQGLSSPVTKSFRNGEC
549	1.1.120 -1	DIQMTQSPSSLSASVGDTATITCQANGYLWYQQRRGKAPKLLIYDGSKLERGVPSRFSGR RWGQDYILTINNLQPEDIATYFCQVYEFVVPGTRLDLKRTVAAPSVFIFPPSDEQLKSGTA SVVCLNNFYPREAKVQWKVDNALQSGNSQESVTEQDSKDSTYSLSSTLTLKADYEKHKV YACEVTHQGLSSPVTKSFRNGEC
550	3.1.19-1	DIQMTQSPSSLSARVGDTATITCQANGYLWYQQRRGKAPKLLIYDGSKLERGVPARFSGR RWGQDYILTINNLQPEDVATYFCQVYEFIVPGTRLDLKRTVAAPSVFIFPPSDEQLKSGTA SVVCLNNFYPREAKVQWKVDNALQSGNSQESVTEQDSKDSTYSLSSTLTLKADYEKHKV YACEVTHQGLSSPVTKSFRNGEC
551	1.1.121 -1	DIQMTQSPSSLSASVGDTATITCQANGYLWYQQRRGKAPKLLIYDGSKLERGVPSRFSGR RFGQEYILTINNLQPEDIATYFCQVYEFVVPGTRLDLKRTVAAPSVFIFPPSDEQLKSGTA SVVCLNNFYPREAKVQWKVDNALQSGNSQESVTEQDSKDSTYSLSSTLTLKADYEKHKV YACEVTHQGLSSPVTKSFRNGEC
552	3.1.20-1	DIQMTQSPSSLSARVGDTATITCQANGYLWYQQRRGKAPKLLIYDGSKLERGVPARFSGR RFGQEYILTINNLQPEDVATYFCQVYEFIVPGTRLDLKRTVAAPSVFIFPPSDEQLKSGTA SVVCLNNFYPREAKVQWKVDNALQSGNSQESVTEQDSKDSTYSLSSTLTLKADYEKHKV YACEVTHQGLSSPVTKSFRNGEC
553	1.1.122 -1	DIQMTQSPSSLSASVGDTATITCQANGYLWYQQRRGKAPKLLIYDGSKLERGVPSRFSGR RWGQEYVLTINNLQPEDIATYFCQVYEFVVPGTRLDLKRTVAAPSVFIFPPSDEQLKSGTA SVVCLNNFYPREAKVQWKVDNALQSGNSQESVTEQDSKDSTYSLSSTLTLKADYEKHKV YACEVTHQGLSSPVTKSFRNGEC
554	1.1.123 -1	DIQMTQSPSSLSASVGDTATITCQANGYLWYQQRRGKAPKLLIYDGSKLERGVPSRFSGR RWGQEYLLTINNLQPEDIATYFCQVYEFVVPGTRLDLKRTVAAPSVFIFPPSDEQLKSGTA SVVCLNNFYPREAKVQWKVDNALQSGNSQESVTEQDSKDSTYSLSSTLTLKADYEKHKV YACEVTHQGLSSPVTKSFRNGEC
555	1.1.124 -1	DIQMTQSPSSLSASVGDTATITCQANGYLWYQQRRGKAPKLLIYDGSKLERGVPSRFSGR RWGQEYMLTINNLQPEDIATYFCQVYEFVVPGTRLDLKRTVAAPSVFIFPPSDEQLKSGTA SVVCLNNFYPREAKVQWKVDNALQSGNSQESVTEQDSKDSTYSLSSTLTLKADYEKHKV YACEVTHQGLSSPVTKSFRNGEC
556	1.1.125 -1	DIQMTQSPSSLSASVGDTATITCQANGYLWYQQRRGKAPKLLIYDGSKLERGVPSRFSGR RWGQEYALTINNLQPEDIATYFCQVYEFVVPGTRLDLKRTVAAPSVFIFPPSDEQLKSGTA SVVCLNNFYPREAKVQWKVDNALQSGNSQESVTEQDSKDSTYSLSSTLTLKADYEKHKV YACEVTHQGLSSPVTKSFRNGEC
557	1.1.126 -1	DIQMTQSPSSLSASVGDTATITCQANGYLWYQQRRGKAPKLLIYDGSKLERGVPSRFSGR RWGQEYSLTINNLQPEDIATYFCQVYEFVVPGTRLDLKRTVAAPSVFIFPPSDEQLKSGTA SVVCLNNFYPREAKVQWKVDNALQSGNSQESVTEQDSKDSTYSLSSTLTLKADYEKHKV YACEVTHQGLSSPVTKSFRNGEC
558	1.1.127 -1	DIQMTQSPSSLSASVGDTATITCQANGYLWYQQRRGKAPKLLIYDGSKLERGVPSRFSGR RWGQEYFLTINNLQPEDIATYFCQVYEFVVPGTRLDLKRTVAAPSVFIFPPSDEQLKSGTA SVVCLNNFYPREAKVQWKVDNALQSGNSQESVTEQDSKDSTYSLSSTLTLKADYEKHKV YACEVTHQGLSSPVTKSFRNGEC
559	1.1.128 -1	DIQMTQSPSSLSASVGDTATITCQANGYLWYQQRRGKAPKLLIYDGSKLERGVPSRFSGT RWGQEYILTINNLQPEDIATYFCQVYEFVVPGTRLDLKRTVAAPSVFIFPPSDEQLKSGTA SVVCLNNFYPREAKVQWKVDNALQSGNSQESVTEQDSKDSTYSLSSTLTLKADYEKHKV YACEVTHQGLSSPVTKSFRNGEC
560	1.1.129 -1	DIQMTQSPSSLSASVGDTATITCQANGYLWYQQRRGKAPKLLIYDGSKLERGVPSRFSGR RRGQEYILTINNLQPEDIATYFCQVYEFVVPGTRLDLKRTVAAPSVFIFPPSDEQLKSGTA SVVCLNNFYPREAKVQWKVDNALQSGNSQESVTEQDSKDSTYSLSSTLTLKADYEKHKV YACEVTHQGLSSPVTKSFRNGEC
561	1.1.130 -1	DIQMTQSPSSLSASVGDTATITCQANGYLWYQQRRGKAPKLLIYDGSKLERGVPSRFSGR RYGQEYILTINNLQPEDIATYFCQVYEFVVPGTRLDLKRTVAAPSVFIFPPSDEQLKSGTA SVVCLNNFYPREAKVQWKVDNALQSGNSQESVTEQDSKDSTYSLSSTLTLKADYEKHKV YACEVTHQGLSSPVTKSFRNGEC
562	1.1.131 -1	DIQMTQSPSSLSASVGDTATITCQANGYLWYQQRRGKAPKLLIYDGSKLERGVPSRFSGT RWGQDYILTINNLQPEDIATYFCQVYEFVVPGTRLDLKRTVAAPSVFIFPPSDEQLKSGTA SVVCLNNFYPREAKVQWKVDNALQSGNSQESVTEQDSKDSTYSLSSTLTLKADYEKHKV

**Таблица XI. Последовательности легкой цепи**

SEQ ID NO	Название	Последовательность аминокислот легкой цепи
		YACEVTHQGLSSPVTKSFRNGEC
563	1.1.132 -1	DIQMTQSPSSLSARVGDTVTITCQANGYLWYQQRRGKAPKLLIYDGSKLERGVPSRFSGR RWGQEYNLTINNLQPEDIATYFCQVYEFVVPGTRLDLKRTVAAPSVFIFPPSDEQLKSGTA SVVCLNNFYPREAKVQWKVDNALQSGNSQESVTEQDSKDSTYSLSSTLTLKADYEKHKV YACEVTHQGLSSPVTKSFRNGEC
564	1.1.133 -1	DIQMTQSPSSLSASVGDTVTITCQANGYLWYQQRRGKAPKLLIYDGSKLERGVPARFSGR RWGQEYNLTINNLQPEDIATYFCQVYEFVVPGTRLDLKRTVAAPSVFIFPPSDEQLKSGTA SVVCLNNFYPREAKVQWKVDNALQSGNSQESVTEQDSKDSTYSLSSTLTLKADYEKHKV YACEVTHQGLSSPVTKSFRNGEC
565	1.1.134 -1	DIQMTQSPSSLSASVGDTVTITCQANGYLWYQQRRGKAPKLLIYDGSKLERGVPSRFSGR RWGQEYNLTINNLQPEDVATYFCQVYEFVVPGTRLDLKRTVAAPSVFIFPPSDEQLKSGTA SVVCLNNFYPREAKVQWKVDNALQSGNSQESVTEQDSKDSTYSLSSTLTLKADYEKHKV YACEVTHQGLSSPVTKSFRNGEC
566	1.1.135 -1	DIQMTQSPSSLSASVGDTVTITCQANGYLWYQQRRGKAPKLLIYDGSKLERGVPSRFSGR RWGQEYNLTINNLQPEDIATYFCQVYEFIVPGTRLDLKRTVAAPSVFIFPPSDEQLKSGTA SVVCLNNFYPREAKVQWKVDNALQSGNSQESVTEQDSKDSTYSLSSTLTLKADYEKHKV YACEVTHQGLSSPVTKSFRNGEC
568	1.1.138 -1	DIQMTQSPSSLSASVGDTVTITCQATGYLNWYQQRRGKAPKLLIYDGSKLERGVPSRFSGR RWGQEYNLTINNLQPEDIATYFCQVYEFVVPGTRLDLKRTVAAPSVFIFPPSDEQLKSGTA SVVCLNNFYPREAKVQWKVDNALQSGNSQESVTEQDSKDSTYSLSSTLTLKADYEKHKV YACEVTHQGLSSPVTKSFRNGEC
567	1.1.104 -1	DIQMTQSPSSLSASVGDTATITCQANGYLWYQQRRGKAPKLLIYDGSKLERGVPSRFSGR RWGQEYTLTINNLQPEDIATYFCQVYEFFGPGTRLDLKRTVAAPSVFIFPPSDEQLKSGTA SVVCLNNFYPREAKVQWKVDNALQSGNSQESVTEQDSKDSTYSLSSTLTLKADYEKHKV YACEVTHQGLSSPVTKSFRNGEC

**[0082]** В некоторых вариантах реализации антитела против gp120 или связывающие gp120 фрагменты, описанные в данной заявке, содержат тяжелую цепь (HC), которая по меньшей мере на 80%, по меньшей мере на 85%, по меньшей мере на 90%, по меньшей мере на 91%, по меньшей мере на 92%, по меньшей мере на 93%, по меньшей мере на 94%, по меньшей мере на 95%, по меньшей мере на 96%, по меньшей мере на 97%, по меньшей мере на 98%, по меньшей мере на 99% или на 100% идентична последовательности аминокислот, выбранной из группы, состоящей из последовательностей SEQ ID NO: 1 - 47 и 517 - 530, и легкую цепь (LC), которая по меньшей мере на 80%, по меньшей мере на 85%, по меньшей мере на 90%, по меньшей мере на 91%, по меньшей мере на 92%, по меньшей мере на 93%, по меньшей мере на 94%, по меньшей мере на 95%, по меньшей мере на 96%, по меньшей мере на 97%, по меньшей мере на 98%, по меньшей мере на 99% или на 100% идентична последовательности аминокислот, выбранной из группы, состоящей из последовательностей SEQ ID NO: 48 - 136 и 531 - 567. В некоторых вариантах реализации антитела против gp120 или связывающие gp120 фрагменты, описанные в данной заявке, содержат HC, выбранную из группы, состоящей из последовательностей SEQ ID NO: 1 - 47 и 517

- 530, и LC, выбранную из группы, состоящей из последовательностей SEQ ID NO: 48 - 136 и 531 - 567. В некоторых вариантах реализации антитела против gp120 или связывающие gp120 фрагменты, описанные в данной заявке, содержат тяжелую цепь (HC), которая по меньшей мере на 80%, по меньшей мере на 85%, по меньшей мере на 90%, по меньшей мере на 91%, по меньшей мере на 92%, по меньшей мере на 93%, по меньшей мере на 94%, по меньшей мере на 95%, по меньшей мере на 96%, по меньшей мере на 97%, по меньшей мере на 98%, по меньшей мере на 99%, например, на 100%, идентична последовательности аминокислот, представленной в SEQ ID NO: 529, и легкую цепь (LC), которая по меньшей мере на 80%, по меньшей мере на 85%, по меньшей мере на 90%, по меньшей мере на 91%, по меньшей мере на 92%, по меньшей мере на 93%, по меньшей мере на 94%, по меньшей мере на 95%, по меньшей мере на 96%, по меньшей мере на 97%, по меньшей мере на 98%, по меньшей мере на 99%, например, на 100%, идентична последовательности аминокислот, представленной в SEQ ID NO: 103. В некоторых вариантах реализации антитела против gp120 или связывающие gp120 фрагменты, описанные в данной заявке, содержат HC с последовательностью аминокислот, представленной в SEQ ID NO: 529, и LC с последовательностью аминокислот, представленной в SEQ ID NO: 103.

**[0083]** В объем настоящего изобретения входят антитела против gp120 или связывающие gp120 их фрагменты, которые содержат тяжелую цепь любого из антител, описанных в данной заявке. В некоторых вариантах реализации антитело против gp120 или связывающий gp120 его фрагмент содержит тяжелую цепь любого одного из антитела A-1, антитела 1.1.64-1, антитела 1.1.90-1, антитела 2.2.1-1, антитела 2.3.1-1, антитела 3.1.5-1, антитела 2.2.5-1, антитела 2.3.5-1, антитела 1.1.119-1, антитела 1.1.104-1, антитела 1.52.64-1, антитела 2.4.1-1, антитела 1.1.54-1 или антитела B-1. В некоторых вариантах реализации антитело против gp120 или связывающий gp120 его фрагмент содержит тяжелую цепь антитела 1.52.64-1.

**[0084]** В объем настоящего изобретения входят антитела против gp120 или связывающие gp120 их фрагменты, которые содержат легкую цепь любого из антител, описанных в данной заявке. В некоторых вариантах реализации антитело против gp120 или связывающий gp120 его фрагмент содержит легкую цепь любого одного из антитела A-1, антитела 1.1.64-1, антитела 1.1.90-1, антитела 2.2.1-1, антитела 2.3.1-1, антитела 3.1.5-1, антитела 2.2.5-1, антитела 2.3.5-1, антитела

1.1.119-1, антитела 1.1.104-1, антитела 1.52.64-1, антитела 2.4.1-1, антитела 1.1.54-1 или антитела В-1. В некоторых вариантах реализации антитело против gp120 или связывающий gp120 его фрагмент содержит легкую цепь антитела 1.52.64-1.

[0085] Также в объем настоящего изобретения входят антитела против gp120 или связывающие gp120 их фрагменты, которые содержат тяжелую и легкую цепь любого из антител, описанных в данной заявке. В некоторых вариантах реализации антитело против gp120 или связывающий gp120 его фрагмент содержит тяжелую и легкую цепи любого одного из антитела А-1, антитела 1.1.64-1, антитела 1.1.90-1, антитела 2.2.1-1, антитела 2.3.1-1, антитела 3.1.5-1, антитела 2.2.5-1, антитела 2.3.5-1, антитела 1.1.119-1, антитела 1.1.104-1, антитела 1.52.64-1, антитела 2.4.1-1, антитела 1.1.54-1 или антитела В-1. В некоторых вариантах реализации антитело против gp120 или связывающий gp120 его фрагмент содержит тяжелую и легкую цепи антитела 1.52.64-1.

[0086] В объем настоящего изобретения входят антитела против gp120 или связывающие gp120 их фрагменты, которые содержат любую из замен в VH и/или VL аминокислот, представленных выше.

[0087] В некоторых вариантах реализации вариабельная область тяжелой цепи любого из антител против gp120 согласно настоящему изобретению связана с константной областью тяжелой цепи, содержащей домен CH1 и шарнирную область. В некоторых вариантах реализации вариабельная область тяжелой цепи любого из антител против gp120 согласно настоящему изобретению связана с константной областью тяжелой цепи, содержащей домен CH3. В некоторых вариантах реализации вариабельная область тяжелой цепи любого из антител против gp120 согласно настоящему изобретению связана с константной областью тяжелой цепи, содержащей домен CH1, шарнирную область, и домен CH2 из IgG4 и домен CH3 (например, из IgG1, IgG2, IgG3 или IgG4). В некоторых случаях вариабельная область тяжелой цепи любого из антител против gp120 согласно настоящему изобретению связана с константной областью тяжелой цепи, содержащей домен CH1, шарнирную область, домен CH2 и домен CH3 из IgG1, IgG2, IgG3 или IgG4. В некоторых вариантах реализации вариабельная область тяжелой цепи любого из антител против gp120 согласно настоящему изобретению связана с константной областью тяжелой цепи, содержащей домен CH1, домен CH2 и домен CH3 из IgG1 (например, IgG1 человека, например, аллотипа IgG1m3) и шарнирную область IgG3 (например, “открытую” шарнирную область IgG3,

обозначенную “IgG3 С-” в WO 2017/096221 (см., например, фиг. 2А данной публикации РСТ)). Ожидают, что у данной шарнирной области IgG3 выявят улучшенную гибкость плеча Fab и способность простираться на расстояние свыше 200 $\text{A}^{\circ}$ , которого достаточно для взаимодействий внутри тримера. В некоторых вариантах реализации такое химерное антитело содержит одну или более дополнительных мутаций в константной области тяжелой цепи, которые повышают стабильность химерного антитела. В некоторых вариантах реализации константная область тяжелой цепи содержит замены, которые модифицируют свойства антитела (например, повышение эффекторной функции, улучшение фармакокинетики, повышение или снижение связывания с Fc-рецептором, повышение или снижение гликозилирования антитела, повышение или снижение связывания с C1q, увеличение времени полужизни).

**[0088]** В некоторых вариантах реализации антитело против gp120 представляет собой антитело IgG (например, IgG1, IgG2, IgG3, IgG4). В одном варианте реализации антитело представляет собой IgG1 человека. В другом варианте реализации антитело представляет собой IgG2 человека. В некоторых вариантах реализации антитело содержит химерную константную область тяжелой цепи (например, содержащую области CH1, шарнир и CH2 IgG4 человека и область CH3 IgG1 человека). В некоторых вариантах реализации антитело содержит VH, содержащую области CDR 1 - 3 VH, и VL, содержащую области CDR 1 - 3 VL, причем области CDR 1 - 3 VH и области CDR 1 - 3 VL имеют последовательности, представленные в: SEQ ID NO: 137, 138, 139, 140, 141 и 142, соответственно, и антитело представляет собой IgG1 человека. В некоторых вариантах реализации антитела против gp120 или связывающие gp120 фрагменты содержат VH, которая по меньшей мере на 80%, по меньшей мере на 85%, по меньшей мере на 90%, по меньшей мере на 91%, по меньшей мере на 92%, по меньшей мере на 93%, по меньшей мере на 94%, по меньшей мере на 95%, по меньшей мере на 96%, по меньшей мере на 97%, по меньшей мере на 98%, по меньшей мере на 99%, например, на 100%, идентична последовательности аминокислот, представленной в SEQ ID NO: 477, и VL, которая по меньшей мере на 80%, по меньшей мере на 85%, по меньшей мере на 90%, по меньшей мере на 91%, по меньшей мере на 92%, по меньшей мере на 93%, по меньшей мере на 94%, по меньшей мере на 95%, по меньшей мере на 96%, по меньшей мере на 97%, по меньшей мере на 98%, по меньшей мере на 99%, например, на 100%, идентична последовательности

аминокислот, представленной в SEQ ID NO: 278, и антитело представляет собой IgG1 человека.

[0089] Антитела IgG существуют в различных аллотипах и изоаллотипах. В некоторых вариантах реализации антитела согласно настоящему изобретению содержат тяжелую цепь IgG1 аллотипа G1m1; nG1m2; G1m3; G1m17.1; G1m17.1.2; G1m3.1 или G1m17. Каждый из данных аллотипов или изоаллотипов характеризуется следующими аминокислотными остатками в указанных положениях в константной области тяжелой цепи (Fc) IgG1 (нумерация EU): G1m1: D356, L358; nG1m1: E356, M358; G1m3: R214, E356, M358, A431; G1m17.1: K214, D356, L358, A431; G1m17.1.2: K214, D356, L358, G431; G1m3.1: R214, D356, L358, A431; и G1m17: K214, E356, M358, A431. В некоторых вариантах реализации антитела содержит VH, содержащую области CDR 1 - 3 VH, и VL, содержащую области CDR 1 - 3 VL, причем области CDR 1 - 3 VH и области CDR 1 - 3 VL имеют последовательности, представленные в: SEQ ID NO: 137, 138, 139, 140, 141 и 142, соответственно, и антитело содержит тяжелую цепь IgG1 аллотипа G1m1; nG1m2; G1m3; G1m17.1; G1m17.1.2; G1m3.1 или G1m17. В некоторых вариантах реализации антитела против gp120 или связывающие gp120 фрагменты содержат VH, которая по меньшей мере на 80%, по меньшей мере на 85%, по меньшей мере на 90%, по меньшей мере на 91%, по меньшей мере на 92%, по меньшей мере на 93%, по меньшей мере на 94%, по меньшей мере на 95%, по меньшей мере на 96%, по меньшей мере на 97%, по меньшей мере на 98%, по меньшей мере на 99%, например, на 100%, идентична последовательности аминокислот, представленной в SEQ ID NO: 477, и VL, которая по меньшей мере на 80%, по меньшей мере на 85%, по меньшей мере на 90%, по меньшей мере на 91%, по меньшей мере на 92%, по меньшей мере на 93%, по меньшей мере на 94%, по меньшей мере на 95%, по меньшей мере на 96%, по меньшей мере на 97%, по меньшей мере на 98%, по меньшей мере на 99%, например, на 100%, идентична последовательности аминокислот, представленной в SEQ ID NO: 278, и антитело содержит тяжелую цепь IgG1 аллотипа G1m1; nG1m2; G1m3; G1m17.1; G1m17.1.2; G1m3.1 или G1m17.

[0090] В одном варианте реализации любая из VH антитела против gp120, описанного в данной заявке, непосредственно связана или связана посредством промежуточной последовательности аминокислот (например, линкера G-S) с

последовательностью IgG1m3 дикого типа, представленной ниже (типичные определяющие аллотип остатки обозначены жирным шрифтом).

ASTKGPSVFPLAPSSKSTSGGTAALGCLVKDYFPEPVTWNSGALTSGVHTFPAVLQSSGLYSLSS  
VVTVPSSSLGTQTYICNVNHKPSNTKVDK**R**VEPKSCDKTHTCPPCPAPELLGGPSVFLFPPKPDKTL  
MISRTPEVTCVVVDVSHEDPEVKFNWYVDGVEVHNAKTKPREEQYNSTYRVVSVLTVLHQDWLNGKE  
YKCKVSNKALPAPIEKTISKAKGQPREPQVYTLPPSRE**E**MTKNQVSLTCLVKGFYPSDIAVEWESNG  
QPENNYKTTPPVLDSDGSFFLYSKLTVDKSRWQQGNVFSCSVMHE**A**LHNHYTQKSLSLSPGK (SEQ  
ID NO: 347).

[0091] В другом варианте реализации любая из VH антитела против gp120, описанного в данной заявке, непосредственно связана или связана посредством промежуточной последовательности аминокислот (например, линкера G-S) с последовательностью IgG1m17 дикого типа, представленной ниже (типичные определяющие аллотип остатки обозначены жирным шрифтом).

[0092] IgG1m17:

ASTKGPSVFPLAPSSKSTSGGTAALGCLVKDYFPEPVTWNSGALTSGVHTFPAVLQSSGLYSLSS  
VVTVPSSSLGTQTYICNVNHKPSNTKVDK**K**VEPKSCDKTHTCPPCPAPELLGGPSVFLFPPKPDKTL  
MISRTPEVTCVVVDVSHEDPEVKFNWYVDGVEVHNAKTKPREEQYNSTYRVVSVLTVLHQDWLNGKE  
YKCKVSNKALPAPIEKTISKAKGQPREPQVYTLPPSRE**E**MTKNQVSLTCLVKGFYPSDIAVEWESNG  
QPENNYKTTPPVLDSDGSFFLYSKLTVDKSRWQQGNVFSCSVMHE**A**LHNHYTQKSLSLSPGK (SEQ  
ID NO: 348).

[0093] В некоторых вариантах реализации VH антитела против gp120, описанного в данной заявке, непосредственно связана или связана посредством промежуточной последовательности аминокислот (например, линкера G-S), с последовательностью IgG1m17 с от 1 до 10 (например, 1, 2, 3, 4, 5, 6, 7, 8, 9, 10) заменами аминокислот в SEQ ID NO: 348 (например, заменами, сделанными для улучшения эффекторной функции и/или увеличения времени полужизни). Типичные замены аминокислот в Fc-области (например, IgG1, такого как IgG1m17) включают S239D, I332E, G236A, A330L, M428L, N434S; S239D, I332E, G236A, A330L; S239D, I332E M428L, N434S; S239D, I332E, A330L, M428L, N434S; F243L, R292P, Y300L, V305I, P396L, M428L, N434S; и S239D, I332E, G236A, A330L.

[0094] В некоторых вариантах реализации антитело против gp120 представляет собой антитело IgG1 человека/каппа человека. В некоторых вариантах реализации

антитела согласно настоящему изобретению содержат легкую цепьkapпа аллотипа, выбранного из Km1; Km1.2 или Km3. Для каждого из данных аллотипов характерны следующие аминокислотные остатки в указанных положениях в легкой цепи (нумерация EU): Km1: V153, L191; Km1.2: A153, L191; и Km3: A153, V191. В некоторых вариантах реализации антитело содержит VH, содержащую области CDR 1 - 3 VH, и VL, содержащую области CDR 1 - 3 VL, причем области CDR 1 - 3 VH и области CDR 1 - 3 VL имеют последовательности, представленные в: SEQ ID NO: 137, 138, 139, 140, 141 и 142, соответственно, и содержит легкую цепь каппа аллотипа, выбранного из Km1; Km1.2 или Km3. В некоторых вариантах реализации антитело содержит VH, содержащую области CDR 1 - 3 VH, и VL, содержащую области CDR 1 - 3 VL, причем области CDR 1 - 3 VH и области CDR 1 - 3 VL имеют последовательности, представленные в: SEQ ID NO: 137, 138, 139, 140, 141 и 142, соответственно, и содержит легкую цепь каппа аллотипа Km3. В некоторых вариантах реализации антитело содержит VH, содержащую области CDR 1 - 3 VH, и VL, содержащую области CDR 1 - 3 VL, причем области CDR 1 - 3 VH и области CDR 1 - 3 VL имеют последовательности, представленные в: SEQ ID NO: 137, 138, 139, 140, 141 и 142, соответственно, и представляет собой антитело IgG1 человека/каппа человека, такое как IgG1 человека/Km3. В некоторых вариантах реализации антитела против gp120 или связывающие gp120 фрагменты содержат VH, которая по меньшей мере на 80%, по меньшей мере на 85%, по меньшей мере на 90%, по меньшей мере на 91%, по меньшей мере на 92%, по меньшей мере на 93%, по меньшей мере на 94%, по меньшей мере на 95%, по меньшей мере на 96%, по меньшей мере на 97%, по меньшей мере на 98%, по меньшей мере на 99%, например, на 100%, идентична последовательности аминокислот, представленной в SEQ ID NO: 477, и VL, которая по меньшей мере на 80%, по меньшей мере на 85%, по меньшей мере на 90%, по меньшей мере на 91%, по меньшей мере на 92%, по меньшей мере на 93%, по меньшей мере на 94%, по меньшей мере на 95%, по меньшей мере на 96%, по меньшей мере на 97%, по меньшей мере на 98%, по меньшей мере на 99%, например, на 100%, идентична последовательности аминокислот, представленной в SEQ ID NO: 278, и представляет собой антитело IgG1 человека/каппа человека, такое как IgG1 человека/Km3.

**[0095]** В некоторых вариантах реализации антитело против gp120 согласно настоящему изобретению содержит легкую цепь каппа человека, содержащую

одну из следующих последовательностей аминокислот, в которых типичные определяющие аллотип остатки обозначены жирным шрифтом:

Km1:

RTVAAPSVFIFPPSDEQLKSGTASVVCLNNFYPREAKVQWKVDNV**L**QSGNSQESVTEQDSKDSTYS  
LSSTLTLSKADYEKHK**L**YACEVTHQGLSSPVTKSFNRGEC (SEQ ID NO: 349);

Km1,2:

RTVAAPSVFIFPPSDEQLKSGTASVVCLNNFYPREAKVQWKVDN**A**LQSGNSQESVTEQDSKDSTYS  
LSSTLTLSKADYEKHK**L**YACEVTHQGLSSPVTKSFNRGEC (SEQ ID NO: 350); or

Km3:

RTVAAPSVFIFPPSDEQLKSGTASVVCLNNFYPREAKVQWKVDN**A**LQSGNSQESVTEQDSKDSTYS  
LSSTLTLSKADYEKHK**V**YACEVTHQGLSSPVTKSFNRGEC (SEQ ID NO: 351).

**[0096]** В одном варианте реализации антитело против gp120 согласно настоящему изобретению содержит легкую цепь кappa человека, Km3. В конкретном варианте реализации VL антитела против gp120, описанного в данной заявке, непосредственно связана или связана посредством промежуточной последовательности аминокислот (например, линкера G-S) с последовательностью Km3 человека дикого типа (SEQ ID NO: 351). В некоторых вариантах реализации VL антитела против gp120, описанного в данной заявке, непосредственно связана или связана посредством промежуточной последовательности аминокислот (например, линкера G-S)) с мутантной последовательностью Km3 человека, содержащей от 1 до 5 (т.е., 1, 2, 3, 4, 5) замен аминокислот в SEQ ID NO: 351.

**[0097]** В некоторых вариантах реализации антитело против gp120 представляет собой антитело IgG1 человека/лямбда человека. У каждого отдельного человека есть от семи до одиннадцати различных генов легкой цепи лямбда, которые кодируют легкие цепи, выбранные из лямбда 1, лямбда 2, лямбда 3, лямбда 4, лямбда 5, лямбда 6 и лямбда 7. В некоторых вариантах реализации антитела согласно настоящему изобретению содержат легкую цепь лямбда, выбранную из лямбда 1, лямбда 2, лямбда 3, лямбда 4, лямбда 5, лямбда 6 и лямбда 7. В некоторых вариантах реализации антитело, описанное в данной заявке, содержит легкую цепь лямбда, содержащую одну из следующих последовательностей аминокислот, в которых типичные определяющие лямбда остатки обозначены жирным шрифтом:

лямбда 1:

GQPKA**NPT**VTLFPPSSEELQANKATLVCL**I**SDFYPGAVTVAWKAD**GSPVKAGVETTKPSKQSNNKYA**  
ASSYLSLTPEQWKSH**R**SYSC**Q**VTHEGSTVEKT~~VAP~~TECS (SEQ ID NO: 352);

лямбда 2:

GQPKA**APS**VTLFPPSSEELQANKATLVCL**I**SDFYPGAVTVAWKAD**SSPVKAGVETTPSKQSNNKYA**  
ASSYLSLTPEQWKSH**R**SYSC**Q**VTHEGSTVEKT~~VAP~~TECS (SEQ ID NO: 353);

лямбда 3:

GQPKA**APS**VTLFPPSSEELQANKATLVCL**I**SDFYPGAVTVAWKAD**SSPAKAGVETTPSKQS**  
NNKYAASSYLSLTPEQWKSH**K**SYSC**Q**VTHEGSTVEKT~~VAP~~TECS (SEQ ID NO: 354);

или лямбда 7:

GQPKA**APS**VTLFPPSSEELQANKATLVCL**V**SDFYPGAVTVAWKAD**GSPVKVGVETTKPSKQS**  
NNKYAASSYLSLTPEQWKSH**R**SYSC**R**VTHEGSTVEKT~~VAP~~AEC~~S~~ (SEQ ID NO: 355).

**[0098]** В одном варианте реализации антитело против gp120 представляет собой антитело IgG1m17 человека/Km3 человека. Константные области (легкой и/или тяжелой цепи) могут содержать от 1 до 10 (например, 1, 2, 3, 4, 5, 6, 7, 8, 9, 10) замен аминокислот (например, замены, сделанные для улучшения эффекторной функции и/или увеличения времени полужизни). В некоторых вариантах реализации антитела афукозилированы. В некоторых вариантах реализации антитела содержат одну или более меток. В некоторых вариантах реализации антитело содержит VH, содержащую области CDR 1 - 3 VH, и VL, содержащую области CDR 1 - 3 VL, причем области CDR 1 - 3 VH и области CDR 1 - 3 VL имеют последовательности, представленные в: SEQ ID NO: 137, 138, 139, 140, 141 и 142, соответственно, и представляет собой антитело IgG1m17 человека/Km3 человека. В некоторых вариантах реализации антитело содержит VH, содержащую области CDR 1 - 3 VH, и VL, содержащую области CDR 1 - 3 VL, причем области CDR 1 - 3 VH и области CDR 1 - 3 VL имеют последовательности, представленные в: SEQ ID NO: 137, 138, 139, 140, 141 и 142, соответственно, и представляет собой антитело IgG1m17 человека/Km3 человека, в котором константная область тяжелой цепи содержит от 1 до 10 замен аминокислот. В некоторых вариантах реализации антитело содержит VH, содержащую области CDR 1 - 3 VH, и VL,

содержащую области CDR 1 - 3 VL, причем области CDR 1 - 3 VH и области CDR 1 - 3 VL имеют последовательности, представленные в: SEQ ID NO: 137, 138, 139, 140, 141 и 142, соответственно, и представляет собой антитело IgG1m17 человека/Km3 человека, в котором константная область тяжелой цепи содержит следующие замены аминокислот относительно SEQ ID NO: 348: S239D, I332E, G236A, A330L, M428L, N434S. В некоторых вариантах реализации антитела против gp120 или связывающие gp120 фрагменты содержат VH, которая по меньшей мере на 80%, по меньшей мере на 85%, по меньшей мере на 90%, по меньшей мере на 91%, по меньшей мере на 92%, по меньшей мере на 93%, по меньшей мере на 94%, по меньшей мере на 95%, по меньшей мере на 96%, по меньшей мере на 97%, по меньшей мере на 98%, по меньшей мере на 99%, например, на 100%, идентична последовательности аминокислот, представленной в SEQ ID NO: 477, и VL, которая по меньшей мере на 80%, по меньшей мере на 85%, по меньшей мере на 90%, по меньшей мере на 91%, по меньшей мере на 92%, по меньшей мере на 93%, по меньшей мере на 94%, по меньшей мере на 95%, по меньшей мере на 96%, по меньшей мере на 97%, по меньшей мере на 98%, по меньшей мере на 99%, например, на 100%, идентична последовательности аминокислот, представленной в SEQ ID NO: 278, и представляет собой антитело IgG1 человека/каппа человека, такое как IgG1 человека/Km3, в котором константная область тяжелой цепи содержит следующие замены аминокислот относительно SEQ ID NO: 348: S239D, I332E, G236A, A330L, M428L, N434S. В некоторых вариантах реализации данные замены улучшают эффекторную функцию. В некоторых вариантах реализации данные замены увеличивают время полужизни. В некоторых вариантах реализации данные замены улучшают эффекторную функцию и улучшают время полужизни.

**[0099]** В некоторых вариантах реализации антитела, которое связывается с gp120, содержит последовательность аминокислот VH антитела против gp120, описанного в данной заявке, и VL антитела против gp120, описанного в данной заявке. Примеры последовательностей аминокислот VH и VL антитела против gp120 включают последовательности, представленные в SEQ ID NO: 182 и 223, соответственно; SEQ ID NO: 182 и 275, соответственно; SEQ ID NO: 182 и 278, соответственно; SEQ ID NO: 182 и 292, соответственно; SEQ ID NO: 220 и 276, соответственно; SEQ ID NO: 465 и 276, соответственно; SEQ ID NO: 466 и 276, соответственно; SEQ ID NO: 182 и 491, соответственно; SEQ ID NO: 465 и 491,

соответственно; SEQ ID NO: 466 и 491, соответственно; SEQ ID NO: 182 и 493, соответственно; SEQ ID NO: 182 и 516, соответственно; SEQ ID NO: 182 и 276, соответственно; SEQ ID NO: 182 и 569, соответственно; SEQ ID NO: 477 и 223, соответственно; SEQ ID NO: 477 и 278, соответственно; SEQ ID NO: 477 и 292, соответственно; и последовательности SEQ ID NO: 478 и 276, соответственно. В некоторых вариантах реализации антитело содержит VH и VL, содержащие последовательности аминокислот, представленные в: SEQ ID NO: 477 и 278, соответственно. В некоторых вариантах реализации каждое из данных антител представляет собой антитела IgG1m17 человека/Km3 человека. В некоторых вариантах реализации данные антитела содержат последовательность аминокислот, представленную в SEQ ID NO: 348 и/или 351. В некоторых случаях данные антитела содержат до 10 (например, 1, 2, 3, 4, 5, 6, 7, 8, 9, 10) замен аминокислот (например, замен, введенных для улучшения эфекторной функции и/или увеличения времени полужизни) в SEQ ID NO: 348 и/или 351, соответственно. В некоторых вариантах реализации антитело содержит VH, содержащую области CDR 1 - 3 VH, и VL, содержащую области CDR 1 - 3 VL, причем области CDR 1 - 3 VH и области CDR 1 - 3 VL имеют последовательности, представленные в: SEQ ID NO: 137, 138, 139, 140, 141 и 142, соответственно, и содержит последовательность аминокислот, представленную в последовательностях SEQ ID NO: 348 и 351 с от 1 до 10 замен аминокислот в последовательности SEQ ID NO: 348 и/или 351. В некоторых вариантах реализации антитело содержит VH, содержащую области CDR 1 - 3 VH, и VL, содержащую области CDR 1 - 3 VL, причем области CDR 1 - 3 VH и области CDR 1 - 3 VL имеют последовательности, представленные в: SEQ ID NO: 137, 138, 139, 140, 141 и 142, соответственно, и содержит последовательность аминокислот, представленную в последовательностях SEQ ID NO: 348 и 351 с от 1 до 10 замен в последовательности аминокислот внутри SEQ ID NO: 348. В некоторых вариантах реализации антитело содержит VH, содержащую области CDR 1 - 3 VH, и VL, содержащую области CDR 1 - 3 VL, причем области CDR 1 - 3 VH и области CDR 1 - 3 VL имеют последовательности, представленные в: SEQ ID NO: 137, 138, 139, 140, 141 и 142, соответственно, и содержит последовательность аминокислот, представленную в последовательностях SEQ ID NO: 348 и 351, со следующими заменами аминокислот в SEQ ID NO: 348: S239D, I332E, G236A, A330L, M428L, N434S. В некоторых вариантах реализации антитело содержит VH, содержащую области CDR 1 - 3 VH, и VL, содержащую области CDR 1 - 3 VL, причем области

CDR 1 - 3 VH и области CDR 1 - 3 VL имеют последовательности, представленные в: SEQ ID NO: 137, 138, 139, 140, 141 и 142, соответственно, и представляет собой антитело человека IgGm17/Km3. В некоторых вариантах реализации антитело содержит VH, содержащую области CDR 1 - 3 VH, и VL, содержащую области CDR 1 - 3 VL, причем области CDR 1 - 3 VH и области CDR 1 - 3 VL имеют последовательности, представленные в: SEQ ID NO: 137, 138, 139, 140, 141 и 142, соответственно, и антитело содержит легкую цепь каппа человека, содержащую последовательность аминокислот, представленную в SEQ ID NO: 351, и тяжелую цепь IgG1 аллотипа с последовательностью аминокислот, представленной в SEQ ID NO: 348. В некоторых вариантах реализации антитело содержит VH и VL, содержащие последовательности аминокислот, представленные в: SEQ ID NO: 477 и 278, соответственно, и содержит последовательность аминокислот, представленную в последовательностях SEQ ID NO: 348 и 351 с от 1 до 10 замен в последовательности аминокислот SEQ ID NO: 348 и/или 351. В некоторых вариантах реализации антитело содержит VH и VL, содержащие последовательности аминокислот, представленные в: SEQ ID NO: 477 и 278, соответственно, и содержит последовательность аминокислот, представленную в последовательностях SEQ ID NO: 348 и 351 с от 1 до 10 замен аминокислот в последовательности SEQ ID NO: 348. В некоторых вариантах реализации антитело содержит VH и VL, содержащие последовательности аминокислот, представленные в: SEQ ID NO: 477 и 278, соответственно, и содержит последовательность аминокислот, представленную в последовательностях SEQ ID NO: 348 и 351, со следующими заменами аминокислот в SEQ ID NO: 348: S239D, I332E, G236A, A330L, M428L, N434S. В некоторых вариантах реализации антитело содержит VH и VL, содержащие последовательности аминокислот, представленные в: SEQ ID NO: 477 и 278, соответственно, и представляет собой антитело человека IgGm17/Km3. В некоторых вариантах реализации антитело содержит VH и VL, содержащие последовательности аминокислот, представленные в: SEQ ID NO: 477 и 278, соответственно, и антитело содержит легкую цепь каппа человека, содержащую последовательность аминокислот, представленную в SEQ ID NO: 351, и тяжелую цепь IgG1 аллотипа с последовательностью аминокислот, представленной в SEQ ID NO: 348.

**[0100]** В некоторых вариантах реализации антитело, которое связывается с gp120, содержит последовательность аминокислот тяжелой цепи антитела против gp120,

описанного в данной заявке, и легкой цепи антитела против gp120, описанного в данной заявке. Примеры последовательностей тяжелой цепи и легкой цепи антитела против gp120 включают последовательности, представленные в SEQ ID NO: 2 и 49, соответственно; SEQ ID NO: 2 и 100, соответственно; SEQ ID NO: 42 и 101, соответственно; SEQ ID NO: 2 и 103, соответственно; SEQ ID NO: 517 и 101, соответственно; SEQ ID NO: 518 и 101, соответственно; SEQ ID NO: 2 и 542, соответственно; SEQ ID NO: 517 и 542, соответственно; SEQ ID NO: 2 и 117, соответственно; SEQ ID NO: 518 и 542, соответственно; SEQ ID NO: 2 и 544, соответственно; SEQ ID NO: 2 и 567, соответственно; SEQ ID NO: 2 и 568, соответственно; SEQ ID NO: 529 и 49, соответственно; SEQ ID NO: 529 и 103, соответственно; SEQ ID NO: 529 и 117, соответственно; и последовательности SEQ ID NO: 530 и 101, соответственно. В некоторых вариантах реализации антитела, которое связывается с gp120, содержит тяжелую цепь с последовательностью аминокислот, представленной в SEQ ID NO: 529, и легкую цепь с последовательностью аминокислот, представленной в SEQ ID NO: 103.

**[0101]** Антитела или антигенсвязывающие фрагменты, описанные в данной заявке, можно получить, например, путем получения и экспрессии нуклеиновых кислот, которые кодируют последовательности аминокислот антитела.

#### Мультиспецифические антитела.

**[0102]** В другом аспекте настоящего изобретения предложены мультиспецифические антитела. Мультиспецифические антитела представляют собой антитела, которые связывают два или более различных эпитопов (например, биспецифические антитела, трехвалентные антитела, четырехвалентные антитела). Антитела против gp120, описанные выше, могут составлять часть мультиспецифических антител. У мультиспецифических антител могут быть сайты связывания с по меньшей мере одним другим антигеном или одним другим эпитопом, который не связывается сайтом связывания антитела против gp120 мультиспецифического антитела. Содержащее антитело против gp120 мультиспецифическое антитело может содержать домен димеризации и три или более (например, три, четыре, пять, шесть) сайтов связывания антигена. Типичный домен димеризации содержит Fc-область (или состоит из нее). Содержащее антитело против gp120 мультиспецифическое антитело может содержать (или состоять из) от трех до приблизительно восьми (т.е., три, четыре, пять, шесть, семь, восемь) сайтов связывания антигена. Мультиспецифическое антитело

необязательно содержит по меньшей мере одну полипептидную цепь (например, две полипептидные цепи, три полипептидные цепи), причем указанная(-ые) полипептидная(-ые) цепь(-и) содержит(-ат) три или более вариабельных доменов. Например, полипептидная(-ые) цепь(-и) может(-гут) содержать, например, VD1-(X1)<sub>n</sub>-VD2-(X2)<sub>n</sub>-Fc, или VD1-(X1)<sub>n</sub>-VD2-(X2)<sub>n</sub>-VD3-(X3)<sub>n</sub>-Fc, где VD1 представляет собой первый вариабельный домен, VD2 представляет собой второй вариабельный домен, VD3 представляет собой третий вариабельный домен, Fc представляет собой полипептидную цепь Fc-области, X1, X2 и X3 представляет собой аминокислотный или пептидный спейсер, и n представляет собой 0 или 1. В некоторых случаях каждый из вариабельных доменов может представлять собой scFv. Мультиспецифические антитела можно легко получить путем рекомбинантной экспрессии нуклеиновой кислоты, кодирующей полипептидные цепи антитела.

#### Биспецифические антитела.

[0103] В одном аспекте мультиспецифическое антитело представляет собой биспецифическое антитело. Биспецифические антитела представляют собой антитела, которые обладают специфичностями связывания с двумя различными эпитопами. Биспецифическое антитело содержит два “плеча”. Одно плечо биспецифического антитела связывает один эпитоп, а другое плечо - другой эпитоп. В одном варианте реализации одно плечо биспецифического антитела связывает первый антиген, а другое плечо биспецифического антитела связывает второй антиген. В другом варианте реализации два плеча биспецифического антитела связываются с двумя различными эпитопами одного и того же антигена (например, gp120).

[0104] В одном аспекте настоящего изобретения предложено биспецифическое антитело, которое специфично связывается с gp120 и специфично связывается со вторым антигеном. В некоторых вариантах реализации второй антиген представляет собой триггерную молекулу на лейкоците, чтобы сфокусировать и направить механизмы клеточной защиты на инфицированную клетку. В некоторых случаях второй антиген представляет собой молекулу Т-клеточного рецептора (например, CD3, CD4); Fc-рецепторы для IgG (Fc $\gamma$ R), такие как Fc $\gamma$ RI (CD64), Fc $\gamma$ RII (CD32), Fc $\gamma$ RIII (CD16); CD89; антиген ВИЧ-1 (например, gp41); CCR5; представитель семейства KIR, такой как иммуноглобулин-подобный рецептор клеток-киллеров с тремя доменами Ig и длинным цитоплазматическим хвостом 1

(KIR3DL1), иммуноглобулин-подобный рецептор клеток-киллеров с тремя доменами Ig и длинным цитоплазматическим хвостом 1 (KIR3DL1), иммуноглобулин-подобный рецептор клеток-киллеров с двумя доменами Ig и длинным цитоплазматическим хвостом 1 (KIR2DL1), иммуноглобулин-подобный рецептор клеток-киллеров с двумя доменами Ig и длинным цитоплазматическим хвостом 2 (KIR2DL2), иммуноглобулин-подобный рецептор клеток-киллеров с двумя доменами Ig и длинным цитоплазматическим хвостом 3 (KIR2DL3); рецептор семейства NKG2, такой как лектин-подобный рецептор C1 клеток-киллеров (KLRC1), лектин-подобный рецептор C2 клеток-киллеров (KLRC2), лектин-подобный рецептор C3 клеток-киллеров (KLRC3), лектин-подобный рецептор C4 клеток-киллеров (KLRC4), лектин-подобный рецептор D1 клеток-киллеров (KLRD1), лектин-подобный рецептор K1 клеток-киллеров (KLRK1); запускающий естественную цитотоксичность рецептор, такой как запускающий естественную цитотоксичность рецептор 3 (NCR3 или NKp30), запускающий естественную цитотоксичность рецептор 2 (NCR2 или NK-p44), запускающий естественную цитотоксичность рецептор 1 (NCR1 или NK-p46), CD226 (DNAM-1), молекулу цитотоксических и регуляторных Т-клеток (CRTAM или CD355); представитель семейства SLAM, такой как представитель 1 семейства сигнальных молекул активации лимфоцитов (SLAMF1), CD48 (SLAMF2), антиген лимфоцитов 9 (LY9 или SLAMF3), CD244 (2B4 или SLAMF4), CD84 (SLAMF5), представитель 6 семейства SLAM (SLAMF6 или NTB-A), представитель 7 семейства SLAM (SLAMF7 или CRACC); CD27 (TNFRSF7), семафорин 4D (SEMA4D или CD100), или CD160 (NK1). В некоторых вариантах реализации второе плечо биспецифического антитела связывает отличный эпипотоп gp120.

**[0105]** В дополнительном варианте реализации молекула биспецифического антитела согласно настоящему изобретению включает антитело с двойным вариабельным доменом (DVD-Ig), где каждая легкая цепь и тяжелая цепь содержит два вариабельных домена, расположенных последовательно через короткую пептидную связь (Wu и др., Generation and Characterization of a Dual Variable Domain Immunoglobulin (DVD-Ig<sup>TM</sup>) Molecule, в Antibody Engineering, Springer Berlin Heidelberg (2010)). В некоторых вариантах реализации биспецифическое антитело представляет собой связанный химической связью биспецифический фрагмент (Fab')<sup>2</sup>. В других вариантах реализации биспецифическое антитело включает tandemные диатела tandem (т.е., слияние двух одноцепочечных

диател с получением четырехвалентного биспецифического антитела, которое содержит два сайта связывания с каждым из целевых антигенов). В некоторых вариантах реализации биспецифическое антитело представляет собой флекситело (flexibody), которое представляет собой комбинацию фрагментов scFv с диателом с получением поливалентной молекулы. В еще одном варианте реализации биспецифическое антитело содержит молекулу “dock and lock” на основе “домена димеризации и стыковки” в протеинкиназе А, которая, когда ее используют с фрагментами Fab, может позволить получить трехвалентный биспецифический связывающий белок, состоящий из двух идентичных фрагментов Fab, связанных с отличным фрагментом Fab. В другом примере биспецифические антитела согласно настоящему изобретению содержат “молекулу Scorpion”, содержащую, например, два scFv, слитых с обоими концами Fab-плеча человека. В еще одном варианте реализации биспецифическое антитело согласно настоящему изобретению включает диатело.

**[0106]** Примеры классов биспецифических антител включают, но не ограничены перечисленными: IgG-подобные молекулы с комплементарными доменами CH3, чтобы ускорить гетеродимеризацию; слитые с IgG молекулы, в которых полноразмерные антитела IgG слиты с дополнительным фрагментом Fab или частями фрагмента Fab; слитые с Fc молекулы, в которых одноцепочечные молекулы Fv или стабилизированные диатела слиты с константными доменами тяжелой цепи, областями Fc или их частями; слитые с Fab молекулы, в которых различные Fab-фрагменты слиты друг с другом; рекомбинантные IgG-подобные молекулы с двойной специфичностью, в которых каждая из двух сторон молекулы содержит фрагмент Fab или часть фрагмента Fab из по меньшей мере двух различных антител; антитела на основе scFv и диатела и антитела из тяжелых цепей (например, доменные антитела, нанотела), в которых различные одноцепочечные молекулы Fv, или различные диатела, или различные антитела из тяжелых цепей (например, доменные антитела, нанотела) слиты друг с другом или с другим белком или молекулой носителя.

**[0107]** Примеры Fab-слитых биспецифических антител включают, но не ограничены перечисленными: F(ab)<sub>2</sub> (Medarex/AMGEN), антитела двойного действия (Dual-Action) или бис-Fab (Bis-Fab) (Genentech), Dock-and-Lock (DNL) (ImmunoMedics), бивалентные биспецифические антитела (Biotecnol) и Fab-Fv (UCB-Celltech).

**[0108]** Примеры антител на основе scFv, на основе диател и доменных антител включают, но не ограничены перечисленными: привлекающий Т-клетки биспецифический активатор (BITE) (Micromet), tandemное диатело (Тандаб) (Affimed), технологию переориентирующегося антитела с двойной аффинностью (DART) (MacroGenics), одноцепочечное диатело (Academic), TCR-подобные антитела (AIT, РецепторLogics), слитый белок сывороточного альбумина человека и ScFv (Merrimack) и COMBODY (Epigen Biotech), нанотела с двойной специфичностью (Ablynx), и доменные антитела, содержащие только тяжелую цепь, с двойной специфичностью.

#### Антигенсвязывающие фрагменты.

**[0109]** В объем настоящего изобретения входят антигенсвязывающие фрагменты антител против gp120, описанных в данной заявке. Антигенсвязывающие фрагменты антител (например, scFv, sc(Fv)<sub>2</sub>, Fab, F(ab)<sub>2</sub>, Fab', F(ab')<sub>2</sub>, Facb и Fv) можно получить, например, с помощью рекомбинантных способов или путем протеолитического расщепления интактных антител. Например, фрагменты антитела можно получить путем обработки полноразмерного антитела ферментом, таким как папаин, пепсин или плазмин. В результате расщепления папаином полноразмерных антител образуются фрагменты F(ab)2 или Fab; расщепление пепсином полноразмерных антител приводит к образованию F(ab')<sub>2</sub> или Fab'; и расщепление плазмином полноразмерных антител приводит к образованию фрагментов Facb.

**[0110]** В качестве альтернативы, фрагменты антитела можно получить рекомбинантным способом. Например, нуклеиновые кислоты, кодирующие интересующие фрагменты антител, можно сконструировать, внедрить в вектор экспрессии и экспрессировать в подходящих клетках-хозяевах. См., например, Co, M.S. и др., *J. Immunol.*, 152:2968-2976 (1994); Better, M. и Horwitz, A.H., *Methods in Enzymology*, 178:476-496 (1989); Plueckthun, A. и Skerra, A., *Methods in Enzymology*, 178:476-496 (1989); Lamoyi, E., *Methods in Enzymology*, 121:652-663 (1989); Rousseaux, J. и др., *Methods in Enzymology*, (1989) 121:663-669 (1989); и Bird, R.E. и др., *TIBTECH*, 9:132-137 (1991)). Фрагменты антител могут экспрессироваться в *E. coli* и секретироваться из нее, таким образом, позволяя легко получать большие количества данных фрагментов. Фрагменты антитела можно выделить из фаговых библиотек антител. В качестве альтернативы, фрагменты Fab'-SH можно непосредственно выделить из *E. coli* и химическим способом соединить с

получением фрагментов  $F(ab)_2$  (Carter и др., *Bio/Technology*, 10:163-167 (1992)). В соответствии с другим подходом, фрагменты  $F(ab')_2$  можно выделить непосредственно из культуры рекомбинантных клеток-хозяев. Фрагменты  $Fab$  и  $F(ab')_2$  с увеличенным временем полужизни *in vivo*, содержащие остатки эпитопа связывания рецептора реутилизации, описаны в патенте США номер 5869046.

Миниантитела.

**[0111]** Также в объем настоящего изобретения входят миниантитела, которые связывают gp120. Миниантитела включают диатела, одноцепочечное ( $scFv$ ) и одноцепочечное ( $Fv$ ) $_2$  ( $sc(Fv)_2$ ).

**[0112]** “Диатело” представляет собой бивалентное минитело, сконструированное путем слияния генов (см., например, Holliger, P. и др., *Proc. Natl. Acad. Sci. U. S. A.*, 90:6444-6448 (1993); EP 404097; WO 93/11161). Диатела представляют собой димеры, состоящие из двух полипептидных цепей. Домены VL и VH каждой полипептидной цепи диатела связаны линкерами. Количество аминокислотных остатков, которые составляют линкер, может составлять от 2 до 12 остатков (например, 3 - 10 остатков или пять или приблизительно пять остатков). Линкеры полипептидов в диателе обычно слишком короткие, чтобы позволить VL и VH связаться друг с другом. Таким образом, VL и VH, кодируемые в виде одной полипептидной цепи, не могут образовывать одноцепочечный фрагмент вариабельной области, но вместо этого образуют димер с отличным одноцепочечным фрагментом вариабельной области. В результате, диатело содержит две антигенсвязывающие области.

**[0113]**  $scFv$  представляет собой антитело из одноцепочечного полипептида, полученное путем соединения VH и VL с помощью линкера (см., например, Huston и др., *Proc. Natl. Acad. Sci. U. S. A.*, 85:5879-5883 (1988); и Plickthun, “The Pharmacology of Monoclonal Antibodies” том 113, ред. Resenburg и Moore, Springer Verlag, Нью-Йорк, стр. 269-315, (1994)). Порядок VH и VL, которые будут соединять, особо не ограничен, и их можно располагать в любом порядке. Примеры расположений включают: [VH] линкер [VL]; или [VL] линкер [VH]. Область V цепи H и область V цепи L в  $scFv$  может происходить из любого антитела против gp120 или его антигенсвязывающего фрагмента, описанного в данной заявке.

**[0114]** sc(Fv)<sub>2</sub> представляет собой миниген, в котором два VH и два VL связаны линкером с образованием одной цепи (Hudson и др., *J. Immunol. Methods*, (1999), 231: 177-189). sc(Fv)<sub>2</sub> можно получить, например, путем соединения фрагментов scFv с помощью линкера. sc(Fv)<sub>2</sub> согласно настоящему изобретению включают антитела, в которых предпочтительно две VH и две VL расположены в следующем порядке: VH, VL, VH и VL ([VH] линкер [VL] линкер [VH] линкер [VL]), начиная с N-конца одноцепочечного полипептида; тем не менее, порядок двух VH и двух VL не ограничен указанным выше расположением, и они могут располагаться в любом порядке. Примеры расположений перечислены ниже:

[VL] линкер [VH] линкер [VH] линкер [VL]  
[VH] линкер [VL] линкер [VL] линкер [VH]  
[VH] линкер [VH] линкер [VL] линкер [VL]  
[VL] линкер [VL] линкер [VH] линкер [VH]  
[VL] линкер [VH] линкер [VL] линкер [VH]

**[0115]** Обычно, необходимо три линкера, если соединяют четыре вариабельные области антитела; используемые линкеры могут быть идентичными или различными. Нет определенного ограничения на линкеры, которые соединяют области VH и VL минигенов. В некоторых вариантах реализации линкер представляет собой пептидный линкер. Любой произвольный одноцепочечный пептид, содержащий приблизительно от трех до 25 остатков (например, 5, 6, 7, 8, 9, 10, 11, 12, 13, 14, 15, 16, 17, 18), можно применять в качестве линкера. Примеры таких пептидных линкеров включают: Ser; Gly Ser; Gly Gly Ser; Ser Gly Gly; Gly Gly Gly Ser (SEQ ID NO: 427); Ser Gly Gly Gly (SEQ ID NO: 428); Gly Gly Gly Gly Ser (SEQ ID NO: 429); Ser Gly Gly Gly Gly (SEQ ID NO: 430); Gly Gly Gly Gly Gly Ser (SEQ ID NO: 431); Ser Gly Gly Gly Gly Gly (SEQ ID NO: 432); Gly Gly Gly Gly Gly Ser (SEQ ID NO: 433); Ser Gly Gly Gly Gly Gly Gly (SEQ ID NO: 434); (Gly Gly Gly Gly Ser)<sub>n</sub> (SEQ ID NO: 435), где n представляет собой целое число, равное единице или более; и (Ser Gly Gly Gly Gly)<sub>n</sub> (SEQ ID NO: 436), где n представляет собой целое число, равное единице или более.

**[0116]** В некоторых вариантах реализации линкер представляет собой линкер на основе синтетического соединения (химический перекрестно сшивающий агент). Примеры перекрестно сшивающих агентов, которые доступны на рынке, включают N-гидроксисукцинимид (NHS), дисукцинимидсуберат (DSS), бис(сульфосукцинимид)суберат (BS3), дитиобис(сукцинимидилпропионат)

(DSP), дитиобис(сульфосукциниimidилпропионат) (DTSSP), бис(сукциниimidилсукцинат) этиленгликоля (EGS), бис(сульфосукциниimidилсукцинат) этиленгликоля (сульфо-EGS), дисукциниimidилтартрат (DST), дисульфосукциниimidилтартрат (сульфо-DST), бис[2-(сукциниимидооксикарбонилокси)этил]сульфон (BSOCOES) и бис[2-(сульфосукциниимидооксикарбонилокси)этил]сульфон (сульфо-BSOCOES).

**[0117]** Последовательность аминокислот VH или VL в миниантителях может содержать модификации, такие как замены, делеции, добавления и/или вставки. Например, модификация может быть в одной или более областях CDR антитела против gp120 или его антигенсвязывающего фрагмента. В некоторых вариантах реализации модификация включает одну, две или три замены аминокислот в одном или более CDR домена VH и/или VL минитела против gp120. Такие замены вводят, чтобы улучшить связывание и/или функциональную активность минитела против gp120. В других вариантах реализации одну, две или три аминокислоты в областях CDR антитела против gp120 или его антигенсвязывающего фрагмента можно удалить или вставить при условии, что присутствует активность связывания gp120 и/или функциональная активность, когда VH и VL соединены.

**[0118]** В некоторых вариантах реализации антитела и их антигенсвязывающие фрагменты, описанные в данной заявке, не содержат сигнальный пептид. В некоторых вариантах реализации антитела и их антигенсвязывающие фрагменты, описанные в данной заявке, содержат N-концевой сигнальный пептид. Сигнальный пептид может представлять собой эндогенный сигнальный пептид (например, из нативного белка иммуноглобулина или белка иммуноглобулина дикого типа), или из гетерологичного полипептида (например, отличного от иммуноглобулина белка). В некоторых вариантах реализации гетерологичный сигнальный пептид получен из секреции белка, например, белка сыворотки, иммуноглобулина или цитокина. В некоторых вариантах реализации сигнальный пептид получен из сигнального пептида сывороточного альбумина (например, с последовательностью аминокислот KWVTFISLLFLFSSAYS (SEQ ID NO: 620). В некоторых вариантах реализации сигнальный пептид содержит последовательность, выбранную из группы, состоящей из MDPKGSLSWRILLFLSLAFELSYG (SEQ ID NO: 621), MSVPTQVLGLLLLWLTDARC (SEQ ID NO: 622), METDTLLLWVLLLWVPGSTG (SEQ ID NO: 623), MKWVTFISLLFLFSSAYS (SEQ ID NO: 624), MRCLAEFLGLLVLWIPGAIG (SEQ ID NO: 625), и

MDPKGSLSWRILLFLSLAFELSYG (SEQ ID NO: 626). Сигнальный пептид можно разработать таким образом, чтобы он отщеплялся, например, после секреции из клетки, с образованием зрелого слитого белка. Модифицированный сигнальный пептид сывороточного альбумина человека для секреции белков из клеток, которые могут найти применение для экспрессии слитых белков согласно настоящему изобретению, описаны, например, в Attallah и др., *Protein Expr Purif.* (2017) 132:27-33. Дополнительное руководство по выбору последовательностей сигнальных пептидов для применения для экспрессии описанных в данной заявке антител и их антигенсвязывающих фрагментов описано, например, в Kober и др., *Biotechnol Bioeng.* (2013) 110(4):1164-73; Gibson и др., *Biotechnol Bioeng.* Сентябрь 2017 г.; 114(9):1970-1977; Lin и др., *Biotechnol J.* Сентябрь 2017 г.; 12(9). doi: 10.1002/biot.201700268 (PMID 28727292); Ramezani и др., *Protein Expr Purif.* Июль 2017 г.; 135:24-32; и Haryadi и др., *PLoS One.* 23 февраля 2015 г.; 10(2):e0116878. При необходимости, тяжелая цепь и легкая цепь, или их антигенсвязывающие фрагменты, могут содержать одинаковые или различные сигнальные пептиды, когда они экспрессируются в виде отдельных белков.

#### Модификации Fc.

[0119] В некоторых вариантах реализации антитела согласно настоящему изобретению содержат одну или более модификаций последовательности аминокислот в константной области тяжелой цепи (Fc) по сравнению с последовательностью аминокислот IgG1m17 (т.е., SEQ ID NO: 348). В некоторых вариантах реализации антитела согласно настоящему изобретению содержат одну или более модификаций последовательности аминокислот в константной области тяжелой цепи (Fc) по сравнению с другими антителами против ВИЧ, такими как антитело А или антитело В. В некоторых вариантах реализации данные модификации повышают стабильность или повышают аффинность связывания модифицированного антитела по сравнению с антителом А или антителом В. В некоторых вариантах реализации данные модификации повышают стабильность или повышают эфекторную функцию модифицированного антитела по сравнению с антителом А или антителом В. В некоторых вариантах реализации некоторые из данных модификаций улучшают фармакокинетику антитела по сравнению с антителом А или антителом В. В некоторых вариантах реализации некоторые из данных модификаций увеличивают время полужизни антитела по сравнению с антителом А или антителом В. В других вариантах реализации

некоторые из данных модификации повышают эффекторную функцию антитела и улучшают фармакокинетику антитела по сравнению с антителом А или антителом В. В других вариантах реализации некоторые из данных модификации повышают эффекторную функцию антитела и увеличивают время полужизни антитела по сравнению с антителом А или антителом В. В некоторых вариантах реализации антитела содержит VH, содержащую области CDR 1 - 3 VH, и VL, содержащую области CDR 1 - 3 VL, причем области CDR 1 - 3 VH и области CDR 1 - 3 VL имеют последовательности, представленные в: SEQ ID NO: 137, 138, 139, 140, 141 и 142, соответственно, и содержит константную область тяжелой цепи с одной или более модификациями последовательности аминокислот по сравнению с SEQ ID NO: 348. В некоторых вариантах реализации антитела против gp120 или связывающие gp120 фрагменты содержат VH, которая по меньшей мере на 80%, по меньшей мере на 85%, по меньшей мере на 90%, по меньшей мере на 91%, по меньшей мере на 92%, по меньшей мере на 93%, по меньшей мере на 94%, по меньшей мере на 95%, по меньшей мере на 96%, по меньшей мере на 97%, по меньшей мере на 98%, по меньшей мере на 99%, например, на 100%, идентична последовательности аминокислот, представленной в SEQ ID NO: 477, и VL, которая по меньшей мере на 80%, по меньшей мере на 85%, по меньшей мере на 90%, по меньшей мере на 91%, по меньшей мере на 92%, по меньшей мере на 93%, по меньшей мере на 94%, по меньшей мере на 95%, по меньшей мере на 96%, по меньшей мере на 97%, по меньшей мере на 98%, по меньшей мере на 99%, например, на 100%, идентична последовательности аминокислот, представленной в SEQ ID NO: 278. В некоторых вариантах реализации антитела содержит VH и VL, содержащие последовательности аминокислот, представленные в: SEQ ID NO: 477 и 278, соответственно, и содержит константную область тяжелой цепи с одной или более модификациями последовательности аминокислот по сравнению с SEQ ID NO: 348. В некоторых вариантах реализации данные замены улучшают эффекторную функцию. В некоторых вариантах реализации данные замены увеличивают время полужизни. В некоторых вариантах реализации данные замены улучшают эффекторную функцию и увеличивают время полужизни.

**[0120]** В некоторых вариантах реализации одна или более модификаций выбраны из следующих замен аминокислот Fc (нумерация EU) или их комбинации: L234F; L235E; G236A; S239D; F243L; D265E; D265A; S267E; H268F; R292P; N297Q; N297A; S298A; S324T; I332E; S239D; A330L; L234F; L235E; P331S; F243L; Y300L;

V305I; P396L; S298A; E333A; K334A; E345R; L235V; F243L; R292P; Y300L; P396L; M428L; E430G; N434S; G236A, S267E, H268F, S324T, и I332E; G236A, S239D, и I332E; S239D, A330L, I332E; L234F, L235E, и P331S; F243L, R292P, Y300L, V305I, и P396L; G236A, H268F, S324T, и I332E; S239D, H268F, S324T, и I332E; S298A, E333A, и K334A; L235V, F243L, R292P, Y300L, и P396L; S239D, I332E; S239D, S298A, и I332E; G236A, S239D, I332E, M428L, и N434S; G236A, S239D, A330L, I332E, M428L, и N434S; S239D, I332E, G236A и A330L; M428L и N434S; M428L, N434S; G236A, S239D, A330L, и I332E; и G236A и I332E. В некоторых вариантах реализации одну, две, три, четыре или более замен аминокислот вводят в Fc-область, чтобы изменить (например, повысить) эффекторную функцию антитела. Например, данные замены находятся в положениях, выбранных из группы, состоящей из аминокислотных остатков 236, 239, 330 и 332 (согласно нумерации EU). В данных положениях можно заменить аминокислотный остаток на отличный аминокислотный остаток, так что у антитела улучшится эффекторная функция. В некоторых вариантах реализации антитела содержит VH, содержащую области CDR 1 - 3 VH, и VL, содержащую области CDR 1 - 3 VL, причем области CDR 1 - 3 VH и области CDR 1 - 3 VL имеют последовательности, представленные в: SEQ ID NO: 137, 138, 139, 140, 141 и 142, соответственно, и содержит константную область тяжелой цепи со следующими модификациями (нумерация EU) по сравнению с SEQ ID NO: 348: S239D, I332E, G236A, A330L, M428L, N434S. В некоторых вариантах реализации антитела против gp120 или связывающие gp120 фрагменты содержат VH, которая по меньшей мере на 80%, по меньшей мере на 85%, по меньшей мере на 90%, по меньшей мере на 91%, по меньшей мере на 92%, по меньшей мере на 93%, по меньшей мере на 94%, по меньшей мере на 95%, по меньшей мере на 96%, по меньшей мере на 97%, по меньшей мере на 98%, по меньшей мере на 99%, например, на 100%, идентична последовательности аминокислот, представленной в SEQ ID NO: 477, и VL, которая по меньшей мере на 80%, по меньшей мере на 85%, по меньшей мере на 90%, по меньшей мере на 91%, по меньшей мере на 92%, по меньшей мере на 93%, по меньшей мере на 94%, по меньшей мере на 95%, по меньшей мере на 96%, по меньшей мере на 97%, по меньшей мере на 98%, по меньшей мере на 99%, например, на 100%, идентична последовательности аминокислот, представленной в SEQ ID NO: 278, и содержит константную область тяжелой цепи со следующими модификациями (нумерация EU) по сравнению с SEQ ID NO: 348: S239D, I332E, G236A, A330L, M428L, N434S. В некоторых

вариантах реализации антитело содержит VH и VL, содержащие последовательности аминокислот, представленные в: SEQ ID NO: 477 и 278, соответственно, и содержит константную область тяжелой цепи со следующими модификациями (нумерация EU) по сравнению с SEQ ID NO: 348: S239D, I332E, G236A, A330L, M428L, N434S. В некоторых вариантах реализации данные замены улучшают эффекторную функцию. В некоторых вариантах реализации данные замены увеличивают время полужизни. В некоторых вариантах реализации данные замены улучшают эффекторную функцию и увеличивают время полужизни.

[0121] В некоторых случаях антитела согласно настоящей заявке содержат мутации, которые повышают или улучшают эффекторную функцию путем усиления связывания Fc с активирующими Fc $\gamma$ R. В некоторых случаях антитела согласно настоящей заявке содержат мутации, которые увеличивают фармакокинетическое время полужизни антитела.

[0122] Мутации, которые увеличивают время полужизни антитела, известны в данной области. В одном варианте реализации константная область антитела, описанная в данной заявке, содержит замену метионина на тирозин в положении 252 (нумерация EU), замену серина на треонин в положении 254 (нумерация EU) и замену треонина на глутаминовую кислоту в положении 256 (нумерация EU). См., например, патент США № 7658921. Данный тип мутанта, названный “мутантом YTE”, проявляет в четыре раза большее время полужизни по сравнению с вариантом дикого типа того же антитела (Dall’Acqua и др., *J Biol Chem*, 281: 23514-24 (2006); Robbie и др., *Antimicrob Agents Chemotherap.*, 57(12):6147-6153 (2013)). В некоторых вариантах реализации антитело содержит константный домен IgG, содержащий одну, две, три или более замен аминокислотных остатков в положениях 251 - 257, 285 - 290, 308 - 314, 385 - 389 и 428 - 436 (нумерация EU). В других вариантах реализации антитело, описанное в данной заявке, содержит мутации T250Q и M428L (нумерация EU). В других вариантах реализации антитело, описанное в данной заявке (например, дуотела (Duobody®)), содержит мутации H433K и N434F (нумерация EU).

#### Конъюгированные антитела.

[0123] Любое из антител, описанных в данной заявке, может представлять собой конъюгированное антитело, которое связано с различными молекулами, включая макромолекулярные вещества, такие как полимеры (например, полиэтиленгликоль (ПЭГ), полиэтиленимин (ПЭИ), модифицированный ПЭГ (ПЭИ-ПЭГ),

полиглутаминовая кислота (ПГК) (сополимеры с N-(2-гидроксипропил)метакриламидом (ПГМА)), гиалуроновая кислота, радиоактивные материалы (например,  $^{90}\text{Y}$ ,  $^{131}\text{I}$ ,  $^{125}\text{I}$ ,  $^{35}\text{S}$ ,  $^3\text{H}$ ,  $^{121}\text{In}$ ,  $^{99}\text{Tc}$ ), флуоресцентные вещества (например, флуоресцеин и родамин), люминесцентные вещества (например, люминол), квантовые точки, гаптены, ферменты (например, глюкозооксидаза), хелаты металлов, биотин, авидин и лекарственные средства.

**[0124]** В некоторых вариантах реализации антитела или их антигенсвязывающие фрагменты, описанные в данной заявке, конъюгированы с цитотоксическим агентом, например, для доставки к инфицированным ВИЧ клеткам и их уничтожения. В различных вариантах реализации цитотоксический агент представляет собой низкомолекулярное органическое соединение или ингибиторную нуклеиновую кислоту, например, короткую ингибиторную РНК (миРНК), микроРНК. В некоторых вариантах реализации антитела или их антигенсвязывающие фрагменты, описанные в данной заявке, конъюгированы с цитотоксическим агентом, выбранным из группы, состоящей из монометилауристатина Е (ММАЕ), монометилауристатина F (ММАФ), калихеамицина, ансамитоцина, майтансина или их аналога (например, мертанзина/эмтанзина (DM1), равтанзина/соравтанзина (DM4)), антрациклина (например, доксорубицина, даунорубицина, эпирубицина, идарубицина), пирролобензодиазепина (PBD), перекрестно сшивающего ДНК агента SC-DR002 (D6.5), дуокармицина, ингибиторов микротрубочек (МТІ) (например, таксана, алкалоида барвинка, эпотилона), пирролобензодиазепина (PBD) или его димера, дуокармицина (A, B1, B2, C1, C2, D, SA, CC-1065) и экзотоксина *Pseudomonas*.

**[0125]** Описанные выше конъюгированные антитела можно получить путем осуществления химической модификации антител или более низкомолекулярных их форм, описанных в данной заявке. Способы модификации антител хорошо известны в данной области (например, US 5057313 и US 5156840).

#### Нуклеиновые кислоты.

**[0126]** В настоящем изобретении также предложен полинуклеотид или полинуклеотиды, кодирующие антитело или антигенсвязывающий фрагмент, описанный в данной заявке, векторы, содержащие такие полинуклеотиды, и клетки-хозяева (например, клетки млекопитающих, включая клетки хомяка или клетки человека, клетки растений, клетки дрожжей, бактериальные клетки, включая клетки *E. coli*), содержащие такие полинуклеотиды или векторы

экспрессии. В данной заявке предложены полинуклеотиды, содержащие последовательность(-и) нуклеотидов, кодирующую(-ие) любое из антител, предложенных в данной заявке, а также вектор(ы), содержащий(-е) такие полинуклеотидные последовательности, например, векторы экспрессии для их эффективной экспрессии в клетках-хозяевах, например, клетках млекопитающих.

[0127] В другом аспекте настоящего изобретения предложены полинуклеотиды или молекулы нукleinовых кислот, кодирующие антитело или его антигенсвязывающий фрагмент согласно настоящему изобретению. В некоторых вариантах реализации молекулы нукleinовых кислот кодируют легкую цепь антитела (или ее фрагмент) или тяжелую цепь антитела (или ее фрагмент), или обе, согласно настоящему изобретению. В других вариантах реализации нукleinовая кислота представляет собой ДНК, кДНК или мРНК. В некоторых других вариантах реализации молекула нукleinовой кислоты кодон-оптимизирована для повышения экспрессии в клетке-хозяине.

[0128] В одном аспекте настоящего изобретения предложены полинуклеотиды, содержащие последовательности нуклеотидов, кодирующие VH, VL или VH и VL антител или антигенсвязывающих фрагментов, которые связываются с gp120. В некоторых случаях VH и VL содержат аминокислоты, представленные, соответственно, в последовательностях SEQ ID NO: 182 и 275; 182 и 278; 182 и 279; 182 и 280; 182 и 281; 182 и 282; 182 и 292; 182 и 304; 182 и 307; 182 и 309; 220 и 310; или 220 и 311.

[0129] В другом аспекте в данной заявке предложены полинуклеотиды, содержащие последовательность нуклеотидов, кодирующую области CDR, легкую цепь или тяжелую цепь антитела, описанного в данной заявке. Указанные полинуклеотиды могут содержать последовательности нуклеотидов, кодирующие легкую цепь или вариабельный домен легкой цепи, содержащий области CDR VL антител, описанных в данной заявке (см., например, таблицы выше). Указанные полинуклеотиды могут содержать последовательности нуклеотидов, кодирующие тяжелую цепь или вариабельный домен тяжелой цепи, содержащий области CDR VH антител, описанных в данной заявке (см., например, таблицы выше). В одном варианте реализации полинуклеотид, описанный в данной заявке, кодирует вариабельную область легкой цепи или легкую цепь с областями CDR VL, содержащими последовательность аминокислот, представленную в последовательностях SEQ ID NO: 140, 141 и 142, соответственно. В другом

варианте реализации полинуклеотид, описанный в данной заявке, кодирует вариабельную область тяжелой цепи или тяжелую цепь с областями CDR VH, содержащими последовательность аминокислот, представленную в последовательностях SEQ ID NO: 137, 138 и 139, соответственно. В одном варианте реализации полинуклеотид, описанный в данной заявке, кодирует домен VL, содержащий последовательность аминокислот, представленную в SEQ ID NO: 275, 278, 279, 280, 281, 282, 292, 304, 307, 309, 310 или 311. В другом варианте реализации полинуклеотид, описанный в данной заявке, кодирует домен VH, содержащий последовательность аминокислот, представленную в SEQ ID NO: 182 или 220. В еще одном варианте реализации полинуклеотид, описанный в данной заявке, кодирует легкую цепь, содержащую последовательность аминокислот, представленную в SEQ ID NO: 49, 100, 101, 103, 104, 105, 106, 107, 117, 129, 132, 134, 135 или 136. В другом варианте реализации полинуклеотид, описанный в данной заявке, кодирует тяжелую цепь, содержащую последовательность аминокислот, представленную в SEQ ID NO: 2 или 42. В одном варианте реализации полинуклеотид, описанный в данной заявке, кодирует домен VL, содержащий последовательность аминокислот, представленную в SEQ ID NO: 278. В другом варианте реализации полинуклеотид, описанный в данной заявке, кодирует домен VH, содержащий последовательность аминокислот, представленную в SEQ ID NO: 477. В еще одном варианте реализации полинуклеотид, описанный в данной заявке, кодирует легкую цепь, содержащую последовательность аминокислот, представленную в SEQ ID NO: 103. В другом варианте реализации полинуклеотид, описанный в данной заявке, кодирует тяжелую цепь, содержащую последовательность аминокислот, представленную в SEQ ID NO: 529.

**[0130]** В некоторых вариантах реализации нукleinовая кислота или нукleinовые кислоты кодируют VH, выбранную из группы, состоящей из последовательностей SEQ ID NO: 181 - 221 и 465 - 478, и идентичную по меньшей мере на 80%, по меньшей мере на 85%, по меньшей мере на 90%, по меньшей мере на 91%, по меньшей мере на 92%, по меньшей мере на 93%, по меньшей мере на 94%, по меньшей мере на 95%, по меньшей мере на 96%, по меньшей мере на 97%, по меньшей мере на 98%, по меньшей мере на 99% или на 100% последовательности нукleinовой кислоты, выбранной из группы, состоящей из последовательностей SEQ ID NO: 572 - 581; и кодируют VL, выбранную из группы, состоящей из

последовательностей SEQ ID NO: 222 - 311, 479 - 516 и 569, и идентичную по меньшей мере на 80%, по меньшей мере на 85%, по меньшей мере на 90%, по меньшей мере на 91%, по меньшей мере на 92%, по меньшей мере на 93%, по меньшей мере на 94%, по меньшей мере на 95%, по меньшей мере на 96%, по меньшей мере на 97%, по меньшей мере на 98%, по меньшей мере на 99% или на 100% последовательности нуклеиновой кислоты, выбранной из группы, состоящей из последовательностей SEQ ID NO: 582 - 595.

**[0131]** В некоторых вариантах реализации нуклеиновая кислота или нуклеиновые кислоты кодируют НС, выбранную из группы, состоящей из последовательностей SEQ ID NO: 1 - 47 и 517 - 530, и идентичную по меньшей мере на 80%, по меньшей мере на 85%, по меньшей мере на 90%, по меньшей мере на 91%, по меньшей мере на 92%, по меньшей мере на 93%, по меньшей мере на 94%, по меньшей мере на 95%, по меньшей мере на 96%, по меньшей мере на 97%, по меньшей мере на 98%, по меньшей мере на 99% или на 100% последовательности нуклеиновой кислоты, выбранной из группы, состоящей из последовательностей SEQ ID NO: 596 - 605; и кодируют LC, выбранную из группы, состоящей из последовательностей SEQ ID NO: 48 - 136 и 531 - 567, и идентичную по меньшей мере на 80%, по меньшей мере на 85%, по меньшей мере на 90%, по меньшей мере на 91%, по меньшей мере на 92%, по меньшей мере на 93%, по меньшей мере на 94%, по меньшей мере на 95%, по меньшей мере на 96%, по меньшей мере на 97%, по меньшей мере на 98%, по меньшей мере на 99% или на 100% последовательности нуклеиновой кислоты, выбранной из группы, состоящей из последовательностей SEQ ID NO: 606 - 619.

**[0132]** В некоторых вариантах реализации в молекуле или молекулах нуклеиновых кислот смешены кодоны, чтобы повысить экспрессию в желательной клетке-хозяине, например, в клетках человека, клетках млекопитающих, клетках дрожжей, клетках растений, клетках насекомого или бактериальных клетках, например, клетках *E. coli*. Соответственно, предложены полинуклеотиды, кодирующие антитело или антигенсвязывающий фрагмент, описанный в данной заявке, причем в указанных полинуклеотидах смешены кодоны, содержатся замены гетерологичных сигнальных последовательностей и/или удалены элементы нестабильности мРНК. Способы получения нуклеиновых кислот со смешенными кодонами можно осуществить путем модификации способов, описанных, например, в патентах США № 5965726; 6174666; 6291664; 6414132 и 6794498. Использование предпочтительных кодонов для экспрессии антитела или

антигенсвязывающих фрагментов в желательных клетках-хозяевах предложено, например, на [kazusa.or.jp/codon/](http://kazusa.or.jp/codon/) и [genscript.com/tools/codon-frequency-table](http://genscript.com/tools/codon-frequency-table).

**[0133]** Примеры полинуклеотидов, кодирующих VH и VL антител против gp120 и антигенсвязывающих фрагментов, описанных в данной заявке, со смещенными кодонами для улучшенной экспрессии в клетке-хозяине из млекопитающего, представлены в таблицах XII и XIII. Примеры полинуклеотидов, кодирующих HC и LC антител против gp120 и антигенсвязывающих фрагментов, описанных в данной заявке, со смещенными кодонами для улучшенной экспрессии в клетке-хозяине из млекопитающего, представлены в таблицах XIV и XV.

**[0134]** При необходимости в некоторых вариантах реализации 3'-конец полинуклеотида или полинуклеотидов, кодирующих антитела или антигенсвязывающие фрагменты, описанные в данной заявке, содержит множество последовательно расположенных стоп-кодонов, например, два или более последовательно расположенных стоп-кодона TAG (“янтарь”), TAA (“охра”) или TGA (“opal” или “умбра”). Множество последовательно расположенных стоп-кодонов могут быть одинаковыми или различными. В вариантах реализации, в которых полинуклеотид представляет собой мРНК, 3'-конец полинуклеотида может содержать поли(A)-хвост.

**[0135]** Также в объем настоящего изобретения входят полинуклеотиды, кодирующие антитело против gp120 или его антигенсвязывающий фрагмент, антитело против CD3 или его антигенсвязывающий фрагмент, антитело против CD16 или его антигенсвязывающий фрагмент или антитело против CD89 или его антигенсвязывающий фрагмент, которые оптимизированы, например, путем оптимизации кодонов, замены сигнальных последовательностей на гетерологичные и удаления элементов нестабильности мРНК. Способы получения оптимизированных нуклеиновых кислот можно осуществить с помощью модификаций способов, описанных, например, в патентах США № 5965726; 6174666; 6291664; 6414132 и 6794498.

**[0136]** В некоторых вариантах реализации один или более полинуклеотидов, кодирующих антитела или антигенсвязывающие фрагменты, описанные в данной заявке, находятся в составе или инкапсулированы в липидную наночастицу (ЛНЧ). В данной заявке термин “липидная наночастица” относится к одной или более сферических наночастиц со средним диаметром от приблизительно 10 до приблизительно 1000 нанометров, которые содержат твердый матрикс липидной

сердцевины, который может растворять липофильные молекулы. В некоторых вариантах реализации липидная сердцевина стабилизирована поверхностно-активными веществами (например, эмульгаторами), и может содержать один или более триглицеридов (например, тристеарин), диглицеридов (например, глицеринбензенат), моноглицеридов (например, глицеринмоностеарат), жирных кислот (например, стеариновую кислоту), стероидов (например, холестерин) и восков (например, цетилпальмитат), включая их комбинации. Липидные наночастицы описаны, например, в Petrilli и др., *Curr Pharm Biotechnol.* 15:847-55, 2014; и в патентах США № 6217912; 6881421; 7402573; 7404969; 7550441; 7727969; 8003621; 8691750; 8871509; 9017726; 9173853; 9220779; 9227917 и 9278130, каждый из которых полностью включен в данную заявку посредством ссылки. Инкапсуированные в ЛНЧ молекулы мРНК, кодирующие нейтрализующее антитело широкого спектра действия, описаны, например, в Pardi и др., *Nat Commun.* (2017) 8:14630. В некоторых вариантах реализации один или более полинуклеотидов, кодирующих антитела или антигенсвязывающие фрагменты, описанные в данной заявке, находятся в составе или инкапсулированы в ЛНЧ, состоящую из ионизируемого катионного липида/фосфатидилхолина/холестерина/ПЭГ-липida, например, в молярных соотношениях, приблизительно равных 50:10:38,5:1,5 моль моль<sup>-1</sup>, соответственно.

**ТАБЛИЦА XII. ПОЛИНУКЛЕОТИДЫ, КОДИРУЮЩИЕ ВАРИАБЕЛЬНЫЕ ОБЛАСТИ ТЯЖЕЛОЙ ЦЕПИ (VH)**

SEQ ID NO:	Полинуклеотидная последовательность, кодирующая VH
572	CAGGTGCAGTTGTCAGTCTGGCGCCGCTGTTACAAAGCCTGGCGCTTCTGTTAGAGTGTCCCTGCGAGGCCCTCCGGCTACAACAT CAGAGACTACTTCATCCACTGGTGGCGGCAGGCTCCAGGAACAGGGATTGCAATGGTCGGATGGATCAACCCTAACGACCGGCCAGC CTAACAAACCCTAGACAGTTCCAGGGCAGAGTGTCCCTGACCAGACACGCCCTTGGGACTTCGACACCTTCAGCTTCTACATGGAC CTGAAGGCCCTGAGATCCGACGATACCGCCGTGTACTTCTGCGCCAGACAGAGAAGCGACTACTGGGATTTGACGTGTGGGGCTC TGGCACCCAAGTGACCGTGTCCCTCT
573	CAGGTGCAGCTGCTGCAGTCTGGCGCCGCTGTCAGACAAAACCAGGGCGCTTCTGTCGGGGTGTCCCTGCGAGGCCAGCGGCTACAACAT CCGGGACTACTTCATTCACTGGTGGCGCCAGGCCCTGGACAGGGACTGCAGTGGTGGGATGGATCAACCCCAAGACCGGCCAGC CCAACAACCCCAGACAGTTCCAGGGCAGAGTGTCCCTGACCAGACACGCCAGCTGGGACTTCGACACCTTCAGCTTCTACATGGAC CTGAAGGCCCTGCGGAGCGACGATACCGCCGTGTACTTCTGCGCCAGACAGAGAAGCGACTACTGGGATTTGACGTGTGGGGCAG CGGCACCCAAGTGACCGTGTCACTCT
574	CAGGTGCAGTTGTCAGTCTGGCGCCGCTGTTACAAAGCCTGGCGCTTCTGTTAGAGTGTCCCTGCGAGGCCCTCCGGCTACAACAT CAGAGACTACTTCATCCACTGGTGGCGGCAGGCTCCAGGAACAGGGATTGCAATGGTCGGATGGATCAACCCTAACGACCGGCCAGC CTAACAAACCCTAGACAGTTCCAGGGCAGAGTGTCCCTGACCAGACACGCCCTTTCGACTTCGACACCTTCAGCTTCTACATGGAC CTGAAGGCCCTGAGATCCGACGATACCGCCGTGTACTTCTGCGCCAGACAGAGAAGCGACTACTGGGACTTCGATGTGTGGGGCTC TGGCACCCAAGTGACCGTGTCCCTCT
575	CAGGTGCAGCTGCTGCAGTCTGGCGCCGCTGTCAGACAAAACCAGGGCGCTTCTGTCGGGGTGTCCCTGCGAGGCCAGCGGCTACAACAT CCGGGACTACTTCATTCACTGGTGGCGCCAGGCCCTGGACAGGGACTGCAGTGGTGGGATGGATCAACCCCAAGACCGGCCAGC CCAACAACCCCAGACAGTTCCAGGGCAGAGTGTCCCTGACCAGACACGCCAGCTTCGACTTCGACACCTTCAGCTTCTACATGGAC CTGAAGGCCCTGCGGAGCGACGATACCGCCGTGTACTTCTGCGCCAGACAGAGAAGCGACTACTGGGATTTGACGTGTGGGGCAG CGGCACCCAAGTGACCGTGTCACTCT
576	CAGGTCCACTTGTCTCAATCTGGCGCCGCTGTCAGACAAAGCCTGGCGCTTCTGTCAGAGTGTCTTGCAGGCCCTGGCTACAAGAT CCGGGACCACTTTATCCACTGGTGGCGACAGGGCTCCAGGAACAGGGATTGCAAGTGGTCGGATGGATCAACCCTAACGACCGGCCAGC CTAACAAACCCTAGACAGTTCCAGGGCAGAGTGTCCCTGACCAGACACGCCCTTGGGACTTCGACACCTTCAGCTTCTACATGGAC CTGAAGGCCGTGCGGAGCGACGACACCGCTATCTACTTTGCGCCAGACAGAGATCCGACTACTGGGATTTGACGTGTGGGGCTC

**ТАБЛИЦА XII. ПОЛИНУКЛЕОТИДЫ, КОДИРУЮЩИЕ ВАРИАБЕЛЬНЫЕ ОБЛАСТИ ТЯЖЕЛОЙ ЦЕПИ (VH)**

<b>SEQ ID NO:</b>	<b>Полинуклеотидная последовательность, кодирующая VH</b>
	TGGCACCCAAGTGACCGTGTCCCT
577	CAGGTCCACCTGTCTCAATCTGGCGCCGCTGTTACAAAACCAGGCGCCTCTGTTAGAGTGTCTTGCAGGGCCAGCGGCTACAAGAT CAGGGACCACTTTATTCACTGGTGGGCCAGGCTCCAGGACAGGGACTTCATGGTCGGATGGATCAACCTAACGACCGGCCAGC CTAACAAACCCAGACAGTTCCAGGGCAGAGTGTCTGACAAGACACGCCAGCTGGGACTTCGACACCTTCAGCTTACATGGAC CTGAAGGCCGTGCGGAGCGACGACACCGCCATCTATTTGCCAGACAGAGAAGCGACTACTGGGATTCGATGTGTGGGCAG CGGCACCCAAGTGACAGTCTTCT
578	CAGGTCCACTTGTCTCAATCTGGCGCCGCTGTGACAAAGCCTGGCGCTTCTGTCAGAGTGTCTTGCAGGGCCCTGGCTACAAGAT CCGGGACCACTTTATCCACTGGTGGCGACAGGCTCCAGGACAGGGATTGCACTGGTCGGATGGATCAACCTAACGACCGGCCAGC CTAACAAACCCTAGACAGTTCCAGGGCAGAGTGTCCCTGACCAGACACGCCCTTCACTTCGACACCTTCAGCTTACATGGAC CTGAAGGCCGTGCGGAGCGACGACACCGCCATCTACTTTGCCAGACAGAGAAGCGACTACTGGGACTTCGATGTGTGGGCCTC TGGCACCCAAGTGACCGTGTCCCT
579	CAGGTCCACCTGTCTCAATCTGGCGCCGCTGTTACAAAACCAGGCGCCTCTGTTAGAGTGTCTTGCAGGGCCAGCGGCTACAAGAT CAGGGACCACTTTATTCACTGGTGGGCCAGGCTCCAGGACAGGGACTTCATGGTCGGATGGATCAACCTAACGACCGGCCAGC CTAACAAACCCAGACAGTTCCAGGGCAGAGTGTCTGACAAGACACGCCAGCTTCGACACCTTCAGCTTACATGGAC CTGAAGGCCGTGCGGAGCGACGACACCGCCATCTATTTGCCAGACAGAGAAGCGACTACTGGGATTCGATGTGTGGGCAG CGGCACCCAAGTGACAGTCTTCT
580	CAGGTCCACTTGTCTCAATCTGGCGCCGCTGTGACAAAGCCTGGCGCTTCTGTCAGAGTGTCTTGCAGGGCCCTGGCTACAACAT CCGGGACTACTTTATCCACTGGTGGCGCCAGGCTCCAGGACAGGGATTGCAATGGTCGGATGGATCAACCTAACGACCGGCCAGC CTAACAAACCCTAGACAGTTCCAGGGCAGAGTGTCCCTGACCAGACACGCCCTTGGGACTTCGACACCTTCAGCTTACATGGAC CTGAAGGCCGTGCGGAGCGACGACACCGCTATCTACTTTGCCAGACAGAGAAGCGACTACTGGGATTCGATGTGTGGGCCTC TGGCACCCAAGTGACCGTGTCCCT
581	CAGGTCCACCTGTCTCAATCTGGCGCCGCTGTTACAAAACCAGGCGCCTCTGTTAGAGTGTCTTGCAGGGCCAGCGGCTACAACAT CCGGGACTACTTTATTCACTGGTGGGCCAGGCTCCAGGACAGGGACTTCATGGTCGGATGGATCAACCTAACGACCGGCCAGC CTAACAAACCCAGACAGTTCCAGGGCAGAGTGTCTGACAAGACACGCCAGCTGGGACTTCGACACCTTCAGCTTACATGGAC

**ТАБЛИЦА XII. ПОЛИНУКЛЕОТИДЫ, КОДИРУЮЩИЕ ВАРИАБЕЛЬНЫЕ ОБЛАСТИ ТЯЖЕЛОЙ ЦЕПИ (VH)**

<b>SEQ ID NO:</b>	Полинуклеотидная последовательность, кодирующая VH
	CTGAAGGCCGTGCGGAGCGACGACACCGCCATCTATTTGCCAGACAGAGAAGCGACTACTGGGATTCGATGTGTGGGCAGCGGCACCCAAGTGACAGTCTCTTCT

**ТАБЛИЦА XIII. ПОЛИНУКЛЕОТИДЫ, КОДИРУЮЩИЕ ВАРИАБЕЛЬНЫЕ ОБЛАСТИ ЛЕГКОЙ ЦЕПИ (VL)**

<b>SEQ ID NO:</b>	Полинуклеотидная последовательность, кодирующая VL
582	GACATCCAGATGACCCAGAGCCCTTCCCTTTATCCGCTAGCGTCGGCGATACCGTGACCATCACATGCCAAGCTAACGGCTACCTCAACTGGTACCAGCAGCGGAGGGAAAGGCCCCAAGCTGCTGATCTACGACGGCTCCAAGCTGGAGAGGGAGTGCCTCCGGTTTCAGCGGAAGGAGGTGGGGACAAGAACATAACCATCAACAATTACAGCCGAGGACATCGCTACCTACTTCTGCCAAGTTTACGAGTCGTGGTGCCCGGACTCGTCTGGATCTGAAG
583	GACATCCAGATGACCCAGAGCCCTAGCAGCCTGAGCGCCAGCGTGGCGATACCGTACCTACCTGCCAGGCCAACGGCTACCTGAACCTGGTATCAGCAGCGGAGAGGCAAGGCCCCAAGCTGCTGATCTACGACGGCAGCAAGCTGGAAAGAGGGCGTGCCTCCAGCAGATTTCAGCGGCAGAACAGATGGGCCAGGGTACAACCTGACCATCAACAACCTGCAGCCGAGGATATGCCACACATACTTTGCCAGGTGTACGAGTCGTGGTGCCCGGACACGGCTGGACCTGAAA
584	GACATCCAGATGACCCAGTCTCCATCCTCTGTCTGCCTCTGTGGCGATACCGTACCATCACCTGTCAGGCCAACGGCTACCTGAACCTGGTATCAGCAGAGAACAGGGCAAGGCCCCTAAGCTGCTGATCTACGACGGCTCAAACGGAAAGAGGGCGTGCCTCTCGGTTCTCTGGCAGAACAGATGGGCCAGAGTACAACCTGACCATCAACAACCTGCAGCCGAGGATATGCCACACATACTTTGCCAGGTGTACGAGTCGTGGTGCCTGGCACAAGACTGGACCTGAAAG
585	GATATTCAAGATGACACAGAGCCCCAGTAGCCTGAGCGCCAGCGTGGCGACACCGAACCATCACCTGTCAGGCCAACGGCTATCTGAACCTGGTATCAACAGAGGGAGGGCAAGGCCCCAAGCTCCTGATATAACGACGGCAGCAAGCTGGAGAGGGCGTTCCAGCCGCTTCAGCGGCAGGGAGGTGGGCCAGGGTACAACCTTACAATCAACAACCTGCAGCCGAGGACATGCCACCTATTCTGCCAAGTTTACGAGTCGTGGTGCCCGGACCCAGGCTGGACCTGAAAG
586	GACATCCAGATGACCCAGTCTCCATCCTCTGTCTGCCTCTGTGGCGACAGAGCTACCATCACCTGTCAGGCCAACGGCTACCT

**ТАБЛИЦА XIII. ПОЛИНУКЛЕОТИДЫ, КОДИРУЮЩИЕ ВАРИАБЕЛЬНЫЕ ОБЛАСТИ ЛЕГКОЙ ЦЕПИ (VL)**

<b>SEQ ID NO:</b>	<b>Полинуклеотидная последовательность, кодирующая VL</b>
	GAACCTGGTATCAGCAGAGAAGAGGCAAGGCCCTAACGCTGCTGATCTACGACGGCTCCAAACTGGAAAGAGGCAGTGCCCTCCAGAT TCTCCGGCTCTAGATGGGGCCAAGAGTACAACCTGACCATCTCCAGCCTCCAGCCTGAGGATATGCCACATACTTTGCCAGGTG TACGAGTTCTCGGCCCTGGCACCACTGGACCTGAAG
587	GATATTAGATGACACAGAGCCCCAGTAGCCTGAGGCCAGCGTGGCGACAGAGCAACCACACCTGTCAAGGCCAACGGCTATCT GAACCTGGTATCAACAGAGAAGGGCAAGGCCCTAACGCTCCTGATATACGACGGCAGCAAGCTGGAGAGGGCGTTCCAGCCGCT TCAGCGGCTCAAGGTGGGCCAGGAGTACAACCTTACAATCTCATCCCTGCAGCCCAGGACATGCCACCTATTCTGCCAGTT TACGAGTTCTCGGACCCGGCACCACTGGACCTGAAG
588	GACATCCAGATGACCCAGTCTCCATCCTCTGTCTGCCAGAGTGGCGACACCGTGACAATCACCTGTCAAGGCCAACGGCTACCT GAACCTGGTATCAGCAGAGAAGAGGCAAGGCCCTAACGCTGCTGATCTACGACGGCTCCAAACTGGAAAGAGGCAGTGCCCTAGAT TCTCCGGCAGAAGATGGGCCAGAGTACAACCTGACCATCAACAACCTGCAGCCTGAGGACGTGGCCACATACTTTGCCAGGTG TACGAGTTCATCGTGCCCGCACCACTGGACCTGAAG
589	GATATTAGATGACACAGAGCCCCAGTAGCCTGAGGCCCGCGTGGCGACACCGTGACCACACCTGTCAAGGCCAACGGCTATCT GAACCTGGTATCAACAGAGGAGGGCAAGGCCCTAACGCTCCTGATATACGACGGCAGCAAGCTGGAGAGGGCGTTCCCGCACGCT TCAGCGGAGGAGGTGGGCCAGGAGTACAACCTTACAATCAACAACCTGCAGCCCAGGACGTGCCACCTATTCTGCCAGTT TACGAGTTCATCGTGCCCGCACCACTGGACCTGAAG
590	GACATCCAGATGACCCAGTCTCCATCCTCTGTCTGCCCTGTGGCGATACCGCTACCATCACCTGTCAAGGCCAACGGCTACCT GAACCTGGTATCAGCAGAGAAGAGGCAAGGCCCTAACGCTGCTGATCTACGACGGCTCCAAACTGGAAAGAGGCAGTGCCCTCGGT TCTCTGGCAGAAGATGGGCCAGAGTACAACCTGACCACACACCTGCAGCCTGAGGATATGCCACATACTTTGCCAGGTG TACGAGTTCTCGGCCCTGGCACCACTGGACCTGAAG
591	GACATCCAGATGACACAGAGCCCTAGCAGCCTGCTGCCAGCGTGGAGATACCGCCACAATTACCTGTCAAGGCCAACGGCTACCT GAACCTGGTATCAGCAGCGAGAGGCAAGGCCCTAACGCTGCTGATCTACGACGGCAGCAAGCTGGAAAGAGGCAGTGCCCTAGCAGAT TCAGCGGAGAAGATGGGCCAGAGTACAACCTGACCACACACCTGCAGCCTGAGGATATTGCCACATACTTTGCCAGGTG TACGAGTTCTCGGCCCTGGCACCACTGGACCTGAAG

**ТАБЛИЦА XIII. ПОЛИНУКЛЕОТИДЫ, КОДИРУЮЩИЕ ВАРИАБЕЛЬНЫЕ ОБЛАСТИ ЛЕГКОЙ ЦЕПИ (VL)**

<b>SEQ ID NO:</b>	<b>Полинуклеотидная последовательность, кодирующая VL</b>
592	GACATCCAGATGACCCAGTCTCCATCCTCTGTCTGCCTCTGGCGACAGAGCTACCATCACCTGTCAGGCCAACGGCTACCT GAAC TGGTATCAGCAGAGAAGAGGCAAGGCCCTAACGCTGCTGATCTACGACGGCTCCAAACTGGAAAGAGGCGTGCCCTCCAGAT TCTCCGGCTCTAGATGGGCCAAGAGTACACCCCTGACCATCTAGCCTGAGGATATGCCACATACTTTGCCAGGTG TACGAGTTCTCGGCCCTGGCACCA GACTGGACCTGAAG
593	GACATCCAGATGACACAGAGCCCTAGCAGCCTGTCTGCCTCTGGCGATAGAGCCACAATCACCTGTCAGGCCAACGGCTACCT GAAC TGGTATCAGCAGAGAAGAGGCAAGGCCCTAACGCTGCTGATCTACGACGGCAGCAA ACTGGAAAGAGGCGTGCCAAGCAGAT TCAGCGGCTCTAGATGGGCCAAGAGTACACCCCTGACCATCTAGCCTGAGGATATGCCACATACTTTGCCAGGTG TACGAGTTCTCGGCCCTGGCACCA GACTGGACCTGAAG
594	GACATCCAGATGACCCAGTCTCCATCCTCTGTCTGCCAGAGTGGCGATACCCTACCATCACCTGTCAGGCCAACGGCTACCT GAAC TGGTATCAGCAGAGAAGAGGCAAGGCCCTAACGCTGCTGATCTACGACGGCTCCAAACTGGAAAGAGGCGTGCCCGCTAGAT TCTCCGGCAGAAGATGGGCCAAGAGTACACCCCTGACCATCAACAACCTGAGCCTGAGGACGTGGCCACATACTTTGCCAGGTG TACGAGTTCATCGTGCCGGCACCA GACTGGACCTGAAG
595	GATATTAGATGACACAGAGCCCCAGTAGCCTGAGGCCCGGTGGCGACACCGCGACCATCACCTGTCAGGCCAACGGCTATCT GAAC TGGTATCAACAGAGGAGGGCAAGGCCCTAACGCTCCTGATATA CGACGGCAGCAAGCTGGAGAGGGCGTTCCCGCACGCT TCAGCGG CAGGAGGTGGGCCAGGAGTACACCC TTACAATCAACAACCTGAGCCCAGGACGTGCCACCTATTCTGCCAGTT TACGAGTTCATCGTGCCGGCACCA GACTGGACCTGAAG

ТАБЛИЦА XIV. ПОЛИНУКЛЕОТИДЫ, КОДИРУЮЩИЕ ТЯЖЕЛУЮ ЦЕПЬ (НС)

SEQ ID NO:	ПОЛИНУКЛЕОТИДНАЯ ПОСЛЕДОВАТЕЛЬНОСТЬ, КОДИРУЮЩАЯ НС
596	CAGGTGCAGTTGTCAGTCTGGCGCCGCTGTTACAAAGCCTGGCGCTTCTGTTAGAGTGTCTCGGAGGCCCTCCGGCTACAAACATC AGAGACTACTTCATCCACTGGTGGCGGCAGGCTCCAGGAACAGGGATTGCAATGGGTCGGATGGATCAACCCCTAACGACCGGCCAGCCT AACAAACCCTAGACAGTCCAGGGCAGAGTGTCCCTGACCAGACACGCCCTTGGGACTTCGACACCTTCAGCTTCTACATGGACCTG AAGGCCCTGAGATCCGACGATAACCGCCGTGACTTCTGCAGACAGAGAAGCGACTACTGGGATTCGATGTGGGGCTCTGGC ACCCAAGTGACCGTGTCCCTGCTTCTACCAAGGGACCCCTGTGTTCCCTCTGGCTCCTCCAGCAAGTCTACCTCTGGTGGAAACC GCTGCTCTGGGCTGCCTGGTCAAGGATTACTTCCCTGAGCCTGTGACAGTGTCCCTGGAACACTCTGGTGCTCTGACCTCCGGCGTGCAC ACATTCCAGCTGTGCTGCAGTCCTCCGGCCTGTACTCTGTCCCTGTGACCGTGCCTCTAGCTCTGGCACCCAGACC TACATCTGCAACGTGAACCACAAGCCTCCAACACCCAAGGTGGACAAGAAGGTGGAAACCCAAGTCTGCGACAAGACCCACACCTGT CCTCCATGTCCCTGCTCCAGAACTGCTGGCTGGCCCCGATGTCTTCTGTTCCCTCAAAGCCTAAGGACACCCTGATGATCTCTCGG ACCCCTGAAGTGACCTGCGTGGTGGATGTGTCACGAGGATCCCAGAAGTGAAGTTCAATTGGTACGTGGACGGCGTGGAAAGTG CACAACGCCAAGACCAAGCCTAGAGAGGAACAGTACAACCTACAGAGTGGTGTCCGTGCTGACCGTGCTGACCAGGATTGG CTGAACGGCAAAGAGTACAAGTGCAAGGTGTCACAGGCTGCCCTGCCTGAGGAAAAGACCATCTTAAGGCTAAGGGCCAG CCTCGCGAGCCTCAGGTTACACACTGCCTCCATCTCGGAAGAGATGACCAAGAACCGAGGTGTCACTGACCTGCCTCGTGAAGGGC TTCTACCCCTTCCGATATCGCCGTGGAATGGGAGTCCAATGCCAGCCTGAGAACAACTACAAGACAACCCCTCTGTGCTGGACTCC GACGGCTCATTCTCCTGTAECTCAAGCTGACAGTGGACAAGTCTCGGTGGCAGCAGGGCAACGTGTTCTTGTAGTGTGCTGCAC GAGGCCCTGCACTCCCACTATAACCCAGAACTCTGTCTGTGAGCCCCGGCAAA
597	CAGGTGCAGCTGCTGCAGTCTGGCGCCGCTGTGACAAAACCAGGGCGCTTCTGTGCGGGTGTCTCGGAGGCCAGCGGCTACAAACATC CGGGACTACTTCATTCACTGGTGGCGCCAGGCCCTGGACAGGGACTGCAGTGGGATGGATCAACCCCAAGACCGGCCAGCCC AACAAACCCAGACAGTCCAGGGCAGAGTGTCCCTGACCAGACACGCCAGCTGGGACTTCGACACCTTCAGCTTCTACATGGACCTG AAGGCCCTGCGAGCGACGATAACCGCCGTGACTTCTGCAGACAGAGAAGCGACTACTGGGATTCGACGTGTGGGGCAGCGGC ACCCAAGTGACCGTGTACATGCTAGCACCAAGGGCCCAGCGTGTCCCTCTGGCCCTAGCAGCAAGAGCACATCTGGCGGAACA GCCGCCCTGGGCTGCCTCGTAAGGACTACTTCCCGAGCCCGTGAACCGTGTCCCTGGAACACTCTGGCGCTCTGACAAGCGCGTGCAC ACCTTCCAGCCGTGCTGCAGAGCAGCGGCCCTGTACTCTGTGAGCAGCGTGTGACAGTGCCTAGCAGCTCTGGCACCCAGACC TACATCTGCAACGTGAACCACAAGCCCAGCAACACCAAGGTGGACAAGAAGGTGGAAACCCAAGAGCTGCGACAAGACCCACACCTGT CCCCCTTGTCCCTGCCCGAACACTGCTGGCTGGCCCTGACGTGTTCCCTGTTCCCCCAAAGCCCAAGGACACCCTGATGATCAGCCGG ACCCCGAAGTGACCTGCGTGGTGGATGTGCCCACGAGGACCCCTGAAGTGAAGTTCAATTGGTACGTGGACGGCGTGGAAAGTG CACAACGCCAAGACCAAGCCTAGAGAGGAACAGTACAACAGCACCTACCGGGTGGTCCGTGCTGACAGTGTGCTGCACCAGGACTGG

ТАБЛИЦА XIV. ПОЛИНУКЛЕОТИДЫ, КОДИРУЮЩИЕ ТЯЖЕЛУЮ ЦЕПЬ (НС)

SEQ ID NO:	ПОЛИНУКЛЕОТИДНАЯ ПОСЛЕДОВАТЕЛЬНОСТЬ, КОДИРУЮЩАЯ НС
	CTGAACGGCAAAGAGTACAAGTGCAAGGTGCTAACAAAGGCCCTGCCCGAGGAAAAGACCATCTAAGGCCAAGGGACAGCCCCGCGAGCCCCCAGGTGTACACACTGCCTCCAAGCCGGGAAGAGATGACCAAGAACCCAGGTGCTCCCTGACCTGTCTCGTCAAAGGC TTCTACCCCAGCGACATTGCCGTGGAATGGGAGAGCAACGCCAGCCGAGAACAACTACAAGACCACCCCCCTGTGCTGGACAGC GACGGCTCATTCTCCTGTACAGCAAGCTGACCGTGGACAAGTCCCGGTGGCAGCAGGGCAACGTGTTAGCTGTAGCGTGGACAT GAGGCTCTGCACAGCCACTACACGCAGAAGAGCCTCTCCCTGTCTCCGGTAAA
598	CAGGTGCAGTTGTCAGTCTGGGCCGCTGTTACAAAGCCTGGCGCTTCTGTTAGAGTGTCTCGAGGCCCTCCGGCTACAACATC AGAGACTACTTCATCCACTGGTGGCGCAGGCTCCAGGACAGGGATTGCAATGGGTCGGATGGATCAACCCAAGACGGCCAGCCT AACAAACCTAGACAGTTCCAGGGCAGAGTGTCCCTGACCAGACACGCCTTTCGACTTCGACACCTTCAGCTTCTACATGGACCTG AAGGCCCTGAGATCCGACGATACCGCCGTGTACTTCTGCGCCAGACAGAGAAGCAGACTACTGGGACTTCGATGTGGGGCTCTGGC ACCCAAGTGACCGTGTCCCTGCTCTACCAAGGGACCCCTCTGTGTTCCCTCTGGCTCCTCCAGCAAGTCTACCTCTGGTGGAAC C GCTGCTCTGGGCTGCCTGGTCAAGGATTACTTCCCTGAGCCTGTGACAGTGTCTGGAACCTCTGGTGTCTGACCTCCGGCGTGCAC ACATTCCAGCTGTGCTGCAGTCCTCCGGCTGTACTCTCTGTCCTCTGCGTGCACCGTGCCTCTAGCTCTGGCACCCAGACC TACATCTGCAACGTGAACCACAAGCCTCCAACACCCAAGGTGGACAAGAAGGTGGAACCCAAGTCTGCGACAAGACCCACACCTGT CCTCCATGTCCCTGCTCCAGAACTGCTGGCTGGCCCCGATGTCTTCTGTTCCCTCCAAAGCCTAAGGACACCCTGATGATCTCGG ACCCCTGAAGTGACCTGCGTGGTGGATGTCTCACGAGGATCCCGAAGTGAAGTTCAATTGGTACGTGGACGGCGTGGAAAGTG CACAACGCCAAGACCAAGCCTAGAGAGGAACAGTACAACCTACAGAGTGGTGTCCGTGCTGACCGTGCTGCACCAGGATTGG CTGAACGGCAAAGAGTACAAGTGCAAGGTGCTAACAAAGGCCCTGCCTTGCGTGGAGAAAAGACCACCTAAGGCTAAGGGCAG CCTCGCGAGCCTCAGGTTACACACTGCCTCCATCTCGGAAGAGATGACCAAGAACCCAGGTGTCAGTGCCTCGTGAAGGGC TTCTACCCCTCCGATATGCCGTGGAATGGGAGTCCAATGCCAGCCTGAGAACAACTACAAGACAACCCCTCTGTGCTGGACTCC GACGGCTCATTCTCCTGTACTCCAAGCTGACAGTGGACAAGTCTCGGTGGCAGCAGGGCAACGTGTTCTGTAGTGTGCTGCAC GAGGCCCTGCACTCCCACTATAACCAAGTCTGTCTGAGCCCCGGCAA
599	CAGGTGCAGCTGCTGCAGTCTGGGCCGCTGTGACAAAACCAGGGCGCTTCTGTCGGGTGTCTCGAGGCCAGGGCTACAACATC CGGGACTACTTCATTCACTGGTGGGCCAGGCCCTGGACAGGGACTGCGAGTGGGATGGATCAACCCAAGACGGCCAGCCC AACAAACCCAGACAGTTCCAGGGCAGAGTGTCCCTGACCAGACACGCCAGCTTCGACTTCGACACCTTCAGCTTCTACATGGACCTG AAGGCCCTGCGGAGCGACGATACCGCCGTGTACTTCTGCGCCAGACAGAGAAGCAGACTACTGGGATTCGACGTGTGGGGCAGCGGC ACCCAAGTGACCGTGTCTGCTAGCACCAAGGGCCCCAGCGTGTCCCTCTGGCCCTAGCAGCAAGAGCACATCTGGCGGAACA GCCGCCCTGGGCTGCCTCGTGAAGGACTACTTCCCGAGCCCGTGCACCGTGTCTGGAACCTCTGGCGCTCTGACAAGCGCGTGCAC

ТАБЛИЦА XIV. ПОЛИНУКЛЕОТИДЫ, КОДИРУЮЩИЕ ТЯЖЕЛУЮ ЦЕПЬ (НС)

SEQ ID NO:	ПОЛИНУКЛЕОТИДНАЯ ПОСЛЕДОВАТЕЛЬНОСТЬ, КОДИРУЮЩАЯ НС
	ACCTTCCAGCCGTGCTGCAGAGCAGCGGCCGTACTCTGAGCAGCGTCGTGACAGTGCCCAGCAGCTCTGGCACCCAGACC TACATCTGCAACGTGAACCACAAGCCCAGCAACACCCAAGGTGGACAAGAAAGGTGGAACCCAAGAGCTGCGACAAGACCCACACCTGT CCCCCTTGTCCCTGCCCGAACCTGCTGGCTGGCCCTGACGTGTTCCCTGTTCCCCCAAAGCCCAAGGACACCCTGATGATCAGCCGG ACCCCCGAAGTGACCTGCGTGGTGGATGTGTCACGAGGACCCCTGAAGTGAAGTTCAATTGGTACGTGGACGGCGTGGAAAGTG CACAACGCCAAGACCAAGCCTAGAGAGGAACAGTACAACACGACACTACCGGGTGGTCCGTGCTGACAGTGCTGCACCAGGACTGG CTGAACGGCAAAGAGTACAAGTGCAAGGTGTCACAAGGCCCTGCCCGAGGAAAAGACCATCTAAGGCCAAGGGACAG CCCCGCGAGCCCCAGGTGTACACACTGCCTCCAAGCCGGAAAGAGATGACCAAGAACCCAGGTGTCCTGACCTGTCCTGAAAGGC TTCTACCCCAGCGACATTGCCGTGGAATGGGAGAGCAACGCCAGCCGAGAACAACTACAAGACCACCCCCCTGTCGTGGACAGC GACGGCTCATTCTCCTGTACAGCAAGCTGACCGTGGACAAGTCCCGTGGCAGCAGGGCAACGTGTTCAGCTGTAGCGTGTGCAT GAGGCTCTGCACAGCCACTACACGCAGAAGAGCCTCTCCCTGTCTCCGGTAAA
600	CAGGTCCACTTGTCTCAATCTGGCGCCGCTGTGACAAAGCCTGGCGTTCTGTCAGAGTGTCTTGCAGGGCTCTGGCTACAAGATC CGGGACCACTTTATCCACTGGTGGCGACAGGCTCCAGGACAGGGATTGCGAGTGGGTCGGATGGATCAACCTAAGACCGGCCAGCCT AACAAACCTAGACAGTTCCAGGGCAGAGTGTCCCTGACCAAGACACGCCCTTGGGACTTCAGCTTCAATGGACCTG AAGGCCGTGCGGAGCGACGACACCCTATCTACTTTGCCAGACAGAGATCCGACTACTGGGATTCGATGTGGGCTCTGGC ACCCAAGTGACCGTGTCCCTGCTTCTACCAAGGGACCCCTGTGTTCCCTCTGGCTCCTCAGCAAGTCTACCTCTGGTGGAAACC GCTGCTCTGGCTGCCTGGTCAAGGATTACTTCTGAGCCTGACAGTGTGACTCTGGTCTGACCTCCGGCGTGCAC ACATTCCAGCTGTGCTGCAGTCCTCCGGCTGTACTCTCTGTCGTGACCGTGCCTTAGCTCTGGCACCCAGACC TACATCTGCAACGTGAACCACAAGCCTCCAACACCCAAGGTGGACAAGAAAGGTGGAACCCAAGTCCTGCGACAAGACCCACACCTGT CCTCCATGTCCCTGCTCCAGAACTGCTGGCTGGCCCGATGTCTTCTGTTCCCTCAAAGCCTAAGGACACCCTGATGATCTCGG ACCCCTGAAGTGACCTGCGTGGTGGATGTGTCACGAGGATCCGAGTGAAGTTCAATTGGTACGTGGACGGCGTGGAAAGTG CACAACGCCAAGACCAAGCCTAGAGAGGAACAGTACAACCTACAGAGTGGTCCGTGCTGACCGTGCTGCACCAGGATTGG CTGAACGGCAAAGAGTACAAGTGCAAGGTGTCACAAGGCCCTGCCTCTGCCCTGAGGAAAAGACCATCTAAGGCTAAGGGCCAG CCTCGCGAGCCTCAGGTTACACACTGCCTCCATCTGGGAAGAGATGACCAAGAACCCAGGTGTCACTGACCTGCCTCGTGAAGGGC TTCTACCCCTCCGATATGCCGTGGAATGGGAGTCCAATGCCAGCCTGAGAACAACTACAAGACAACCCCTCTGTCGTGGACTCC GACGGCTCATTCTCCTGTACTCCAAGCTGACAGTGGACAAGTCTCGGTGGCAGCAGGGCAACGTGTTCTTGTAGTGTGCTGCAC GAGGCCCTGCACTCCACTATAACCCAGAAGTCCCTGTCTGTCCCCCTGGCAAA

ТАБЛИЦА XIV. ПОЛИНУКЛЕОТИДЫ, КОДИРУЮЩИЕ ТЯЖЕЛУЮ ЦЕПЬ (НС)

SEQ ID NO:	ПОЛИНУКЛЕОТИДНАЯ ПОСЛЕДОВАТЕЛЬНОСТЬ, КОДИРУЮЩАЯ НС
601	CAGGTCCACCTGTCTCAATCTGGGCCGCTGTTACAAAACCAGGCCTCTGTTAGAGTGTCTTGCAGGCCAGCGGCTACAAGATC AGGGACCACTTTATTCACTGGTGGGCCAGGCTCCAGGAACAGGGACTTCAATGGTCGGATGGATCAACCTAACGACCGGCCAGCCT AACAAACCCCAGACAGTCCAGGGCAGAGTGTCTCTGACAAGACACGCCAGCTGGGACTTCGACACCTTCAGCTTACATGGACCTG AAGGCCGTGCGGAGCGACGCCATCTATTTGCCAGACAGAGAAGCGACTACTGGGATTCGATGTGGGGCAGCGC ACCCAAGTACAGTCTCTCTGCTAGCACCAAGGGCCCCAGCGTGTCCCTCTGGCCCTAGCAGCAAGAGCACATCTGGCGGAACA GCCGCCCTGGGCTGCCCTCGTAAGGGACTACTTCCCAGGCCGTGACCGTGTCCCTGGAAACTCTGGCGCTCTGACAAGCGCGTGCAC ACCTTCCAGCCGTGCTGCAGAGCAGCGCCGTACTCTGAGCAGCGTGTGACAGTGCCAGCAGCTCTGGCACCCAGACC TACATCTGCAACGTGAACCACAAGCCCAGCAACACCAAGGTGGACAAGAAGGTGGAACCCAAGAGCTGCGACAAGACCCACACCTGT CCCCCTTGTCCCTGCCCGAACACTGCTGGCTGCCCTGACGTGTCCCTGTTCCCCCAAAGCCCAAGGACACCCTGATGATCAGCCGG ACCCCCGAAGTGACCTGCGTGGTGGATGTGTCCCACGAGGACCCCTGAAGTGAAGTTCAATTGGTACGTGGACGGCGTGGAAAGTG CACAACGCCAAGACCAAGCCTAGAGAGGAACAGTACAACAGCACCTACCGGGTGGTCCGTGCTGACAGTGCTGCACCAGGACTGG CTGAACGGCAAAGAGTACAAGTCAAGGTGTCCAACAAGGCCCTGCCCGAGGAAAAGACCATCTTAAGGCCAAGGGACAG CCCCCGAGCCCCAGGTGTACACACTGCCTCCAAGCCGGAAAGAGATGACCAAGAACAGGTGTCCCTGACCTGTCTCGTAAAGGC TTCTACCCCCAGCGACATTGCCGTGGAATGGGAGAGCAACGCCAGCCCAGAACAACTACAAGACCAACCCCCCTGTGCTGGACAGC GACGGCTCATTCTCCTGTACAGCAAGCTGACCGTGGACAAGTCCCGTGGCAGCAGGGCAACGTGTTAGCTGTAGCGTGTGCAT GAGGCTCTGCACAGCCACTACACGCAGAAAGAGCCTCTCCCTGTCTCCGGGTAAG
602	CAGGTCCACTTGTCTCAATCTGGGCCGCTGTGACAAGCCTGGCCTCTGTCAGAGTGTCTTGCAGGCCCTGGCTACAAGATC CGGGACCACTTTATCCACTGGTGGCGACAGGCTCCAGGAACAGGGATTGCAGTGGTCGGATGGATCAACCTAACGACCGGCCAGCCT AACAAACCTAGACAGTCCAGGGCAGAGTGTCCCTGACCAGACACGCCCTTTCGACTTCGACACCTTCAGCTTACATGGACCTG AAGGCCGTGCGGAGCGACGCCCTATCTACTTTGCCAGACAGAGATCCGACTACTGGGACTTCGATGTGGGGCTCTGGC ACCCAAGTACCGTGTCCCTGCTTCTACCAAGGGACCCCTGTGTTCCCTCTGGCCTTCCAGCAAGTCTACCTCTGGTGGAAACC GCTGCTCTGGGCTGCCCTGGTCAAGGATTACTTCCCTGAGCCTGTGACAGTGTCCCTGGAACCTGGTGCTCTGACCTCCGGCGTGCAC ACATTCCAGCTGTGCTGCAGTCCTCCGGCCTGTACTCTGTCCTCTGCGTGCCTTAGCTCTGGCACCCAGACC TACATCTGCAACGTGAACCACAAGCCTCCAACACCAAGGTGGACAAGAAGGTGGAACCCAAGTCTGCGACAAGACCCACACCTGT CCTCCATGTCCCTGCTCCAGAACTGCTGGCTGGCCCGATGTCTTCTGTTCCCTCCAAAGCCTAACGGACACCCTGATGATCTCGG ACCCCTGAAGTGACCTGCGTGGTGGATGTGTCTCACGAGGATCCCGAAGTGAAGTTCAATTGGTACGTGGACGGCGTGGAAAGTG CACAACGCCAAGACCAAGCCTAGAGAGGAACAGTACAACCTACAGAGTGGTGTCCGTGACCGTGTGACCAGGATTGG

ТАБЛИЦА XIV. ПОЛИНУКЛЕОТИДЫ, КОДИРУЮЩИЕ ТЯЖЕЛУЮ ЦЕПЬ (НС)

SEQ ID NO:	ПОЛИНУКЛЕОТИДНАЯ ПОСЛЕДОВАТЕЛЬНОСТЬ, КОДИРУЮЩАЯ НС
	CTGAACGGCAAAGAGTACAAGTGCAAGGTGCCAACAAGGCCCTGCCTGCCTGAGGAAAAGACCATCTAAGGCTAAGGCCAGCCTCGCGAGCCTCAGGTTACACACTGCCTCCATCTCGGAAGAGATGACCAAGAACCCAGGTGTCACTGACCTGCCTCGTAAGGGCTTCTACCCCTCCGATATGCCGTGGAATGGGAGTCCAATGCCAGCCTGAGAACAACTACAAGACAACCAACCCCTCCTGTGCTGGACTCCGACGGCTCATTCTCCTGTACTCCAAGCTGACAGTGGACAAGTCTCGTGGCAGCAGGGCAACGTGTTCTGTAGTGTGCTGCACGAGGCCCTGCACTCCCACATAACCCAGAAGTCCCTGTCTGTCCCCCTGGCAAA
603	CAGGTCCACCTGTCTCAATCTGGGCCGCTGTTACAAAACCAGGCCCTGTTAGAGTGTCTTGCAGGCCAGCGGCTACAAGATCAGGGACCACTTTATTCACTGGTGGGCCAGGCTCCAGGACAGGGACTTCAATGGGTCGGATGGATCAACCTAACGACGGCCAGCCTAACAAACCCAGACAGTCCAGGGCAGAGTGTCTTGACAAGAACGCCAGCTTGACACCTTCAGCTTACATGGACCTGAAGGCCGTGCGAGCGACACGCCATCTATTTTGCAGCAGACAGAGAAGCAGACTACTGGGATTTGATGTGGGGCAGCGGCACCCAAAGTGACAGTCTCTGTCTGCTAGCACCAAGGGCCCCAGCGTGTCCCTCTGGCCCTAGCAGCAAGAGCACATCTGGCGGAACAGCCGCTGGCCCTGGGCTGCCTCGTAAGGACTACTTCCCAGCCGTGACCGTGTCCCTGGAACCTGGCGCTCTGACAAGCGGCGTGCACACCTTCCAGCCGTGCTGAGAGCAGCGGCCGTACTCTCTGAGCAGCGTGTGACAGTGCCTAGCAGCTCTGGGACCCAGACCTACATCTGCAACGTGAACCACAAGCCAGCAACACCAAGGTGGACAAGAACCCAGAGCTGCGACAAGAACCCACACCTGTCACATCTGCAACCGAAGTGCCTGGCTGGCCCTGACGTGTTCCCTGTTCCCCCAAAGCCCAAGGACACCCTGATGATCAGCCGGACCCCCGAAGTGCACCTGCGTGGTGGATGTGTCCTCGAGGACCTGAAGTGAAGTTCAATTGGTACGTGGACGGCGTGGAAAGTGCACAACGCCAGACAGCTAGAGAGGAACAGTACAACAGCACCTACCGGGTGGTCCGTGCTGACAGTGTGCTGCACCAGGACTGGCTGAAACGGCAAAAGAGTACAAGTGTCCAACAAGGCCCTGCCCTGCCAGGGAAAAGACCATCTAAGCCAAGGGACAGCCCCGAGGCCAGGTGTACACACTGCCTCCAAGCCGGAAAGAGATGACCAAGAACCCAGGTGTCCCTGACCTGTCTCGTGAAGGCTTACCCCAAGCGACATTGCCGTGGAATGGGAGAGCAACGCCAGCCAGAACAACTACAAGACCACCCCCCTGTGCTGGACAGCAGGGCTCATTCTCCTGTACAGCAAGCTGACCGTGGACAAGTCCCGTGGCAGCAGGGCAACGTGTTAGCGTGTGCTGAGGCTCTGCACAGCCACTACACGCAGAAGAGCCTCTCCCTGTCTCCGGTAAA
604	CAGGTCCACTTGTCTCAATCTGGGCCGCTGTGACAAGCCTGGCGTTCTGTGAGAGTGTCTTGCAGGCCCTCCGGCTACAACATCCGGGACTACTTTATCCACTGGTGGGCCAGGCTCCAGGACAGGGATTGCAATGGGTCGGATGGATCAACCTAACGACGGCCAGCCTAACAAACCTAGACAGTCCAGGGCAGAGTGTCCCTGACCAAGAACGCCCTTGGACTTCAGCTTACATGGACCTGAAGGCCGTGCGAGCGACACCCGCTATCTACTTTGCGCCAGACAGAGATCCGACTACTGGGATTTGATGTGGGGCTCTGGCACCCAAAGTGCACCTGCTGGTGGAAACCGCTGGCTCTGGTCAAGGATTACTTCCCTGAGCCTGTGACAGTGTGCTGGAACCTGGTGTCTGACCTCCGGCGTGCAC

ТАБЛИЦА XIV. ПОЛИНУКЛЕОТИДЫ, КОДИРУЮЩИЕ ТЯЖЕЛУЮ ЦЕПЬ (НС)

SEQ ID NO:	ПОЛИНУКЛЕОТИДНАЯ ПОСЛЕДОВАТЕЛЬНОСТЬ, КОДИРУЮЩАЯ НС
	ACATTTCAGCTGTGCTGCAGTCCTCCGGCCTGTAECTCTGTCCTCTGCGACCGTGCCTCTAGCTCTGGCACCCAGACC TACATCTGCAACGTGAACCACAAGCCTTCCAACACCCAAGGTGGACAAGAAAGGTGGAACCCAAGTCCTGCGACAAGACCCACACCTGT CCTCCATGTCCCTGCTCCAGAACTGCTGGCTGGCCCCGATGTCTTCTGTTCCCTCAAAGCCTAAGGACACCCTGATGATCTCGG ACCCCTGAAGTGACCTGCGTGGTGGATGTGTCACGAGGATCCCAGTGAAGTTCAATTGGTACGTGGACGGCGTGGAAAGTG CACAACGCCAAGACCAAGCCTAGAGAGAACAGTACAACACTCCACCTACAGAGTGGTGTCCGTGCTGACCGTGCTGCACCAGGATTGG CTGAACGGCAAAGAGTACAAGTGCAAGGTGTCACAAGGCCCTGCCTCTGCCTGAGGAAAAGACCATCTAAGGCTAAGGGCAG CCTCGCGAGCCTCAGGTTACACACTGCCTCCATCTCGGAAGAGATGACCAAGAACCCAGGTGTCACTGACCTGCCTCGTGAAGGGC TTCTACCCCTCCGATATGCCGTGGAATGGAGTCCAATGCCAGCCTGAGAACAACTACAAGACAACCCCTCTGTGCTGGACTCC GACGGCTCATTCTCCTGTACTCCAAGCTGACAGTGGACAAGTCTCGGTGGCAGCAGGGCAACGTGTTCTGTAGTGTGCTGCAC GAGGCCCTGCACTCCCACTATAACCCAGAAGTCCCTGTCTGTCCCCCTGGCAAA
605	CAGGTCCACCTGTCTCAATCTGGCGCCGCTGTTACAAAACCAGGCGCCTGTTAGAGTGTCTTGCAGGCCAGCGGCTACAACATC CGGGACTACTTATTCACTGGTGGGCCAGGCTCCAGGACAGGGACTTCAATGGGTCGGATGGATCAACCTAAGACCGGCCAGCCT AACAAACCCCAGACAGTCCAGGGCAGAGTGTCTGACAAGACACGCCAGCTGGGACTTCAGCTTCACTGACCT AAGGCCGTGGAGCGACGCCATCTATTTGCGCCAGACAGAGAACGACTACTGGGATTCGATGTGGGGCAGCGC ACCCAAGTGACAGTCTCTGCTAGCACCAAGGGCCCAGCGTGTCCCTCTGGCCCTAGCAGCAAGAGCACATCTGGCGGAACA GCCGCCCTGGGCTGCCTCGTGAAGGACTACTTCCCAGGCCGTGACCGTGTCCCTGGAACTCTGGCGCTCTGACAAGCGCGTGCAC ACCTTCCAGCCGTGCTGCAGAGCAGCGCCCTGTACTCTGAGCAGCGTGTGACAGTGCCAGCAGCTCTGGGCCACCCAGACC TACATCTGCAACGTGAACCACAAGCCCAGCAACACCAAGGTGGACAAGAAAGGTGGAACCCAAGAGCTGCGACAAGACCCACACCTGT CCCCCTTGTCCCTGCCCGAACCTGCTGGCTGGCCCTGACGTGTTCCCTGTTCCCCCAAAGCCCAAGGACACCCTGATGATCAGCCGG ACCCCCGAAGTGACCTGCGTGGTGGATGTGTCCCACGAGGACCCCTGAAGTGAAGTTCAATTGGTACGTGGACGGCGTGGAAAGTG CACAACGCCAAGACCAAGCCTAGAGAGAACAGTACAACACGCCACTACCGGGTGGTCCGTGCTGACAGTGTGCAACCAGGACTGG CTGAACGGCAAAGAGTACAAGTGCAAGGTGTCACAAGGCCCTGCCCGAGGAAAAGACCATCTAAGGCAAGGGACAG CCCCCGCAGGCCAGGTGTACACACTGCCTCCAAGCCGGAAAGAGATGACCAAGAACCCAGGTGTCCTGACCTGTCTCGTGAAGGC TTCTACCCCAAGCGACATTGCCGTGGAATGGGAGAGCAACGCCAGCCCAGAACAACTACAAGACCACCCCCCTGTGCTGGACAGC GACGGCTCATTCTCCTGTACAGCAAGCTGACCGTGGACAAGTCCCGGTGGCAGCAGGGCAACGTGTTCAGCTGTAGCGTGTGCA GAGGCCTCTGCAAGCCACTACACGCCAGAAGAGCCTCTCCCTGTCTCCGGGTAAA

ТАБЛИЦА XV. ПОЛИНУКЛЕОТИДЫ, КОДИРУЮЩИЕ ЛЕГКУЮ ЦЕЛЬ (LC)

SEQ ID NO:	ПОЛИНУКЛЕОТИДНАЯ ПОСЛЕДОВАТЕЛЬНОСТЬ, КОДИРУЮЩАЯ LC
606	GACATCCAGATGACCCAGAGCCCTTCTTATCCGCTAGCGTCGGCGATACCGTGACCACATGCCAACGCTAACGGCTACCTC AACTGGTACCAGCAGCGGAGGGAAAGGCCCAAGCTGCTGATCTACGACGGCTCCAAGCTGGAGAGGGGAGTGCCTTCCGGTTCA AGCGGAAGGAGGTGGGGACAAGAATACAATTAAACCATAACAATTACAGCCGAGGACATCGTACCTACTTCTGCCAACGTTAC GAGTCGTGGTGCCCGGCACTCGTCTGGATCTGAAGAGGACCGTGGCGCCCCCTCCGTGTTCATCTTCCCCCTCCGACGAGCAG CTGAAGTCCGGCACCGCCTCCGTGGTGTGTTACTGAACAACTTCTACCCCTGTGAGGCCAAGGTGCAGTGGAAAGGTGGACAACGCT TTACAGTCCGGCAACTCCAAGAAATCCGTGACCGAGCAAGATAAGCAAGGACTCCACCTACTCCCTCTCCAGCACTTAACTTATCC AAGGCCGACTACGAGAACAGGTGTACGCTTGTGAGGTGACCCACCAAGGTCTGCTCCCCGTGACAAAGTCCTCAATCGG GGCGAGTGT
607	GACATCCAGATGACCCAGAGCCCTAGCAGCCTGAGCGCCAGCGTGGCGATACCGTGACCATCTGCCAGGCCAACGGCTACCTG AACTGGTATCAGCAGCGGAGAGGCAAGGCCCAAGCTGCTGATCTACGACGGCAGCAAGCTGGAAAGAGGCAGCCCAGCAGATT AGCGGCAGAAGATGGGGCCAGGAGTACAACCTGACCATCAACAACCTGCAGCCGAGGATATGCCACATACTTTGCCAGGTGTAC GAGTCGTGGTGCCCGCACAGGCTGGACCTGAAACGTACGGTGGCTGACCATCTGTCTTATCTCCGCCATCTGATGAGCAG TTGAAATCTGGAACTGCCCTGTTGTGCTGCTGAATAACTTCTATCCAGAGAGGCCAAGTACAGTGGAAAGGTGGATAACGCC CTCCAATCGGGTAACTCCCAGGAGAGTGTACAGAGCAGGACAGCAAGGACAGCACCTACAGCCTCAGCAGCACCTGACGCTGAGC AAAGCAGACTACGAGAACACAAAGTCTACGCCTGCGAAGTCACCCATCAGGCCTGAGCTGCCCGTCACAAAGAGCTTCAACAGG GGAGAGTGT
608	GACATCCAGATGACCCAGTCTCCATCCTCTGTCTGCCCTGTGGCGATACCGCTACCATCACCTGTCAAGGCCAACGGCTACCTG AACTGGTATCAGCAGAGAACAGGCAAGGCCCTAAGCTGCTGATCTACGACGGCTCAAACCTGGAAAGAGGCAGGCCCTCGGGTTCA TCTGGCAGAAGATGGGGCAAGAGTACAACCTGACCATCAACAACCTGCAGCCTGAGGATATGCCACATACTTTGCCAGGTGTAC GAGTCGTGGTGCCTGGACAAGACTGGACCTGAAAGAGAACCGTGGCGCTCTCCGTGTTCATCTTCCACCATCTGACGAGCAG CTGAAGTCTGGCACCGCTCTGTGCTGCTGCTGAACAACCTACCCCTGGCAAGGCCAAGGTGCAGTGGAAAGGTGGACAATGCC CTGCAGTCCGGCAACTCCAAGAGTCTGTGACCGAGCAGGACTCCAAGGACTCTACCCCTACAGCCTGTCCTCCACACTGACCCGTCT AAGGCCGACTACGAGAACAGGTGTACGCCTGCGAAGTGACCCATCAGGGACTGTCTAGCCCCGTGACCAAGTCCTCAACAGA GGCGAGTGT
609	GATATTAGATGACACAGAGGCCAGTAGCCTGAGCGCCAGCGTGGCGACACCGCAACCATCACCTGTCAAGGCCAACGGCTATCTG AACTGGTATCAACAGAGGAGGGCAAGGCCCAAGCTCCTGATATACGACGGCAGCAAGCTGGAGAGGGCGTTCCAGCCGCTTC

ТАБЛИЦА XV. ПОЛИНУКЛЕОТИДЫ, КОДИРУЮЩИЕ ЛЕГКУЮ ЦЕЛЬ (LC)

SEQ ID NO:	ПОЛИНУКЛЕОТИДНАЯ ПОСЛЕДОВАТЕЛЬНОСТЬ, КОДИРУЮЩАЯ LC
	AGCGGCAGGAGGTGGGCCAGGAGTACAACCTTACAATCAACAACCTGCAGCCCGAGGACATGCCACCTATTCTGCCAAGTTAC GAGTTCTGGTGGCACCAGGCTGGACCTGAAGCGGGACCGTGGCCGCCCGAGCGTGGTCATCTTCCCTCCAGCGACCGAGCAG CTGAAGTCTGGCACCGCCAGCGTGGTGTGCCTGCTGAACAACCTCTACCCCCGCGAGGCAAGGTGCAGTGGAAAGGTGGACAACGCC CTGCAGAGCGGAAACAGCCAGGAGAGCGTGACCGAGGACTCCAAGGACAGCACCTACAGCCTGAGCAGCACCTGACCCGTGAGC AAGGCCGACTACGAGAACAGACAAGGTGTACGCCTGCGAGGTGACCCACCAGGGACTGTCTAGCCCCGTGACCAAGAGCTTCAACCGG GGCGAGTGC
610	GACATCCAGATGACCCAGTCTCCATCCTCTGTCTGCCCTGTGGCGACAGAGCTACCATCACCTGTCAAGGCCAACGGCTACCTG AACTGGTATCAGCAGAGAACAGGGCAAGGCCCTAACGCTGCTGATCTACGACGGCTCAAACGGAAAGAGGCAGGCCCTCCAGATT TCCGGCTCTAGATGGGCCAAGAGTACAACCTGACCATCTCCAGCCTGAGGATATGCCACATACTTTGCCAGGTGTAC GAGTTCTCGGCCCTGGCACCAAGACTGGACCTGAAGAGAACAGTGGCCGCTCTCCGTGGTCATCTTCCCACCATCTGACCGAGCAG CTGAAGTCTGGCACCGCTTCTGTGTGCCTGCTGAACAACCTCTACCCCTGGCAAGGTGCAGTGGAAAGGTGGACAATGCT CTCCAGTCCGGAACTCCAAAGAGTCTGTGACCGAGGACTCCAAGGACTCTACCTACAGCCTGTCCTCCACACTGACCCGTCT AAGGCCGACTACGAGAACAGACAAGGTGTACGCCTGCGAAGTGACCCATCAGGGACTGTCTAGCCCCGTGACCAAGAGCTTCAACAGA GGCGAGTGT
611	GATATTCAAGATGACACAGAGCCCCAGTAGCCTGAGCGCCAGCGTGGCGACAGAGCAACCATCACCTGTCAAGGCCAACGGCTATCTG AACTGGTATCAACAGAGAACAGGGCAAGGCCCTAACGCTCTGATATACGACGGCAGCAAGCTGGAGAGGGCGTCCAGCCGCTTC AGCGGCCTCAAGGTGGGCCAGGAGTACAACCTTACAATCTCATCCCTGCAGCCGAGGACATGCCACCTATTCTGCCAAGTTAC GAGTTCTCGGACCCGGCACCAAGGCTGGACCTGAAGCGGGACCGTGGCCGCCCGAGCGTGGTCATCTTCCCTCCAGCGACCGAGCAG CTGAAGTCTGGCACCGCCAGCGTGGTGTGCCTGCTGAACAACCTCTACCCCCGCGAGGCAAGGTGCAGTGGAAAGGTGGACAACGCC CTGCAGAGCGGAAACAGCCAGGAGAGCGTGACCGAGGACTCCAAGGACAGCACCTACAGCCTGAGCAGCACCTGACCCGTGAGC AAGGCCGACTACGAGAACAGACAAGGTGTACGCCTGCGAGGTGACCCACCAGGGACTGTCTAGCCCCGTGACCAAGAGCTTCAACCGG GGCGAGTGC
612	GACATCCAGATGACCCAGTCTCCATCCTCTGTCTGCCAGAGTGGCGACACCGTGACAATCACCTGTCAAGGCCAACGGCTACCTG AACTGGTATCAGCAGAGAACAGGGCAAGGCCCTAACGCTGCTGATCTACGACGGCTCAAACGGAAAGAGGCAGGCCCTAGATT TCCGGCAGAACAGATGGGCCAAGAGTACAACCTGACCATCAACAACCTGCAGCCTGAGGACAGTGGCCACATACTTTGCCAGGTGTAC GAGTTCATCGTGCCCGCACCAAGACTGGACCTGAAGAGAACAGTTGCCGCTCTCCGTGGTCATCTTCCCACCTCCGACCGAGCAG

ТАБЛИЦА XV. ПОЛИНУКЛЕОТИДЫ, КОДИРУЮЩИЕ ЛЕГКУЮ ЦЕЛЬ (LC)

SEQ ID NO:	ПОЛИНУКЛЕОТИДНАЯ ПОСЛЕДОВАТЕЛЬНОСТЬ, КОДИРУЮЩАЯ LC
	CTGAAGTCTGGCACAGCTCTGCGTGCCTGCTGAACAACCTCTACCCCTGGGAAGCCAAGGTGCAGTGGAAAGGTGGACAATGCC CTGCAGTCCGGCAACTCCCAAGAGACTGTGACCGAGCAGGACTCCAAGGACTCTACCTACAGCCTGTCCCTCACACTGACCCTGTCT AAGGCCGACTACGAGAAGCACAAGGTGTACGCCTGCGAAGTGACCCATCAGGGACTGTCTAGCCCCGTGACCAAGTCCTAACAGA GGCGAGTGT
613	GATATTAGATGACACAGAGCCCCAGTAGCCTGAGCGCCCGCGACACCGTGACCATCACCTGTCAGGCCAACGGCTATCTG AACTGGTATCAACAGAGGGAGGGCAAGGCCCTAAGCTCCTGATATACTGACGGCAGCAAGCTGGAGAGGGCGTTCCGCACGCTTC AGCGGCAGGAGGTGGGGCCAGGAGTACAACCTTACAATCAACAACCTGCGACCCGAGGACGTCGCCACCTATTCCTGCCAACGTTAC GAGTTCATCGTGCCCGGACCGCTGGACCTGAAGCGGACCGTGGCCGCCAGCGTGTTCATCTTCCCTCCAGCGACGAGCAG CTGAAGTCTGGCACCGCCAGCGTGGTGTGCCTGCTGAACAACCTCTACCCCGCAGGCAAGGTGCAGTGGAAAGGTGGACAACGCC CTGCAGAGCGGCAACAGCCAGGAGAGCGTGACCGAGCAGGACTCCAAGGACAGCACCTACAGCCTGAGCAGCACCTGACCCTGAGC AAGGCCGACTACGAGAAGCACAAGGTGTACGCCTGCGAGGTGACCCACCAGGGACTGTCTAGCCCCGTGACCAAGAGCTTAACCGG GGCGAGTGC
614	GACATCCAGATGACCCAGTCTCCATCCTCTGCTGCCCTGTGGCGATACCGCTACCATCACCTGTCAGGCCAACGGCTACCTG AACTGGTATCAGCAGAGAAGAGGCAAGGCCCTAAGCTGCTGATCTACGACGGCTCAAACCTGGAAAGAGGCAGTGCCTCTCGGTTC TCTGGCAGAAGATGGGGCCAAGAGTACACCCCTGACCATCAACAACCTGCGACCTGAGGATATGCCACATACTTTGCCAGGTGTAC GAGTTCTCGGCCCTGGCACCAGACTGGACCTGAAGAGAACAGTGGCCGCTCTCGTGTTCATCTTCCCACCATCTGACGAGCAG CTGAAGTCTGGCACCGCTCTGCGTGTGCCTGCTGAACAACCTCTACCCCGCAGGCAAGGTGCAGTGGAAAGGTGGACAATGCC CTGCAGTCCGGCAACTCCCAAGAGACTGTGACCGAGCAGGACTCCAAGGACTCTACCTACAGCCTGTCCCTCACACTGACCCTGTCT AAGGCCGACTACGAGAAGCACAAGGTGTACGCCTGCGAAGTGACCCATCAGGGACTGTCTAGCCCCGTGACCAAGTCCTAACAGA GGCGAGTGT
615	GACATCCAGATGACACAGAGCCCTAGCAGCCTGCTGCCAGCGTGGGAGATACGCCACAATTACCTGTCAGGCCAACGGCTACCTG AACTGGTATCAGCAGCGGAGAGGCAAGGCCCTAAGCTGCTGATCTACGACGGCAGCAAGCTGGAAAGAGGCAGTGCCTCTCGGTTC AGCGGCAGAAGATGGGGCCAAGAGTACACCCCTGACCATCAACAACCTGCGACCTGAGGATATGCCACATACTTTGCCAGGTGTAC GAGTTCTCGGCCCTGGCACCAGACTGGACCTGAAGAGAACAGTGGCCGCTCTAGCGTGTTCATCTTCCCACCTCCGACGAGCAG CTGAAGTCTGGCACAGCCTCTGCGTGTGCCTGCTGAACAACCTCTACCCAGAGAAGGCCAGGTCAGTGGAAAGGTGGACAACGCC CTGCAGAGCGGCAATAGCCAAGAGAGCGTGACCGAGCAGGACAGCAAGGACTCTACCTACTCTGAGCAGCACCTGACACTGAGC

ТАБЛИЦА XV. ПОЛИНУКЛЕОТИДЫ, КОДИРУЮЩИЕ ЛЕГКУЮ ЦЕЛЬ (LC)

SEQ ID NO:	ПОЛИНУКЛЕОТИДНАЯ ПОСЛЕДОВАТЕЛЬНОСТЬ, КОДИРУЮЩАЯ LC
	AAGGCCGACTACGAGAAGCACAAAGTGTACGCCTGCGAAGTGACCCACCAGGGCCTTCTAGCCCTGTGACCAAGAGCTTCACCGGGCGAGGTGT
616	GACATCCAGATGACCCAGTCTCCATCCTCTGTCTGCCCTGTGGCGACAGAGCTACCATCACCTGTCAAGGCCAACGGCTACCTGAACTGGTATCAGCAGAGAAGAGGCAAGGCCCTAACGCTGCTGATCTACGACGGCTCAAACGGAAAGAGGCAGTGCAGGATATGCCACATACTTTGCCAGGTGTACGAGTTCTCGGCCCTGGCACCAAGAGTACACCCCTGACCATCTAGCCTGCAGCCTGAGGAATATGCCACATACTTTGCCAGGTGTACCTGAAGTCTGGCACCGCTCTGTGCTGTGCCTGCTGAACAACCTACCCCTGGGAAGCCAAGGTGCAGTGGAAAGGTGGACAATGCCCTGCAGTCCGGCAACTCCCAAGAGTCTGTGACCGAGCAGGACTCCAAGGACTCTACCTACAGCCTGTCCACACTGACCCGTCAAGGCCGACTACGAGAAGCACAAAGGTGTACGCCTGCGAAGTGACCCATCAGGGACTGTCTAGCCCCGTGACCAAGTCCTAACAGAGCGAGGTGT
617	GACATCCAGATGACACAGAGGCCCTAGCAGCCTGTCTGCCCTGTGGCGATAGAGCCACAATCACCTGTCAAGGCCAACGGCTACCTGAACTGGTATCAGCAGAGAAGAGGCAAGGCCCTAACGCTGCTGATCTACGACGGCAGCAAACGGAAAGAGGCAGTGCAGGATATGCCACATACTTTGCCAGGTGTACAGCGGCTCTAGATGGGCCCAAGAGTACACCCCTGACCATCTAGCCTGCAGCCTGAGGAATATGCCACATACTTTGCCAGGTGTACGAGTTCTCGGCCCTGGCACCAAGAGACTGGACCTGAAACAGTACGGTGGCTGCACCATCTGTCTTACCTTCCCACATCTGATGAGCAGTTGAAATCTGGAACACTGCCTCTGTTGTGCTGTGAATAACTCTACCCAGAGAGGCCAAAGTACAGTGGAAAGGTGGATAACGCCCTCCAATCGGGTAACCTCCAGGAGAGTGTACAGAGCAGGACAGCACCTACAGCCTCAGCAGCACCTGACGCTGAGCAAGCAGACTACGAGAAACACAAAGTCTACGCCTGCGAAGTCACCCATCAGGGCCTGAGCTGCCCGTCACAAAGAGCTTCAACAGGGAGAGTGT
618	GACATCCAGATGACCCAGTCTCCATCCTCTGTCTGCCAGAGTGGCGATACCGCTACCATCACCTGTCAAGGCCAACGGCTACCTGAACTGGTATCAGCAGAGAAGAGGCAAGGCCCTAACGCTGCTGATCTACGACGGCTCAAACGGAAAGAGGCAGTGCAGGACAGTGGCCACATACTTTGCCAGGTGTACGAGTTCATCGTGCCGGCACCAAGAGACTGGACCTGAAAGAGAACAGTTGCCCTCCTCGTGTTCATCTTCCCACCTCCGACGAGCAGCTGAAGTCTGGCACAGCTCTGTGCTGTGAACAACCTACCCCTGGGAAGCCAAGGTGCAGTGGAAAGGTGGACAATGCCCTGCAGTCCGGCAACTCCCAAGAGTCTGTGACCGAGCAGGACTCCAAGGACTCTACCTACAGCCTGTCCACACTGACCCGTCAAGGCCGACTACGAGAAGCACAAAGGTGTACGCCTGCGAAGTGACCCATCAGGGACTGTCTAGCCCCGTGACCAAGTCCTAACAGAGCGAGGTGT

ТАБЛИЦА XV. ПОЛИНУКЛЕОТИДЫ, КОДИРУЮЩИЕ ЛЕГКУЮ ЦЕЛЬ (LC)

SEQ ID NO:	ПОЛИНУКЛЕОТИДНАЯ ПОСЛЕДОВАТЕЛЬНОСТЬ, КОДИРУЮЩАЯ LC
619	GATATTAGATGACACAGAGCCCCAGTAGCCTGAGCGCCCGTGGCGACACCGCGACCATCACCTGTCAAGGCCAACGGCTATCTG AACTGGTATCAACAGAGGGAGGGCAAGGCCCAAGCTCCTGATATAACGACGGCAGCAAGCTGGAGAGGGCGTTCCGCACGCTTC AGCGGCAGGAGGTGGGGCCAGGAGTACACCCCTACAATCAACAACCTGCAGCCGAGGACGTCGCCACCTATTCCTGCCAAGTTAC GAGTTCATCGTCCCCGGCACCAAGGCTGGACCTGAAGCGGACCGTGGCCGCCCCCAGCGTGTTCATCTTCCCTCCAGCGACGAGCAG CTGAAGTCTGGCACCGCCAGCGTGGTGTGCCTGCTGAACAACCTCTACCCCCCGCAGGCAAGGTGCAGTGGAAAGGTGGACAACGCC CTGCAGAGCGGCAACAGCCAGGAGAGCGTGACCGAGCAGGACTCCAAGGACAGCACCTACAGCCTGAGCAGCACCTGACCCCTGAGC AAGGCCGACTACGAGAAGCACAAGGTGTACGCCTGCGAGGTGACCCACCAGGGACTGTCTAGCCCCGTGACCAAGAGCTTCAACCGG GGCGAGTG

## Векторы и клетки-хозяева.

[0137] В объем настоящего изобретения также входят векторы, содержащие нуклеиновую(-ые) кислоту(-ы), описанную(-ые) в данной заявке. Вектор может быть любого типа, например, рекомбинантный вектор, такой как вектор экспрессии. Векторы включают, но не ограничены перечисленными: плазмиды, космиды, бактериальные искусственные хромосомы (BAC), дрожжевые искусственные хромосомы (YAC) и векторы, полученные из бактериофагов или вирусов растений или животных (включая человека). Векторы могут содержать точку начала репликации, узнаваемую предполагаемой клеткой-хозяином, и, в случае векторов экспрессии, промотор и другие регуляторные области, узнаваемые клеткой-хозяином. В дополнительных вариантах реализации вектор содержит полинуклеотид, кодирующий антитело согласно настоящему изобретению, функционально связанный с промотором, и необязательно дополнительные регуляторные элементы. Некоторые векторы способны к автономной репликации в хозяине, в которого их внедрили (например, векторы, содержащие бактериальную точку начала репликации, могут реплицироваться в бактериях). Другие векторы можно встроить в геном хозяина после внедрения в хозяина, и, благодаря этому, они реплицируются вместе с геномом хозяина. Векторы включают, но не ограничены векторами, подходящими для рекомбинантного получения антител, описанных в данной заявке.

[0138] Выбор вектора зависит от того, каким рекомбинантным процедурам следуют, и от используемого хозяина. Внедрение векторов в клетки-хозяева можно осуществить путем, среди прочего, кальций-фосфатной трансфекции, вирусной инфекции, опосредованной DEAE-декстраном трансфекции, трансфекции липофектамином или электропорации. Векторы могут быть автономно реплицирующиеся или могут реплицироваться вместе с хромосомой, в которую их встроили. В некоторых вариантах реализации векторы содержат один или более селективных маркеров. Выбор маркеров может зависеть от выбранных клеток-хозяев. Они включают, но не ограничены перечисленными: канамицин, неомицин, пуромицин, гигромицин, зеоцин, ген тимидинкиназы из вируса простого герпеса (HSV-TK) и ген дигидрофолатредуктазы из мыши (dhfr). Векторы, содержащие одну или более молекул нуклеиновых кислот, кодирующих антитела, описанные в данной заявке, функционально связанных с одной или более молекулами нуклеиновых кислот, кодирующими белки или пептиды, которые можно

применять для выделения антител, также входят в объем настоящего изобретения. Данные белки или пептиды включают, но не ограничены перечисленными: глутатион-S-трансферазу, связывающий мальтозу белок, связывающий металл полигистидин, зеленый флуоресцентный белок, люциферазу и бета-галактозидазу.

[0139] В других вариантах реализации вектор, который применяют, представляет собой pcDNA<sup>TM</sup>3.1+ (ThermoFisher, Массачусетс).

[0140] В настоящем изобретении также предложены клетки-хозяева, содержащие нуклеиновую кислоту или вектор, описанный в данной заявке. Можно применять любую из различных клеток-хозяев. В одном варианте реализации клетка-хозяин представляет собой прокариотическую клетку, например, *E. coli*. В другом варианте реализации клетка-хозяин представляет собой эукариотическую клетку, например, клетку дрожжей, клетку растений (например, клетку табака) или клетку млекопитающего, такую как клетка яичника китайского хомячка (CHO) (например, CHO-S®, CHO-K1, CHO-K1a, CHO DG44, ExpiCHO<sup>TM</sup>), клетки COS, клетки ВНК, клетки NSO или клетки меланомы Bowes. Примеры человеческих клеток-хозяев представляют собой, среди прочих, клетки HeLa, 911, AT1080, A549, 293 и HEK293 (например, HEK293E, HEK293T, Expi293<sup>TM</sup>). Кроме того, антитела (например, scFv) можно экспрессировать в клетке дрожжей, такой как *Pichia* (см., например, Powers и др., *J Immunol Methods*. 251:123-35 (2001)), *Hansenula* или *Saccharomyces*. Получение антитела в трансгенных растениях табака и культивированных клетках растений описано, например, в Sacks и др., *Plant Biotechnol J.* (2015) 13(8):1094-105; Klimyuk и др., *Curr Top Microbiol Immunol.* (2014) 375:127-54 и Cramer и др., *Curr Top Microbiol Immunol.* (1999) 240:95-118.

[0141] В некоторых вариантах реализации клетка-хозяин преимущественно сиалисирует сайты N-связанного гликозилирования в вариабельных областях антигенсвязывающего домена иммуноглобулина. В некоторых вариантах реализации полинуклеотиды, кодирующие антитело или его антигенсвязывающий фрагмент, описанный в данной заявке, экспрессируются в клетке-хозяине, которая сиалисирует по меньшей мере 50%, по меньшей мере 55%, по меньшей мере 60%, по меньшей мере 65%, по меньшей мере 70%, по меньшей мере 75%, по меньшей мере 80%, по меньшей мере 85%, по меньшей мере 90%, по меньшей мере 91%, по меньшей мере 92%, по меньшей мере 93%, по меньшей мере 94%, по меньшей мере 95% или более сайтов N-связанного гликозилирования в вариабельных доменах (Fv, особенно VL) экспрессированных антител или их

антигенсвязывающих фрагментов. В некоторых вариантах реализации клетка сиалирует по меньшей мере 50%, по меньшей мере 60%, по меньшей мере 70%, по меньшей мере 80%, по меньшей мере 85%, по меньшей мере 90%, по меньшей мере 91%, по меньшей мере 92%, по меньшей мере 93%, по меньшей мере 94%, по меньшей мере 95% или более сайтов N-связанного гликозилирования в VL экспрессированных антител или антигенсвязывающих фрагментов. В некоторых вариантах реализации в сайтах N-связанного гликозилирования в VL занятость сиаловой кислотой (например, гликана, содержащего один или два остатка сиаловой кислоты на конце) составляет по меньшей мере 40%, по меньшей мере 50%, по меньшей мере 60%, по меньшей мере 70%, по меньшей мере 80%, по меньшей мере 85%, по меньшей мере 90% или более. В данной заявке “занятость” относится к проценту времени, в течение которого гликан присоединен к предсказанному сайту гликозилирования аминокислоты. В некоторых вариантах реализации аспарагин в VL в положении аминокислоты 72 согласно нумерации по Кабату (N72) сиалирован. В некоторых вариантах реализации сиалированные сайты N-связанного гликозилирования в VL содержат от 1 до 5 остатков сиаловой кислоты, например, от 1 до 4 остатков сиаловой кислоты, например, от 1 до 3 остатков сиаловой кислоты, например, от 1 до 2 остатков сиаловой кислоты. Человеческие клетки-хозяева и клетки-хозяева из хомяка преимущественно сиалируют с помощью N-ацетилнейраминовой кислоты (НАНК). В некоторых вариантах реализации VL сиалированы или преимущественно сиалированы N-ацетилнейраминовой кислотой (НАНК). Мышиные клетки-хозяева преимущественно сиалируют с помощью N-гликолилнейраминовой кислоты (НГНК). В некоторых вариантах реализации VL сиалированы или преимущественно сиалированы N-[REDACTED]нейраминовой кислотой (НГНК). В некоторых вариантах реализации остатки сиаловой кислоты присутствуют в двухантенных структурах. В некоторых вариантах реализации остатки сиаловой кислоты присутствуют в сложных структурах N-связанных гликанов (например, могут содержать почти любое количество сахаридов другого типа, включая более чем два исходных N-ацетилглюкозамина). В некоторых вариантах реализации остатки сиаловой кислоты присутствуют в гибридных структурах N-связанных гликанов (например, могут содержать остатки маннозы на одной стороне ветви, тогда как на другой стороне N-ацетилглюкозамин дает начало сложной ветви).

**[0142]** Термин “молекула нуклеиновой кислоты” относится к полимерной форме нуклеотидов, и в его объем входит как смысловая, так и антисмысловая цепи РНК, кДНК, геномной ДНК и синтетических форм и смешанных полимеров указанных выше молекул. В данной заявке термин молекула нуклеиновой кислоты может быть взаимозаменяемым с термином полинуклеотид. В некоторых вариантах реализации нуклеотид отнесется к рибонуклеотиду, дезоксинуклеотиду или модифицированной форме любого типа нуклеотида, и их комбинации. Указанные термины также включают, но не ограничены одно- и двухцепочечными формами ДНК. Кроме того, полинуклеотид, например, кДНК или мРНК, может содержать встречающиеся в природе и/или модифицированные нуклеотиды, связанные друг с другом встречающимися в природе и/или не встречающимися в природе нуклеотидными связями. Молекулы нуклеиновых кислот можно модифицировать химическим или биохимическим способом, или они могут содержать неприродные или дериватизированные нуклеотидные основания, что легко поймут специалисты в данной области. Такие модификации включают, например, метки, метилирование, замену одного или более встречающихся в природе нуклеотидов на аналог, межнуклеотидные модификации, такие как незаряженные связи (например, метилфосфонаты, фосфотриэфиры, фосфорамиаты, карбаматы и т.д.), заряженные связи (например, фосфоротиоаты, фосфородитиоаты и т.д.), подвешенные молекулы (например, полипептиды), интеркаляторы (например, акридин, псорален и т.д.), хелаторы, алкилаторы и модифицированные связи (например, альфааномерные нуклеиновые кислоты и т.д.). Предполагается, что в объем указанного выше термина также входит любая топологическая конформация, включая одноцепочечную, двухцепочечную, частично дуплексную, триплексную, шпилечную, кольцевую и запертую конформации. При упоминании последовательности нуклеиновой кислоты, в объем изобретения входит ее комплемент, если не указано иное. Таким образом, следует понимать, что при упоминании молекулы нуклеиновой кислоты с определенной последовательностью, в объем изобретения входит комплементарная ей цепь с комплементарной ей последовательностью. В объем данного термина также входят кодон-оптимизированные нуклеиновые кислоты.

**[0143]** Термин “функционально связанный” относится к двум или более элементам последовательности нуклеиновой кислоты, которые обычно физически связаны и находятся в функциональной взаимосвязи друг с другом. Например, промотор

функционально связан с кодирующей последовательностью, если промотор способен инициировать или регулировать транскрипцию или экспрессию кодирующей последовательности, в указанном случае следует понимать, что кодирующая последовательность находится “под контролем” промотора.

[0144] “Замена” в данной заявке означает замену одной или более аминокислот или нуклеотидов на отличные аминокислоты или нуклеотиды, соответственно.

[0145] “Изолированная” нуклеиновая кислота относится к молекуле нуклеиновой кислоты, которую отделили от компонента ее природного окружения. Изолированная нуклеиновая кислота включает молекулу нуклеиновой кислоты, содержащуюся в клетках, которые обычно содержат указанную молекулу нуклеиновой кислоты, но указанная молекула нуклеиновой кислоты присутствует вне хромосомы или в положении на хромосоме, которое отлично от ее природного положения на хромосоме. “Изолированная нуклеиновая кислота, кодирующая антитело или его фрагмент”, относится к одной или более молекулам нуклеиновых кислот, кодирующими тяжелую и легкую цепи антитела (или их фрагменты), включая такие(-ую) молекулы(-у) нуклеиновых(-ой) кислот(ы) в одном векторе или в отдельных векторах, и такие(-ая) молекулы(-а) нуклеиновых(-ой) кислот(ы) присутствует в одном или более положений в клетке-хозяине.

[0146] Термин “вектор” в данной заявке относится к молекуле нуклеиновой кислоты, способной размножать другую нуклеиновую кислоту, с которой она связана. В объем данного термина входит вектор в виде самореплицирующейся структуры нуклеиновой кислоты, а также вектор, встроенный в геном клетки-хозяина, в которую его внедрили. Некоторые векторы подходят для доставки молекулы нуклеиновой кислоты или полинуклеотида согласно настоящему изобретению. Некоторые векторы способны направлять экспрессию нуклеиновых кислот, с которыми они функционально связаны. Такие векторы в данной заявке называют векторами экспрессии.

[0147] Термины “клетка-хозяин”, “линия клеток-хозяев” и “культура клеток-хозяев” используют взаимозаменямо, и они относятся к клеткам, в которые внедрили экзогенную нуклеиновую кислоту, включая потомство таких клеток. Клетки-хозяева включают “трансформанты” и “трансформированные клетки”, которые включают первичную трансформированную клетку и потомство, происходящее из нее, независимо от количества пассажей. Потомство может быть не полностью идентично исходной клетке по содержанию нуклеиновых кислот, но

может содержать мутации. Мутантное потомство, которое осуществляет такую же функцию или биологическую активность, на основании которой прошла скрининг или селекцию исходная трансформированная клетка, входит в объем настоящего изобретения.

**[0148]** “Вариант” полинуклеотида, как данный термин используют в данной заявке, представляет собой полинуклеотид, который обычно отличается от полинуклеотида, конкретно описанного в данной заявке, одной или более заменами, делециями, добавлениями и/или вставками. Такие варианты могут встречаться в природе или могут быть получены синтетическим способом, например, путем модификации одной или более полинуклеотидных последовательностей согласно настоящему изобретению и оценки одной или более биологических активностей кодируемого полипептида, описанного в данной заявке, и/или с применением любой из множества методик, хорошо известных в данной области.

**[0149]** Термин “вариант” также может относиться к любой встречающейся в природе или сконструированной молекуле, содержащей одну или более мутаций нуклеотида или аминокислоты.

**[0150]** Дополнительно предложен химерный антигенный рецептор (CAR), содержащий антигенсвязывающий фрагмент антитела, описанный в данной заявке. В некоторых вариантах реализации CAR экспрессирован на Т-клетке или NK-клетке. Дополнительно предложена CAR-Т-клетка, содержащая CAR, описанный в данной заявке. В некоторых вариантах реализации Т-клетка представляет собой CD4+ Т-клетку, CD8+ Т-клетку или их комбинацию. В некоторых вариантах реализации клетку вводят субъекту. В некоторых вариантах реализации клетка аутологичная. В некоторых вариантах реализации клетка аллогенная.

#### Способы получения антител.

**[0151]** Моноспецифические антитела, которые связываются с gp120, и биспецифические антитела, которые связываются с gp120 и CD3 человека (например, CD3 $\epsilon$  человека или CD3 $\delta$  человека) или с gp120 и CD89 можно получить с помощью любого способа синтеза антител, известного в данной области, например, путем химического синтеза или с помощью методик рекомбинантной экспрессии.

[0152] Способы получения моноспецифических антител очень хорошо известны в данной области. Способы получения биспецифических антител описаны, например, в патентах США № 5731168; 5807706; 5821333 и публикациях заявок на патент США № 2003/020734 и 2002/0155537. Биспецифические четырехвалентные антитела и способы их получения описаны, например, в WO 02/096948 и WO 00/44788, описания обеих из которых полностью включены в данную заявку посредством ссылки. Кроме того, другие публикации, относящиеся к получению биспецифических антител, включают WO 91/00360, WO 92/08802, WO92/05793 и WO 93/17715; Tutt и др., *J. Immunol.* 147:60-69 (1991); патенты США № 4474893; 4714681; 4925648; 5573920; 5601819 и 9212230; и Kostelný и др., *J. Immunol.* 148:1547-1553 (1992).

[0153] Другим типичным способом получения биспецифических антител является способ с применением технологии выступы-во-впадины (Ridgway и др., *Protein Eng.*, 9:617-621 (1996); WO 2006/028936). Проблема ошибочного спаривания тяжелых цепей Ig, которая является главным препятствием при получении биспецифических антител, уменьшается при использовании данной технологии посредством мутирования выбранных аминокислот, образующих поверхность контакта доменов CH3 в IgG. В положениях в домене CH3, в которых две тяжелые цепи напрямую взаимодействуют, в последовательность одной тяжелой цепи вводят аминокислоту с малой боковой цепью (впадиной) и в положение соответствующего взаимодействующего остатка на другой тяжелой цепи вводят аминокислоту с большой боковой цепью (выступом). В некоторых случаях антитела согласно настоящему изобретению содержат цепи иммуноглобулина, в которых домены CH3 были модифицированы путем мутирования выбранных аминокислот, которые взаимодействуют на поверхности контакта между двумя полипептидами, для того чтобы преимущественно образовывалось биспецифическое антитело. Биспецифические антитела могут состоять из цепей иммуноглобулина одного подкласса или различных подклассов. В одном случае биспецифическое антитело, которое связывается с gp120 и CD3, содержит мутацию T366W (нумерация EU) в “цепи выступов” и мутации T366S, L368A, Y407V (нумерация EU) в “цепи впадин”. В некоторых вариантах реализации дополнительный межцепочечный дисульфидный мостик вводят между доменами CH3, например, путем введения мутации Y349C в “цепи выступов” и мутации E356C или мутации S354C в “цепи впадин”. В некоторых вариантах реализации

мутации R409D, K370E вводят в “цепь выступов” и мутации D399K, E357K - в “цепь впадин”. В других вариантах реализации мутации Y349C, T366W вводят в одну из цепей и мутации E356C, T366S, L368A, Y407V - в противоположную цепь. В некоторых вариантах реализации мутации Y349C, T366W вводят в одну цепь и мутации S354C, T366S, L368A, Y407V - в противоположную цепь. В некоторых вариантах реализации мутации Y349C, T366W вводят в одну цепь и мутации S354C, T366S, L368A, Y407V - в противоположную цепь. В других дополнительных вариантах реализации мутации Y349C, T366W вводят в одну цепь и мутации S354C, T366S, L368A, Y407V - в противоположную цепь (все с нумерацией EU).

**[0154]** Другим типичным способом получения биспецифических антител является применение платформы привлекающих Т-клетки биспецифических активаторов (BiTE®). BiTE получают путем генетического соединения первой scFv (например, scFv, которая связывает gp120) со второй scFv (например, scFv, которая связывает CD3 человека) посредством гибкого пептидного линкера (например, GGGGS (SEQ ID NO: 429)). См., например, Staerz и др., *Nature*, 314:628-631 (1985); Mack и др., *PNAS*, 92:7021-7025 (1995); Huehls и др., *Immunol. Cell Biol.*, 93:290-296 (2015).

**[0155]** Другим типичным способом получения биспецифических антител является применение платформы переориентирующегося антитела с двойной аффинностью (DART). Данная технология основана на формате диатела по Holliger и др. (*PNAS*, 90:6444-6448 (1993)) и дополнительно улучшена для стабильности и оптимального спаривания цепей VH и VL (Johnson и др., *J Mol. Biol.*, 399:436-449 (2010); Sung и др., *J Clin Invest.*, 125(11): 4077-4090 (2015)).

**[0156]** Еще другим типичным способом получения биспецифических антител является применение платформы Трифункциональных гибридных антител - Триомаб®. В данной платформе используют химерную конструкцию, состоящую из половины двух полноразмерных антител различных изотипов IgG2a мыши и IgG2b крысы. Данная технология основана на видоспецифичном спаривании тяжелой/легкой цепей. См., Lindhofer и др., *J Immunol.*, 155:219-225 (1995).

**[0157]** Дополнительным типичным способом получения биспецифических антител является применение платформы Тандаб®. Данная технология основана на концепции диатела, но разработанного в виде одной полипептидной цепи VH1-VL2-VH2-VL1, содержащей короткие линкеры для предотвращения межцепочечного спаривания. Димеризация голова-к-хвосту данной одной цепи

приводит к образованию четырехвалентного гомодимера (Kipriyanov и др., *J Mol. Biol.*, 293:41-56 (1999)).

[0158] Еще одним способом получения биспецифических антител является технология CrossMab. CrossMab представляют собой химерные антитела, состоящие из половин двух полноразмерных антител. Для правильного спаривания цепей в них объединили две технологии: (i) выступ-во-впадину, которая способствует правильному спариванию между двумя тяжелыми цепями; и (ii) обмен между тяжелой и легкой цепями одного из двух Fab, чтобы ввести асимметрию, которая позволяет избежать ошибочного спаривания легких цепей. См., Ridgway и др., *Protein Eng.*, 9:617-621 (1996); Schaefer и др., *PNAS*, 108:11187-11192 (2011). В CrossMab можно объединить два или более антиген-связывающих доменов для нацеливания на две или более мишней или для введения бивалентности к одной мишени, как в формате 2:1.

[0159] Антитела согласно настоящему изобретению можно получить в бактериальных или эукариотических клетках. Антитела также можно получить в эукариотических клетках, таких как линии трансформированных клеток (например, линии клеток на основе СНО или происходящие из СНО (например, CHO-S, CHO DG44, ExpiCHO<sup>TM</sup>, CHOZN® ZFN-модифицированная линия клеток GS-/ CHO, CHO-K1, CHO-K1a), 293E, 293T, COS, NIH3T3). Кроме того, антитела (включая фрагменты антитела, например, фрагменты Fab, scFv) можно экспрессировать в клетке дрожжей, такой как *Pichia* (см., например, Powers и др., *J Immunol Methods*, 251:123-35 (2001)), *Hanseula* или *Saccharomyces*. В одном варианте реализации антитела, описанные в данной заявке, получают в линии клеток СНО, например, линии клеток CHO-S, CHO DG44, ExpiCHO<sup>TM</sup>, CHOZN®, CHO-K1 или CHO-K1a. Для получения интересующего антитела полинуклеотид, кодирующий антитело, конструируют, внедряют в вектор экспрессии, а затем экспрессируют в подходящих клетках-хозяевах. Применяют стандартные методики молекулярной биологии для получения рекомбинантного вектора экспрессии, трансфицирования клеток-хозяев, селекции трансформантов, культивирования клеток-хозяев и выделения антитела.

[0160] Если антитело нужно экспрессировать в бактериальных клетках (например, *E. coli*), вектор экспрессии должен обладать свойствами, которые позволяют амплификацию вектора в бактериальных клетках. Кроме того, если в качестве хозяина используют *E. Coli*, такую как JM109, DH5α, HB101 или XL1-Blue, то

вектор должен содержать промотор, например, промотор lacZ (Ward и др., 341:544-546 (1989), промотор araB (Better и др., *Science*, 240:1041-1043 (1988)) или промотор T7, который может позволить эффективную экспрессию в *E. coli*. Примеры таких векторов включают, например, векторы серии M13, векторы серии pUC, pBR322, pBluescript, pCR-Script, pGEX-5X-1 (Pharmacia), “QIAexpress system” (QIAGEN), pEGFP и pET (при использовании данного вектора экспрессии хозяином предпочтительно является BL21, экспрессирующая РНК-полимеразу T7). Вектор экспрессии может содержать сигнальную последовательность для секреции антитела. Для продукции в периплазму *E. coli*, можно использовать сигнальную последовательность *pelB* (Lei и др., *J. Bacteriol.*, 169:4379 (1987)) в качестве сигнальной последовательности для секреции антитела. Для экспрессии в бактериях можно использовать способы с применением хлорида кальция или способы электропорации, чтобы ввести вектор экспрессии в бактериальную клетку.

[0161] Если антитело нужно экспрессировать в клетках животного, таких как клетки CHO, CHO-S, CHO DG44, CHOZN®, ExpiCHO™, CHO-K1, CHO-K1a, COS и NIH3T3, вектор экспрессии содержит промотор, необходимый для экспрессии в данных клетках, например, промотор SV40 (Mulligan и др., *Nature*, 277:108 (1979)), промотор MMLV-LTR, промотор EF1 $\alpha$  (Mizushima и др., *Nucleic Acids Res.*, 18:5322 (1990)) или промотор CMV. В добавок к последовательности нуклеиновой кислоты, кодирующей иммуноглобулин или его домен, рекомбинантные векторы экспрессии могут нести дополнительные последовательности, такие как последовательности, которые регулируют репликацию вектора в клетках-хозяевах (например, точки начала репликации), и гены селектируемых маркеров. Ген селектируемого маркера облегчает селекцию клеток-хозяев, в которые внедрили вектор (см., например, патенты США № 4399216, 4634665 и 5179017). Например, обычно ген селектируемого маркера придает устойчивость к лекарственным средствам, таким как G418, гигромицин или метотрексат, клетке-хозяину, в которую внедрили вектор. Примеры векторов с селектируемыми маркерами включают pMAM, pDR2, pBK-RSV, pBK-CMV, pOPRSV и pOP13.

[0162] В одном варианте реализации антитела получают в клетках млекопитающих. Примеры клеток-хозяев из млекопитающих для экспрессии антитела включают клетки яичника китайского хомячка (клетки CHO, включая, например, клетки CHO-S, CHO DG44, ExpiCHO™, CHOZN®, CHO-K1 или CHO-

K1a) (включая *dhfr*<sup>-</sup> клетки CHO, описанные в Urlaub и Chasin (1980) *Proc. Natl. Acad. Sci. USA* 77:4216-4220, используемые с селектируемым маркером DHFR, например, как описано в Kaufman и Sharp (1982) *Mol. Biol.* 159:601-621), клетки эмбриональной почки человека 293 (например, 293, 293E, 293T), клетки COS, клетки NIH3T3, В-клетки человека, линии лимфоцитарных клеток, например, клетки миеломы NS0 и клетки SP2, и клетку из трансгенного животного, например, трансгенного млекопитающего. Например, в некоторых вариантах реализации клетка представляет собой эпителиальную клетку молочной железы.

**[0163]** В типичной системе экспрессии антител рекомбинантные векторы экспрессии, кодирующие тяжелую цепь антитела и легкую цепь антитела согласно настоящему изобретению, внедряют в клетки *dhfr*<sup>-</sup> CHO с помощью опосредованной фосфатом кальция трансфекции. В конкретном варианте реализации клетки *dhfr*<sup>-</sup> CHO представляют собой клетки линии DG44, такие как DG44i (см., например, Derouaz и др., *Biochem Biophys Res Commun.*, 340(4):1069-77 (2006)). В рекомбинантных векторах экспрессии каждый из генов тяжелой и легкой цепи антитела функционально связан с энхансерными/промоторными регуляторными элементами (например, полученными из SV40, CMV, аденоовириуса и тому подобных, например, с регуляторным элементом энхансер CMV/промотор AdMLP или с регуляторным элементом энхансер SV40/промотор AdMLP), чтобы запускать высокие уровни транскрипции генов. Рекомбинантные векторы экспрессии также могут нести ген *DHFR*, который позволяет селекцию клеток CHO, которые были трансфицированы вектором, путем селекции метотрексатом/амплификации. Прошедшие селекцию трансформированные клетки-хозяева культивируют, чтобы позволить экспрессию тяжелой и легкой цепей антитела и выделение антитела из культуральной среды.

**[0164]** Антитела также можно получить с помощью трансгенного животного. Например, в патенте США номер 5849992 описан способ экспрессии антитела в молочной железе трансгенного млекопитающего. Конструируют трансген, который содержит специфичный для молока промотор и нуклеиновые кислоты, кодирующие интересующее антитело и сигнальную последовательность для секреции. Молоко, продуцированное самками таких трансгенных млекопитающих, содержит секретированное с ним интересующее антитело. Антитело можно очистить из молока или, для некоторых применений, использовать напрямую.

Также предложены животные, содержащие одну или более нуклеиновых кислот, описанных в данной заявке.

[0165] Антитела согласно настоящему изобретению можно выделить из внутренней или наружной среды (такой как культуральная среда) клетки-хозяина и очистить с получением по существу чистых и гомогенных антител. Способы выделения и очистки, обычно применяемые для очистки антитела, можно применять для выделения и очистки антител, и они не ограничены каким-либо конкретным способом. Антитела можно выделить и очистить с помощью подходящей селекции и комбинирования, например, колоночной хроматографии, фильтрации, ультрафильтрации, высаливания, преципитации растворителем, экстрагирования растворителем, дистилляции, иммунопреципитации, электрофореза в полиакриламидном геле с ДСН, изоэлектрического фокусирования, диализа и перекристаллизации. Хроматография включает, например, аффинную хроматографию, ионообменную хроматографию, гидрофобную хроматографию, гель-фильтрацию, хроматографию с обращенными фазами и адсорбционную хроматографию (Strategies for Protein Purification and Characterization: A Laboratory Course Manual. Ред. Daniel R. Marshak и др., Cold Spring Harbor Laboratory Press, 1996). Хроматографию можно осуществить, применяя жидкостную хроматографию, такую как высокоэффективная жидкостная хроматография (ВЭЖХ) и жидкостная хроматография быстрого разрешения (ЖХБР). Колонки, применяемые для аффинной хроматографии, включают колонку с белком А и колонку с белком G. Примеры колонок с применением белка А включают Hyper D, POROS и сефарозу FF (GE Healthcare Biosciences). В объем настоящего изобретения также входят антитела, которые очистили до высокой степени чистоты с применением данных способов очистки.

#### Фармацевтические композиции.

[0166] В объем настоящего изобретения также входят фармацевтические композиции, содержащие антитело, описанное в данной заявке, или полинуклеотид, кодирующий антитело, описанное в данной заявке, и фармацевтически приемлемый разбавитель, носитель или вспомогательное вещество. В некоторых вариантах реализации фармацевтическая композиция содержит терапевтически эффективное количество антитела или полинуклеотида.

**[0167]** Различные фармацевтически приемлемые разбавители, носители и вспомогательные вещества и методики получения и применения фармацевтических композиций будут известны специалистам в данной области в свете настоящего описания. Примеры фармацевтических композиций и фармацевтически приемлемых разбавителей, носителей и вспомогательных веществ также описаны в Remington: The Science and Practice of Pharmacy, 20ое изд. (Lippincott, Williams & Wilkins 2003); Loyd V. Allen Jr (редактор), "Remington: The Science and Practice of Pharmacy," 22<sup>ое</sup> издание, 2012 г., Pharmaceutical Press; Brunton, Knollman и Hilal-Dandan, "Goodman and Gilman's The Pharmacological Basis of Therapeutics", 13ое издание, 2017 г., McGraw-Hill Education/Medical; McNally и Hastedt (редакторы), "Protein Formulation and Delivery", 2ое издание, 2007, CRC Press; Banga, "Therapeutic Peptides and Proteins: Formulation, Processing, and Delivery Systems", 3е издание, 2015 г., CRC Press; Lars Hovgaard, Frokjaer и van de Weert (редакторы), "Pharmaceutical Formulation Development of Peptides and Proteins", 2ое издание, 2012 г., CRC Press; Carpenter и Manning (редакторы), "Rational Design of Stable Protein Formulations: Theory and Practice", 2002 г., Springer (Pharmaceutical Biotechnology (книга 13)); Meyer (редактор), "Therapeutic Protein Drug Products: Practical Approaches to Formulation in the Laboratory, Manufacturing, and the Clinic", 2012 г., Woodhead Publishing; и Shire, "Monoclonal Antibodies: Meeting the Challenges in Manufacturing, Formulation, Delivery and Stability of Final Drug Product", 2015 г., Woodhead Publishing.

**[0168]** В некоторых вариантах реализации каждый носитель, разбавитель или вспомогательное вещество является "приемлемым" в том смысле, что он совместим с другими ингредиентами фармацевтической композиции и не вреден для субъекта. Часто фармацевтически приемлемый носитель представляет собой водный pH-буферный раствор. Некоторые примеры материалов, которые могут служить в качестве фармацевтически-приемлемых носителей, разбавителей или вспомогательных веществ, включают: стерильную воду; буфера, например, фосфатно-солевой буферный раствор; сахара, такие как лактоза, глюкоза, трегалоза и сахароза; крахмалы, такие как кукурузный крахмал и картофельный крахмал; целлюлозу и ее производные, такие как карбоксиметилцеллюлоза натрия, этилцеллюлоза и ацетат целлюлозы; измельченный в порошок трагакант; солод; желатин; тальк; вспомогательные вещества, такие как масло какао и суппозиторные воски; масла, такие как арахисовое масло, хлопковое масло,

сафлоровое масло, кунжутное масло, оливковое масло, кукурузное масло и соевое масло; гликоли, такие как пропиленгликоль; полиолы, такие как глицерин, сорбит, маннит и полиэтиленгликоль; эфиры, такие как этилолеат и этиллаурат; агар; буферные вещества, такие как гидроксид магния и гидроксид алюминия; альгиновую кислоту; апирогенную воду; изотонический солевой раствор; раствор Рингера; этиловый спирт; растворы фосфатного буфера; аминокислоты (например, заряженные аминокислоты, включая, без ограничения, аспартат, аспарагин, глутамат, глутамин, гистидин, лизин); и другие нетоксичные совместимые вещества, используемые в фармацевтических составах. Смачивающие агенты, эмульгаторы и лубриканты, такие как лаурилсульфат натрия и стеарат магния, а также красящие агенты, разделительные агенты, покрывающие агенты, подслащающие, ароматизирующие и отдушивающие агенты, консерванты и антиоксиданты также могут присутствовать в композициях.

**[0169]** Состав и способы доставки фармацевтических композиций, как правило, будут приспособлены для места и заболевания, от которого лечат. Примеры составов включают, но не ограничены составами, подходящими для парентерального введения, например, внутривенного, интраартериального, внутримышечного или подкожного введения, включая составы, инкапсулированные в мицеллы, липосомы или капсулы для высвобождения лекарственного средства (активные агенты содержатся внутри биосовместимого покрытия, разработанного для медленного высвобождения); проглатываемые составы; составы для топического применения, такие как кремы, мази и гели; и другие составы, такие как ингаляторы, аэрозоли и спреи.

#### Способы применения.

**[0170]** В настоящем изобретении предложены способы лечения или предотвращения ВИЧ-инфекции или сходных заболеваний или расстройств у нуждающегося в этом субъекта (например, человека), включающие предоставление нуждающемуся в этом субъекту эффективного количества антитела или антител, описанных в данной заявке, или полинуклеотида, кодирующего антитело или антитела. В данной заявке термин “эффективное количество” в контексте введения терапии субъекту относится к количеству терапии, которое приводит к желательному профилактическому или терапевтическому эффекту. Полинуклеотид может присутствовать в векторе, например, вирусном векторе. В некоторых вариантах реализации сходное

заболевание или расстройство вызвано инфекцией ВИЧ. В других вариантах реализации оно представляет собой синдром приобретенного иммунодефицита (СПИД). В некоторых вариантах реализации субъект представляет собой вирусологически угнетенное инфицированное ВИЧ млекопитающее, тогда как в других вариантах реализации субъект представляет собой не получавшее лечение инфицированное ВИЧ млекопитающее. В некоторых вариантах реализации у не получавшего лечение субъекта вирусная нагрузка составляет от  $10^3$  до  $10^5$  копий/мл, и в некоторых вариантах реализации у вирусологически угнетенного субъекта вирусная нагрузка составляет < 50 копий/мл. В другом варианте реализации субъект представляет собой млекопитающее, например, человека. В некоторых вариантах реализации у субъекта была диагностирована инфекция ВИЧ, например, ВИЧ-1 или ВИЧ-2, или сходное заболевание или расстройство, например, СПИД, или считают, что у него есть риск развития инфекции ВИЧ, например, ВИЧ-1 или ВИЧ-2, или сходного заболевания или расстройства, например, СПИД. Субъекты, имеющие риск развития связанных с ВИЧ заболеваний или расстройств, включают пациентов, у которых был контакт с инфицированным индивидом или которые контактировали с ВИЧ другим образом. Введение профилактического агента может происходить перед проявлением симптомов, характерных для связанного с ВИЧ заболевания или расстройства, так что заболевание или расстройство предотвращается или, в качестве альтернативы, задерживается его прогрессирование. В некоторых вариантах реализации антитело или его антигенсвязывающий фрагмент содержит области CDR VH и области CDR VL, имеющие последовательности, представленные в SEQ ID NO: 137, 138, 139, 140, 141 и 142, соответственно. В некоторых вариантах реализации антитело или его антигенсвязывающий фрагмент содержит области CDR VH и области CDR VL, имеющие последовательности, представленные в SEQ ID NO: 137, 138, 139, 140, 141 и 142, соответственно, и содержит VH, которая по меньшей мере на 80%, по меньшей мере на 85%, по меньшей мере на 90%, по меньшей мере на 91%, по меньшей мере на 92%, по меньшей мере на 93%, по меньшей мере на 94%, по меньшей мере на 95%, по меньшей мере на 96%, по меньшей мере на 97%, по меньшей мере на 98%, по меньшей мере на 99%, например, на 100%, идентична последовательности аминокислот, представленной в SEQ ID NO: 477, и VL, которая по меньшей мере на 80%, по меньшей мере на 85%, по меньшей мере на 90%, по меньшей мере на 91%, по меньшей мере на 92%, по меньшей мере на 93%, по меньшей мере на 94%, по меньшей мере на 95%, по меньшей мере на 96%, по

меньшей мере на 97%, по меньшей мере на 98%, по меньшей мере на 99%, например, на 100%, идентична последовательности аминокислот, представленной в SEQ ID NO: 278. В некоторых вариантах реализации антитело или его антигенсвязывающий фрагмент содержит последовательность VH, представленную в SEQ ID NO: 477, и последовательность VL, представленную в SEQ ID NO: 278. В некоторых вариантах реализации антитело или его антигенсвязывающий фрагмент содержит области CDR VH и области CDR VL, имеющие последовательности, представленные в SEQ ID NO: 137, 138, 139, 140, 141 и 142, соответственно, и содержит тяжелую цепь, которая по меньшей мере на 80%, по меньшей мере на 85%, по меньшей мере на 90%, по меньшей мере на 91%, по меньшей мере на 92%, по меньшей мере на 93%, по меньшей мере на 94%, по меньшей мере на 95%, по меньшей мере на 96%, по меньшей мере на 97%, по меньшей мере на 98%, по меньшей мере на 99%, например, на 100%, идентична последовательности аминокислот, представленной в SEQ ID NO: 529, и легкую цепь, которая по меньшей мере на 80%, по меньшей мере на 85%, по меньшей мере на 90%, по меньшей мере на 91%, по меньшей мере на 92%, по меньшей мере на 93%, по меньшей мере на 94%, по меньшей мере на 95%, по меньшей мере на 96%, по меньшей мере на 97%, по меньшей мере на 98%, по меньшей мере на 99%, например, на 100%, идентична последовательности аминокислот, представленной в SEQ ID NO: 103. В некоторых вариантах реализации антитело или его антигенсвязывающий фрагмент содержит последовательность тяжелой цепи, представленную в SEQ ID NO: 529, и последовательность легкой цепи, представленную в SEQ ID NO: 103.

**[0171]** Также предложены способы предотвращения или ингибирования повышения титра вируса ВИЧ, репликации вируса, пролиферации вируса или количества ДНК вируса ВИЧ, ДНК провируса ВИЧ или белка вируса ВИЧ у субъекта (например, у человека). В одном варианте реализации способ включает предоставление нуждающемуся в этом субъекту некоторого количества антитела или антител (или их антигенсвязывающих фрагментов), описанных в данной заявке, или полинуклеотида, кодирующего антитело или антитела (или их антигенсвязывающие фрагменты), эффективного для предотвращения повышения титра ВИЧ, репликации вируса или количества белка ВИЧ одного или более штаммов или изолятов ВИЧ у субъекта. В некоторых вариантах реализации способ дополнительно включает измерение количества ДНК или белка вируса или

провируса ВИЧ в один или более моментов времени, например, до и после предоставления субъекту антитела или антител согласно настоящему изобретению. Способы и биомаркеры для определения количества ДНК или белка вируса или провируса ВИЧ у субъекта известны и доступны в данной области и описаны, например, в Siliciano, J.D. и др., *Curr Opin. HIV AIDS*, 5(6):491-7 (2010), и Rouzioux, C. и др., *Curr Opin HIV AIDS*, 8(3):170-5 (2013).

**[0172]** В некотором аспекте антитело или антитела согласно настоящему изобретению можно применять, например, в способах ингибирования некоторых вирусов, таких как изоляты ВИЧ, описанные в данной заявке, профилактического ингибирования или предотвращения инфекций некоторыми вирусами, такими как изоляты ВИЧ, описанные в данной заявке, детектирования некоторых вирусов, таких как изоляты ВИЧ, описанные в данной заявке, в образце, ингибирования некоторых вирусов, таких как изоляты ВИЧ, описанные в данной заявке, или диагностики некоторых вирусов, таких как изоляты ВИЧ, описанные в данной заявке.

**[0173]** Для лечения *in vivo* млекопитающего субъекта, например, людей, субъекту можно вводить или предоставить фармацевтическую композицию, содержащую антитело или антитела, описанные в данной заявке. При применении для терапии *in vivo* антитело или антитела, описанные в данной заявке, обычно вводят или предоставляют пациенту в терапевтически эффективных количествах (т.е., количествах, которые устраняют или снижают вирусную нагрузку и/или резервуар вируса у пациента). Антитела вводят или предоставляют млекопитающему субъекту, например, человеку, в соответствии с известными способами, такими как, но не ограничиваясь внутривенным введением, например, в виде болюса или непрерывной инфузии в течение некоторого периода времени, внутримышечным, интраперitoneальным, внутриспинномозговым, под кожным, внутрисуставным, внутрисиновиальным, интратекальным, пероральным, топическим или ингаляционным путями. Антитела можно вводить парентерально, когда это возможно, в область целевой клетки, или внутривенно. В одном варианте реализации введение антитела или антител субъекту осуществляют внутривенным путем. В другом варианте реализации введение антитела или антител субъекту осуществляют под кожным путем. В дополнительных вариантах реализации фармацевтические композиции согласно настоящему изобретению вводят субъекту системно, парентерально или местно.

[0174] В некоторых вариантах реализации в настоящем изобретении предложен способ лечения ВИЧ-инфекции, включающий введение нуждающемуся в этом человеку терапевтически эффективного количества антитела или антител, описанных в данной заявке. В некоторых вариантах реализации в настоящем изобретении предложен способ предотвращения ВИЧ-инфекции, включающий введение нуждающемуся в этом человеку терапевтически эффективного количества антитела или антител, описанных в данной заявке.

Комбинированная терапия.

[0175] В некоторых вариантах реализации в настоящем изобретении предложен способ лечения (например, включая длительное или продолжительное подавление) или предотвращения ВИЧ-инфекции у субъекта-человека, у которого есть ВИЧ-инфекция или риск ее развития. Способ включает введение субъекту-человеку терапевтически эффективного количества антитела или антител, описанных в данной заявке, или их фармацевтической композиции, в комбинации с терапевтически эффективным количеством одного или более (например, одного, двух, трех, одного или двух, или от одного до трех) дополнительных терапевтических агентов. В некоторых вариантах реализации антитело или его антигенсвязывающий фрагмент содержит области CDR VH и области CDR VL, имеющие последовательности, представленные в SEQ ID NO: 137, 138, 139, 140, 141 и 142, соответственно. В некоторых вариантах реализации антитело или его антигенсвязывающий фрагмент содержит области CDR VH и области CDR VL, имеющие последовательности, представленные в SEQ ID NO: 137, 138, 139, 140, 141 и 142, соответственно, и содержит VH, которая по меньшей мере на 80%, по меньшей мере на 85%, по меньшей мере на 90%, по меньшей мере на 91%, по меньшей мере на 92%, по меньшей мере на 93%, по меньшей мере на 94%, по меньшей мере на 95%, по меньшей мере на 96%, по меньшей мере на 97%, по меньшей мере на 98%, по меньшей мере на 99%, например, на 100%, идентична последовательности аминокислот, представленной в SEQ ID NO: 477, и VL, которая по меньшей мере на 80%, по меньшей мере на 85%, по меньшей мере на 90%, по меньшей мере на 91%, по меньшей мере на 92%, по меньшей мере на 93%, по меньшей мере на 94%, по меньшей мере на 95%, по меньшей мере на 96%, по меньшей мере на 97%, по меньшей мере на 98%, по меньшей мере на 99%, например, на 100%, идентична последовательности аминокислот, представленной в SEQ ID NO: 278. В некоторых вариантах реализации антитело или его

антигенсвязывающий фрагмент содержит последовательность VH, представленную в SEQ ID NO: 477, и последовательность VL, представленную в SEQ ID NO: 278. В некоторых вариантах реализации антитело или его антigenсвязывающий фрагмент содержит области CDR VH и области CDR VL, имеющие последовательности, представленные в SEQ ID NO: 137, 138, 139, 140, 141 и 142, соответственно, и содержит тяжелую цепь, которая по меньшей мере на 80%, по меньшей мере на 85%, по меньшей мере на 90%, по меньшей мере на 91%, по меньшей мере на 92%, по меньшей мере на 93%, по меньшей мере на 94%, по меньшей мере на 95%, по меньшей мере на 96%, по меньшей мере на 97%, по меньшей мере на 98%, по меньшей мере на 99%, например, на 100%, идентична последовательности аминокислот, представленной в SEQ ID NO: 529, и легкую цепь, которая по меньшей мере на 80%, по меньшей мере на 85%, по меньшей мере на 90%, по меньшей мере на 91%, по меньшей мере на 92%, по меньшей мере на 93%, по меньшей мере на 94%, по меньшей мере на 95%, по меньшей мере на 96%, по меньшей мере на 97%, по меньшей мере на 98%, по меньшей мере на 99%, например, на 100%, идентична последовательности аминокислот, представленной в SEQ ID NO: 103. В некоторых вариантах реализации антитело или его антigenсвязывающий фрагмент содержит последовательность тяжелой цепи, представленную в SEQ ID NO: 529, и последовательность легкой цепи, представленную в SEQ ID NO: 103. В одном варианте реализации предложен способ лечения ВИЧ-инфекции у субъекта-человека с инфекцией или риском развития инфекции, указанный способ включает введение субъекту-человеку терапевтически эффективного количества антитела или антител, описанных в данной заявке, или их фармацевтически приемлемой соли в комбинации с терапевтически эффективным количеством одного или более (например, одного, двух, трех, одного или двух, или от одного до трех) дополнительных терапевтических агентов. В некоторых вариантах реализации после одного или более введений антитела или его антigenсвязывающих фрагментов, необязательно с одним или более дополнительными терапевтическими агентами, субъект не проявляет симптомы ВИЧ или СПИД в отсутствие антиретровирусной терапии (АРТ) в течение по меньшей мере 6 месяцев, по меньшей мере 1 года, по меньшей мере 2 лет, по меньшей мере 3 лет или более. В некоторых вариантах реализации после одного или более введений связывающей молекулы, у субъекта вирусная нагрузка в копиях/мл крови составляет менее 500, например, менее 400, менее 300, менее 200, менее 100, менее 50 в отсутствие антиретровирусной терапии (АРТ) в

течение по меньшей мере 6 месяцев, по меньшей мере 1 года, по меньшей мере 2 лет, по меньшей мере 3 лет или более.

[0176] Множество клинических исследований на данный момент показали, что лечение инфицированных ВИЧ индивидов отдельно нейтрализующими антителами широкого спектра действия (bNAb) приводит к временному подавлению чувствительных вирусов с последующим быстрым размножением устойчивых вирусов, множество из которых оказались редкими предсуществующими вариантами вируса.

[0177] Ранее было показано, что антитело А и антитело В нейтрализуют 96% из 118 вирусов из разных клад, что исследовали *in vitro* (Scheid и др., Science, 333: 1633-1637 (2011)). Клинические исследования показали, что у множества инфицированных ВИЧ пациентов, которые получают лечение антителом, выявляли редкие и предсуществующие устойчивые клонсы, даже если их изоляты ВИЧ из плазмы оказались чувствительными к антителу (Caskey и др., Nature, 522:487-491 (2016); Scheid и др., Nature, 535:556-560 (2016)). Данные результаты привели к предположению, что антитело А может быть широкого действия, когда его исследуют против изолятов ВИЧ, собранных из различных пациентов (ширина у разных пациентов), но несмотря на это, оно не может нейтрализовать 100% изолятов вируса внутри одного пациента (ширина у одного пациента).

[0178] Антитело, известное как 10-1074, часть линии PGT121, и полученное из того же донора и с аналогичной шириной нейтрализации, также исследовали в клинических испытаниях (Mouquet и др., PNAS, 109:E3268-3277 (2012); Caskey и др., Nature Medicine, 23:185-191 (2017)). Изначально показали, что 10-1074 нейтрализует приблизительно 66% из 60 исследованных вирусов с IC50 ниже 50 мкг/мл (Mouquet и др., PNAS (выше)). Испытания 10-1074 показали, что у множества пациентов, получивших терапию 10-1074, присутствовали устойчивые клонсы, даже когда изоляты ВИЧ из плазмы оказались чувствительными к указанному антителу (Caskey и др. Nature Medicine (выше)). Данный результат указывает на то, что у большинства пациентов могут присутствовать редкие предсуществующие варианты вируса, которые устойчивы к 10-1074. У данных устойчивых к 10-1074 вариантов выявили сопоставимую устойчивость разных клад к PGT121, что согласуется с близким эволюционным родством между 10-1074 и PGT121. Тем не менее, почти все из устойчивых вирусов, выделенных во время клинического испытания 10-1074, были чувствительны к нейтрализации антителом

А (Caskey и др. (выше)). Данный результат указывает на то, что комбинированная терапия антителами с применением комплементарных bNAb может позволить более полный охват вирусов одного пациента.

**[0179]** Применяя комбинации bNAb, можно добиться полного охвата вирусов одного пациента. В некоторых вариантах реализации комбинированная терапия включает антитело, содержащее такие же CDR, VH, VL, VH и VL, тяжелую, легкую, или тяжелую и легкую цепи любого из антител, описанных в данной заявке, и другое антитело bNAb против ВИЧ (т.е., нейтрализующее антитело, которое нейтрализует множество штаммов вируса ВИЧ-1). Различные bNAb известны в данной области, и их можно применять в настоящем изобретении. Примеры включают, но не ограничены антителами, описанными в патенте США № 8673307, 9493549, 9783594, WO2014/063059, WO2012/158948, WO2015/117008, и PCT/US2015/41272 и WO2017/096221, включая антитела 12A12, 12A21, NIH45-46, bANC131, 8ANC134, IB2530, INC9, 8ANC195, 8ANC196, 10-259, 10-303, 10-410, 10- 847, 10-996, 10-1074, 10-1121, 10-1130, 10-1146, 10-1341, 10-1369 и 10-1074GM. Дополнительные примеры включают антитела, описанные в Klein и др., *Nature*, 492(7427): 118-22 (2012), Horwitz и др., *Proc Natl Acad Sci U S A*, 110(41): 16538-43 (2013), Scheid и др., *Science*, 333 : 1633-1637 (2011), Scheid и др., *Nature*, 458:636-640 (2009), Eroshkin и др., *Nucleic Acids Res.*, 42 (номер в базе данных): D1 133-9 (2014), Mascola и др., *Immunol Rev.*, 254(I):225-44 (2013), такие как 2F5, 4E10, M66.6, CAP206-CH12, 10E81 (все из которых связывают MPER из gp41); PG9, PG16, CH01-04 (все из которых связывают V1V2-гликан), 2G12 (которое связывается с гликаном внешнего домена); b12, HJ16, CH103-106, VRC01-03, VRC-PG04, 04b, VRC-CH30-34, 3BNC62, 3BNC89, 3BNC91, 3BNC95, 3BNC104, 3BNC176 и 8ANC131 (все из которых связываются с сайтом связывания CD4).

**[0180]** В некоторых вариантах реализации антитела или их антигенсвязывающие фрагменты, описанные в данной заявке, комбинируют или вводят совместно со вторым антителом или его антигенсвязывающим фрагментом (например, вторым неконкурирующим нейтрализующим антителом широкого спектра действия (bNAb)), которое связывается с эпитопом или участком gp120, выбранным из группы, состоящей из: (i) третьей вариабельной петли (V3) и/или области с высоким содержанием маннозы, содержащей гликан олигоманнозного типа в положении N332; (ii) второй вариабельной петли (V2) и/или верхушки тримера Env; (iii) стыка gp120 и gp41 или (iv) безмолвной поверхности gp120. Описанные

выше эпитопы или области gp120, которые связывают нейтрализующие антитела широкого спектра действия, описаны, например, в McCoy, *Retrovirology* (2018) 15:70; Sok и Burton, *Nat Immunol.* 2018 19(11):1179-1188; Possas и др., *Expert Opin Ther Pat.* Июль 2018 г.; 28(7):551-560; и Stephenson и Barouch, *Curr HIV/AIDS Rep* (2016) 13:31–37, которые настоящим полностью включены в данную заявку посредством ссылки во всех отношениях.

**[0181]** В некоторых вариантах реализации антитела или их антигенсвязывающие фрагменты, описанные в данной заявке, комбинируют или вводят совместно со вторым антителом или его антигенсвязывающим фрагментом (например, вторым неконкурирующим нейтрализующим антителом широкого спектра действия (bNAb)), которое связывается с эпитопом или участком gp120 в третьей вариабельной петле (V3) и/или области с высоким содержанием маннозы, содержащей гликан олигоманнозного типа в положении N332, и содержит области VH и VL из антитела, выбранного из группы, состоящей из GS-9722, PGT-121.60, PGT-121.66, PGT-121, PGT-122, PGT-123, PGT-124, PGT-125, PGT-126, PGT-128, PGT-130, PGT-133, PGT-134, PGT-135, PGT-136, PGT-137, PGT-138, PGT-139, 10-1074, VRC24, 2G12, BG18, 354BG8, 354BG18, 354BG42, 354BG33, 354BG129, 354BG188, 354BG411, 354BG426, DH270.1, DH270.6, PGDM12, VRC41.01, PGDM21, PCDN-33A, BF520.1 и VRC29.03, или конкурирует с ними. Дополнительные нейтрализующие антитела широкого спектра действия, которые связываются с gp120 в третьей вариабельной петле (V3) и/или области с высоким содержанием маннозы, содержащей гликан олигоманнозного типа в положении N332, и которые можно применять в качестве второго антитела или его антигенсвязывающего фрагмента, описаны, например, в WO 2012/030904; WO 2014/063059; WO 2016/149698; WO 2017/106346; WO 2018/075564, WO 2018/125813 и WO 2018/237148, содержания которых настоящим полностью включены в данную заявку посредством ссылки во всех отношениях.

**[0182]** В некоторых вариантах реализации комбинированная терапия включает антитело, содержащее такие же CDR, VH, VL, VH и VL, тяжелую, легкую или тяжелую и легкую цепи, как и любое из антител, описанных в данной заявке, и другое антитело против ВИЧ (например, GS-9722, PGT-121.60, PGT-121.66, PGT-121, PGT-122, PGT-123, PGT-124, PGT-133 или PGT-134), содержащее такие же CDR, VH, VL, VH и VL, тяжелую, легкую или тяжелую и легкую цепи, как и любое из антител из таблиц 1 и 2 в US2017/0190763A1. Данные улучшенные или

оптимизированные варианты PGT121 обладают улучшенными подобными лекарственным средствам свойствами, пониженной иммуногенностью, повышенной АЗКЦ и подходящими фармакокинетическими свойствами. Было показано, что такие антитела связываются с гликопротеином оболочки ВИЧ, экспрессированным на поверхности вириона или инфицированных клеток, и опосредуют как непосредственную нейтрализацию вируса, так и эффективное уничтожение данных клеток посредством NK, моноцитов и МКПК. Данное свойство позволяет антителам лечить ВИЧ-инфекции путем нейтрализации вируса, и также уничтожения и устраниния латентно инфицированных ВИЧ клеток у инфицированных индивидов, потенциально приводя к стерилизующему лечению ВИЧ.

**[0183]** В одном варианте реализации комбинированная терапия включает антитело, содержащее такие же CDR, VH, VL, VH и VL, тяжелую, легкую или тяжелую и легкую цепи, как и любое из антител, описанных в данной заявке, и антитело, содержащее такие же CDR, VH, VL, VH и VL, тяжелую, легкую или тяжелую и легкую цепи, как и антитело с указанными ниже последовательностями:

Тяжелая цепь (VH подчеркнута)	<u>QMQLQESGPGLVKPSETLSLTCSVSGASISDSYWSWIRRSPGKGLEWIGYVH</u> KSGDTNYNPSLKSrvHLSLDTSKNQVSLSTGVTAADSGKYYCARTLHGRRI <u>YGIVAFNEWFTYFYMDVWGTGTQVTVSSASTKGPSVFPLAPSSKSTSGGTA</u> ALGCLVKDYFPEPVTVWNNSGALTSGVHTFPAVLQSSGLYSLSSVVTPSSS LGTQTYICNVNHKPSNTKVDKKVEPKSCDKTHTCPCPAPELLAGPDVFLFPP KPKDTLMISRTPEVTCVVVDVSHEDPEVKFNWYVDGVEVHNAKTKPREEQY NSTYRVVSVLTVLHQDWLNGKEYKCKVSNKALPLPEEKTIASKAKGQPREPQV YTLPPSREEMTKNQVSLTCLVKGFYPSDIAVEWESNGQPENNYKTPPVLDSDGSFFLYSKLTVDKSRWQQGNVFSCSVLHEALHSHYTQKSLSLSPGK (SEQ ID NO: 443)
CDR1 тяжелой цепи, по Кабату	DSYWS (SEQ ID NO: 444)
CDR2 тяжелой цепи, по Кабату	YVHKSGDTNYNPSLKS (SEQ ID NO: 445)
CDR3 тяжелой цепи, по Кабату	TLHGRRIYGIVAFNEWFTYFYMDV (SEQ ID NO: 446)
Легкая цепь (VL подчеркнута)	<u>SDISVAPGETARISCGEKSLGSRAVQWYQHRAGQAPSIIYNNQDRPSGIPER</u> FSGSPDSRPGBTATLITTSVEAGDEADYYCHIWDSRVPTKWWFGGGTTLTVL GQPKAAPSVTLFPPSSEELQANKATLVCLISDFYPGAUTVAWKADSSPVKAG VETTTPSKQSNNKYAASSYSLTPEQWKSHRSYSCQVTHEGSTVEKTVAPTECS (SEQ ID NO: 447)
CDR1 легкой цепи, по Кабату	GEKSLGSRAVQ (SEQ ID NO: 448)

CDR2 легкой цепи, по Кабату	NNQDRPS (SEQ ID NO: 449)
CDR3 легкой цепи, по Кабату	HIWDSRVPTKWV (SEQ ID NO: 450)

**[0184]** В одном варианте реализации комбинированная терапия включает антитело, содержащее такие же CDR, VH, VL, VH и VL, тяжелую, легкую или тяжелую и легкую цепи, как и любое из антител, описанных в данной заявке, и антитело, содержащее такие же CDR, VH, VL, VH и VL, тяжелую, легкую или тяжелую и легкую цепи, как и другие дополнительные антитела против ВИЧ, такие как описанные в US2017/0190763. В некоторых вариантах реализации дополнительные антитела против ВИЧ включают антитело, содержащее VH (или тяжелой) и VL (или легкой) цепей, представленных ниже:

**[0185]** Тяжелая цепь (VH подчеркнута):

QMQLQESGPGLVKPSETLSLTCSVSGASISDSYWSWIRRSPGKGLEWIGYVHKSGDTNYNPSLK  
SRVHLSLDTSKNQVSLSLTGVTAADSGKYYCARTLHGRRIFYGIVAFNEWFTYFYMDVWGTGTQV  
TVSSASTKGPSVFPLAPSSKSTSGGTAALGCLVKDYFPEPVTVSWNSGALTSGVHTFPALQSS  
GLYSLSSVVTPSSLGTQTYICNVNHKPSNTKVDKKVEPKSCDKTHTCPCCPAPELLAGPDVF  
LFPPKPKDTLMISRTPEVTCVVVDVSCHEDPEVKFNWYVDGVEVHNAKTKPREEQYNSTYRVVSV  
LTVLHQDWLNGKEYKCKVSNKALPLPEEKTISKAKGQPREPQVYTLPPSREEMTKNQVSLTCLV  
KGFYPSDIAVEWESENQOPENNYKTPPVLDSDGSFFLYSKLTVDSRWWQQGNVFSCSVLHEALTH  
SHYTQKSLSLSPGK (SEQ ID NO: 454)

**[0186]** Легкая цепь (VL подчеркнута):

SDISVAPGETARISCGEKSLGSRAVQWYQHРАGQAPSЛИYNNQDRPSGIPERFSGSPD**Y**  
RPGBTATLTITSVEAGDEADYYCHIWDSRVPTKWVFGGGTTLTVLGQPKAAPSVTLFFPPS  
SEELQANKATLVCLISDFYPGAVTVAWKADSSPVKAGVETTPSKQSNNKYAASSYSLT  
PEQWKSHRSYSCQVTHEGSTVEKTVAPTECS (SEQ ID NO: 455)

**[0187]** В одном варианте реализации комбинированная терапия включает антитело, содержащее такие же CDR, VH, VL, VH и VL, тяжелую, легкую или тяжелую и легкую цепи, как и любое из антител, описанных в данной заявке, и антитело, содержащее такие же CDR, VH, VL, VH и VL, тяжелую, легкую или тяжелую и легкую цепи, как и другое антитело против ВИЧ, тяжелая цепь которого имеет последовательность аминокислот, представленную в SEQ ID NO: 40, и легкая цепь которого имеет последовательность аминокислот, представленную ниже:

**[0188]** Легкая цепь (VL подчеркнута):

SDISVAPGETARISCGEKSLGSRAVQWYQHРАGQAPSЛИYNNQDRPSGIPERFSGSPD**E**  
RPGBTATLTITSVEAGDEADYYCHIWDSRVPTKWVFGGGTTLTVLGQPKAAPSVTLFFPPS  
SEELQANKATLVCLISDFYPGAVTVAWKADSSPVKAGVETTPSKQSNNKYAASSYSLT

**[0189]** В одном варианте реализации комбинированная терапия включает антитело, содержащее такие же CDR, VH, VL, VH и VL, тяжелую, легкую или тяжелую и легкую цепи, как и любое из антител, описанных в данной заявке, и антитело, содержащее такие же CDR, VH, VL, VH и VL, тяжелую, легкую или тяжелую и легкую цепи, как и антитела, описанные ниже:

Обозначение клона	PGT121.42 hIgG1/h лямбда
Тяжелая цепь (VH подчеркнута)	<u>QMQLQESGPGLVKPSETSLTCSVSGASISDSYWSWIRRSPGKGLEWIGYVH</u> <u>KSGDTNYNPSLKSrvHLSLDTSKNQVSLSSVTAADSGKYCARTLHGRR</u> <u>YGIVAFNEWFTYFYMDVWGKTQVTVSSASTKGPSVFPLAPSSKSTSGGT</u> ALGCLVKDYFPEPVTVWSNSGALTSGVHTFPALQSSGLYSLSSVVTVPSSS LGTQTYICNVNKHPSNTKVDKKVEPKSCDKTHTCPPCPAPELLAGPDVFLFPP KPKDTLMISRTPEVTCVVVDVSHEDPEVFKFNWYVDGVEVHNAKTKPREEQY NSTYRVVSVLTVLHQDWLNGKEYKCKVSNKALPLPEEKTIASKAKGQPREPQV YTLPPSREEMTKNQVSLTCLVKGFYPSDIAVEWESNGQPENNYKTPPVLDSDGSFFLYSKLTVDKSRWQQGNVFSCSVLHEALHSHTQKSLSLSPGK (SEQ ID NO: 451)
CDR1 тяжелой цепи, по Кабату	DSYWS (SEQ ID NO: 444)
CDR2 тяжелой цепи, по Кабату	YVHKSGDTNYNPSLKS (SEQ ID NO: 445)
CDR3 тяжелой цепи, по Кабату	TLHGRR <sup>I</sup> YGIVAFNEWFTYFYMDV (SEQ ID NO: 446)
Легкая цепь (VL подчеркнута)	<u>SDISVAPGETARISCGEKSLGSRAVQWYQHRAGQAPSLIIYNQNDRPSGIPER</u> <u>FSGSPDSPFGTTATLTITSVEAGDEADYYCHIWDSRVPTKWVFGGGTTLTVL</u> GQPKAAPSVTLFPPSSEELQANKATLVCLISDFYPGAVTVAWKADSSPVKAG VETTTPSKQSNNKYAASSYSLTPEQWKSHRSYSCQVTHEGSTVEKTVAPTECS (SEQ ID NO: 452)
CDR1 легкой цепи, по Кабату	GEKSLGSRAVQ (SEQ ID NO: 448)
CDR2 легкой цепи, по Кабату	NNQDRPS (SEQ ID NO: 449)
CDR3 легкой цепи, по Кабату	HIWDSRVPTKWV (SEQ ID NO: 450)

**[0190]** В некоторых вариантах реализации антитела или их антигенсвязывающие фрагменты, описанные в данной заявке, комбинируют или вводят совместно со вторым антителом или его антигенсвязывающим фрагментом (например, вторым неконкурирующим нейтрализующим антителом широкого спектра действия (bNAb)), которое связывается с эпитопом или участком gp120 во второй вариабельной петле (V2) и/или верхушке тримера Env, и содержит области VH и VL из антитела, выбранного из группы, состоящей из PG9, PG16, PGC14, PGG14, PGT-142, PGT-143, PGT-144, PGT-145, CH01, CH59, PGDM1400, CAP256, CAP256-

VRC26.08, CAP256-VRC26.09, CAP256-VRC26.25, PCT64-24E и VRC38.01, или конкурирует с ними. Дополнительные нейтрализующие антитела широкого спектра действия, которые связываются с gp120 во второй вариабельной петле (V2) и/или верхушке тримера Env, и которые можно применять в качестве второго антитела или его антигенсвязывающего фрагмента, описаны, например, в WO 2010/107939; WO 2012/030904; WO 2018/075564 и WO 2018/125813, содержания которых настоящим полностью включены в данную заявку посредством ссылки во всех отношениях.

**[0191]** В некоторых вариантах реализации антитела или их антигенсвязывающие фрагменты, описанные в данной заявке, комбинируют или вводят совместно со вторым антителом или его антигенсвязывающим фрагментом (например, вторым неконкурирующим нейтрализующим антителом широкого спектра действия (bNAb)), которое связывается с эпитопом или участком gp120 на стыке gp120 и gp41, и содержит области VH и VL из антитела, выбранного из группы, состоящей из PGT-151, CAP248-2B, 35O22, 8ANC195, ACS202, VRC34 и VRC34.01, или конкурирует с ними. Дополнительные нейтрализующие антитела широкого спектра действия, которые связываются с gp120 на стыке gp120 и gp41 и которые можно применять в качестве второго антитела или его антигенсвязывающего фрагмента, описаны, например, в WO 2011/038290; WO 2012/030904 и WO2017/079479, содержания которых настоящим полностью включены в данную заявку посредством ссылки во всех отношениях.

**[0192]** В некоторых вариантах реализации антитела или их антигенсвязывающие фрагменты, описанные в данной заявке, комбинируют или вводят совместно со вторым антителом или его антигенсвязывающим фрагментом (например, вторым неконкурирующим нейтрализующим антителом широкого спектра действия (bNAb)), которое связывается с эпитопом или участком безмолвной поверхности gp120 и содержит области VH и VL из антитела, выбранного из группы, состоящей из VRC-PG05 и SF12, или конкурирует с ними. См., например, Schoofs и др., “Broad and Potent Neutralizing Antibodies Recognize the Silent Face of the HIV Envelope”, *Immunity* (2019) 14 мая. pii: S1074-7613(19)30194-3 (PMID 31126879).

**[0193]** В некоторых вариантах реализации антитела или их антигенсвязывающие фрагменты, описанные в данной заявке, комбинируют или вводят совместно со вторым антителом или его антигенсвязывающим фрагментом (например, вторым неконкурирующим нейтрализующим антителом широкого спектра действия

(bNAb)), которое связывается с эпитопом или участком gp41 в окломембранном регионе (MPER). Дополнительные нейтрализующие антитела широкого спектра действия, которые связываются с gp41 в MPER и которые можно применять в качестве второго антитела или его антигенсвязывающего фрагмента, описаны, например, в WO 2011/034582; WO 2011/038290; WO 2011/046623 и WO 2013/070776, содержания которых настоящим полностью включены в данную заявку посредством ссылки во всех отношениях.

**[0194]** В некоторых вариантах реализации антитела или их антигенсвязывающие фрагменты, описанные в данной заявке, комбинируют или вводят совместно со вторым антителом или его антигенсвязывающим фрагментом (например, вторым неконкурирующим нейтрализующим антителом широкого спектра действия (bNAb)), которое связывается с эпитопом или участком gp41 в окломембранном регионе (MPER) и содержит области VH и VL из антитела, выбранного из группы, состоящей из 10E8, 10E8v4, 10E8-5R-100cF, 4E10, DH511.11P, 2F5, 7b2 и LN01, или конкурирует с ними.

**[0195]** В некоторых вариантах реализации антитела или их антигенсвязывающие фрагменты, описанные в данной заявке, комбинируют или вводят совместно со вторым антителом или его антигенсвязывающим фрагментом (например, вторым неконкурирующим нейтрализующим антителом широкого спектра действия (bNAb)), которое связывается с эпитопом или участком пептида слияния gp41 и содержит области VH и VL из антитела, выбранного из группы, состоящей из VRC34 и ACS202, или конкурирует с ними.

**[0196]** Дополнительные нейтрализующие антитела широкого спектра действия, которые можно применять в качестве второго терапевтического агента в комбинированной терапии, описаны, например, в патентах США № 8673307; 9493549; 9783594; и WO 2012/154312; WO2012/158948; WO 2013/086533; WO 2013/142324; WO2014/063059; WO 2014/089152, WO 2015/048462; WO 2015/103549; WO 2015/117008; WO2016/014484; WO 2016/154003; WO 2016/196975; WO 2016/149710; WO2017/096221; WO 2017/133639; WO 2017/133640, содержания которых настоящим полностью включены в данную заявку посредством ссылки во всех отношениях. Дополнительные примеры включают антитела, описанные в Sajadi и др., Cell. (2018) 173(7):1783-1795; Sajadi и др., J Infect Dis. (2016) 213(1):156-64; Klein и др., Nature, 492(7427): 118-22 (2012), Horwitz и др., Proc Natl Acad Sci U S A, 110(41): 16538-43 (2013), Scheid и др.,

Science, 333 : 1633-1637 (2011), Scheid и др., Nature, 458:636-640 (2009), Eroshkin и др., Nucleic Acids Res., 42 (номер в базе данных):D1 133-9 (2014), Mascola и др., Immunol Rev., 254(1):225-44 (2013), такие как 2F5, 4E10, M66.6, CAP206-CH12, 10E8, 10E8v4, 10E8-5R-100cF, DH511.11P, 7b2 и LN01 (все из которых связывают MPER из gp41); PG9, PG16, CH01-04 (все из которых связывают V1V2-гликан), 2G12 (которое связывается с гликаном внешнего домена), содержания которых настоящим полностью включены в данную заявку посредством ссылки во всех отношениях.

**[0197]** Типичные последовательности аминокислот VH и VL антитела против gp120 согласно настоящему изобретению, которые применяют в комбинированной терапии, включают последовательности, представленные в SEQ ID NO: 182 и 275, соответственно; SEQ ID NO: 182 и 278, соответственно; SEQ ID NO: 182 и 279, соответственно; SEQ ID NO: 182 и 280, соответственно; SEQ ID NO: 182 и 281, соответственно; SEQ ID NO: 182 и 282, соответственно; SEQ ID NO: 182 и 292, соответственно; SEQ ID NO: 182 и 304, соответственно; SEQ ID NO: 182 и 307, соответственно; SEQ ID NO: 182 и 309, соответственно; SEQ ID NO: 182 и 310, соответственно; SEQ ID NO: 220 и 310, соответственно; SEQ ID NO: 477 и 223, соответственно; SEQ ID NO: 477 и 278, соответственно; SEQ ID NO: 477 и 292, соответственно; и SEQ ID NO: 220 и 311, соответственно. В некоторых вариантах реализации последовательности аминокислот VH и VL антитела против gp120, применяемого в комбинированной терапии, представляют собой последовательности, представленные в SEQ ID NO: 477 и 278, соответственно. В некоторых вариантах реализации плечо биспецифического антитела, которое связывается с gp120, содержит последовательность аминокислот тяжелой цепи антитела против gp120, описанного в данной заявке. В некоторых вариантах реализации плечо биспецифического антитела, которое связывается с gp120, содержит последовательность аминокислот легкой цепи антитела против gp120, описанного в данной заявке. Типичные последовательности тяжелой цепи и легкой цепи антитела против gp120 согласно настоящему изобретению, которые применяют в комбинированной терапии, включают последовательности, представленные в SEQ ID NO: 2 и 49, соответственно; SEQ ID NO: 2 и 100, соответственно; SEQ ID NO: 42 и 101, соответственно; SEQ ID NO: 2 и 103, соответственно; SEQ ID NO: 2 и 104, соответственно; SEQ ID NO: 2 и 105, соответственно; SEQ ID NO: 2 и 106, соответственно; SEQ ID NO: 2 и 107,

соответственно; SEQ ID NO: 2 и 117, соответственно; SEQ ID NO: 2 и 129, соответственно; SEQ ID NO: 2 и 132, соответственно; SEQ ID NO: 2 и 134, соответственно; SEQ ID NO: 2 и 569, соответственно; SEQ ID NO: 42 и 135, соответственно; SEQ ID NO: 529 и 49, соответственно; SEQ ID NO: 529 и 103, соответственно; SEQ ID NO: 529 и 117, соответственно; и SEQ ID NO: 42 и 136, соответственно. В некоторых вариантах реализации последовательности тяжелой цепи и легкой цепи антитела против gp120, применяемых в комбинированной терапии, представляют собой последовательности, представленные в SEQ ID NO: 529 и 103, соответственно.

**[0198]** В одном варианте реализации предложены фармацевтические композиции, содержащие антитело, описанное в данной заявке, или его фармацевтическую композицию, в комбинации с одним или более (например, одним, двумя, тремя, одним или двумя, или от одного о трех) дополнительными терапевтическими агентами, и фармацевтически приемлемый носитель, разбавитель или вспомогательное вещество.

**[0199]** В некоторых вариантах реализации в настоящем изобретении предложен способ лечения ВИЧ-инфекции, включающий введение нуждающемуся в этом пациенту терапевтически эффективного количества антитела, описанного в данной заявке, или его фармацевтической композиции, в комбинации с терапевтически эффективным количеством одного или более дополнительных терапевтических агентов, которые подходят для лечения ВИЧ-инфекции.

**[0200]** В некоторых вариантах реализации антитело, описанное в данной заявке, или его фармацевтическую композицию комбинируют с одним, двумя, тремя, четырьмя или более дополнительными терапевтическими агентами. В некоторых вариантах реализации антитело, описанное в данной заявке, или его фармацевтическую композицию комбинируют с двумя дополнительными терапевтическими агентами. В других вариантах реализации антитело, описанное в данной заявке, или его фармацевтическую композицию комбинируют с тремя дополнительными терапевтическими агентами. В дополнительных вариантах реализации антитело, описанное в данной заявке, или его фармацевтическую композицию комбинируют с четырьмя дополнительными терапевтическими агентами. Указанные один, два, три, четыре или более дополнительных терапевтических агентов могут представлять собой различные терапевтические

агенты, выбранные из одного класса терапевтических агентов, и/или их можно выбрать из различных классов терапевтических агентов.

**[0201]** В некоторых вариантах реализации антитело, описанное в данной заявке, вводят с одним или более дополнительными терапевтическими агентами. Совместное введение антитела, описанного в данной заявке, с одним или более дополнительными терапевтическими агентами, как правило, относится к одновременному или последовательному введению соединения, описанного в данной заявке, и одного или более дополнительных терапевтических агентов, так что терапевтически эффективные количества антитела, описанного в данной заявке, и одного или более дополнительных терапевтических агентов одновременно присутствуют в организме пациента. При последовательном введении, комбинацию можно вводить двумя или более введениями.

**[0202]** Совместное введение включает введение разовых дозировок антител, описанных в данной заявке, до или после введения разовых дозировок одного или более дополнительных терапевтических агентов. Например, антитело, описанное в данной заявке, можно вводить в течение секунд, минут или часов с момента введения одного или более дополнительных терапевтических агентов. В некоторых вариантах реализации разовую дозу антитела, описанного в данной заявке, вводят первой, с последующим введением в течение секунд или минут разовой дозы одного или более дополнительных терапевтических агентов. В качестве альтернативы, разовую дозу одного или более дополнительных терапевтических агентов вводят первой, с последующим введением разовой дозы антитела, описанного в данной заявке, в течение секунд или минут. В других вариантах реализации разовую дозу антитела, описанного в данной заявке, вводят первой, с последующим введением, через несколько часов (например, 1 - 12 часов), разовой дозы одного или более дополнительных терапевтических агентов. В других дополнительных вариантах реализации разовую дозу одного или более дополнительных терапевтических агентов вводят первой, с последующим введением, через несколько часов (например, 1 - 12 часов), разовой дозы антитела, описанного в данной заявке.

**[0203]** В некоторых вариантах реализации антитело, описанное в данной заявке, комбинируют с одним или более дополнительными терапевтическими агентами в единой лекарственной форме для одновременного введения пациенту, например, в виде твердой лекарственной формы для перорального введения.

**[0204]** В некоторых вариантах реализации антитело согласно настоящему изобретению включают в состав в виде жидкости, которая необязательно может содержать дополнительный(-ые) терапевтический(-е) агент(ы), пригодный(-е) для лечения ВИЧ. В некоторых вариантах реализации указанная жидкость может содержать другой активный ингредиент для лечения ВИЧ, такой как другое антитело против ВИЧ или его антигенсвязывающий фрагмент, ингибитор протеаз ВИЧ, ненуклеозидный или ненуклеотидный ингибитор обратной транскриптазы ВИЧ, нуклеозидный или нуклеотидный ингибитор обратной транскриптазы ВИЧ, ингибитор интегразы ВИЧ, ингибитор некаталитического участка интегразы ВИЧ (или аллостерический ингибитор), фармакокинетический энхансер и их комбинации.

**[0205]** В некоторых вариантах реализации дополнительный терапевтический агент представляет собой обращающий латентность агент (LRA), например, агонист Toll-подобного рецептора (TLR), например, агонист TLR1 (№ гена в NCBI: 7096), TLR2 (№ гена в NCBI: 7097), TLR3 (№ гена в NCBI: 7098), TLR4 (№ гена в NCBI: 7099), TLR5 (№ гена в NCBI: 7100), TLR6 (№ гена в NCBI: 10333), TLR7 (№ гена в NCBI: 51284), TLR8 (№ гена в NCBI: 51311), TLR9 (№ гена в NCBI: 54106) и/или TLR10 (№ гена в NCBI: 81793). В некоторых вариантах реализации LRA представляет собой агонист TLR7. В других вариантах реализации дополнительный терапевтический агент представляет собой обращающий латентность агент (LRA), например, агонист TLR8. Примеры агонистов TLR включают, но не ограничены весатолимодом. Дополнительные примеры включают, но не ограничены соединениями, описанными в патенте США № 8367670, и соединениями, описанными в публикации заявки на патент США № 2016/0289229. В одном варианте реализации антитело согласно настоящему изобретению можно комбинировать с агонистом TLR7, таким как весатолимод. В другом варианте реализации антитело согласно настоящему изобретению можно комбинировать с агонистом TLR8, например, GS-9688. В одном варианте реализации дополнительный терапевтический агент представляет собой модулятор TLR. Модуляторы TLR могут включать модуляторы TLR1, TLR2, TLR3, TLR4, TLR5, TLR6, TLR7, TLR8, TLR9, TLR10, TLR11, TLR12 и TLR13. Примеры модуляторов TLR3 включают ринтатолимод, поли-ICLC, RIBOXXON®, Aroxxim, RIBOXXIM®, IPH-33, MCT-465, MCT-475 и ND-1.1. Типичные модуляторы TLR7 включают GS-9620, GSK-2245035, имихимод, резиквимод, DSR-6434, DSP-3025,

IMO-4200, MCT-465, MEDI-9197, 3M-051, SB-9922, 3M-052, лимтоп (Limtop), TMX-30X, TMX-202, RG-7863, RG-7795 и соединения, описанные в US20100143301 (Gilead Sciences), US20110098248 (Gilead Sciences) и US20090047249 (Gilead Sciences). Типичные модуляторы TLR8 включают GS-9688, мотолимод, резиквимод, 3M-051, 3M-052, MCT-465, IMO-4200, VTX-763, VTX-1463 и соединения, описанные в US20140045849 (Janssen), US20140073642 (Janssen), WO2014/056953 (Janssen), WO2014/076221 (Janssen), WO2014/128189 (Janssen), US20140350031 (Janssen), WO2014/023813 (Janssen), US20080234251 (Array Biopharma), US20080306050 (Array Biopharma), US20100029585 (Ventrix Pharma), US20110092485 (Ventrix Pharma), US20110118235 (Ventrix Pharma), US20120082658 (Ventrix Pharma), US20120219615 (Ventrix Pharma), US20140066432 (Ventrix Pharma), US20140088085 (Ventrix Pharma), US20140275167 (Novira Therapeutics) и US20130251673 (Novira Therapeutics). Типичные модуляторы TLR9 включают BB-001, BB-006, CYT-003, IMO-2055, IMO-2125, IMO-3100, IMO-8400, IR-103, IMO-9200, агатолимод, DIMS-9054, DV-1079, DV-1179, AZD-1419, лефтолимод (MGN-1703), литенимод и CYT-003-QbG10.

**[0206]** В некоторых вариантах реализации дополнительный терапевтический агент представляет собой агонист геликазы 58 с DExD/H-боксом (DDX58; также известной как RIG-I, RIG1, RIGI, RLR-1, SGMRT2; № гена в NCBI: 23586). Типичный агонист RIG-I представляет собой KIN1148, описанный в Hemann и др., *J Immunol*, 1 мая 2016 г., 196 (приложение 1) 76.1. Дополнительные агонисты RIG-I описаны, например, в Elion и др., *Cancer Res.* (2018) 78(21):6183-6195; и Liu и др., *J Virol.* (2016) 90(20):9406-19. Агонисты RIG-I доступны для приобретения, например, у Invivogen ([invivogen.com](http://invivogen.com)).

**[0207]** В некоторых вариантах реализации такие составы подходят для введения раз в день.

**[0208]** В некоторых вариантах реализации дополнительный терапевтический агент может представлять собой агент против ВИЧ. В некоторых случаях дополнительный терапевтический агент может представлять собой ингибиторы протеазы ВИЧ, ненуклеозидные или ненуклеотидные ингибиторы обратной транскриптазы ВИЧ, нуклеозидные или нуклеотидные ингибиторы обратной транскриптазы ВИЧ, ингибиторы интегразы ВИЧ, ингибиторы некаталитического участка интегразы ВИЧ (или аллостерические ингибиторы), ингибиторы

проникновения ВИЧ, ингибиторы созревания ВИЧ, ингибиторы капсида ВИЧ, ингибиторы Tat или Rev ВИЧ, иммуномодуляторы (например, иммуностимуляторы), иммунотерапевтические агенты, конъюгаты антител с лекарственными средствами, модификаторы генов, средства редактирования генов (такие как CRISPR/Cas9, нуклеазы с цинковыми пальцами, хоминг-нуклеазы, синтетические нуклеазы, TALEN), клеточную терапию (такую как терапия Т-клетками с химерным антигенным рецептором, CAR-T, и Т-клетками со сконструированными Т-клеточными рецепторами, TCR-T, терапия аутологичными Т-клетками), обращающие латентность агенты, соединения, которые нацелены на капсид ВИЧ, иммунологические методы лечения, ингибиторы фосфатидилинозитол-3-киназы (Р1ЗК), антитела против ВИЧ, биспецифические антитела и “подобные антителам” терапевтические белки, ингибиторы матриксного белка p17 ВИЧ, антагонисты IL-13, модуляторы пептидил-пролил-цис-транс-изомеразы А, ингибиторы протеиндисульфидизомеразы, антагонисты рецептора C5a комплемента, ингибитор ДНК-метилтрансферазы, модуляторы гена vif ВИЧ, антагонисты димеризации Vif, ингибиторы фактора инфекционности вируса ВИЧ-1, ингибиторы белка ТАТ, модуляторы Nef ВИЧ-1, модуляторы тирозинкиназы Нск, ингибиторы киназы 3 смешанной линии дифференцировки (MLK-3), ингибиторы сплайсинга ВИЧ-1, ингибиторы белка Rev, антагонисты интегрина, ингибиторы нуклеопротеина, модуляторы фактора сплайсинга, модуляторы белка 1, содержащего домен СОММ, ингибиторы рибонуклеазы Н ВИЧ, модуляторы ретроциклина, ингибиторы CDK-9, ингибиторы специфичного для дендритных клеток захватывающего ICAM-3 неинтегрина 1, ингибиторы белка GAG ВИЧ, ингибиторы белка POL ВИЧ, модуляторы фактора Н комплемента, ингибиторы убиквитинлигазы, ингибиторы дезоксицитидинкиназы, ингибиторы циклин-зависимых киназ, стимуляторы пропротеинконвертазы PC9, ингибиторы АТР-зависимой РНК-геликазы DDX3X, ингибиторы инициирующего комплекса обратной транскриптазы, ингибиторы G6PD и NADH-оксидазы, средства, улучшающие фармакокинетику, генотерапию ВИЧ, вакцины от ВИЧ и их комбинации.

**[0209]** В некоторых вариантах реализации дополнительный терапевтический агент выбран из группы, состоящей из комбинированных лекарственных средств от ВИЧ, других лекарственных средств для лечения ВИЧ, ингибиторов протеазы ВИЧ, ингибиторов обратной транскриптазы ВИЧ, ингибиторов интегразы ВИЧ,

ингибиторов некаталитического участка интегразы ВИЧ (или аллостерических ингибиторов), ингибиторов проникновения (слияния) ВИЧ, ингибиторов созревания ВИЧ, обращающих латентность агентов, ингибиторов капсида, иммунологических методов лечения, ингибиторов РІЗК, антител против ВИЧ, и биспецифических антител и “подобных антителам” терапевтических белков, и их комбинаций.

Комбинированные лекарственные средства.

**[0210]** В некоторых вариантах реализации антитела или антигенсвязывающие фрагменты, описанные в данной заявке, комбинируют с комбинированным лекарственным средством от ВИЧ. В некоторых вариантах реализации антитело или его антигенсвязывающий фрагмент содержит области CDR VH и области CDR VL, имеющие последовательности, представленные в SEQ ID NO: 137, 138, 139, 140, 141 и 142, соответственно. В некоторых вариантах реализации антитело или его антигенсвязывающий фрагмент содержит области CDR VH и области CDR VL, имеющие последовательности, представленные в SEQ ID NO: 137, 138, 139, 140, 141 и 142, соответственно, и содержит VH, которая по меньшей мере на 80%, по меньшей мере на 85%, по меньшей мере на 90%, по меньшей мере на 91%, по меньшей мере на 92%, по меньшей мере на 93%, по меньшей мере на 94%, по меньшей мере на 95%, по меньшей мере на 96%, по меньшей мере на 97%, по меньшей мере на 98%, по меньшей мере на 99%, например, на 100%, идентична последовательности аминокислот, представленной в SEQ ID NO: 477, и VL, которая по меньшей мере на 80%, по меньшей мере на 85%, по меньшей мере на 90%, по меньшей мере на 91%, по меньшей мере на 92%, по меньшей мере на 93%, по меньшей мере на 94%, по меньшей мере на 95%, по меньшей мере на 96%, по меньшей мере на 97%, по меньшей мере на 98%, по меньшей мере на 99%, например, на 100%, идентична последовательности аминокислот, представленной в SEQ ID NO: 278. В некоторых вариантах реализации антитело или его антигенсвязывающий фрагмент содержит последовательность VH, представленную в SEQ ID NO: 477, и последовательность VL, представленную в SEQ ID NO: 278. В некоторых вариантах реализации антитело или его антигенсвязывающий фрагмент содержит области CDR VH и области CDR VL, имеющие последовательности, представленные в SEQ ID NO: 137, 138, 139, 140, 141 и 142, соответственно, и содержит тяжелую цепь, которая по меньшей мере на 80%, по меньшей мере на 85%, по меньшей мере на 90%, по меньшей мере на 91%,

по меньшей мере на 92%, по меньшей мере на 93%, по меньшей мере на 94%, по меньшей мере на 95%, по меньшей мере на 96%, по меньшей мере на 97%, по меньшей мере на 98%, по меньшей мере на 99%, например, на 100%, идентична последовательности аминокислот, представленной в SEQ ID NO: 529, и легкую цепь, которая по меньшей мере на 80%, по меньшей мере на 85%, по меньшей мере на 90%, по меньшей мере на 91%, по меньшей мере на 92%, по меньшей мере на 93%, по меньшей мере на 94%, по меньшей мере на 95%, по меньшей мере на 96%, по меньшей мере на 97%, по меньшей мере на 98%, по меньшей мере на 99%, например, на 100%, идентична последовательности аминокислот, представленной в SEQ ID NO: 103. В некоторых вариантах реализации антитело или его антигенсвязывающий фрагмент содержит последовательность тяжелой цепи, представленную в SEQ ID NO: 529, и последовательность легкой цепи, представленную в SEQ ID NO: 103. Примеры комбинированных лекарственных средств, которые можно применять с антителом согласно настоящему изобретению, включают Атрипла® (эфавиренз, дизопроксилфумарат тенофовира и эмтрицитабин); Комплера® (Эвиплера®; рилпивирин, дизопроксилфумарат тенофовира и эмтрицитабин); Стрибильд® (элвитетравир, кобицистат, дизопроксилфумарат тенофовира и эмтрицитабин); Трувада® (дизопроксилфумарат тенофовира и эмтрицитабин; TDF+FTC); Дескови® (алафенамид тенофовира и эмтрицитабин); Одефсей® (алафенамид тенофовира, эмтрицитабин и рилпивирин); Дженвоя® (алафенамид тенофовира, эмтрицитабин, кобицистат и элвитетравир); дарунавир, полуфумарат алафенамида тенофовира, эмтрицитабин и кобицистат; эфавиренз, ламивудин и дизопроксилфумарат тенофовира; ламивудин и дизопроксилфумарат тенофовира; тенофовир и ламивудин; алафенамид тенофовира и эмтрицитабин; полуфумарат алафенамида тенофовира и эмтрицитабин; полуфумарат алафенамида тенофовира, эмтрицитабин и рилпивирин; полуфумарат алафенамида тенофовира, эмтрицитабин, кобицистат и элвитетравир; Комбивир® (зидовудин и ламивудин; AZT+3TC); Эпзиком® (Ливекса®; абакавира сульфат и ламивудин; ABC+3TC); Калетра® (Алувиа®; лопинавир и ритонавир); Триумек® (долутегравир, абакавир и ламивудин); Тризивир® (абакавира сульфат, зидовудин и ламивудин; ABC+AZT+3TC); атазанавир и кобицистат; сульфат атазанавира и кобицистат; сульфат атазанавира и ритонавир; дарунавир и кобицистат; долутегравир и рилпивирин; долутегравир и гидрохлорид рилпивирина; долутегравир, сульфат абакавира и ламивудин; ламивудин, невирапин и зидовудин; ралтегравир и

ламивудин; доравирин, ламивудин и дизопроксилфумарат тенофовира; доравирин, ламивудин и дизопроксил тенофовира; долутегравир + ламивудин, ламивудин + абакавир + зидовудин, ламивудин + абакавир, ламивудин + дизопроксилфумарат тенофовира, ламивудин + зидовудин + невирапин, лопинавир + ритонавир, лопинавир + ритонавир + абакавир + ламивудин, лопинавир + ритонавир + зидовудин + ламивудин, тенофовир + ламивудин и дизопроксилфумарат тенофовира + эмтрицитабин + гидрохлорид рилпивирина, лопинавир, ритонавир, зидовудин и ламивудин; Vacc-4x и ромидепсин; и APH-0812.

#### Другие лекарственные средства от ВИЧ.

**[0211]** Примеры других лекарственных средств для лечения ВИЧ, которые можно комбинировать с антителом согласно настоящему изобретению, включают ацеманнан, алиспоривир, BanLec, деферипрон, Гамимун, метенкефалин, налтрексон, Проластин, REP 9, RPI-MN, VSSP, H1viral, SB-728-T, 1,5-декафеоилхинную (dicaffeoylquinic) кислоту, rHIV7-sh1-TAR-CCR5RZ, генотерапию AAV-eCD4-Ig, генотерапию MazF, BlockAide, ABX-464, AG-1105, APH-0812, BIT-225, CYT-107, HGTV-43, HPH-116, HS-10234, IMO-3100, IND-02, MK-1376, MK-2048, MK-4250, MK-8507, MK-8591, NOV-205, PA-1050040 (PA-040), PGN-007, SCY-635, SB-9200, SCB-719, TR-452, TEV-90110, TEV-90112, TEV-90111, TEV-90113, RN-18, ImmuGlo и VIR-576.

#### Ингибиторы протеаз ВИЧ.

**[0212]** В некоторых вариантах реализации антитела или антигенсвязывающие фрагменты, описанные в данной заявке, комбинируют с ингибитором протеаз ВИЧ. Примеры ингибиторов протеаз ВИЧ, которые можно комбинировать с антителом согласно настоящему изобретению, включают ампренавир, атазанавир, бреканавир, дарунавир, фосампренавир, фосампренавир кальция, индинавир, сульфат индинавира, лопинавир, нелфинавир, мезилат нелфинавира, ритонавир, саквинавир, мезилат саквинавира, типранавир, DG-17, TMB-657 (PPL-100), T-169, BL-008, MK-8122, TMB-607 и TMC-310911.

#### Ингибиторы обратной транскриптазы ВИЧ.

**[0213]** В некоторых вариантах реализации антитела или антигенсвязывающие фрагменты, описанные в данной заявке, комбинируют с ненуклеозидным или ненуклеотидным ингибитором. Примеры ненуклеозидных или ненуклеотидных ингибиторов обратной транскриптазы ВИЧ, которые можно комбинировать с

антителом согласно настоящему изобретению, включают дапивирин, делавирдин, мезилат делавирдина, доравирина, эфавиренз, этравирина, лентинана, невирапина, рилпивирина, ACC-007, AIC-292, KM-023, PC-1005 и элсульфавирина (VM-1500).

[0214] В некоторых вариантах реализации антитела или антигенсвязывающие фрагменты, описанные в данной заявке, комбинируют с нуклеозидным или нуклеотидным ингибитором ВИЧ. Примеры нуклеозидных или нуклеотидных ингибиторов обратной транскриптазы ВИЧ, которые можно комбинировать с антителом согласно настоящему изобретению, включают адефовир, дипивоксил адефовира, азбудин, эмтрицитабин, тенофовир, алафенамид тенофовира, фумарат алафенамида тенофовира, полуфумарат алафенамида тенофовира, дизопроксил тенофовира, дизопроксилфумарат тенофовира, полуфумарат дизопроксила тенофовира, VIDEX® и VIDEX EC® (диданозин, ddI), абакавир, сульфат абакавира, аловудин, априцитабин, ценсавудин, диданозин, элвуцитабин, фестинавир, фосалвудина тидоксил, CMX-157, дапивирина, доравирина, этравирина, OCR-5753, оротат дизопроксила тенофовира, фозивудина тидоксил, ламивудин, фосфазид, ставудин, зальцитабин, зидовудин, эталафенамид ровафовира (GS-9131), GS-9148, MK-8504, MK-8591, MK-858, VM-2500 и KP-1461.

#### Ингибиторы интегразы ВИЧ

[0215] В некоторых вариантах реализации антитела или антигенсвязывающие фрагменты, описанные в данной заявке, комбинируют с ингибитором интегразы ВИЧ. Примеры ингибиторов интегразы ВИЧ, которые можно комбинировать с антителом согласно настоящему изобретению, включают элвитетравир, куркумин, производные куркумина, цикориевую кислоту, производные цикориевой кислоты, 3,5-декаффеоилхинную кислоту, производные 3,5-декаффеоилхинной кислоты, ауринтрикарбоновую кислоту, производные ауринтрикарбоновой кислоты, фенэтиловый сложный эфир кофеиновой кислоты, производные фенэтилового сложного эфира кофеиновой кислоты, тирфостин, производные тирфостина, кверцетин, производные кверцетина, ралтегравир, долутегравир, JTK-351, биктегравир, AVX-15567, каботегравир (длительного действия, инъецируемый), производные дикетохинолина-4-1, ингибитор интегразы-LEDGF, LEDGIN, M-522, M-532, NSC-310217, NSC-371056, NSC-48240, NSC-642710, NSC-699171, NSC-699172, NSC-699173, NSC-699174, стилбенедисульфоновую кислоту, T-169, VM-3500 и каботегравир.

[0216] В некоторых вариантах реализации антитела или антигенсвязывающие фрагменты, описанные в данной заявке, комбинируют с ингибитором некаталитического участка интегразы ВИЧ (или аллостерическим ингибитором) (NCINI). Примеры ингибиторов некаталитического участка интегразы ВИЧ (или аллостерических ингибиторов) (NCINI), которые можно комбинировать с антителом согласно настоящему изобретению, включают CX-05045, CX-05168 и CX-14442.

Ингибиторы проникновения ВИЧ.

[0217] В некоторых вариантах реализации антитела или антигенсвязывающие фрагменты, описанные в данной заявке, комбинируют с ингибитором проникновения ВИЧ. Примеры ингибиторов проникновения (слияния) ВИЧ, которые можно комбинировать с антителом согласно настоящему изобретению, включают ценикривирок, ингибиторы CCR5, ингибиторы gp41, ингибиторы присоединения CD4, ингибиторы gp120 и ингибиторы CXCR4.

[0218] В некоторых вариантах реализации антитела или антигенсвязывающие фрагменты, описанные в данной заявке, комбинируют с ингибитором CCR5. Примеры ингибиторов CCR5, которые можно комбинировать с антителом согласно настоящему изобретению, включают аплавирок, викривирок, маравирок, ценикривирок, лeronлимаб (PRO-140), адаптавир (RAP-101), нифевирок (TD-0232), биспецифические антитела против GP120/CD4 или CCR5, B-07, MB-66, полипептид C25P, TD-0680 и vMIP (хаймипу (Haimipu)).

[0219] В некоторых вариантах реализации антитела или антигенсвязывающие фрагменты, описанные в данной заявке, комбинируют с ингибитором gp41. Примеры ингибиторов gp41, которые можно комбинировать с антителом согласно настоящему изобретению, включают албувиртид, энфувиртид, BMS-986197, энфувиртид класса BioBetter, биоаналог энфувиртида, ингибиторы слияния ВИЧ-1 (P26-Bapc), ITV-1, ITV-2, ITV-3, ITV-4, тример PIE-12 и сифувиртид.

[0220] В некоторых вариантах реализации антитела или антигенсвязывающие фрагменты, описанные в данной заявке, комбинируют с ингибитором присоединения к CD4. Примеры ингибиторов присоединения к CD4, которые можно комбинировать с антителом согласно настоящему изобретению, включают ибализумаб и аналоги CADA.

[0221] В некоторых вариантах реализации антитела или антигенсвязывающие фрагменты, описанные в данной заявке, комбинируют с ингибитором gp120. Примеры ингибиторов gp120, которые можно комбинировать с антителом согласно настоящему изобретению, включают Radha-108 (рецептор), 3B3-PE38, BanLec, нанолекарство на основе бентонита, трометамин фостемсавира, IQP-0831 и BMS-663068

[0222] В некоторых вариантах реализации антитела или антигенсвязывающие фрагменты, описанные в данной заявке, комбинируют с ингибитором CXCR4. Примеры ингибиторов CXCR4, которые можно комбинировать с антителом согласно настоящему изобретению, включают плериксафор, ALT-1188, пептид N15 и vMIP (Haimipu).

[0223] В некоторых вариантах реализации антитела или антигенсвязывающие фрагменты, описанные в данной заявке, комбинируют с ингибитором созревания ВИЧ. Примеры ингибиторов созревания ВИЧ, которые можно комбинировать с антителом согласно настоящему изобретению, включают BMS-955176, GSK-3640254 и GSK-2838232.

#### Обращающие латентность агенты.

[0224] В некоторых вариантах реализации антитела или антигенсвязывающие фрагменты, описанные в данной заявке, комбинируют с обращающими латентность агентами (LRA). Примеры обращающих латентность агентов, которые можно комбинировать с антителом согласно настоящему изобретению, включают агонисты Toll-подобного рецептора (TLR) (включая агонисты TLR7, например, GS-9620 и агонисты TLR8, например, GS-9688), ингибиторы деацетилаз гистонов (HDAC), ингибиторы протеасомы, такие как велкейд, активаторы протеинкиназы С (PKC), ингибиторы Smyd2, ингибиторы BET-бромодомен-содержащего белка 4 (BRD4), иономицин, антагонисты IAP (ингибитор белков апоптоза, такие как APG-1387, LBW-242), миметики SMAC (включая TL32711, LCL161, GDC-0917, HGS1029, AT-406), PMA, SAHA (суберанилогидроксамовая кислота, или субериол, анилид и гидроксамовая кислота), NIZ-985, модулирующие IL-15 антитела (включая IL-15, слитые белки IL-15 и агонисты рецепторов IL-15, например, ALT-803), JQ1, дисульфирам, амфотерицин В и ингибиторы убиквитина, такие как аналоги ларгазола, APH-0812 и GSK-343. Примеры ингибиторов HDAC включают ромидепсин, вориностат и панобиностат. Примеры активаторов PKC включают индолактам, простратин, ингенол В и DAG-лактоны.

### Агонисты Toll-подобного рецептора (TLR).

[0225] В различных вариантах реализации антитела или антигенсвязывающие фрагменты, описанные в данной заявке, комбинируют с агонистом Toll-подобного рецептора (TLR), например, агонистом TLR1 (№ гена в NCBI: 7096), TLR2 (№ гена в NCBI: 7097), TLR3 (№ гена в NCBI: 7098), TLR4 (№ гена в NCBI: 7099), TLR5 (№ гена в NCBI: 7100), TLR6 (№ гена в NCBI: 10333), TLR7 (№ гена в NCBI: 51284), TLR8 (№ гена в NCBI: 51311), TLR9 (№ гена в NCBI: 54106), и/или TLR10 (№ гена в NCBI: 81793). Примеры агонистов TLR7, которые можно совместно вводить, включают, без ограничения: AL-034, DSP-0509, GS-9620 (весатолимод), LHC-165, TMX-101 (имихимод), GSK-2245035, резиквимод, DSR-6434, DSP-3025, IMO-4200, MCT-465, MEDI-9197, 3M-051, SB-9922, 3M-052, Лимтоп, TMX-30X, TMX-202, RG-7863, RG-7854, RG-7795 и соединения, описанные в US20100143301 (Gilead Sciences), US20110098248 (Gilead Sciences), и US20090047249 (Gilead Sciences), US20140045849 (Janssen), US20140073642 (Janssen), WO2014/056953 (Janssen), WO2014/076221 (Janssen), WO2014/128189 (Janssen), US20140350031 (Janssen), WO2014/023813 (Janssen), US20080234251 (Array Biopharma), US20080306050 (Array Biopharma), US20100029585 (Ventirx Pharma), US20110092485 (Ventirx Pharma), US20120082658 (Ventirx Pharma), US20140066432 (Ventirx Pharma), US20140275167 (Novira Therapeutics) и US20130251673 (Novira Therapeutics). Агонист TLR7/TLR8, который можно совместно вводить, представляет собой NKTR-262, телратолимод и BDB-001. Примеры агонистов TLR8, которые можно совместно вводить, включают, без ограничения: E-6887, IMO-4200, IMO-8400, IMO-9200, MCT-465, MEDI-9197, мотолимод, резиквимод, GS-9688, VTX-1463, VTX-763, 3M-051, 3M-052 и соединения, описанные в US20140045849 (Janssen), US20140073642 (Janssen), WO2014/056953 (Janssen), WO2014/076221 (Janssen), WO2014/128189 (Janssen), US20140350031 (Janssen), WO2014/023813 (Janssen), US20080234251 (Array Biopharma), US20100029585 (Ventirx Pharma), US20110092485 (Ventirx Pharma), US20120082658 (Ventirx Pharma), US20140066432 (Ventirx Pharma), US20140088085 (Ventirx Pharma), US20140275167 (Novira Therapeutics), и US20130251673 (Novira Therapeutics). Пример агонистов TLR9, которые можно

совместно вводить, включают, без ограничения: AST-008, кобитолимод, SMP-001, IMO-2055, IMO-2125, литенимод, MGN-1601, BB-001, BB-006, IMO-3100, IMO-8400, IR-103, IMO-9200, агатолимод, DIMS-9054, DV-1079, DV-1179, AZD-1419, лефитолимод (MGN-1703), CYT-003, CYT-003-QbG10, тилсотолимод и PUL-042. Примеры агониста TLR3 включают ринтатолимод, поли-ICLC, RIBOXXON®, Aroxim, RIBOXXIM®, IPH-33, MCT-465, MCT-475 и ND-1.1. Примеры агониста TLR4 включают G-100 и GSK-1795091.

Ингибиторы деацетилаз гистонов (HDAC).

**[0226]** В различных вариантах реализации антитела или антигенсвязывающие фрагменты, описанные в данной заявке, комбинируют с ингибитором деацетилаз гистонов, например, деацетилазы гистона 9 (HDAC9, HD7, HD7b, HD9, HDAC, HDAC7, HDAC7B, HDAC9B, HDAC9FL, HDRP, MITR; ген ID: 9734). Примеры ингибиторов HDAC включают, без ограничения: абексиностат, ACY-241, AR-42, BEBT-908, белиностат, CKD-581, CS-055 (HBI-8000), CUDC-907 (фимепиностат), энтиностат, гивиностат, моцетиностат, панобиностат, прациностат, квизиностат (JNJ-26481585), ресминостат, риколиностат, ромидепсин, SHP-141, валльпроевая кислота (VAL-001), вориностат, тиностамустин, реметиностат, энтиностат.

Ингибиторы капсида.

**[0227]** В некоторых вариантах реализации антитела или антигенсвязывающие фрагменты, описанные в данной заявке, комбинируют с ингибитором капсида. Примеры ингибиторов капсида, которые можно комбинировать с антителом согласно настоящему изобретению, включают ингибиторы полимеризации капсида или разрушающие капсид соединения, ингибиторы нуклеокапсида p7 ВИЧ (NCp7), такие как азодикарбонамид, ингибиторы капсидного белка p24 ВИЧ, GS-6207, AVI-621, AVI-101, AVI-201, AVI-301 и серия AVI-CAN1-15.

Иммунологические методы лечения.

**[0228]** В некоторых вариантах реализации антитела или антигенсвязывающие фрагменты, описанные в данной заявке, комбинируют с иммунологическим методом лечения. Примеры иммунологических методов лечения, которые можно комбинировать с антителом согласно настоящему изобретению, включают модуляторы Toll-подобных рецепторов (TLR) (например, агонисты), такие как агонисты TLR 1, TLR 2, TLR 3, TLR 4, TLR 5, TLR 6, TLR 7, TLR 8, TLR 9, TLR 10, TLR 11, TLR 12 и/или TLR 13; модуляторы белка 1 запрограммированной

гибели клетки (PD-1); модуляторы лиганда 1 запрограммированной гибели (PD-L1); агонисты IL-15 (например, ALT-803); дермавир; интерлейкин-7; плаквенил (гидроксихлорохин); пролейкин (альдеслейкин, IL-2); интерферон альфа; интерферон альфа-2b; интерферон альфа-n3; пегилированный интерферон альфа; интерферон гамма; гидроксимочевину; мофетил микофеноолата (МРА) и эфирное производное мофетил микофеноолата (ММФ); рибавирин; ринтатолимод, полимер полиэтиленимин (PEI); гепон; IL-12; WF-10; VGV-1; MOR-22; BMS-936559; CYT-107, слитый белок интерлейкин-15/Fc, AM-0015, ALT-803, NIZ-985, NKTR-255, нормферон, пегинтерферон альфа-2а, пегинтерферон альфа-2b, рекомбинантный интерлейкин-15, RPI-MN, GS-9620, GS-9688, модуляторы STING, модуляторы RIG-I, модуляторы NOD2, SB-9200 и IR-103.

**[0229]** В некоторых вариантах реализации антитела или антигенсвязывающие фрагменты, описанные в данной заявке, комбинируют с агонистом TLR. Примеры агонистов TLR включают, без ограничения: весатолимод (GS-9620), лефитолимод, тилсотолимод, ринтатолимод, DSP-0509, AL-034, G-100, кобитолимод, AST-008, мотолимод, GSK-1795091, GSK-2245035, VTX-1463, GS-9688, LHC-165, BDB-001, RG-7854 и телратолимод.

Модуляторы рецепторного белка иммунных контрольных точек.

**[0230]** В различных вариантах реализации антитела или антигенсвязывающие фрагменты, описанные в данной заявке, комбинируют с одним или более блокаторами или ингибиторами белков или рецепторов ингибиторных иммунных контрольных точек и/или с одним или более стимуляторами, активаторами или агонистами одного или более стимулирующих белков или рецепторов иммунных контрольных точек. Блокирование или ингибирование ингибиторных иммунных контрольных точек может положительно регулировать активацию Т-клеток или NK-клеток и предотвращать ускользание от иммунного ответа инфицированных клеток. Активация или стимуляция стимулирующих иммунных контрольных точек может усилить действие ингибиторов иммунных контрольных точек при противоинфекционной терапии. В различных вариантах реализации белки или рецепторы иммунных контрольных точек регулируют ответы Т-клеток (например, см. обзор в Xu и др., J Exp Clin Cancer Res. (2018) 37:110). В различных вариантах реализации белки или рецепторы иммунных контрольных точек регулируют ответы NK-клеток (например, см. обзор в Davis и др., Semin Immunol. (2017) 31:64–75 и Chiossone и др., Nat Rev Immunol. (2018) 18(11):671–688).

[0231] Примеры белков или рецепторов иммунных контрольных точек включают, без ограничения: CD27, CD70; CD40, CD40LG; CD47, CD48 (SLAMF2), содержащий трансмембранный домен и домен иммуноглобулина белок 2 (TMIGD2, CD28H), CD84 (LY9B, SLAMF5), CD96, CD160, MS4A1 (CD20), CD244 (SLAMF4); CD276 (B7H3); содержащий домен V-set ингибитор 1 активации Т-клеток (VTCN1, B7H4); содержащий V-set иммунорегуляторный рецептор (VSIR, B7H5, VISTA); представитель суперсемейства иммуноглобулинов 11 (IGSF11, VSIG3); лиганд 1 рецептора 3 цитотоксичности естественной клетки-киллера (NCR3LG1, B7H6); HERV-H LTR-связывающий белок 2 (HHLA2, B7H7); индуцируемый костимулятор Т-клеток (ICOS, CD278); лиганд индуцируемого костимулятора Т-клеток (ICOSLG, B7H2); представитель 4 суперсемейства рецепторов TNF (TNFRSF4, OX40); представитель 4 суперсемейства TNF (TNFSF4, OX40L); TNFRSF8 (CD30), TNFSF8 (CD30L); TNFRSF10A (CD261, DR4, TRAILR1), TNFRSF9 (CD137), TNFSF9 (CD137L); TNFRSF10B (CD262, DR5, TRAILR2), TNFRSF10 (TRAIL); TNFRSF14 (HVEM, CD270), TNFSF14 (HVELM); CD272 (В- и Т-лимфоцитарный аттенюатор (BTLA)); TNFRSF17 (BCMA, CD269), TNFSF13B (BAFF); TNFRSF18 (GITR), TNFSF18 (GITRL); подобная полипептиду МНС I класса последовательность А (MICA); подобная полипептиду МНС I класса последовательность В (MICB); CD274 (CD274, PDL1, PD-L1); запрограммированная гибель клетки 1 (PDCD1, PD1, PD-1); белок 4, ассоциированный с цитотоксическими Т-лимфоцитами (CTLA4, CD152); CD80 (B7-1), CD28; молекулу клеточной адгезии нектин 2 (NECTIN2, CD112); CD226 (DNAM-1); молекулу клеточной адгезии рецептор полиовируса (PVR) (PVR, CD155); родственный PVR содержащий домен иммуноглобулина белок (PVRIG, CD112R); Т-клеточный иммунорецептор с доменами Ig и ITIM (TIGIT); Т-клеточный содержащий домен иммуноглобулина и домен муцина белок 4 (TIMD4; TIM4); клеточный рецептор 2 вириуса гепатита А (HAVCR2, TIMD3, TIM3); галектин 9 (LGALS9); ген активации лимфоцитов 3 (LAG3, CD223); представитель 1 семейства сигнальных молекул активации лимфоцитов (SLAMF1, SLAM, CD150); антиген лимфоцитов 9 (LY9, CD229, SLAMF3); представитель 6 семейства SLAM (SLAMF6, CD352); представитель 7 семейства SLAM (SLAMF7, CD319); связывающий UL16 белок 1 (ULBP1); связывающий UL16 белок 2 (ULBP2); связывающий UL16 белок 3 (ULBP3); ранний транскрипт 1E ретиноевой кислоты (RAET1E; ULBP4); ранний транскрипт 1G ретиноевой кислоты (RAET1G; ULBP5); ранний транскрипт 1L ретиноевой кислоты (RAET1L; ULBP6); ген

активации лимфоцитов 3 (CD223); иммуноглобулин-подобный рецептор клеток-киллеров с тремя доменами Ig и длинным цитоплазматическим хвостом 1 (KIR, CD158E1); лектин-подобный рецептор C1 клеток-киллеров (KLRC1, NKG2A, CD159A); лектин-подобный рецептор K1 клеток-киллеров (KLRK1, NKG2D, CD314); лектин-подобный рецептор C2 клеток-киллеров (KLRC2, CD159c, NKG2C); лектин-подобный рецептор C3 клеток-киллеров (KLRC3, NKG2E); лектин-подобный рецептор C4 клеток-киллеров (KLRC4, NKG2F); иммуноглобулин-подобный рецептор клеток-киллеров с двумя доменами Ig и длинным цитоплазматическим хвостом 1 (KIR2DL1); иммуноглобулин-подобный рецептор клеток-киллеров с двумя доменами Ig и длинным цитоплазматическим хвостом 2 (KIR2DL2); иммуноглобулин-подобный рецептор клеток-киллеров с двумя доменами Ig и длинным цитоплазматическим хвостом 3 (KIR2DL3); иммуноглобулин-подобный рецептор клеток-киллеров с тремя доменами Ig и длинным цитоплазматическим хвостом 1 (KIR3DL1); лектин-подобный рецептор D1 клеток-киллеров (KLRD1) и представитель 7 семейства SLAM (SLAMF7).

[0232] В различных вариантах реализации антитела или антигенсвязывающие фрагменты, описанные в данной заявке, комбинируют с одним или более блокаторами или ингибиторами одного или более Т-клеточных белков или рецепторов ингибиторных иммунных контрольных точек. Примеры Т-клеточных белков или рецепторов ингибиторных иммунных контрольных точек включают, без ограничения: CD274 (CD274, PDL1, PD-L1); лиганд 2 белка 1 запрограммированной гибели клеток (PDCD1LG2, PD-L2, CD273); белок 1 запрограммированной гибели клеток (PDCD1, PD1, PD-1); белок 4, ассоциированный с цитотоксическими Т-лимфоцитами (CTLA4, CD152); CD276 (B7H3); содержащий домен V-set ингибитор 1 активации Т-клеток (VTCN1, B7H4); содержащий V-set иммунорегуляторный рецептор (VSIR, B7H5, VISTA); представитель суперсемейства иммуноглобулинов 11 (IGSF11, VSIG3); TNFRSF14 (HVEM, CD270), TNFSF14 (HVEML); CD272 (В- и Т-лимфоцитарный аттенюатор (BTLA)); родственный PVR содержащий домен иммуноглобулина белок (PVRIG, CD112R); Т-клеточный иммунорецептор с доменами Ig и ITIM (TIGIT); ген активации лимфоцитов 3 (LAG3, CD223); клеточный рецептор 2 вируса гепатита А (HAVCR2, TIMD3, TIM3); галектин 9 (LGALS9); иммуноглобулин-подобный рецептор клеток-киллеров с тремя доменами Ig и длинным цитоплазматическим хвостом 1 (KIR, CD158E1); иммуноглобулин-подобный рецептор клеток-киллеров

с двумя доменами Ig и длинным цитоплазматическим хвостом 1 (KIR2DL1); иммуноглобулин-подобный рецептор клеток-киллеров с двумя доменами Ig и длинным цитоплазматическим хвостом 2 (KIR2DL2); иммуноглобулин-подобный рецептор клеток-киллеров с двумя доменами Ig и длинным цитоплазматическим хвостом 3 (KIR2DL3); и иммуноглобулин-подобный рецептор клеток-киллеров с тремя доменами Ig и длинным цитоплазматическим хвостом 1 (KIR3DL1). В различных вариантах реализации FLT3L-Fc слитые белки, гомодимеры, гетеродимеры, полинуклеотиды, векторы, ЛНЧ и/или фармацевтические композиции, описанные в данной заявке, комбинируют с одним или более агонистами или активаторами одного или более Т-клеточных стимулирующих белков или рецепторов иммунных контрольных точек. Примеры Т-клеточных стимулирующих белков или рецепторов иммунных контрольных точек включают, без ограничения: CD27, CD70; CD40, CD40LG; индуцируемый костимулятор Т-клеток (ICOS, CD278); лиганд индуцируемого костимулятора Т-клеток (ICOSLG, B7H2); представитель 4 суперсемейства рецепторов TNF (TNFRSF4, OX40); представитель 4 суперсемейства TNF (TNFSF4, OX40L); TNFRSF9 (CD137), TNFSF9 (CD137L); TNFRSF18 (GITR), TNFSF18 (GITRL); CD80 (B7-1), CD28; молекулу клеточной адгезии нектин 2 (NECTIN2, CD112); CD226 (DNAM-1); CD244 (2B4, SLAMF4), молекулу клеточной адгезии рецептор полиовируса (PVR) (PVR, CD155). См., например, Xu и др., J Exp Clin Cancer Res. (2018) 37:110.

**[0233]** В различных вариантах реализации антитела или антигенсвязывающие фрагменты, описанные в данной заявке, комбинируют с одним или более блокаторами или ингибиторами одного или более NK-клеточных белков или рецепторов ингибиторных иммунных контрольных точек. Примеры NK-клеточных белков или рецепторов ингибиторных иммунных контрольных точек включают, без ограничения: иммуноглобулин-подобный рецептор клеток-киллеров с тремя доменами Ig и длинным цитоплазматическим хвостом 1 (KIR, CD158E1); иммуноглобулин-подобный рецептор клеток-киллеров с двумя доменами Ig и длинным цитоплазматическим хвостом 1 (KIR2DL1); иммуноглобулин-подобный рецептор клеток-киллеров с двумя доменами Ig и длинным цитоплазматическим хвостом 2 (KIR2DL2); иммуноглобулин-подобный рецептор клеток-киллеров с двумя доменами Ig и длинным цитоплазматическим хвостом 3 (KIR2DL3); иммуноглобулин-подобный рецептор клеток-киллеров с тремя доменами Ig и длинным цитоплазматическим хвостом 1 (KIR3DL1); лектин-подобный рецептор

C1 клеток-киллеров (KLRC1, NKG2A, CD159A); и лектин-подобный рецептор D1 клеток-киллеров (KLRD1, CD94). В различных вариантах реализации FLT3L-Fc слитые белки, гомодимеры, гетеродимеры, полинуклеотиды, векторы, ЛНЧ и/или фармацевтические композиции, описанные в данной заявке, комбинируют с одним или более агонистом или активаторами одного или более NK-клеточных стимулирующих белков или рецепторов иммунных контрольных точек. Примеры NK-клеточных стимулирующих белков или рецепторов иммунных контрольных точек включают, без ограничения: CD16, CD226 (DNAM-1); CD244 (2B4, SLAMF4); лектин-подобный рецептор K1 клеток-киллеров (KLRK1, NKG2D, CD314); представитель 7 семейства SLAM (SLAMF7). См., например, Davis и др., Semin Immunol. (2017) 31:64–75; Fang и др., Semin Immunol. (2017) 31:37-54; и Chiossone и др., Nat Rev Immunol. (2018) 18(11):671-688.

[0234] В некоторых вариантах реализации один или более ингибиторов иммунных контрольных точек включает белковый (например, антитело или его фрагмент, или миметик антитела) ингибитор PD-L1 (CD274), PD-1 (PDCD1) или CTLA4. В некоторых вариантах реализации один или более ингибиторов иммунных контрольных точек включает низкомолекулярный органический ингибитор PD-L1 (CD274), PD-1 (PDCD1) или CTLA4.

[0235] Примеры ингибиторов CTLA4, которые можно совместно вводить, включают, без ограничения: ипилимумаб, тремелимумаб, BMS-986218, AGEN1181, AGEN1884, BMS-986249, MK-1308, REGN-4659, ADU-1604, CS-1002, BCD-145, APL-509, JS-007, BA-3071, ONC-392, AGEN-2041, JHL-1155, KN-044, CG-0161, ATOR-1144, PBI-5D3H5, BPI-002, а также мультиспецифические ингибиторы FPT-155 (CTLA4/PD-L1/CD28), PF-06936308 (PD-1/ CTLA4), MGD-019 (PD-1/CTLA4), KN-046 (PD-1/CTLA4), MEDI-5752 (CTLA4/PD-1), XmAb-20717 (PD-1/CTLA4) и AK-104 (CTLA4/PD-1).

[0236] Примеры ингибиторов PD-L1 (CD274) или PD-1 (PDCD1), которые можно совместно вводить, включают, без ограничения: пембролизумаб, ниволумаб, цемиплимаб, пидилизумаб, AMP-224, MEDI0680 (AMP-514), спартализумаб, атезолизумаб, авелумаб, дурвалумаб, BMS-936559, CK-301, PF-06801591, BGB-A317 (тислелизумаб), GLS-010 (WBP-3055), AK-103 (HX-008), AK-105, CS-1003, HLX-10, MGA-012, BI-754091, AGEN-2034, JS-001 (торипалимаб), JNJ-63723283, генолимзумаб (CBT-501), LZM-009, BCD-100, LY-3300054, SHR-1201, SHR-1210 (камрелизумаб), Sym-021, ABBV-181, PD1-PIK, BAT-1306, (MSB0010718C), CX-

072, CBT-502, TSR-042 (достарлимаб), MSB-2311, JTX-4014, BGB-A333, SHR-1316, CS-1001 (WBP-3155, KN-035, IBI-308 (синтилимаб), HLX-20, KL-A167, STI-A1014, STI-A1015 (IMC-001), BCD-135, FAZ-053, TQB-2450, MDX1105-01, GS-4224, GS-4416, INCB086550, MAX10181, а также мультиспецифические ингибиторы FPT-155 (CTLA4/PD-L1/CD28), PF-06936308 (PD-1/CTLA4), MGD-013 (PD-1/LAG-3), FS-118 (LAG-3/PD-L1) MGD-019 (PD-1/CTLA4), KN-046 (PD-1/CTLA4), MEDI-5752 (CTLA4/PD-1), RO-7121661 (PD-1/TIM-3), XmAb-20717 (PD-1/CTLA4), AK-104 (CTLA4/PD-1), M7824 (PD-L1/TGF $\beta$ -EC домен), CA-170 (PD-L1/VISTA), CDX-527 (CD27/PD-L1), LY-3415244 (TIM3/PDL1) и INBRX-105 (4-1BB/PDL1).

[0237] В некоторых вариантах реализации низкомолекулярный ингибитор CD274 или PDCD1 выбран из группы, состоящей из GS-4224, GS-4416, INCB086550 и MAX10181. В некоторых вариантах реализации низкомолекулярный ингибитор CTLA4 включает BPI-002.

[0238] В различных вариантах реализации антитела или антигенсвязывающие фрагменты, описанные в данной заявке, комбинируют с антителами против TIGIT, такими как BMS-986207, RG-6058, AGEN-1307.

Агонисты или активаторы представителей суперсемейства рецепторов TNF (TNFRSF).

[0239] В различных вариантах реализации антитела или антигенсвязывающие фрагменты, описанные в данной заявке, комбинируют с агонистом одного или более представителей суперсемейства рецепторов TNF (TNFRSF), например, с агонистом одного или более из TNFRSF1A (№ гена в NCBI: 7132), TNFRSF1B (№ гена в NCBI: 7133), TNFRSF4 (OX40, CD134; № гена в NCBI: 7293), TNFRSF5 (CD40; № гена в NCBI: 958), TNFRSF6 (FAS, № гена в NCBI: 355), TNFRSF7 (CD27, № гена в NCBI: 939), TNFRSF8 (CD30, № гена в NCBI: 943), TNFRSF9 (4-1BB, CD137, № гена в NCBI: 3604), TNFRSF10A (CD261, DR4, TRAILR1, № гена в NCBI: 8797), TNFRSF10B (CD262, DR5, TRAILR2, № гена в NCBI: 8795), TNFRSF10C (CD263, TRAILR3, № гена в NCBI: 8794), TNFRSF10D (CD264, TRAILR4, № гена в NCBI: 8793), TNFRSF11A (CD265, RANK, № гена в NCBI: 8792), TNFRSF11B (№ гена в NCBI: 4982), TNFRSF12A (CD266, № гена в NCBI: 51330), TNFRSF13B (CD267, № гена в NCBI: 23495), TNFRSF13C (CD268, № гена в NCBI: 115650), TNFRSF16 (NGFR, CD271, № гена в NCBI: 4804), TNFRSF17 (BCMA, CD269, № гена в NCBI: 608), TNFRSF18 (GITR, CD357, № гена в NCBI:

8784), TNFRSF19 (№ гена в NCBI: 55504), TNFRSF21 (CD358, DR6, № гена в NCBI: 27242) и TNFRSF25 (DR3, № гена в NCBI: 8718).

[0240] Примеры антител против TNFRSF4 (OX40), которые можно совместно вводить, включают, без ограничения: MEDI6469, MEDI6383, MEDI0562 (таволиксизумаб), MOXR0916, PF-04518600, RG-7888, GSK-3174998, INCAGN1949, BMS-986178, GBR-8383, ABBV-368 и антитела, описанные в WO2016179517, WO2017096179, WO2017096182, WO2017096281 и WO2018089628.

[0241] Примеры антител против TNFRSF5 (CD40), которые можно совместно вводить, включают, без ограничения: RG7876, SEA-CD40, APX-005M и ABBV-428.

[0242] В некоторых вариантах реализации совместно вводят антитело против TNFRSF7 (CD27) варлилумаб (CDX-1127).

[0243] Примеры антител против TNFRSF9 (4-1BB, CD137), которые можно совместно вводить, включают, без ограничения: урелумаб, утомилумаб (PF-05082566), AGEN2373 и ADG-106.

[0244] Примеры антител против TNFRSF18 (GITR), которые можно совместно вводить, включают, без ограничения: MEDI1873, FPA-154, INCAGN-1876, TRX-518, BMS-986156, MK-1248, GWN-323 и антитела, описанные в WO2017096179, WO2017096276, WO2017096189 и WO2018089628. В некоторых вариантах реализации совместно вводят антитело, или его фрагмент, нацеленное на оба TNFRSF4 (OX40) и TNFRSF18 (GITR). Такие антитела описаны, например, в WO2017096179 и WO2018089628.

Привлекающие естественные клетки-киллеры (NK) би- и триспецифические активаторы.

[0245] В различных вариантах реализации антитела или антигенсвязывающие фрагменты, описанные в данной заявке, комбинируют с привлекающим NK-клетки биспецифическим активатором (BiKE), или привлекающим NK-клетки триспецифическим активатором (TriKE) (например, не содержащим Fc), или биспецифическим антителом (например, содержащим Fc) против активирующего NK-клетки рецептора, например, CD16A, рецептора лектина типа С (CD94/NKG2C, NKG2D, NKG2E/H и NKG2F), рецептора естественной цитотоксичности (NKp30, NKp44 и NKp46), рецептора клеток-киллеров,

подобного лектину типа С (NKp65, NKp80), Fc-рецептора Fc $\gamma$ R (который опосредует антителозависимую клеточную цитотоксичность), рецепторов семейства SLAM (например, 2B4, SLAM6 и SLAM7), иммуноглобулин-подобных рецепторов клеток-киллеров (KIR) (KIR-2DS и KIR-3DS), DNAM-1 и CD137 (41BB). Примеры направленных против CD16 биспецифических антител, BiKE или TriKE, которые можно совместно вводить, включают AFM26 (BCMA/CD16A) и AFM-13 (CD16/CD30). При необходимости, связывающие CD16 биспецифические молекулы могут содержать или не содержать Fc. BiKE и TriKE описаны, например, в Felices и др., Methods Mol Biol. (2016) 1441:333–346; Fang и др., Semin Immunol. (2017) 31:37-54. Примеры привлекающего NK-клетки триспецифического активатора (TRiKE) включают OXS-3550 и CD16-IL-15-B7H3 TriKe.

Ингибиторы фосфатидилинозитол-3-киназы (PI3K).

[0246] В некоторых вариантах реализации антитела или антигенсвязывающие фрагменты, описанные в данной заявке, комбинируют с ингибитором PI3K. Примеры ингибиторов PI3K, которые можно комбинировать с антителом согласно настоящему изобретению, включают идеалисиб, алпелисиб, бупарлисиб, CAI орорат, копанлисиб, дувелисиб, гедатолициб, нератиниб, панулисиб, перифозин, пиктилисиб, пилараклисиб, мезилат пуквитиниба, ригосертиб, ригосертиб натрия, сонолисиб, таселисиб, AMG-319, AZD-8186, BAY-1082439, CLR-1401, CLR-457, CUDC-907, DS-7423, EN-3342, GSK-2126458, GSK-2269577, GSK-2636771, INCB-040093, LY-3023414, MLN-1117, PQR-309, RG-7666, RP-6530, RV-1729, SAR-245409, SAR-260301, SF-1126, TGR-1202, UCB-5857, VS-5584, XL-765 и ZSTK-474.

Антагонисты альфа-4/бета-7.

[0247] В некоторых вариантах реализации антитела или антигенсвязывающие фрагменты, описанные в данной заявке, комбинируют с антагонистом альфа-4/бета-7. Примеры антагонистов интегрина альфа-4/бета-7, которые можно комбинировать с антителом согласно настоящему изобретению, включают PTG-100, TRK-170, абрилумаб, этролизумаб, каротеграст метил и ведолизумаб.

[0248] Примеры направленных против ВИЧ антител, биспецифических антител и “подобных антителам” терапевтических белков, которые можно комбинировать с антителом согласно настоящему изобретению, включают DART®, DUOBODIES®, BITE®, XmAb®, Тандаб®, производные Fab, bNAb (нейтрализующие антитела

широкого спектра действия против ВИЧ-1), BMS-936559, TMB-360 и антитела, нацеленные на gp120 или gp41 ВИЧ, привлекающие антитела молекулы, нацеленные на ВИЧ, моноклональные антитела против CD63, антитела против вируса GB типа С, биспецифические антитела против GP120/CD4 и CCR5, однодоменные антитела против nef, антитело против Rev, происходящие из верблюдов антитела против CD18, происходящие из верблюдов антитела против ICAM-1, DCVax-001, нацеленные на gp140 антитела, терапевтические антитела против gp41 ВИЧ, рекомбинантные МАТ человека (PGT-121), ибализумаб, Immuglo, MB-66. Примеры антител, нацеленных на ВИЧ таким образом, включают бавитуксимаб, UB-421, C2F5, 2G12, C4E10, C2F5+C2G12+C4E10, 8ANC195, 3-BNC-117, 3BNC117-LS, 3BNC60, D1D2, 10-1074, 10-1074-LS, GS-9722, DH411-2, BG18, PGT145, PGT121, PGT122, PGT-151, PGT-133, PGT-134, PGT-135, PGT-128, MDX010 (ипилимумаб), DH511, DH511-2, N6, N6LS, N49P6, N49P7, N49P7.1, N49P9, N49P11, N60P1.1, N60P25.1, N60P2.1, N60P31.1, N60P22, NIH 45-46, PG9, PG16, 2Dm2m, 4Dm2m, 6Dm2m, PGDM1400, MDX010 (ипилимумаб), VRC01, VRC-01-LS, A32, 7B2, 10E8, VRC-07-523, VRC07-523LS, 10E8VLS, 3810109, 10E8v4, IMC-HIV, iMabm36, eCD4-Ig, IOMA, CAP256-VRC26.25, DRVIA7, VRC-HIVMAB080-00-AB, VRC-HIVMAB060-00-AB, P2G12, VRC07 и SF12. Примеры биспецифических и триспецифических антител против ВИЧ включают MGD014, TMB-биспецифическое, SAR-441236, VRC-01/PGDM-1400/10E8v4, 10E8.4/iMab, 10E8v4/PGT121-VRC01. Пример доставляемых *in vivo* bnAB, таких как AAV8-VRC07; мРНК, кодирующей антитело против ВИЧ VRC01; и сконструированных В-клеток, кодирующих 3BNC117, описаны в Hartweger и др., *J. Exp. Med.* (2019), 1301.

Средства, улучшающие фармакокинетику.

**[0249]** В некоторых вариантах реализации антитела или антигенсвязывающие фрагменты, описанные в данной заявке, комбинируют со средством, улучшающим фармакокинетику. Примеры средств, улучшающих фармакокинетику, которые можно комбинировать с антителом согласно настоящему изобретению, включают кобицистат и ритонавир.

Дополнительные терапевтические агенты.

**[0250]** Примеры дополнительных терапевтических агентов, которые можно комбинировать с антителом согласно настоящему изобретению, включают соединения, описанные в WO 2004/096286 (Gilead Sciences), WO 2006/015261

(Gilead Sciences), WO 2006/110157 (Gilead Sciences), WO 2012/003497 (Gilead Sciences), WO 2012/003498 (Gilead Sciences), WO 2012/145728 (Gilead Sciences), WO 2013/006738 (Gilead Sciences), WO 2013/159064 (Gilead Sciences), WO 2014/100323 (Gilead Sciences), US 2013/0165489 (Университет штата Пенсильвания), US 2014/0221378 (Japan Tobacco), US 2014/0221380 (Japan Tobacco), WO 2009/062285 (Boehringer Ingelheim), WO 2010/130034 (Boehringer Ingelheim), WO 2013/006792 (Pharma Resources), US 20140221356 (Gilead Sciences), US 20100143301 (Gilead Sciences) и WO 2013/091096 (Boehringer Ingelheim).

### Вакцины от ВИЧ.

[0251] В некоторых вариантах реализации антитела или антигенсвязывающие фрагменты, описанные в данной заявке, комбинируют с вакциной от ВИЧ. В различных вариантах реализации вакцина от ВИЧ вызывает Т-клеточный ответ. Примеры вакцин, которые можно комбинировать с описанными в данной заявке антителами и их фрагментами, включают, без ограничения: вакцины на основе вирусного вектора (например, аренавирусов, аденоовирусов, поксвирусов, рабдовирусов), а также вакцины на основе нуклеиновых кислот (например, ДНК, РНК и самореплицирующейся РНК). В некоторых вариантах реализации вакцина против ВИЧ содержит один или более полипептидных иммуногенов вакцины. Примеры вакцин от ВИЧ, которые можно комбинировать с антителом согласно настоящему изобретению, включают пептидные вакцины, рекомбинантные субъединичные белковые вакцины, живые векторные вакцины, ДНК-вакцины, вакцины на основе пептидов из CD4, комбинации вакцин, вакцины на основе аденоовирусного вектора, вакцины на основе аденоовириуса шимпанзе (например, ChAdOX1, ChAd68, ChAd3 и т.д.), вакцины на основе вирусов Коксаки, вакцины на основе аденоовириуса гориллы, вакцины на основе аренавириуса (LCMV, пичинде), вакцину на основе вируса кори, вакцину на основе вируса ветряной оспы, вакцины на основе вируса парагриппа 3 (PIV3) человека, вакцину на основе поксвириуса (модифицированного вируса коровьей оспы Анкара (MVA), штаммы NYVAC и ALVAC); вакцины на основе рабдовириуса, такого как VSV и марабавириус; вакцины на основе альфавириуса, такого как вирус леса Семлики, вирус венесуэльского энцефалита лошадей и вирус Синдбис; (см. Lauer, *Clinical and Vaccine Immunology*, (2017), DOI: 10.1128/CVI.00298-16); терапевтические вакцины на основе мРНК в составе ЛНЧ; вакцины на основе самореплицирующейся РНК/самоамплифицирующейся РНК в составе ЛНЧ, rgp120 (AIDSVAX), ALVAC

HIV (vCP1521)/AIDSVAX B/E (gp120) (RV144), вакцину на основе мономерного gp120 ВИЧ-1 подтипа С, Ремун, ITV-1, Contre Vir, Ad5-ENVA-48, DCVax-001 (CDX-2401), Vacc-4x, Vacc-C5, VAC-3S, рекомбинантный аденоовирус 5 с мультикладной ДНК (rAd5), вакцину rAd5 gag-pol env A/B/C, Pennvax-G, Pennvax-GP, Pennvax-G/MVA-CMDR, вакцину HIV-TriMix-мРНК, HIV-LAMP-vax, Ad35, Ad35-GRIN, NAcGM3/VSSP ISA-51, вакцины с адьювантом поли-ICLC, TatImmune, GTU-multiHIV (FIT-06), gp140[delta]V2.TV1+MF-59, вакцину на основе gag ВИЧ-1 rVSVIN, вакцину SeV-Gag, AT-20, DNK-4, ad35-Grin/ENV, TBC-M4, HIVAX, HIVAX-2, NYVAC-HIV-PT1, NYVAC-HIV-PT4, DNA-HIV-PT123, rAAV1-PG9DP, GOVX-B11, GOVX-B21, TVI-HIV-1, Ad-4 (Ad4-env клады C+Ad4-mGag), Paxvax, EN41-UGR7C, EN41-FPA2, PreVaxTat, AE-H, MYM-V101, CombiHIVvac, ADVAX, MYM-V201, MVA-CMDR, ДНК-Ad5 gag/pol/nef/nev (HVTN505), MVATG-17401, ETV-01, CDX-1401, rcAD26.MOS1.HIV-Env, вакцину Ad26.Mod.HIV, Ad26.Mod.HIV + мозаичная вакцина MVA + gp140, AGS-004, AVX-101, AVX-201, PEP-6409, SAV-001, ThV-01, TL-01, TUTI-16, VGX-3300, IHV-001, и вакцины на основе подобной вирусу частицы, такие как псевдовирионная вакцина, CombiVICHvac, вакцину на основе слитого LFn-p24 B/C, ДНК-вакцину на основе GTU, ДНК-вакцину на основе gag/pol/nef/env ВИЧ, вакцину от ВИЧ, направленную против ТАТ, вакцину на основе конъюгированных полипептидов, вакцины на основе дендритных клеток (например, такие как Дермавир), ДНК-вакцину на основе gag, GI-2010, вакцину на основе gp41 ВИЧ-1, вакцину от ВИЧ (адьювант PIKA), гибридные пептидные вакцины I i-key/эпигоп МНС II класса, ITV-2, ITV-3, ITV-4, LIPO-5, мультикладную вакцину на основе Env, вакцину на основе MVA, Pennvax-GP, вакцину на основе вектора HCMV с удаленным pp71 с gag ВИЧ, вакцину на основе рекомбинантного пептида (ВИЧ-инфекция), NCI, вакцину на основе rgp160 ВИЧ, вакцину от ВИЧ RNactive, SCB-703, вакцину Tat Oyi, TBC-M4, терапевтическую вакцину от ВИЧ, UBI gp120 HIV, Vacc-4x + ромидепсин, вакцину на основе варианта полипептида gp120, вакцину на основе rAd5 gag-pol env A/B/C, DNA.HTI и MVA.HTI, VRC-HIVDNA016-00-VP + VRC-HIVADV014-00-VP, INO-6145, JNJ-9220, gp145 C.6980; вакцину на основе 60-мера eOD-GT8, PD-201401, ДНК-вакцину на основе env (A, B, C, A/E)/gag (C), вакцину на основе белка gp120 (A,B,C,A/E), PDPHV-201401, Ad4-EnvCN54, вакцину EnvSeq-1 Envs HIV-1 (с адьювантом GLA-SE), HIV p24gag pr1, вакцину на основе плазмидной ДНК me-boost, вакцину на основе аренавирусного вектора

(Vaxwave, TheraT), схему вакцинотерапии MVA-BN HIV-1, UBI gp120 HIV, профилактические вакцины на основе мРНК и TBL-1203H1.

Комбинированная терапия с противозачаточными средствами (контрацептивами).

[0252] В некоторых вариантах реализации антитела или антигенсвязывающие фрагменты, описанные в данной заявке, комбинируют со схемой приема противозачаточных средств или контрацептивов. Терапевтические агенты, применяемые в качестве противозачаточных средств (контрацептивов), которые можно комбинировать с антителом согласно настоящему изобретению, включают ацетат ципротерона, дезогестрел, диеногест, дроспиренон, валерат эстрадиола, этинилэстрадиол, этинодиол, этоногестрел, левомефолат, левоноргестрел, линестренол, медроксипрогестерона ацетат, местранол, мифепристон, мизопростол, номегестрола ацетат, норэлгестромин, норэтиндрон, норэтинодрел, норгестимат, ормелоксилен, ацетат сегестерзона, ацетат улипристала и любые их комбинации.

[0253] В одном варианте реализации антитело, описанное в данной заявке, или фармацевтически приемлемую соль указанного соединения, комбинируют с одним, двумя, тремя, четырьмя или более дополнительными терапевтическими агентами, выбранными из следующих: Атрипла® (эфавиренз, дизопроксилфумарат тенофовира и эмтрицитабин); Комплера® (Эвиплер®; рилпивирин, дизопроксилфумарат тенофовира и эмтрицитабин); Стрибилд® (элвитетравир, кобицистат, дизопроксилфумарат тенофовира и эмтрицитабин); Трувада® (дизопроксилфумарат тенофовира и эмтрицитабин; TDF + FTC); Дескови® (алафенамид тенофовира и эмтрицитабин); Одефсей® (алафенамид тенофовира, эмтрицитабин и рилпивирин); Дженвоя® (алафенамид тенофовира, эмтрицитабин, кобицистат и элвитетравир); адефовир; дипивоксил адефовира; кобицистат; эмтрицитабин; тенофовир; дизопроксил тенофовира; дизопроксилфумарат тенофовира; алафенамид тенофовира; полуфумарат алафенамида тенофовира; Триумек® (долутегравир, абакавир и ламивудин); долутегравир, сульфат абакавира и ламивудин; ралтегравир; ралтегравир и ламивудин; маравирок; энфувиртид; Алувия® (Калетра®; лопинавир и ритонавир); Комбивир® (зидовудин и ламивудин; AZT+3TC); Эпзиком® (Ливекса®; сульфат абакавира и ламивудин; ABC+3TC); Тризивир® (сульфат абакавира, зидовудин и ламивудин; ABC+AZT+3TC); рилпивирин; гидрохлорид рилпивирина; сульфат атазанавира и кобицистат; атазанавир и кобицистат; дарунавир и кобицистат; атазанавир;

сульфат атазанавира; долутегравир; элвитетгравир; ритонавир; сульфат атазанавира и ритонавир; дарунавир; ламивудин; проластин; фосампренавир; фосампренавир кальция эфавиренз; этравирин; нелфинавир; мезилат нелфинавира; интерферон; диданозин; ставудин; индинавир; сульфат индинавира; тенофовир и ламивудин; зидовудин; невирапин; саквинавир; мезилат саквинавира; альдеслейкин; зальцитабин; типранавир; ампренавир; делавирдин; мезилат делавирдина; Radha-108 (рецептол); ламивудин и дизопроксилфумарат тенофовира; эфавиренз, ламивудин и дизопроксилфумарат тенофовира; фосфазид; ламивудин, невирапин и зидовудин; абакавир и сульфат абакавира.

[0254] В некоторых вариантах реализации антитело, описанное в данной заявке, или его фармацевтическую композицию комбинируют с нуклеозидным или нуклеотидным ингибитором обратной транскриптазы ВИЧ и ненуклеозидным ингибитором обратной транскриптазы ВИЧ. В другом конкретном варианте реализации антитело, описанное в данной заявке, или его фармацевтическую композицию комбинируют с нуклеозидным или нуклеотидным ингибитором обратной транскриптазы ВИЧ, и соединением, ингибирующим протеазу ВИЧ. В дополнительном варианте реализации антитело, описанное в данной заявке, или его фармацевтическую композицию комбинируют с нуклеозидным или нуклеотидным ингибитором обратной транскриптазы ВИЧ, ненуклеозидным ингибитором обратной транскриптазы ВИЧ и энхансером фармакокинетики. В некоторых вариантах реализации антитело, описанное в данной заявке, или его фармацевтическую композицию комбинируют с по меньшей мере одним нуклеозидным ингибитором обратной транскриптазы ВИЧ, ингибитором интегразы и энхансером фармакокинетики. В другом варианте реализации антитело, описанное в данной заявке, или его фармацевтическую композицию комбинируют с двумя нуклеозидными или нуклеотидными ингибиторами обратной транскриптазы ВИЧ.

[0255] В некотором варианте реализации антитело, описанное в данной заявке, или его фармацевтическую композицию комбинируют с сульфатом абакавира, тенофовиром, дизопроксилом тенофовира, дизопроксилфумаратом тенофовира, полуфумаратом дизопроксила тенофовира, алафенамидом тенофовира или полуфумаратом алафенамида тенофовира.

[0256] В другом варианте реализации антитело, описанное в данной заявке, или его фармацевтическую композицию комбинируют с тенофовиром, дизопроксилом

тенофовира, дизопроксилфумаратом тенофовира, алафенамидом тенофовира или полуфумаратом алафенамида тенофовира.

[0257] В еще одном варианте реализации антитело, описанное в данной заявке, или его фармацевтическую композицию комбинируют с первым дополнительным терапевтическим агентом, выбранным из группы, состоящей из сульфата абакавира, тенофовира, дизопроксила тенофовира, дизопроксилфумарата тенофовира, алафенамида тенофовира и полуфумарата алафенамида тенофовира, и вторым дополнительным терапевтическим агентом, выбранным из группы, состоящей из эмтрицитабина и ламивудина.

[0258] В другом варианте реализации антитело, описанное в данной заявке, или его фармацевтическую композицию комбинируют с первым дополнительным терапевтическим агентом, выбранным из группы, состоящей из тенофовира, дизопроксила тенофовира, дизопроксилфумарата тенофовира, алафенамида тенофовира и полуфумарата алафенамида тенофовира, и вторым дополнительным терапевтическим агентом, причем второй дополнительный терапевтический агент представляет собой эмтрицитабин.

[0259] В некоторых вариантах реализации антитело, описанное в данной заявке, или его фармацевтическую композицию комбинируют с первым дополнительным терапевтическим агентом (контрацептивами), выбранным из группы, состоящей из ацетата ципротерона, дезогестрела, диеногеста, дроспиренона, валерата эстрадиола, этинилэстрадиола, этинодиола, этоногестрела, левомефолата, левоноргестрела, линестренола, ацетата медроксипрогестерона, местранола, мифепристона, мизопростола, ацетата номегестрола, норэлгестромина, норэтиндрона, норэтинодрела, норгестимата, ормелоксифена, ацетата сегестерзона, ацетата улипристала и любой их комбинации.

#### Генотерапия и клеточная терапия.

[0260] В некоторых вариантах реализации антитела или антигенсвязывающие фрагменты, описанные в данной заявке, комбинируют с курсом генной или клеточной терапии. Генотерапия и клеточная терапия включают, без ограничения: генетическую модификацию для выключения гена; генетические подходы для непосредственного уничтожения инфицированных клеток; инфузию иммунных клеток, разработанных для замещения большей части собственной иммунной системы пациента, чтобы повысить иммунный ответ на инфицированные клетки,

или активировать собственную иммунную систему пациента, чтобы уничтожить инфицированные клетки, или найти и уничтожить инфицированные клетки; генетические подходы для модификации активности клетки, чтобы дополнительно изменить эндогенную иммунологическую реактивность против инфекции. Примеры терапии дендритными клетками включают AGS-004. Агенты редактирования гена CCR5 включают SB-728T. Ингибиторы гена CCR5 включают Cal-1. В некоторых вариантах реализации экспрессирующие C34-CCR5/C34-CXCR4 CD4-положительные Т-клетки вводят совместно с описанными в данной заявке антителами или их антигенсвязывающими фрагментами. В некоторых вариантах реализации антитела или антигенсвязывающие фрагменты вводят совместно с терапией трансдуцированными AGT-103 аутологичными Т-клетками или с генотерапией AAV-eCD4-Ig.

Средства редактирования генов.

[0261] В некоторых вариантах реализации антитела или антигенсвязывающие фрагменты, описанные в данной заявке, комбинируют со средством редактирования генов, например, с нацеленным на ВИЧ средством редактирования генов. В различных вариантах реализации системы редактирования генома можно выбрать из группы, состоящей из: комплекса CRISPR/Cas9, комплекса нуклеазы с цинковыми пальцами, комплекса TALEN, комплекса хоминг-эндонуклеаз и комплекса мегануклеазы. Типичная нацеленная на ВИЧ система CRISPR/Cas9 включает, без ограничения, EBT-101.

CAR-T-клеточная терапия.

[0262] В некоторых вариантах реализации антитела или антигенсвязывающие фрагменты, описанные в данной заявке, можно вводить совместно с популяцией иммунных эффекторных клеток, сконструированных для экспрессии химерного антигенного рецептора (CAR), причем CAR содержит домен, связывающий антиген ВИЧ. Антиген ВИЧ включает белок оболочки ВИЧ или его часть, gp120 или его часть, сайт связывания CD4 на gp120, индуцированный CD4 сайт связывания на gp120, N-гликан на gp120, V2 gp120, околомембранный регион на gp41. Иммунная эффекторная клетка представляет собой Т-клетку или NK-клетку. В некоторых вариантах реализации Т-клетка представляет собой CD4+ Т-клетку, CD8+ Т-клетку или их комбинацию. Клетки могут быть аутологическими или аллогенными. Примеры CAR-T ВИЧ включают VC-CAR-T, CMV-N6-CART, терапию CART-клетками против CD4, аутологичными гематопоэтическими

стволовыми клетками, сконструированными генетическим способом для экспрессии CD4 CAR и пептида C46.

TCR-Т-клеточная терапия.

[0263] В некоторых вариантах реализации антитела или антигенсвязывающие фрагменты, описанные в данной заявке, комбинируют с популяцией TCR-Т-клеток. TCR-Т-клетки сконструированы для нацеливания на происходящие из ВИЧ пептиды, присутствующие на поверхности инфицированных вирусом клеток.

В-клеточная терапия.

[0264] В некоторых вариантах реализации антитела или антигенсвязывающие фрагменты, описанные в данной заявке, комбинируют с популяцией В-клеток, генетически модифицированных, чтобы экспрессировать нейтрализующие антитела широкого спектра действия, такие как 3BNC117 (Hartweger и др., *J. Exp. Med.* 2019, 1301, Moffett и др., *Sci. Immunol.* 4, eaax0644 (2019) 17 мая 2019 г.)

Наборы.

[0265] В объем настоящего изобретения также входят наборы, содержащие одно или более антител или антигенсвязывающих фрагментов, описанных в данной заявке, или их конъюгаты. В одном случае, в настоящей заявке предложена фармацевтическая упаковка или набор, содержащий один или более контейнеров (например, флаконов, ампул), наполненных одним или более ингредиентами фармацевтических композиций, описанных в данной заявке, такими как одно или более антител, предложенных в данной заявке. В некоторых случаях наборы содержат фармацевтическую композицию, описанную в данной заявке. В одном варианте реализации предложены наборы, содержащие антитело, описанное в данной заявке, или его фармацевтическую композицию, в комбинации с одним или более (например, одним, двумя, тремя, одним или двумя, или от одного до трех) дополнительными терапевтическими агентами (такими как агенты, описанные выше).

[0266] В некоторых вариантах реализации наборы содержат одну или более разовых доз антител или антигенсвязывающих фрагментов, или полинуклеотида или полинуклеотидов, в одном или более контейнерах. В некоторых вариантах реализации наборы содержат одну или более разовых доз антител или антигенсвязывающих фрагментов и второй агент (например, один или более дополнительных агентов) для лечения ВИЧ-инфекции в отдельных контейнерах. В

некоторых вариантах реализации наборы дополнительно содержат одну или более разовых доз агониста Toll-подобного рецептора (TLR). В некоторых вариантах реализации агонист TLR представляет собой агонист TLR7 или агонист TLR8. В некоторых вариантах реализации агонист TLR7 выбран из группы, состоящей из весатолимода, имихимода и резиквимода. В некоторых вариантах реализации наборы содержат одну или более разовых доз антител или антигенсвязывающих фрагментов, описанных в данной заявке, и одну или более разовых доз второго, третьего или четвертого антитела против ВИЧ, или их антигенсвязывающих фрагментов, причем второе, третье или четвертое антитела против ВИЧ, или их антигенсвязывающие фрагменты, связываются с эпитопами или участками gp120, выбранными из группы, состоящей из: (i) третьей вариабельной петли (V3) и/или участка с высоким содержанием маннозы, содержащего гликан олигоманнозного типа в положении N332; (ii) второй вариабельной петли (V2) и/или верхушки тримера Env; (iii) стыка gp120 и gp41 или (iv) безмолвной поверхности gp120. В некоторых вариантах реализации второе антитело против ВИЧ или его антигенсвязывающий фрагмент связывается с третьей вариабельной петлей (V3) и/или участком с высоким содержанием маннозы, содержащим гликан олигоманнозного типа в положении N332. В некоторых вариантах реализации второе антитело против ВИЧ содержит области VH и VL из антитела, выбранного из группы, состоящей из GS-9722, PGT-121, PGT-122, PGT-123, PGT-124, PGT-125, PGT-126, PGT-128, PGT-130, PGT-133, PGT-134, PGT-135, PGT-136, PGT-137, PGT-138, PGT-139, 10-1074, VRC24, 2G12, BG18, 354BG8, 354BG18, 354BG42, 354BG33, 354BG129, 354BG188, 354BG411, 354BG426, DH270.1, DH270.6, PGDM12, VRC41.01, PGDM21, PCDN-33A, BF520.1 и VRC29.03, или конкурирует с ними. В некоторых вариантах реализации второе антитело против ВИЧ или его антигенсвязывающие фрагменты содержат области VH и VL из антитела, выбранного из группы, состоящей из GS-9722 и PGT-121, или конкурируют с ними. В некоторых вариантах реализации наборы содержат две или более разовых доз, причем разовые дозы одинаковы. В некоторых вариантах реализации наборы содержат две или более разовых дозы, причем разовые дозы различны.

**[0267]** Необязательно к такому(-им) контейнеру(-ам) может прилагаться уведомление в форме, предусмотренной правительственным органом, регулирующим производство, применение или реализацию фармацевтических средств или биологических продуктов, указанное уведомление отражает

одобрение указанным органом производства, применения или реализации для введения человеку.

### Примеры

**[0268]** Следующие примеры предложены для иллюстрирования различных вариантов реализации и не должны толковаться как ограничивающие объем настоящего изобретения. В тех случаях, когда упоминаются конкретные материалы, они упоминаются лишь с целью иллюстрирования и не предназначены для ограничения настоящей заявки. Специалист в данной области может разработать эквивалентные средства или реактивы без процедуры изобретательского свойства, и не отклоняясь от объема настоящего изобретения.

#### Пример 1. Активность АЗКЦ антитела А.

**[0269]** АЗКЦ инфицированных ВИЧ целевых CD4<sup>+</sup> Т-клеток антителами анализировали *in vitro*, применяя инфицированные ВИЧ клетки CEM.NKr.CCR5<sup>+</sup>Luc<sup>+</sup> и первичные эффективные NK-клетки человека из независимых здоровых доноров.

**[0270]** В исследовании использовали как чувствительные к PGT121, так и устойчивые к PGT121 вирусы и антитела, содержащие модификации в Fc (Fc-модифицированные) антитела А. В таблице 1 кратко представлены активность уничтожения и эффективность антител А, А-1, А-2, А-3, А-4, А-5 и А-6 при тестировании в присутствии 5 мг/мл IgG сыворотки человека и с применением первичных NK-клеток человека из трех независимых доноров-людей и клеток CEM.NKr.CCR5<sup>+</sup>Luc<sup>+</sup>, инфицированных изолятами вируса 92US712 или 92US657.

**[0271]** Таблица 1. Активность АЗКЦ.

Инфицированные 92US712 клетки								
	№:	<b>A</b>	<b>A-2</b>	<b>A-1</b>	<b>A-3</b>	<b>A-4</b>	<b>A-5</b>	<b>A-6</b>
Emax (%)	NK, донор 1	48	76	77	77	78	79	68
	NK, донор 2	7	60	62	59	61	61	54
	NK, донор 3	27	60	62	67	64	66	51
EC <sub>50</sub> (мкг/мл)	NK, донор 1	2,23	0,18	0,19	0,07	0,20	0,19	0,27
	NK, донор 2	>100	0,08	0,09	0,08	0,13	0,08	0,54
	NK, донор 3	3,63	0,20	0,16	0,20	0,40	0,09	0,18

<b>Инфицированные 92US712 клетки</b>								
	<b>№:</b>	<b>A</b>	<b>A-2</b>	<b>A-1</b>	<b>A-3</b>	<b>A-4</b>	<b>A-5</b>	<b>A-6</b>
<b>Инфицированные 92US657 клетки</b>								
	<b>№:</b>	<b>A</b>	<b>A-2</b>	<b>A-1</b>	<b>A-3</b>	<b>A-4</b>	<b>A-5</b>	<b>A-6</b>
Emax (%)	NK, донор 1	2	59	58	49	52	58	54
	NK, донор 2	0	51	50	49	53	61	53
	NK, донор 3	0	56	52	56	50	61	52
EC <sub>50</sub> (мкг/мл)	NK, донор 1	>100	0,54	0,74	0,68	0,60	0,57	3,93
	NK, донор 2	>100	0,81	0,55	0,67	1,21	0,83	1,21
	NK, донор 3	>100	1,13	0,37	1,39	1,64	0,76	3,21

EC<sub>50</sub> обозначена как >100 мкг/мл для ответов на дозу с Emax < 10%

[0272] Для Fc-модифицированных антител выявили повышенное уничтожение инфицированных ВИЧ-1 целевых CD4 Т-клеток по сравнению с антителом A *in vitro* первичными NK-клетками человека из независимых доноров и целевых клеток, инфицированных различными изолятами вируса (таблица 1). Антитело A опосредовало минимальное уничтожение (Emax <10%) первичными NK-клетками из некоторых доноров, тогда как уничтожение NK-клетками из других доноров детектировалось. По сравнению с антителом A, для Fc-модифицированных антител выявили повышенную эффективность (EC<sub>50</sub>) и максимальное уничтожение (Emax) инфицированных ВИЧ-1 клеток, что наблюдали в анализе АЗКЦ, проведенном с первичными NK-клетками человека из трех независимых здоровых доноров (таблица 1). Наблюданное повышение эффективности варьировалось от приблизительно 10 до 40 раз для доноров, у которых антитело A было активным. Панель из 22 культур инфицированных целевых клеток получали путем инфицирования CEM.NKr.CCR5<sup>+</sup>Luc<sup>+</sup> клеток 22 уникальными вирусными клонами, устойчивыми кнейтрализации (например, уничтожению инфицированных клеток) посредством PGT121.60 (см. WO 2017/106346). Активность АЗКЦ и ширину для антитела A-1 и антитела PGT121.60 оценивали для данной панели инфицированных клеток-мишеней, применяя первичные эфекторные NK-клетки из здоровых доноров в отсутствие конкурирующего IgG сыворотки. 86% (19/22) культур инфицированных целевых клеток, устойчивых к АЗКЦ посредством PGT121.60, уничтожались антителом A-1 (Emax >30%).

Антитело А-1 опосредовало АЗКЦ клеток, инфицированных штаммами ВИЧ, которые были устойчивы к PGT121.60. Результаты данной оценки кратко представлены в таблице 2.

[0273] Таблица 2. Уничтожение инфицированных клеток, устойчивых к PGT121.60, антителом А-1 и антителом PGT121.60. Количество представляют среднее Emax (%) АЗКЦ для двух доноров.

Вирус	Emax (%) АЗКЦ	
	PGT121.60	Антитело А-1
VS001	1,0	26,8
VS002	2,0	22,9
VS003	3,0	44,4
VS004	4,0	31,7
VS007	9	45
VS008	22	60
VS010	10	69
VS011	8,0	34,6
VS017	9,0	40,5
VS023	10,0	0,8
VS026	11,0	31,3
VS029	12,0	1,5
VS030	13,0	39,3
VS032	14,0	29,1
VS033	15,0	31,1
VS034	16,0	40,6
VS038	17,0	36,1
VS042	18,0	39,6
VS044	19,0	31,4
VS046	20,0	41,9
VS049	21,0	7,8
VS052	22,0	34,0

[0274] Антитело-зависимую клеточную цитотоксичность также оценивали, применяя инфицированные ВИЧ первичные CD4<sup>+</sup> Т-клетки в качестве клеток-

мишеней и аутологичные первичные NK-клетки, моноциты и нейтрофилы в качестве эффекторных клеток.

[0275] NK-клетки, моноциты и CD4<sup>+</sup> T-клетки выделяли из МКПК, полученных из здоровых доноров, тогда как нейтрофилы выделяли из цельной крови здоровых доноров. Все CD4<sup>+</sup> T-клетки инфицировали путем центрифугирования в отсутствие активации Т-клеток, чтобы сохранить низкие уровни экспрессии антигена на поверхности клеток и потенциально имитировать уровни экспрессии антигена на латентно инфицированных CD4<sup>+</sup> T-клетках. Используемые изоляты вирусов были следующими: 8176, 92US076 (чувствительный к нейтрализации антителом A) и 8398 (устойчивый к нейтрализации антителом A). Анализ проводили в присутствии 1 мг/мл неспецифических IgG сыворотки человека, которые конкурировали с эффекторными МАТ за связывание Fc $\gamma$ R. Антитело-зависимое уничтожение измеряли по уменьшению количества p24+ CD4 T-клеток, применяя проточную цитометрию.

[0276] Значения AUC, EC<sub>50</sub> (мкг/мл) и Emax (%) для уничтожения представлены в таблицах 3 - 11.

[0277] Таблица 3. AUC уничтожения NK-клетками.

Вирус	Донор	AUC (NK)			
		A	A-1	1.52.64-1	PGT121.60
8176	0117	49	108	103	168
	3594	18	142	139	205
302076	0117	26	116	78	18
	3594	28	76	101	26
8398	0117	20	4	0	203
	3594	0	6	15	211

[0278] Таблица 4. EC50 уничтожения NK-клетками.

Вирус	Донор	EC50 (NK)			
		A	A-1	1.52.64-1	PGT121.60
8176	0117	>100	1,101	0,949	0,246

Вирус	Донор	EC50 (NK)			
		A	A-1	1.52.64-1	PGT121.60
	<b>3594</b>	>100	0,518	1,350	0,051
<b>302076</b>	<b>0117</b>	>100	1,701	7,602	100,000
	<b>3594</b>	>100	2,613	3,114	72,050
<b>8398</b>	<b>0117</b>	>100	>100	>100	0,339
	<b>3594</b>	>100	>100	>100	0,220

[0279] Таблица 5. Emax уничтожения NK-клетками.

Вирус	Донор	Emax (NK)			
		A	A-1	1.52.64-1	PGT121.60
<b>8176</b>	<b>0117</b>	<20	56	54	65
	<b>3594</b>	<20	62	69	62
<b>302076</b>	<b>0117</b>	<20	68	69	20
	<b>3594</b>	<20	49	64	45
<b>8398</b>	<b>0117</b>	<20	<20	<20	79
	<b>3594</b>	<20	<20	<20	81

[0280] Таблица 6. AUC уничтожения моноцитами.

Вирус	Донор	AUC (моноциты)			
		A	A-1	1.52.64-1	PGT121.60
<b>8176</b>	<b>0117</b>	0	83	87	122
	<b>3594</b>	17	141	159	157
<b>302076</b>	<b>0117</b>	24	54	61	24
	<b>3594</b>	138	166	158	108
<b>8398</b>	<b>0117</b>	0	0	4	53
	<b>3594</b>	0	13	4	186

[0281] Таблица 7. EC50 уничтожения моноцитами.

Вирус	Донор	EC50 (моноциты)			
		A	A-1	1.52.64-1	PGT121.60
<b>8176</b>	<b>0117</b>	>100	0,402	0,490	0,232
	<b>3594</b>	>100	0,309	0,202	0,010
<b>302076</b>	<b>0117</b>	10,570	6,514	7,236	>100
	<b>3594</b>	0,006	0,062	0,088	0,019
<b>8398</b>	<b>0117</b>	>100	>100	>100	0,728
	<b>3594</b>	>100	>100	>100	0,201

[0282] Таблица 8. Emax уничтожения моноцитами.

Вирус	Донор	Emax (моноциты)			
		A	A-1	1.52.64-1	PGT121.60
<b>8176</b>	<b>0117</b>	<20	34	35	44
	<b>3594</b>	<20	47	57	40
<b>302076</b>	<b>0117</b>	24	46	47	20
	<b>3594</b>	33	49	54	30
<b>8398</b>	<b>0117</b>	<20	<20	<20	25
	<b>3594</b>	<20	<20	<20	67

[0283] Таблица 9. AUC уничтожения нейтрофилами.

Вирус	Донор	AUC (нейтрофилы)			
		A	A-1	1.52.64-1	PGT121.60
<b>8176</b>	<b>92132</b>	41	74	89	125
	<b>92602</b>	21	47	45	71

[0284] Таблица 10. EC50 уничтожения нейтрофилами.

Вирус	Донор	EC50 (нейтрофилы)			
		A	A-1	1.52.64-1	PGT121.60
<b>8176</b>	<b>92132</b>	>100	0,231	0,307	0,012
	<b>92602</b>	>100	1,097	0,199	0,232

[0285] Таблица 11. Emax уничтожения нейтрофилами.

Вирус	Донор	Emax (нейтрофилы)			
		A	A-1	1.52.64-1	PGT121.60
<b>8176</b>	<b>92132</b>	<20	29	37	34
	<b>92602</b>	<20	23	<20	25

[0286] Результаты, представленные в таблицах 3 - 11 демонстрируют, что, в соответствии с опосредованной NK АЗКЦ клеток СЕМ, для МАТ со сконструированными Fc (1.52.64-1, A-1 и PGT121.60) также выявили повышенное уничтожение инфицированных ВИЧ первичных CD4 Т-клеток NK-клетками, моноцитами и нейтрофилами по сравнению с таковым для антитела A.

#### Пример 2. Цикл производства антител.

[0287] Последовательности антитела A и антитела B сравнили с таковыми в зародышевой линии человека и выявили несколько мутаций, вставок и делеций как внутри, так и снаружи областей CDR. Вкратце, обнаружили непрерывный участок несовпадения с зародышевой линией в каркасной области 3 тяжелой цепи (HC FR3) в положениях 72 - 78 тяжелой цепи (HC). Обнаружили вставки четырех аминокислот между положениями 74 и 75 в FR3 HC. Делецию относительно зародышевой линии обнаружили в CDR L1 в положениях 27 - 30 легкой цепи (LC). Непрерывный участок несовпадения с зародышевой линией обнаружили в каркасной области 3 легкой цепи (LC FR3) в положениях 65 - 77. Связанный с N72 консенсусный мотив гликозилирования обнаружили в FR3 LC в положениях 72 - 74. Делецию относительно зародышевой линии обнаружили в CDR L3 в положении 92 - 95. Два остатка, которые высоко консервативны в легких цепях IgG человека (F98 и G99), были мутированы как в антителе A, так и в антителе B.

**[0288]** Проводили масс-спектрометрические исследования экспрессированного ExpiCHO антитела А, чтобы определить, было ли гликозилирование в положениях 72 – 74 в LC. Проводили ускоренное стрессовое испытание и анализ эффективности, чтобы увидеть, присутствует ли какая-либо химическая неустойчивость (например, окисление, дезамидирование и т.д.) у антитела А или его вариантов. Вследствие высокого уровня соматической гипермутации, проводили картирование Т-клеточных эпитопов первичной последовательности, чтобы определить потенциально иммуногенные мотивы. Кроме того, осуществляли производственный цикл итерационной белковой инженерии для, чтобы получить новые антитела без мотива гликозилирования N72 и/или с большим общим совпадением с зародышевой линией человека. Без привязки к каким-либо конкретным теориям, данный производственный цикл мог позволить получить новые антитела, которые обладают желательными свойствами, включая но не ограничиваясь перечисленными: сниженный риск иммуногенности, эффективность и ширину нейтрализации ВИЧ, равную или лучшую, чем у антитела А или антитела В, и/или улучшенные биофизические свойства и параметры разработки.

**[0289]** В таблице 12 представлены последовательности SEQ ID NO областей CDR VH и VL (согласно определению Кабата) антител против gp120, описанных в данной заявке.

**Таблица 12. Последовательности SEQ ID NO области CDR VH и VL антител**

Название антитела	VHCDR1	VHCDR2	VHCDR3	VLCDR1	VLCDR2	VLCDR3
A-1	137	138	139	140	141	142
A	137	138	139	140	141	142
1v2-1	137	138	139	140	141	142
1.2.1-1	137	138	139	140	141	142
1.1.2-1	137	138	139	140	141	142
1.2.2-1	137	138	139	140	141	142
1.3.1-1	137	138	139	140	141	142
1.4.1-1	137	138	139	140	141	142
1.5.1-1	137	138	139	140	141	142
1.6.1-1	137	138	139	140	141	142
1.7.1-1	137	138	139	140	141	142

**Таблица 12. Последовательности SEQ ID NO области CDR VH и VL антител**

Название антитела	VHCDR1	VHCDR2	VHCDR3	VLCDR1	VLCDR2	VLCDR3
1.8.1-1	137	138	139	140	141	142
1.9.1-1	137	138	139	140	141	142
1.10.1-1	159	138	139	140	141	142
1.11.1-1	159	138	139	140	141	142
1.15.1-1	137	160	139	140	141	142
1.16.1-1	137	161	139	140	141	142
1.17.1-1	137	162	139	140	141	142
1.18.1-1	137	163	139	140	141	142
1.19.1-1	137	138	139	140	141	142
1.20.1-1	137	138	139	140	141	142
1.21.1-1	137	138	139	140	141	142
1.22.1-1	137	138	139	140	141	142
1.24.1-1	137	138	139	140	141	142
1.25.1-1	137	138	139	140	141	142
1.26.1-1	137	138	139	140	141	142
1.27.1-1	137	138	164	140	141	142
1.28.1-1	137	138	164	140	141	142
1.29.1-1	137	138	139	140	141	142
1.30.1-1	137	138	139	140	141	142
1.1.3-1	137	138	139	140	141	142
1.1.4-1	137	138	139	140	141	142
1.1.5-1	137	138	139	140	141	142
1.1.6-1	137	138	139	140	165	142
1.1.7-1	137	138	139	140	166	142
1.1.8-1	137	138	139	140	168	142
1.1.9-1	137	138	139	140	167	142
1.1.10-1	137	138	139	140	141	142
1.1.11-1	137	138	139	140	141	142
1.1.12-1	137	138	139	140	141	142
1.1.13-1	137	138	139	140	141	142

**Таблица 12. Последовательности SEQ ID NO области CDR VH и VL антител**

Название антитела	VHCDR1	VHCDR2	VHCDR3	VLCDR1	VLCDR2	VLCDR3
1.1.14-1	137	138	139	140	141	142
1.1.15-1	137	138	139	140	141	142
1.1.16-1	137	138	139	140	141	142
1.1.17-1	137	138	139	140	141	142
1.1.18-1	137	138	139	140	141	142
1.1.19-1	137	138	139	140	141	142
1.1.20-1	137	138	139	140	141	142
1.1.21-1	137	138	139	140	141	142
1.1.22-1	137	138	139	140	141	142
1.1.23-1	137	138	139	140	141	142
1.1.24-1	137	138	139	140	141	142
1.1.25-1	137	138	139	140	141	142
1.1.26-1	137	138	139	140	141	142
1.1.27-1	137	138	139	140	141	142
1.1.28-1	137	138	139	140	141	142
1.1.29-1	137	138	139	140	141	142
1.1.30-1	137	138	139	140	141	142
1.12.15-1	137	138	139	140	141	142
1.13.15-1	137	138	139	140	141	142
1.14.15-1	137	138	139	140	141	142
1.12.17-1	137	138	139	140	141	142
1.13.17-1	137	138	139	140	141	142
1.14.17-1	137	138	139	140	141	142
1.31.1-1	137	138	139	140	141	142
1.32.1-1	137	138	139	140	141	142
1.33.1-1	137	138	139	140	141	142
1.34.1-1	137	138	164	140	141	142
1.35.1-1	159	138	164	140	141	142
1.36.1-1	159	138	164	140	141	142
1.1.31-1	137	138	139	140	141	142

**Таблица 12. Последовательности SEQ ID NO области CDR VH и VL антител**

Название антитела	VHCDR1	VHCDR2	VHCDR3	VLCDR1	VLCDR2	VLCDR3
1.31.31-1	137	138	139	140	141	142
1.32.31-1	137	138	139	140	141	142
1.33.31-1	137	138	139	140	141	142
1.34.31-1	137	138	164	140	141	142
1.35.31-1	159	138	164	140	141	142
1.36.31-1	159	138	164	140	141	142
1.1.32-1	137	138	139	140	141	142
1.31.32-1	137	138	139	140	141	142
1.32.32-1	137	138	139	140	141	142
1.33.32-1	137	138	139	140	141	142
1.34.32-1	137	138	164	140	141	142
1.35.32-1	159	138	164	140	141	142
1.36.32-1	159	138	164	140	141	142
1.1.33-1	137	138	139	140	166	142
1.31.33-1	137	138	139	140	166	142
1.32.33-1	137	138	139	140	166	142
1.33.33-1	137	138	139	140	166	142
1.34.33-1	137	138	164	140	166	142
1.35.33-1	159	138	164	140	166	142
1.36.33-1	159	138	164	140	166	142
1.1.34-1	137	138	139	140	166	142
1.31.34-1	137	138	139	140	166	142
1.32.34-1	137	138	139	140	166	142
1.33.34-1	137	138	139	140	166	142
1.34.34-1	137	138	164	140	166	142
1.35.34-1	159	138	164	140	166	142
1.36.34-1	159	138	164	140	166	142
1.1.35-1	137	138	139	140	166	142
1.31.35-1	137	138	139	140	166	142
1.32.35-1	137	138	139	140	166	142

**Таблица 12. Последовательности SEQ ID NO области CDR VH и VL антител**

Название антитела	VHCDR1	VHCDR2	VHCDR3	VLCDR1	VLCDR2	VLCDR3
1.33.35-1	137	138	139	140	166	142
1.34.35-1	137	138	164	140	166	142
1.35.35-1	159	138	164	140	166	142
1.36.35-1	159	138	164	140	166	142
1.1.36-1	137	138	139	140	166	142
1.31.36-1	137	138	139	140	166	142
1.32.36-1	137	138	139	140	166	142
1.33.36-1	137	138	139	140	166	142
1.34.36-1	137	138	164	140	166	142
1.35.36-1	159	138	164	140	166	142
1.36.36-1	159	138	164	140	166	142
1.1.37-1	137	138	139	140	141	142
1.1.38-1	137	138	139	140	141	142
1.1.39-1	137	138	139	140	141	142
1.1.40-1	137	138	139	140	141	142
1.1.41-1	137	138	139	140	141	142
1.1.42-1	137	138	139	140	141	142
1.1.43-1	137	138	139	140	141	142
1.1.44-1	137	138	139	140	141	142
1.1.45-1	137	138	139	140	141	142
1.1.46-1	137	138	139	140	141	142
1.1.47-1	137	138	139	140	141	142
1.1.48-1	137	138	139	140	141	142
1.1.49-1	137	138	139	140	141	142
1.37.51-1	137	138	139	140	141	142
1.8.52-1	137	138	139	140	141	142
1.1.54-1	137	138	139	140	141	142
A-2	137	138	139	140	141	142
B-1	153	138	154	140	141	142
2.1.2-1	153	138	154	140	141	142

**Таблица 12. Последовательности SEQ ID NO области CDR VH и VL антител**

Название антитела	VHCDR1	VHCDR2	VHCDR3	VLCDR1	VLCDR2	VLCDR3
1.1.64-1	137	138	139	140	141	142
1.1.67-1	137	138	139	140	141	142
1.1.72-1	137	138	139	140	141	142
1.1.75-1	137	138	139	140	141	142
1.1.78-1	137	138	139	140	141	142
A-3	137	138	139	140	141	142
A-4	137	138	139	140	141	142
A-5	137	138	139	140	141	142
A-6	137	138	139	140	141	142
1.41.5-1	137	138	139	140	141	142
1.41.81-1	137	138	139	140	141	142
1.1.82-1	137	138	139	140	141	142
1.41.83-1	137	138	139	140	141	142
1.1.84-1	137	138	139	140	141	142
1.41.85-1	137	138	139	140	141	142
1.41.86-1	137	138	139	140	141	142
1.41.87-1	137	138	139	140	141	142
1.1.88-1	137	138	139	140	141	142
1.41.89-1	137	138	139	140	141	142
1.1.90-1	137	138	139	140	141	142
1.41.91-1	137	138	139	140	141	142
1.41.92-1	137	138	139	140	141	142
1.41.93-1	137	138	139	140	141	142
1.1.94-1	137	138	139	140	141	142
1.41.95-1	137	138	139	140	141	142
1.1.96-1	137	138	139	140	141	142
1.41.97-1	137	138	139	140	141	142
1.41.98-1	137	138	139	140	141	142
1.41.99-1	137	138	139	140	141	142
1.1.100-1	137	138	139	140	141	142

**Таблица 12. Последовательности SEQ ID NO области CDR VH и VL антител**

Название антитела	VHCDR1	VHCDR2	VHCDR3	VLCDR1	VLCDR2	VLCDR3
1.41.101-1	137	138	139	140	141	142
1.1.102-1	137	138	139	140	141	142
1.41.103-1	137	138	139	140	141	142
1.1.110-1	137	138	139	140	141	142
1.1.111-1	137	138	139	140	141	142
1.1.112-1	137	138	139	140	141	142
1.1.113-1	137	138	139	140	141	142
2.1.3-1	153	138	154	140	141	142
2.1.4-1	153	138	154	140	141	142
2.2.1-1	137	138	139	140	141	142
2.3.1-1	153	138	139	140	141	142
3.1.8-1	137	138	139	140	141	142
2.2.8-1	137	138	139	140	141	142
2.3.8-1	153	138	139	140	141	142
3.1.9-1	137	138	139	140	141	142
2.2.9-1	137	138	139	140	141	142
2.3.9-1	153	138	139	140	141	142
1.1.115-1	137	138	139	140	141	142
3.1.10-1	137	138	139	140	141	142
2.2.10-1	137	138	139	140	141	142
2.3.10-1	153	138	139	140	141	142
1.1.116-1	137	138	139	140	141	142
3.1.11-1	137	138	139	140	141	142
2.2.11-1	137	138	139	140	141	142
2.3.11-1	153	138	139	140	141	142
1.1.117-1	137	138	139	140	141	142
3.1.12-1	137	138	139	140	141	142
2.2.12-1	137	138	139	140	141	142
2.3.12-1	153	138	139	140	141	142
1.1.118-1	137	138	139	140	141	142

**Таблица 12. Последовательности SEQ ID NO области CDR VH и VL антител**

Название антитела	VHCDR1	VHCDR2	VHCDR3	VLCDR1	VLCDR2	VLCDR3
3.1.13-1	137	138	139	140	141	142
2.2.13-1	137	138	139	140	141	142
2.3.13-1	153	138	139	140	141	142
3.1.14-1	137	138	139	140	141	142
2.2.14-1	137	138	139	140	141	142
2.3.14-1	153	138	139	140	141	142
3.1.5-1	137	138	139	140	141	142
2.2.5-1	137	138	139	140	141	142
2.3.5-1	153	138	139	140	141	142
3.1.15-1	137	138	139	140	141	142
2.2.15-1	137	138	139	140	141	142
2.3.15-1	153	138	139	140	141	142
1.1.119-1	137	138	139	140	141	142
3.1.7-1	137	138	139	140	141	142
2.2.7-1	137	138	139	140	141	142
2.3.7-1	153	138	139	140	141	142
3.1.2-1	137	138	139	140	141	142
2.2.2-1	137	138	139	140	141	142
2.3.2-1	153	138	139	140	141	142
3.1.16-1	137	138	139	140	141	142
2.2.16-1	137	138	139	140	141	142
2.3.16-1	153	138	139	140	141	142
3.1.17-1	137	138	139	140	141	142
2.2.17-1	137	138	139	140	141	142
2.3.17-1	153	138	139	140	141	142
3.1.18-1	137	138	139	140	141	142
2.2.18-1	137	138	139	140	141	142
2.3.18-1	153	138	139	140	141	142
1.1.120-1	137	138	139	140	141	142
3.1.19-1	137	138	139	140	141	142

**Таблица 12. Последовательности SEQ ID NO области CDR VH и VL антител**

Название антитела	VHCDR1	VHCDR2	VHCDR3	VLCDR1	VLCDR2	VLCDR3
2.2.19-1	137	138	139	140	141	142
2.3.19-1	153	138	139	140	141	142
1.1.121-1	137	138	139	140	141	142
3.1.20-1	137	138	139	140	141	142
2.2.20-1	137	138	139	140	141	142
2.3.20-1	153	138	139	140	141	142
1.1.122-1	137	138	139	140	141	142
1.1.123-1	137	138	139	140	141	142
1.1.124-1	137	138	139	140	141	142
1.1.125-1	137	138	139	140	141	142
1.1.126-1	137	138	139	140	141	142
1.1.127-1	137	138	139	140	141	142
1.1.128-1	137	138	139	140	141	142
1.1.129-1	137	138	139	140	141	142
1.1.130-1	137	138	139	140	141	142
1.1.131-1	137	138	139	140	141	142
1.1.132-1	137	138	139	140	141	142
1.1.133-1	137	138	139	140	141	142
1.1.134-1	137	138	139	140	141	142
1.1.135-1	137	138	139	140	141	142
1.1.138-1	137	138	139	570	141	142
1.42.1-1	137	138	139	140	141	142
1.43.1-1	137	138	139	140	141	142
1.44.1-1	137	138	139	140	141	142
1.45.1-1	137	138	139	140	141	142
1.46.1-1	153	138	139	140	141	142
1.47.1-1	137	138	139	140	141	142
1.49.1-1	137	138	139	140	141	142
1.50.1-1	137	138	139	140	141	142
1.51.1-1	137	138	154	140	141	142

**Таблица 12. Последовательности SEQ ID NO области CDR VH и VL антител**

Название антитела	VHCDR1	VHCDR2	VHCDR3	VLCDR1	VLCDR2	VLCDR3
1.1.104-1	137	138	139	140	141	142
3-1	137	138	139	140	141	142
1.52.1-1	137	138	139	140	141	142
1.52.64-1	137	138	139	140	141	142
1.52.90	137	138	139	140	141	142
2.4.1-1	153	138	139	140	141	142

[0290] В таблице 13 представлены последовательности SEQ ID NO VH, VL, тяжелой и легкой цепей антител против gp120, описанных в данной заявке.

**Таблица 13. Последовательности SEQ ID NO VH, VL, тяжелой цепи (HC) и легкой цепи (LC) антител против gp120**

Название антитела	VH	VL	HC	LC
B	181	222	1	48
A-1	182	223	2	49
A	182	223	3	49
C-1	183	224	4	50
1v2-1	184	223	5	49
1.2.1-1	185	223	6	49
1.1.2-1	182	225	2	50
1.2.2-1	185	225	6	50
1.3.1-1	186	223	7	49
1.4.1-1	187	223	8	49
1.5.1-1	188	223	9	49
1.6.1-1	189	223	10	49
1.7.1-1	190	223	11	49
1.8.1-1	191	223	12	49
1.9.1-1	192	223	13	49
1.10.1-1	193	223	14	49
1.11.1-1	194	223	15	49

**Таблица 13. Последовательности SEQ ID NO VH, VL, тяжелой цепи (HC) и легкой цепи (LC) антител против gp120**

<b>Название антитела</b>	<b>VH</b>	<b>VL</b>	<b>HC</b>	<b>LC</b>
1.15.1-1	195	223	16	49
1.16.1-1	196	223	17	49
1.17.1-1	197	223	18	49
1.18.1-1	198	223	19	49
1.19.1-1	199	223	20	49
1.20.1-1	200	223	21	49
1.21.1-1	201	223	22	49
1.22.1-1	202	223	23	49
1.24.1-1	203	223	24	49
1.25.1-1	204	223	25	49
1.26.1-1	205	223	26	49
1.27.1-1	206	223	27	49
1.28.1-1	207	223	28	49
1.29.1-1	208	223	29	49
1.30.1-1	209	223	30	49
1.1.3-1	182	226	2	51
1.1.4-1	182	227	2	52
1.1.5-1	182	228	2	53
1.1.6-1	182	229	2	54
1.1.7-1	182	230	2	55
1.1.8-1	182	231	2	56
1.1.9-1	182	232	2	57
1.1.10-1	182	233	2	58
1.1.11-1	182	234	2	59
1.1.12-1	182	235	2	60
1.1.13-1	182	236	2	61
1.1.14-1	182	237	2	62
1.1.15-1	182	238	2	63
1.1.16-1	182	239	2	64
1.1.17-1	182	240	2	65

**Таблица 13. Последовательности SEQ ID NO VH, VL, тяжелой цепи (HC) и легкой цепи (LC) антител против gp120**

<b>Название антитела</b>	<b>VH</b>	<b>VL</b>	<b>HC</b>	<b>LC</b>
1.1.18-1	182	241	2	66
1.1.19-1	182	242	2	67
1.1.20-1	182	243	2	68
1.1.21-1	182	244	2	69
1.1.22-1	182	245	2	70
1.1.23-1	182	246	2	71
1.1.24-1	182	247	2	72
1.1.25-1	182	248	2	73
1.1.26-1	182	249	2	74
1.1.27-1	182	250	2	75
1.1.28-1	182	251	2	76
1.1.29-1	182	252	2	77
1.1.30-1	182	253	2	78
1.12.15-1	210	238	31	63
1.13.15-1	211	238	32	63
1.14.15-1	212	238	33	63
1.12.17-1	210	240	31	65
1.13.17-1	211	240	32	65
1.14.17-1	212	240	33	65
1.31.1-1	213	223	34	49
1.32.1-1	214	223	35	49
1.33.1-1	215	223	36	49
1.34.1-1	216	223	37	49
1.35.1-1	217	223	38	49
1.36.1-1	218	223	39	49
1.1.31-1	182	254	2	79
1.31.31-1	213	254	34	79
1.32.31-1	214	254	35	79
1.33.31-1	215	254	36	79
1.34.31-1	216	254	37	79

**Таблица 13. Последовательности SEQ ID NO VH, VL, тяжелой цепи (HC) и легкой цепи (LC) антител против gp120**

<b>Название антитела</b>	<b>VH</b>	<b>VL</b>	<b>HC</b>	<b>LC</b>
1.35.31-1	217	254	38	79
1.36.31-1	218	254	39	79
1.1.32-1	182	255	2	80
1.31.32-1	213	255	34	80
1.32.32-1	214	255	35	80
1.33.32-1	215	255	36	80
1.34.32-1	216	255	37	80
1.35.32-1	217	255	38	80
1.36.32-1	218	255	39	80
1.1.33-1	182	256	2	81
1.31.33-1	213	256	34	81
1.32.33-1	214	256	35	81
1.33.33-1	215	256	36	81
1.34.33-1	216	256	37	81
1.35.33-1	217	256	38	81
1.36.33-1	218	256	39	81
1.1.34-1	182	257	2	82
1.31.34-1	213	257	34	82
1.32.34-1	214	257	35	82
1.33.34-1	215	257	36	82
1.34.34-1	216	257	37	82
1.35.34-1	217	257	38	82
1.36.34-1	218	257	39	82
1.1.35-1	182	258	2	83
1.31.35-1	213	258	34	83
1.32.35-1	214	258	35	83
1.33.35-1	215	258	36	83
1.34.35-1	216	258	37	83
1.35.35-1	217	258	38	83
1.36.35-1	218	258	39	83

**Таблица 13. Последовательности SEQ ID NO VH, VL, тяжелой цепи (HC) и легкой цепи (LC) антител против gp120**

<b>Название антитела</b>	<b>VH</b>	<b>VL</b>	<b>HC</b>	<b>LC</b>
1.1.36-1	182	259	2	84
1.31.36-1	213	259	34	84
1.32.36-1	214	259	35	84
1.33.36-1	215	259	36	84
1.34.36-1	216	259	37	84
1.35.36-1	217	259	38	84
1.36.36-1	218	259	39	84
1.1.37-1	182	260	2	85
1.1.38-1	182	261	2	86
1.1.39-1	182	262	2	87
1.1.40-1	182	263	2	88
1.1.41-1	182	264	2	89
1.1.42-1	182	265	2	90
1.1.43-1	182	266	2	91
1.1.44-1	182	267	2	92
1.1.45-1	182	268	2	93
1.1.46-1	182	269	2	94
1.1.47-1	182	270	2	95
1.1.48-1	182	271	2	96
1.1.49-1	182	272	2	97
1.37.51-1	219	273	40	98
1.8.52-1	191	274	12	99
1.1.54-1	182	275	2	100
A-2	182	223	41	49
B-1	220	276	42	101
2.1.2-1	220	277	42	102
1.1.64-1	182	278	2	103
1.1.67-1	182	279	2	104
1.1.72-1	182	280	2	105
1.1.75-1	182	281	2	106

**Таблица 13. Последовательности SEQ ID NO VH, VL, тяжелой цепи (HC) и легкой цепи (LC) антител против gp120**

<b>Название антитела</b>	<b>VH</b>	<b>VL</b>	<b>HC</b>	<b>LC</b>
1.1.78-1	182	282	2	107
A-3	182	223	43	49
A-4	182	223	44	49
A-5	182	223	45	49
A-6	182	223	46	49
1.41.5-1	221	228	47	53
1.41.81-1	221	283	47	108
1.1.82-1	182	284	2	109
1.41.83-1	221	285	47	110
1.1.84-1	182	286	2	111
1.41.85-1	221	287	47	112
1.41.86-1	221	288	47	113
1.41.87-1	221	289	47	114
1.1.88-1	182	290	2	115
1.41.89-1	221	291	47	116
1.1.90-1	182	292	2	117
1.41.91-1	221	293	47	118
1.41.92-1	221	294	47	119
1.41.93-1	221	295	47	120
1.1.94-1	182	296	2	121
1.41.95-1	221	297	47	122
1.1.96-1	182	298	2	123
1.41.97-1	221	299	47	124
1.41.98-1	221	300	47	125
1.41.99-1	221	301	47	126
1.1.100-1	182	302	2	127
1.41.101-1	221	303	47	128
1.1.102-1	182	304	2	129
1.41.103-1	221	305	47	130
1.1.110-1	182	306	2	131

**Таблица 13. Последовательности SEQ ID NO VH, VL, тяжелой цепи (HC) и легкой цепи (LC) антител против gp120**

<b>Название антитела</b>	<b>VH</b>	<b>VL</b>	<b>HC</b>	<b>LC</b>
1.1.111-1	182	307	2	132
1.1.112-1	182	308	2	133
1.1.113-1	182	309	2	134
2.1.3-1	220	310	42	135
2.1.4-1	220	311	42	136
2.2.1-1	465	276	517	101
2.3.1-1	466	276	518	101
3.1.8-1	182	479	2	531
2.2.8-1	465	479	517	531
2.3.8-1	466	479	518	531
3.1.9-1	182	480	2	532
2.2.9-1	465	480	517	532
2.3.9-1	466	480	518	532
1.1.115-1	182	481	2	533
3.1.10-1	182	482	2	534
2.2.10-1	465	482	517	534
2.3.10-1	466	482	518	534
1.1.116-1	182	483	2	535
3.1.11-1	182	484	2	536
2.2.11-1	465	484	517	536
2.3.11-1	466	484	518	536
1.1.117-1	182	485	2	537
3.1.12-1	182	486	2	538
2.2.12-1	465	486	517	538
2.3.12-1	466	486	518	538
1.1.118-1	182	487	2	539
3.1.13-1	182	488	2	540
2.2.13-1	465	488	517	540
2.3.13-1	466	488	518	540
3.1.14-1	182	489	2	541

**Таблица 13. Последовательности SEQ ID NO VH, VL, тяжелой цепи (HC) и легкой цепи (LC) антител против gp120**

<b>Название антитела</b>	<b>VH</b>	<b>VL</b>	<b>HC</b>	<b>LC</b>
2.2.14-1	465	489	517	541
2.3.14-1	466	489	518	541
3.1.5-1	182	491	2	542
2.2.5-1	465	491	517	542
2.3.5-1	466	491	518	542
3.1.15-1	182	492	2	543
2.2.15-1	465	492	517	543
2.3.15-1	466	492	518	543
1.1.119-1	182	493	2	544
3.1.7-1	182	494	2	545
2.2.7-1	465	494	517	545
2.3.7-1	466	494	518	545
3.1.2-1	182	277	2	102
2.2.2-1	465	277	517	102
2.3.2-1	466	277	518	102
3.1.16-1	182	495	2	546
2.2.16-1	465	495	517	546
2.3.16-1	466	495	518	546
3.1.17-1	182	496	2	547
2.2.17-1	465	496	517	547
2.3.17-1	466	496	518	547
3.1.18-1	182	497	2	548
2.2.18-1	465	497	517	548
2.3.18-1	466	497	518	548
1.1.120-1	182	498	2	549
3.1.19-1	182	499	2	550
2.2.19-1	465	499	517	550
2.3.19-1	466	499	518	550
1.1.121-1	182	500	2	551
3.1.20-1	182	501	2	552

**Таблица 13. Последовательности SEQ ID NO VH, VL, тяжелой цепи (HC) и легкой цепи (LC) антител против gp120**

<b>Название антитела</b>	<b>VH</b>	<b>VL</b>	<b>HC</b>	<b>LC</b>
2.2.20-1	465	501	517	552
2.3.20-1	466	501	518	552
1.1.122-1	182	502	2	553
1.1.123-1	182	503	2	554
1.1.124-1	182	504	2	555
1.1.125-1	182	505	2	556
1.1.126-1	182	506	2	557
1.1.127-1	182	507	2	558
1.1.128-1	182	508	2	559
1.1.129-1	182	509	2	560
1.1.130-1	182	510	2	561
1.1.131-1	182	511	2	562
1.1.132-1	182	512	2	563
1.1.133-1	182	513	2	564
1.1.134-1	182	514	2	565
1.1.135-1	182	515	2	566
1.1.138-1	182	569	2	568
1.42.1-1	467	223	519	49
1.43.1-1	468	223	520	49
1.44.1-1	469	223	521	49
1.45.1-1	470	223	522	49
1.46.1-1	471	223	523	49
1.47.1-1	472	223	524	49
1.49.1-1	474	223	526	49
1.50.1-1	475	223	527	49
1.51.1-1	476	223	528	49
1.1.104-1	182	516	2	567
3-1	182	276	2	101
1.52.1-1	477	223	529	49
1.52.64-1	477	278	529	103

**Таблица 13. Последовательности SEQ ID NO VH, VL, тяжелой цепи (HC) и легкой цепи (LC) антител против gp120**

<b>Название антитела</b>	<b>VH</b>	<b>VL</b>	<b>HC</b>	<b>LC</b>
1.52.90	477	292	529	117
2.4.1-1	478	276	530	101

Пример 3. Анализ методом масс-спектрометрии.

[0291] Антитело A-1 временно экспрессировали в клетках ExpiCHO и очищали на белке A, используя стандартные способы. Образец денатурировали и восстанавливали, применяя 4 М гуанидина гидрохлорид и 50 мМ ДТТ (конечные концентрации) и греля в течение 20 минут при 60°C. Образец обессоливали в рабочем режиме по мере разделения восстановленных тяжелой и легкой цепей на колонке BEH C4 для обращенно-фазовой хроматографии перед впрыскиванием в источник гибридного время-пролетного масс-спектрометра SYNAPT G2Si Waters. Осуществляли деконволюцию пакетов пиков многозарядных белков, применяя алгоритм Максимально энтропийной деконволюции. Результаты показали, что легкая цепь антитела A была гликозилирована. Наблюдаемый масс-спектр легкой цепи выявил присутствие модификации G0-гликана с дополнительной связанный с гликаном гетерогенностью масс. Данное наблюдение согласуется с присутствием консенсусного мотива гликозилирования N72 в домене VL антитела (NLT) и с предыдущими кристаллическими структурами антитела A, выявившими гликозилирование в данном положении (Zhou и др., *Immunity*, 39:245-258 (2013); Klein и др., *Cell*, 153:126-138 (2013)).

Пример 4. Вызванная ускоренным стрессовым испытанием утрата эффективности.

[0292] Для того чтобы определить химическую неустойчивость, проводили ускоренное исследование термической стабильности (стрессовые испытания в различных условиях) для А-1. Антилого подвергали стрессовым испытаниям при pH 5,9 при 25° С и 37° С (стресс, подобный таковому при получении состава) и при pH 7,4 при 37° С (стресс, имитирующий физиологические условия). Образцы объединяли и замораживали в T0, дополнительно к 2, 4 и 6 неделям. Выбранные образцы подвергали скринингу на вызванную стрессом утрату эффективности перед осуществлением других способов. Анализ эффективности, используемый для подвергнутых стрессовым испытаниям образцов А-1, представлял собой репортерный анализ АЗКЦ, в котором использовали репортерную клетку, которая экспрессирует люциферазу, когда рецепторы FcγRIIIa на поверхности указанной клетки связывались посредством функциональных доменов Fc и Fab МАТ с целевой клеткой. Целевая клетка в анализе экспрессировала гликопротеин Env ВИЧ, с которым связывался Fab А-1. Люцифераза стехиометрически превращала избыток люминесцентного субстрата с образованием света, который измеряли в данном анализе. Кривые ответа указывали на эффективность антитела.

[0293] На фигуре 1 показано, что наиболее значительные утраты эффективности для А-1 происходили в условиях pH 5,9. Затем мы проводили пептидное картирование для различных условий стрессовых испытаний, чтобы определить вызванную стрессом химическую модификацию, приводящую к утрате активности pH 5,9. Мы дополнительно получали пептидные карты для образцов, подвергнутых стрессовым испытаниям при pH 7,4, чтобы определить модификации, к возникновению которых будет склонность при подобных физиологическим условиях.

[0294] Образцы антитела А-1 для различных условий стрессовых испытаний денатурировали, восстанавливали и алкилировали йодацетамидом перед расщеплением эндопептидазой Lys-C. Гидролизаты белков впоследствии анализировали с помощью обращенно-фазовой ЖХ/МС/МС на масс-спектрометре Q-Exactive HF Thermo. Пептидные карты анализировали, применяя программное обеспечение Pepfinder и Xcalibur Thermo, тогда как перечни ионов дополнительно анализировали в Microsoft Excel. Поскольку результаты нашего репортерного анализа АЗКЦ показывали на наиболее значительную утрату эффективности при условиях с pH 5,9, мы провели поиск в перечнях ионов модификаций,

происходящих с течением времени, но которые были уникальны для условий с pH 5,9. Наиболее значимой вызванной стрессом зависящей от времени модификацией, уникальной для условий с pH 5,9, было окисление триптофана 76 в тяжелой цепи MAT, наблюдаемое на пептиде T<sub>55</sub>GQPNNPRQFQGRVSLTRHASWDFDTFSFYMDLK<sub>88</sub> (T55-K88 ) (SEQ ID NO: 630) как добавление кислорода (+15,99 Да), и дальнейшее превращение в кинуренин (+3,99 Да). Для относительного количественного анализа данных превращений интенсивности пиков из полученных в Pepfinder перечней ионов для двух окисленных вариантов суммировали, а затем сравнивали с суммой всех интенсивностей пиков модифицированного и немодифицированного пептида T55-K88. Полученные суммированные результаты для окисленного пептида при различных стрессовых условиях представлены на фигуре 2. Именно на основании данных исследований мы выяснили, что окисление W74a (Кабат, вставка FR3) несло потенциальный риск для фармацевтической стабильности антитела A-1.

**[0295]** Дополнительно к значительному окислению в W74a тяжелой цепи, наблюдаемому при условиях с pH 5,9, приблизительно 8 - 9% дезамидирования в положении N26 легкой цепи наблюдали на конструкциях в Т0, и процент далее повышался условиях инкубации с pH 7,4. Указанный процент дезамидирования отражает комбинацию аспарагина, дезамидированного с образованием аспарагиновой кислоты (+0,98 Да), изоаспарагиновой кислоты (+0,98) и аспартил сукцинимида (-17,03 Да), и его наблюдали на пептиде легкой цепи D<sub>1</sub>IQMTQSPSSLASAVGDTVTITCQANGYLNWYQQRRGK<sub>38</sub> (SEQ ID NO: 631). Результаты изображены на фигуре 3.

**[0296]** Хотя он является частью каркаса антитела, остаток тяжелой цепи W74a обнаружили внутри необычной вставки в каркас петли, которая образует часть паратопа антитела и, следовательно, непосредственно контактирует с gp120 ВИЧ (Lee и др. 2017. *Immunity* 46: 690-702). Остаток легкой цепи N26 является частью мотива риска дезамидирования NG в CDR1, который образован необычной делецией в зародышевой линии в антителе A-1. Подобно W74a, N26 образует часть паратопа, и предсказано, что она контактирует с элементами gp120 ВИЧ. На основании доступных структурных моделей мы затем разработали панель из 15 мутантов, разработанных таким образом, чтобы удалить сайт окисления W74a и мотив дезамидирования N26. Указанные мутации подвергали скринингу в анализе нейтрализации ВИЧ (см. пример 10), чтобы идентифицировать вариант, в котором

удален W74a, но который оказывает минимальное влияние на эффективность или ширину нейтрализации антитела A-1.

Пример 5. Картирование Т-клеточного эпитопа.

**[0297]** Чтобы оценить иммуногенность и идентифицировать иммунодоминантные Т-клеточные эпитопы, анализ картирования Т-клеточных эпитопов Epi-Screen Antitope применяли для скрининга перекрывающихся 15-мерных пептидов, покрывающих всю последовательность LC и HC Fv антитела A. Фоновый уровень ответа доноров ( $n = 50$  доноров) в анализе составлял 8%, и ответы  $>10\%$  будут считать положительными в данном анализе. Результаты картирования Т-клеточных эпитопов на HC и LC антитела A позволили идентифицировать один пептид, GDTVTITCQANGYLN (SEQ ID NO: 320), содержащий предполагаемый Т-клеточный эпитоп, с уровнем ответа доноров 18%, в легкой цепи антитела A.

**[0298]** Вычислительное предсказание корового 9-мера с применением алгоритма iTope Antitope выявило VTITCQANG (SEQ ID NO: 321) в качестве потенциального связывающего МНСII 9-мерного кора в пептиде, причем остаток V19 представлял собой якорное положение P1. С-конец данного эпитопа перекрывается с остатками не из зародышевой линии в CDR L1 которые, как известно, контактируют с антигеном gp120, что видно по кокристаллическим структурам. Для того чтобы избежать нарушения связывания антигена посредством обратной мутации к зародышевой линии CDR L1, данный эпитоп удаляли путем введения мутации V19A LC в положение якоря P1.

Пример 6. Определение характеристик антитела.

**[0299]** Сканирующий и комбинаторный мутагенез использовали для получения дополнительных антител, чтобы оценить биофизическое и функциональное влияние на антитело A обратных мутаций к зародышевой линии и удаления гликана. Одноточечный анализ ELISA при концентрации EC<sub>50</sub> для антитела A-1 проводили для каждого из трех уникальных антигенов gp120 ВИЧ в 384-луночном формате и нормировали на контроли на данном планшете. Анализ методом дифференциальной сканирующей флуориметрии (ДСФ) проводили параллельно, чтобы оценить влияние мутаций на температуру плавления (T<sub>m</sub>) Fab. Результаты представлены в таблице 14.

**[0300]** Таблица 14. Определение характеристик антитела посредством ELISA и ДСФ.

<b>Антитело</b>	<b>ELISA gp120 Bal (A<sub>450</sub>)</b>	<b>ELISA gp120 SHIV SF162 P3 (A<sub>450</sub>)</b>	<b>ELISA gp120 CAAN (A<sub>450</sub>)</b>	<b>ELISA БСА (A<sub>450</sub>)</b>	<b>ДСФ Tm Fab (°C)</b>
A-1	0,91	0,94	1,06	0,06	79,69
1.2.2-1	0,91	0,97	0,80	0,06	79,65
1.2.1-1	0,93	1,02	1,01	0,07	79,35
1.3.1-1	0,97	1,13	0,94	0,06	77,85
1.4.1-1	1,04	1,19	0,96	0,06	78,90
1.5.1-1	0,92	1,15	1,07	0,06	82,02
1.6.1-1	0,95	1,10	0,90	0,06	78,27
1.7.1-1	0,98	1,08	1,04	0,06	79,56
1.8.1-1	0,86	0,94	0,90	0,06	78,77
1.9.1-1	1,08	1,23	0,98	0,06	82,40
1.10.1-1	0,95	1,03	0,94	0,06	78,23
1.11.1-1	0,93	0,57	0,75	0,09	71,14
1.15.1-1	0,87	1,24	1,38	0,06	71,14
1.16.1-1	0,92	0,90	0,87	0,07	72,77
1.17.1-1	0,84	0,31	0,70	0,06	71,27
1.18.1-1	0,97	1,36	1,18	0,07	71,39
1.19.1-1	0,85	0,96	0,93	0,06	80,03
1.20.1-1	0,89	0,91	0,80	0,06	77,78
1.21.1-1	0,87	0,82	0,77	0,07	78,28
1.22.1-1	1,03	0,78	0,87	0,06	77,15
1v2-1	1,03	1,29	1,00	0,08	79,28
1.24.1-1	0,98	1,09	0,90	0,06	75,02
1.25.1-1	1,07	1,03	1,16	0,06	77,16
1.26.1-1	0,81	0,94	1,00	0,06	78,54
1.27.1-1	0,86	0,86	0,86	0,07	75,28
1.28.1-1	1,05	0,99	0,99	0,06	76,03

<b>Антитело</b>	<b>ELISA gp120 Bal (A<sub>450</sub>)</b>	<b>ELISA gp120 SHIV SF162 P3 (A<sub>450</sub>)</b>	<b>ELISA gp120 CAAN (A<sub>450</sub>)</b>	<b>ELISA БСА (A<sub>450</sub>)</b>	<b>ДСФ Tm Fab (°C)</b>
1.29.1-1	1,03	0,98	1,08	0,06	80,04
1.30.1-1	0,81	1,03	1,05	0,06	79,17
1.1.2-1	0,95	1,01	0,93	0,06	78,54
1.1.3-1	0,97	0,97	1,00	0,07	79,29
1.1.4-1	0,96	1,07	1,09	0,06	79,42
1.1.5-1	0,90	0,93	0,90	0,06	78,41
1.1.6-1	0,91	0,41	0,46	0,07	78,92
1.1.7-1	0,95	1,02	1,00	0,06	78,89
1.1.8-1	1,01	0,37	0,50	0,06	79,40
1.1.9-1	0,98	1,09	0,93	0,07	77,81
1.1.10-1	0,94	1,02	1,10	0,06	78,89
1.1.11-1	0,92	0,93	1,03	0,06	78,64
1.1.12-1	1,05	1,13	1,02	0,06	78,52
1.1.13-1	0,94	0,97	1,11	0,06	78,77
1.1.14-1	Низкий выход/нет экспрессии				
1.1.15-1	0,93	0,79	0,79	0,06	79,02
1.1.16-1	1,06	1,05	0,99	0,06	80,77
1.1.17-1	1,02	1,07	0,90	0,06	85,20
1.1.18-1	0,92	0,94	0,92	0,06	80,66
1.1.19-1	1,03	1,12	1,05	0,06	80,36
1.1.20-1	0,94	1,01	0,95	0,07	77,90
1.1.21-1	0,98	1,03	0,99	0,06	81,78
1.1.22-1	0,88	1,04	1,02	0,06	80,53
1.1.23-1	0,90	1,07	0,95	0,06	81,66
1.1.24-1	0,88	0,97	0,98	0,06	80,15

<b>Антитело</b>	<b>ELISA gp120 Bal (A<sub>450</sub>)</b>	<b>ELISA gp120 SHIV SF162 P3 (A<sub>450</sub>)</b>	<b>ELISA gp120 CAAN (A<sub>450</sub>)</b>	<b>ELISA БСА (A<sub>450</sub>)</b>	<b>ДСФ Tm Fab (°C)</b>
1.1.25-1	0,90	1,01	0,92	0,07	78,65
1.1.26-1	0,96	1,09	1,07	0,06	79,03
1.1.27-1	0,97	1,10	0,99	0,06	77,78
1.1.28-1	0,98	1,09	0,93	0,06	77,65
1.1.29-1	0,91	0,90	1,01	0,06	79,17
1.1.30-1	0,90	0,98	0,86	0,06	80,67
1.12.15-1	0,69	0,53	0,63	0,06	78,41
1.13.15-1	0,70	0,52	0,60	0,06	76,41
1.14.15-1	Низкий выход/нет экспрессии				
1.12.17-1	0,90	0,75	0,84	0,06	82,67
1.13.17-1	1,02	0,69	0,78	0,06	79,04
1.14.17-1	0,89	0,24	0,43	0,10	73,15
1.31.1-1	0,82	0,87	0,92	0,06	79,67
1.32.1-1	0,93	0,91	0,83	0,06	75,03
1.33.1-1	0,88	0,96	0,98	0,06	83,28
1.34.1-1	0,83	0,79	0,90	0,07	79,15
1.35.1-1	0,84	0,80	0,87	0,07	75,77
1.36.1-1	1,13	0,59	0,75	0,18	69,63
1.1.31-1	0,87	0,87	0,96	0,06	78,64
1.31.31-1	0,98	0,97	1,02	0,07	79,15
1.32.31-1	0,95	0,66	0,90	0,07	75,01
1.33.31-1	0,92	0,89	1,18	0,07	82,44
1.34.31-1	0,91	0,77	0,92	0,06	78,64
1.35.31-1	1,05	0,68	0,99	0,07	75,39
1.36.31-1	Низкий выход/нет экспрессии				
1.1.32-1	0,93	0,89	1,04	0,06	81,07

<b>Антитело</b>	<b>ELISA gp120 Bal (A<sub>450</sub>)</b>	<b>ELISA gp120 SHIV SF162 P3 (A<sub>450</sub>)</b>	<b>ELISA gp120 CAAN (A<sub>450</sub>)</b>	<b>ELISA БСА (A<sub>450</sub>)</b>	<b>ДСФ Tm Fab (°C)</b>
1.31.32-1	0,98	0,91	1,04	0,06	81,40
1.32.32-1	0,89	0,70	0,90	0,08	77,52
1.33.32-1	0,98	0,98	1,13	0,07	85,42
1.34.32-1	0,93	0,69	0,97	0,06	81,78
1.35.32-1	0,96	0,58	1,01	0,06	77,27
1.36.32-1	0,96	0,18	0,50	0,07	71,26
1.1.33-1	0,87	0,84	0,94	0,07	78,40
1.31.33-1	0,89	0,74	0,86	0,06	78,27
1.32.33-1	0,93	0,71	0,68	0,06	74,27
1.33.33-1	1,09	0,97	1,06	0,07	81,78
1.34.33-1	1,10	0,82	1,04	0,06	77,15
1.35.33-1	0,90	0,65	0,91	0,06	74,64
1.36.33-1	Низкий выход/нет экспрессии				
1.1.34-1	0,90	0,83	0,96	0,06	79,02
1.31.34-1	0,76	0,82	0,86	0,06	79,27
1.32.34-1	0,81	0,71	0,86	0,06	77,15
1.33.34-1	0,95	0,82	0,95	0,06	82,66
1.34.34-1	0,89	0,70	0,88	0,06	80,03
1.35.34-1	1,00	0,58	0,85	0,06	77,27
1.36.34-1	1,01	0,15	0,43	0,07	71,01
1.1.35-1	0,96	0,72	0,75	0,08	77,65
1.31.35-1	0,90	0,61	0,77	0,06	78,14
1.32.35-1	0,89	0,50	0,59	0,06	74,46
1.33.35-1	1,03	0,71	0,81	0,07	82,03
1.34.35-1	0,94	0,56	0,77	0,06	78,02
1.35.35-1	0,88	0,42	0,67	0,06	74,51

<b>Антитело</b>	<b>ELISA gp120 Bal (A<sub>450</sub>)</b>	<b>ELISA gp120 SHIV SF162 P3 (A<sub>450</sub>)</b>	<b>ELISA gp120 CAAN (A<sub>450</sub>)</b>	<b>ELISA БСА (A<sub>450</sub>)</b>	<b>ДСФ Tm Fab (°C)</b>
1.36.35-1	0,89	0,16	0,36	0,06	66,88
1.1.36-1	0,93	0,72	0,88	0,06	79,02
1.31.36-1	1,06	0,93	0,90	0,06	79,40
1.32.36-1	0,92	0,62	0,64	0,06	75,51
1.33.36-1	0,94	0,88	0,82	0,06	83,15
1.34.36-1	0,94	0,77	0,71	0,07	77,69
1.35.36-1	0,85	0,56	0,67	0,06	75,39
1.36.36-1	1,12	0,14	0,34	0,06	68,38

**[0301]** Полученные результаты свидетельствовали о том, что некоторые обратные мутации к зародышевой линии и комбинированные модификации влияли на связывание gp120 и/или термическую стабильность Fv. На основании полученных результатов проводили множество раундов конструирования. Мутацию V19A (которая может удалить предсказанный Т-клеточный эпитоп, показанный выше) и мутации, введенные в положение N72 (нумерация по Кабату) легкой цепи (которые могут удалить N72-связанный гликан Fv), комбинировали с другими мутациями, чтобы идентифицировать антитело с улучшенными функциональными и биофизическими свойствами. Полученные в результате этого антитела характеризовали с помощью анализа титра экспрессии, анализа полиспецифичности и/или анализа нейтрализации ВИЧ.

Пример 7. Анализ титра экспрессии антител без мотива гликозилирования.

**[0302]** При экспрессии и очистке белка для проведения скрининга ELISA и ДСФ, сниженный титр экспрессии наблюдали для антител, в которых нет мотива гликозилирования. Дополнительные мутации вводили, чтобы определить антитела с улучшенной экспрессией белка.

**[0303]** Антитела экспрессировали в клетках Expi293F<sup>TM</sup>, применяя систему ExpiFectamine<sup>TM</sup>293, следуя протоколу производителя (ThermoFisher Scientific, Массачусетс). Трансфекцию проводили в масштабе 30 мл в 50 мл SeptaVent<sup>TM</sup> (Optimal Processing, Калифорния). Вкратце, для каждой реакции трансфекции

использовали всего 30 мкг плазмид, экспрессирующих тяжелую и легкую цепь (соотношение HC:LC составляло 2:3). Разбавленную ДНК в OptiMEM добавляли к разбавленному реагенту ExpiFectamine<sup>TM</sup>293, чтобы позволить образование комплекса. Через 20 минут инкубации при комнатной температуре комплекс реагент/ДНК добавляли к 28 мл клеток, высеванных при концентрации 2,5 миллиона/мл. Культуру инкубировали при 37°C в 8% CO<sub>2</sub> при взбалтывании при 250 об/мин в течение четырех суток. Осветленный супернатант собирали путем центрифугирования при 500x g в течение 15 мин. Антитела очищали с помощью жидкостного манипулятора Hamilton STAR (Hamilton, Невада), применяя колонки Phytip (PhyNexus, Калифорния), предварительно наполненные 160 мкл смолы MaSelectSuRe (GE Healthcare, Нью-Джерси). Каждый из 30 мл трансфицированного объема очищали, применяя 3 колонки Phytip. После захвата антитела смолу промывали 1 x ФБР перед элюированием 100 мМ ацетатом Na, pH 3,5. Элюированный образец нейтрализовали 1/10-ой объема 1 М Трис, pH 8,0. Образцы хранили при 4°C в течение ночи. Планшет с элюированными образцами центрифugировали при 1000x g в течение 10 минут, чтобы удалить преципитат, если он образовался. Концентрацию осветленного элюата определяли путем измерения его поглощения на A280. Титр каждого из антител выражали, как описано далее (мг/л): [концентрация (мг/мл) x объем элюирования (мл) \* 1000]/ 30 мл. Мутации в сайте гликозилирования и титр экспрессии кратко представлены в таблице 15.

**[0304]** Таблица 15. Мутации в сайте гликозилирования и титр экспрессии.

Антитело	Титр (мг/л)
A-1	243
1.1.10-1	148
1.1.37-1	104
1.1.38-1	113
1.1.39-1	93
1.1.40-1	133
1.1.41-1	104

<b>Антитело</b>	<b>Титр (мг/л)</b>
1.1.42-1	158
1.1.43-1	124
1.1.44-1	70
1.1.45-1	77
1.1.46-1	136
1.1.47-1	45
1.1.48-1	65
1.1.49-1	27

**[0305]** Результаты в таблице 15 показали, что у всех антител, в которых нет консенсусного мотива гликозилирования “NLT”, выявляли сниженный титр экспрессии. Это дает основание полагать, что удаление N72-связанного гликана может оказывать отрицательное влияние на экспрессию белка. Результаты также показали, что обратная мутация к зародышевой линии L73F систематически снижала титр экспрессии. Среди исследованных мутаций для N72H, N72T и T74K выявили наибольший титр экспрессии, и с ними провели дальнейший анализ.

#### Пример 8. Дисплей в млекопитающем.

**[0306]** Для того чтобы определить мутации, которые устраниют гликан Fab, при этом сохраняя связывание с Env ВИЧ, улучшая титр экспрессии и/или снижая полиспецифичность, разработали и сконструировали комбинаторные библиотеки мутаций легких цепей, применяя набор тримерных олигонуклеотидов (GenScript), варьирующиеся в 6 сайтах, включая R65, W67, E70, N72, L73 и T74. Синтезированную библиотеку легких цепей, содержащую ~18000 антител, субклонировали в модифицированный вектор pcDNA5/FRT (Invitrogen), содержащий тяжелую цепь антитела А, слитую с трансмембранным доменом PDGFR человека на С-конце.

**[0307]** Для дисплея антител в стабильно трансфицированных клетках, сконструированным вектором экспрессии и pOG44 котрансфицировали клетки Flp-In-CHO, следуя инструкциям производителя (R758–07, Invitrogen).

Трансфицированные клетки подвергали селекции, а затем поддерживали в дополненной гигромицином культуральной среде. Дисплей антитела и связывание с Env ВИЧ анализировали с помощью FACS после окрашивания антителами против IgG человека (Fcγ-специфичными) и BG505.SOSSIP ВИЧ (*J. Virol.*, 89(10):5318-29 (2015)). Клетки, собранные после сортировки FACS, размножали для выделения ДНК и последующего анализа ПЦР/секвенированием, чтобы идентифицировать извлеченные мутации. Более ста клонов отбирали для секвенирования до и после сортировки FACS. Затем исследовали последовательности, полученные в результате двух последовательных раундов сортировки FACS.

**[0308]** Результаты показали, что антитела с последовательностью TRRGQQYNLT (SEQ ID NO: 332), RRWGQNYNFT (SEQ ID NO: 333), TRRGQDYIFS (SEQ ID NO: 334), RRRGQDYILA (SEQ ID NO: 335), RRRGQNYTFT (SEQ ID NO: 336), RRGQDYILT (SEQ ID NO: 337), TRFGQNYSLQ (SEQ ID NO: 338), или TRRGQNYTLA (SEQ ID NO: 339), TRRGQQYTLP (SEQ ID NO: 340), TRRGQDYILA (SEQ ID NO: 341) или SRFGQKYQLS (SEQ ID NO: 342) в участке FR3 LC проявляют желательные уровни экспрессии и сохраняют аффинность связывания с BG505.SOSSIP ВИЧ. Мутации в SEQ ID NO: 334, SEQ ID NO: 337 и SEQ ID NO: 342 ввели в антитела 1.1.110-1. 1.1.111-1. 1.1.113-1. 2.1.3-1. 2.1.4-1 и 1.1.112-1.

#### Пример 9. Оценка полиспецифичности.

**[0309]** Полиспецифичность терапевтических антител может неблагоприятно влиять на фармакокинетические свойства и представлять потенциальную проблему для безопасности. Было показано, что антитело А было полиреактивным к двухцепочечной ДНК и липополисахариду в анализе ELISA панели из четырех антигенов (*Science*, 333(6049):1633–1637 (2011)). Риск полиспецифичности антител, которые оценивали в данной заявке, исследовали во множестве анализов, включая ELISA антинуклеарного антитела (*Genes Immun.*, 13(5): 399–410 (2012)), антитела против кардиолипина (*Hum Antibodies*, 14(3-4): 59–67 (2005)), антитела против бакуловирусной частицы (*Proc. Natl. Acad. Sci. USA*, 114(5):944-949 (2017)), и анализ связывания на основе FACS клеток HEK-293 и HEp2 (*J. Virol.*, 88(21):12669-82 (2014)). Для сравнения полиспецифичности антитело С и антитело D, два полиспецифических bNAb (*J. Virol.*, 88(21):12669-82 (2014)), использовали в качестве положительных контролей; и клинический образец ритуксимаба

(Myoderm Medical Supply) использовали в качестве эталона низкого риска полиспецифичности. Исследуемые образцы разбавляли до 1 мкМ в анализе ELISA, и значения ОП<sub>450</sub> нормировали на контроль (без антитела), чтобы вычислить кратность изменения. В анализе связывания клеток, клетки HEK293 или HEp2 пермеабилизировали, а затем инкубировали с серийными разведениями исследуемых образцов. Окрашенные образцы анализировали с помощью FACS, и MFI (среднюю интенсивность флуоресценции) нормировали на контроль, окрашенный только вторичным антителом против IgG-Fcγ человека. Относительные сигналы связывания наносили на график в зависимости от концентраций антитела и аппроксимировали нелинейной кривой ответа. Неспецифическое связывание с клетками каждого исследованного антитела представляли с помощью AUC (площади под кривой) связывания.

**[0310]** Для трех мутантов с одной мутацией с удаленным гликаном в N72 (посредством точечного мутагенеза) выявили наибольший титр экспрессии (таблица 5). Для того чтобы оценить их вклад в полиспецифичность А-1, мутантов исследовали в анализе ELISA с антинуклеарным антителом (ANA) и антителом против кардиолипина, описанном выше. Результаты двух независимых анализов показаны в таблице 16. Данные результаты позволяют предположить, что удаление гликана в N72 может приводить к повышению полиспецифичности. Среди исследованных мутаций, для мутаций N72T и N72H выявили наименьшие показатели полиспецифичности.

**[0311]** Таблица 16. Оценка полиспецифичности.

МАТ (1 мкМ)	ANA (нормированная ОП <sub>450</sub> )		Антитело против кардиолипина (нормированная ОП <sub>450</sub> )	
C	24,5	26,5	15,6	17,2
A-1	2,3	2,6	1,6	1,5
1.1.10-1	8,3	8,2	2,5	2,2
1.1.42-1	4,0	3,7	2,3	2,0
1.1.46-1	11,8	10,1	4,4	3,7
Ритуксимаб	1,5		1,3	

[0312] Антитела с N72T, V19A и другими мутациями, выбранными на основании функционального анализа, представленного в таблице 14 и таблице 23, исследовали в анализе ELISA с ANA и антителом против кардиолипина для оценки полиспецифичности. Результаты данных анализов показаны в таблице 17.

[0313] Таблица 17. Оценка полиспецифичности антител с мутацией N72T.

МАТ (1 мкМ)	ANA (нормированная ОП <sub>450</sub> )	Антитело против кардиолипина (нормированная ОП <sub>450</sub> )
A	1,9	1,2
A-1	2,7	1,4
1.1.10-1	5,7	1,7
1.33.32-1	4,9	7,7
1.1.54-1	3,0	1,6
1.37.51-1	4,0	6,2
1.8.52-1	5,6	1,7
C	22,5	4,4
D-1	14,6	7,7
Ритуксимаб	1,3	1,0

[0314] Результаты в таблице 17 показали, что для всех антител, которые не содержат гликан в N72, выявляли повышенную полиспецифичность по сравнению с антителом A-1. Для антитела 1.1.54, которое содержит мутации N72T и V19A, выявляли сниженную полиспецифичность по сравнению с антителом 1.1.10, которое содержит мутацию N72T отдельно. Это дает основание полагать, что мутация V19A, которую ввели, чтобы удалить Т-клеточный эпитоп, может давать неожиданное преимущество, снижая полиспецифичность антител, описанных в данной заявке.

[0315] Для того чтобы идентифицировать антитела со сниженной полиспецифичностью, исследовали панель из 32 комбинаторных представителей, состоящих из 5 наборов мутаций в антителе A-1 (таблица 18), в анализе ELISA с ANA, ELISA с антителом против кардиолипина, анализе связывания HEK293 и НЕр2, описанных выше.

[0316] Таблица 18. Мутации, используемые для получения комбинаторной библиотеки из 32 представителей.

<b>Набор мутаций</b>	<b>Мутации в НС</b>	<b>Мутации в LC</b>
Набор 1	Нет	V19A
Набор 2	Нет	N72H
Набор 3	Нет	V98F, V99G
Набор 4	Нет	T18R, R65S, N76S, N77S
Набор 5	L5V, A10E, T12K, E23K, S105Q, Q108M	R39K, R40P

**[0317]** Результаты анализов сводили и сравнивали, используя баллы полиспецифичности (Р-баллы), которые рассчитывали как отношение значения для каждого исследованного антитела к таковому для ритуксимаба в каждом анализе (таблица 19). Средние значения Р-балла использовали для ранжирования по риску полиспецифичности исследуемых антител. Для статистического анализа вклада каждой мутации в комбинаторный набор данных, проводили попарные сравнения для каждого комбинированного антитела в присутствии или отсутствие наборов мутаций, перечисленных в таблице 19. В контексте комбинаторной панели антител из 32 представителей, исследованной в данной заявке, проводили 16 независимых сравнений для каждого из пяти исследованных наборов мутаций.

**[0318]** Таблица 19. Баллы полиспецифичности (Р-баллы) комбинаторных антител.

<b>МАТ</b>	<b>ANA</b>		<b>Против кардиолипина</b>		<b>Связывающ ее HEK293</b>		<b>Связывающ ее HEp2</b>		<b>Средне е</b>	<b>станд. откло н.</b>
A-1	2,8	3,2	1,3	1,5	3,7	2,2	3,5	2,6	1	
1.1.17-1	1,8	1,8	1,2	1,1	2,5	1,6	2,7	1,8	0,5	
1.1.42-1	н/д	4,3	н/д	1,9	6	н/д	5	4,3	1,5	
1.1.64-1	2	1,9	1,2	1,1	2,4	1,6	2,5	1,8	0,5	
1.1.67-1	2,3	2,5	1,2	1,4	2,8	1,9	2,6	2,1	0,6	
1.1.72-1	н/д	4,7	н/д	1,4	4	н/д	3,9	3,5	1,2	
1.1.75-1	3,2	3,3	1,7	1,7	3,8	2,3	4,4	2,9	1	
1.1.78-1	3,4	3,5	1,8	1,4	2,9	2,6	3,4	2,7	0,8	
1.41.5-1	н/д	5	н/д	3,7	7,2	н/д	4,9	5,2	1,3	
1.41.81-1	4,3	4,5	2,7	3,4	6,1	2	4,6	3,9	1,3	
1.1.82-1	3	2,9	1,2	1,2	3,7	1,6	2,9	2,4	0,9	
1.41.83-1	4,2	4,5	4,1	5,3	4,9	2,1	3,9	4,1	0,9	
1.1.84-1	2,2	2,4	1,3	1,2	2,3	1,7	2	1,9	0,5	
1.41.85-1	3,3	3,5	3,3	3,2	3,7	1,6	3,2	3,1	0,6	
1.41.86-1	5,1	6,2	3	3,8	4,1	1,8	4	4	1,3	

<b>MAT</b>	<b>ANA</b>		<b>Против кардиолипина</b>		<b>Связывающ ее HEK293</b>		<b>Связывающ ее HEp2</b>		<b>Средне е</b>	<b>станд. откло н.</b>
1.41.87-1	3,3	3,4	3,5	3,7	3,2	1,9	2,9		3,1	0,6
1.1.88-1	1,6	1,8	1,2	1,2	3,7	1,5	2,4		1,9	0,8
1.41.89-1	1,9	1,9	1,9	2,2	6,3	1,7	4,4		2,9	1,6
1.1.90-1	1,5	1,2	1,2	0,9	3,7	1	2,3		1,7	0,9
1.41.91-1	2,9	3,1	3,6	6,2	2,5	2,1	2,9		3,3	1,2
1.41.92-1	н/д	15,7	н/д	11,2	5,8	н/д	5,4		9,5	4,2
1.41.93-1	н/д	9,5	н/д	9,8	5,1	н/д	5,4		7,4	2,2
1.1.94-1	6,2	7,7	4,7	4,9	3,4	3,2	3,3		4,8	1,6
1.41.95-1	10,2	14,8	8,9	9,2	6,5	3,8	5,4		8,4	3,4
1.1.96-1	4,7	6,1	2,4	2,7	2,4	2,8	2,8		3,4	1,3
1.41.97-1	5,4	6,5	5,4	7,3	4,5	3,9	4,1		5,3	1,2
1.41.98-1	5,9	8	4,6	5,9	3,9	3,3	4		5,1	1,5
1.41.99-1	6,4	6,9	6,1	9,2	7,8	3,2	4,6		6,3	1,9
1.1.100-1	4,6	4,2	2	2,1	4,7	1,7	2,7		3,1	1,2
1.41.101-1	5,6	7,2	5,5	6,8	8,7	3,2	4,8		6	1,7
1.1.102-1	3,3	4	1,8	1,7	4,5	2,8	2,6		3	1
1.41.103-1	3,6	4,6	5,9	5,3	6,8	4,4	4		5	1
C	17,6	14,7	3,8	8,3	13,1	8,6	6,9		10,4	4,5
D-1	8,7	10,4	1,9	3,3	7,3	7,1	4		6,1	2,8
Ритуксимаб	1	1	1	1	1	1	1,1		1	0

**[0319]** Для каждой из 16 попарных комбинаций средний Р-балл для семи анализов, показанных в таблице 19, сравнивали, применяя парный t-критерий. Результаты показали повышение полиспецифичности вследствие введения мутации N72H в легкую цепь, а также вследствие введения мутаций из набора 5. Результаты показали снижение полиспецифичности вследствие введения мутаций V19A или V98F+V99G в легкую цепь. Небольшое, но статистически не значимое снижение полиспецифичности наблюдали при введении мутаций из набора 4. Согласно данному статистическому анализу, антитело с наименьшим средним баллом полиспецифичности представляло собой антитело 1.1.90, которое содержало мутацию V19A, мутации V98F+V99G и мутации из набора 4.

**[0320]** Антитела А-1 и В-1 затем сравнивали в анализах полиспецифичности. Кроме того, антитела со следующими мутациями исследовали в различных комбинациях: N72T, N72H, V19A, V98F+V99G, мутации из набора 4 или мутации, обнаруженные в SEQ ID NO: 37. Антитела исследовали в ELISA на основе бакуловирусных частиц (BVP), и полученные результаты кратко представлены в

таблице 20. Исследуемые образцы анализировали при концентрации 1 мкМ в двух повторах в каждом эксперименте, и балл BVP рассчитывали как отношение ОП<sub>450</sub> к фоновому значению без МАТ.

[0321] Таблица 20. Баллы BVP.

МАТ	Среднее	CO	n
A	10,9	1,1	2
A-1	9,4	0,7	6
1.1.10-1	13,9	н/д	1
1.1.42-1	9,7	1,1	2
1.1.111-1	22,1	2,0	4
1.1.113-1	11,9	н/д	1
1.1.90-1	2,5	0,6	2
B-1	2,7	0,9	3
2.1.2-1	47,1	н/д	1
2.1.3-1	8,2	н/д	1
2.1.4-1	7,7	н/д	1
D-1	29,2	9,7	4
C	44,2	10,2	4
Ритуксимаб	4,0	0,5	4

[0322] Результаты в таблице 20 показали, что для антитела B-1 выявляли сниженную полиспецифичность по сравнению с антителом A-1. Подобно антителу A, удаление гликана в N72 с помощью мутации N72H в антителе 1.1.42 или антителе 2.1.2 приводило к повышению полиспецифичности. Введение мутаций, обнаруженных с помощью дисплея в млекопитающем, в антитело 1.1.111 может повышать полиспецифичность, тогда как введение тех же мутаций в антитело 2.1.3 может снижать полиспецифичность по сравнению с мутацией N72H. Добавление мутации V19A (например, в антитело 1.1.113 или антитело 2.1.4) может систематично снижать полиспецифичность в обоих случаях.

[0323] Получили дополнительную панель из 96 антител, чтобы определить антитела с улучшенной шириной и эффективностью нейтрализации, и, в идеале, без N72-связанного гликана. В данной панели исследовали влияние мутаций из набора 1, 3 и 4 (таблица 18), а также различные мутации N72 и мутации, полученные из дисплея в млекопитающем, в контексте вариабельных доменов антитела, происходящих из антитела А или комбинирования элементов как антитела А, так и антитела В. Создание библиотеки также включало этап сканирующего мутагенеза, в котором каждую аминокислоту, отличающуюся

между антителом А и антителом В, исследовали отдельно в контексте антитела А. Данную панель получали, применяя высокопроизводительные способы, и анализировали, применяя высокопроизводительный ELISA BVP с нормированием на различия в концентрациях образцов. Результаты данного анализа показаны в таблице 21.

[0324] Таблица 21. Баллы BVP.

<b>МАТ</b>	<b>Нормированный балл BVP</b>
A-1	5,5
3-1	3,7
2.2.1-1	5,5
2.3.1-1	3,5
1.1.64-1	7,2
3.1.8-1	3,8
2.2.8-1	13,7
2.3.8-1	10,8
1.1.67-1	5,0
3.1.9-1	8,2
2.2.9-1	15,7
2.3.9-1	9,0
1.1.115-1	15,0
3.1.10-1	6,0
2.2.10-1	25,8
2.3.10-1	13,6
1.1.116-1	27,1
3.1.11-1	14,6
2.2.11-1	34,4
2.3.11-1	19,1
1.1.117-1	18,7
3.1.12-1	15,2
2.2.12-1	35,7
2.3.12-1	24,3
1.1.118-1	13,1
3.1.13-1	19,4
2.2.13-1	15,2
2.3.13-1	12,5
1.1.10-1	10,8
3.1.14-1	12,5
2.2.14-1	26,4
2.3.14-1	6,0
1.1.54-1	8,3
3.1.5-1	7,0
2.2.5-1	13,2
2.3.5-1	6,3

<b>MAT</b>	<b>Нормированный балл ВВР</b>
1.1.104-1	7,8
3.1.15-1	8,1
2.2.15-1	25,3
2.3.15-1	12,2
1.1.119-1	12,9
3.1.7-1	8,4
2.2.7-1	15,5
2.3.7-1	9,1
1.1.42-1	7,7
3.1.2-1	7,4
2.2.2-1	26,0
2.3.2-1	11,3
1.1.75-1	14,6
3.1.16-1	13,4
2.2.16-1	33,9
2.3.16-1	18,0
1.1.78-1	10,4
3.1.17-1	14,4
2.2.17-1	39,6
2.3.17-1	25,6
1.1.102-1	7,4
3.1.18-1	11,9
2.2.18-1	26,5
2.3.18-1	15,4
1.1.120-1	14,2
3.1.19-1	14,1
2.2.19-1	32,1
2.3.19-1	24,4
1.1.121-1	8,4
3.1.20-1	6,7
2.2.20-1	22,7
2.3.20-1	13,2
1.1.122-1	12,5
1.1.123-1	10,0
1.1.124-1	8,9
1.1.125-1	8,6
1.1.126-1	9,8
1.1.127-1	13,9
1.1.128-1	12,0
1.1.129-1	16,8
1.1.130-1	13,8
1.1.131-1	8,3
1.1.111-1	17,1
B-1	7,0

<b>МАТ</b>	<b>Нормированный балл BVP</b>
1.1.90-1	7,2
1.1.132-1	12,3
1.1.133-1	12,1
1.1.134-1	7,1
1.1.135-1	11,3
1.42.1-1	13,9
1.43.1-1	12,6
1.44.1-1	22,2
1.45.1-1	1,8
1.46.1-1	10,0
1.47.1-1	8,8
1.49.1-1	11,9
1.50.1-1	8,0
1.51.1-1	8,1
A-1	8,1

**[0325]** Результаты для двух отдельных циклов производства антитела A-1, показанные в первом и последнем рядах таблицы 21, представляли собой баллы BVP 5,5 и 8,1. У антител, содержащих мутации в N72, были систематично более высокие баллы BVP, что согласуется с приведенными выше результатами, демонстрирующими, что удаление N72-связанного гликана может приводить к повышению полиспецифичности. Для выбранных антител, не содержащих N72 и содержащих легкую цепь или тяжелые цепи (или мутанты, полученные из данных цепей) антитела В, таких как антитела 3.1.10-1, 2.3.14-1, 1.1.54-1, 3.1.5-1 и 2.3.5-1, не выявили повышения баллов BVP ELISA по сравнению с антителом A-1.

**[0326]** Получили дополнительную панель из 12 антител с N72-связанным гликаном или без указанного гликана, чтобы дополнительно оценить роль данного гликана в полиспецифичности. Некоторые антитела получили в обеих клетках Expi293 и CHO-S. Мутации, которые могут снижать полиспецифичность, идентифицированные в описанных выше анализах, включали в данную панель. Результаты данного анализа показаны в таблице 22. У антител, в которых сохранился мотив N72-связанного гликозилирования в легкой цепи, были относительно более низкие баллы BVP, чем у антител без указанного мотива N72-связанного гликозилирования.

**[0327]** Таблица 22. Баллы BVP.  $N \geq 3$  для каждого антитела.

<b>N72-</b>	<b>Название</b>	<b>Линия</b>	<b>Балл BVP</b>
-------------	-----------------	--------------	-----------------

<b>связанный гликан</b>		<b>клеток</b>	
<b>Да</b>	A-1	Expi293	2,2
		CHO-S	7,7
	1.1.64-1	Expi293	2,0
		CHO-S	6,6
	1.52.64-1	Expi293	2,4
		CHO-S	2,6
	1.1.90-1	Expi293	1,7
	2.2.101	Expi293	12,8
	2.4.1-1	Expi293	5,2
	2.3.1-1	Expi293	5,3
<b>Нет</b>	1.1.104-1	ExpiCHO	8,8
	1.1.119-1	ExpiCHO	6,0
	3.1.5-1	ExpiCHO	3,3
		CHO-S	12,0
	2.2.5-1	Expi293	32,5
	2.3.5-1	Expi293	3,6

#### Пример 10. Анализ нейтрализации ВИЧ.

**[0328]** Для того чтобы оценить ширину распознавания антигена антителами, проводили анализ нейтрализации ВИЧ, применяя различные изоляты и клоны вируса. Эффективность нейтрализации ВИЧ (выраженная как IC<sub>50</sub> в мкг/мл) для указанных антител измеряли в основном на клеточной системе анализе с репортером CEM-NKr-CCR5-Luc (Trkola и др., (1999), J. Virol., 73(11):8966-74) против панели способных реплицироваться вирусов подтипа В, которые включали изоляты и клон, амплифицированные из образцов плазмы пациентов (программа NIH предоставления реагентов для исследования СПИД (NIH AIDS Reagent Program)), и адаптированный к лабораторным условиям штамм ВИЧ-1 BaL.

[0329] Таблица 23. Эффективность нейтрализации ВИЧ.

Антитело	Эффективность нейтрализации вируса (мкг/мл)			
	CHO77	Bal	92US657	8320
A-1	0,12	0,16	1,31	0,31
1.2.2-1	0,12	0,23	1,38	0,70
1.3.1-1	0,08	0,26	1,84	0,37
1.4.1-1	0,04	0,21	1,35	0,28
1.5.1-1	0,14	0,26	0,85	0,50
1.6.1-1	0,10	0,39	1,32	0,62
1.7.1-1	0,10	0,51	1,10	0,54
1.8.1-1	0,09	0,04	1,88	0,59
1.9.1-1	0,17	0,20	1,39	0,50
1.15.1-1	0,10	0,17	1,42	0,31
1.18.1-1	0,10	0,12	1,78	0,33
1.21.1-1	0,17	0,11	2,51	0,59
1.22.1-1	0,95	>20	11,3	13,2
1v2-1	0,07	0,08	0,88	0,28
1.25.1-1	0,12	0,17	1,46	0,23
1.26.1-1	0,11	0,06	0,93	0,38
1.27.1-1	0,13	0,54	0,56	0,58
1.28.1-1	0,10	0,11	1,63	0,38
1.29.1-1	0,09	0,14	1,33	0,41
1.30.1-1	0,06	0,15	0,93	0,39
1.1.2-1	0,14	0,20	0,62	0,78
1.1.4-1	0,12	0,10	1,44	0,35
1.1.5-1	0,12	0,21	1,93	0,63
1.1.10-1	0,07	0,10	0,60	0,33
1.1.11-1	0,13	0,09	1,17	0,39
1.1.12-1	0,12	0,06	1,64	0,50
1.1.13-1	0,09	0,19	1,43	0,45
1.1.17-1	0,10	0,08	1,27	0,52
1.1.19-1	0,12	0,09	0,90	0,34
1.1.26-1	0,13	0,07	1,49	0,45
1.1.27-1	0,10	0,12	1,25	0,53
1.14.15-1	>20	>20	>20	>20
1.33.1-1	0,17	0,11	0,95	0,77
1.33.32-1	0,08	0,09	0,83	0,35
1.34.32-1	0,11	0,31	1,47	0,54
1.36.35-1	0,32	>20	5,37	3,82
1.36.36-1	0,30	>20	2,07	3,84

[0330] Для некоторых антител не выявили утраты функции в анализе ELISA (таблица 14), но выявили снижение эффективности в анализе нейтрализации ВИЧ (таблица 23). Для нескольких антител выявили либо отсутствие изменения в

активности нейтрализации вируса, либо выявили небольшое повышение эффективности нейтрализации.

[0331] Таблица 24. Эффективность нейтрализации ВИЧ для антител, содержащих мутации.

Антитело	Эффективность нейтрализации вируса (мкг/мл)					
	BaL	92US727	92HT593	92US657	92US712	302076
A	0,063	7,81	0,019	2,63	0,104	0,183
A-1	0,037	6,08	0,013	2,160	0,085	0,145
1.1.10-1	0,021	>20	0,013	1,83	0,088	0,131
1.1.42-1	0,030	>20	0,046	2,14	0,078	0,157
1.33.32-1	0,063	>20	0,010	1,39	0,062	0,077
1.1.54-1	0,062	11,4	0,011	1,50	0,076	0,114
1.37.51-1	0,053	>20	0,014	2,58	0,149	0,112
1.8.52-1	0,076	>20	0,015	2,81	0,141	0,202

[0332] В таблице 24 показано, что для антител без гликана в N72 выявили снижение эффективности нейтрализации вируса 92US727. Для антитела 1.1.54-1 (V19A + N72T) выявили повышенную эффективность нейтрализации вируса 92US727 по сравнению с антителом 1.1.10-1 (которое содержало N72T). Это дает основание полагать, что в комбинации с мутацией N72T, V19A может снижать полиспецифичность и улучшать эффективность нейтрализации выбранных вирусов.

[0333] Таблица 25. Эффективность нейтрализации ВИЧ для антител, выявленная с применением расширенной панели вирусов.

Вирус	Эффективность нейтрализации вируса (мкг/мл)			
	A-1	1.1.54-1	1.37.51-1	1.1.42-1
7467	0,07	0,06	0,06	0,07
302076	0,10	0,08	0,06	0,09
CH058	0,10	0,14	0,09	0,1
92US712	0,11	0,09	0,13	0,09
92HT593	0,12	0,06	0,12	0,05
7015	0,14	0,14	0,10	0,11
BaL	0,15	0,13	0,82	0,07
RHPA	0,16	0,16	0,09	0,15
1489	0,16	0,22	0,26	0,21
WITO	0,26	0,22	0,11	0,07

Вирус	Эффективность нейтрализации вируса (мкг/мл)			
	A-1	1.1.54-1	1.37.51-1	1.1.42-1
8176	0,28	0,18	0,18	0,16
8318	0,38	0,31	0,37	0,24
7576	0,46	0,32	0,34	0,4
8339	0,52	0,32	0,29	0,39
7051	0,61	0,52	0,49	0,29
8089	0,67	0,57	1,14	0,73
8106	1,03	0,82	0,97	0,92
8359	1,56	1,19	1,51	1,2
92US657	1,81	3,45	3,39	2,97
92US727	1,82	9,65	50,33	33,7
8117	1,93	1,12	0,92	1,17
CH077	2,45	1,63	2,29	1,80
CH106	2,71	3,05	2,8	1,30
REJO	2,88	1,93	3,04	2,82
THRO	3,1	1,81	1,28	2,33
1413	3,84	2,8	2,45	2,88
8320	4,07	2,61	4,09	2,55
7103	4,82	3,03	2,28	3,23
8134	5,08	7,19	6,97	8,71
7141	5,35	8,93	51,0	23,2
8110	7,09	5,29	4,14	5,97
7714	8,96	6,78	4,33	8,71
1003	23,0	15,35	12,6	17,7
7595	24,6	18,9	16,17	18,02
8339	>200	>200	>200	>200
8398	>200	>200	>200	>200
7406	>200	>200	>200	>200
7552	>200	>200	>200	>200
7007	>200	>200	>200	>200

[0334] Среди антител, охарактеризованных в данном анализе, для антитела 1.1.54, содержащего мутации N72T и V19A, выявили наибольшую эффективность нейтрализации (таблица 25).

[0335] Таблица 26. Эффективность нейтрализации ВИЧ для выбранных антител.

Вирус	A-1	1.1.110-1	1.1.111-1	1.1.112-1	1.1.90-1	1.1.64-1
-------	-----	-----------	-----------	-----------	----------	----------

<b>Вирус</b>	<b>A-1</b>	<b>1.1.110-1</b>	<b>1.1.111-1</b>	<b>1.1.112-1</b>	<b>1.1.90-1</b>	<b>1.1.64-1</b>
CH106	1,29	1,33	1,42	1,31	1,69	0,99
1413	2,04	3,69	2,79	2,05	3,55	2,35
BaL	0,05	0,11	0,13	0,12	0,13	0,08
92HT593	0,34	0,50	0,52	0,56	0,68	0,35
92US657	0,70	0,69	0,79	0,74	1,17	0,79
302076	0,13	0,25	0,18	0,28	0,16	0,15
7015	0,68	0,77	0,73	0,75	1,03	0,60
8117	1,13	1,35	1,09	1,45	1,14	1,13
8339	>50	>50	>50	31,4	>50	>50
92US727	1,62	>50	35,19	30,3	3,80	0,79
92US712	0,08	0,06	0,06		0,07	0,06
7141	2,10	>50	27,09		2,41	1,99
7007	>50	>50	>50		>50	>50
8134	0,36	1,29	0,87		1,05	0,29
8318	0,15	0,23	0,19		0,21	0,23
7596	15,9	14,9	11,6		11,54	16,19
7103	0,95	1,00	0,69		1,13	1,01
8359	0,40	0,35	0,41		0,58	0,48
8110	2,63	3,85	2,19		1,65	2,62
7595	4,38	3,97	3,59		3,71	4,48
REJO	0,03	0,03	0,05		0,07	0,04
CH058	0,04	0,04	0,04		0,05	0,03
CH077	0,03	0,03	0,05		0,10	0,03
RHPA	0,19	0,20	0,16		0,16	0,09
WITO	0,12	0,08	0,06		0,07	0,13
7714	4,20	2,65	3,78		3,76	7,48
THRO	6,84	6,77	6,20		7,42	9,60
CH040	4,86	6,86	16,1		9,57	18,59
8089	0,32	1,30	0,60		0,47	0,32
1489	0,09	0,08	0,10		0,24	0,13
7467	0,03	0,03	0,04		0,06	0,03
7352	>50	>50	>50		>50	40,1
8320	0,28	0,26	0,25		0,39	0,37
1003	1,25	1,35	1,17		1,92	1,25
1012	1,24	1,65	1,43		1,40	1,40
8398	>50	>50	>50		>50	>50
7576	0,38	0,50	0,32		0,36	0,41
7051	0,21	0,25	0,19		0,19	0,23
8176	0,18	0,18	0,19		0,24	0,24
8106	0,57	0,61	0,61		0,89	1,08
7552	27,24	>50	>50		>50	16,1

[0336] Эффективность нейтрализации ВИЧ исследовали для выбранных антител, идентифицированных с помощью дисплея в млекопитающем (антител 1.1.110, 1.1.111 и 1.1.112), и антител, у которых выявили сниженную полиспецифичность (антител 1.1.90 и 1.1.64). Наблюдали утрату эффективности против вирусов 92US727 и 7141 для антител, идентифицированных с помощью дисплея в млекопитающем (таблица 26).

[0337] Таблица 27. Результаты нейтрализации ВИЧ для выбранных антител.

<b>Вирус</b>	<b>B-1</b>	<b>2.1.3-1</b>	<b>2.1.4-1</b>	<b>A-1</b>	<b>1.1.54-1</b>	<b>1.1.90-1</b>	<b>1.1.111-1</b>	<b>1.1.113-1</b>
92US712	0,10	0,20	0,11	0,10	0,07	0,09	0,08	0,07
8318	0,11	0,24	0,21	0,11	0,32	0,57	0,48	0,14
92HT593	0,35	0,30	0,33	0,41	0,26	0,39	0,29	0,24
RHPA	0,09	0,07	0,05	0,12	0,03	0,15	0,08	0,05
7051	0,41	0,42	0,46	0,52	0,23	0,44	0,32	0,41
8320	0,27	0,28	0,23	0,42	0,29	0,34	0,30	0,28
7576	0,24	0,49	0,55	0,34	0,48	0,41	0,26	0,28
7015	1,12	0,89	0,59	1,17	0,40	0,41	0,48	0,44
92US657	0,53	0,42	0,38	0,52	0,45	0,48	0,40	0,40
CH106	1,51	1,01	0,91	0,91	0,90	1,00	0,86	0,59
1413	2,51	2,78	2,16	2,17	1,72	1,94	2,33	3,67
7141	1,67	13,76	6,78	2,45	1,61	2,24	29,81	27,85
92US727	2,13	14,34	7,27	2,01	11,18	2,17	>50	>50
7595	1,24	1,35	1,19	1,73	1,62	1,76	1,31	1,78
CH040	0,14	0,47	0,36	0,57	>50	22,06	3,71	0,15
THRO	5,32	6,56	4,97	6,30	5,47	10,62	8,58	9,39
7552	26,02	>50	>50	16,55	6,22	27,82	>50	>50
8339	>50	>50	>50	>50	>50	>50	>50	>50
7007	>50	>50	>50	>50	>50	>50	>50	>50
8398	>50	>50	>50	>50	>50	>50	>50	>50

[0338] Результаты нейтрализации ВИЧ, представленные в таблице 27, позволяют предположить, что удаление гликана в N72 (2.1.3-1, 2.1.4-1, 1.1.54-1, 1.1.111-1 и 1.1.113-1) может приводить к утрате чувствительности нейтрализации к выбранным вирусам (т.е., 7141, 92US727) по сравнению с антителами, в которых сохранился гликан в N72 (антителами B-1, A-1, 1.1.90-1).

[0339] Антитела, исследованные в высокопроизводительном ELISA BVP, показанные в таблице 21, исследовали в анализе нейтрализации ВИЧ против 4 вирусов. Результаты данного исследования показаны в таблице 28.

[0340] Таблица 28. Результаты нейтрализации ВИЧ.

MAT	Значения IC50 (мкг/мл) нейтрализации указанных вирусов			
	92US712	92US727	7141	VS001
A-1	0,13	3,8	3	0,18
3-1	0,11	3,92	4,03	0,1
2.2.1-1	0,05	~6-11	1,61	0,1
2.3.1-1	0,13	~4-12	2,65	0,2
1.1.64-1	0,05	0,55	0,64	0,05
3.1.8-1	0,12	1,15	3,51	0,11
2.2.8-1	0,07	3,38	1,6	0,07
2.3.8-1	0,07	1,72	1,64	0,15
1.1.67-1	0,1	8,1	3,76	0,15
3.1.9-1	0,11	3,54	4,35	0,16
2.2.9-1	0,06	13,1	1,75	0,15
2.3.9-1	0,09	11,1	2,56	0,22
1.1.115-1	0,08	>50	10,1	0,75
3.1.10-1	0,34	>50	44,8	2,24
2.2.10-1	0,05	>50	4,31	0,79
2.3.10-1	0,09	>50	15,3	0,94
1.1.116-1	0,12	>36	14,6	0,44
3.1.11-1	0,07	>44	8,7	0,57
2.2.11-1	0,04	>50	2,65	0,4
2.3.11-1	0,07	>50	11,2	0,83
1.1.117-1	0,09	>50	16,9	3,03
3.1.12-1	0,11	>41	24,5	2,41
2.2.12-1	0,04	>50	7,08	2,1
2.3.12-1	0,09	>50	23,8	1,92
1.1.118-1	0,18	>50	20,2	2,4
3.1.13-1	0,1	>21	13,2	0,56
2.2.13-1	0,08	>50	3,8	1,48
2.3.13-1	0,14	>38	15,5	1,5
1.1.10-1	0,12	45	5,43	0,17
3.1.14-1	0,12	>27	6,42	0,19
2.2.14-1	0,06	>50	2,26	0,21
2.3.14-1	0,11	35,3	5,23	0,21
1.1.54-1	0,16	>50	7,08	0,32
3.1.5-1	0,14	>17	9,8	0,23
2.2.5-1	0,05	>50	2,34	0,13
2.3.5-1	0,05	>50	3,52	0,19
1.1.104-1	0,12	>50	5,13	0,45

<b>MAT</b>	<b>Значения IC50 (мкг/мл) нейтрализации указанных вирусов</b>			
	<b>92US712</b>	<b>92US727</b>	<b>7141</b>	<b>VS001</b>
3.1.15-1	0,12	>33	9,1	0,49
2.2.15-1	0,03	>50	1,99	0,37
2.3.15-1	0,1	>50	5,93	0,85
1.1.119-1	0,08	>50	6,92	0,39
3.1.7-1	0,09	>50	5,65	0,3
2.2.7-1	0,04	>50	1,58	0,27
2.3.7-1	0,07	>50	5,08	0,47
1.1.42-1	0,29	>50	>50	0,9
3.1.2-1	0,09	>50	21,9	0,73
2.2.2-1	0,04	>50	2,06	0,44
2.3.2-1	0,1	>50	14,6	0,88
1.1.75-1	0,08	>50	11,3	0,5
3.1.16-1	0,29	>43	39	2,15
2.2.16-1	0,05	>50	3,38	0,78
2.3.16-1	0,09	>50	10,2	0,72
1.1.78-1	0,1	>50	29,5	3,3
3.1.17-1	0,1	>50	25,5	2,21
2.2.17-1	0,05	>50	6,28	4,38
2.3.17-1	0,08	>50	31,3	4,54
1.1.102-1	0,14	>50	22,7	3
3.1.18-1	0,24	>9,8	>9,8	3,52
2.2.18-1	0,09	>34	5,04	2,51
2.3.18-1	0,16	>23	>23	2,37
1.1.120-1	0,2	>32,9	17,8	0,88
3.1.19-1	0,1	>50	23,9	0,57
2.2.19-1	0,06	>50	4,83	1,04
2.3.19-1	0,09	>50	12	0,48
1.1.121-1	0,1	>37	28,7	1,3
3.1.20-1	0,06	>50	22,1	0,95
2.2.20-1	0,05	>50	4,01	1,25
2.3.20-1	0,08	>50	15,9	1,23
1.1.122-1	0,13	>42,4	6,79	0,32
1.1.123-1	0,09	>43,8	11,2	0,23
1.1.124-1	0,14	>25,4	9,87	0,3
1.1.125-1	0,12	>50	7,69	0,37
1.1.126-1	0,12	>50	6,49	0,35
1.1.127-1	0,16	>23	5,78	0,18
1.1.128-1	0,17	>28,3	9,5	0,67
1.1.129-1	0,15	>29,7	>29,7	2,09
1.1.130-1	0,21	>27,3	16,7	1,67
1.1.131-1	0,15	>31,9	16,4	0,57
1.1.111-1	0,13	>50	>50	3,24
B-1	0,13	2,57	1,43	0,29

Значения IC50 (мкг/мл) нейтрализации указанных вирусов				
MAT	92US712	92US727	7141	VS001
1.1.90-1	0,12	8,72	2,65	0,2
1.1.132-1	0,12	2,26	3,39	0,14
1.1.133-1	0,14	2,27	3,38	0,16
1.1.134-1	0,14	4,23	3,15	0,22
1.1.135-1	0,22	5,61	4	0,31
1.42.1-1	0,13	0,98	2,34	0,11
1.43.1-1	0,08	3,35	2,42	0,1
1.44.1-1	0,06	~7-12	1,43	0,13
1.45.1-1	9,8	>50	>50	27,6
1.46.1-1	0,17	1,68	2,44	0,24
1.47.1-1	0,11	1,17	2,48	0,24
1.49.1-1	0,14	2,41	2,98	0,26
1.50.1-1	0,08	0,92	2,54	0,14
1.51.1-1	0,1	2,67	3,5	0,22
A-1	0,13	4,8	2,9	0,2

**[0341]** Для всех антител, несущих мутации в положении N72, выявили утрату функции вируса 92US727. Антителом с наибольшей медианной эффективностью было антитело 1.1.64. Для некоторых антител выявили улучшения в медианной эффективности нейтрализации по сравнению с антителом А-1. Среди антител, содержащих мутацию N72Г, со сниженными баллами ELISA BVP, для антитела 2.3.5 также выявили повышенную эффективность в анализе нейтрализации ВИЧ.

**[0342]** Дополнительные анализы нейтрализации проводили с панелью вариантов, разработанных таким образом, чтобы удалить мотив окисления W74a в тяжелой цепи и мотив дезамидирования N26 в вариабельном домене А-1 легкой цепи. Результаты оценки представлены в таблицах 29 и 30. Результаты показали, что у множества вариантов выявили утрату функции, тогда как у выбранных вариантов сохранилась эффективность, более сходная с А-1.

[0343] Таблица 29. Результаты нейтрализации ВИЧ для вариантов А-1, разработанных таким образом, чтобы удалить химическую неустойчивость.

		Вирус							
Место химической неустойчивости	Название антитела	VS003	VS046	VS001	VS026	VS052	US657	VS043	VS004
Нет	A-1	0,03	0,03	0,08	0,26	0,38	0,86	1,47	3,42
N26 легкой цепи	1.1.136-1	0,03	0,04	0,20	0,76	0,38	0,92	1,57	>100
	1.1.137-1	0,03	0,05	0,16	0,43	0,35	0,78	1,65	>100
	1.1.138-1	0,06	0,04	0,18	0,35	0,46	0,54	1,41	39,24
	1.1.139-1	0,03	0,05	0,36	0,94	0,51	0,54	1,37	>100
	1.1.140-1	0,03	0,04	0,17	0,56	0,47	0,51	2,82	94,28
	1.1.141-1	0,02	0,04	0,25	0,69	0,51	0,38	1,30	>100
	1.1.142-1	0,02	0,03	0,20	0,48	0,56	0,44	1,42	>100
	1.1.143-1	0,05	0,05	0,40	3,85	0,92	0,82	2,05	89,88
	1.1.144-1	0,03	0,05	0,38	1,07	0,66	0,38	1,29	>100
W74a тяжелой цепи	1.52.1-1	0,05	0,06	0,21	0,48	0,54	0,69	1,39	9,90
	1.53.1-1	0,06	0,05	0,18	0,49	0,57	0,72	1,44	14,10
	1.54.1-1	0,08	0,06	0,55	0,59	0,75	1,27	1,94	36,15
	1.55.1-1	0,08	0,07	0,49	0,83	1,08	1,39	2,48	34,00
	1.56.1-1	0,09	0,07	0,49	0,72	0,87	1,28	1,51	21,80
	1.57.1-1	0,06	0,09	0,65	0,91	1,21	2,43	2,47	56,68

**[0344]** Таблица 30. Результаты нейтрализации ВИЧ для выбранных вариантов А-1 на расширенной панели вирусов.

Средн. IC50 (мкг/мл)	Антитело А-1	1.1.136-1	1.1.137-1	1.1.138-1	1.1.140-1	1.1.142-1	1.52.1-1	1.53.1-1
US657(1)	0,864	0,92	0,78	0,55	0,55	0,51	0,44	0,73
VS003	0,027	0,03	0,03	0,06	0,03	0,02	0,04	0,06
VS046	0,029	0,04	0,05	0,04	0,04	0,03	0,05	0,05
VS001	0,080	0,20	0,16	0,18	0,17	0,20	0,21	0,18
VS026	0,259	0,76	0,43	0,35	0,56	0,48	0,48	0,50
VS052	0,381	0,38	0,35	0,45	0,47	0,56	0,54	0,56
VS043	1,466	1,57	1,65	1,41	2,82	1,42	1,39	1,44
VS004	3,419	>100	>100	39,24	>100	>100	9,90	14,10
US657(2)	0,336	0,30	0,31	0,42	0,46	0,59	0,82	0,65
VS002	0,024	0,02	0,03	0,03	0,03	0,02	0,05	0,05
VS011	0,147	0,19	0,18	0,25	0,25	0,37	0,33	0,34
VS017	0,443	2,14	1,75	2,02	2,13	2,87	3,01	3,03
VS030	1,614	2,49	2,86	2,81	3,28	3,61	4,86	3,54
VS032	0,256	0,27	0,28	0,25	0,20	0,17	0,27	0,25
VS033	0,207	0,15	0,20	0,19	0,09	0,08	0,27	0,11
VS034	0,358	0,54	0,40	0,45	0,23	0,33	0,28	0,45
VS038	0,210	0,22	0,18	0,12	0,28	0,34	0,40	0,18
VS039	0,121	0,10	0,07	0,07	0,05	0,07	0,17	0,15
VS042	3,171	3,37	2,23	1,73	2,01	1,72	4,54	3,42
VS044	0,312	0,73	0,39	0,36	0,06	0,07	0,16	0,12
VS053	0,530	1,83	0,88	1,52	1,61	1,17	1,07	0,87

**[0345]** Затем выбранные варианты А-1 характеризовали по влиянию мутаций на ширину и эффективность нейтрализации, применяя анализ нейтрализации ВИЧ

PhenoSense™ (Monogram Biosciences; см. также, Richman и др., *Proc Natl Acad Sci USA*. (2003) 100(7):4144-9, Whitcomb и др., *Antimicrob Agents Chemother.* (2007) 51(2):566-75), применяя репортерные вирусы, псевдотипированные оболочками, происходящими из вируса пациента (таблица 31). Панель содержала всего 152 вектора Env (по одному вектору из пациента), при этом 133 были клональными векторами и 19 были изолятами (представляющими собой квазивиды в образцах плазмы). Вкратце, псевдовирусы инкубировали с 5-кратными серийными разведениями антитела в течение 1 часа при 37°C, а затем использовали для инфицирования клеток U87, экспрессирующих CD4, CCR5 и CXCR4 (CD4+/CCR5+/CXCR4+/U87). Способность антитела нейтрализовать инфекционность ВИЧ оценивали путем измерения люциферазной активности через 72 часа после инкубации клеток с вирусом. Контроли вируса и антитела использовали, чтобы отслеживать производительность от планшета к планшету в рамках одного запуска и чтобы позволить сравнение запусков с течением времени. Все тестируемые антитела подвергали скринингу против контрольной панели вирусов, состоящей из ВИЧ-1 NL4.3 (тропный к CXCR4), JRCSF (тропный к CCR5) и MLV (контроль без специфичности к ВИЧ). Образец ВИЧ+ плазмы широкого спектра нейтрализующего действия служил в качестве контроля для антител. Тогда как некоторые мутации оказывали менее явное влияние на активность, вызывая либо небольшое снижение, либо небольшое повышение активности, другие мутации вызывали заметное уменьшение ширины нейтрализации (таблица 31 и фигура 4).

**[0346]** Таблица 31. Характеризовали эффективность и ширину нейтрализации выбранных антител против происходящих из 152 пациентов вирусов подтипа В, полученных из плазмы до АРТ.

Название	Ширина <sup>a</sup>	Срединная IC <sub>95</sub> , мкг/мл <sup>b</sup>	Геометрическое среднее IC <sub>95</sub> , мкг/мл <sup>b</sup>
A-1	89 %	2,66	3,06
1.1.90-1	86 %	2,59	3,01
1.1.64-1	92 %	2,25	2,70
1.1.10-1	86 %	1,93	2,53
1.52.1-1	83 %	3,66	4,33
1.52.90-1	78 %	4,42	4,56
1.1.138-1	82 %	2,59	2,96

а Ширина представляет % вирусов, нейтрализованных с IC95 ≤ 50 мкг/мл

б Срединное и геометрическое среднее значения IC95 рассчитывали, используя только вирусы с IC95 ≤ 50 мкг/мл

[0347] Результаты анализа нейтрализации, представленные выше, объединяли с результатами скрининга полиспецифичности (пример 9) и скрининга иммуногенности (пример 11), чтобы разработать панель из 12 главных вариантов. Панель из 12 экспрессированных Env293 антител, исследованных в ELISA BVP, представленных в таблице 22, затем исследовали в анализе нейтрализации ВИЧ против расширенной панели вирусов. Результаты для антител, сохранивших N72-связанный гликан, показаны в таблице 32, тогда как результаты для антител без N72-связанного гликана показаны в таблице 33.

[0348] Таблица 32. Эффективность нейтрализации ВИЧ 7 антителами, сохранившими N72-связанный гликан, исследованная с применением расширенной панели вирусов.

Вирус	Эффективность нейтрализации вируса (мкг/мл)						
	A-1	1.1.64-1	1.52.64-1	1.1.90-1	2.2.1-1	2.4.1-1	2.3.1-1
1003	1,79	2,97	3,29	1,17	1,61	3,62	1,87
1012	1,41	1,41	1,71	2,92	3,70	3,38	1,55
1413	5,31	4,22	7,79	2,07	4,13	5,04	5,28
1489	0,12	0,16	0,17	0,22	0,26	0,16	0,18
7015	0,53	0,65	0,98	0,63	0,47	0,54	0,63
7051	0,79	2,05	0,82	0,83	0,97	1,18	0,52
7103	0,76	1,56	1,09	1,75	1,72	1,31	0,94
7141	2,32	1,82	30,02	2,66	3,93	4,82	1,62
7467	0,04	0,06	0,07	0,05	0,03	0,05	0,06
7552	12,04	>80	50,05	>80	39,62	37,05	20,69
7576	0,69	0,39	1,46	1,42	0,70	1,40	0,92
7595	4,88	1,71	7,34	10,46	9,72	5,06	8,50
7714	4,20	ND	ND	ND	ND	ND	ND
8106	2,72	3,31	8,15	4,54	2,46	4,25	3,12
8110	3,64	6,74	7,04	3,16	3,62	5,14	3,48
8117	0,86	1,77	2,18	1,47	0,94	2,58	2,08

Вирус	Эффективность нейтрализации вируса (мкг/мл)						
	A-1	1.1.64-1	1.52.64-1	1.1.90-1	2.2.1-1	2.4.1-1	2.3.1-1
8134	1,57	0,60	3,66	3,78	1,52	1,05	2,27
8176	0,26	0,66	0,34	0,27	0,30	0,33	0,30
8318	0,27	0,33	0,42	0,39	0,36	0,40	0,31
8320	2,20	2,89	3,82	3,22	3,88	6,69	2,88
302076	0,08	0,08	0,11	0,08	0,07	0,13	0,10
92HT593	0,27	0,37	0,25	0,22	0,17	0,37	0,29
92US657	0,38	0,42	0,48	0,40	0,25	0,34	0,36
92US712	0,06	0,06	0,13	0,05	0,05	0,07	0,06
92US727	2,43	1,12	5,47	8,61	4,84	13,74	2,02
CHO77	0,04	0,04	0,12	0,06	0,02	0,08	0,03
REJO	0,01	0,02	0,02	0,04	0,01	0,02	0,02
THRO	2,80	3,87	3,11	2,04	2,17	4,17	3,96
VS001	0,06	0,06	0,11	0,10	0,08	0,18	0,07
VS004	2,66	2,43	4,74	3,21	2,84	6,08	1,92
VS017	0,70	0,91	2,01	1,08	0,84	3,91	0,88
VS026	0,11	0,17	0,23	0,20	0,13	0,27	0,13
VS030	2,04	2,60	7,98	7,40	2,51	5,20	6,38
VS039	0,12	0,09	0,27	0,14	0,03	0,11	0,06
VS042	2,53	2,33	4,44	1,88	0,89	2,00	1,11
VS043	0,79	0,85	1,30	1,11	1,01	1,16	0,97
VS044	0,18	0,16	0,38	0,26	0,13	0,25	0,16
VS046	0,04	0,04	0,05	0,03	0,03	0,05	0,03
VS049	39,54	32,19	>100	>100	2,89	>100	4,86
VS052	0,28	0,45	0,61	0,64	0,24	0,50	0,33

[0349] Таблица 33. Эффективность нейтрализации ВИЧ 5 антителами без гликана в N72 с применением расширенной панели вирусов.

Вирус	Эффективность нейтрализации вируса (мкг/мл)				
	1.1.104-1	1.1.119-1	3.1.5-1	2.2.5-1	2.3.5-1
1003	1,44	0,91	1,02	0,78	1,06

Вирус	Эффективность нейтрализации вируса (мкг/мл)				
	1.1.104-1	1.1.119-1	3.1.5-1	2.2.5-1	2.3.5-1
1012	2,87	1,06	1,19	0,98	1,63
1413	4,34	4,52	4,30	3,62	3,79
1489	0,28	0,17	0,16	0,11	0,14
7015	0,67	1,08	1,16	0,95	1,89
7051	1,32	1,89	1,27	3,51	4,46
7103	1,82	1,16	0,91	0,78	1,05
7141	6,57	4,98	3,31	1,75	2,41
7467	0,06	0,19	0,12	0,07	0,09
7552	>80	>80	>80	>80	>80
7576	1,10	0,60	0,55	0,58	0,61
7595	8,47	3,07	3,56	2,94	3,07
7714	н/д	1,93	1,50	0,80	1,47
8106	2,80	1,44	1,45	0,94	1,44
8110	4,19	2,37	1,81	1,10	1,82
8117	1,22	1,66	1,02	0,75	1,06
8134	6,07	3,44	2,78	1,74	1,52
8176	0,16	0,27	0,30	0,20	0,33
8318	0,32	0,42	0,36	0,33	0,41
8320	4,34	1,47	1,33	1,21	1,48
302076	0,10	0,08	0,06	0,06	0,06
92HT593	0,28	0,15	0,16	0,11	0,17
92US657	0,36	0,30	0,27	0,15	0,24
92US712	0,04	0,03	0,06	0,04	0,05
92US727	10,55	43,70	11,98	16,74	9,32
CHO77	0,03	0,02	0,04	0,02	0,04
REJO	0,02	0,03	0,02	0,01	0,02
THRO	4,27	2,80	2,70	1,22	2,34
VS001	0,34	0,37	0,10	0,10	0,13
VS004	4,80	6,02	1,55	3,22	2,77
VS017	2,33	2,75	1,03	0,77	0,70
VS026	0,19	0,14	0,10	0,06	0,10

Вирус	Эффективность нейтрализации вируса (мкг/мл)				
	1.1.104-1	1.1.119-1	3.1.5-1	2.2.5-1	2.3.5-1
VS030	7,90	4,96	6,86	4,22	6,23
VS039	0,10	0,13	0,12	0,06	0,15
VS042	2,33	2,19	1,94	1,21	1,56
VS043	1,49	0,81	0,54	0,41	0,79
VS044	0,28	0,20	0,16	0,12	0,17
VS046	0,03	0,03	0,03	0,03	0,04
VS049	>100	>100	20,37	10,85	36,15
VS052	0,27	0,39	0,31	0,20	0,31

[0350] Результаты в таблицах 32 и 33 показали, что у всех исследованных 12 вариантов антител сходные значения эффективности нейтрализации вируса на расширенной панели вирусов. Подгруппу вариантов также характеризовали в отношении ширины и эффективности нейтрализации с помощью анализа нейтрализации PhenoSense, применяя панель из 141 репортерного вируса, псевдотипированного оболочками из подтипа В вируса, происходящего из пациента (таблица 34 и фигура 5). Каждый вектор оболочки содержал изолят, отобранный из одного пациента. У указанных вариантов выявляли сравнимую эффективность и ширину нейтрализации.

[0351] Таблица 34. Охарактеризованная активность нейтрализации вариантов МАТ против ВИЧ-1, псевдотипированных Env из изолятов подтипа В из плазмы.

	A	A-1	1.52.64-1
Ширина <sup>a</sup>	87 %	87 %	86 %
Срединная IC <sub>95</sub> , мкг/мл <sup>b</sup>	1,72	1,93	2,00
Геометрическое среднее IC <sub>95</sub> , мкг/мл <sup>b</sup>	2,26	2,23	2,94

<sup>a</sup> Ширина представляет % вирусов, нейтрализованных с IC<sub>95</sub> ≤ 50 мкг/мл

<sup>b</sup> Срединное и геометрическое среднее значения IC<sub>95</sub> рассчитывали, используя только вирусы с IC<sub>95</sub> ≤ 50 мкг/мл

Пример 11. Полномолекулярная пролиферация Т-клеток и высвобождение IL2 *in vitro*.

[0352] Ответы антител хозяина против лекарственного средства (ADA) могут отрицательно влиять на эффективность и фармакокинетику терапевтических антител, и образующиеся в результате этого иммунные комплексы могут вызывать опасения по поводу безопасности (Pratt KP. 2018. *Antibodies*. 7:19, Krishna M и Nadler SG. 2016. *Front. Immunol.* 7:21). В результате, были разработаны анализы пролиферации Т-клеток и высвобождения IL2 *in vitro*, такие как EpiScreen™ (Abzena Ltd.), чтобы оценить общий иммуногенный риск биотерапевтических средств. С помощью EpiScreen™ измеряют вызванное биотерапевтическими средствами высвобождение IL2 посредством анализа методом иммуноферментных пятен (ELISpot) и пролиферацию Т-клеток посредством включения  $^3\text{H}$ -тимидина в культуры обедненных CD8+ Т-клетками первичных МКПК, полученных из 50 доноров, выбранных как представители аллотипов HLA, экспрессированных среди мирового населения. Высокоиммуногенный белок, такой как гемоцианин лимфы улитки (KLH), будет вызывать как высвобождение IL2, так и пролиферацию Т-клеток у >80% доноров, одобренные биотерапевтические средства, такие как алемтузумаб и инфликсимаб, с высокими уровнями клинической иммуногенности будут вызывать ответ у 25% - 40% доноров, тогда как биотерапевтические средства с низким иммуногенным риском обычно вызывают частоту ответа доноров ≤10%. Было показано, что частота ответа доноров в EpiScreen™ коррелирует с уровнями клинического ADA (Baker и Jones 2007. *Curr. Opin. Drug Discov. Devel.* 10: 219-227).

[0353] В таблице 35 представлены результаты анализа EpiScreen™ для панели bNAb против gp120, которые были временно экспрессированы в клетках Expi293 и очищены с применением белка A и эксклюзионной хроматографии. Также показаны антитела A33 и KLH в качестве положительных контролей. В противоположность иммуногенным белкам положительного контроля, для множества исследованных антител против gp120, включая A-1, выявили необычно высокие уровни пролиферации Т-клеток, но относительно низкие уровни высвобождения IL2. Данный результат указывает на то, что в отсутствие мишени A-1 и другие bNAb против gp120 могут напрямую стимулировать включение  $^3\text{H}$ -тимидина в первичные МКПК человека *in vitro* посредством неизвестного механизма. Данные неизвестные механизмы, которые далее называют “побочной активностью”, могут представлять собой недостаток с точки зрения безопасности, если они перейдут *in vivo*.

**[0354]** Таблица 35. Результаты EpiScreen™ для 10 экспрессированных Expi293™ АТ против gp120, исследованных на МКПК из 50 доноров.

Название АТ	№ партии	Экспрессирующая линия клеток	Включение <sup>3</sup> H-тимидина (%)	Высвобождение IL2 (%)	<sup>3</sup> H + IL2 (%)
E	3	Expi293™	16	6	4
A-1	3	Expi293™	32	6	6
F	4	Expi293™	60	10	10
G	4	Expi293™	60	8	8
H	4	Expi293™	50	14	12
I	3	Expi293™	56	16	10
J	4	Expi293™	6	14	4
K	4	Expi293™	16	6	2
E-7	2	Expi293™	14	10	2
E-6	2	Expi293™	10	8	2
A33	н/п	н/п	20	22	14
KLH	н/п	н/п	90	82	80

Частота ответа (%) указывает на процент от 50 доноров, у которых выявили ответы в указанных анализа.

**[0355]** Тяжелая и легкая цепи антител E, F, G, H, I, J, K, L, L-1, E-6 и E-7 представлены в таблице 36.

**ТАБЛИЦА 36. СОПОСТАВИМЫЕ/КОНТРОЛЬНЫЕ АНТИТЕЛА**

Название AT	Последовательность аминокислот тяжелой цепи (HC)	Последовательность аминокислот легкой цепи
E	EVQLVESGGGLVKAGGSLILSCGVSNFRISAHTMNWVRRVPGGGLEWVASISTSSTYRDYADAVKGRFTVSRDDLEDFVYLQMHKMRVEDTAIYYCARKGSDRLSDNDPFDAWGPGBTVVTPASTKGPSVFPLAPSSKSTSGGTAALGCLVKDYFPEPVTWSWNSGA LTSGVHTFPAVLQSSGLYSLSSVTVPSSSLGTQTYICNVNHKPSNTKVDKKVEPKSCDKTHTCPPCPAPELLGGPSVFLFPPKPDKTLMISRTPEVTCVVVDVSHEDPEVKFNWYVDGVEVHNAKTKPREEQYNSTYRVSVLTVLHQDWLNGKEYKCKVSNKALPA PIEKTISKAKGQPREPQVYTLPPSREEMTKNQVSLTCLVKGFYPSDIAVEWESNGQPPENNYKTTPPVLDSDGSFFLYSKLTVDKSRWQQGNVFSCSVMHEALHNHYTQKSLSLSPGK (SEQ ID NO: 632)	DVVMTQSPSTLSASVGDTITITCRASQSIETWLAWYQQKPGKAPKLIIYKASTLKTGVPSRFSGSGSGTEFTLTISGLQFDDFATYHCQHYAGYSATFGQGTRVEIKRTVAAPSVFIFPPSDEQLKSGTASVVCLNNFYPREAKVQWKVDNALQSGNSQESVTEQDSKDSTYLSSTTL SKADYEKHKVYACEVTHQGLSSPVTKSFNRGEC (SEQ ID NO: 643)
F	EVQLVQSGTQMKEPGASVTISCVTSGYE FVEILINWVRQVPGRGLEWMGMNPRGGGVNYARQFQGKVTMTRDVTYRDTAYLTLSGLTSGDTAKYFCVGRGSCCGRRHCNGADC FNWDFQHWGQGTLVIVSPASTKGPSVFPLAPSSKSTSGGTAALGCLVKDYFPEP VTVSWNSGALTSGVHTFPAVLQSSGLYSLSSVTVPSSSLGTQTYICNVNHKPSNTKVDKKVEPKSCDKTHTCPPCPAPELLAGPDVFLFPPKPDKTLMISRTPEVTCVVVDVSHEDPEVKFNWYVDGVEVHNAKTKPREEQYNSTYRVSVLTVLHQDWLNGKEYKC KVSNKALPLPEEKTIISKAKGQPREPQVYTLPPSREEMTKNQVSLTCLVKGFYPSDI AVEWESNGQOPENNYKTTPPVLDSDGSFFLYSKLTVDKSRWQQGNVFSCSVLHEALTH SHYTQKSLSLSPGK (SEQ ID NO: 633)	YIGVTQSPAILSVSLGERVTLSCSTSQAITE RHLVWHRQKGGQAPS LVMGT SERASGIPDRFIGSGSGTDFTLTIRLEAEDFAVYYCQCLEAFGQGTKLEIKRTVAAPSVFIFPPSDEQLKSGTASVVCLNNFYPREAKVQWKVDNALQSGNSQESVTEQDSKDSTYLSSTTL SKADYEKHKVYACEVTHQGLSSPVTKSFNRGEC (SEQ ID NO: 644)
G	EVQLVQSGTQMKEPGASVTISCVTSGYE FVEILINWVRQVPGRGLEWMGMNPRGGGVNYARQFQGKVTMTRDVTYRDTAYLTLSGLTSGDTAKYFCVRGKSCCAGRRCGPTDCYNWDFAHWGQGTLVIVSPASTKGPSVFPLAPSSKSTSGGTAALGCLVKDYFPEP VTVSWNSGALTSGVHTFPAVLQSSGLYSLSSVTVPSSSLGTQTYICNVNHKPSNTKVDKKVEPKSCDKTHTCPPCPAPELLAGPDVFLFPPKPDKTLMISRTPEVTCVVVDVSHEDPEVKFNWYVDGVEVHNAKTKPREEQYNSTYRVSVLTVLHQDWLNGKEYKC KVSNKALPLPEEKTIISKAKGQPREPQVYTLPPSREEMTKNQVSLTCLVKGFYPSDI AVEWESNGQOPENNYKTTPPVLDSDGSFFLYSKLTVDKSRWQQGNVFSCSVLHEALTH SHYTQKSLSLSPGK (SEQ ID NO: 634)	EIVLTQSPGTLSLSPGETAIISCRTSQY GSLAWYQQRPGQAPRLVIYSGSTRAAGIPDRFSGSRWGP DYNLTISNL ESGDFGVYYCQQYEFFGQGTVQVDIKRTVAAPSVFIFPPSDEQLKSGTASVVCLNNFYPREAKVQWKVDNALQSGNSQESVTEQDSKDSTYLSSTTL SKADYEKHKVYACEVTHQGLSSPVTKSFNRGEC (SEQ ID NO: 645)
H	QVRLSQSGGQMKKPGDSMRISCRASGYEFINC PINWIRLAPGKRPEWMGMKPRGGAVSYARQLQGRVTMTRDMYSETAFLERSLSTSDDTAVYFCTRGKYCTARDY YNWDFEHWGQGTPVTVSSASTKGPSVFPLAPSSKSTSGGTAALGCLVKDYFPEPVTWSWNS	EIVLTQSPGTLSLSPGETAIISCRTSQY GSLAWYQQRPGQAPRLVIYSGSTRAAGIPDRFSGSRWGP DYNLTISNL ESGDFGVYYCQQYEFFG

**ТАБЛИЦА 36. СОПОСТАВИМЫЕ/КОНТРОЛЬНЫЕ АНТИТЕЛА**

Название AT	Последовательность аминокислот тяжелой цепи (HC)	Последовательность аминокислот легкой цепи
	GALTSGVHTFPAVLQSSGLYSLSSVVTVPSSLGQTYYICNVNHKPSNTKVDKKVEPKSCDKTHTCPCPAPELLAGPDVFLFPPKPKDTLMISRTPEVTCVVVDVSHEDPEVKFNWYVDGVEVHNAKTKPREEQYNSTYRVVSVLTVLHQDWLNGKEYKCKVSNKALPLPEEKTIASKAGQPREPVYTLPPSREEMTKNQVSLTCLVKGFYPSDIAVEWESNGOPENNYKTTPPVLDSDGSFFLYSKLTVDKSRWQQGNVFSCSVLHEALTHSHYTQKSLSLSPGK (SEQ ID NO: 635)	QGTVQVDIKRTVAAPSVFIFPPSDEQLKSGTASVVCLLNNFYPREAKVQWKVDNALQSGNSQESVTEQDSKDSTYSLSSTLTLKADYEKHKVYACEVTHQGLSSPVTKSFNRC (SEQ ID NO: 646)
I	RVQLVESGGVVQPGKSVRLSCVVSDFPFSKYPMYWVRQAPGKGLEWVAIISGDAWHVVYSNSVQGRFLVSRDNVKNTLYLEMNSLKIEDTAVYRCARMFQESGPRLDRWSGRNYYYYSGMDVGQGTTVTVSSASTKGPSVFLAPSSKSTSGGTAAALGCLVKDYFPEPVTVWNNSGALTSGVHTFPAVLQSSGLYSLSSVVTVPSSLGQTYYICNVNHPKSNTKVDKKVEPKSCDKTHTCPCPAPELLAGPDVFLFPPKPKDTLMISRTPEVTCVVVDVSHEDPEVKFNWYVDGVEVHNAKTKPREEQYNSTYRVVSVLTVLHQDWLNGKEYKCKVSNKALPLPEEKTIASKAGQPREPVYTLPPSREEMTKNQVSLTCLVKGFYPSDIAVEWESNGOPENNYKTTPPVLDSDGSFFLYSKLTVDKSRWQQGNVFSCSVLHEALHSHYTQKSLSLSPGK (SEQ ID NO: 636)	DIVMTQTPLSLSVTPGQPASISCKSSESRLQSNGKTSLYWYRQKPGQSPQLLVFEVSNRFSGVSDRFVGSGSGTDFTLRISRVEAEDVGFYYCMQSKDFPLTFGGGTKVDLKRTVAAPSVFIFPPSDEQLKSGTASVVCLLNNFYPREAKVQWKVDNALQSGNSQESVTEQDSKDSTYSLSSTLTLKADYEKHKVYACEVTHQGLSSPVTKSFNRC (SEQ ID NO: 647)
J	QEQLVESGGVVQPGGLRLSCLASGFTFKYGMHWVRQAPGKGLEWVALISDDGMRKYHSDSMWGRVTISRDNSKNTLYLQFSSLKVEDTAMFFCAREAGGIWHDVKYYDFNDGYYNYHYMDVGKGTTVTSSASTKGPSVFLAPSSKSTSGGTAAALGCLVKDYFPEPVTVWNNSGALTSGVHTFPAVLQSSGLYSLSSVVTVPSSLGQTYYICNVNHPKSNTKVDKKVEPKSCDKTHTCPCPAPELLAGPDVFLFPPKPKDTLMISRTPEVTCVVVDVSHEDPEVKFNWYVDGVEVHNAKTKPREEQYNSTYRVVSVLTVLHQDWLNGKEYKCKVSNKALPLPEEKTIASKAGQPREPVYTLPPSREEMTKNQVSLTCLVKGFYPSDIAVEWESNGOPENNYKTTPPVLDSDGSFFLYSKLTVDKSRWQQGNVFSCSVLHEALHSHYTQKSLSLSPGK (SEQ ID NO: 637)	QSALTQPASVSGSPGQTITISCNGTSSDVGGFDHSVSYQQSPGKAPKVMVFDVSHRPGISNRFGSGKSGNTASLTISGLHIEDEGDYFCSSLTDRSHRIFGGGTKVTVLGQPKAAPSVTLFPPSSEELQANKATLVCLISDFYPGAVTVAWKADSSPVKAGVETTPSKQSNNKYAASSYLSLTPEQWKSHRSYSCQVTHEGSTVEKTVAPTECS (SEQ ID NO: 648)
K	QVQLVQSGAEVKPGSSVKVSCKASGNFSNHDVHWVRQATGQGLEWMGWMHSHEGDKTGLAQKFQGRVTITRDSGASTVYMELRGILTADDTAIYYCLTGSKHRLRDYFLNEYGPNEYEWGDYLATLDVWGHGTAVTSSASTKGPSVFLAPSSKSTSGGTAAALGCLVKDYFPEPVTVWNNSGALTSGVHTFPAVLQSSGLYSLSSVVTVPSSLGQTYYICNVNHKPSNTKVDKKVEPKSCDKTHTCPCPAPELLAGPDVFLFPPKPKDTLMISRTPEVTCVVVDVSHEDPEVKFNWYVDGVEVHNAKTKPREEQYNSTYRVVSVLTVLHQDW	EVVITQSPLFLPVT PGEAASLSCKCSHSLQHSTGANYLAWYLQRPGQTPRLLIHLATHRASGVPDFSGSGSGTDFTLKISRVESDDVGTYYCMQGLHSPWTFGQGTKVEIKRTVAAPSVFIFPPSDEQLKSGTASVVCLLNNFYPREAKVQWKVDNALQSGNSQESVTEQDSKDSTYSLSSTLTL

**ТАБЛИЦА 36. СОПОСТАВИМЫЕ/КОНТРОЛЬНЫЕ АНТИТЕЛА**

Название AT	Последовательность аминокислот тяжелой цепи (HC)	Последовательность аминокислот легкой цепи
	LNGKEYKCKVSNKALPLPEEKTISAKGQPREPVYTLPPSREEMTKNQVSLTCLVKGFYPSDIAVEWESNGQPENNYKTPPVLDSDGSFFLYSKLTVDKSRWQQGNVFSCSVLHEALHSHYTQKSLSLSPGK (SEQ ID NO: 638)	SKADYEKHKVYACEVTHQGLSSPVTKSFNRC (SEQ ID NO: 649)
L	QVQLVQSGGQMKKPGESMRISCRASGYEFIDCTLNWIRLAPGKRPEWMWLKPRGGAVNYARPLQGRVTMTRDVYSDTAFILERLRSLTVDCTAVYFCTRGKNCDynWDFEHWGRGTPVIVSSASTKGPSVFP LAPSSKSTSGGTAALGCLVKDYFPEPVTWSWNSGALTSGVHTFP AVLQSSGLYSLSSVTVPSSSLGTQTYICNVNHPNSNTKVDKKVEPKSCDKTHTCPCPAPELLGGPSVFLFPPKPKDTLMISRTPEVTCVVVDVSHEDEPKFNWYVDGVEVHNAAKTKPREEQYNSTYRVVSVLTVLHQDWLNGKEYKCKVSNKALPAPI EKTISAKGQPREPVYTLPPSREEMTKNQVSLTCLVKGFYPSDIAVEWESNGQPENNYYKTPPVLDSDGSFFLYSKLTVDKSRWQQGNVFSCSVMHEALHNHYTQKSLSLSPGK (SEQ ID NO: 639)	EIVLTQSPGTLSLSPGETAIISCRTSQYGS LAWYQQRPGQAPRLVIYSGSTRAAGIPDRFSG SRWGPDPYNTISNLESQDFGVYYCQQYEFFG QGTVQVDIKRTVAAPS VFI FPPSDEQLKSGTASVVCLNNFYPREAKVQWKVDNALQSGNS QESVTEQDSKDSTYSLSSTLTL SKADYEKHKVYACEVTHQGLSSPVTKSFNRC (SEQ ID NO: 650)
L-1	QVQLVQSGGQMKKPGESMRISCRASGYEFIDCTLNWIRLAPGKRPEWMWLKPRGGAVNYARPLQGRVTMTRDVYSDTAFILERLRSLTVDCTAVYFCTRGKNCDynWDFEHWGRGTPVIVSSASTKGPSVFP LAPSSKSTSGGTAALGCLVKDYFPEPVTWSWNSGALTSGVHTFP AVLQSSGLYSLSSVTVPSSSLGTQTYICNVNHPNSNTKVDKKVEPKSCDKTHTCPCPAPELLGGPSVFLFPPKPKDTLMISRTPEVTCVVVDVSHEDEPKFNWYVDGVEVHNAAKTKPREEQYNSTYRVVSVLTVLHQDWLNGKEYKCKVSNKALPAPI EKTISAKGQPREPVYTLPPSREEMTKNQVSLTCLVKGFYPSDIAVEWESNGQPENNYYKTPPVLDSDGSFFLYSKLTVDKSRWQQGNVFSCSVMHEALHNHYTQKSLSLSPGK (SEQ ID NO: 640)	EIVLTQSPGTLSLSPGETAIISCRTSQYGS LAWYQQRPGQAPRLVIYSGSTRAAGIPDRFSG SRWGPDPYNTISNLESQDFGVYYCQQYEFFG QGTVQVDIKRTVAAPS VFI FPPSDEQLKSGTASVVCLNNFYPREAKVQWKVDNALQSGNS QESVTEQDSKDSTYSLSSTLTL SKADYEKHKVYACEVTHQGLSSPVTKSFNRC (SEQ ID NO: 651)
E-6	EVQLVESGGGLVKAGGSLIILSCGVSNFRISAHTMNWRRVPGGLEWVASISTSSTYRDYADAVKGRFTVSRDDLEDFVYLQMHKMRVEDTAIYYCARKGSDRLSDNDPFDAWGP GTVVTVPASTKGPSVFP LAPSSKSTSGGTAALGCLVKDYFPEPVTWSWNSGALTSGVHTFP AVLQSSGLYSLSSVTVPSSSLGTQTYICNVNHPNSNTKVDKKVEPKSCDKTHTCPCPAPELLGGPSVFLFPPKPKDTLMISRTPEVTCVVVDVSHEDEPKFNWYVDGVEVHNAAKTKPPEEQYNSTLRVVSILTVLHQDWLNGKEYKCKVSNKALPA PIEKTISAKGQPREPVYTLPPSREEMTKNQVSLTCLVKGFYPSDIAVEWESNGQPENNYKTPPVLDSDGSFFLYSKLTVDKSRWQQGNVFSCSVMHEALHSHYTQKSLSLSPGK (SEQ ID NO: 641)	DVVMTQSPSTLSASVGDTITITCRASQSIE TLWLA WYQQKPGKAPKLLIYKASTLKTGVPSRF SGSGSGTEFTLTISGLQFDDFATYHCQHYAG YSATFGQGTRVEIKRTVAAPS VFI FPPSDEQLKSGTASVVCLNNFYPREAKVQWKVDNALQSGNS QESVTEQDSKDSTYSLSSTLTL SKADYEKHKVYACEVTHQGLSSPVTKSFNRC (SEQ ID NO: 652)

**ТАБЛИЦА 36. СОПОСТАВИМЫЕ/КОНТРОЛЬНЫЕ АНТИТЕЛА**

Название AT	Последовательность аминокислот тяжелой цепи (HC)	Последовательность аминокислот легкой цепи
E-7	EVQLVESGGGLVKAGGSLILSCGVSNFRISAHTMNWRRVPGGGLEWVASISTSSTYRDYADAVKGRFTVSRDDLEDFVYLQMHKMRVEDTAIYYCARKGSDRLSDNDPFDAWGPGBTVVTVSPASTKGPSVFPLAPSSKSTSGGTAALGCLVKDYFPEPVTWSWNSGA LTSGVHTFPALQSSGLYSLSSVTVPSSSLGTQTYICNVNHKPSNTKVDKKVEPKSCDKTHTCPPCPAPELVGGPSVFLPPPKDTLMISRTPEVTCVVVDVSHEDPEVKFNWYVDGVEVHNAKTKPPEEQYNSTLRVSVLTVLHQDWLNGKEYKCKVSNKALPA PIEKTISKAKGQPREPQVYTLPPSREEMTKNQVSLTCLVKGFYPSDIAVEWESNGQ PENNYKTTPLVLDSDGSFFLYSKLTVDKSRWQQGNVFSCSVLHEALHSHYTQKSLS LSPGK (SEQ ID NO: 642)	DVVMQTQSPSTLSASVGDTITITCRASQSIE WLAWYQQKPGKAPKLLIYKASTLKTGVPSRF SGSGSGTEFTLTISGLQFDDFATYHCQHYAG YSATFGQGTRVEIKRTVAAPSVFIFPPSDEQ LKSGTASVVCLNNFYPREAKVQWKVDNALQ SGNSQESVTEQDSKDSTYSLSSTTLSKADY EKHKVYACEVTHQGLSSPVTKSFNRGEC (SEQ ID NO: 653)

**[0356]** Для того чтобы лучше понять неожиданную побочную активность A-1, мы провели второй анализ EpiScreen на A-1 и вариантах, описанных в данной заявке, без указанного мотива N72-связанного гликозилирования в легкой цепи A-1. Для того чтобы определить, могут ли изменения зависимого от хозяина экспрессии состава N72-связанных гликанов (пример 14, ниже) повлиять на побочную активность A-1, белки для второго анализа EpiScreen экспрессировали в линии клеток ExpiCHO<sup>TM</sup> вместо линии клеток Expi293<sup>TM</sup>. Результаты данного анализа EpiScreen<sup>TM</sup> представлены в таблице 37. Для антитела A-1, экспрессированного в линии клеток ExpiCHO, выявили более низкие уровни пролиферации Т-клеток (16%), чем для A-1, экспрессированного в клетках Expi293 (32%), позволяя предположить, что экспрессирующая линия клеток и связанные с ней изменения состава N72-связанных гликанов могут оказывать влияние на предполагаемую побочную активность, наблюдалемую в EpiScreen<sup>TM</sup>. Неожиданно, для всех вариантов антитела A-1 без сайта N72-связанного гликозилирования в легкой цепи антитела выявили гораздо более высокие уровни пролиферации Т-клеток. Полученные результаты позволяют предположить, что состав N72-связанных гликанов Fab может играть роль в модуляции побочной активности пролиферации Т-клеток, но что удаление N72-связанного гликана Fab усиливает побочную активность.

**[0357]** Таблица 37. Результаты EpiScreen<sup>TM</sup> для 7 экспрессированных в ExpiCHO<sup>TM</sup> АТ против gp120, исследованных на МКПК из 50 доноров.

Название	№ партии	Экспрессирующая линия клеток	Включение <sup>3</sup> H-тимицина (%)	Высвобождение IL2 (%)	<sup>3</sup> H + IL2 (%)
A-1	6	ExpiCHO <sup>TM</sup>	16	6	4
1.1.10-1	2	ExpiCHO <sup>TM</sup>	32	6	6
1.1.42-1	2	ExpiCHO <sup>TM</sup>	60	10	10
1.33.32-1	3	ExpiCHO <sup>TM</sup>	60	8	8
1.1.54-1	2	ExpiCHO <sup>TM</sup>	50	14	12
1.37.51-1	2	ExpiCHO <sup>TM</sup>	56	16	10
1.8.52-1	2	ExpiCHO <sup>TM</sup>	6	14	4
A33	н/п	н/п	16	6	2
KLH	н/п	н/п	14	10	2

Частота ответа (%) указывает на процент от 50 доноров, у которых выявили ответы в указанных анализах.

[0358] Поскольку в анализе EpiScreen<sup>TM</sup> измеряют включение <sup>3</sup>H-тимицина в культуры первичных МКПК, возможно, что в отсутствие высвобождения IL2 побочные активности, наблюдаемые для A-1 и его вариантов, могут включать пролиферацию любого типа клеток, присутствующих в МКПК (например, пролиферацию В-клеток вместо пролиферации Т-клеток). Для того чтобы определить, стимулировали ли полученные из ExpiCHOTM A-1 и его варианты без N72-гликана пролиферацию Т-клеток, мы затем проводили анализ EpiScreen<sup>TM</sup>, применяя либо обедненные CD8+ Т-клетками МКПК, либо обедненные CD8+ и CD4+ Т-клетками МКПК, взятые из тех же 10 доноров. Для отрицательного контроля мы выбрали полученное из Expi293 антитело L, для которого ранее выявили низкую частоту ответа доноров в EpiScreen<sup>TM</sup> (см., например, WO 2017/106346). Результаты данного анализа показаны в таблице 38. Полученные результаты явно показывают, что уровни включения <sup>3</sup>H-тимицина снижаются в отсутствие CD4+ Т-клеток. Данные результаты показывают, что побочная активность, наблюдавшаяся для A-1 и его вариантов, зависит от присутствия Т-клеток. Так как ВИЧ инфицирует и создает латентный резервуар в Т-клетках, побочная вызванная антителом против gp120 пролиферация Т-клеток потенциально может расширять резервуар ВИЧ-1, и, следовательно, будет нежелательна в рамках стратегии лечения ВИЧ, пред назначенной для уменьшения резервуара ВИЧ-1.

[0359] Таблица 38. Результаты EpiScreen<sup>TM</sup> для 3 АТ против gp120, исследованных на МКПК из 10 доноров в присутствии (+CD4) или отсутствие (-CD4) CD4+ Т-клеток.

Название	№ партии	Экспрессирующая линия клеток	Включение <sup>3</sup> H-тимицина, +CD4 (%)	Включение <sup>3</sup> H-тимицина, -CD4 (%)
A-1	6	ExpiCHOTM	40	0
1.1.54-1	2	ExpiCHOTM	40	10
L	3	Expi293 <sup>TM</sup>	0	0

Частота ответа (%) указывает на процент от 10 доноров, у которых выявили ответы в указанных анализах.

**[0360]** Далее в примере 15 описано, что молекулярный состав N72-связанных гликанов легкой цепи A-1 и наблюдаемая в зависимости от этого фармакокинетика могут кардинально изменяться в зависимости от хозяина экспрессии и итогового содержания сиалирирования N72-связанного гликана легкой цепи Fab. На основании результатов анализов EpiScreen, представленных в таблицах 35 - 38, мы выдвинули предположение, что молекулярный состав N72-связанных гликанов легкой цепи A-1 может вносить вклад в наблюданную побочную активность пролиферации Т-клеток, описанную в данной заявке. Для проверки данной идеи мы затем провели анализ EpiScreen на 10 донорах, позволяющий измерить пролиферацию Т-клеток, применяя происходящие либо из ExpiCHO, либо из CHO-S A-1 или его варианты. В примерах 14 и 15 описано, что у происходящего из CHO-S A-1 было значительно большее содержание сиалирирования N72-гликана, чем у происходящего из Expi293™ или ExpiCHO™ материала. Результаты данного EpiScreen показаны в таблице 39. Для антител A-1 и 1.1.90-1, экспрессированных в линии клеток CHO-S, не выявили побочной пролиферации Т-клеток. Хотя количество доноров в данном скрининговом анализе было малым, полученные результаты привели к предположению, что экспрессирующая A-1 линия клеток и связанный с ней состав N72-связанных гликанов легкой цепи может не только модулировать фармакокинетику, но также модулировать наблюданную в анализе EpiScreen™ побочную активность.

**[0361]** Таблица 39. Результаты EpiScreen™ пролиферации Т-клеток для 6 экспрессированных в ExpiCHO™ или CHO-S AT против gp120, исследованных на МКПК из 10 доноров.

Название	№ партии	Экспрессирующая линия клеток	Включение 3Н-тимидина (%)
1.1.54-1	6	ExpiCHO™	40
L-1	2	CHO-S	20
1.1.111-1	2	CHO-S	30
1.1.90-1	3	CHO-S	0
B-1	2	CHO-S	20
A-1	18	CHO-S	0
Эксенатид	н/п	н/п	40
KLH	н/п	н/п	60

Частота ответа (%) указывает на процент от ■ доноров, у которых выявили ответы в указанных анализах.

[0362] На основании предварительных результатов, представленных в таблице 39, мы затем провели анализ EpiScreen™ для 50 доноров на панели из 7 антител против gp120, включая A-1 и его варианты, экспрессированных в линиях клеток ExpiCHO или CHO-S. Результаты данного скринингового анализа представлены в таблице 40 и показывают, что для A-1 продемонстрировали очень низкую пролиферацию Т-клеток и высвобождение IL2, когда его получили, используя линии клеток CHO-S, которые добавляют высокий уровень сиаловой кислоты в сайт N72-связанного гликозилирования легкой цепи (см. примеры 14 - 15). Полученные результаты дополнительно демонстрируют, что выбранные варианты A-1 дополнительно снижали уровни пролиферации Т-клеток, когда их получали и исследовали таким же образом.

[0363] Таблица 40. Результаты EpiScreen™ для 7 АТ против gp120, исследованных на МКПК из 50 доноров.

Название	№ партии	Экспрессирующая линия клеток	Включение $^{3}\text{H}$ - тимицина (%)	Высвобождение IL2 (%)	$^{3}\text{H} + \text{IL2}$ (%)
1.1.64-1	5	CHO-S	36	6	2
A-1	27	CHO-S	10	0	0
1.52.64-1	3	CHO-S	4	4	0
3.1.5-1	3	CHO-S	28	6	4
2.3.5-1	3	CHO-S	28	2	0
1.1.10-1	3	ExpiCHO™	22	10	4
L-1	7	CHO-S	12	4	2
Эксенатид	н/п	н/п	38	20	10
KLH	н/п	н/п	98	94	92

Частота ответа (%) указывает на процент от 50 доноров, у которых выявили ответы в указанных анализах.

#### Пример 12. Анализы связывания *in vitro*.

[0364] Фармакокинетика (ФК) и фармакодинамика (ФД) терапевтических антител опосредована специфическим связыванием с целевыми белками посредством вариабельных доменов и/или связыванием с Fc-гамма рецепторами (FcγR) на

клетках врожденного иммунитета, с неонатальным Fc-рецептором (FcRn) на эндотелиальных клетках и с белком комплемента C1q в кровотоке (Nimmerjahn и Ravetch. 2008. Nat. Rev. Immunol. 8:34-47, Rogers и др. 2014. Immunol. Res. 59:203-210, Kuo TT и Aveson VG. 2011. MABs 3:422-430). Генная инженерия вариабельного домена или домена Fc антитела может влиять на связывание с данными рецепторами и влиять на ФК и ФД. Следовательно, мы оценили относительную аффинность выбранных антител, описанных в данной заявке, применяя различные обычные анализы связывания *in vitro*, включая поверхностный плазмонный резонанс (ППР) и твердофазный иммуноферментный анализ (ELISA).

[0365] Константы диссоциации (KD) связывания *in vitro* выбранных антител, описанных в данной заявке, с Fc-связывающими рецепторами (Fc $\gamma$ R, FcRn) человека и яванского макака (суро) определяли, применяя биосенсор Biacore 4000 поверхностного плазмонного резонанса (ППР) и сенсорные чипы либо C1, либо CM4 (GE Healthcare). Биотинилированный FcRn человека приобретали в Immunitrack. Биотинилированные FcRn яванского макака и Fc $\gamma$ RIIIB-NA1 и Fc $\gamma$ RIIIB-NA2 человека приобретали в Acgro Biosystems. Fc $\gamma$ RIIA-167H, Fc $\gamma$ RIIA-167R, Fc $\gamma$ RIIA-176F, Fc $\gamma$ RIIA-176V, Fc $\gamma$ RIIB/C, Fc $\gamma$ RI человека и Fc $\gamma$ RI, Fc $\gamma$ RIIA, Fc $\gamma$ RIIB и Fc $\gamma$ RIII яванского макака приобретали в R&D systems.

[0366] Для анализов связывания FcRn человека, 600 RU стрептавидина иммобилизовали по аминогруппе с сенсорным чипом C1, применяя стандартную конъюгацию с помощью NHS/EDC. Буфер для иммобилизации представлял собой ФБР + 0,005% твин 20, pH 7,4. Стрептавидин получали при концентрации 50 мкг/мл в 10 мМ NaAc, pH 4,5. Этапы активации, конъюгации и блокирования проводили в течение 10 минут, каждый при 10 мкл/мин. Биотинилированный FcRn человека был захвачен до уровня приблизительно 20 относительных единиц (RU). Исследовали связывание образцов МАТ А-1, А и 1.52.64-1 с поверхностью с FcRn, применяя серию двукратных разведений концентрации до 1 мкМ. Результаты собирали при pH 6,0 и pH 7,4 в трех повторах. Результаты ответа в равновесном состоянии аппроксимировали простой изотермой связывания.

[0367] Fc $\gamma$ RIIA и Fc $\gamma$ RIIA человека иммобилизовали по аминогруппе при 4 различных плотностях (приблизительно 100 RU, приблизительно 250 RU, приблизительно 375 RU и приблизительно 725 RU) на сенсорном чипе CM4. Исследовали связывание трех образцов МАТ в подвижном буфере ФБР pH 7,4 +

твин 20 (0,005%) в серии двукратных разведений концентрации до 1 мкМ. Каждую серию концентраций МАТ исследовали дважды на поверхностях с каждой из 4 плотностей рецепторов, получив 8 наборов результатов для каждого взаимодействия. Результаты ответа в равновесном состоянии аппроксимировали простой изотермой связывания.

[0368] FcRIIB/C человека иммобилизовали по аминогруппе с сенсорным чипом CM4 при трех различных уровнях (50, 400 и 800 RU). Исследовали три МАТ, используя 2 мкМ в качестве наибольшей концентрации в серии двукратных разведений. Серию концентраций исследовали в трех повторах для каждого антитела на поверхностях с низкой, средней и высокой плотностью рецепторов. Результаты ответа в равновесном состоянии аппроксимировали простой изотермой связывания.

[0369] Для того чтобы определить аффинности связывания с Fc $\gamma$ RIIB человека, каждое тестируемое антитело иммобилизовали по аминогруппе с сенсорным чипом CM4 при двух плотностях (приблизительно 100 RU и приблизительно 800 RU). Исследовали связывание образцов Fc $\gamma$ RIIB человека, используя серию двукратных разведений концентрации до 0,5 мкМ. Результаты ответа в равновесном состоянии аппроксимировали простой изотермой связывания.

[0370] Для того чтобы определить аффинности связывания с Fc $\gamma$ RI человека, каждое тестируемое антитело иммобилизовали по аминогруппе с сенсорным чипом CM4 при двух плотностях (приблизительно 100 RU и приблизительно 800 RU). Исследовали связывание Fc $\gamma$ RI человека, используя серию двукратных титрований (3 нМ и 30 нМ). Ответы аппроксимировали простой кинетической моделью.

[0371] Для того чтобы определить аффинности связывания с FcRn яванского макака, 600 RU стрептавидина иммобилизовали по аминогруппе с сенсорным чипом C1, применяя стандартную конъюгацию с помощью NHS/EDC. Буфер для иммобилизации представлял собой ФБР + 0,005% твин 20, pH 7,4. Стрептавидин получали при концентрации 50 мкг/мл в 10 мМ NaAc pH 4,5. Этапы активации, конъюгации и блокирования проводили в течение 10 минут, каждый при 10 мкл/мин. Биотинилированный FcRn супо был захвачен до уровня приблизительно 20 RU. Исследовали связывание антител с поверхностью с FcRn, применяя серию двукратных разведений концентрации до 1 мкМ. Результаты собирали при pH 6,0 и

pH 7,4 в трех повторах. Результаты ответа в равновесном состоянии аппроксимировали простой изотермой связывания.

[0372] Для того чтобы определить аффинности связывания с Fc $\gamma$ RIIA, Fc $\gamma$ RIIB, Fc $\gamma$ RIII и Fc $\gamma$ RI яванского макака, каждое тестируемое антитело иммобилизовали по аминогруппе с сенсорным чипом CM4 при двух плотностях (приблизительно 100 RU и приблизительно 800 RU). Fc $\gamma$ RIIA и Fc $\gamma$ RIIB супо исследовали в серии двукратных концентраций до 1 мкМ. Fc $\gamma$ RIII исследовали в двукратных концентрациях до 500 нМ. Исследовали связывание Fc $\gamma$ RI супо, используя двухэтапное титрование (3 нМ и 30 нМ). Результаты ответа для Fc $\gamma$ RIIA, Fc $\gamma$ RIIB, Fc $\gamma$ RIII в равновесном состоянии аппроксимировали простой изотермой связывания. Ответы для Fc $\gamma$ RI аппроксимировали простой кинетической моделью.

[0373] Полный набор констант связывания, определенных с помощью поверхностного плазмонного резонанса (ППР), показан в таблице 41. Результаты показывают, что варианты антитела А с генетически сконструированными доменами Fc проявляют повышенную аффинность связывания с белками Fc $\gamma$ R и FcRn как человека, так и яванского макака.

[0374] Таблица 41. Константы связывания (KD) с Fc-рецептором, определенные с помощью ППР.

Тип/аллель Fc-рецептора	A	A-1	1.52.64-1
Fc $\gamma$ RI человека	0,107 ± 0,040 нМ	0,002 ± 0,002 нМ	0,0012 ± 0,0005 нМ
Fc $\gamma$ RI Cyno	0,038 ± 0,016 нМ	0,005 ± 0,004 нМ	0,005 ± 0,003 нМ
Fc $\gamma$ RIIA-167H человека	1,8 ± 0,5 мкМ	131 ± 22 нМ	221 ± 21 нМ
Fc $\gamma$ RIIA-167R человека	3 ± 1 мкМ	130 ± 9 нМ	199 ± 21 нМ
Fc $\gamma$ RIIA Cyno	2000 ± 1000 нМ	1100 ± 80 нМ	1180 ± 60 нМ
Fc $\gamma$ RIIB человека	11 ± 0,8 мкМ	1,6 ± 0,2 мкМ	1,9 ± 0,2 мкМ
Fc $\gamma$ RIIB Cyno	895 ± 50 нМ	240 ± 9 нМ	280 ± 32 нМ
Fc $\gamma$ RIIIA – 176V человека	670 ± 40 нМ	59 ± 4 нМ	67 ± 6 нМ
Fc $\gamma$ RIIIA – 176F человека	2,3 ± 0,6 мкМ	52 ± 4 нМ	63 ± 5 нМ
Fc $\gamma$ RIIIB – NA1 человека	2000 ± 1000 нМ	59 ± 9 нМ	64 ± 15 нМ
Fc $\gamma$ RIIIB – NA2 человека	1500 ± 400 нМ	56 ± 18 нМ	55 ± 14 нМ
Fc $\gamma$ RIII Cyno	200 ± 70 нМ	7,1 ± 0,7 нМ	8 ± 2 нМ
FcRn человека, pH 7,4	42 ± 1 мкМ	1,7 ± 0,3 мкМ	1,12 ± 0,08 мкМ

FcRn человека, pH 6,0	$485 \pm 43$ нМ	$38 \pm 3$ нМ	$49 \pm 5$ нМ
FcRn cyno, pH 7,4	$12,8 \pm 0,4$ мкМ	$4,3 \pm 0,4$ мкМ	$5,3 \pm 0,2$ мкМ
FcRn cyno, pH 6,0	$1100 \pm 100$ нМ	$16 \pm 2$ нМ	$22 \pm 2$ нМ

[0375] Анализ ELISA связывания в зависимости от дозы проводили, чтобы определить относительную аффинность связывания C1q антител, описанных в данной заявке. Для проведения данного анализа 384-луночный планшет Maxisorp покрывали 25 мкл раствора антитела при 5 мкг/мл в ФБР pH 7,4 в течение ночи при 4 °C. Планшеты затем блокировали 75 мкл 1% БСА в ФБР в течение 2 часов и промывали 4 раза ФБР + 0,05% твин 20 (ФБРТ). Затем 25 мкл трехкратного серийного разведения белка C1q человека в ФБР + 5% БСА добавляли в планшеты. Планшеты инкубировали при взбалтывании при 600 об/мин в течение одного часа, промывали 4 раза ФБРТ, а затем добавляли 25 мкл поликлонального антитела против C1q, конъюгированного с HRP, в ФБР + 5% БСА. Планшеты инкубировали при взбалтывании при 600 об/мин в течение 15 минут, промывали 8 раз ФБРТ, а затем проявляли, применяя субстрат 3,3',5,5'-тетраметилбензидин (ТМВ), и гасили HCl. Поглощение на 450 нм считывали, применяя спектрофотометр для прочтения планшетов Spectramax m5, и значения EC50 определяли, применяя аппроксимацию 4-параметрической кривой зависимости доза-ответ.

[0376] Средние значения EC50 в анализе ELISA связывания C1q рассчитывали по трем независимым анализам, и они показаны в таблице 42.

Таблица 42. Значения EC50 связывания C1q, определенные с помощью ELISA (n=3 анализа).

Антитело	EC50 связывания C1q (нМ)
A	$2,2 \pm 1,2$ нМ
A-1	$> 100$ нМ
1.52.64-1	$> 100$ нМ

[0377] Результаты показали, что варианты антитела A со сконструированными Fc обладают значительно сниженной аффинностью связывания C1q.

[0378] Анализ связывания ELISA с ответом на дозу проводили, чтобы определить относительные аффинности связывания gp120 антител, описанных в данной

заявке. Для проведения анализа 384-луночный планшет Maxisorp покрывали 25 мкл 5 мкг/мл gp120 и инкубировали в течение ночи при 4°C. Планшет промывали 4 раза ФБР с 0,05% твин 20 и блокировали 75 мкл ФБР с 5% БСА в течение 1 ч при комнатной температуре при взбалтывании при 600 об/мин. После блокирования лунки аспирировали и 25 мкл 3-кратного серийного разведения первичного антитела добавляли и инкубировали при комнатной температуре в течение 1 ч при взбалтывании при 600 об/мин. Планшет затем промывали 4 раза ФБР с 0,05% твин 20 и добавляли 25 мкл вторичного антитела козы против IgG (H+L) человека, конъюгированного с HRP, разбавленного 1/10000 в ФБР с 1% БСА, и инкубировали при комнатной температуре, встряхивая при 600 об/мин в течение 30 мин. Затем планшет промывали 4 раза ФБР с 0,05% твин 20 и добавляли 25 мкл свежего субстрата ТМВ. Планшет проявляли в течение 90 сек при взбалтывании при 600 об/мин и перед тем, как погасить 25 мкл 1 М HCl. Поглощение считывали на A450 на спектрофотометре для прочтения планшетов Spectramax m5.

[0379] Средние значения EC50 рассчитывали по трем независимым анализам ELISA и представили в таблице 43.

[0380] Таблица 43. Значения EC50 связывания gp120, определенные с помощью ELISA.

Белок gp120	A	A-1	1.52.64-1
Bal	0,05 ± 0,02 нМ	0,06 ± 0,01 нМ	0,07 ± 0,02 нМ
CAAN	1,84 ± 0,22 нМ	2,17 ± 0,56 нМ	3,79 ± 1,26 нМ
REJO	2,21 ± 0,44 нМ	2,37 ± 0,68 нМ	4,02 ± 0,45 нМ

[0381] Результаты позволяют предположить, что все исследованные антитела связывают белок gp120 ВИЧ со сходными аффинностями.

#### Пример 13. Влияние мутаций Fc на время полужизни в сыворотке.

[0382] В данном примере оценивали влияние мутаций в Fc IgG1, которые повышают уничтожение эффекторными клетками и/или которые повышают связывание с FcRn, на время полужизни в сыворотке. Полученные результаты согласуются с выводом, что мутации в Fc IgG1, которые усиливают активность уничтожения эффекторными клетками (например, аспарагиновая кислота в положении 239, глутаминовая кислота в положении 332, аланин в положении 236, лейцин в положении 330 согласно нумерации EU (DEAL)), могут укорачивать

время полужизни в сыворотке *in vivo*. Такое укорочение времени полужизни в сыворотке можно частично или полностью восстановить путем введения мутаций также в Fc IgG1, которые повышают связывание с FcRn (например, лейцин в положении 428 и серин в положении 434 согласно нумерации EU (LS)).

**[0383]** PGT121-WT, PGT121-DEAL, PGT121.60, PGT121-LS (описано, например, в WO 2017/106346) и A-1 согласно настоящей заявке вводили яванским макакам (Covance, Техас) при концентрации 10 мг/кг или 0,5 мг/кг (A-1) путем однократной внутривенной (в/в) инъекции, чтобы охарактеризовать их основные фармакокинетические (ФК) профили. Образцы сыворотки, собранной из обезьян, анализировали, применяя биоаналитический способ достаточной селективности и чувствительности, чтобы определить профили зависимости концентрации в сыворотке от времени и вычислить средние ФК параметры сыворотки с помощью некомpartmentного анализа ФК (NCA). В указанном биоаналитическом способе использовали антиген gp120 клады B (Immune-tech, Калифорния) в качестве захватывающего реагента и конъюгированное с биотином антитело козы против IgG человека (Southern Biotech, Алабама) в качестве вторичного реагента, а меченный SULFO-TAG стрептавидин (MesoScale Discovery, Мэриленд) для детектирования электрохимическим детектором.

**[0384]** Измеренные профили зависимости концентрации в сыворотке от времени для PGT121-WT, PGT121-DEAL, PGT121.60, PGT121-LS и A-1, изображенные на фигуре 6, использовали для вычисления средних ( $\pm$  CO) ФК параметров, изображенных в таблице 44.

**[0385]** Таблица 44. Фармакокинетические параметры PGT121-WT, PGT121-DEAL, PGT121.60, PGT121-LS и A-1 после в/в введения непримороженным яванским макакам (n=3).

Исследуемый образец	Доза (мг/кг в/в)	AUC <sub>0-∞</sub> (сутки*мкг/мл)	Cl (мл/сутки/кг)	V <sub>d</sub> (мл/кг)	t <sub>1/2</sub> (сутки)
PGT121-WT	10	1510 ± 470	7,0 ± 1,9	105 ± 17,6	10,6 ± 1,3
PGT121-DEAL	10	1020 ± 167	9,9 ± 1,5	109 ± 20	7,7 ± 1,3
PGT121.60	10	1490 ± 377	7,0 ± 1,9	96 ± 19	9,7 ± 0,8
PGT121-LS	10	3540 ± 463	2,9 ± 0,4	82 ± 11	19,9 ± 2,1

A-1	0,5	$70 \pm 7,0$	$7,2 \pm 0,7$	$91 \pm 14$	$8,7 \pm 0,8$
-----	-----	--------------	---------------	-------------	---------------

[0386] ФК анализ показал, что введение мутаций в Fc (DEAL) в PGT121-WT оказывало отрицательное влияние на ФК, повышая клиренс (Cl) до  $9,9 \pm 1,5$  мл/сутки/кг для PGT121-DEAL по сравнению с  $7,0 \pm 1,9$  мл/сутки/кг для PGT121-WT и уменьшало время полужизни ( $t_{1/2}$ ) до  $7,7 \pm 1,3$  суток по сравнению с  $10,6 \pm 1,3$  сутками для PGT121-WT. Введение мутаций связывания FcRn (LS) в антитела с Fc, который содержал мутации DEAL (PGT121.60 и A-1), приводило к значениям Cl, составляющим  $7,0 \pm 1,9$  и  $7,2 \pm 0,7$  мл/сутки/кг, и значениям  $t_{1/2}$ , составляющим  $9,7 \pm 0,8$  и  $8,7 \pm 0,8$  суток, соответственно, которые сопоставимы с ФК PGT121-WT. При этом введение LS отдельно в PGT121-WT уменьшало Cl до  $2,9 \pm 0,4$  мл/сутки/кг и увеличивало  $t_{1/2}$  до  $19,9 \pm 2,1$  суток для PGT121-LS. Анализ ФК подтверждает, что введение усиливающих связывание Fc мутаций DEAL ухудшает ФК антитела (вероятно вследствие усиления связывания FcgR), которую можно восстановить путем включения мутаций LS связывания FcRn.

Пример 14. Оценка профиля гликанов Fab легкой цепи.

[0387] Две методики использовали для изолирования и анализа профилей гликанов Fab легкой цепи в отсутствие потенциально мешающих гликанов Fc тяжелой цепи. Главной целью данных экспериментов было понять относительный процент гликанов легкой цепи с одной или более группами сиаловой кислоты на конце (далее называемый процентом сиалирования). Первый подход (“способ 1”) представлял собой обращенно-фазовую масс-спектрометрию восстановленной интактной легкой цепи. В данной методике наблюдавшиеся сдвиги масс в масс-спектре после деконволюции соотносили со структурой гликана, известной по путем биосинтеза N-гликанов, чтобы она соответствовала сдвигу массы. Относительный количественный анализ сиалированных форм осуществляли путем суммирования высот пиков после деконволюции для сиалированных видов и деления полученного значения на общее количество высот всех сиалированных и несиалированных пиков. Второй способ (“способ 2”) количественного определения сиалирования на гликанах Fab легкой цепи основывался на селективном ферментативном высвобождении гликанов Fc (в полностью водных условиях) перед выделением остального белка и высвобождением остальных гликанов Fab легкой цепи. Отдельные аликвоты, соответствующие гликанам Fc и Fab, затем флуоресцентно метили (Waters Rapifluor) и анализировали, идентифицировали и проводили количественный анализ с помощью жидкостной хроматографии гидрофильных взаимодействий (HILIC). Значения процента сиалирования Fab для множества антител, описанных в данной заявке и проанализированных с помощью одной из данных методик, представлены ниже в таблицах 45A и 45B.

[0388] Таблица 45А. Оценка гликанов Fab легкой цепи антитела А-1.

Партия	14	10	7
Система экспрессии	CHO-S	Tuna293 <sup>TM</sup>	ExpiCHO <sup>TM</sup>
<u>Идентификация гликана<sup>1</sup></u>	% площади пика	% площади пика	% площади пика
<b>Неизвестные пики<sup>2</sup></b>	6,47	3,50	4,16
<b>G0-GlcNAc</b>	0,00	4,20	4,49
<b>G0</b>	0,91	55,97	52,43
<b>G0F</b>	0,00	1,25	1,52

Партия	14	10	7
Система экспрессии	CHO-S	Tuna293™	ExpiCHO™
<b>Идентификация гликана<sup>1</sup></b>	% площади пика	% площади пика	% площади пика
<b>G1F-GlcNAc</b>	0,00	11,77	0,00
<b>Man5</b>	0,88	4,02	0,00
<b>G1(a)</b>	0,44	6,50	9,54
<b>G1(b)</b>	0,46	0,43	6,92
<b>G1-GlcNAc</b>	0,00	0,00	11,17
<b>G1F(a)</b>	0,27	0,00	0,00
<b>G1F(b)</b>	0,00	0,00	0,31
<b>G1S</b>	<u>0,00</u>	<u>1,88</u>	<u>0,87</u>
<b>G2</b>	0,00	7,42	8,59
<b>G2F</b>	6,14	0,00	0,00
<b>G2S(a)</b>	<u>0,28</u>	<u>1,79</u>	<u>0,00</u>
<b>G2S(b)</b>	<u>38,65</u>	<u>1,30</u>	<u>0,00</u>
<b>G2FS</b>	<u>0,67</u>	<u>0,00</u>	<u>0,00</u>
<b>G2S2</b>	<u>39,13</u>	<u>0,00</u>	<u>0,00</u>
<b>G2FS2</b>	<u>0,69</u>	<u>0,00</u>	<u>0,00</u>
<b>G2S + 2 GlcNAc</b>	<u>2,60</u>	<u>0,00</u>	<u>0,00</u>
<b>G2S2+2GlcNAc(a)</b>	<u>0,82</u>	<u>0,00</u>	<u>0,00</u>
<b>G2S2+2GlcNAc(b)</b>	<u>1,60</u>	<u>0,00</u>	<u>0,00</u>
<b>Сумма сиалированных гликанов<sup>3</sup></b>	<b>84,44</b>	<b>4,97</b>	<b>0,87</b>

<sup>1</sup>Идентификация и проценты пиков, полученные после селективного высвобождения гликанов fab (VL), мечения и способа жидкостной хроматографии гидрофильных взаимодействий (HILIC). Вся идентификация основана на наблюдаемых моноизотопных массах и известных биосинтетических путях, тем не менее, изомерные варианты возможны для некоторых элементов.

<sup>2</sup>Все неизвестные, системные пики и пики реагентов.

<sup>3</sup>Сумма сиалированных гликанов; сумма идентифицированных N-гликанов с одним или более остатками сиаловой кислоты (N-ацетилнейраминовой кислоты) на конце (подчеркнуты).

[0389] Таблица 45В. Сравнение оценки гликанов Fab легкой цепи для антител A-1 и 1.52.64-1.

Название	№ партии	Линия клеток	Процент сиалирования	Способ
----------	----------	--------------	----------------------	--------

A-1	5	Expi293™	67/52	1/2
	7	ExpiCHO™	1/1	1/2
	10	Tuna293™	5	2
	14	CHO-S	84	2
	22	Происходящая из СНО	73	1
1.52.64-1	18-PP21	Происходящая из СНО	49	1
	14525-02	Происходящая из СНО	83	1

<sup>1</sup>ЖХ/МС восстановленной легкой цепи

<sup>2</sup>Селективное высвобождение, мечение и хроматография HILIC гликана Fab

Пример 15. Влияние мутаций Fv и профилей гликозилирования Fv на фармакокинетику антитела.

**[0390]** Антитело А и несколько сконструированных антител, описанных в данной заявке, вводили яванским макакам, чтобы охарактеризовать фармакокинетические (ФК) профили антител. В некоторых случаях варианты антитела А-1 временно или стабильно продуцировали в различных линиях экспрессирующих клеток, чтобы оценить влияние сиалирирования N72-связанных гликанов Fab на ФК. Процент сиалирирования гликанов Fab определяли, применяя ЖХ/МС, как описано в Примере 14. Образцы сыворотки, собранные из обезьян, анализировали, применяя биоаналитический способ достаточной селективности и чувствительности для определения профилей зависимости концентрации в сыворотке от времени и средних ФК параметров в сыворотке с помощью некомpartmentного анализа ФК (NCA). В указанном биоаналитическом способе использовали антиген gp120 клады В (Immune-tech, Калифорния) в качестве захватывающего реагента и конъюгированное с биотином антитело козы против IgG человека (Southern Biotech, Алабама) в качестве вторичного реагента, а меченный SULFO-TAG стрептавидин (MesoScale Discovery, Мэриленд) для детектирования электрохимическим детектором.

**[0391]** Распределение *in vivo* антитела А и нескольких сконструированных вариантов, временно экспрессированных в различных линиях клеток, характеризовали после однократного внутривенного (в/в) введения трем ( $n=3$ ) непримированным самцам яванских макак на группу (Covance, Техас). Измеренные средние  $\pm$  стандартное отклонение (СО) профили зависимости концентрации в сыворотке от времени изображены на фигуре 7.

Фармакокинетический анализ антитела А, временно экспрессированного в Expi293™ (ThermoFisher Scientific, Массачусетс), которое вводили в/в в дозе при концентрации 0,5 мг/кг, выявил значения клиренса (Cl), составляющие  $17,9 \pm 1,0$ , и соответствующее время полужизни ( $t_{1/2}$ ), составляющее  $8,9 \pm 1,7$  суток, что было сопоставимо со значениями для антитела А-1, партия 3, экспрессированного в Expi293™ при сходных условиях, составляющими Cl  $18,7 \pm 2,3$  мл/сутки/кг и  $t_{1/2} 7,6 \pm 0,3$  суток (таблица 46).

**[0392]** У антител с гликанами вариабельного домена Fab с низким содержанием сиаловой кислоты или высоким содержанием маннозы может быть изменена ФК (Liu L. 2015. J. Pharm. Sci. 104:1866-1884). Состав гликанов может измениться в зависимости от условий экспрессии белка, по этой причине, распределение *in vivo* А-1 оценивали, используя дополнительные временно экспрессированные партии, охарактеризованные по % содержанию сиалирования гликанов Fab, а именно, CHO-S (партию 14), происходящую из СНО (партию 22) (Sigma-Aldrich, MO) и Tuna293™ (партию 10) (LakePharma, Калифорния) и ExpiCHOT™ (партию 7) (ThermoFisher Scientific, Массачусетс). Антитела характеризовали после однократной в/в дозы 0,5 мг/кг (партия 14, 22 и 10) или 5,0 мг/кг (партия 7) непримированным самцам яванских макак (Covance, Техас). Измеренные средние ( $\pm$  CO) профили зависимости концентрации в сыворотке от времени для каждой партии антитела А-1 изображены на фигуре 7. Партию 7 нормировали на дозу для сравнения напрямую. Фармакокинетический анализ исследованных партий антитела А-1 показал изменчивую ФК на основании % содержания сиалирования Fab (таблица 46). Для антитела А-1, партия 14, с 84% сиалированием гликанов Fab наблюдали наименьшее значение клиренса (Cl), составляющее  $7,2 \pm 0,7$  мл/сутки/кг, причем Cl был прогрессирующее быстрее у антитела А-1, партия 22 (73%), с Cl, составляющим  $10,7 \pm 1,7$ , антитела А-1, партия 3, с Cl, составляющим  $18,7 \pm 2,3$  мл/сутки/кг, антитела А-1, партия 10 (5%), с Cl, составляющим  $68,7 \pm 19,8$  мл/сутки/кг, и антитела А-1, партия 7 (<1%), с Cl, составляющим  $120 \pm 46,7$  мл/сутки/кг. Полученные результаты подтверждают, что условия экспрессии белка могут влиять на состав гликанов Fab и итоговую ФК.

**[0393]** Таблица 46. Фармакокинетика антитела А и нескольких сконструированных вариантов после в/в введения непримированным самцам яванских макак (n=3).

Исследуемый образец	Система экспрессии	Партия	в/в доза (мг/кг)	Cl (мл/сутки/кг)	% сиалирования Fab
A	Expi293™	5	0,5	17,9 ± 1,0	н/д
A-1	Expi293™	3	0,5	18,7 ± 2,3	н/д
A-1	CHO-S	14	0,5	7,2 ± 0,7	84
A-1	Происходящая из CHO	22	0,5	10,7 ± 1,7	73
A-1	Tuna293™	10	0,5	68,7 ± 20	5
A-1	ExpiCHO™	7	5	120 ± 47	<1
1.1.54-1	ExpiCHO™	3	5	12 ± 1	н/д
1.37.51-1	ExpiCHO™	3	5	15 ± 12	н/д

н/д = нет данных

**[0394]** Для того чтобы оценить влияние модификаций белка, направленных на удаление N72-связанных гликанов вариабельного домена и полиспецифичности, оценивали ФК *in vivo* 1.1.54-1 и 1.37.51-1 (двух антител без удаления N72-связанных гликанов). Оба антитела временно экспрессировали в системе экспрессии в клетках млекопитающего ExpiCHO™ при сходных условиях, что приводило к пониженной ФК относительно A-1 (партия 7, выше). Антитела характеризовали после однократной в/в болюсной дозы 5 мг/кг трем непримированным самцам яванских макак (Covance, Техас). Анализ ФК (таблица 46) продемонстрировал, что 1.1.54-1 и 1.37.51-1 были сопоставимы по Cl (12 ± 1 и 15 ± 12 мл/сутки/кг, соответственно), кроме того, значительно улучшенными по сравнению с A-1, партия 7 (Cl 120 ± 47 мл/сутки/кг), подтверждая, что модификации белка, которые удаляют N72-связанные гликаны вариабельного домена могут улучшить ФК вариантов антитела, описанных в данной заявке. Удаление гликана не приводило к тому же клиренсу, что и у высокосиалированных партий, подтверждая, что N72-связанный гликан может присутствовать для уменьшения неспецифических белковых взаимодействий.

**[0395]** ФК 1.52.64-1 (партия 4), полученного путем временной экспрессии в CHO-S, или 1.52.64-1 из стабильного пула происходящих из CHO клеток (партия 18-PP21) или из прошедшей клональную селекцию происходящей из CHO линии клеток (партия 14525-32) исследовали после однократного в/в введения непримированным самцам и самкам яванских макак (n=3). Средние ± СО профили

зависимости концентрации в сыворотке от времени для суток 0 - 14 представлены на фигуре 8. Результаты NCA представлены в таблице 47. 1.52.64-1 (партия 4) содержит приблизительно 75% сиалирования Fab. 1.52.64-1, партия 4, которую вводили в дозе 0,5 мг/кг в/в медленным болюсом, приводило к клиренсу у яванских макак, составляющему  $7,8 \pm 0,6$  мл/сутки/кг; эквивалентному A-1, партия 14 ( $7,2 \pm 0,7$  мл/сутки/кг), экспрессированному в CHO-S при сходных условиях.

[0396] Таблица 47. Фармакокинетические параметры трех партий 1.52.64-1 после в/в введений непримированным самцам и самкам яванских макак (n=3).

Система экспрессии	Партия	в/в доза (мг/кг)	Cl (мл/сутки/кг)	% сиалирования Fab
Временная трансфекция CHO-S	Партия 4	0,5	$7,8 \pm 0,6$	75
Стабильный пул, происходящий из CHO	Партия 18-PP21	30	$20,8 \pm 9,5$	49
Стабильный клон, происходящий из CHO	Партия 14525-32	30	$7,9 \pm 1,3$	84

[0397] 1.52.64-1, партия 18-PP21, содержало материал с приблизительно 49% сиалирования Fab, тогда как партия 14525-32 содержала материал с приблизительно 84% сиалирования Fab из происходящей из системы стабильной экспрессии CHO. 1.52.64-1, партию 18-PP21, и партию 14525-32 вводили посредством 30 минутной в/в инфузии при 30 мг/кг. Анализ ФК выявил, что партия 18-PP21 оказывала меньшее воздействие по сравнению с партией 14525-32 вследствие повышенного клиренса  $20,8 \pm 9,5$  мл/сутки/кг по сравнению с  $7,9 \pm 1,3$  мл/сутки/кг, соответственно. Повышенный клиренс согласуется со сниженным % сиалирования гликанов Fab (49% по сравнению с 84%). Вся совокупность доклинических оценок ФК демонстрирует, что для вариантов антитела A, содержащих структуру гликана Fab, требуются контролируемые условия продукции белка, чтобы получить антитела с высоким содержанием сиалирования гликанов Fab (например,  $\geq 75\%$ ), которые позволят добиться желательной фармакокинетики антител.

## Пример 16. Селекция линий клеток с высоким уровнем сиалирирования.

**[0398]** Учитывая описанные выше результаты и анализы, мы выделили линии клеток для получения антитела с высоким уровнем сиалирирования. Для этого разработка линии клеток (CLD) была направлена на идентификацию линий клеток, которые экспрессируют высоко сиалирированные антитела против gp120, описанные в данной заявке. Вкратце, разработанную на основе СНО линию клеток трансформировали вектором, кодирующим тяжелые и легкие цепи вариантов антител, описанных в данной заявке. Для множества стабильных пулов оценивали производительность в биореакторе и качество продукта (включая % сиалирирования). Стабильные пулы, экспрессирующие антитело, содержащее высокий уровень сиалирирования (например, сиалирированное по меньшей мере приблизительно на 75 %), выбирали для получения клонов. Для того чтобы дополнительно направить выделение клональной линии клеток на получение более высокого уровня сиалирирования, клональные линии клеток, полученные из исходного стабильного пула с наибольшим % сиалирирования (сиалирированные приблизительно на 95 %), были перепредставлены на протяжении технологического процесса получения клонов. Оценивали производительность множества клональных линий клеток в биореакторе и качество продукта (включая % сиалирирования), и клональную линию клеток, экспрессирующих антитело с высоким уровнем сиалирирования (>85 %), выбирали в качестве главной линии клеток для производства главного банка клеток (MCB).

## ДРУГИЕ ВАРИАНТЫ РЕАЛИЗАЦИИ

**[0399]** Хотя настоящее изобретение было описано в сочетании с его подробным описанием, предшествующее описание предназначено для иллюстрации и не ограничивает объем настоящего изобретения, который определяется объемом прилагаемой формулы изобретения. Другие аспекты, преимущества и модификации входят в объем следующей формулы изобретения.

## ФОРМУЛА ИЗОБРЕТЕНИЯ

1. Антитело или антигенсвязывающий фрагмент антитела, которое связывается с гликопротеином gp120 оболочки вируса иммунодефицита человека-1 (ВИЧ-1), указанное антитело или его антигенсвязывающий фрагмент содержит: (i) вариабельную область тяжелой цепи (VH), содержащую определяющие комплементарность области 1 - 3 VH (CDR 1 - 3), и (ii) вариабельную область легкой цепи (VL), содержащую области CDR 1 - 3 VL, причем области CDR 1 - 3 VH и области CDR 1 - 3 VL имеют последовательности, представленные в:

- (i) SEQ ID NO: 159, 138, 139, 140, 141 и 142, соответственно;
- (ii) SEQ ID NO: 137, 160, 139, 140, 141 и 142, соответственно;
- (iii) SEQ ID NO: 137, 161, 139, 140, 141 и 142, соответственно;
- (iv) SEQ ID NO: 137, 162, 139, 140, 141 и 142, соответственно;
- (v) SEQ ID NO: 137, 163, 139, 140, 141 и 142, соответственно;
- (vi) SEQ ID NO: 137, 138, 164, 140, 141 и 142, соответственно;
- (vii) SEQ ID NO: 159, 138, 164, 140, 141 и 142, соответственно;
- (viii) SEQ ID NO: 137, 138, 139, 140, 165 и 142, соответственно;
- (ix) SEQ ID NO: 137, 138, 139, 140, 166 и 142, соответственно;
- (x) SEQ ID NO: 137, 138, 139, 140, 167 и 142, соответственно;
- (xi) SEQ ID NO: 137, 138, 139, 140, 168 и 142, соответственно;
- (xii) SEQ ID NO: 137, 138, 154, 140, 141 и 142, соответственно; или
- (xiii) SEQ ID NO: 137, 138, 139, 140, 141 и 142, соответственно; и

необязательно содержит в каркасной области 3 (FR3) VH в положении, соответствующем 74a, 74b, 74c и 74d (нумерация по Кабату), последовательность аминокислот, представленную в SEQ ID NO: 453 или SEQ ID NO: 627.

2. Антитело или его антигенсвязывающий фрагмент по п. 1, отличающиеся тем, что VH содержит одну или более из следующих аминокислот в указанных положениях (нумерация положений согласно Кабату): валин в положении 5, глутаминовую кислоту в положении 10, лизин в положении 12, лизин в положении 23, аспарагин в положении 28, аргинин в положении 30, тирозин в положении 32, треонин в положении 68, метионин в положении 69, гистидин в положении 72, фенилаланин в положении 76, аланин в положении 78, серин в положении 82a, аргинин в положении 82b, треонин в положении 89, тирозин в положении 99, глутамин в положении 105 или метионин в положении 108.

3. Антитело или его антигенсвязывающий фрагмент по п. 1 или 2, содержащие FR3 VH, содержащую следующую последовательность аминокислот: RVSLTRHASWDFDTFSFYMDLKALRSDDTAVYFCAR (SEQ ID NO: 628) или RVSLTRHASFDFDTFSFYMDLKALRSDDTAVYFCAR (SEQ ID NO: 629).

4. Антитело или его антигенсвязывающий фрагмент по любому из пп. 1 - 3, отличающиеся тем, что VL содержит одну или более из следующих аминокислот в указанных положениях (нумерация положений согласно Кабату): аргинин в положении 18, лизин в положении 39, пролин в положении 40, треонин в положении 56, серин в положении 65, треонин в положении 72, серин в положении 76, серин в положении 77, треонин в положении 99, глицин в положении 99, аспарагин в положении 103 или изолейцин в положении 106.

5. Антитело или его антигенсвязывающий фрагмент по любому из пп. 1 - 4, отличающиеся тем, что VL содержит одну или более из следующих аминокислот в указанных положениях (нумерация положений согласно Кабату): аргинин в положении 18, аланин в положении 19, серин в положении 65, треонин или гистидин в положении 72, лизин в положении 74, серин в положении 76, серин в положении 77, фенилаланин в положении 98 или глицин в положении 99.

6. Антитело или его антигенсвязывающий фрагмент по любому из пп. 1 - 5, отличающиеся тем, что VL содержит последовательность аминокислот, представленную в любой из последовательностей SEQ ID NO: 332 - 342.

7. Антитело или его антигенсвязывающий фрагмент по любому из пп. 1 - 6, содержащие Fc-область IgG1 человека.

8. Антитело или его антигенсвязывающий фрагмент по п. 7, отличающиеся тем, что Fc-область IgG1 человека представляет собой IgG1m17 (SEQ ID NO: 348).

9. Антитело или его антигенсвязывающий фрагмент по любому из пп. 1 - 8, содержащие Fc-область IgG1 человека, содержащую (положения пронумерованы согласно нумерации EU):

(i) аспарагиновую кислоту в положении 239, глутаминовую кислоту в положении 332, аланин в положении 236, лейцин в положении 330;

(ii) аспарагиновую кислоту в положении 239, глутаминовую кислоту в положении 332, лейцин в положении 428 и серин в положении 434;

(iii) аспарагиновую кислоту в положении 239, глутаминовую кислоту в положении 332, аланин в положении 236, лейцин в положении 428 и серин в положении 434;

(iv) аспарагиновую кислоту в положении 239, глутаминовую кислоту в положении 332, лейцин в положении 330, лейцин в положении 428 и серин в положении 434;

(v) аспарагиновую кислоту в положении 239, глутаминовую кислоту в положении 332, аланин в положении 236, лейцин в положении 330, лейцин в положении 428 и серин в положении 434; или

(vi) лейцин в положении 243, пролин в положении 292, лейцин в положении 300, изолейцин в положении 305, лейцин в положении 396, лейцин в положении 428 и серин в положении 434.

10. Антитело или его антигенсвязывающий фрагмент по любому из пп. 1 - 7, содержащие константную область легкой цепи каппа человека.

11. Антитело или его антигенсвязывающий фрагмент по п. 10, отличающиеся тем, что константная область легкой цепи каппа человека представляет собой Km3 (SEQ ID NO: 351).

12. Антитело или его антигенсвязывающий фрагмент по любому из пп. 1 - 11, отличающиеся тем, что антитело или антигенсвязывающий фрагмент обладают большей активностью уничтожения инфицированных ВИЧ клеток, чем антитело А.

13. Антитело или его антигенсвязывающий фрагмент по любому из пп. 1 - 12, отличающийся тем, что у антитела или антигенсвязывающего фрагмента улучшенное, продленное, увеличенное или повышенное время полужизни в сыворотке человека, по сравнению с антителом А.

14. Антитело или его антигенсвязывающий фрагмент по любому из пп. 1 - 13, отличающиеся тем, что время полужизни в сыворотке человека указанного антитела или антигенсвязывающего фрагмента составляет по меньшей мере приблизительно 3 суток, например, по меньшей мере приблизительно 4 суток, по меньшей мере приблизительно 5 суток, по меньшей мере приблизительно 6 суток, по меньшей мере приблизительно 7 суток, по меньшей мере приблизительно 8 суток, по меньшей мере приблизительно 9 суток, по меньшей мере приблизительно 10 суток, по меньшей мере приблизительно 12 суток, по меньшей мере приблизительно 14 суток, по меньшей мере

приблизительно 16 суток, по меньшей мере приблизительно 18 суток, по меньшей мере приблизительно 20 суток, по меньшей мере приблизительно 21 сутки, по меньшей мере приблизительно 24 суток, по меньшей мере приблизительно 28 суток, по меньшей мере приблизительно 30 суток или больше.

15. Антитело, которое связывается с гликопротеином gp120 оболочки вируса иммунодефицита человека-1 (ВИЧ-1), указанное антитело содержит (i) вариабельную область тяжелой цепи (VH), содержащую определяющие комплементарность области 1 - 3 VH (CDR 1 - 3), и (ii) вариабельную область легкой цепи (VL), содержащую области CDR 1 - 3 VL, причем области CDR 1 - 3 VH и области CDR 1 - 3 VL имеют последовательности, представленные в:

- (i) SEQ ID NO: 137, 138, 139, 140, 141 и 142, соответственно; или
- (ii) SEQ ID NO: 153, 138, 154, 140, 141 и 142, соответственно,

причем указанное антитело содержит Fc-область IgG1 человека, содержащую (положения пронумерованы согласно нумерации EU):

- (i) аспарагиновую кислоту в положении 239, глутаминовую кислоту в положении 332, аланин в положении 236, лейцин в положении 330;
- (ii) аспарагиновую кислоту в положении 239, глутаминовую кислоту в положении 332, лейцин в положении 428 и серин в положении 434;
- (iii) аспарагиновую кислоту в положении 239, глутаминовую кислоту в положении 332, аланин в положении 236, лейцин в положении 428 и серин в положении 434;
- (iv) аспарагиновую кислоту в положении 239, глутаминовую кислоту в положении 332, лейцин в положении 330, лейцин в положении 428 и серин в положении 434;
- (v) аспарагиновую кислоту в положении 239, глутаминовую кислоту в положении 332, аланин в положении 236, лейцин в положении 330, лейцин в положении 428 и серин в положении 434; или
- (vi) лейцин в положении 243, пролин в положении 292, лейцин в положении 300, изолейцин в положении 305, лейцин в положении 396, лейцин в положении 428 и серин в положении 434.

16. Антитело по п. 15, отличающееся тем, что указанное антитело содержит легкую цепь, содержащую аланин в положении 19 (нумерация по Кабату).

17. Антитело по любому из пп. 15 - 16, содержащее в каркасной области 3 (FR3) VH в положениях, соответствующих 74a, 74b, 74c и 74d (нумерация по Кабату), последовательность аминокислот, представленную в SEQ ID NO: 453 или SEQ ID NO: 627.

18. Антитело по любому из пп. 15 - 17, содержащее FR3 VH, содержащую следующую последовательность аминокислот: RVSLTRHASWDFDTSFYMDLKALRSDDTAVYFCAR (SEQ ID NO: 628) или RVSLTRHASFDFDTSFYMDLKALRSDDTAVYFCAR (SEQ ID NO: 629).

19. Антитело по любому из пп. 15 - 18, отличающееся тем, что указанное антитело содержит в VL последовательность аминокислот, представленную в любой из последовательностей SEQ ID NO: 332 - 342.

20. Антитело по любому из пп. 15 - 19, отличающееся тем, что Fc-область IgG1 человека представляет собой IgG1m17 (SEQ ID NO: 348).

21. Антитело по любому из пп. 15 - 20, отличающееся тем, что антитело содержит константную область легкой цепи каппа человека.

22. Антитело по п. 21, отличающееся тем, что константная область легкой цепи каппа человека представляет собой Km3 (SEQ ID NO: 351).

23. Антитело по любому из пп. 15 - 22, отличающееся тем, что указанное антитело обладает большей активностью уничтожения инфицированных ВИЧ клеток, чем антитело А и/или антитело В.

24. Антитело или антигенсвязывающий фрагмент антитела по любому из пп. 15 - 23, отличающиеся тем, что указанные антитело или антигенсвязывающий фрагмент имеют улучшенное, продленное, увеличенное или повышенное время полужизни в сыворотке человека по сравнению с антителом А и/или антителом В.

25. Антитело или антигенсвязывающий фрагмент антитела по любому из пп. 15 - 24, отличающиеся тем, что указанное антитело или антигенсвязывающий фрагмент имеют время полужизни в сыворотке человека, которое составляет по меньшей мере приблизительно 3 суток, например, по меньшей мере приблизительно 4 суток, по меньшей мере приблизительно 5 суток, по меньшей мере приблизительно 6 суток, по меньшей мере приблизительно 7 суток, по меньшей мере приблизительно 8 суток, по меньшей мере приблизительно 9 суток, по меньшей мере приблизительно 10 суток, по меньшей мере приблизительно 12 суток, по меньшей мере приблизительно 14 суток, по меньшей мере приблизительно 16 суток, по меньшей мере приблизительно 18 суток, по меньшей мере приблизительно 20 суток, по меньшей мере приблизительно 21 сутки, по

меньшей мере приблизительно 24 суток, по меньшей мере приблизительно 28 суток, по меньшей мере приблизительно 30 суток или больше.

26. Антитело или его антигенсвязывающий фрагмент, указанное антитело или его антигенсвязывающий фрагмент содержат вариабельную область тяжелой цепи (VH) и вариабельную область легкой цепи (VL), причем VH и VL содержат последовательности аминокислот, представленные, соответственно, ниже:

- (1) SEQ ID NO: 184 и 223;
- (2) SEQ ID NO: 185 и 223;
- (3) SEQ ID NO: 182 и 225;
- (4) SEQ ID NO: 185 и 225;
- (5) SEQ ID NO: 186 и 223;
- (6) SEQ ID NO: 187 и 223;
- (7) SEQ ID NO: 188 и 223;
- (8) SEQ ID NO: 189 и 223;
- (9) SEQ ID NO: 190 и 223;
- (10) SEQ ID NO: 191 и 223;
- (11) SEQ ID NO: 192 и 223;
- (12) SEQ ID NO: 193 и 223;
- (13) SEQ ID NO: 194 и 223;
- (14) SEQ ID NO: 195 и 223;
- (15) SEQ ID NO: 196 и 223;
- (16) SEQ ID NO: 197 и 223;
- (17) SEQ ID NO: 198 и 223;
- (18) SEQ ID NO: 199 и 223;
- (19) SEQ ID NO: 200 и 223;
- (20) SEQ ID NO: 201 и 223;
- (21) SEQ ID NO: 202 и 223;
- (22) SEQ ID NO: 203 и 223;
- (23) SEQ ID NO: 204 и 223;
- (24) SEQ ID NO: 205 и 223;
- (25) SEQ ID NO: 206 и 223;
- (26) SEQ ID NO: 207 и 223;
- (27) SEQ ID NO: 208 и 223;
- (28) SEQ ID NO: 209 и 223;

- (29) SEQ ID NO: 182 и 226;
- (30) SEQ ID NO: 182 и 227;
- (31) SEQ ID NO: 182 и 229;
- (32) SEQ ID NO: 182 и 230;
- (33) SEQ ID NO: 182 и 231;
- (34) SEQ ID NO: 182 и 232;
- (35) SEQ ID NO: 182 и 233;
- (36) SEQ ID NO: 182 и 234;
- (37) SEQ ID NO: 182 и 235;
- (38) SEQ ID NO: 182 и 236;
- (39) SEQ ID NO: 182 и 237;
- (40) SEQ ID NO: 182 и 238;
- (41) SEQ ID NO: 182 и 239;
- (42) SEQ ID NO: 182 и 240;
- (43) SEQ ID NO: 182 и 241;
- (44) SEQ ID NO: 182 и 242;
- (45) SEQ ID NO: 182 и 243;
- (46) SEQ ID NO: 182 и 244;
- (47) SEQ ID NO: 182 и 245;
- (48) SEQ ID NO: 182 и 246;
- (49) SEQ ID NO: 182 и 247;
- (50) SEQ ID NO: 182 и 248;
- (51) SEQ ID NO: 182 и 249;
- (52) SEQ ID NO: 182 и 250;
- (53) SEQ ID NO: 182 и 251;
- (54) SEQ ID NO: 182 и 252;
- (55) SEQ ID NO: 182 и 253;
- (56) SEQ ID NO: 210 и 238;
- (57) SEQ ID NO: 211 и 238;
- (58) SEQ ID NO: 212 и 238;
- (59) SEQ ID NO: 210 и 240;
- (60) SEQ ID NO: 211 и 240;
- (61) SEQ ID NO: 212 и 240;
- (62) SEQ ID NO: 213 и 223;
- (63) SEQ ID NO: 214 и 223;

- (64) SEQ ID NO: 215 и 223;
- (65) SEQ ID NO: 216 и 223;
- (66) SEQ ID NO: 217 и 223;
- (67) SEQ ID NO: 218 и 223;
- (68) SEQ ID NO: 182 и 254;
- (69) SEQ ID NO: 213 и 254;
- (70) SEQ ID NO: 214 и 254;
- (71) SEQ ID NO: 215 и 254;
- (72) SEQ ID NO: 216 и 254;
- (73) SEQ ID NO: 217 и 254;
- (74) SEQ ID NO: 218 и 254;
- (75) SEQ ID NO: 182 и 255;
- (76) SEQ ID NO: 213 и 255;
- (77) SEQ ID NO: 214 и 255;
- (78) SEQ ID NO: 215 и 255;
- (79) SEQ ID NO: 216 и 255;
- (80) SEQ ID NO: 217 и 255;
- (81) SEQ ID NO: 218 и 255;
- (82) SEQ ID NO: 182 и 256;
- (83) SEQ ID NO: 213 и 256;
- (84) SEQ ID NO: 214 и 256;
- (85) SEQ ID NO: 215 и 256;
- (86) SEQ ID NO: 216 и 256;
- (87) SEQ ID NO: 217 и 256;
- (88) SEQ ID NO: 218 и 256;
- (89) SEQ ID NO: 182 и 257;
- (90) SEQ ID NO: 213 и 257;
- (91) SEQ ID NO: 214 и 257;
- (92) SEQ ID NO: 215 и 257;
- (93) SEQ ID NO: 216 и 257;
- (94) SEQ ID NO: 217 и 257;
- (95) SEQ ID NO: 218 и 257;
- (96) SEQ ID NO: 182 и 258;
- (97) SEQ ID NO: 213 и 258;
- (98) SEQ ID NO: 214 и 258;

- (99) SEQ ID NO: 215 и 258;
- (100) SEQ ID NO: 216 и 258;
- (101) SEQ ID NO: 217 и 258;
- (102) SEQ ID NO: 218 и 258;
- (103) SEQ ID NO: 182 и 259;
- (104) SEQ ID NO: 213 и 259;
- (105) SEQ ID NO: 214 и 259;
- (106) SEQ ID NO: 215 и 259;
- (107) SEQ ID NO: 216 и 259;
- (108) SEQ ID NO: 217 и 259;
- (109) SEQ ID NO: 218 и 259;
- (110) SEQ ID NO: 182 и 260;
- (111) SEQ ID NO: 182 и 261;
- (112) SEQ ID NO: 182 и 262;
- (113) SEQ ID NO: 182 и 263;
- (114) SEQ ID NO: 182 и 264;
- (115) SEQ ID NO: 182 и 265;
- (116) SEQ ID NO: 182 и 266;
- (117) SEQ ID NO: 182 и 267;
- (118) SEQ ID NO: 182 и 268;
- (119) SEQ ID NO: 182 и 269;
- (120) SEQ ID NO: 182 и 270;
- (121) SEQ ID NO: 182 и 271;
- (122) SEQ ID NO: 182 и 272;
- (123) SEQ ID NO: 219 и 273;
- (124) SEQ ID NO: 191 и 274;
- (125) SEQ ID NO: 182 и 275;
- (126) SEQ ID NO: 220 и 277;
- (127) SEQ ID NO: 182 и 278;
- (128) SEQ ID NO: 182 и 279;
- (129) SEQ ID NO: 182 и 280;
- (130) SEQ ID NO: 182 и 281;
- (131) SEQ ID NO: 182 и 282;
- (132) SEQ ID NO: 221 и 228;
- (133) SEQ ID NO: 221 и 283;

- (134) SEQ ID NO: 182 и 284;
- (135) SEQ ID NO: 221 и 285;
- (136) SEQ ID NO: 182 и 286;
- (137) SEQ ID NO: 221 и 287;
- (138) SEQ ID NO: 221 и 288;
- (139) SEQ ID NO: 221 и 289;
- (140) SEQ ID NO: 182 и 290;
- (141) SEQ ID NO: 221 и 291;
- (142) SEQ ID NO: 182 и 292;
- (143) SEQ ID NO: 221 и 293;
- (144) SEQ ID NO: 221 и 294;
- (145) SEQ ID NO: 221 и 295;
- (146) SEQ ID NO: 182 и 296;
- (147) SEQ ID NO: 221 и 297;
- (148) SEQ ID NO: 182 и 298;
- (149) SEQ ID NO: 221 и 299;
- (150) SEQ ID NO: 221 и 300;
- (151) SEQ ID NO: 221 и 301;
- (152) SEQ ID NO: 182 и 302;
- (153) SEQ ID NO: 221 и 303;
- (154) SEQ ID NO: 182 и 304;
- (155) SEQ ID NO: 221 и 305;
- (156) SEQ ID NO: 182 и 306;
- (157) SEQ ID NO: 182 и 307;
- (158) SEQ ID NO: 182 и 308;
- (159) SEQ ID NO: 182 и 309;
- (160) SEQ ID NO: 220 и 310;
- (161) SEQ ID NO: 220 и 311;
- (162) SEQ ID NO: 182 и 228;
- (163) SEQ ID NO: 465 и 276;
- (164) SEQ ID NO: 466 и 276;
- (165) SEQ ID NO: 182 и 479;
- (166) SEQ ID NO: 465 и 479;
- (167) SEQ ID NO: 466 и 479;
- (168) SEQ ID NO: 182 и 480;

- (169) SEQ ID NO: 465 и 480;
- (170) SEQ ID NO: 466 и 480;
- (171) SEQ ID NO: 182 и 481;
- (172) SEQ ID NO: 182 и 482;
- (173) SEQ ID NO: 465 и 482;
- (174) SEQ ID NO: 466 и 482;
- (175) SEQ ID NO: 182 и 483;
- (176) SEQ ID NO: 182 и 484;
- (177) SEQ ID NO: 465 и 484;
- (178) SEQ ID NO: 466 и 484;
- (179) SEQ ID NO: 182 и 485;
- (180) SEQ ID NO: 182 и 486;
- (181) SEQ ID NO: 465 и 486;
- (182) SEQ ID NO: 466 и 486;
- (183) SEQ ID NO: 182 и 487;
- (184) SEQ ID NO: 182 и 488;
- (185) SEQ ID NO: 465 и 488;
- (186) SEQ ID NO: 466 и 488;
- (187) SEQ ID NO: 182 и 489;
- (188) SEQ ID NO: 465 и 489;
- (189) SEQ ID NO: 466 и 489;
- (190) SEQ ID NO: 182 и 491;
- (191) SEQ ID NO: 465 и 491;
- (192) SEQ ID NO: 466 и 491;
- (193) SEQ ID NO: 182 и 492;
- (194) SEQ ID NO: 465 и 492;
- (195) SEQ ID NO: 466 и 492;
- (196) SEQ ID NO: 182 и 493;
- (197) SEQ ID NO: 182 и 494;
- (198) SEQ ID NO: 465 и 494;
- (199) SEQ ID NO: 466 и 494;
- (200) SEQ ID NO: 182 и 277;
- (201) SEQ ID NO: 465 и 277;
- (202) SEQ ID NO: 466 и 277;
- (203) SEQ ID NO: 182 и 495;

- (204) SEQ ID NO: 465 и 495;
- (205) SEQ ID NO: 466 и 495;
- (206) SEQ ID NO: 182 и 496;
- (207) SEQ ID NO: 465 и 496;
- (208) SEQ ID NO: 466 и 496;
- (209) SEQ ID NO: 182 и 497;
- (210) SEQ ID NO: 465 и 497;
- (211) SEQ ID NO: 466 и 497;
- (212) SEQ ID NO: 182 и 498;
- (213) SEQ ID NO: 182 и 499;
- (214) SEQ ID NO: 465 и 499;
- (215) SEQ ID NO: 466 и 499;
- (216) SEQ ID NO: 182 и 500;
- (217) SEQ ID NO: 182 и 501;
- (218) SEQ ID NO: 465 и 501;
- (219) SEQ ID NO: 466 и 501;
- (220) SEQ ID NO: 182 и 502;
- (221) SEQ ID NO: 182 и 503;
- (222) SEQ ID NO: 182 и 504;
- (223) SEQ ID NO: 182 и 505;
- (224) SEQ ID NO: 182 и 506;
- (225) SEQ ID NO: 182 и 507;
- (226) SEQ ID NO: 182 и 508;
- (227) SEQ ID NO: 182 и 509;
- (228) SEQ ID NO: 182 и 510;
- (229) SEQ ID NO: 182 и 511;
- (230) SEQ ID NO: 182 и 512;
- (231) SEQ ID NO: 182 и 513;
- (232) SEQ ID NO: 182 и 514;
- (233) SEQ ID NO: 182 и 515;
- (234) SEQ ID NO: 467 и 223;
- (235) SEQ ID NO: 468 и 223;
- (236) SEQ ID NO: 469 и 223;
- (237) SEQ ID NO: 470 и 223;
- (238) SEQ ID NO: 471 и 223;

- (239) SEQ ID NO: 472 и 223;
- (240) SEQ ID NO: 473 и 223;
- (241) SEQ ID NO: 474 и 223;
- (242) SEQ ID NO: 475 и 223;
- (243) SEQ ID NO: 476 и 223;
- (244) SEQ ID NO: 182 и 516;
- (245) SEQ ID NO: 182 и 276;
- (246) SEQ ID NO: 182 и 569;
- (247) SEQ ID NO: 477 и 223;
- (248) SEQ ID NO: 477 и 278;
- (249) SEQ ID NO: 477 и 292; или
- (250) SEQ ID NO: 478 и 276.

27. Антитело или антигенсвязывающий фрагмент по п. 26, отличающиеся тем, что VH и VL содержат последовательности аминокислот, представленные в SEQ ID NO: 182 и 275, соответственно.

28. Антитело или антигенсвязывающий фрагмент по п. 26, отличающиеся тем, что VH и VL содержат последовательности аминокислот, представленные в SEQ ID NO: 182 и 278, соответственно.

29. Антитело или антигенсвязывающий фрагмент по п. 26, отличающиеся тем, что VH и VL содержат последовательности аминокислот, представленные в SEQ ID NO: 182 и 223, соответственно.

30. Антитело или антигенсвязывающий фрагмент по п. 26, отличающиеся тем, что VH и VL содержат последовательности аминокислот, представленные в SEQ ID NO: 182 и 292, соответственно.

31. Антитело или антигенсвязывающий фрагмент по п. 26, отличающиеся тем, что VH и VL содержат последовательности аминокислот, представленные в SEQ ID NO: 465 и 276, соответственно.

32. Антитело или антигенсвязывающий фрагмент по п. 26, отличающиеся тем, что VH и VL содержат последовательности аминокислот, представленную в SEQ ID NO: 466 и 276, соответственно.

33. Антитело или антигенсвязывающий фрагмент по п. 26, отличающиеся тем, что VH и VL содержат последовательности аминокислот, представленные в SEQ ID NO: 182 и 491, соответственно.

34. Антитело или антигенсвязывающий фрагмент по п. 26, отличающиеся тем, что VH и VL содержат последовательности аминокислот, представленные в SEQ ID NO: 465 и 491, соответственно.

35. Антитело или антигенсвязывающий фрагмент по п. 26, отличающиеся тем, что VH и VL содержат последовательности аминокислот, представленные в SEQ ID NO: 466 и 491, соответственно.

36. Антитело или антигенсвязывающий фрагмент по п. 26, отличающиеся тем, что VH и VL содержат последовательности аминокислот, представленные в SEQ ID NO: 182 и 493, соответственно.

37. Антитело или антигенсвязывающий фрагмент по п. 26, отличающиеся тем, что VH и VL содержат последовательности аминокислот, представленные в SEQ ID NO: 220 и 276, соответственно.

38. Антитело или антигенсвязывающий фрагмент по п. 26, отличающиеся тем, что VH и VL содержат последовательности аминокислот, представленные в SEQ ID NO: 182 и 516, соответственно.

39. Антитело или антигенсвязывающий фрагмент по п. 26, отличающиеся тем, что VH и VL содержат последовательности аминокислот, представленные в SEQ ID NO: 477 и 278, соответственно.

40. Антитело или антигенсвязывающий фрагмент по п. 26, отличающиеся тем, что VH и VL содержат последовательности аминокислот, представленные в SEQ ID NO: 478 и 276, соответственно.

41. Антитело или его антигенсвязывающий фрагмент по любому из пп. 1 - 40, содержащие VH, которая по меньшей мере на 80%, по меньшей мере на 85%, по меньшей мере на 90%, по меньшей мере на 91%, по меньшей мере на 92%, по меньшей мере на 93%, по меньшей мере на 94%, по меньшей мере на 95%, по меньшей мере на 96%, по меньшей мере на 97%, по меньшей мере на 98%, по меньшей мере на 99% или на 100% идентична последовательности аминокислот, выбранной из группы, состоящей из

последовательностей SEQ ID NO: 181 - 221 и 465 - 478, и VL, которая по меньшей мере на 80%, по меньшей мере на 85%, по меньшей мере на 90%, по меньшей мере на 91%, по меньшей мере на 92%, по меньшей мере на 93%, по меньшей мере на 94%, по меньшей мере на 95%, по меньшей мере на 96%, по меньшей мере на 97%, по меньшей мере на 98%, по меньшей мере на 99% или на 100% идентична последовательности аминокислот, выбранной из группы, состоящей из последовательностей SEQ ID NO: 222 - 311, 479 - 516 и 569.

42. Антитело или его антигенсвязывающий фрагмент по любому из пп. 26 - 41, содержащие Fc-область IgG1 человека.

43. Антитело или его антигенсвязывающий фрагмент по п. 42, отличающиеся тем, что Fc-область IgG1 человека представляет собой IgG1m17 (SEQ ID NO: 348).

44. Антитело или его антигенсвязывающий фрагмент по любому из пп. 26 - 43, содержащие Fc-область IgG1 человека, которая содержит (положения пронумерованы согласно нумерации EU):

(i) аспарагиновую кислоту в положении 239, глутаминовую кислоту в положении 332, аланин в положении 236, лейцин в положении 330;

(ii) аспарагиновую кислоту в положении 239, глутаминовую кислоту в положении 332, лейцин в положении 428 и серин в положении 434;

(iii) аспарагиновую кислоту в положении 239, глутаминовую кислоту в положении 332, аланин в положении 236, лейцин в положении 428 и серин в положении 434;

(iv) аспарагиновую кислоту в положении 239, глутаминовую кислоту в положении 332, лейцин в положении 330, лейцин в положении 428 и серин в положении 434; или

(v) аспарагиновую кислоту в положении 239, глутаминовую кислоту в положении 332, аланин в положении 236, лейцин в положении 330, лейцин в положении 428 и серин в положении 434; или

(vi) лейцин в положении 243, пролин в положении 292, лейцин в положении 300, изолейцин в положении 305, лейцин в положении 396, лейцин в положении 428 и серин в положении 434.

45. Антитело или его антигенсвязывающий фрагмент по любому из пп. 26 - 44, отличающиеся тем, что указанное антитело содержит константную область легкой цепи каппа человека.

46. Антитело или его антигенсвязывающий фрагмент по п. 45, отличающиеся тем, что константная область легкой цепи каппа человека представляет собой Km3 (SEQ ID NO: 351).

47. Антитело или его антигенсвязывающий фрагмент по любому из пп. 26 - 46, отличающиеся тем, что антитело или антигенсвязывающий фрагмент имеют большую активность уничтожения инфицированных ВИЧ клеток, чем антитело А и/или антитело В.

48. Антитело или его антигенсвязывающий фрагмент по любому из пп. 26 - 47, отличающиеся тем, что указанное антитело или антигенсвязывающий фрагмент имеют улучшенное, продленное, увеличенное или повышенное время полужизни в сыворотке человека по сравнению с антителом А и/или антителом В.

49. Антитело или его антигенсвязывающий фрагмент по любому из пп. 26 - 48, отличающиеся тем, что указанное антитело или антигенсвязывающий фрагмент имеют время полужизни в сыворотке человека, которое составляет по меньшей мере приблизительно 3 суток, например, по меньшей мере приблизительно 4 суток, по меньшей мере приблизительно 5 суток, по меньшей мере приблизительно 6 суток, по меньшей мере приблизительно 7 суток, по меньшей мере приблизительно 8 суток, по меньшей мере приблизительно 9 суток, по меньшей мере приблизительно 10 суток, по меньшей мере приблизительно 12 суток, по меньшей мере приблизительно 14 суток, по меньшей мере приблизительно 16 суток, по меньшей мере приблизительно 18 суток, по меньшей мере приблизительно 20 суток, по меньшей мере приблизительно 21 сутки, по меньшей мере приблизительно 24 суток, по меньшей мере приблизительно 28 суток, по меньшей мере приблизительно 30 суток или больше.

50. Антигенсвязывающий фрагмент по любому из пп. 1 - 49, содержащий фрагмент scFv, sc(Fv)<sub>2</sub>, Fab, F(ab)<sub>2</sub>, Fab', F(ab')<sub>2</sub>, Facb или Fv.

51. Антитело, указанное антитело содержит тяжелую цепь и легкую цепь, причем указанная тяжелая цепь и указанная легкая цепь содержат последовательности аминокислот, представленные, соответственно, ниже:

- (1) SEQ ID NO: 2 и 49;
- (2) SEQ ID NO: 5 и 49;
- (3) SEQ ID NO: 6 и 49;
- (4) SEQ ID NO: 2 и 50;
- (5) SEQ ID NO: 6 и 50;
- (6) SEQ ID NO: 7 и 49;
- (7) SEQ ID NO: 8 и 49;
- (8) SEQ ID NO: 9 и 49;
- (9) SEQ ID NO: 10 и 49;
- (10) SEQ ID NO: 11 и 49;
- (11) SEQ ID NO: 12 и 49;
- (12) SEQ ID NO: 13 и 49;
- (13) SEQ ID NO: 14 и 49;
- (14) SEQ ID NO: 15 и 49;
- (15) SEQ ID NO: 16 и 49;
- (16) SEQ ID NO: 17 и 49;
- (17) SEQ ID NO: 18 и 49;
- (18) SEQ ID NO: 19 и 49;
- (19) SEQ ID NO: 20 и 49;
- (20) SEQ ID NO: 21 и 49;
- (21) SEQ ID NO: 22 и 49;
- (22) SEQ ID NO: 23 и 49;
- (23) SEQ ID NO: 24 и 49;
- (24) SEQ ID NO: 25 и 49;
- (25) SEQ ID NO: 26 и 49;
- (26) SEQ ID NO: 27 и 49;
- (27) SEQ ID NO: 28 и 49;
- (28) SEQ ID NO: 29 и 49;
- (29) SEQ ID NO: 30 и 49;
- (30) SEQ ID NO: 2 и 51;
- (31) SEQ ID NO: 2 и 52;
- (32) SEQ ID NO: 2 и 53;
- (33) SEQ ID NO: 2 и 54;
- (34) SEQ ID NO: 2 и 55;
- (35) SEQ ID NO: 2 и 56;

- (36) SEQ ID NO: 2 и 57;
- (37) SEQ ID NO: 2 и 58;
- (38) SEQ ID NO: 2 и 59;
- (39) SEQ ID NO: 2 и 60;
- (40) SEQ ID NO: 2 и 61;
- (41) SEQ ID NO: 2 и 62;
- (42) SEQ ID NO: 2 и 63;
- (43) SEQ ID NO: 2 и 64;
- (44) SEQ ID NO: 2 и 65;
- (45) SEQ ID NO: 2 и 66;
- (46) SEQ ID NO: 2 и 67;
- (47) SEQ ID NO: 2 и 68;
- (48) SEQ ID NO: 2 и 69;
- (49) SEQ ID NO: 2 и 70;
- (50) SEQ ID NO: 2 и 71;
- (51) SEQ ID NO: 2 и 72;
- (52) SEQ ID NO: 2 и 73;
- (53) SEQ ID NO: 2 и 74;
- (54) SEQ ID NO: 2 и 75;
- (55) SEQ ID NO: 2 и 76;
- (56) SEQ ID NO: 2 и 77;
- (57) SEQ ID NO: 2 и 78;
- (58) SEQ ID NO: 31 и 63;
- (59) SEQ ID NO: 32 и 63;
- (60) SEQ ID NO: 33 и 63;
- (61) SEQ ID NO: 31 и 65;
- (62) SEQ ID NO: 32 и 65;
- (63) SEQ ID NO: 33 и 65;
- (64) SEQ ID NO: 34 и 49;
- (65) SEQ ID NO: 35 и 49;
- (66) SEQ ID NO: 36 и 49;
- (67) SEQ ID NO: 37 и 49;
- (68) SEQ ID NO: 38 и 49;
- (69) SEQ ID NO: 39 и 49;
- (70) SEQ ID NO: 2 и 79;

- (71) SEQ ID NO: 34 и 79;
- (72) SEQ ID NO: 35 и 79;
- (73) SEQ ID NO: 36 и 79;
- (74) SEQ ID NO: 37 и 79;
- (75) SEQ ID NO: 38 и 79;
- (76) SEQ ID NO: 39 и 79;
- (77) SEQ ID NO: 2 и 80;
- (78) SEQ ID NO: 34 и 80;
- (79) SEQ ID NO: 35 и 80;
- (80) SEQ ID NO: 36 и 80;
- (81) SEQ ID NO: 37 и 80;
- (82) SEQ ID NO: 38 и 80;
- (83) SEQ ID NO: 39 и 80;
- (84) SEQ ID NO: 2 и 81;
- (85) SEQ ID NO: 34 и 81;
- (86) SEQ ID NO: 35 и 81;
- (87) SEQ ID NO: 36 и 81;
- (88) SEQ ID NO: 37 и 81;
- (89) SEQ ID NO: 38 и 81;
- (90) SEQ ID NO: 39 и 81;
- (91) SEQ ID NO: 2 и 82;
- (92) SEQ ID NO: 34 и 82;
- (93) SEQ ID NO: 35 и 82;
- (94) SEQ ID NO: 36 и 82;
- (95) SEQ ID NO: 37 и 82;
- (96) SEQ ID NO: 38 и 82;
- (97) SEQ ID NO: 39 и 82;
- (98) SEQ ID NO: 2 и 83;
- (99) SEQ ID NO: 34 и 83;
- (100) SEQ ID NO: 35 и 83;
- (101) SEQ ID NO: 36 и 83;
- (102) SEQ ID NO: 37 и 83;
- (103) SEQ ID NO: 38 и 83;
- (104) SEQ ID NO: 39 и 83;
- (105) SEQ ID NO: 2 и 84;

- (106) SEQ ID NO: 34 и 84;
- (107) SEQ ID NO: 35 и 84;
- (108) SEQ ID NO: 36 и 84;
- (109) SEQ ID NO: 37 и 84;
- (110) SEQ ID NO: 38 и 84
- (111) SEQ ID NO: 39 и 84;
- (112) SEQ ID NO: 2 и 85;
- (113) SEQ ID NO: 2 и 86;
- (114) SEQ ID NO: 2 и 87;
- (115) SEQ ID NO: 2 и 88;
- (116) SEQ ID NO: 2 и 89;
- (117) SEQ ID NO: 2 и 90;
- (118) SEQ ID NO: 2 и 91;
- (119) SEQ ID NO: 2 и 92;
- (120) SEQ ID NO: 2 и 93;
- (121) SEQ ID NO: 2 и 94;
- (122) SEQ ID NO: 2 и 95;
- (123) SEQ ID NO: 2 и 96;
- (124) SEQ ID NO: 2 и 97;
- (125) SEQ ID NO: 40 и 98;
- (126) SEQ ID NO: 12 и 99;
- (127) SEQ ID NO: 2 и 100;
- (128) SEQ ID NO: 41 и 49;
- (129) SEQ ID NO: 42 и 101;
- (130) SEQ ID NO: 42 и 102;
- (131) SEQ ID NO: 2 и 103;
- (132) SEQ ID NO: 2 и 104;
- (133) SEQ ID NO: 2 и 105;
- (134) SEQ ID NO: 2 и 106;
- (135) SEQ ID NO: 2 и 107;
- (136) SEQ ID NO: 43 и 49;
- (137) SEQ ID NO: 44 и 49;
- (138) SEQ ID NO: 45 и 49;
- (139) SEQ ID NO: 46 и 49;
- (140) SEQ ID NO: 47 и 53;

- (141) SEQ ID NO: 47 и 108;
- (142) SEQ ID NO: 2 и 109;
- (143) SEQ ID NO: 47 и 110;
- (144) SEQ ID NO: 2 и 111;
- (145) SEQ ID NO: 47 и 112;
- (146) SEQ ID NO: 47 и 113;
- (147) SEQ ID NO: 47 и 114;
- (148) SEQ ID NO: 2 и 115;
- (149) SEQ ID NO: 47 и 116;
- (150) SEQ ID NO: 2 и 117;
- (151) SEQ ID NO: 47 и 118;
- (152) SEQ ID NO: 47 и 119;
- (153) SEQ ID NO: 47 и 120;
- (154) SEQ ID NO: 2 и 121;
- (155) SEQ ID NO: 47 и 122;
- (156) SEQ ID NO: 2 и 123;
- (157) SEQ ID NO: 47 и 124;
- (158) SEQ ID NO: 47 и 125;
- (159) SEQ ID NO: 47 и 126;
- (160) SEQ ID NO: 2 и 127;
- (161) SEQ ID NO: 47 и 128;
- (162) SEQ ID NO: 2 и 129;
- (163) SEQ ID NO: 47 и 130;
- (164) SEQ ID NO: 2 и 131;
- (165) SEQ ID NO: 2 и 132;
- (166) SEQ ID NO: 2 и 133;
- (167) SEQ ID NO: 2 и 134;
- (168) SEQ ID NO: 42 и 135;
- (169) SEQ ID NO: 42 и 136;
- (170) SEQ ID NO: 517 и 101;
- (171) SEQ ID NO: 518 и 101;
- (172) SEQ ID NO: 2 и 531;
- (173) SEQ ID NO: 517 и 531;
- (174) SEQ ID NO: 518 и 531;
- (175) SEQ ID NO: 2 и 532;

- (176) SEQ ID NO: 517 и 532;
- (177) SEQ ID NO: 518 и 532;
- (178) SEQ ID NO: 2 и 533;
- (179) SEQ ID NO: 2 и 534;
- (180) SEQ ID NO: 517 и 534;
- (181) SEQ ID NO: 518 и 534;
- (182) SEQ ID NO: 2 и 535;
- (183) SEQ ID NO: 2 и 536;
- (184) SEQ ID NO: 517 и 536;
- (185) SEQ ID NO: 518 и 536;
- (186) SEQ ID NO: 2 и 537;
- (187) SEQ ID NO: 2 и 538;
- (188) SEQ ID NO: 517 и 538;
- (189) SEQ ID NO: 518 и 538;
- (190) SEQ ID NO: 2 и 539;
- (191) SEQ ID NO: 2 и 540;
- (192) SEQ ID NO: 517 и 540;
- (193) SEQ ID NO: 518 и 540;
- (194) SEQ ID NO: 2 и 541;
- (195) SEQ ID NO: 517 и 541;
- (196) SEQ ID NO: 518 и 541;
- (197) SEQ ID NO: 2 и 542;
- (198) SEQ ID NO: 517 и 542;
- (199) SEQ ID NO: 518 и 542;
- (200) SEQ ID NO: 2 и 543;
- (201) SEQ ID NO: 517 и 543;
- (202) SEQ ID NO: 518 и 543;
- (203) SEQ ID NO: 2 и 544;
- (204) SEQ ID NO: 2 и 545;
- (205) SEQ ID NO: 517 и 545;
- (206) SEQ ID NO: 518 и 545;
- (207) SEQ ID NO: 2 и 102;
- (208) SEQ ID NO: 517 и 102;
- (209) SEQ ID NO: 518 и 102;
- (210) SEQ ID NO: 2 и 546;

- (211) SEQ ID NO: 517 и 546;
- (212) SEQ ID NO: 518 и 546;
- (213) SEQ ID NO: 2 и 547;
- (214) SEQ ID NO: 517 и 547;
- (215) SEQ ID NO: 518 и 547;
- (216) SEQ ID NO: 2 и 548;
- (217) SEQ ID NO: 517 и 548;
- (218) SEQ ID NO: 518 и 548;
- (219) SEQ ID NO: 2 и 549;
- (220) SEQ ID NO: 2 и 550;
- (221) SEQ ID NO: 517 и 550;
- (222) SEQ ID NO: 518 и 550;
- (223) SEQ ID NO: 2 и 551;
- (224) SEQ ID NO: 2 и 552;
- (225) SEQ ID NO: 517 и 552;
- (226) SEQ ID NO: 518 и 552;
- (227) SEQ ID NO: 2 и 553;
- (228) SEQ ID NO: 2 и 554;
- (229) SEQ ID NO: 2 и 555;
- (230) SEQ ID NO: 2 и 556;
- (231) SEQ ID NO: 2 и 557;
- (232) SEQ ID NO: 2 и 558;
- (233) SEQ ID NO: 2 и 559;
- (234) SEQ ID NO: 2 и 560;
- (235) SEQ ID NO: 2 и 561;
- (236) SEQ ID NO: 2 и 562;
- (237) SEQ ID NO: 2 и 563;
- (238) SEQ ID NO: 2 и 564;
- (239) SEQ ID NO: 2 и 565;
- (240) SEQ ID NO: 2 и 566;
- (241) SEQ ID NO: 519 и 49;
- (242) SEQ ID NO: 520 и 49;
- (243) SEQ ID NO: 521 и 49;
- (244) SEQ ID NO: 522 и 49;
- (245) SEQ ID NO: 523 и 49;

- (246) SEQ ID NO: 524 и 49;
- (247) SEQ ID NO: 526 и 49;
- (248) SEQ ID NO: 527 и 49;
- (249) SEQ ID NO: 528 и 49;
- (250) SEQ ID NO: 2 и 567;
- (251) SEQ ID NO: 2 и 568;
- (252) SEQ ID NO: 2 и 101;
- (253) SEQ ID NO: 529 и 49;
- (254) SEQ ID NO: 529 и 103;
- (255) SEQ ID NO: 529 и 117; или
- (256) SEQ ID NO: 530 и 101.

52. Антитело по п. 51, отличающееся тем, что тяжелая цепь и легкая цепь имеют последовательности аминокислот, представленные в SEQ ID NO: 2 и 49, соответственно.

53. Антитело по п. 51, отличающееся тем, что тяжелая цепь и легкая цепь имеют последовательности аминокислот, представленные в SEQ ID NO: 2 и 100, соответственно.

54. Антитело по п. 51, отличающееся тем, что тяжелая цепь и легкая цепь имеют последовательность аминокислот, представленные в SEQ ID NO: 42 и 101, соответственно.

55. Антитело по п. 51, отличающееся тем, что тяжелая цепь и легкая цепь имеют последовательности аминокислот, представленные в SEQ ID NO: 2 и 103, соответственно.

56. Антитело по п. 51, отличающееся тем, что тяжелая цепь и легкая цепь имеют последовательности аминокислот, представленные в SEQ ID NO: 2 и 117, соответственно.

57. Антитело по п. 51, отличающееся тем, что тяжелая цепь и легкая цепь имеют последовательности аминокислот, представленные в SEQ ID NO: 517 и 101, соответственно.

58. Антитело по п. 51, отличающееся тем, что тяжелая цепь и легкая цепь имеют последовательности аминокислот, представленные в SEQ ID NO: 518 и 101, соответственно.

59. Антитело по п. 51, отличающееся тем, что тяжелая цепь и легкая цепь имеют последовательности аминокислот, представленные в SEQ ID NO: 2 и 542, соответственно.

60. Антитело по п. 51, отличающееся тем, что тяжелая цепь и легкая цепь имеют последовательности аминокислот, представленные в SEQ ID NO: 517 и 542, соответственно.

61. Антитело по п. 51, отличающееся тем, что тяжелая цепь и легкая цепь имеют последовательности аминокислот, представленную в SEQ ID NO: 518 и 542, соответственно.

62. Антитело по п. 51, отличающееся тем, что тяжелая цепь и легкая цепь имеют последовательности аминокислот, представленные в SEQ ID NO: 2 и 544, соответственно.

63. Антитело по п. 51, отличающееся тем, что тяжелая цепь и легкая цепь имеют последовательность аминокислот, представленные в SEQ ID NO: 2 и 567, соответственно.

64. Антитело по п. 51, отличающееся тем, что тяжелая цепь и легкая цепь имеют последовательности аминокислот, представленные в SEQ ID NO: 529 и 103, соответственно.

65. Антитело по п. 51, отличающееся тем, что тяжелая цепь и легкая цепь имеют последовательности аминокислот, представленные в SEQ ID NO: 530 и 101, соответственно.

66. Антитело или его антигенсвязывающий фрагмент по любому из пп. 1 - 65, содержащие тяжелую цепь (HC), которая по меньшей мере на 80%, по меньшей мере на 85%, по меньшей мере на 90%, по меньшей мере на 91%, по меньшей мере на 92%, по меньшей мере на 93%, по меньшей мере на 94%, по меньшей мере на 95%, по меньшей мере на 96%, по меньшей мере на 97%, по меньшей мере на 98%, по меньшей мере на 99% или на 100% идентична последовательности аминокислот, выбранной из группы,

состоящей из последовательностей SEQ ID NO: 1 - 47 и 517 - 530, и легкую цепь (LC), которая по меньшей мере на 80%, по меньшей мере на 85%, по меньшей мере на 90%, по меньшей мере на 91%, по меньшей мере на 92%, по меньшей мере на 93%, по меньшей мере на 94%, по меньшей мере на 95%, по меньшей мере на 96%, по меньшей мере на 97%, по меньшей мере на 98%, по меньшей мере на 99% или на 100% идентична последовательности аминокислот, выбранной из группы, состоящей из последовательностей SEQ ID NO: 48 - 136 и 531 - 567.

67. Антитело или его антигенсвязывающий фрагмент по любому из пп. 1 - 66, отличающиеся тем, что по меньшей мере 50%, по меньшей мере 60%, по меньшей мере 70%, по меньшей мере 80%, по меньшей мере 85%, по меньшей мере 90% или более сайтов N-связанного гликозилирования в VL сиалирированы.

68. Антитело или антигенсвязывающий фрагмент антитела, которое связывается с гликопротеином gp120 оболочки вируса иммунодефицита человека-1 (ВИЧ-1), указанное антитело или его антигенсвязывающий фрагмент содержат (i) вариабельную область тяжелой цепи (VH), содержащую определяющие комплементарность области 1 - 3 VH (CDR 1 - 3), и (ii) вариабельную область легкой цепи (VL), содержащую области CDR 1 - 3 VL, причем области CDR 1 - 3 VH и области CDR 1 - 3 VL имеют последовательности, представленные в:

- (i) SEQ ID NO: 159, 138, 139, 140, 141 и 142, соответственно;
- (ii) SEQ ID NO: 137, 160, 139, 140, 141 и 142, соответственно;
- (iii) SEQ ID NO: 137, 161, 139, 140, 141 и 142, соответственно;
- (iv) SEQ ID NO: 137, 162, 139, 140, 141 и 142, соответственно;
- (v) SEQ ID NO: 137, 163, 139, 140, 141 и 142, соответственно;
- (vi) SEQ ID NO: 137, 138, 164, 140, 141 и 142, соответственно;
- (vii) SEQ ID NO: 159, 138, 164, 140, 141 и 142, соответственно;
- (viii) SEQ ID NO: 137, 138, 139, 140, 165 и 142, соответственно;
- (ix) SEQ ID NO: 137, 138, 139, 140, 166 и 142, соответственно;
- (x) SEQ ID NO: 137, 138, 139, 140, 167 и 142, соответственно;
- (xi) SEQ ID NO: 137, 138, 139, 140, 168 и 142, соответственно;
- (xii) SEQ ID NO: 137, 138, 154, 140, 141 и 142, соответственно, или
- (xiii) SEQ ID NO: 137, 138, 139, 140, 141 и 142, соответственно, и при этом по меньшей мере 50%, по меньшей мере 60%, по меньшей мере 70%, по меньшей мере 80%, по меньшей мере 85%, по меньшей мере 90% или более сайтов N-связанного гликозилирования в VL сиалирированы.

69. Антитело или антигенсвязывающий фрагмент по любому из пп. 67 - 68, отличающиеся тем, что аспарагин в VL в положении аминокислоты 72 согласно нумерации по Кабату (N72) сиалинирован.

70. Антитело или антигенсвязывающий фрагмент по любому из пп. 67 - 69, отличающиеся тем, что сиалинированные сайты N-связанного гликозилирования в VL содержат от 1 до 5 остатков сиаловой кислоты, например, от 1 до 4 остатков сиаловой кислоты, например, от 1 до 3 остатков сиаловой кислоты, например, от 1 до 2 остатков сиаловой кислоты.

71. Антитело или его антигенсвязывающий фрагмент по любому из пп. 67 - 70, отличающиеся тем, что VL сиалинированы N-ацетилнейраминовой кислотой (НАНК).

72. Антитело или его антигенсвязывающий фрагмент по любому из пп. 67 - 71, отличающиеся тем, что остатки сиаловой кислоты присутствуют в двухантенных структурах.

73. Антитело или его антигенсвязывающий фрагмент по любому из пп. 67 - 72, отличающиеся тем, что остатки сиаловой кислоты присутствуют в сложных структурах N-связанных гликанов.

74. Антитело или его антигенсвязывающий фрагмент по любому из пп. 67 - 72, отличающиеся тем, что остатки сиаловой кислоты присутствуют в гибридных структурах N-связанных гликанов.

75. Антитело или его антигенсвязывающий фрагмент по любому из пп. 67 - 74, отличающиеся тем, что гликаны имеют остаток сиаловой кислоты на конце.

76. Биспецифическое антитело, содержащее:  
первое антигенсвязывающее плечо, которое связывается с gp120, указанное первое антигенсвязывающее плечо содержит:

- i. области CDR 1 - 3 VH и области CDR 1 - 3 VL; или
- ii. VH и VL по любому из пп. 1 - 75; и

второе антигенсвязывающее плечо, связывающееся со вторым антигеном.

77. Биспецифическое антитело по п. 76, отличающееся тем, что второй антиген выбран из группы, состоящей из: CD3, Fc $\gamma$ RI (CD64), Fc $\gamma$ RII (CD32), Fc $\gamma$ RIII

(CD16); CD89, CCR5, CD4, gp41, иммуноглобулин-подобного рецептора клеток-киллеров с тремя доменами Ig и длинным цитоплазматическим хвостом 1 (KIR3DL1), иммуноглобулин-подобного рецептора клеток-киллеров с тремя доменами Ig и длинным цитоплазматическим хвостом 1 (KIR3DL1), иммуноглобулин-подобного рецептора клеток-киллеров с двумя доменами Ig и длинным цитоплазматическим хвостом 1 (KIR2DL1), иммуноглобулин-подобного рецептора клеток-киллеров с двумя доменами Ig и длинным цитоплазматическим хвостом 2 (KIR2DL2), иммуноглобулин-подобного рецептора клеток-киллеров с двумя доменами Ig и длинным цитоплазматическим хвостом 3 (KIR2DL3), лектин-подобного рецептора C1 клеток-киллеров (KLRC1), лектин-подобного рецептора C2 клеток-киллеров (KLRC2), лектин-подобного рецептора C3 клеток-киллеров (KLRC3), лектин-подобного рецептора C4 клеток-киллеров (KLRC4), лектин-подобного рецептора D1 клеток-киллеров (KLRD1), лектин-подобного рецептора K1 клеток-киллеров (KLRK1), запускающего естественную цитотоксичность рецептора 3 (NCR3 или NKp30), запускающего естественную цитотоксичность рецептора 2 (NCR2 или NK-p44), запускающего естественную цитотоксичность рецептора 1 (NCR1 или NK-p46), CD226 (DNAM-1), молекулы цитотоксических и регуляторных Т-клеток (CRTAM или CD355), представителя 1 семейства сигнальных молекул активации лимфоцитов (SLAMF1), CD48 (SLAMF2), антигена лимфоцитов 9 (LY9 или SLAMF3), CD244 (2B4 или SLAMF4), CD84 (SLAMF5), представителя 6 семейства SLAM (SLAMF6 или NTB-A), представителя 7 семейства SLAM (SLAMF7 или CRACC), CD27 (TNFRSF7), семафорина 4D (SEMA4D или CD100) и CD160 (NK1), и второго эпитопа gp120.

78. Фармацевтическая композиция, содержащая антитело или антигенсвязывающий фрагмент по любому из пп. 1 - 77, и фармацевтически приемлемый носитель.

79. Фармацевтическая композиция по п. 78, дополнительно содержащая второй агент для лечения ВИЧ-инфекции.

80. Фармацевтическая композиция по любому из пп. 78 - 79, дополнительно содержащая агонист Toll-подобного рецептора (TLR).

81. Фармацевтическая композиция по любому из пп. 78 - 80, отличающаяся тем, что агонист TLR представляет собой агонист TLR2, агонист TLR3, агонист TLR7, агонист TLR8 или агонист TLR9.

82. Фармацевтическая композиция по любому из пп. 78 - 80, дополнительно содержащая агонист TLR7.

83. Фармацевтическая композиция по п. 82, отличающаяся тем, что агонист TLR7 выбран из группы, состоящей из весатолимода, имихимода и резиквимода.

84. Фармацевтическая композиция по п. 78, дополнительно содержащая антитело или антигенсвязывающий фрагмент антитела, которое связывает, ингибитирует и/или нейтрализует ВИЧ.

85. Фармацевтическая композиция по любому из пп. 78 - 84, дополнительно содержащая второе антитело или антигенсвязывающий фрагмент антитела, который связывает, ингибитирует и/или нейтрализует ВИЧ, причем указанные второе антитело или его антигенсвязывающий фрагмент не конкурируют с антителом или антигенсвязывающим фрагментом по любому из пп. 1 - 70 за связывание с gp120.

86. Фармацевтическая композиция по п. 85, отличающаяся тем, что указанные второе антитело или антигенсвязывающий фрагмент антитела, которое связывает, ингибитирует и/или нейтрализует ВИЧ, содержат вариабельные домены VH и VL нейтрализующего антитела широкого спектра действия (bNAb) против ВИЧ или конкурируют с ними.

87. Фармацевтическая композиция по любому из пп. 85 - 86, отличающаяся тем, что указанные второе антитело или антигенсвязывающий фрагмент антитела, которое связывает, ингибитирует и/или нейтрализует ВИЧ, связываются с эпитопом или участком gp120, выбранным из группы, состоящей из:

- i. третьей вариабельной петли (V3) и/или области с высоким содержанием маннозы, содержащей гликан олигоманнозного типа в положении N332;
- ii. второй вариабельной петли (V2) и/или верхушки тримера Env;
- iii. стыка gp120 и gp41; или
- iv. безмолвной поверхности gp120.

88. Фармацевтическая композиция по любому из пп. 85 - 87, отличающаяся тем, что второе антитело или антигенсвязывающий фрагмент антитела, которое связывает, ингибитирует и/или нейтрализует ВИЧ, связываются с эпитопом или участком gp120 в третьей вариабельной петле (V3) и/или области с высоким содержанием

маннозы, содержащей гликан олигоманнозного типа в положении N332, и содержат области VH и VL из антитела, выбранного из группы, состоящей из GS-9722, PGT-121, PGT-122, PGT-123, PGT-124, PGT-125, PGT-126, PGT-128, PGT-130, PGT-133, PGT-134, PGT-135, PGT-136, PGT-137, PGT-138, PGT-139, 10-1074, VRC24, 2G12, BG18, 354BG8, 354BG18, 354BG42, 354BG33, 354BG129, 354BG188, 354BG411, 354BG426, DH270.1, DH270.6, PGDM12, VRC41.01, PGDM21, PCDN-33A, BF520.1 и VRC29.03, или конкурируют с ними.

89. Фармацевтическая композиция по любому из пп. 85 - 87, отличающаяся тем, что второе антитело или антигенсвязывающий фрагмент антитела, которое связывает, ингибитирует и/или нейтрализует ВИЧ, связываются с эпитопом или участком gp120 во второй вариабельной петле (V2) и/или верхушке тримера Env, и содержат области VH и VL из антитела, выбранного из группы, состоящей из PG9, PG16, PGC14, PGG14, PGT-142, PGT-143, PGT-144, PGT-145, CH01, CH59, PGDM1400, CAP256, CAP256-VRC26.08, CAP256-VRC26.09, CAP256-VRC26.25, PCT64-24E и VRC38.01, или конкурируют с ними.

90. Фармацевтическая композиция по любому из пп. 85 - 87, отличающаяся тем, что второе антитело или антигенсвязывающий фрагмент антитела связываются с эпитопом или участком gp120 на стыке gp120 и gp41, и содержат области VH и VL из антитела, выбранного из группы, состоящей из PGT-151, CAP248-2B, 35O22, 8ANC195, ACS202, VRC34 и VRC34.01, или конкурируют с ними.

91. Фармацевтическая композиция по любому из пп. 85 - 87, отличающаяся тем, что второе антитело или антигенсвязывающий фрагмент антитела, которое связывает, ингибитирует и/или нейтрализует ВИЧ, связываются с эпитопом или участком безмолвной поверхности gp120 и содержат области VH и VL из антитела, выбранного из группы, состоящей из VRC-PG05 и SF12, или конкурируют с ними.

92. Фармацевтическая композиция по любому из пп. 85 - 86, отличающаяся тем, что второе антитело или антигенсвязывающий фрагмент антитела, которое связывает, ингибитирует и/или нейтрализует ВИЧ, связываются с эпитопом или участком gp41 в окломембранном регионе (MPER).

93. Фармацевтическая композиция по п. 92, отличающаяся тем, что второе антитело или антигенсвязывающий фрагмент антитела, которое связывает, ингибитирует и/или нейтрализует ВИЧ, связываются с эпитопом или участком gp41 в

околомембранным регионе (MPER) и содержат области VH и VL из антитела, выбранного из группы, состоящей из 10E8, 10E8v4, 10E8-5R-100cF, 4E10, DH511.11P, 2F5, 7b2 и LN01, или конкурируют с ними.

94. Фармацевтическая композиция по любому из пп. 85 - 86, отличающаяся тем, что второе антитело или антигенсвязывающий фрагмент антитела, которое связывает, ингибирует и/или нейтрализует ВИЧ, связываются с эпитопом или участком пептида слияния gp41 и содержат области VH и VL из антитела, выбранного из группы, состоящей из VRC34 и ACS202, или конкурируют с ними.

95. Фармацевтическая композиция по п. 84, отличающаяся тем, что второе антитело или антигенсвязывающий фрагмент антитела, которое связывает, ингибирует и/или нейтрализует ВИЧ, содержат VH и VL из PGT121.60 или PGT121.66.

96. Фармацевтическая композиция по п. 84, отличающаяся тем, что антитело или антигенсвязывающий фрагмент антитела, которое связывает, ингибирует и/или нейтрализует ВИЧ, содержат VH в SEQ ID NO: 454 и VL в SEQ ID NO: 455.

97. Фармацевтическая композиция по п. 84, отличающаяся тем, что антитело или антигенсвязывающий фрагмент антитела, которое связывает, ингибирует и/или нейтрализует ВИЧ, содержат VH в SEQ ID NO: 454 и VL в SEQ ID NO: 456.

98. Нуклеиновая кислота или нуклеиновые кислоты, кодирующие антитело или антигенсвязывающий фрагмент по любому из пп. 1 - 77.

99. Нуклеиновая кислота или нуклеиновые кислоты по п. 98, отличающиеся тем, что указанная нуклеиновая кислота или нуклеиновые кислоты включают ДНК, кДНК или мРНК.

100. Нуклеиновая кислота или нуклеиновые кислоты по любому из пп. 98 - 99, кодирующие VH, выбранную из группы, состоящей из последовательностей SEQ ID NO: 181 - 221 и 465 - 478, и идентичные по меньшей мере на 80%, по меньшей мере на 85%, по меньшей мере на 90%, по меньшей мере на 91%, по меньшей мере на 92%, по меньшей мере на 93%, по меньшей мере на 94%, по меньшей мере на 95%, по меньшей мере на 96%, по меньшей мере на 97%, по меньшей мере на 98%, по меньшей мере на 99% или на 100% последовательности нуклеиновой кислоты, выбранной из группы, состоящей из последовательностей SEQ ID NO: 572 - 581; и кодирующие VL, выбранную из группы, состоящей из последовательностей SEQ ID NO: 222 - 311, 479 - 516 и 569, и

идентичные по меньшей мере на 80%, по меньшей мере на 85%, по меньшей мере на 90%, по меньшей мере на 91%, по меньшей мере на 92%, по меньшей мере на 93%, по меньшей мере на 94%, по меньшей мере на 95%, по меньшей мере на 96%, по меньшей мере на 97%, по меньшей мере на 98%, по меньшей мере на 99% или на 100% последовательности нуклеиновой кислоты, выбранной из группы, состоящей из последовательностей SEQ ID NO: 582 - 595.

101. Нуклеиновая кислота или нуклеиновые кислоты по любому из пп. 98 - 99, кодирующие НС, выбранную из группы, состоящей из последовательностей SEQ ID NO: 1 - 47 и 517 - 530, и идентичные по меньшей мере на 80%, по меньшей мере на 85%, по меньшей мере на 90%, по меньшей мере на 91%, по меньшей мере на 92%, по меньшей мере на 93%, по меньшей мере на 94%, по меньшей мере на 95%, по меньшей мере на 96%, по меньшей мере на 97%, по меньшей мере на 98%, по меньшей мере на 99% или на 100% последовательности нуклеиновой кислоты, выбранной из группы, состоящей из последовательностей SEQ ID NO: 596 - 605; и кодирующие LC, выбранную из группы, состоящей из последовательностей SEQ ID NO: 48 - 136 и 531 - 567, и идентичные по меньшей мере на 80%, по меньшей мере на 85%, по меньшей мере на 90%, по меньшей мере на 91%, по меньшей мере на 92%, по меньшей мере на 93%, по меньшей мере на 94%, по меньшей мере на 95%, по меньшей мере на 96%, по меньшей мере на 97%, по меньшей мере на 98%, по меньшей мере на 99% или на 100% последовательности нуклеиновой кислоты, выбранной из группы, состоящей из последовательностей SEQ ID NO: 606 - 619.

102. Вектор экспрессии или векторы экспрессии, содержащие нуклеиновую кислоту или нуклеиновые кислоты по любому из пп. 98 - 101, функционально связанные с регуляторной последовательностью.

103. Вектор экспрессии или векторы экспрессии по п. 102, отличающиеся тем, что вектор экспрессии или векторы экспрессии включают плазмидный вектор или вирусный вектор.

104. Фармацевтическая композиция, содержащая нуклеиновую кислоту или нуклеиновые кислоты по любому из пп. 98 - 101 или вектор экспрессии или векторы экспрессии по любому из пп. 102 - 103 и фармацевтически приемлемый носитель.

105. Липидная наночастица (ЛНЧ), содержащая нуклеиновую кислоту или нуклеиновые кислоты по любому из пп. 98 - 101, или вектор экспрессии или векторы экспрессии по любому из пп. 102 - 103.

106. Химерный антигенный receptor (CAR), содержащий антигенсвязывающий фрагмент по п. 50.

107. CAR-Т-клетка, содержащая CAR по п. 106.

108. Клетка-хозяин или популяция клеток, содержащие нуклеиновую кислоту или нуклеиновые кислоты по любому из пп. 98 - 101, или вектор экспрессии или векторы экспрессии по любому из пп. 102 - 103.

109. Клетка-хозяин или популяция клеток по п. 108, отличающиеся тем, что указанная клетка или популяция клеток включают эукариотическую клетку.

110. Клетка или популяция клеток по любому из пп. 108 - 109, отличающиеся тем, что указанная клетка или популяция клеток включают клетку млекопитающего, клетку насекомого, клетку растения или клетку дрожжей.

111. Клетка или популяция клеток по любому из пп. 108 - 110, отличающиеся тем, что указанная клетка млекопитающего представляет собой клетку яичника китайского хомячка (CHO).

112. Клетка или популяция клеток по любому из пп. 108 - 110, отличающиеся тем, что указанная клетка млекопитающего представляет собой клетку человека.

113. Клетка или популяция клеток по п. 112, отличающиеся тем, что указанная клетка представляет собой эмбриональную клетку почки человека или В-клетку человека.

114. Клетка или популяция клеток по любому из пп. 108 - 113, отличающиеся тем, что указанная клетка преимущественно сиалирирует сайты N-связанного гликозилирования в вариабельных доменах (Fv) экспрессированных антител или антигенсвязывающих фрагментов.

115. Клетка или популяция клеток по п. 114, отличающиеся тем, что по меньшей мере 50%, по меньшей мере 80%, по меньшей мере 85%, по меньшей мере 90%,

по меньшей мере 91%, по меньшей мере 92%, по меньшей мере 93%, по меньшей мере 94%, по меньшей мере 95% или более сайтов N-связанного гликозилирования в вариабельных доменах (Fv) экспрессированных антител или антигенсвязывающих фрагментов сиалирированы.

116. Клетка или популяция клеток по любому из пп. 114 - 115, отличающиеся тем, что по меньшей мере 50%, по меньшей мере 60%, по меньшей мере 70%, по меньшей мере 80%, по меньшей мере 85%, по меньшей мере 90%, по меньшей мере 91%, по меньшей мере 92%, по меньшей мере 93%, по меньшей мере 94%, по меньшей мере 95% или более сайтов N-связанного гликозилирования в VL сиалирированы.

117. Клетка или популяция клеток по любому из пп. 114 - 116, отличающиеся тем, что аспарагин в VL в положении аминокислоты 72 согласно нумерации по Кабату (N72) сиалирирован.

118. Клетка или популяция клеток по любому из пп. 114 - 117, отличающиеся тем, что сиалирированные сайты N-связанного гликозилирования в VL содержат от 1 до 5 остатков сиаловой кислоты, например, от 1 до 4 остатков сиаловой кислоты, например, от 1 до 3 остатков сиаловой кислоты, например, от 1 до 2 остатков сиаловой кислоты.

119. Клетка или популяция клеток по любому из пп. 114 - 118, отличающиеся тем, что VL сиалирированы N-ацетилнейраминовой кислотой (НАНК).

120. Клетка или популяция клеток по любому из пп. 114 - 119, отличающиеся тем, что остатки сиаловой кислоты присутствуют в двухантенных структурах.

121. Клетка или популяция клеток по любому из пп. 114 - 120, отличающиеся тем, что остатки сиаловой кислоты присутствуют в сложных структурах N-связанных гликанов.

122. Клетка или популяция клеток по любому из пп. 114 - 121, отличающаяся тем, что остатки сиаловой кислоты присутствуют в гибридных структурах N-связанных гликанов.

123. Клетка или популяция клеток по любому из пп. 114 - 122, отличающаяся тем, что гликаны имеют остаток сиаловой кислоты на .

124. Способ получения антитела или его антигенсвязывающего фрагмента, указанный способ включает:

культивирование клетки-хозяина по любому из пп. 108 - 123 в культуре клеток; и

выделение антитела или антигенсвязывающего фрагмента из культуры клеток.

125. Способ по п. 124, дополнительно включающий приготовление антитела или антигенсвязывающего фрагмента в составе стерильной фармацевтической композиции, подходящей для введения человеку.

126. Способ лечения или предотвращения ВИЧ у нуждающегося в этом субъекта, который представляет собой человека, указанный способ включает введение указанному субъекту эффективного количества антитела или его антигенсвязывающего фрагмента по любому из пп. 1 - 77 или фармацевтической композиции по любому из пп. 78 - 97.

127. Способ по п. 126, дополнительно включающий введение указанному субъекту второго агента для лечения ВИЧ-инфекции.

128. Способ по любому из пп. 126 - 127, дополнительно включающий введение указанному субъекту агониста Toll-подобного рецептора (TLR).

129. Способ по любому из пп. 126 - 128, отличающийся тем, что агонист TLR представляет собой агонист TLR2, агонист TLR3, агонист TLR7, агонист TLR8 или агонист TLR9.

130. Способ по любому из пп. 127 - 129, дополнительно включающий введение указанному субъекту агониста TLR7.

131. Способ по п. 130, отличающийся тем, что агонист TLR7 выбран из группы, состоящей из весатолимода, имихимода и резиквимода.

132. Способ по любому из пп. 126 - 131, дополнительно включающий введение субъекта, который представляет собой человекаб антитела или антигенсвязывающего фрагмента антитела, которое связывает, ингибитирует и/или нейтрализует ВИЧ.

133. Способ по любому из пп. 127 - 132, дополнительно включающий введение субъекту который представляет собой человека б эффективного количества второго антитела или антигенсвязывающего фрагмента антитела, которое связывает, ингибитирует и/или нейтрализует ВИЧ, причем второе антитело или его антигенсвязывающий фрагмент не конкурируют с антителом или антигенсвязывающим фрагментом по любому из пп. 1 - 70 за связывание с gp120.

134. Способ по п. 133, отличающийся тем, что второе антитело или антигенсвязывающий фрагмент антитела, которое связывает, ингибитирует и/или нейтрализует ВИЧ, содержат вариабельные домены VH и VL нейтрализующего антитела широкого спектра действия (bNAb) против ВИЧ или конкурируют с ними.

135. Способ по любому из пп. 133 - 134, отличающийся тем, что второе антитело или антигенсвязывающий фрагмент антитела, которое связывает, ингибитирует и/или нейтрализует ВИЧ, связываются с эпитопом или участком gp120, выбранным из группы, состоящей из:

- i. третьей вариабельной петли (V3) и/или области с высоким содержанием маннозы, содержащей гликан олигоманнозного типа в положении N332;
- ii. второй вариабельной петли (V2) и/или верхушки тримера Env;
- iii. стыка gp120 и gp41; или
- iv. безмолвной поверхности gp120.

136. Способ по любому из пп. 133 - 135, отличающийся тем, что второе антитело или антигенсвязывающий фрагмент антитела, которое связывает, ингибитирует и/или нейтрализует ВИЧ, связываются с эпитопом или участком gp120 в третьей вариабельной петле (V3) и/или области с высоким содержанием маннозы, содержащей гликан олигоманнозного типа в положении N332, и содержат области VH и VL из антитела, выбранного из группы, состоящей из GS-9722, PGT-121, PGT-122, PGT-123, PGT-124, PGT-125, PGT-126, PGT-128, PGT-130, PGT-133, PGT-134, PGT-135, PGT-136, PGT-137, PGT-138, PGT-139, 10-1074, VRC24, 2G12, BG18, 354BG8, 354BG18, 354BG42, 354BG33, 354BG129, 354BG188, 354BG411, 354BG426, DH270.1, DH270.6, PGDM12, VRC41.01, PGDM21, PCDN-33A, BF520.1 и VRC29.03, или конкурирует с ними.

137. Способ по любому из пп. 133 - 135, отличающийся тем, что второе антитело или антигенсвязывающий фрагмент антитела, которое связывает, ингибитирует

и/или нейтрализует ВИЧ, связываются с эпитопом или участком gp120 во второй вариабельной петле (V2) и/или верхушке тримера Env и содержат области VH и VL из антитела, выбранного из группы, состоящей из PG9, PG16, PGC14, PGG14, PGT-142, PGT-143, PGT-144, PGT-145, CH01, CH59, PGDM1400, CAP256, CAP256-VRC26.08, CAP256-VRC26.09, CAP256-VRC26.25, PCT64-24E и VRC38.01, или конкурируют с ними.

138. Способ по любому из пп. 133 - 135, отличающийся тем, что антигенсвязывающий фрагмент второго антитела связывается с эпитопом или участком gp120 на стыке gp120 и gp41 и содержит области VH и VL из антитела, выбранного из группы, состоящей из PGT-151, CAP248-2B, 35O22, 8ANC195, ACS202, VRC34 и VRC34.01, или конкурирует с ними.

139. Способ по любому из пп. 133 - 135, отличающийся тем, что второе антитело или антигенсвязывающий фрагмент антитела, которое связывает, ингибитирует и/или нейтрализует ВИЧ, связываются с эпитопом или участком безмолвной поверхности gp120 и содержат области VH и VL из антитела, выбранного из группы, состоящей из VRC-PG05 и SF12, или конкурируют с ними.

140. Способ по любому из пп. 133 - 135, отличающийся тем, что второе антитело или антигенсвязывающий фрагмент антитела, которое связывает, ингибитирует и/или нейтрализует ВИЧ, связываются с эпитопом или участком gp41 в окломембранном регионе (MPER).

141. Способ по любому из пп. 133 - 134, отличающийся тем, что второе антитело или антигенсвязывающий фрагмент антитела, которое связывает, ингибитирует и/или нейтрализует ВИЧ, связываются с эпитопом или участком gp41 в окломембранном регионе (MPER) и содержат области VH и VL из антитела, выбранного из группы, состоящей из 10E8, 10E8v4, 10E8-5R-100cF, 4E10, DH511.11P, 2F5, 7b2 и LN01, или конкурируют с ними.

142. Способ по любому из пп. 133 - 134, отличающийся тем, что второе антитело или антигенсвязывающий фрагмент антитела, которое связывает, ингибитирует и/или нейтрализует ВИЧ, связываются с эпитопом или участком пептида слияния gp41 и содержат области VH и VL из антитела, выбранного из группы, состоящей из VRC34 и ACS202, или конкурируют с ними.

143. Способ по п. 132, отличающийся тем, что антитело или антигенсвязывающий фрагмент антитела, которое связывает, ингибирует и/или нейтрализует ВИЧ, содержит VH и VL из PGT121.60 или PGT121.66.

144. Способ по п. 132, отличающийся тем, что антитело или антигенсвязывающий фрагмент антитела, которое связывает, ингибирует и/или нейтрализует ВИЧ, содержит VH в SEQ ID NO: 454 и VL в SEQ ID NO: 455.

145. Способ по п. 132, отличающийся тем, что антитело или антигенсвязывающий фрагмент антитела, которое связывает, ингибирует и/или нейтрализует ВИЧ, содержит VH в SEQ ID NO: 454 и VL в SEQ ID NO: 456.

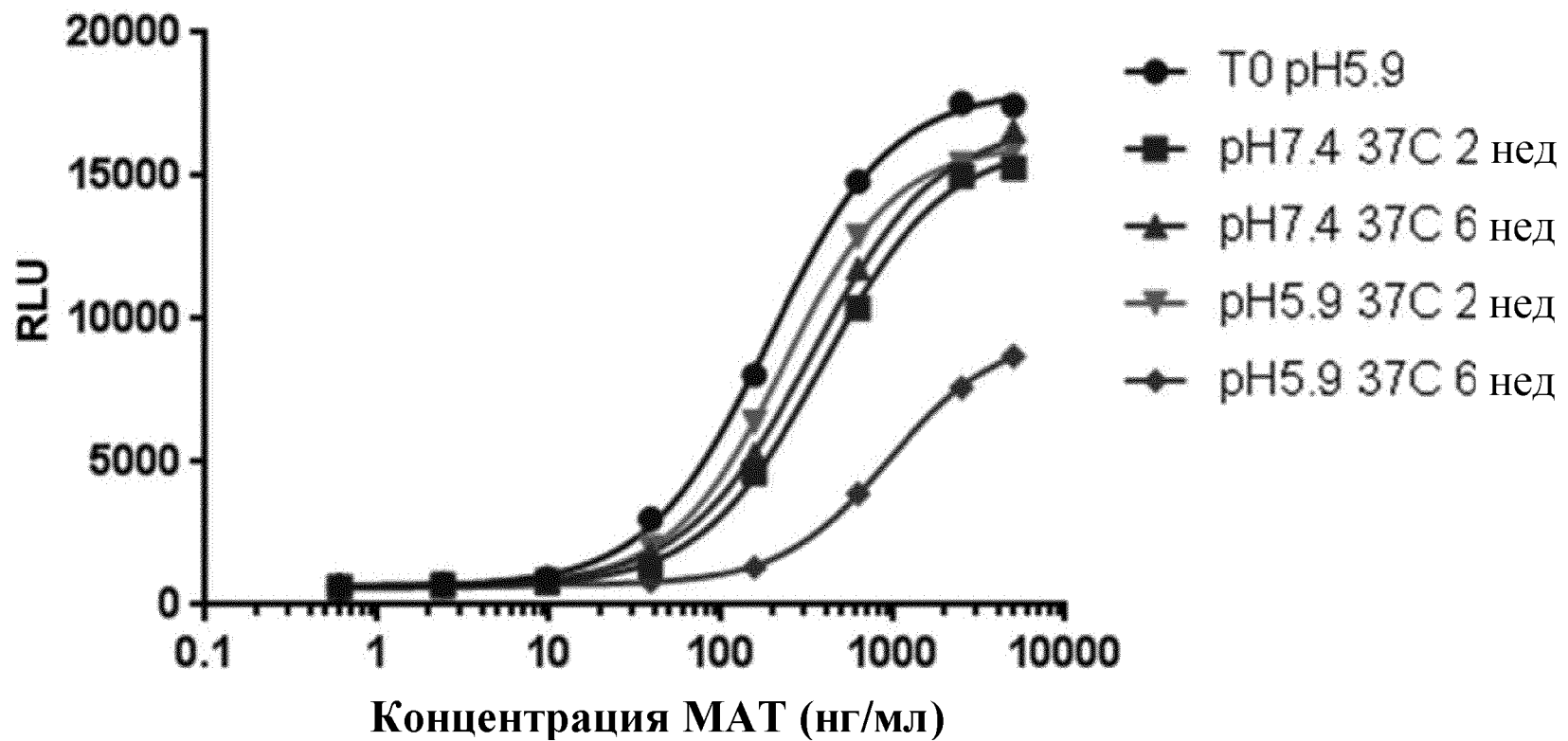
146. Способ по любому из пп. 126 - 145, дополнительно включающий введение субъекту, которые представляет собой человека, вакцины против ВИЧ.

147. Способ по п. 146, отличающийся тем, что вакцина против ВИЧ включает вирусную вакцину.

148. Способ по любому из пп. 146 - 147, отличающийся тем, что вирусная вакцина представляет собой вакцину на основе вируса, выбранного из группы, состоящей из аренавируса, аденоовируса, поксвируса и рабдовируса.

149. Способ ингибирования ВИЧ у нуждающегося в этом человека, указанный способ включает введение указанному субъекту эффективного количества антитела или его антигенсвязывающего фрагмента по любому из пп. 1 - 77 или фармацевтической композиции по любому из пп. 78 - 97.

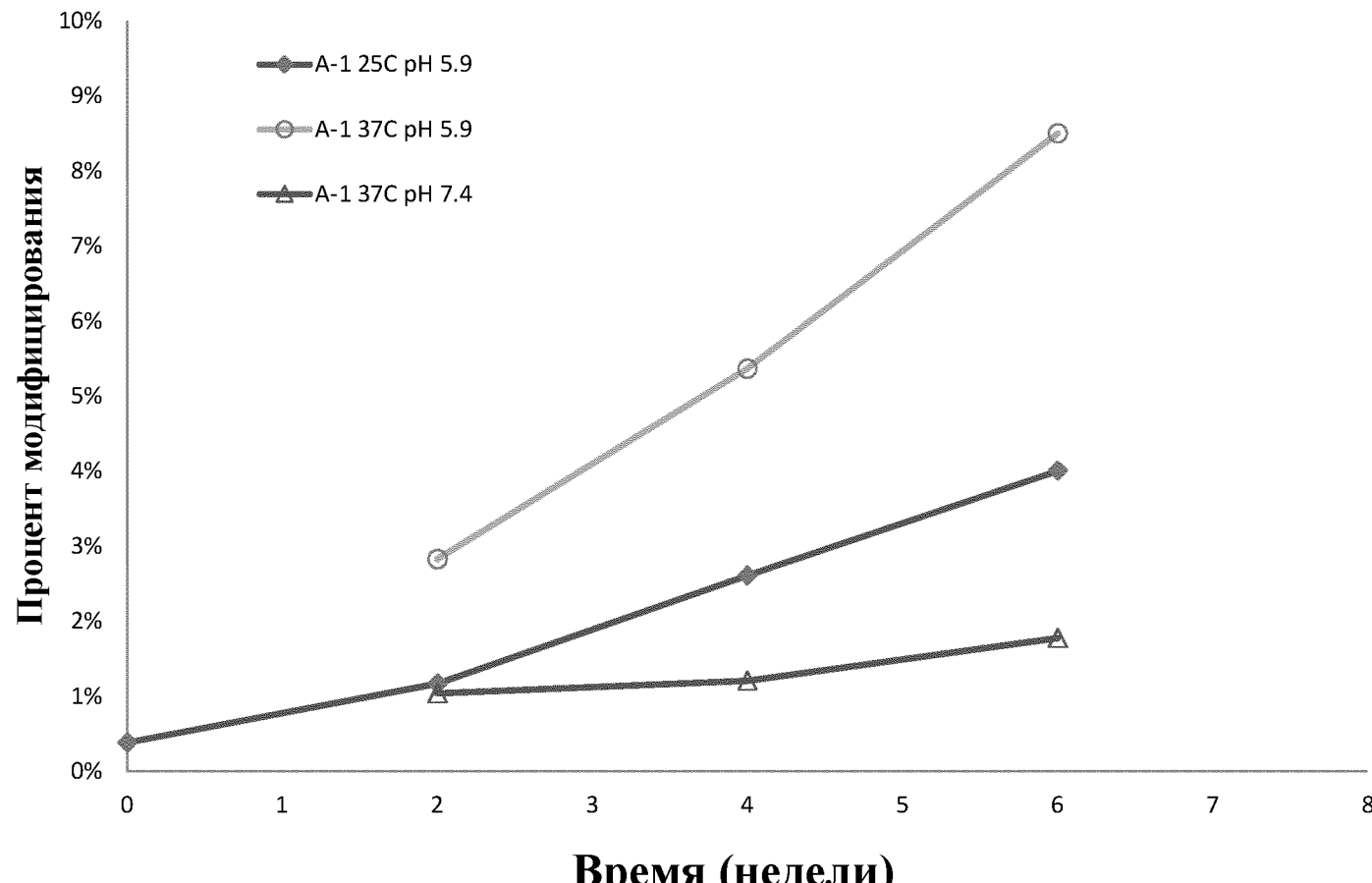
**1/8**



**Фиг. 1**

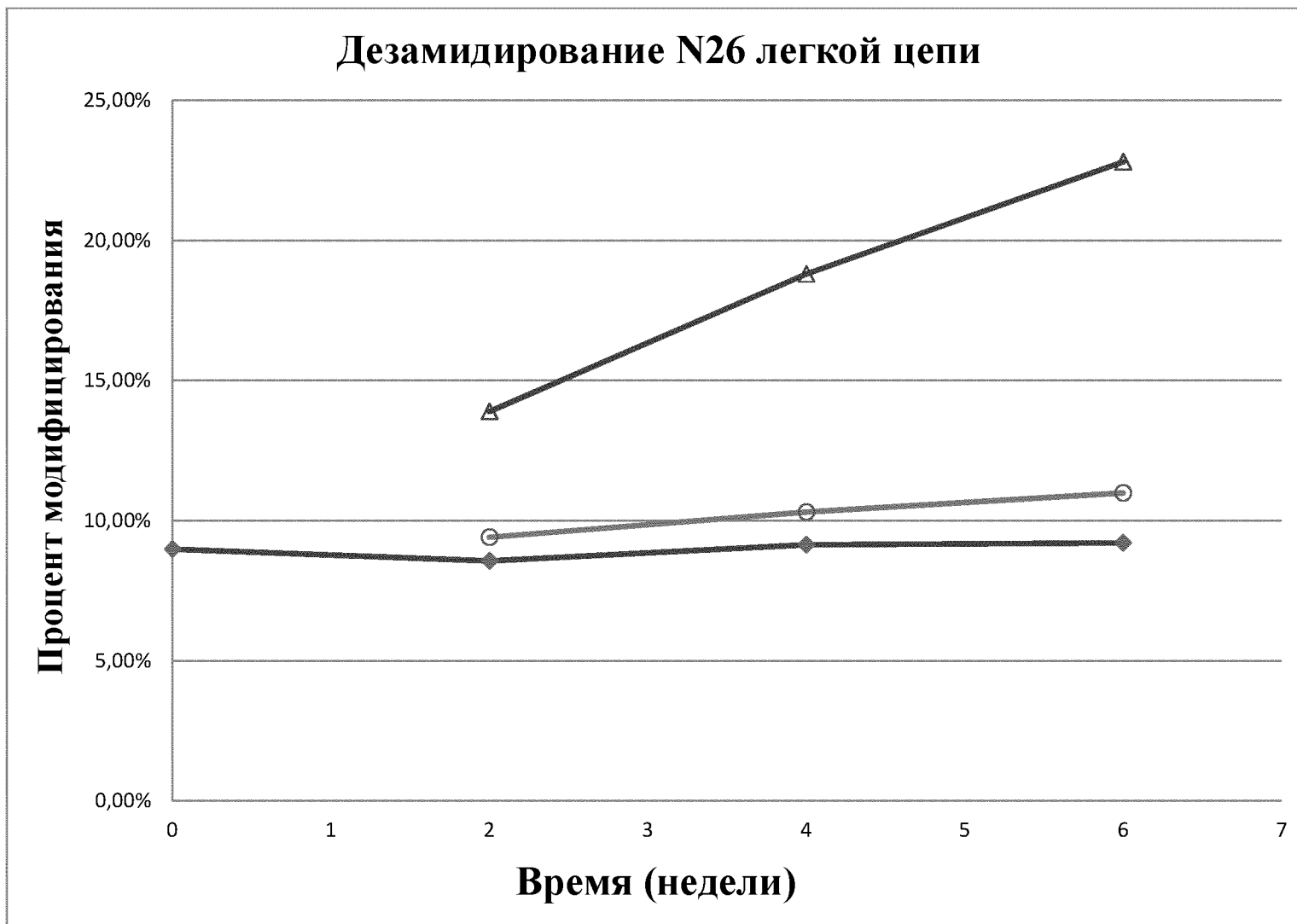
**2/8**

### Окисление W74 тяжелой цепи



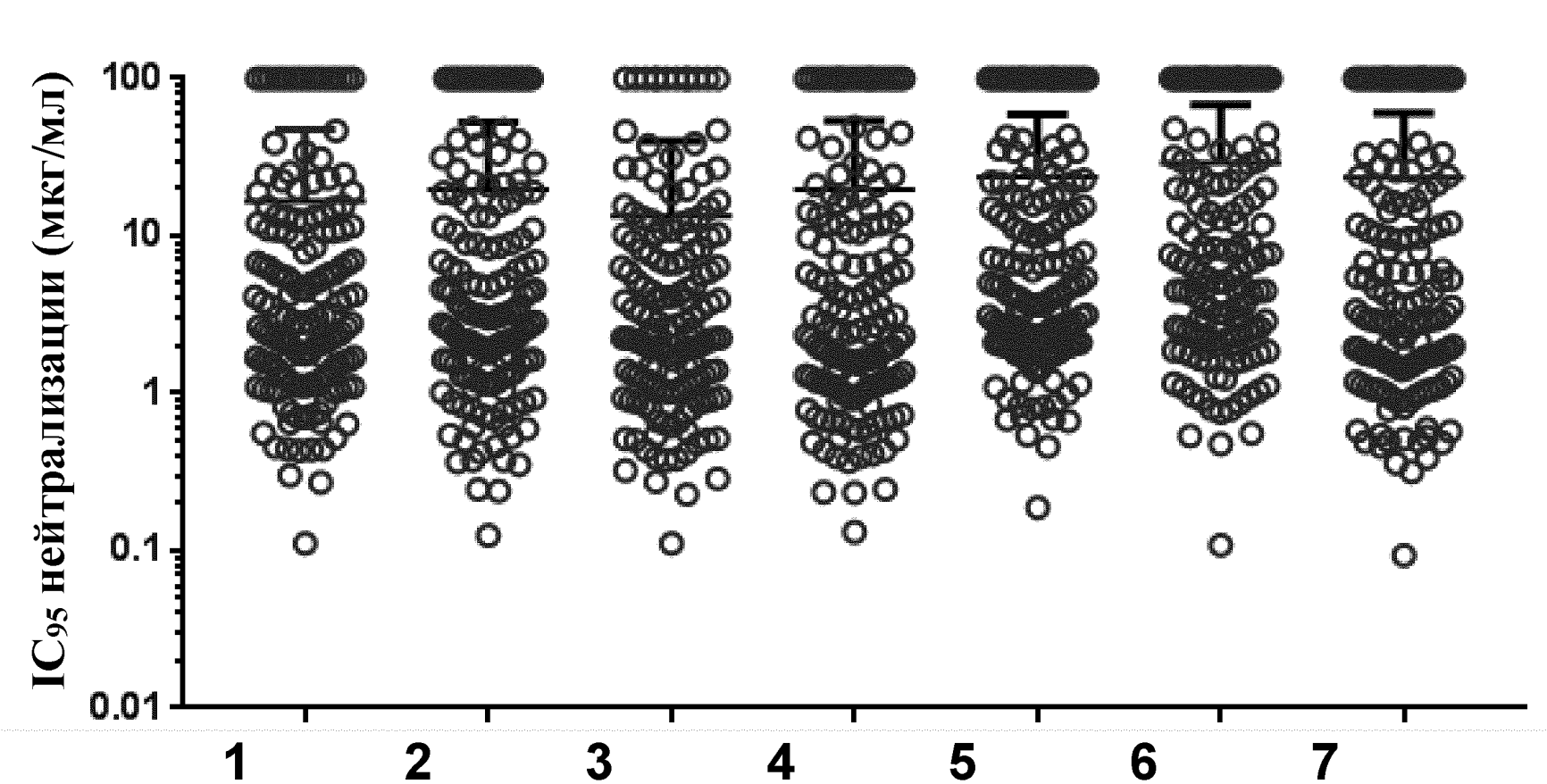
**Фиг. 2**

**3/8**



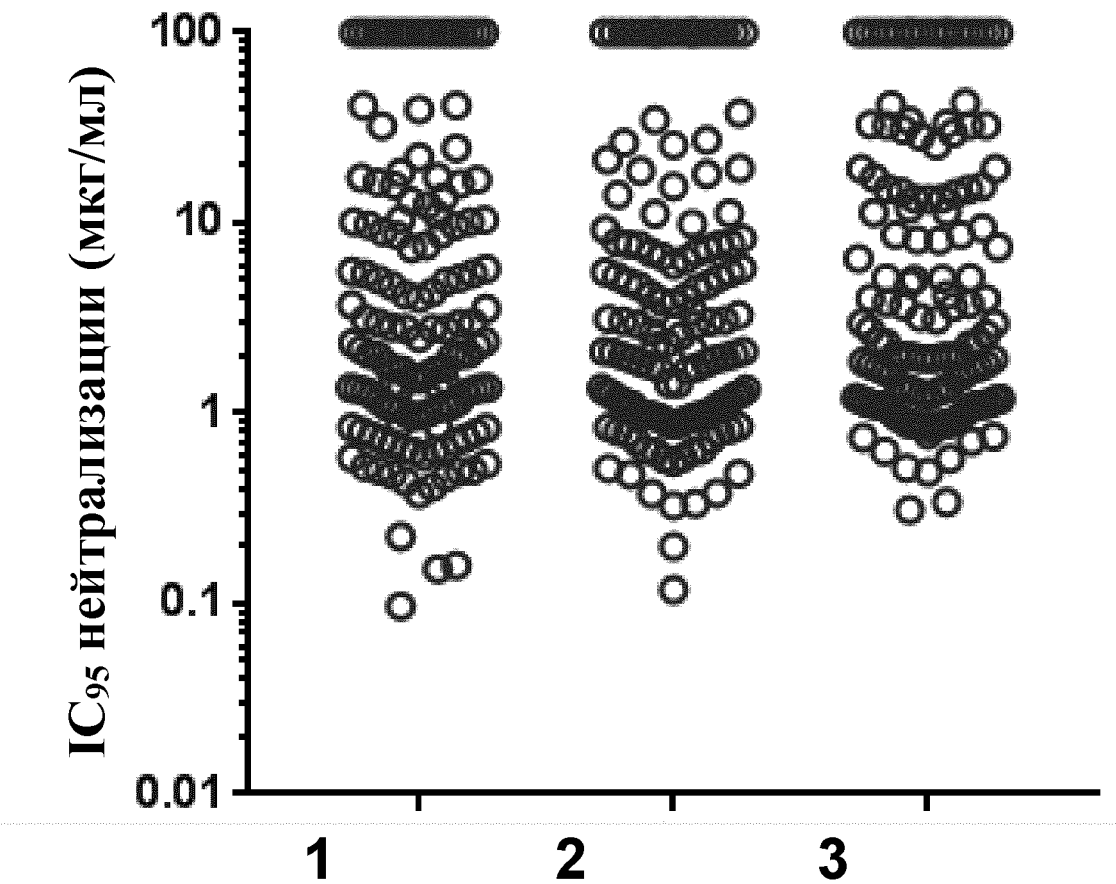
**Фиг. 3**

**4/8**



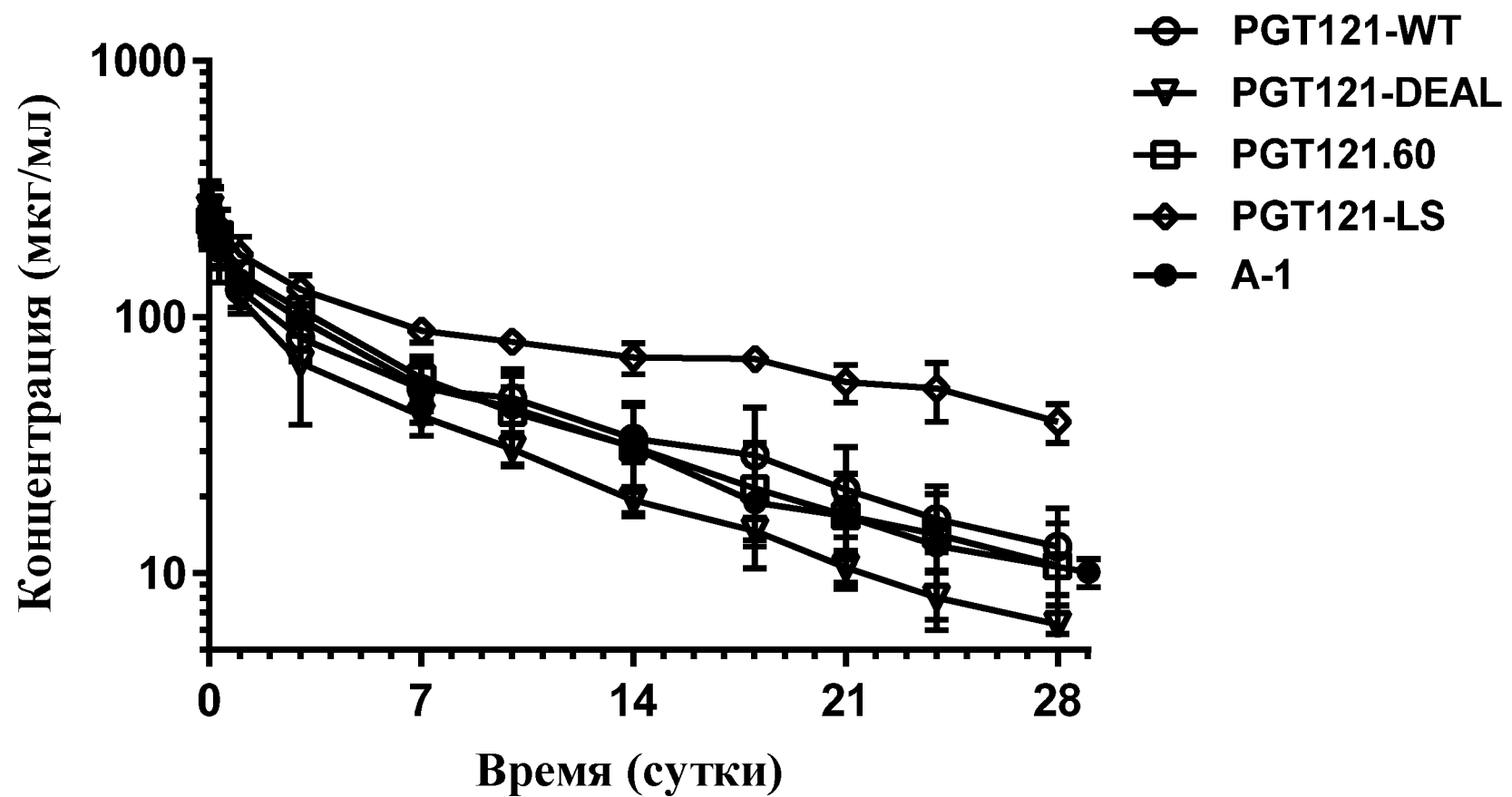
**Фиг. 4**

**5/8**



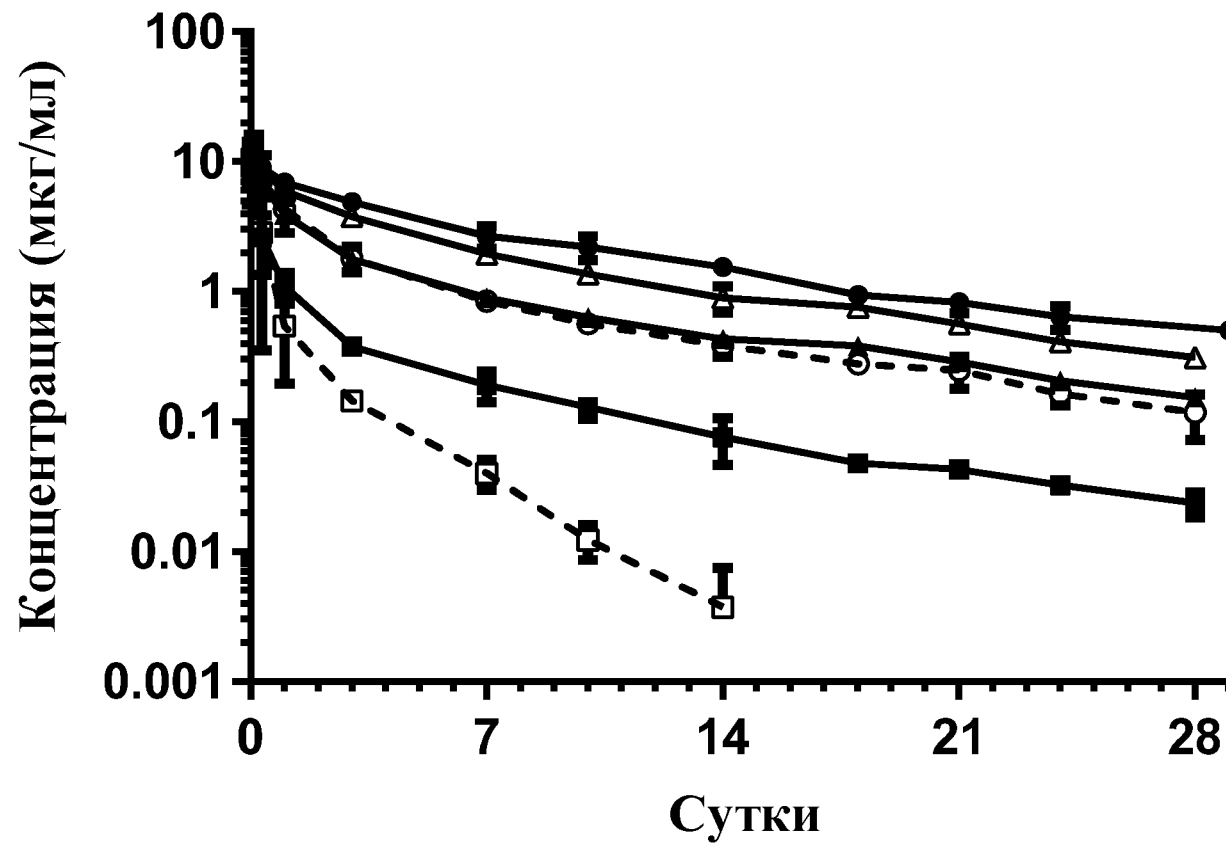
**Фиг. 5**

6/8



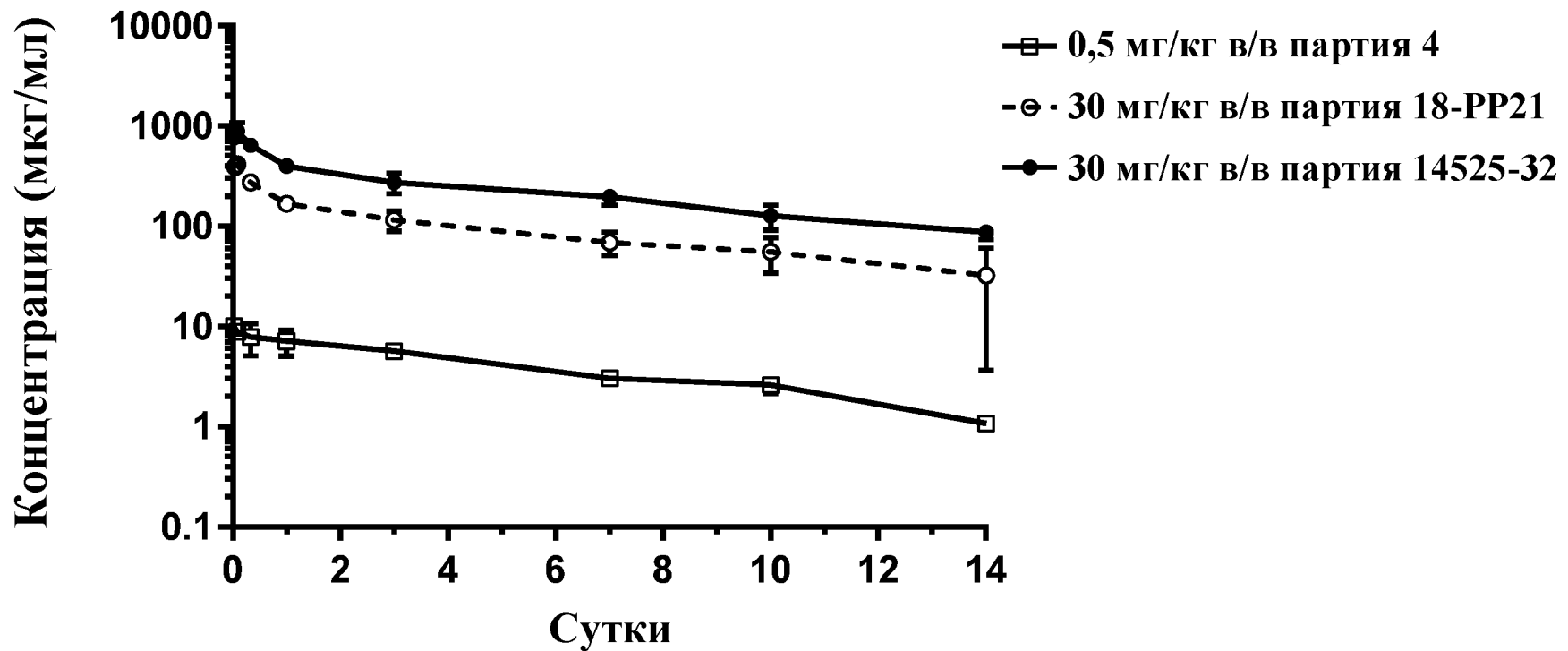
Фиг. 6

7/8



Фиг. 7

**8/8**



**Фиг. 8**